



TUGAS AKHIR (RC14-1501)

PERENCANAAN ULANG TIMBUNAN OPRIT DAN ABUTMENT JEMBATAN PLASMA BATU TUGU- PLASMA TANJUNG KURUNG, PALEMBANG (YANG MENGALAMI KERUNTUHAN SEBELUMNYA PADA SAAT PELAKSANAAN)

RIF' ATUL UMMAH

NRP 3112 100 064

Dosen Pembimbing

Musta'in Arif, S.T., M.T.

Prof. Ir. Noor Endah, M.Sc., Ph.D.

JURUSAN TEKNIK SIPIL

Fakultas Teknik Sipil dan Perencanaan

Institut Teknologi Sepuluh Nopember

Surabaya 2016



TUGAS AKHIR (RC14-1501)

PERENCANAAN ULANG TIMBUNAN OPRIT DAN ABUTMENT JEMBATAN PLASMA BATU TUGU- PLASMA TANJUNG KURUNG, PALEMBANG (YANG MENGALAMI KERUNTUHAN SEBELUMNYA PADA SAAT PELAKSANAAN)

RIF' ATUL UMMAH
NRP 3112 100 064

Dosen Pembimbing
Musta'in Arif, S.T., M.T.
Prof. Ir. Noor Endah, M.Sc., Ph.D.

JURUSAN TEKNIK SIPIL
Fakultas Teknik Sipil dan Perencanaan
Institut Teknologi Sepuluh Nopember
Surabaya 2016



TUGAS AKHIR (RC14-1501)

PERENCANAAN ULANG TIMBUNAN OPRIT DAN ABUTMENT JEMBATAN PLASMA BATU TUGU- PLASMA TANJUNG KURUNG, PALEMBANG (YANG MENGALAMI KERUNTUHAN SEBELUMNYA PADA SAAT PELAKSANAAN)

RIF' ATUL UMMAH
NRP 3112 100 064

Dosen Pembimbing
Musta'in Arif, S.T., M.T.
Prof. Ir. Noor Endah, M.Sc., Ph.D.

JURUSAN TEKNIK SIPIL
Fakultas Teknik Sipil dan Perencanaan
Institut Teknologi Sepuluh Nopember
Surabaya 2016



TUGAS AKHIR (RC14-1501)

**PERENCANAAN ULANG TIMBUNAN OPRIT DAN
ABUTMENT JEMBATAN PLASMA BATU TUGU-
PLASMA TANJUNG KURUNG, PALEMBANG (YANG
MENGALAMI KERUNTUHAN SEBELUMNYA PADA
SAAT PELAKSANAAN)**

RIF' ATUL UMMAH
NRP 3112 100 064

Dosen Pembimbing
Musta'in Arif, S.T., M.T.
Prof. Ir. Noor Endah, M.Sc., Ph.D.

JURUSAN TEKNIK SIPIL
Fakultas Teknik Sipil dan Perencanaan
Institut Teknologi Sepuluh Nopember
Surabaya 2016



FINAL PROJECT (RC14-1501)

***RE-DESIGN OPRIT EMBANKMENT AND BRIDGE
ABUTMENT PLASMA BATU TUGU-PLASMA TANJUNG
KURUNG, PALEMBANG (COLLAPSE AT
IMPLEMENTATION)***

RIF' ATUL UMMAH
NRP 3112 100 064

Academic Supervisor
Musta'in Arif, S.T.,M.T.
Prof. Ir. Noor Endah, M.Sc.,Ph.D.

DEPARTMENT OF CIVIL ENGINEERING
Faculty of Civil Engineering and Planning
Institut Teknologi Sepuluh Nopember
Surabaya 2016

**PERENCANAAN ULANG TIMBUNAN OPRIT DAN
ABUTMENT JEMBATAN PLASMA BATU TUGU-
PLASMA TANJUNG KURUNG, PALEMBANG
(YANG MENGALAMI KERUNTUHAN
SEBELUMNYA PADA SAAT PELAKSANAAN)**

TUGAS AKHIR

Diajukan Untuk Memenuhi Salah Satu Syarat
Memperoleh Gelar Sarjana Teknik
pada

Bidang Studi Geoteknik
Program Studi S-1 Jurusan Teknik Sipil
Fakultas Teknik Sipil dan Perencanaan
Institut Teknologi Sepuluh Nopember

Oleh:

RIF'ATUL UMMAH

NRP. 3112 100 064

Disetujui oleh Pembimbing Tugas Akhir:

1. Musta'in Arif, S.T.,M.T. (Pembimbing I)

2. Prof. Ir. Noor Endah, M.Sc., Ph.D. (Pembimbing II)

**SURABAYA
JUNI, 2016**

**PERENCANAAN ULANG TIMBUNAN OPRIT DAN
ABUTMENT JEMBATAN PLASMA BATU TUGU-
PLASMA TANJUNG KURUNG, PALEMBANG
(YANG MENGALAMI KERUNTUHAN
SEBELUMNYA PADA SAAT PELAKSANAAN)**

Nama Mahasiswa : Rif' atul Ummah
NRP : 3112 100 064
Jurusan :Teknik Sipil FTSP-ITS
Dosen Pembimbing : Musta'in Arif, S.T., M.T.
Prof. Ir. Noor Endah, M.Sc, Ph.D

Abstrak

Abstrak—Terhambatnya produktivitas pengangkutan kelapa sawit dari Plasma Batu Tugu Desa Prambatan menuju Desa Tanjung Kurung akibat adanya sungai periodik yang meluap saat musim hujan, membuat PT. Golden Sumatera melaksanakan pembangunan jembatan dengan oprit yang tinggi. Namun pada pelaksanaannya terjadi kelongsoran yang menyebabkan abutment dan jembatan runtuh. Maka dari itu perlu adanya perencanaan ulang timbunan oprit dan abutment jembatan.

Dalam perencanaan ini tanah asli membutuhkan waktu puluhan tahun untuk selesai konsolidasi hingga 90%. Maka dari itu, dibutuhkan bantuan vertical drain berupa PVD untuk mempercepat waktu konsolidasi. Berdasarkan hasil analisis, timbunan oprit jembatan dibagi menjadi dua zona yaitu zona 1 dengan tinggi timbunan 6 meter sepanjang 24 m dengan kemiringan 3% dan zona 2 dengan tinggi timbunan 5.3 meter sepanjang 1 km dengan kemiringan 0%. Timbunan oprit direncanakan menggunakan perkuatan arah melintang timbunan dan perkuatan arah memanjang timbunan di belakang abutment. Untuk perkuatan melintang direncanakan dua alternatif yaitu alternatif 1 perkuatan timbunan miring dengan geotextile dan alternatif 2 perkuatan timbunan tegak dengan kombinasi multiblocks, geogrid, dan cerucuk. Untuk perkuatan arah

memanjang jalan digunakan geotextile wall dan cerucuk. Dari dua alternatif tersebut dipilih berdasarkan biaya material paling murah. Pondasi jembatan direncanakan menggunakan tiang pancang diameter 30 cm dan 40 cm. Dari masing-masing diameter tersebut dihitung biaya material yang paling sedikit, dan kemudian disimpulkan menjadi alternatif yang dipakai.

Dari hasil analisis didapatkan untuk alternatif 1 diperoleh kebutuhan geotextile zona 1 dan zona 2 masing-masing sebanyak 49 lapis dan 34 lapis. Untuk perkuatan memanjang diperoleh kebutuhan geotextile wall sebanyak 19 lapis, serta dibutuhkan cerucuk sebanyak 4 buah/ m dengan panjang masing-masing 9 m.

Pada Alternatif 2 didapatkan kebutuhan untuk zona 1 yaitu geogrid sebanyak 10 lapis panjang 6 m dan 36 lapis (2 sisi) panjang 1 m , multiblocks seluas 278,4 m², geotextile sebanyak 5 lapis, dan cerucuk sebanyak 4 buah/ m (2 sisi) dengan panjang masing-masing 6 m. Sedangkan untuk zona 2 didapatkan kebutuhan geogrid sebanyak 8 lapis panjang 6 m dan 30 lapis (2 sisi) panjang 1 m, multiblocks seluas 9200 m², geotextile sebanyak 3 lapis, dan cerucuk sebanyak 4 buah/m (2 sisi) panjang masing-masing 6 m. Untuk perkuatan memanjang jalan didapatkan geotextile wall sebanyak 17 lapis, serta dibutuhkan cerucuk sebanyak 3 buah/m panjang masing-masing 9 m.

Dari kedua alternatif dipilih alternatif 1 yang menghasilkan biaya material paling murah. Pondasi abutment didapatkan diameter 40 cm jumlah 12 buah panjang 16,5 m menghasilkan biaya paling murah.

Kata Kunci: *Plasma Batu Tugu-Tanjung Kurung, timbunan oprit, PVD, geotextile, multiblocks dan geogrid, cerucuk, geotextile wall, abutment dan pondasi abutment.*

***RE-DESIGN OPRIT EMBANKMENT AND BRIDGE
ABUTMENT PLASMA BATU TUGU-PLASMA
TANJUNG KURUNG, PALEMBANG (COLLAPSE AT
IMPLEMENTATION)***

Name : Rif'atul Ummah
NRP : 3112 100 064
Department : Teknik Sipil FTSP-ITS
Supervisor : Musta'in Arif, S.T., M.T.
Prof. Ir. Noor Endah, M.Sc, Ph.D

Abstract

Abstract—Productivity of palm oil transposrtation from Plasma Batu Tugu village to the village of Tanjung Kurung Prambatan hampered by the periodic overflowing of the river during the rainy season, making PT. Golden Sumatra construct high oprit bridge. However, landslide is occurred at implementation stage, causing the abutment and the bridge collapse. Thus, re-planning is needed for oprit embankment and bridge abutment.

In this plan, the native soil take decades to complete consolidation of up to 90%. Therefore, PVD is used as a vertical drain to accelerate consolidation. Based on the analysis, oprit bridge embankment is divided into two zones, zone 1 implement 6 m height along 24 m embankment with 3% longitudinal slope and zone 2 implement 5.3 m height along 1 km embankment with 0% longitudinal slope. Oprit embankment is planned to use transverse reinforcement and longitudinal reinforcement behind the abutment. For transverse reinforcement is planned two alternatives, alternative 1 implement geotextile reinforcement for sloping embankment and alternative 2 implement combination of multiblocks, geogrid and micropile reinforcement for vertical embankment. For longitudinal reinforcement is used geotextile wall and micropile. Further, alternative choice consider the least expensive material cost. Bridge foundation pile is planned to use a

diameter of 30 cm and 40 cm. Each of the diameter material costs are calculated and then the least material cost concluded to be an alternative that is implemented.

Based on analysis for alternatives 1 is obtained zone 1 and zone 2 need 49 layers and 34 layers of geotextile respectively. For longitudinal reinforcement is needed 19 layers of geotextile wall, and is required 4 units / m with each length of 9 m of micropiles.

In alternative 2, for zone 1 is needed geogrid as many as 10 layers with length of 6 m and 36 layers (double sides) with length of 1 m, multiblocks which cover an area of 278.4 m², 5 layers of geotextile, and 4 units / m (double sides) with each length of 6 m of micropiles. For the zone 2 is needed geogrid as many as 8 layers with length of 6 m and 30 layers (double sides) length of 1 m, multiblocks which cover an area of 9200 m², 3 layers of geotextile, and 4 units / m (double sided) with each length of 6 m of micropiles. For road longitudinal reinforcement, is obtained 17 layers of geotextile wall and is required 3 pieces / m with each length of 9 m of micropiles.

Based on comparison of two alternative, is chosen alternative 1 that produces the most inexpensive material cost. Whereas, the abutment foundation is obtained a diameter of 40 cm, as many as 12 units, with each length of 16,5 m that produces most inexpensive cost.

Keywords : Plasma Batu Tugu-Tanjung Kurung, oprit embankment, PVD, geotextile, multiblocks and geogrid, micropile, geotextile wall, abutment dan bridge foundation.

KATA PENGANTAR

Assalamu'alaikum.wr.wb

Puji syukur kehadirat Allah SWT karena berkat rahmat, taufiq dan hidayah-Nya penulis dapat menyelesaikan Laporan Tugas Akhir yang berjudul “Perencanaan Ulang Timbunan Oprit dan *Abutment* Jembatan Plasma Batu Tugu – Plasma Tanjung Kurung, Palembang (Yang Mengalami Keruntuhan Sebelumnya Pada Saat Pelaksanaan)” ini tepat pada waktunya.

Adapun dalam proses penyusunan Laporan Tugas Akhir ini penulis memperoleh bantuan dan bimbingan serta banyak dukungan dari berbagai pihak. Oleh karena itu, penulis mengucapkan terima kasih yang sebesar-besarnya kepada :

1. Bapak Musta'in Arif, ST., MT selaku dosen pembimbing I atas bimbingan dan ilmu yang sangat banyak dalam penggerjaan dan penyelesaian Tugas Akhir ini.
2. Prof. Ir. Noor Endah, MSc., Ph.D selaku dosen pembimbing II atas bimbingan dan ilmu yang sangat banyak dalam penggerjaan dan penyelesaian Tugas Akhir ini.
3. Kedua orangtua Penulis, Bapak Sidik Abdullah dan Ibu Umi Hanik atas motivasi dan doa tiada henti.
4. Segenap dosen jurusan teknik sipil ITS, khususnya dosen bidang geoteknik yang telah memberi ilmu pelajaran, kritik, dan masukan selama masa perkuliahan penulis.
5. Teman-teman penulis yaitu HMJ, Dheny, Fariz, Nurma, Azmi, Karim, Mas Revi, dan Lita yang senantiasa memberi dukungan, doa, maupun bantuan lainnya kepada penulis.
6. Teman-teman jurusan teknik sipil ITS angkatan 2012 yang telah memberi dukungan dan semangat dalam penyelesaian laporan ini.
7. Rekan-rekan satu bidang geoteknik yang senantiasa berdiskusi dan berbagi ilmu selama penggerjaan Tugas Akhir ini.
8. Semua pihak yang telah membantu yang tidak dapat penulis sebutkan satu per satu.

Walaupun jauh dari sempurna harapan saya semoga Tugas Akhir ini dapat memberikan manfaat dan menambah wawasan bagi rekan-rekan sedisiplin ilmu. Penulis juga memohon maaf atas kekurangan yang ada pada laporan ini.
Wassalamualaikum wr. Wb.

Surabaya, Juni 2016

Penulis

DAFTAR ISI

| | |
|--|-------|
| HALAMAN JUDUL | i |
| LEMBAR PENGESAHAN | iii |
| ABSTRAK | iv |
| KATA PENGANTAR | viii |
| DAFTAR ISI | x |
| DAFTAR GAMBAR | xiv |
| DAFTAR TABEL | xviii |
| DAFTAR LAMPIRAN | xxii |
| BAB I PENDAHULUAN | 1 |
| 1.1 Latar Belakang | 1 |
| 1.2 Rumusan Masalah | 12 |
| 1.3 Tujuan | 12 |
| 1.4 Batasan Masalah | 13 |
| 1.5 Manfaat | 13 |
| BAB II TINJAUAN PUSTAKA | 15 |
| 2.1 Pengambilan Data Tanah | 15 |
| 2.2 Analisa Parameter Tanah | 15 |
| 2.2.1 Pembuatan stratigrafi | 15 |
| 2.2.2 Pemilihan parameter tanah | 16 |
| 2.3 Permasalahan Pembangunan Konstruksi di Atas Tanah Lunak | 18 |
| 2.4 Pemampatan Konsolidasi (<i>Consolidation Settlement</i>) | 18 |
| 2.4.1 Besar konsolidasi | 18 |
| 2.4.2 Waktu konsolidasi | 23 |
| 2.5 Percepatan Waktu Konsolidasi dengan <i>Vertical Drain</i> | 24 |
| 2.5.1 Percepatan waktu konsolidasi dengan PVD | 24 |
| 2.6 Daya Dukung Tanah Dasar | 27 |
| 2.6.1 Penentuan tinggi timbunan kritis (H_{cr}) | 27 |
| 2.6.2 Perkuatan tanah dengan <i>Geotextile</i> | 27 |
| 2.6.3 Perkuatan tanah dengan cerucuk/ <i>micropile</i> | 39 |

| | |
|---|-----------|
| 2.6.4 Perkuatan tanah dengan kombinasi <i>multiblocks</i> dan <i>geogrid</i> | 44 |
| 2.7 Peningkatan Daya Dukung Tanah | 44 |
| 2.8 Perhitungan Stabilitas Timbunan Sesudah Pemampatan..... | 46 |
| 2.9 Perencanaan <i>Abutment</i> Jembatan..... | 47 |
| 2.9.1 Pembebanan <i>abutment</i> jembatan..... | 47 |
| 2.9.2 Kontrol stabilitas <i>abutment</i> | 48 |
| 2.10 Perumusan Daya Dukung Pondasi Tiang Pancang..... | 49 |
| 2.10.1 Perencanaan daya dukung tiang pancang berdasarkan SPT lapangan..... | 50 |
| 2.10.2 Kapasitas daya dukung kelompok tiang Pacang..... | 51 |
| 2.10.3 Ketahanan pondasi tiang pancang terhadap gaya lateral | 52 |
| BAB III METODOLOGI | 59 |
| 3.1 Bagan Alir | 59 |
| 3.2 Studi Literatur..... | 60 |
| 3.3 Pengumpulan dan Analisa Data..... | 61 |
| 3.4 Perhitungan Beban..... | 61 |
| 3.5 Menghitung Pemampatan Tanah yang Terjadi..... | 61 |
| 3.6 Merencanakan Jenis Perbaikan Tanah Dasar | 62 |
| 3.7 Merencanakan Timbunan Oprit Jembatan..... | 62 |
| 3.8 Merencanakan <i>Abutment</i> dan Pondasi | 62 |
| 3.9 Kesimpulan dan Saran | 63 |
| BAB IV DATA DAN ANALISA | 65 |
| 4.1 Data Tanah..... | 65 |
| 4.2 Analisa Parameter Tanah..... | 65 |
| 4.3 Data Timbunan Oprit..... | 70 |
| 4.4 Data Jembatan..... | 70 |
| 4.5 Data Tiang Pancang | 70 |
| 4.6 Data <i>Geotextile</i> | 71 |
| 4.7 Data <i>Micropile</i> | 71 |
| 4.8 Data <i>Vertical Drain</i> | 71 |
| 4.9 Data <i>Multiblocks</i> | 71 |

| | |
|--|-----------|
| 4.10 Data <i>Geogrid</i> | 72 |
| BAB V PERENCANAAN DAN PEMILIHAN | |
| ALTERNATIF | 73 |
| 5.1 Perhitungan Besar Pemampatan (Sc) dan Tinggi Timbunan Awal (H initial)..... | 73 |
| 5.1.1 Alternatif 1 (timbunan miring)..... | 73 |
| 5.1.2 Alternatif 2 (timbunan tegak)..... | 80 |
| 5.2 Perencanaan Perbaikan Tanah dengan PVD | 81 |
| 5.2.1 Perhitungan waktu konsolidasi (t)..... | 81 |
| 5.2.2 Perencanaan <i>Prefabricated Vertical Drain</i> (PVD) | 82 |
| 5.3 Alternatif Perencanaan Perkuatan <i>Geotextile</i> (Alternatif 1)..... | 88 |
| 5.3.1 Penentuan tinggi timbunan kritis (Hcr)..... | 88 |
| 5.3.2 Perhitungan peningkatan kohesi undrained (Cu) | 89 |
| 5.3.3 Pemampatan konsolidasi pada penimbunan bertahap..... | 92 |
| 5.3.4 Perencanaan <i>geotextile</i> sebagai perkuatan timbunan arah melintang..... | 93 |
| 5.4 Alternatif Perencanaan Kombinasi <i>Geogrid</i> dan <i>Multiblocks</i> sebagai Perkuatan Timbunan Arah Melintang | 100 |
| 5.4.1 Perhitungan peningkatan kohesi undrained (Cu) | 100 |
| 5.4.2 Pemampatan konsolidasi pada penimbunan bertahap..... | 101 |
| 5.4.3 Perencaan <i>multiblocks</i> dan <i>geogrid</i> | 102 |
| 5.4.4 Perkuatan <i>Micropile</i> /cerucuk untuk arah melintang..... | 110 |
| 5.5 Perencaan <i>Geotextile Wall</i> Arah Memanjang Jalan | 115 |
| 5.5.1 Perencaan <i>geotextile wall</i> | 116 |
| 5.5.2 Perkuatan <i>micropile</i> /cerucuk untuk arah memanjang jalan | 117 |
| 5.6 Perencanaan <i>Abutment</i> dan Pondasi <i>Abutment</i> | 118 |

| | |
|---|-----|
| 5.6.1 Pembebanan <i>abutment</i> | 118 |
| 5.6.2 Kontrol stabilitas <i>abutment</i> | 138 |
| 5.6.3 Perencanaan tiang pancang | 139 |
| 5.6.4 Perhitungan penulangan <i>abutment</i> | 145 |
| 5.7 Pemilihan Alternatif Berdasarkan Biaya Material Termurah..... | 147 |
| 5.7.1 Perhitungan total biaya material pada alternatif 1 | 147 |
| 5.7.2 Perhitungan total biaya material pada alternatif 2 | 148 |
| 5.7.3 Perhitungan total biaya material tiang pancang | 150 |
| BAB VI KESIMPULAN DAN SARAN..... | 153 |
| 6.1 Kesimpulan..... | 153 |
| 6.2 Saran..... | 155 |
| DAFTAR PUSTAKA..... | 157 |
| LAMPIRAN | 159 |
| BIODATA PENULIS..... | 297 |

DAFTAR GAMBAR

| | | |
|-------------|---|----|
| Gambar 1.1 | Peta Desa Prambatan, Kecamatan Abab, Kabupaten Muara Enim, Propinsi Sumatera Selatan..... | 2 |
| Gambar 1.2 | Tampak samping dan denah rencana jembatan panjang 25 m & lebar 4.50 m | 3 |
| Gambar 1.3 | Retaining Wall di tepi timbunan jalan 5 m..... | 3 |
| Gambar 1.4 | Alat Pancang <i>Drop Hammer</i> dan Ponton | 4 |
| Gambar 1.5 | <i>Abutment</i> Jembatan Ambles sampai 4 meter.... | 5 |
| Gambar 1.6 | Runtuhan <i>Wing Wall</i> | 5 |
| Gambar 1.7 | Patahnya Tiang Pancang | 6 |
| Gambar 1.8 | Data Tanah Hasil Analisa..... | 7 |
| Gambar 1.9 | Hubungan N-SPT dengan Kedalaman di Lokasi Jembatan Runtuh | 8 |
| Gambar 1.10 | Analisa Daya Dukung Pondasi Akibat Adanya <i>Negative Skin Friction</i> | 8 |
| Gambar 1.11 | Rencana dan Realisasi Posisi/Koordinat Tiang Pancang di bawah <i>Abutment</i> | 9 |
| Gambar 1.12 | Dasar <i>Abutment</i> Melayang dan sambungan pada tiang pancang | 10 |
| Gambar 2.1 | Visualisasi dan Notasi ΔP | 20 |
| Gambar 2.2 | Grafik faktor pengaruh untuk beban bentuk Persegi | 21 |
| Gambar 2.3 | Korelasi q <i>traffic</i> dengan Tinggi Timbunan Rencana | 22 |
| Gambar 2.4 | Pola susunan PVD bujur sangkar | 25 |
| Gambar 2.5 | Pola susunan PVD segitiga | 25 |
| Gambar 2.6 | <i>Equivalen</i> diameter (dw) untuk PVD | 26 |
| Gambar 2.7 | Model Kelongsoran untuk <i>Overall Stability</i> ... | 28 |
| Gambar 2.8 | Gaya-gaya yang Bekerja untuk <i>Overall Stability</i> | 28 |
| Gambar 2.9 | <i>Geotextile</i> Dinding Penahan Tanah..... | 31 |
| Gambar 2.10 | Prinsip Beban yang Bekerja pada <i>Geotextile</i> <i>Wall</i> | 34 |

| | | |
|-------------|--|----|
| Gambar 2.11 | <i>External Stability</i> pada <i>Geotextile Walls</i> | |
| (a) | Aman terhadap geser | 36 |
| (b) | Aman terhadap geser | |
| (c) | Aman terhadap kelongsoran daya dukung | |
| Gambar 2.12 | Asumsi Gaya yang Diterima Cerucuk | 39 |
| Gambar 2.13 | Harga f untuk Berbagai Jenis Tanah | 40 |
| Gambar 2.14 | Grafik untuk Mencari Harga F_M | 43 |
| Gambar 2.15 | Contoh Pemasangan <i>Multiblocks</i> dan <i>Geogrid</i> | 44 |
| Gambar 2.16 | Pembagian Zona Kekuatan Tanah | 46 |
| Gambar 2.17 | Prosedur Desain untuk Masing-Masing Kondisi | 54 |
| Gambar 2.18 | Koefisien-Koefisien untuk Tiang Pancang yang Menerima Beban Lateral pada Kondisi I | 55 |
| Gambar 2.19 | Koefisien-Koefisien untuk Tiang Pancang yang Menerima Beban Lateral pada Kondisi II | 56 |
| Gambar 2.20 | Koefisien-Koefisien untuk Tiang Pancang yang Menerima Beban Lateral pada Kondisi III | 57 |
| Gambar 3.1 | Diagram Alir Tugas Akhir | 59 |
| Gambar 4.1 | <i>Layout</i> Lokasi Titik Bor | 65 |
| Gambar 4.2 | Hubungan N-SPT dan Kedalaman | 66 |
| Gambar 4.3 | Grafik parameter tanah menurut kedalaman | |
| | (a) Berat Jenis Tanah Jenuh, (b)Kuat Geser Tanah, (c) Kadar Air, (d) <i>Specific Gravity</i> , (e) <i>Liquid Limit</i> , (f) Indeks Plastisitas, (g)Koefisien Konsolidasi, (h) Indeks Kompresi | |
| Gambar 4.4 | Potongan Melintang Girder Jembatan dan Detail | 68 |
| Gambar 4.5 | Dimensi Modular <i>Concrete Block</i> | 72 |
| Gambar 5.1 | Pembagian Lapisan Tanah Dasar Setiap 1m | 73 |
| Gambar 5.2 | Grafik Hubungan H_{final} dengan $H_{initial}$ (Alternatif 1) | 79 |
| Gambar 5.3 | Grafik Hubungan H_{final} dengan Settlement (Alternatif 1) | 79 |

| | | |
|-------------|--|-----|
| Gambar 5.4 | Grafik Hubungan Hfinal dengan Hinitial (Alternatif 2)..... | 80 |
| Gambar 5.5 | Grafik Hubungan Hfinal dengan Settlement (Alternatif 2)..... | 81 |
| Gambar 5.6 | Grafik Hubungan Derajat Konsolidasi (U) dengan Waktu Timbunan dengan PVD Pola Segiempat..... | 85 |
| Gambar 5.7 | Grafik Hubungan Derajat Konsolidasi (U) dengan Waktu Timbunan dengan PVD Pola Segitiga..... | 87 |
| Gambar 5.8 | Settlement tiap tahapan timbunan PVD segitiga dengan jarak 1,25 m untuk zona 1 (Alternatif 1)..... | 92 |
| Gambar 5.9 | Settlement tiap tahapan timbunan PVD segitiga dengan jarak 1,25 m untuk zona 2 (Alternatif 1). | 92 |
| Gambar 5.10 | Pembagian Zona Simulasi Program XSTABL pada Timbunan Jalan..... | 93 |
| Gambar 5.11 | Gambar Hasil Analisis Kelongsoran a) zona 1; b) zona 2 pada Alternatif 1 | 95 |
| Gambar 5.12 | Sketsa Pemasangan <i>Geotextile</i> (a)Zona 1,(b) Zona 2..... | 100 |
| Gambar 5.13 | Settlement tiap tahapan timbunan PVD segitiga dengan jarak 1,25 m untuk zona 1 (Alternatif 2)..... | 101 |
| Gambar 5.14 | Settlement tiap tahapan timbunan PVD segitiga dengan jarak 1,25 m untuk zona 1 (Alternatif 2)..... | 102 |
| Gambar 5.15 | Sketsa Pemasangan Multiblock dan Geogrid (a) Zona 1 (b) Zona 2 | 110 |
| Gambar 5.16 | Sebesar SF Rencana (Zona 1) | 112 |
| Gambar 5.17 | Sketsa Pemasangan <i>Geotextile Wall</i> pada (a) Alternatif 1, (b) Alternatif 2 | 117 |
| Gambar 5.18 | Gambar Struktur Atas | 119 |
| Gambar 5.19 | Perencanaan Awal Abutment..... | 120 |

| | | |
|-------------|---|-----|
| Gambar 5.20 | Berat Struktur Bawah (a) Berat <i>Abutment</i> (b) Berat Tanah di atas Abutment (c) Berat <i>WingWall</i> | 122 |
| Gambar 5.21 | Beban Lajur “D” | 125 |
| Gambar 5.22 | BTR vs Panjang yang Dibebani | 125 |
| Gambar 5.23 | Penyebaran Pembebaan pada Arah <i>Melintang</i> | 126 |
| Gambar 5.24 | Faktor Beban Dinamis (FBD) untuk Beban BGT (sumber: RSNI T-02-2005) | 126 |
| Gambar 5.25 | Pembebaan Pejalan Kaki | 127 |
| Gambar 5.26 | Gaya Akibat Beban Rem | 128 |
| Gambar 5.27 | Skema Pengaruh Temperatur | 130 |
| Gambar 5.28 | Skema Pengaruh Angin terhadap Struktur Jembatan | 131 |
| Gambar 5.29 | Koefisien Geser Dasar (C) | 135 |

DAFTAR TABEL

| | | |
|------------|---|----|
| Tabel 2.1 | Korelasi N-SPT dan Konsistensi Tanah (untuk tanah dominan lanau dan lempung)..... | 17 |
| Tabel 2.2 | Nilai luas kurva normal untuk nilai t | 17 |
| Tabel 2.3 | Variasi Faktor Waktu Terhadap Derajat Konsolidasi | 24 |
| Tabel 2.4 | <i>Safety Factor</i> untuk <i>slope</i> baru (diadaptasi dari GEO, 1984)..... | 29 |
| Tabel 2.5 | Resiko Keselamatan (diadaptasi dari GEO, 1984) 30 | |
| Tabel 2.6 | Angka Kemanaan untuk Menghitung T_{allow} | 30 |
| Tabel 2.7 | Hambatan antar Tanah dan pondasi..... | 38 |
| Tabel 2.8 | Harga N_y , N_c , N_q (Caquot dan Kerisel) | 38 |
| Tabel 2.9 | Model Persamaan Cerucuk Untuk Masing- masing Variasi Perlakuan..... | 42 |
| Tabel 2.10 | Tahapan Penimbunan..... | 45 |
| Tabel 2.11 | Contoh Perhitungan Tegangan Vertikal efektif .. | 46 |
| Tabel 4.1 | Parameter Dasar Tanah..... | 69 |
| Tabel 4.2 | Hasil Perhitungan Parameter e dan C_s | 70 |
| Tabel 5.1 | Hasil Perhitungan H initial, H Bongkar Traffic dan H final Alternatif 1 | 78 |
| Tabel 5.2 | Hasil Perhitungan H initial, H Bongkar Traffic dan H final Alternatif 2 | 80 |
| Tabel 5.3 | Perubahan Tegangan Efektif Tanah di Zona 1 Akibat Penimbunan $H = 3,2$ m (Minggu ke-8) pada $U=100\%$ | 90 |
| Tabel 5.4 | Perhitungan ΔP_{ui} pada Lapisan 1 | 90 |
| Tabel 5.5 | Hasil Perhitungan ΔP_{ui} tiap lapisan pada $U < 100\%$ | 91 |
| Tabel 5.6 | Hasil Perhitungan Peningkatan Nilai C_u minggu ke-8 | 91 |
| Tabel 5.7 | Kombinasi Zona Initiation dan Termination pada Analisis Program Bantu XSTABL (Alternatif 1) | 94 |

| | | |
|------------|---|-----|
| Tabel 5.8 | Hasil Kombinasi untuk Timbunan Oprit pada Zona 1 | 94 |
| Tabel 5.9 | Hasil Kombinasi untuk Timbunan Oprit pada Zona 2 | 94 |
| Tabel 5.10 | Hasil Perhitungan Jumlah Kebutuhan <i>Geotextile</i> pada Zona 1..... | 98 |
| Tabel 5.11 | Hasil Perhitungan Jumlah Kebutuhan <i>Geotextile</i> pada Zona 2..... | 98 |
| Tabel 5.12 | Hasil Perhitungan Panjang <i>Geotextile</i> pada Zona 1 | 99 |
| Tabel 5.13 | Hasil Perhitungan Peningkatan Cu minggu ke-12 | 101 |
| Tabel 5.14 | Perhitungan Jarak Antar Geogrid (Zona 1)..... | 103 |
| Tabel 5.15 | Hasil Perhitungan Panjang Geogrid (Zona 1).... | 105 |
| Tabel 5.16 | Hasil Perhitungan Tekanan Tanah (Zona 1) | 105 |
| Tabel 5.17 | Hasil Perhitungan Beban Tanah pada Geogrid (Zona1) | 106 |
| Tabel 5.18 | Hasil Perhitungan Beban Multiblocks (Zona 1) . | |
| Tabel 5.19 | Perhitungan Momen Dorong (Zona 1)..... | 106 |
| Tabel 5.20 | Perhitungan Momen Penahan (Zona 1) | 106 |
| Tabel 5.21 | Perhitungan Gaya Penahan | 107 |
| Tabel 5.22 | Perhitungan Gaya Pendorong | 107 |
| Tabel 5.23 | Rekapitulasi Kebutuhan Geogrid, Multiblocks, Dan <i>Geotextile</i> (Zona 1) | 108 |
| Tabel 5.24 | Rekapitulasi Kebutuhan Geogrid, Multiblocks, Dan <i>Geotextile</i> (Zona 2) | 109 |
| Tabel 5.25 | Spesifikasi <i>Micropile</i> yang digunakan..... | 112 |
| Tabel 5.26 | Rekpitulasi Hasil Perhitungan Kebutuhan Cerucuk Zona 1..... | 115 |
| Tabel 5.27 | Rekpitulasi Hasil Perhitungan Kebutuhan Cerucuk Zona 2..... | 115 |
| Tabel 5.28 | Hasil Perhitungan Kebutuhan Cerucuk Arah Memanjang jalan (Alternatif 1) | 118 |
| Tabel 5.29 | Hasil Perhitungan Kebutuhan Cerucuk Arah Memanjang jalan (Alternatif 2) | 118 |

| | | |
|------------|--|-----|
| Tabel 5.30 | Perhitungan Berat Sendiri Struktur Atas..... | 119 |
| Tabel 5.31 | Perhitungan Berat Sendiri Struktur Bawah..... | 123 |
| Tabel 5.32 | Total Berat Sendiri..... | 123 |
| Tabel 5.33 | Berat Mati Tambahan | 124 |
| Tabel 5.34 | Temperatur Jembatan Rata-rata Nominal | 129 |
| Tabel 5.35 | Koefisien Perpanjangan Akibat Suhu | 129 |
| Tabel 5.36 | Koefisien Seret C_w | 131 |
| Tabel 5.37 | Kecepatan Angin Rencana V_w | 131 |
| Tabel 5.38 | Kondisi Tanah untuk Koefisien Geser Dasar..... | 134 |
| Tabel 5.39 | Faktor kepentingan | 135 |
| Tabel 5.40 | Distribusi Beban Gempa..... | 136 |
| Tabel 5.41 | Kombinasi Beban untuk Perencanaan Tegangan Kerja | 137 |
| Tabel 5.42 | Rekap Hasil Perhitungan Pembebanan <i>Abutment</i> | 138 |
| Tabel 5.43 | Hasil Perhitungan Kombinasi Pembebanan <i>Abutment</i> | 138 |
| Tabel 5.44 | Stabilitas Guling Arah X..... | 139 |
| Tabel 5.45 | Stabilitas Guling Arah Y..... | 139 |
| Tabel 5.46 | Hasil Perhitungan Kombinasi Tiang Pancang D30 dan D40..... | 140 |
| Tabel 5.47 | Hasil Perhitungan P_{max} Tiang Pancang pada <i>Abutment</i> | 141 |
| Tabel 5.48 | Perhitungan Daya Dukung Tiang dalam <i>Group</i> . | 142 |
| Tabel 5.49 | Hasil Perhitungan Kontrol Kuat Tekan D30..... | 142 |
| Tabel 5.50 | Hasil Perhitungan Kontrol Kuat Tekan D40..... | 142 |
| Tabel 5.51 | Hasil Perhitungan Kontrol Gaya Lateral..... | 144 |
| Tabel 5.52 | Hasil Perhitungan Kontrol Momen D30 | 144 |
| Tabel 5.53 | Hasil Perhitungan Kontrol Momen D40 | 144 |
| Tabel 5.54 | Total Kebutuhan dan Biaya Material pada Alternatif 1 | 147 |
| Tabel 5.55 | Perhitungan Kebutuhan Total dan Total Biaya <i>Geotextile</i> | 148 |
| Tabel 5.56 | Perhitungan Kebutuhan Total dan Total Biaya <i>Geotextile Wall</i> dan <i>Micropile</i> | 148 |

| | | |
|------------|---|-----|
| Tabel 5.57 | Perhitungan Kebutuhan Total dan Total Biaya PVD | 148 |
| Tabel 5.58 | Perhitungan Kebutuhan Total dan Total Biaya Material Timbunan | 148 |
| Tabel 5.59 | Total Kebutuhan dan Biaya Material pada Alternatif 2..... | 149 |
| Tabel 5.60 | Perhitungan Kebutuhan Total dan Total Biaya Multiblock, Geogrid, dan <i>Micropile</i> /cerucuk untuk Timbunan Melintang | 149 |
| Tabel 5.61 | Perhitungan Kebutuhan Total dan Total Biaya <i>Geotextile Wall</i> dan <i>Micropile</i> /cerucuk | 150 |
| Tabel 5.62 | Perhitungan Kebutuhan Total dan Total Biaya PVD | 150 |
| Tabel 5.63 | Perhitungan Kebutuhan Total dan Total Biaya Material Timbunan | 150 |
| Tabel 5.64 | Total Kebutuhan dan Biaya Tiang Pancang..... | 150 |

DAFTAR LAMPIRAN

| | | |
|-------------|---|-----|
| Lampiran 1 | ANALISA STATISTIK PARAMETER TANAH..... | 159 |
| Lampiran 2 | BROSUR-BROSUR BAHAN MATERIAL YANG DIPAKAI..... | 163 |
| Lampiran 3 | PERHITUNGAN BESAR PEMAMPATAN (S_c) DAN TINGGI TIMBUNAN AWAL ($H_{INITIAL}$)..... | 173 |
| Lampiran 4 | WAKTU KONSOLIDASI DAN PERCEPATAN WAKTU KONSOLIDASI DENGAN PVD | 197 |
| Lampiran 5 | PEMAMPATAN KONSOLIDASI DAN PENINGKATAN DAYA DUKUNG TANAH AKIBAT TIMBUNAN BERTAHAP (ALTERNATIF 1) | 205 |
| Lampiran 6 | PERHITUNGAN PERENCANAAN PERKUATAN GEOTEXTILE UNTUK TIMBUNAN MELINTANG (ALTERNATIF 1) | 227 |
| Lampiran 7 | PEMAMPATAN KONSOLIDASI DAN PENINGKATAN DAYA DUKUNG TANAH AKIBAT TIMBUNAN BERTAHAP (ALTERNATIF 2) | 235 |
| Lampiran 8 | PERHITUNGAN PERENCANAAN PERKUATAN KOMBINASI MULTIBLOCKS, GEOGRID, DAN MICROPILE/CERUCUK UNTUK TIMBUNAN MELINTANG (ALTERNATIF 2) | 257 |
| Lampiran 9 | PERHITUNGAN PERENCANAAN PERKUATAN GEOTEXTILE WALL DAN MICROPILE/CERUCUK UNTUK ARAH MEMANJANG | 269 |
| Lampiran 10 | PERENCANAAN TIANG PANCANG | 277 |
| Lampiran 11 | GAMBAR-GAMBAR PERENCANAAN..... | 283 |

Halaman ini sengaja dikosongkan

Halaman ini sengaja dikosongkan

BAB I

PENDAHULUAN

1.1 Latar Belakang

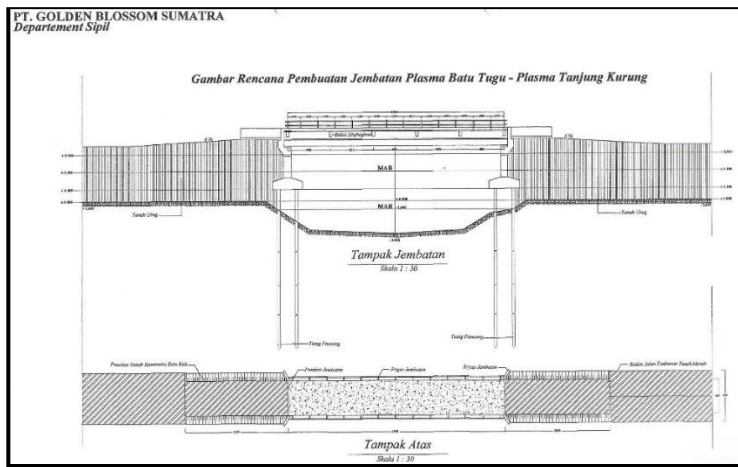
Jembatan sebagai sarana transportasi mempunyai peranan yang sangat penting bagi kelancaran pergerakan lalu lintas dan peningkatan pertumbuhan ekonomi, khususnya di daerah yang jauh dari perkotaan dan sedang berkembang. Di negara berkembang seperti Indonesia sangat dibutuhkan sarana transportasi seperti jembatan untuk meningkatkan pertumbuhan ekonomi. Salah satunya pada Desa Prambatan dan Desa Tanjung Kurung, Kecamatan Abab, Kabupaten Muara Enim, Propinsi Sumatera Selatan (Gambar 1.1). Desa ini terletak sekitar 183 km dari Kota Palembang (sekitar 1-2 jam perjalanan dengan *speed boat* dari Palembang). Kawasan ini memiliki perkebunan kelapa sawit yang cukup luas yang menjadi andalan ekonomi bagi warga Desa Prambatan dan warga Desa Tanjung Kurung.

PT. Goldem Blossom Sumatera merupakan produsen kelapa sawit (Plasma) terbesar di Kecamatan Abab. Di daerah ini, terdapat sungai yang memisahkan Desa Prambatan (Dusun Batu Tugu) dan Desa Tanjung Kurung. Sungai ini bersifat periodik dimana pada musim kemarau sungai ini tidak berair sehingga pengangkutan kelapa sawit tidak mengalami kesulitan. Namun pada saat musim hujan, muka air banjir di sungai ini mencapai elevasi +3.4 meter yang menyebabkan pengangkutan kelapa sawit diberhentikan sampai air surut atau dilakukan pengangkutan menggunakan perahu. Hal ini dinilai tidak efektif karena memakan waktu yang lama sehingga dibutuhkan sebuah jembatan untuk mempercepat pengangkutan buah kelapa sawit PT. Golden Blossom Sumatera dari Batu Tugu, Desa Prambatan menuju Desa Tanjung Kurung. Maka dari itu, PT. Golden Blossom Departemen Sipil melaksanakan pembangunan jembatan pada lokasi tersebut. Diharapkan dengan adanya jembatan penghubung tersebut roda ekonomi di kecamatan Abab akan meningkat.

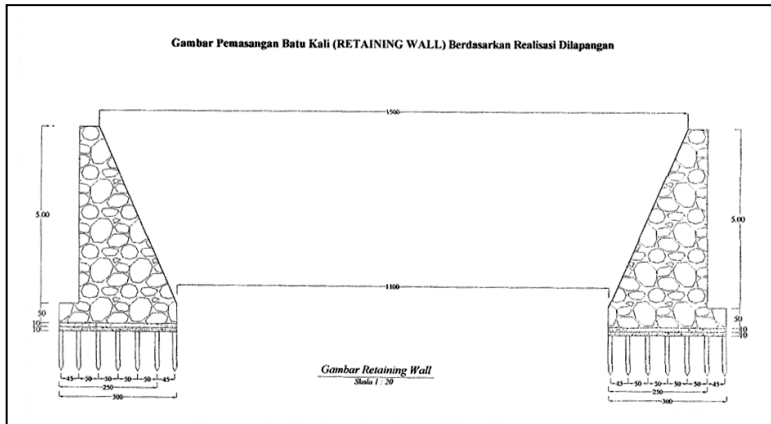


Gambar 1.1 Peta Desa Prambatan, Kecamatan Abab, Kabupaten Muara Enim, Propinsi Sumatera Selatan (Sumber : www.google.com)

Jembatan Plasma Batu Tugu - Plasma Tanjung Kurung mempunyai panjang 25 meter dan lebar 4.5 meter (Gambar 1.2) dengan jenis jembatan beton girder. Tinggi timbunan oprit direncanakan setinggi 6 meter agar jalan tidak terendam ketika tinggi air mencapai kondisi muka air banjir dengan pemasangan batu kali sebagai dinding penahan /*retaining wall* setinggi 5 meter (Gambar 1.3). Jembatan ini menggunakan jenis pondasi tiang pancang direncanakan bentuk persegi ukuran 35 cm x 35 cm panjang 12 meter dengan adanya penyambungan. Pemancangan dilakukan dengan menggunakan *drop hammer* dan ponton (Gambar 1.4).



Gambar 1.2 Tampak Samping dan Denah Rencana Jembatan Panjang 25 m & Lebar 4.50 m



Gambar 1.3 Retaining Wall di tepi Timbunan Jalan 5 m
(Sumber : PT. GBS)



Gambar 1.4 Alat Pancang *Drop Hammer* dan Ponton

Pada saat proses pelaksanaan, pemasangan pondasi, *abutment*, dan jembatan dilakukan sebelum penimbunan tanah timbunan jalan pada oprit jembatan. Pada saat pekerjaan timbunan di salah satu sisi oprit jembatan, terjadi keruntuhan pada *abutment* jembatan. *Abutment* ambles sampai kurang lebih 4 meter (Gambar 1.5) dan *wing wall* yang sebelumnya telah terpasang juga mengalami kerobohan ke arah sungai (Gambar 1.6). Tekanan tanah oprit di belakang *abutment* juga menyebabkan *abutment* terdorong ke arah sungai. Sedangkan *abutment* pada sisi satunya terdorong oleh jembatan yang runtuhan sehingga *abutment* guling ke arah timbunan. Runtuhnya jembatan ini juga menyebabkan patahnya pondasi tiang pancang dibawah *abutment* (Gambar 1.7). Kerusakan-kerusakan ini membuat kerugian pada PT Golden Blossom Sumatera karena jembatan runtuh pada saat pelaksanaan dan belum sempat beroperasi. Hal ini menunjukkan bahwa terjadi kesalahan perencanaan dari awal yang menyebabkan jembatan runtuh bahkan sebelum selesai dibangun.



Gambar 1.5 *Abutment Jembatan Ambles sampai 4 meter*
(Sumber: PT. GBS)



Gambar 1.6 Runtuhnya *Wing Wall*
(Sumber : PT. GBS)



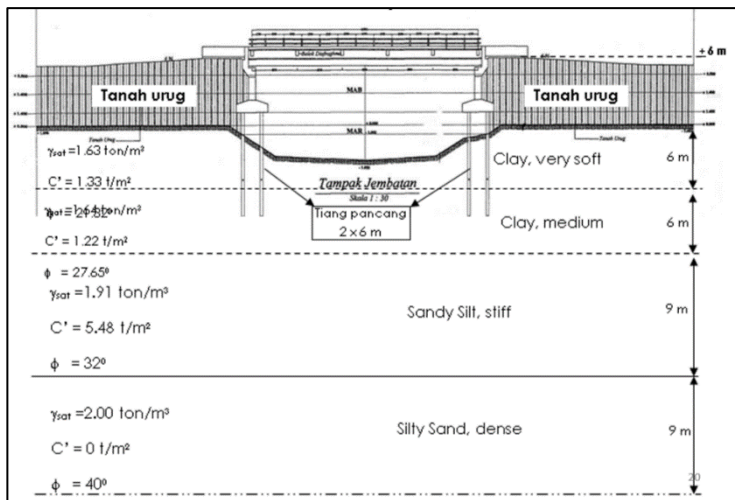
Gambar 1.7 Patahnya Tiang Pancang
 (Sumber : PT. GBS)

PT. Golden Blossom Sumatera kemudian meminta kepada Tim Kemitraan ITS untuk melakukan pengetesan dan penyusunan analisa awal terhadap kondisi ini. Hasil analisa dan rekomendasi tersebut adalah sebagai berikut :

1. Dilakukan pengambilan sampel di 2 titik lokasi tersebut dan didapatkan data tanah sebagai berikut:

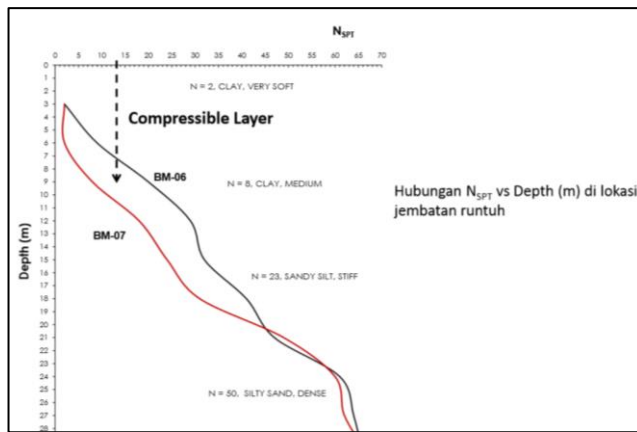
- Tipe tanah pada BM-06 pada kedalaman 1 - 10 meter memiliki N-SPT diantara 1 - 20 (*very soft* sampai *stiff*) dengan kondisi tanah lempung.
- Tipe tanah pada BM-07 pada kedalaman 1 – 15.5 meter memiliki N-SPT diantara 1-24 (*very soft* sampai *stiff*) dengan kondisi tanah lempung.

Dari kedua data tanah disimpulkan bahwa jenis tanah pada lokasi merupakan tanah lempung lunak yang berarti daya dukung rendah dan memiliki kemampuan pampatan yang tinggi. Hasil analisa data tanah BM 07 dapat dilihat pada Gambar 1.8.



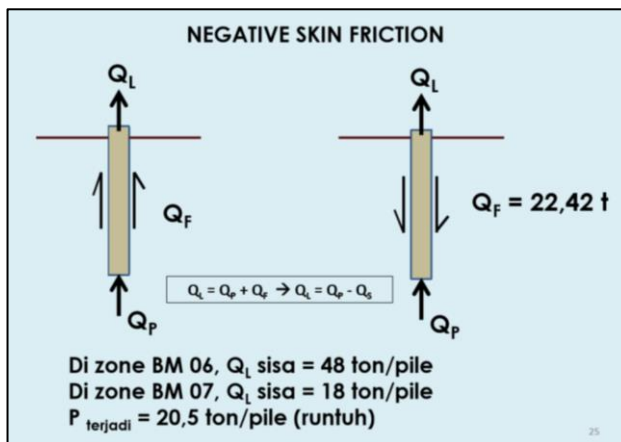
Gambar 1.8 Data Tanah Hasil Analisa
 (Sumber : Penelitian Keruntuhan Jembatan Beton PT. Golden Blossom Sumatera)

2. Didapatkan bahwa pemancangan dilakukan sampai kedalaman 9 meter dari elevasi ±0.00 dan dengan panjang total tiang pancang sebesar 12 meter dimana nilai N-SPT pada lapisan tanah pada ujung tiang tersebut adalah 8 (*medium*) dengan jenis tanah *clay* (Gambar 1.9). Setelah di analisa, disimpulkan bahwa pemasangan tiang pancang tidak memenuhi syarat dalam hal kedalaman yang kurang sehingga daya dukung untuk tiang pancang (*Q_l*) kecil, diameter yang digunakan juga kurang besar, jumlah tiang dalam group kurang. Nilai *Q_l* kecil juga disebabkan oleh kesalahan urutan metode pelaksanaan dimana pemasangan tiang pancang dilakukan sebelum penimbunan sehingga menyebabkan adanya pengaruh *negative skin friction* akibat gesekan ke bawah antara pondasi dan tanah (Gambar 1.10). Gesekan ke bawah ini disebabkan adanya penurunan tanah akibat beban timbunan sehingga menyebabkan daya dukung pondasi berkurang dan kemudian menyebabkan keruntuhan jembatan.



Gambar 1.9 Hubungan N-SPT dengan Kedalaman di Lokasi Jembatan Runtuh

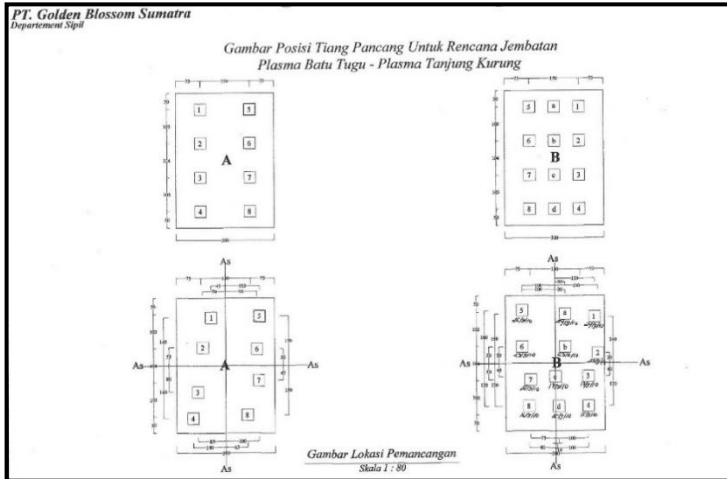
(Sumber : Penelitian Keruntuhan Jembatan Beton PT. Golden Blossom Sumatera)



Gambar 1.10 Analisa Daya Dukung Pondasi Akibat Adanya Negative Skin Friction

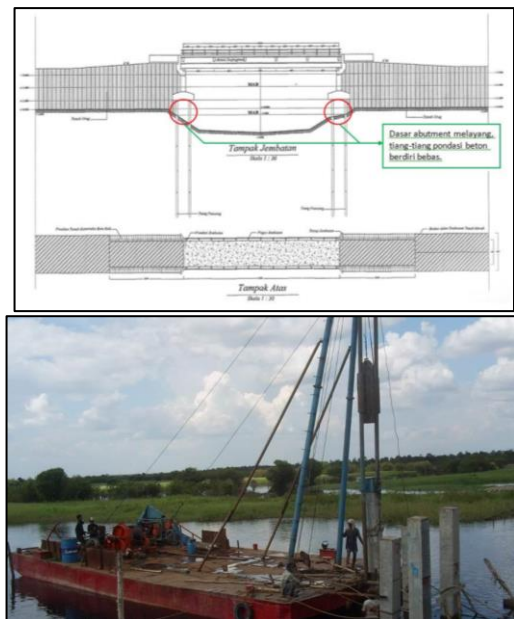
(Sumber : Penelitian Keruntuhan Jembatan Beton PT. Golden Blossom Sumatera)

3. Pemasangan tiang pancang tidak sesuai dengan posisi/koordinat tiang pancang yang direncanakan (Gambar 1.11) sehingga penyaluran beban dinilai tidak merata dan menyebabkan ketidakstabilan *abutment*.



Gambar 1.11 Rencana dan Realisasi Posisi/Koordinat Tiang Pancang di bawah *Abutment* (PT. GBS)

4. Pada perencanaan sebelumnya, elevasi *abutment* direncanakan melayang (pondasi berdiri bebas). Hal tersebut dinilai semakin memperparah keruntuhan karena pondasi harus menahan gaya horizontal tanah di belakangnya serta beban *abutment* sedangkan pondasi lemah terhadap gaya *horizontal*. Selain itu juga terdapat sambungan pada tiang pancang tanpa tulangan sengkang yang berarti mengurangi kekuatan tiang pancang(Gambar 1.12).



Gambar 1.12 Sambungan Dasar *Abutment* dan Tiang Pancang
 (Sumber : Penelitian Keruntuhan Jembatan Beton PT. Golden Blossom Sumatera)

5. Tim Kemitraan ITS menilai bahwa metode dan urutan pekerjaan *abutment*, tiang-tiang pondasi dan penimbunan tanah relatif tidak benar. Seharusnya pada pelaksanaannya dilakukan penimbunan tanah terlebih dahulu hingga mencapai kestabilan dan kemudian dilanjutkan dengan pekerjaan pondasi dan *abutment*.
6. Untuk perencanaan ulang jembatan, Tim Kemitraan ITS merekomendasikan tiga alternatif yaitu:
 - a. Pertama, 2 jembatan bentang 25 meter (total 50 meter) dimana terdapat pilar pada bentang 25 meter serta mengembalikan lebar sunga ke kondisi awal.
 - b. Kedua, Jembatan bentang 30 meter dengan adanya tambahan timbunan oprit.

- c. Ketiga, Jembatan bentang 34 meter dengan adanya tambahan timbunan oprit.

Ketiganya direkomendasikan menggunakan *Prefabricated Vertical Drain* (PVD) untuk perbaikan tanah dasarnya.

Berdasarkan analisa di atas dapat disimpulkan bahwa telah terjadi kesalahan perencanaan dari awal serta kesalahan urutan metode pelaksanaan. Sebagai pemecahan permasalahan di atas, maka Tugas Akhir ini akan membahas bagaimana merencanakan ulang timbunan oprit, dan *abutment* jembatan agar kesalahan perencanaan sebelumnya tidak terjadi lagi. Pada perencanaan ulang dipilih alternatif kedua yaitu jembatan bentang 30 meter dengan detail jembatan seperti perencanaan sebelumnya. Timbunan oprit di belakang *abutment* direncanakan setinggi 6 meter dengan kemiringan longitudinal 3 % sepanjang 24 meter dan selanjutnya timbunan setinggi 5,3 meter dengan kemiringan 0%.

Namun, berdasarkan hasil penyelidikan tanah yang dilakukan, kondisi tanah dasar di lokasi pembangunan berada dalam kondisi tanah lunak. Sebagai pemecahan permasalahan di atas maka diperlukan perbaikan tanah dasar menggunakan *Prefabricated Vertical Drain* (PVD). Perencanaan perkuatan timbunan oprit menggunakan alternatif *geotextile* atau kombinasi *multiblocks* dan *geogrid* untuk stabilitas arah melintang. Sedangkan untuk stabilitas arah memanjang akan ditahan oleh *geotextile wall*. Ketinggian timbunan akan dianalisa dengan zoning berdasarkan ketinggian dimana akan dibagi menjadi 2 zona yaitu zona 1 sepanjang 24 meter dengan ketinggian timbunan 6 meter, zona 2 sampai sepanjang 1 kilometer dengan ketinggian timbunan 5,3 meter. Analisa alternatif yang akan dipakai akan ditinjau dari nilai faktor keamanan yang layak digunakan, dengan memperhitungkan biaya material yang paling murah. Pekerjaan *abutment* dan pondasi *abutment* dilakukan setelah pekerjaan oprit selesai. Direncanakan diameter tiang pancang menggunakan

diameter 30 cm dan 40 cm. Pemilihan diameter yang digunakan berdasarkan harga material yang paling murah.

1.2 Rumusan Masalah

Berdasarkan uraian diatas, maka dirumuskan permasalahan pada proyek pembangunan jembatan plasma batu tugu-plasma tanjung kurung sebagai berikut :

1. Berapa besar pemampatan yang terjadi akibat beban yang bekerja di atas tanah dasar (beban timbunan dan beban *traffic*)?
2. Berapa tinggi timbunan awal yang dibutuhkan untuk mencapai tinggi timbunan yang direncakan setelah terjadinya pemampatan?
3. Berapa lama waktu *preloading* harus diberikan dan berapa jarak pemasangan PVD agar pemakaian efektif?
4. Bagaimana perencanaan perkuatan *geotextile* pada timbunan oprit jembatan?
5. Bagaimana perencanaan perkuatan kombinasi *multiblocks* dan *geogrid* pada timbunan oprit jembatan?
6. Bagaimana perencanaan perkuatan *geotextile wall* sebagai dinding penahan timbunan arah memanjang jalan?
7. Bagaimana perencanaan *abutment* dan pondasi *abutment* pada jembatan?
8. Alternatif perkuatan manakah yang memiliki biaya material paling murah?

1.3 Tujuan

Adapun tujuan dari penulisan Tugas Akhir ini sebagai berikut :

1. Mengetahui besar pemampatan yang terjadi akibat beban yang bekerja di atas tanah dasar (beban timbunan dan beban *traffic*)
2. Mengetahui tinggi timbunan awal yang dibutuhkan untuk mencapai tinggi timbunan yang direncakan setelah terjadinya pemampatan

3. Mengetahui lama waktu *preloading* dan jarak pemasangan PVD agar pemakaian efektif.
4. Merencanakan perkuatan *geotextile wall* pada timbunan oprit jembatan
5. Merencanakan perkuatan *multiblocks* pada timbunan oprit jembatan
6. Merencanakan dinding penahan timbunan menggunakan *geotextile wall* pada timbunan arah memanjang.
7. Merencanakan *abutment* dan pondasi *abutment* pada jembatan
8. Menetukan alternatif perkuatan yang memiliki biaya material paling murah.

1.4 Batasan Masalah

Dalam perencanaan ini terdapat beberapa batasan masalah, yaitu:

1. Tidak merencanakan struktur atas jembatan.
2. Data tanah yang digunakan untuk perencanaan tetap menggunakan data tanah sebelumnya yang paling kritis untuk diterapkan di kedua sisi.
3. Beban jembatan menggunakan beban jembatan dengan bentang 30 meter dengan detail jembatan seperti pada perencanaan sebelumnya.
4. Biaya yang dihitung hanya biaya material, tidak termasuk biaya pelaksanaan.

1.5 Manfaat

Manfaat yang bisa didapat dari penyusunan Tugas Akhir ini yaitu agar dapat menjadi bahan acuan dalam perencanaan timbunan oprit, *abutment* beserta pondasi jembatan yang memiliki kemiripan spesifikasi perencanaan yang sama.

Halaman ini sengaja dikosongkan

BAB II

TINJAUAN PUSTAKA

2.1 Pengambilan Data Tanah

Data tanah merupakan data yang diperoleh dari hasil penyelidikan lapangan dan hasil tes laboratorium. Salah satu tes penyelidikan tanah di lapangan yaitu menggunakan tes boring dan SPT (*Standart Penetration Test*). Pengambilan *sample* data tanah dilakukan di beberapa titik pada beberapa kedalaman untuk mengetahui jenis dan pengetesan parameter tanah di laboratorium. Dalam menentukan jenis dan parameter tanah untuk perencanaan perlu dilakukan analisa dengan pembuatan stratigrafi dan pemilihan dengan metode statistik.

2.2 Analisa Parameter Tanah

2.2.1 Pembuatan stratigrafi

Stratigrafi tanah dibuat untuk mengetahui kondisi tanah dasar di lokasi pembangunan. Sebelum membuat stratigrafi tanah, perlu dilakukan pendekatan statistik sederhana terhadap data-data tanah yang dimiliki. Pendekatan statistik yang digunakan adalah dengan pengambilan keputusan berdasarkan koefisien varian (CV) dari suatu distribusi nilai parameter tanah.

Beberapa persamaan statistik yang digunakan antara lain (ITS,1998) :

- Rata –rata

$$\bar{X} = \frac{\sum_{n=1}^1 X}{n} \quad [2.1]$$

- Standar Deviasi

$$STD = \sqrt{\frac{\sum(x-U)^2}{n}} \quad [2.2]$$

- Koefisien Varian

$$CV = \frac{STD}{U} \times 100\% \quad [2.3]$$

Dimana distribusi sebaran suatu nilai dapat diterima jika harga koefisien varian (CV) dari sebaran tersebut bernilai lebih kecil atau sama dengan 30%. Apabila nilai koefisien varian (CV) lebih besar dari pada 30%, maka perlu dilakukan pembagian layer

tanah sampai nilai CV tersebut kurang dari atau sama dengan 30%. Pembagian layer tanah didasarkan atas korelasi nilai N-SPT pada Tabel 2.1

2.2.2 Pemilihan parameter tanah

Analisa parameter tanah dilakukan untuk mendapatkan parameter yang akan digunakan untuk perencanaan. Metode yang digunakan adalah cara statistik dengan selang kepercayaan yang baik, yaitu selang yang pendek dengan derajat kepercayaan yang tinggi, oleh karena itu digunakan selang kepercayaan 90%.

Bentuk umum selang kepercayaan adalah Batas Bawah < (Parameter tanah) < Batas Atas. Dengan menggunakan “probabilitas t” atau “probabilitas z” yaitu :

- Probabilitas t digunakan apabila $n < 30$

$$\bar{X} - t_{(db: \alpha/2)} \frac{s}{\sqrt{n}} < (\mu) < \bar{X} + t_{(db: \alpha/2)} \frac{s}{\sqrt{n}} \quad [2.4]$$

- Probabilitas z digunakan apabila $n > 30$

$$\bar{X} - z_{(\alpha/2)} \frac{\sigma}{\sqrt{n}} < (\mu) < \bar{X} + z_{(\alpha/2)} \frac{\sigma}{\sqrt{n}} \quad [2.5]$$

dimana:

\bar{X} = rata-rata

db = derajat kebebasan

α = tingkat kesalahan

s = Standar deviasi

n = jumlah data

(μ) = nilai parameter tanah

Nilai probabilitas $t_{(db: \alpha/2)}$ didapat dari Tabel 2.2

Tabel 2.1 Korelasi N-SPT dan Konsistensi Tanah (untuk tanah dominan lanau dan lempung)

| Konsistensi tanah | Taksiran harga kekuatan geser undrained, Cu | | Taksiran harga SPT, harga N | Taksiran harga tahanan conus, qc (dari Sondir) | |
|--------------------------|---|--------------------|-----------------------------|--|--------------|
| | kPa | ton/m ² | | kg/cm ² | kPa |
| Sangat lunak (very soft) | 0 – 12.5 | 0 – 1.25 | 0 – 2.5 | 0 – 10 | 0 – 1000 |
| Lunak (soft) | 12.5 – 25 | 1.25 – 2.5 | 2.5 – 5 | 10 – 20 | 1000 – 2000 |
| Menengah (medium) | 25 – 50 | 2.5 – 5.0 | 5 – 10 | 20 – 40 | 2000 – 4000 |
| Kaku (stiff) | 50 – 100 | 5.0 – 10 | 10 – 20 | 40 – 75 | 4000 – 7500 |
| Sangat kaku (very stiff) | 100 – 200 | 10 – 20 | 20 – 40 | 75 – 150 | 7500 – 15000 |
| Keras (hard) | >200 | >20 | >40 | >150 | >15000 |

(Sumber : Mochtar,2006; revised,2012)

Tabel 2.2 Nilai Luas Kurva Normal untuk Nilai t

| df | Area in the Right Tail under the t Distribution Curve | | | | | |
|----|---|-------|--------|--------|--------|---------|
| | .10 | .05 | .025 | .01 | .005 | .001 |
| 1 | 3.078 | 6.314 | 12.706 | 31.821 | 63.657 | 318.309 |
| 2 | 1.886 | 2.920 | 4.303 | 6.965 | 9.925 | 22.327 |
| 3 | 1.638 | 2.353 | 3.182 | 4.541 | 5.841 | 10.215 |
| 4 | 1.533 | 2.132 | 2.776 | 3.747 | 4.604 | 7.173 |
| 5 | 1.476 | 2.015 | 2.571 | 3.365 | 4.032 | 5.893 |
| 6 | 1.440 | 1.943 | 2.447 | 3.143 | 3.707 | 5.208 |
| 7 | 1.415 | 1.895 | 2.365 | 2.998 | 3.499 | 4.785 |
| 8 | 1.397 | 1.860 | 2.306 | 2.896 | 3.355 | 4.501 |
| 9 | 1.383 | 1.833 | 2.262 | 2.821 | 3.250 | 4.297 |
| 10 | 1.372 | 1.812 | 2.228 | 2.764 | 3.169 | 4.144 |
| 11 | 1.363 | 1.796 | 2.201 | 2.718 | 3.106 | 4.025 |
| 12 | 1.356 | 1.782 | 2.179 | 2.681 | 3.055 | 3.930 |
| 13 | 1.350 | 1.771 | 2.160 | 2.650 | 3.012 | 3.852 |
| 14 | 1.345 | 1.761 | 2.145 | 2.624 | 2.977 | 3.787 |
| 15 | 1.341 | 1.753 | 2.131 | 2.602 | 2.947 | 3.733 |
| 16 | 1.337 | 1.746 | 2.120 | 2.583 | 2.921 | 3.686 |
| 17 | 1.333 | 1.740 | 2.110 | 2.567 | 2.898 | 3.646 |
| 18 | 1.330 | 1.734 | 2.101 | 2.552 | 2.878 | 3.610 |
| 19 | 1.328 | 1.729 | 2.093 | 2.539 | 2.861 | 3.579 |
| 20 | 1.325 | 1.725 | 2.086 | 2.528 | 2.845 | 3.552 |
| 21 | 1.323 | 1.721 | 2.080 | 2.518 | 2.831 | 3.527 |
| 22 | 1.321 | 1.717 | 2.074 | 2.508 | 2.819 | 3.505 |
| 23 | 1.319 | 1.714 | 2.069 | 2.500 | 2.807 | 3.485 |
| 24 | 1.318 | 1.711 | 2.064 | 2.492 | 2.797 | 3.467 |
| 25 | 1.316 | 1.708 | 2.060 | 2.485 | 2.787 | 3.450 |
| 26 | 1.315 | 1.706 | 2.056 | 2.479 | 2.779 | 3.435 |
| 27 | 1.314 | 1.703 | 2.052 | 2.473 | 2.771 | 3.421 |
| 28 | 1.313 | 1.701 | 2.048 | 2.467 | 2.763 | 3.408 |
| 29 | 1.311 | 1.699 | 2.045 | 2.462 | 2.756 | 3.396 |
| 30 | 1.310 | 1.697 | 2.042 | 2.457 | 2.750 | 3.385 |
| 31 | 1.309 | 1.696 | 2.040 | 2.453 | 2.744 | 3.375 |
| 32 | 1.309 | 1.694 | 2.037 | 2.449 | 2.738 | 3.365 |
| 33 | 1.308 | 1.692 | 2.035 | 2.445 | 2.733 | 3.356 |
| 34 | 1.307 | 1.691 | 2.032 | 2.441 | 2.728 | 3.348 |
| 35 | 1.306 | 1.690 | 2.030 | 2.438 | 2.724 | 3.340 |

(Sumber: Harinaldi, 2005)

2.3 Permasalahan Pembangunan Konstruksi di Atas Tanah Lunak

Tanah lempung merupakan jenis tanah lunak yang kurang menguntungkan untuk digunakan sebagai lapisan tanah dasar pondasi, karena daya dukung tanah ini sangat rendah dan memiliki kemampuan amplitudo tinggi. Tanah lunak atau sangat lunak memiliki daya dukung sangat rendah, yang menyebabkan tanah tidak mampu mendukung tinggi timbunan rencana beserta beban lalu lintasnya, sehingga memerlukan perbaikan tanah dasar yang cukup.

2.4 Pemampatan Konsolidasi (*Consolidation Settlement*)

2.4.1 Besar konsolidasi

2.4.1.1 Besar konsolidasi penimbunan langsung

Penimbunan timbunan setinggi H di atas tanah lunak akan menyebabkan terjadinya penambahan tegangan pada tanah dasar sehingga mengakibatkan adanya konsolidasi. Terdapat dua jenis konsolidasi berdasarkan tegangan yang diakibatkan, yaitu :

1. Tanah terkonsolidasi secara normal, *Normally Consolidated Soil* (NC-Soil), di mana tegangan *overburden* efektif pada saat ini adalah merupakan tegangan maksimum yang pernah dialami tanah tersebut.
2. Tanah terkonsolidasi lebih, *Over Consolidated Soil* (OC-Soil), di mana tegangan *overburden* efektif saat ini adalah lebih kecil daripada tegangan yang pernah dialami oleh tanah yang bersangkutan sebelumnya.

Tanah disebut sebagai NC-Soil atau OC-soil tergantung dari harga *Over Consolidation Ratio* (OCR), yang didefinisikan dengan persamaan berikut ini:

$$OCR = \frac{\sigma_c'}{\sigma_o'} \quad [2.6]$$

di mana:

σ_c' = effective past overburden pressure

σ_o' = effective overburden pressure

NC-Soil mempunyai harga $OCR = 1$ dan OC soil mempunyai harga $OCR > 1$.

Secara umum besar pemampatan konsolidasi pada lapisan tanah lempung setebal H dapat dihitung dengan persamaan (Das, 1985):

- Untuk tanah *Normally Consolidated* (NC-Soil):

$$Sc = C_c \cdot \frac{H_0}{1+e_0} \cdot \log \frac{\sigma'_{vo} + \Delta\sigma}{\sigma'_{vo}} \quad [2.7]$$

- Untuk tanah *Over Consolidated* (OC-Soil):

- Bila $(\sigma'_{vo} + \Delta\sigma) \leq \sigma'_c$, maka:

$$Sc = \frac{Cs \cdot H_0}{1+e_0} \cdot \log \frac{\sigma'_{vo} + \Delta\sigma}{\sigma'_{vo}} \quad [2.8]$$

- Bila $(\sigma'_{vo} + \Delta\sigma) > \sigma'_c$, maka:

$$Sc = \frac{Cs \cdot H_0}{1+e_0} \cdot \log \frac{\sigma'_c}{\sigma'_{vo}} + \frac{Cc \cdot H_0}{1+e_0} \cdot \log \frac{\sigma'_{vo} + \Delta\sigma}{\sigma'_c} \quad [2.9]$$

di mana:

Sc = besar pemampatan yang terjadi (m)

C_c = indeks pemampatan (*compression index*)

C_s = indeks pemuaian (*swelling index*)

e_0 = angka pori

σ'_o = tegangan overburden efektif

$\Delta\sigma$ = penambahan beban vertikal (beban luar)

σ'_c = tegangan prakonsolidasi

Sehingga besar pemampatan total adalah:

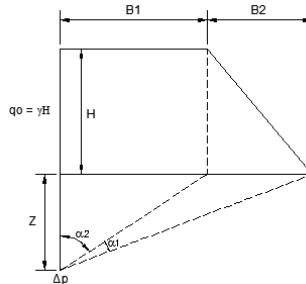
$$Sc = \sum_{i=1}^n Sc_i \quad [2.10]$$

di mana:

n = jumlah lapisan tanah yang akan dihitung besar pemampatan konsolidasi.

Sc_i = besar pemampatan konsolidasi untuk lapisan ke-i

$\Delta\sigma'$ merupakan tambahan tegangan akibat pengaruh beban timbunan yang ditinjau di tengah-tengah lapisan. Menurut Braja M. Das (1985), dalam bukunya “*Principles of Foundation Engineering, Second Edition*” diagram tegangan tanah akibat timbunan adalah sebagai berikut:

Gambar 2.1 Visualisasi dan Notasi ΔP

Besarnya $\Delta\sigma'$ adalah:

$$\Delta\sigma' = \frac{q_0}{\pi} x \left[\left(\frac{B_1+B_2}{B_2} \right) x (\alpha_1 + \alpha_2) - \left(\frac{B_1}{B_2} x \alpha_2 \right) \right] \quad [2.11]$$

di mana:

q_0 = beban timbunan (t/m^2) $\rightarrow q_0 = \gamma \text{timb} \times h \text{timb}$

$\Delta\sigma'$ = besarnya tegangan akibat pengaruh beban timbunan yang ditinjau di tengah-tengah lapisan (t/m^2)

$\alpha_1 = \tan^{-1} \left(\frac{B_1+B_2}{z} \right) - \tan^{-1} x \left(\frac{B_1}{z} \right)$ (radian)

$\alpha_2 = \tan^{-1} x \left(\frac{B_1}{z} \right)$ (radian)

B_1 = $\frac{1}{2}$ lebar timbunan

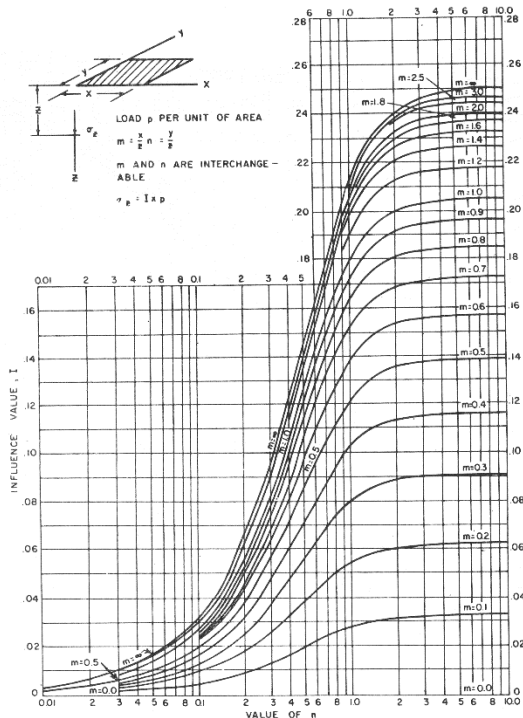
B_2 = panjang proyeksi horizontal kemiringan timbunan.

Nilai $\Delta\sigma'$ yang diperoleh adalah untuk $\frac{1}{2}$ bentuk timbunan sehingga untuk bentuk timbunan yang simetris, nilai I yang diperoleh harus dikali 2, dan berubah menjadi:

$$\Delta\sigma' = 2 \times q_0 \quad [2.12]$$

Untuk distribusi tegangan beban persegi menggunakan persamaan:

$$\Delta\sigma' = I \times q_0 \quad [2.13]$$



Gambar 2.2 Grafik Faktor Pengaruh untuk Beban Bentuk Persegi
(sumber : Mochtar, 2000)

Setelah didapatkan besar pemampatan konsolidasi maka dapat dihitung tinggi timbunan awal (H_{initial}) yang dibutuhkan untuk mencapai tinggi final yang direncanakan.

2.4.1.2 Perhitungan tinggi timbunan awal (H_{initial})

Tinggi timbunan awal pada saat pelaksanaan tidak sama dengan tinggi timbunan rencana. Penentuan dari tinggi timbunan rencana pada saat pelaksanaan fisik (dengan memperhatikan adanya pemampatan), dapat dihitung dengan (Mochtar, 2012):

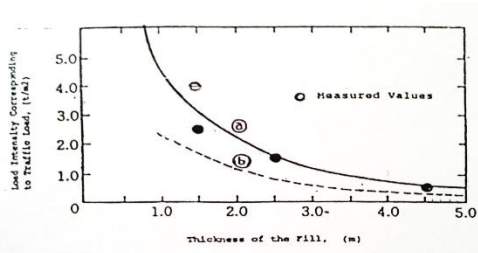
$$q_{\text{final}} = q = (H_{\text{initial}} \times \gamma_{\text{timb}}) - (S_c \times \gamma_{\text{timb}}) + (S_c \times \gamma'_{\text{timb}})$$

$$q_{\text{final}} = q = (H_{\text{initial}} - S_c)\gamma_{\text{timb}} + (S_c \times \gamma'_{\text{timb}})$$

$$H_{\text{inisial}} = \frac{q + (S_c \times \gamma_{\text{timb}}) - (S_c \times \gamma'_{\text{timb}})}{\gamma_{\text{timb}}} \quad [2.14]$$

$$H_{\text{akhir}} = H_{\text{inisial}} - S_c \text{ timbunan} - S_c \text{ pavement} - H \text{ bongkar traffic} \\ + \text{tebal } \textit{pavement} \quad [2.15]$$

Untuk penentuan H bongkar *traffic* digunakan grafik Road Association, 1986 pada Gambar 2.3



Gambar 2.3 Korelasi q *Traffic* dengan Tinggi Timbunan Rencana

2.4.1.3 Besar konsolidasi penimbunan bertahap

Pelaksanaan penimbunan di lapangan biasanya dilakukan secara bertahap dengan kecepatan sesuai yang direncanakan. Maka dari itu perlu dihitung besar pemampatan konsolidasi akibat penambahan beban timbunan bertahap.

Untuk pembebanan secara bertahap dimana besar beban di setiap tahapan adalah Δp , digunakan persamaan berikut :

1. Bila $(p'_0 + \Delta p_1) \leq p'_c$

$$S_c = \frac{C_s \cdot H}{1 + e_0} \left[\log \left(\frac{p'_0 + \Delta p_1}{p'_c} \right) \right] \quad [2.16]$$

2. Bila $(p'_0 + \Delta p_1 + \Delta p_2) > p'_c$

$$S_c = \frac{C_s \cdot H}{1 + e_0} \log \frac{p'_c}{p'_0 + \Delta p_1} + \frac{C_c \cdot H}{1 + e_0} \log \frac{p'_0 + \Delta p_1 + \Delta p_2}{p'_c} \quad [2.17]$$

3. Bila $(p'_0 + \Delta p_1 + \Delta p_2 + \Delta p_3) > p'_c$

$$S_c = \frac{C_c \cdot H}{1 + e_0} \log \frac{p'_0 + \Delta p_1 + \Delta p_2 + \Delta p_3}{p'_0 + \Delta p_1 + \Delta p_2} \quad [2.18]$$

Dimana:

- Sc = pemampatan konsolidasi pada lapisan tanah yang ditinjau
- H = tebal lapisan tanah *compressible*
- e_0 = angka pori awal (*initial void ratio*)
- C_c = indeks kompresi
- C_s = indeks mengembang
- Δp = beban *surcharge*
- p'_0 = tekanan tanah vertikal efektif dari suatu titik di tengah-tengah lapisan ke-i akibat beban tanah sendiri di atas titik tersebut di lapangan (*effective overburden pressure*)

2.4.2 Waktu konsolidasi

Pada umumnya tebal dari lapisan yang memampat dinyatakan sebagai H dan panjang terjauh dari aliran rembesan air disebut H_{dr} . Persamaan dari Terzaghi (1984), untuk menghitung waktu konsolidasi dari lapisan tanah yang memampat tersebut adalah:

$$t = \frac{Tv \cdot (H_{dr})^2}{Cv} \quad [2.19]$$

di mana:

- Tv = faktor waktu (Tabel 2.3)
- t = waktu konsolidasi (detik)
- Cv = koefisien konsolidasi (cm^2/det)
- H_{dr} = panjang aliran air terpanjang

Untuk lapisan tanah yang dibatasi oleh 2 (dua) lapisan yang lolos air (*permeable*), misalnya pasir atau kerikil, panjang $H_{dr} = \frac{1}{2} \times$ tebal lapisan. Akan tetapi, bila lapisan sebelah bawah berupa lapisan kedap air, maka aliran rembesan dianggap hanya dapat menuju ke atas lapisan, sehingga $H_{dr} = H$.

Untuk konsolidasi tanah yang berlapis-lapis dengan ketebalan berbeda, waktu konsolidasi dapat dicari dengan menggunakan rumus sebagai berikut (Mochtar, 2012):

$$Cv = \frac{(H_1 + H_2 + \dots + H_n)^2}{\left(\frac{H_1}{\sqrt{Cv_1}} + \frac{H_2}{\sqrt{Cv_2}} + \dots + \frac{H_n}{\sqrt{Cv_n}} \right)^2} \quad [2.20]$$

di mana:

- H_1, H_2, \dots, H_n = tebal lapisan-lapisan tanah lempung yang mengalami pemampatan.
- Cv_1, Cv_2, \dots, Cv_n = harga Cv untuk masing-masing lapisan tanah yang bersangkutan.

Tabel 2.3 Variasi Faktor Waktu Terhadap Derajat Konsolidasi

| Derasat Konsolidasi U% | Faktor Waktu T_v |
|---------------------------|-----------------------|
| 0 | 0 |
| 10 | 0,008 |
| 20 | 0,031 |
| 30 | 0,071 |
| 40 | 0,126 |
| 50 | 0,197 |
| 60 | 0,287 |
| 70 | 0,403 |
| 80 | 0,567 |
| 90 | 0,848 |
| 100 | - |

(sumber: Braja M. Das, 1985)

2.5 Percepatan Waktu Konsolidasi dengan Vertical Drain

Lamanya waktu konsolidasi disebabkan oleh lapisan tanah lunak yang tebal sehingga menyebabkan lamanya proses keluarnya aliran air pori secara vertikal. Untuk mempercepat proses konsolidasi maka diperlukan suatu metode *vertical drain*. Salah satu penerapan metode *vertical drain* yaitu dengan menggunakan *Prefabricated Vertical Drain (PVD)*.

2.5.1 Percepatan waktu konsolidasi dengan PVD

Penentuan waktu konsolidasi didasarkan teori aliran pasir vertikal menurut Barron (1948), menggunakan asumsi teori Terzaghi tentang konsolidasi linier satu dimensi. Penentuan waktu konsolidasi dari teori Barron (1948) adalah :

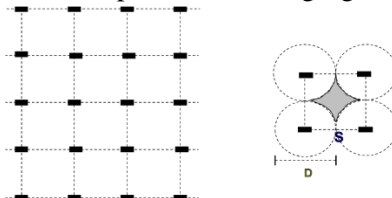
$$t = \left(\frac{D^2}{8.C_h} \right) F(n) \cdot \ln \left(\frac{1}{1 - U_h} \right) \quad [2.21]$$

dimana :

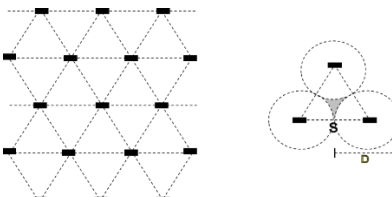
t = waktu untuk menyelesaikan konsolidasi primer

D = diameter *equivalen* dari lingkaran tanah yang merupakan daerah pengaruh PVD

Harga $D = 1,13 \times s$ untuk pola susunan bujur sangkar(Gambar 2.4)
Harga $D = 1,05 \times s$ untuk pola susunan segitiga (Gambar 2.5)



Gambar 2.4 Pola Susunan PVD Bujur Sangkar
(sumber : Mochtar, 2000)



Gambar 2.5 Pola Susunan PVD Segituga
(sumber : Mochtar, 2000)

Ch = koefisien konsolidasi tanah horisontal
 $= (kh/kv) \cdot Cv$

Kh/kv = perbandingan antara koefisien permeabilitas tanah dasar arah horizontal dan vertikal, untuk tanah lempung yang jenuh air, harga (kh/kv) berkisar antara 2 sampai 5.
(sumber : Mochtar, 2000)

$F(n)$ = faktor hambatan yang disebabkan karena jarak antara PVD

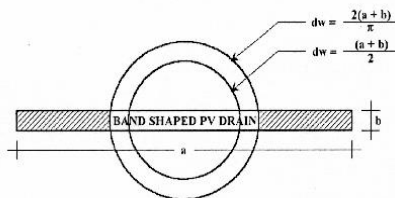
Oleh Hansbo (1979) dalam Mochtar (2000) harga $F(n)$ didefinisikan sebagai berikut :

$$F(n) = \left(\frac{n^2}{n^2 - 1^2} \right) \left[\ln(n) - \left(\frac{3n^2 - 1}{4n^2} \right) \right] \quad [2.22]$$

Atau :

$$F(n) = \left(\frac{n^2}{n^2 - 1^2} \right) \left[\ln(n) - 3/4 - \left(\frac{1}{4n^2} \right) \right] \quad [2.23]$$

Dimana :



Gambar 2.6 *Equivalen diameter (dw)* untuk PVD
(sumber : Mochtar, 2000)

Pada umumnya $n > 20$ sehingga dapat dianggap $1/n = 0$

$$\text{dan } \left(\frac{n^2}{n^2 - 1^2} \right) \approx 1$$

Jadi :

$$F(n) = \ln(n) - 3/4 \quad [2.24]$$

$$F(n) = \ln(D/dw) - 3/4 \quad [2.25]$$

Hansbo (1979) menentukan waktu konsolidasi dengan menggunakan persamaan berikut :

$$t = \left(\frac{D^2}{8.Ch} \right) \cdot (2.F(n)) \cdot \ln \left(\frac{1}{1 - \frac{U_h}{U}} \right) \quad [2.26]$$

dimana :

t = waktu yang diperlukan untuk mencapai U_h

D = diameter lingkaran

$F(n)$ = faktor hambatan disebabkan karena jarak PVD

Ch = koefisien konsolidasi tanah horisontal

U_h = derajat konsolidasi tanah (arah horisontal)

Dengan memasukkan harga t tertentu, dapat dicari harga U_h pada lapisan tanah yang dipasang PVD. Selain konsolidasi akibat aliran pori arah horisontal juga terjadi konsolidasi akibat aliran air arah vertikal U_v . Harga U_v dicari dengan persamaan :

- Untuk $U_v > 60\%$:

$$U_v = (100 - 10^a) \quad [2.27]$$

Dimana :

$$a = \frac{1.781 - Tv}{0.933} \quad [2.28]$$

$$\pi = 3.14$$

- Untuk Uv antara 0 s/d 60% :

$$Uv = \left(2 \sqrt{\frac{Tv}{\pi}} \right) \times 100\% \quad [2.29]$$

- Derajat konsolidasi rata-rata U dapat dicari dengan cara :

$$U = [1 - (1-Uh) (1-Uv)] \times 100\% \quad [2.30]$$

2.6 Daya Dukung Tanah Dasar

Pada Sub bab 2.3 telah disebutkan bahwa permasalahan pada tanah lunak yaitu memiliki daya dukung yang rendah. Apabila tanah dasar tidak mampu untuk menerima beban di atasnya maka diperlukan perkuatan untuk meningkatkan daya dukung tanah dasar. Perkuatan yang dapat digunakan untuk meningkatkan daya dukung tanah diantaranya yaitu perkuatan dengan *geotextile*, *micropile*, atau kombinasi *multiblocks* dan *geogrid*. Sebelum menghitung perkuatan, perlu diketahui tinggi timbunan yang mampu ditahan oleh tanah dasar atau bisa disebut tinggi kritis (H_{cr}).

Seperti yang telah dijelaskan sebelumnya pada Sub bab 2.4.1.2 bahwa penimbunan di lapangan dilakukan secara bertahap, maka perlu dihitung peningkatan daya dukung akibat penambahan beban timbunan bertahap dimana umur timbunan tidak sama setiap pentahapannya.

2.6.1 Penentuan tinggi timbunan kritis (H_{cr})

Penentuan tinggi timbunan kritis (H_{cr}) dapat ditentukan dengan *trial* menggunakan program bantu, salah satunya *XSTABL*. Tinggi timbunan kritis juga dapat dihitung menggunakan rumus empiris:

$$H_{cr} = \frac{c.Nc}{SF.\gamma_{timb}} \quad [2.31]$$

2.6.2 Perkuatan tanah dengan *geotextile*

2.6.2.1 *Geotextile* sebagai perkuatan

Perencanaan *geotextile* sebagai perkuatan tergantung pada besar peningkatan momen perlawanan (ΔM_R) yang

direncanakan. Perhitungan untuk mencari (ΔM_R) dapat menggunakan persamaan berikut:

$$\Delta M_R = (M_D \times SF) - M_R \quad [2.32]$$

di mana:

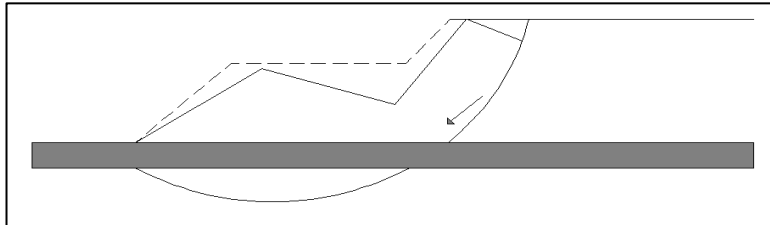
M_R = momen penahan

ΔM_R = momen penahan tambahan yang harus dipikul oleh *geotextile*

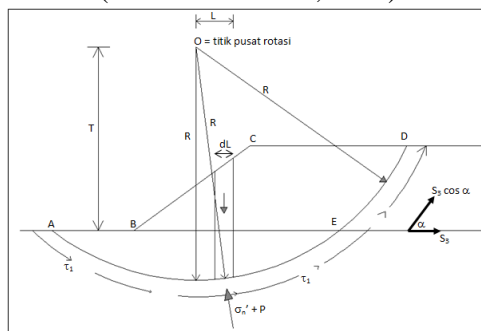
M_D = momen dorong, $\frac{MR}{SF}$

- Overall Stability

Untuk menganalisa angka keamanan dari *overall stability* dapat menggunakan model irisan Bishop (1955) dengan bantuan Program XSTABL. Gaya-Gaya yang bekerja pada *overall stability* juga sesuai dengan yang digambarkan pada Gambar 2.8 Gaya-Gaya yang Bekerja untuk *Overall Stability*.



Gambar 2.7 Model Kelongsoran untuk *Overall Stability*
(Sumber: Mochtar, 2000)



Gambar 2.8 Gaya-Gaya yang Bekerja untuk *Overall Stability*
(Sumber: Mochtar, 2000)

$$\begin{aligned} T &= \text{jarak vertikal titik pusat rotasi dengan geotextile yang ditinjau} \\ &= yo - yc \end{aligned} \quad [2.33]$$

dengan:

$$\begin{aligned} yo &= \text{ordinat titik pusat rotasi} \\ yc &= \text{ordinat titik yang ditinjau} \\ \tau &= \text{tegangan geser geotextile dengan tanah asli} \\ &= Cu + \sigma v \cdot \tan \theta \end{aligned} \quad [2.34]$$

dengan:

$$\begin{aligned} Cu &= \text{tegangan geser tanah asli} \\ \sigma v &= \text{tegangan vertikal timbunan} \\ \theta &= \text{tegangan geser tanah} \end{aligned}$$

Adapun syarat dari *overall stability* yang harus dipenuhi adalah sebagai berikut:

$$\begin{aligned} M_R &= (M_D \times SF) + \Delta M_R \\ SF &= \frac{M_R - \Delta M_R}{M_D} \end{aligned} \quad [2.35]$$

di mana:

M_D = Momen penggerak = (berat segmen busur ABCDEA) x jarak pusat berat ABCDEA terhadap O.

M_R = Momen penahan

ΔM_R = Momen penahan tambahan yang ditahan oleh *geotextile* SF_{min} yang digunakan mengacu pada

Tabel 2.4 dan Tabel 2.5

Tabel 2.4 *Safety Factor* untuk *Slope Baru* (diadaptasi dari GEO, 1984)

| Economic risk | Required factor of safety with loss of life for a 10 years return period rainfall | | |
|---------------|--|-----|------|
| | Negligible | Low | High |
| Negligible | > 1.1 | 1.2 | 1.4 |
| Low | 1.2 | 1.3 | 1.5 |
| High | 1.4 | 1.5 | 1.6 |

(Sumber : Burt Look, 2007)

Tabel 2.5 Resiko Keselamatan (diadaptasi dari GEO, 1984)

| Situation | Risk to life |
|--|--------------|
| Open farmland | Negligible |
| Country parks, lightly used recreation areas | Negligible |
| Country roads and low traffic intensity B roads | Negligible |
| Storage compounds (non hazardous goods) | Negligible |
| Town squares, sitting out areas, playgrounds and car parks | Negligible |
| High traffic density B roads | Low |
| Public waiting areas (e.g. railway stations, bus stops) | Low |
| Occupied buildings (residential, commercial, industrial and educational) | High |
| All A roads, by-passes and motorways, including associated slip roads, petrol stations and service areas | High |
| Buildings storing hazardous goods, power stations (all types), nuclear, chemical, and biological complexes | High |

(Sumber : Burt Look, 2007)

Syarat kekuatan bahan S₁

$$T_{allow} = \frac{T_{ultimate}}{SF} \quad [2.36]$$

T_{allow} = Kekuatan tarik *geotextile* (kN/m²)T_{ultimate} = Kekuatan tarik bahan *geotextile* (kN/m²)SF = SF_{ID} x SF_{CR} x SF_{CD} x SF_{BD} (Tabel 2.6)

di mana:

SF_{ID} = angka keamanan untuk kesalahan pemasangan (*installation damage*)SF_{CR} = angka keamanan untuk *creep*SF_{CD} = angka keamanan untuk *chemical degradation*SF_{BD} = angka keamanan untuk *biological degradation*.

Bila syarat ini tidak terpenuhi, digunakan beberapa lapis bahan.

Tabel 2.6 Angka Kemanaan untuk Menghitung T_{allow}

| Penggunaan Geotextile | Faktor Pemasangan, FS _{sl} | Faktor Rangkak, FS _{cr} | Faktor Kimia, FS _{cd} | Faktor Biolog, FS _{bd} |
|-----------------------|-------------------------------------|----------------------------------|--------------------------------|---------------------------------|
| Separation | 1,1 – 2,5 | 1,1 – 1,2 | 1,0 – 1,5 | 1,0 – 1,2 |
| Cushioning | 1,1 – 2,0 | 1,2 – 1,5 | 1,0 – 2,0 | 1,0 – 1,2 |
| Unpaved Roads | 1,1 – 2,0 | 1,5 – 2,5 | 1,0 – 1,5 | 1,0 – 1,2 |
| Walls | 1,1 – 2,0 | 2,0 – 4,0 | 1,0 – 1,5 | 1,0 – 1,3 |
| Embankments | 1,1 – 2,0 | 2,0 – 3,0 | 1,0 – 1,5 | 1,0 – 1,3 |
| Bearing Capacity | 1,1 – 2,0 | 2,0 – 4,0 | 1,0 – 1,5 | 1,0 – 1,3 |
| Slope Stabilization | 1,1 – 1,5 | 1,5 – 2,0 | 1,0 – 1,5 | 1,0 – 1,3 |
| Pavement Overlays | 1,1 – 1,5 | 1,0 – 1,2 | 1,0 – 1,5 | 1,0 – 1,1 |
| Railroads | 1,5 – 3,0 | 1,0 – 1,5 | 1,5 – 2,0 | 1,0 – 1,2 |
| Flexible Form | 1,1 – 1,5 | 1,5 – 3,0 | 1,0 – 1,5 | 1,0 – 1,1 |
| Silt Fences | 1,1 – 1,5 | 1,5 – 2,5 | 1,0 – 1,5 | 1,0 – 1,1 |

Panjang Geotextile di belakang bidang lonsor (L_e) dihitung menggunakan persamaan berikut:

$$L_e = (T_{allow} \times SF) / [(\tau_1 + \tau_2) \times E] \quad [2.37]$$

dengan:

E = efisiensi, diambil $E = 0,8$

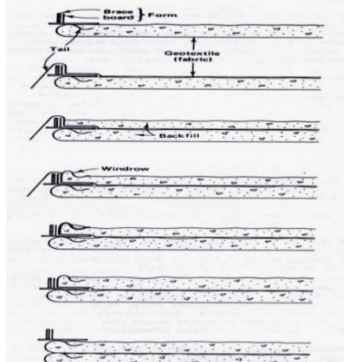
Besar Momen penahan *geotextile* dapat dihitung menggunakan persamaan berikut:

$$M_{geotextile} = T_{allow} \times T_i \quad [2.38]$$

T_{allow} = Kekuatan tarik *geotextile* (kN/m^2)

T_i = Jarak vertikal antara *geotextile* dengan pusat bidang longsor (m)

2.6.2.2 *Geotextile* sebagai dinding penahan tanah



Gambar 2.9 *Geotextile* Dinding Penahan Tanah

Stabilitas *Geotextile* sebagai dinding penahan tanah yang perlu ditinjau adalah *Internal Stability* dan *External Stability*.

1. *Internal Stability*

Pada *Internal Stability* gaya-gaya yang perlu diperhatikan adalah :

- Tanah di belakang dinding
- Beban luar : Beban Surcharge

Beban Hidup

Besar tegangan *horizontal* yang diterima dinding (σ_H) :

$$\sigma_H = \sigma_{HS} + \sigma_{Hq} + \sigma_{HL} \quad [2.39]$$

Dimana :

σ_{HS} = tegangan *horizontal* akibat tanah dibelakang dinding

σ_{Hq} = tegangan *horizontal* akibat tanah timbunan surcharge

σ_{HL} = tegangan *horizontal* akibat tanah hidup

Dinding penahan tanah, turap, galian yang diperkokoh maupun tidak, semuanya memerlukan perkiraan tekanan tanah lateral secara kuantitatif pada pekerjaan konstruksi, baik untuk analisa perencanaan maupun untuk analisa stabilitas. Tekanan tanah lateral merupakan salah satu bagian perencanaan penting, khususnya dalam hal teknik pondasi maupun bangunan penahan tanah.

Dalam memperkirakan dan menghitung kestabilan dinding penahan, diperlukan menghitung tekanan ke arah samping (lateral). Tekanan lateral terjadi karena massa tanah menerima beban akibat tegangan normal maupun berat kolom tanah. Hal ini menyebabkan terjadinya tekanan ke arah tegak lurus atau ke arah samping. Besarnya tekanan tanah lateral sendiri sangat dipengaruhi oleh fisik tanah, sudut geser, dan kemiringan tanah terhadap bentuk struktur dinding penahan.

Tekanan tanah lateral dibagi menjadi tekanan tanah dalam keadaan diam, tekanan tanah aktif, dan tekanan tanah pasif. Tekanan tanah dalam kondisi diam terjadi akibat massa tanah pada dinding penahan berada dalam kondisi seimbang. Tekanan tanah aktif merupakan tekanan yang berusaha untuk mendorong dinding penahan tersebut kedepan. Sementara tekanan tanah pasif merupakan tekanan yang berusaha mengimbangi tekanan tanah aktif.

a. Tekanan Lateral Aktif

Tekanan aktif merupakan tekanan yang mendorong dinding penahan tanah ke arah horizontal. Sementara dinding penahan

tanah harus dalam keadaan seimbang dalam menahan tekanan arah horizontal. Tekanan ini dapat dievaluasi dengan menggunakan koefisien tanah K_a . Rumusan tekanan horizontal dapat dituliskan sebagai berikut:

$$\sigma_a = K_a \times \gamma \times H \quad [2.40]$$

Dimana harga K_a :

- Untuk tanah datar:

$$K_a = \frac{1-\sin Q}{1+\sin Q} = \tan^2 \left(45 - \frac{Q}{2} \right) \quad [2.41]$$

- Untuk tanah miring:

$$K_a = \left(\frac{\cos Q}{1 + \sqrt{\frac{\sin Q \sin(Q-\delta)}{\cos \delta}}} \right)^2 \quad [2.42]$$

Dimana:

Q = sudut geser tanah

δ = kemiringan tanah

Selain itu, kohesi sebagai lekatan antara butiran tanah juga memiliki pengaruh mengurangi tekanan aktif tanah yaitu sebesar $2c\sqrt{K_a}$, sehingga perumusan menjadi:

$$\sigma_a = K_a \times \gamma \times H - 2 \times c \times \sqrt{K_a} \quad [2.43]$$

dimana c = kohesi tanah.

b. Tekanan Lateral Pasif

Rumusan tekanan horizontal pasif dapat dituliskan sebagai berikut:

$$\sigma_p = K_p \times \gamma \times H \quad [2.44]$$

Dimana harga K_p

- Untuk tanah datar adalah:

$$K_p = \frac{1+\sin Q}{1-\sin Q} = \tan^2 \left(45 + \frac{Q}{2} \right) = \frac{1}{K_a}$$

[2.45]

- Untuk tanah miring adalah:

$$K_a = \left(\frac{\cos Q}{1 + \sqrt{\frac{\sin Q \sin(Q+\delta)}{\cos \delta}}} \right)^2 \quad [2.46]$$

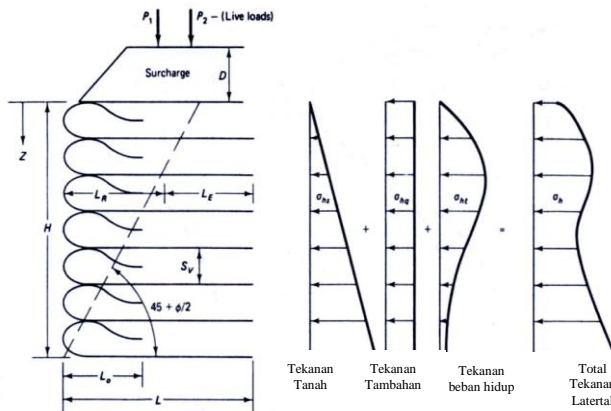
Dimana:

Q = sudut geser tanah

δ = kemiringan tanah

Dalam kasus tekanan lateral pasif, kohesi (lekatan antar butiran tanah) mempunyai pengaruh memperbesar tekanan pasif tanah sebesar $2c\sqrt{K_a}$, sehingga perumusan menjadi:

$$\sigma_p = K_p \times \gamma \times H + 2 \times c \times \sqrt{K_p} \quad [2.47]$$



Gambar 2.10 Prinsip Beban yang Bekerja pada *Geotextile Wall*

Jarak Vertikal pemasangan geotextile (S_v) :

$$\sigma_{HZ} x S_v x l = \frac{T_{ALL}}{SF} \rightarrow S_v = \frac{T_{ALL}}{SF x \sigma_{HZ} x l} \quad [2.48]$$

Dimana : σ_{HZ} = tegangan horisontal pada kedalaman Z

$$SF = 1.3 \text{ s/d } 1.5$$

Panjang *Geotextile* yang ditanam (L) :

$$L = L_e + L_R \quad [2.49]$$

L_e = panjang geotextile yang berada dalam *anchorage zone* (minimum = 3 ft /1.0m)

L_R = panjang geotextile yang berada di depan bidang longsor

Dimana :

Panjang L_R

$$L_R = (H - Z)x \left[\tan\left(45^\circ - \frac{\phi}{2}\right) \right] \quad [2.50]$$

Panjang L_e

$$L_e = \frac{S_v \cdot \sigma_h \cdot SF}{2[c + \sigma_v(\tan\delta)]} \quad [2.51]$$

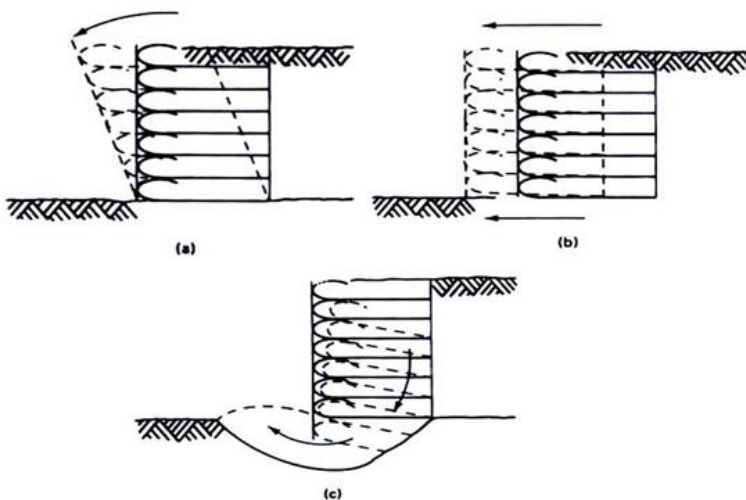
Panjang Lipatan L_o Gaya yang diperhitungkan $\frac{1}{2} \sigma_h$:

$$L_o = \frac{S_v \cdot \sigma_h \cdot SF}{4[c + \sigma_v(\tan\delta)]} \quad [2.52]$$

2. External Stability

Untuk perencanaan *Geotextile* sebagai dinding penahan tanah perlu diperhatikan *External Stability*, yaitu:

- Aman terhadap geser
- Aman terhadap guling
- Aman terhadap kelongsoran daya dukung



Gambar 2.11 *External Stability* pada *Geotextile Walls* (a) Aman terhadap geser (b) Aman terhadap geser (c) Aman terhadap kelongsor dan daya dukung

a. Kontrol Terhadap Geser

Faktor keamanan dapat dihitung dengan rumusan:

$$F = \frac{a \times b + N \times \tan \delta}{T} \quad [2.53]$$

Dimana: R = resultan gaya-gaya yang bekerja

N = komponen vertikal R

T = komponen horizontal R

b = lebar pondasi / landasan

a = karakteristik adhesi

δ = sudut geser antara dasar tembok dengan tanah

F = faktor keamanan

$F \geq 1,5 \rightarrow$ untuk tekanan pasif diabaikan

$F \geq 2,0 \rightarrow$ untuk tekanan pasif tidak diabaikan

Menurut Terzaghi dan Peck, unsur adhesi dapat diabaikan namun tetap menggunakan unsur lekatan antar tanah dan pondasi, sehingga perumusannya menjadi:

$$F = \frac{N \times \tan \delta}{T} \quad [2.54]$$

Tabel 2.7 Hambatan antar Tanah dan Pondasi

| | |
|---|---------------------|
| Tanah pondasi dengan butiran kasar, tanpa lempung dan lanau | $\delta = 30^\circ$ |
| Tanah pondasi dengan butiran kasar, dengan lempung atau lanau | $\delta = 25^\circ$ |
| Kasus yang lainnya | $\delta = 20^\circ$ |

(sumber : Herman Wahyudi, 1999)

Geser juga bisa terjadi didalam dinding penahan itu sendiri. Syarat agar tidak terjadi hal demikian adalah:

$$T < f \times N$$

$$F = \frac{f \times N}{T} \quad [2.55]$$

Dimana:

f = koefisien gesekan antar material didalam dinding.

Pada umumnya dipakai $f = 0,60$. (Wahyudi, Herman 1999)

b. Kontrol Terhadap Guling

Faktor keamanan dapat dihitung dengan rumusan:

$$FS = \sum \frac{\text{resisting moments}}{\text{driving moments}} \quad [2.56]$$

$$FS = \sum \frac{w_i \cdot x_i + P_a \sin \delta \cdot x_i}{P_a \cos \delta \cdot R_i} \quad [2.57]$$

Dimana:

w_i = Berat tanah di atas *geotextile* (t/m')

x_i/R_i = Jarak dari titik berat gaya ke titik O yang ditinjau/lengan momen (m)

P_a = Gaya akibat tekanan tanah aktif (t/m')

c. Kontrol Terhadap Daya Dukung Sebagai Pondasi

Kontrol daya dukung tanah yang dikemukakan oleh Terzaghi adalah :

$$ql = 0,5 \cdot \gamma \cdot B \cdot N\gamma + C \cdot Nc + (\gamma \cdot D + q_0) Nq \quad [2.58]$$

$$ql = \left(1 - 0,2 \frac{B}{L}\right) \cdot \gamma \cdot \frac{B}{2} \cdot N\gamma + \left(1 + 0,2 \frac{B}{L}\right) \cdot C \cdot Nc + (\gamma \cdot D + q_0) \cdot Nq \quad [2.59]$$

Tegangan ijin yang terjadi adalah:

$$\sigma_{\text{yang terjadi}} = \frac{ql}{SF} \quad [2.60]$$

Dimana: ql = tegangan dalam tanah maksimum

B = lebar dasar pondasi

D = kedalaman pondasi (terdalam)

γ = berat volume tanah

C = kohesi tanah

$N\gamma, Nc, Nq$ = koefisien daya dukung tanah akibat φ

SF = angka keamanan, umumnya ditetapkan $\geq 1,5$

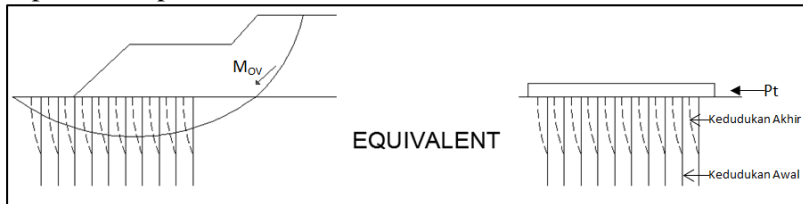
Tabel 2.8 Harga $N\gamma, Nc, Nq$ (Caquot dan Kerisel)

| ϕ° | Nc | $N\gamma$ | Nq |
|--------------|--------|-----------|--------|
| 0 | 5,14 | 0 | 1,00 |
| 5 | 6,50 | 0,10 | 1,60 |
| 10 | 8,40 | 0,50 | 2,50 |
| 15 | 11,00 | 1,40 | 4,00 |
| 20 | 14,80 | 3,50 | 6,40 |
| 25 | 20,70 | 8,10 | 10,70 |
| 30 | 30,00 | 18,10 | 18,40 |
| 35 | 46,00 | 41,10 | 33,30 |
| 40 | 75,30 | 100,00 | 64,20 |
| 45 | 134,00 | 254,00 | 135,00 |

(sumber: Herman Wahyudi, 1999)

2.6.3 Perkuatan tanah dengan cerucuk/*micropile*

Asumsi yang dipakai untuk perhitungan *micropile* ini adalah asumsi cerucuk oleh Mochtar (2012). Penggunaan cerucuk dimaksudkan untuk menaikkan tahanan geser tanah. Bila tahanan tanah terhadap geser meningkat, maka daya dukung tanah pun meningkat. Asumsi yang digunakan dalam konstruksi cerucuk dapat dilihat pada Gambar 2.12.



Gambar 2.12 Asumsi Gaya yang Diterima Cerucuk

(Sumber: Mochtar, 2012)

Adapun prosedur dari perhitungan kebutuhan cerucuk berdasarkan NAVFAC DM-7 (1971) adalah sebagai berikut:

- Menghitung kekuatan 1 (satu) buah cerucuk terhadap gaya horizontal.
- Menghitung faktor kekuatan relatif (T)

$$T = \left(\frac{EI}{f} \right)^{\frac{1}{5}} \quad [2.61]$$

di mana:

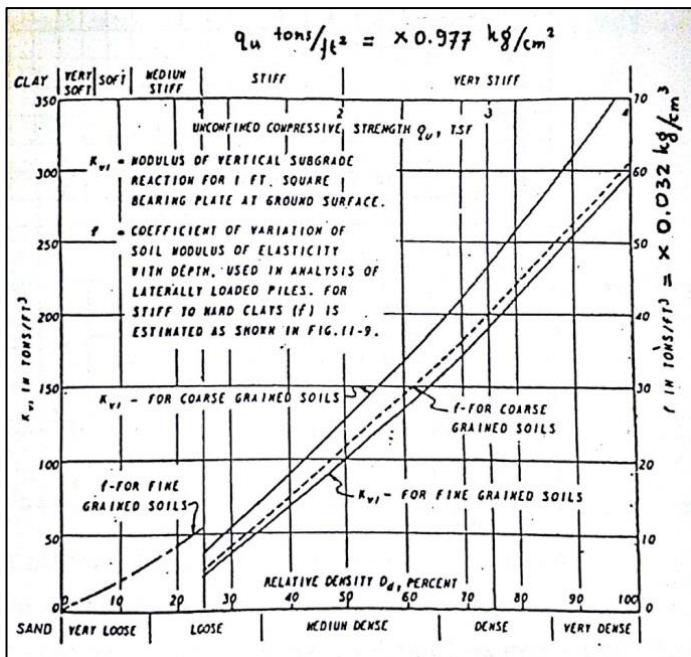
E = Modulus elastisitas tiang (cerucuk), Kg/cm^2

I = Momen inersia tiang (cerucuk), cm^4

f = koefisien dari variasi modulus tanah, kg/cm^3

T = faktor kekakuan relatif, cm

Harga f dengan bantuan Gambar 2.13 yang merupakan garfik antara f dengan unconfined compression strength, yaitu $q_u = 2.C_u$



Gambar 2.13 Harga f untuk Berbagai Jenis Tanah
(Sumber: *Design Manual*, NAVFAC DM-7, 1971)

Menghitung gaya horizontal yang mampu ditahan 1 tiang.

$$M_p = F_M \times (P \times T) \quad [2.62]$$

di mana:

M_p = momen lentur yang mampu ditahan oleh cerucuk akibat beban horizontal P , Kg.com.

F_M = koefisien momen akibat gaya lateral P .

P = gaya horizontal maksimum yang mampu diterima oleh satu cerucuk, Kg.

T = faktor kekakuan relatif, cm.

Dengan merencanakan panjang cerucuk yang tertahan di bawah/atas bidang gelincir (L) didapat harga L/T dengan bantuan Gambar 2.11 dan harga L/T pada kedalaman z didapat harga F_M .

Jadi, gaya horizontal yang mampu dipikul oleh 1 (satu) cerucuk adalah:

$$P = \frac{M_p}{F_M \times T} \quad [2.63]$$

Gaya maksimal P_{max} yang dapat ditahan oleh 1 cerucuk terjadi bila M_p = momen maksimal lentur bahan cerucuk. Bila kekuatan bahan dan dimensi bahan diketahui, maka:

$$M_p \text{ max 1 cerucuk} = \frac{\sigma_{\text{max bahan}} \times I_n}{C}$$

atau

$$M_p \text{ max 1 cerucuk} = \sigma_{\text{max}} \times W \quad [2.64]$$

di mana:

σ_{max} = tegangan tarik/tekan maks. bahan cerucuk

L = momen inersia penampang cerucuk terhadap garis yang melewati titik pusat penampang

C = $\frac{1}{2} \times D$, D = diamater cerucuk

W = I_n/C

$$P_{\text{max 1 cerucuk}} = \frac{M_p \text{ max 1 cerucuk}}{F_M \times T} \times F_k \quad [2.65]$$

dengan F_k menurut Rusdiansyah & Mochtar (2015):

$$F_k = 2,30 \times Y_t \times Y_s \times Y_n \times Y_D \quad [2.66]$$

dengan syarat:

- Spasi cerucuk yang digunakan : 3D sampai 8D

- Rasio tancap yang digunakan : $L/D = 5$ s.d. $L/D = 20$

Untuk nilai $L/D < 5$ maka digunakan persamaan $Y_t=0,02$ (X_t). Sedangkan untuk nilai $L/D > 20$ maka digunakan nilai $Y_t \leq 1,45$.

- Rasio D/T yang digunakan : 0,099 s.d. 0,113

($Y_D=1$ jika $D/T = 0,1$)

($Y_{D \min}=1$; $Y_{D \max}=2$)

Dimana:

F_k = faktor koreksi gabungan

Y_t = persamaan pengaruh rasio tancap cerucuk

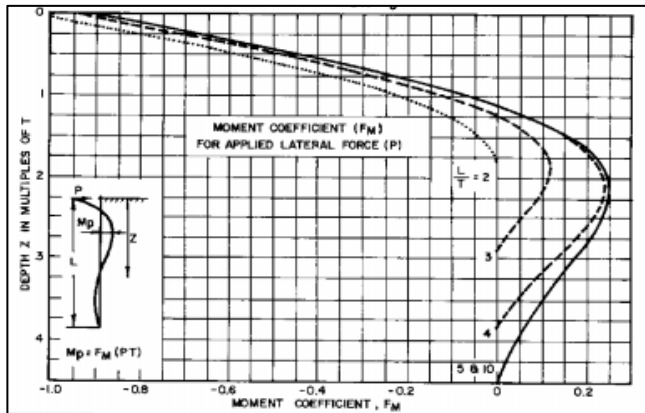
X_t = rasio tancap (L/D)

- Y_D = persamaan pengaruh diameter cerucuk
 X_D = rasio (D/T)
 Y_s = persamaan pengaruh spasi/jarak antar cerucuk
 X_s = spasi (S/D)
 Y_n = persamaan pengaruh jumlah cerucuk
 X_n = jumlah cerucuk

Tabel 2.9 Model Persamaan Cerucuk Untuk Masing-masing Variasi Perlakuan

| Variable of model pile-soil interaction | obtained average of P_{lab} / $P_{analytical}$ | Regression Formula obtained from Section 4 |
|--|--|--|
| Ratio of Pile Insertion, $X_t = L/D$ | 1.965 | $Y_t = 0.1(X_t) - 0.35;$ $(Y_t = 1.0 \text{ when } L/D = 15)$ $(\text{For } 0 < L/D < 5, Y_t = 0.02 X_t)$ $(Y_{t \max} = 1.45)$ |
| | 2.467 | |
| | 1.756 | |
| Ratio of Pile Spacing, $X_s = S/D$ | 0.422 | $Y_s = -0.057(X_s)^2 + 0.614(X_s) - 0.658;$ $(Y_s = 1.0 \text{ when } S/D = 5)$ |
| | 2.216 | |
| | 2.467 | |
| | 4.336 | |
| Number of Piles in Row = X_n | 2.590 | $Y_n = -0.047x_n + 1.051;$ $(Y_n = 1.0 \text{ when } X_n = 1)$ |
| Ratio of Pile Diameter, $X_D = D/T$ | 2.467 | $Y_D = 46.616(X_D) - 3.582;$ $(Y_D = 1.0 \text{ when } D/T = 0.1)$ $(Y_{D \min} = 1.0 ; Y_{D \max} = 1.70)$ |
| Average | 2.30 | |

(Sumber: Rusdiansyah & Mochtar, 2015)



Gambar 2.14 Grafik untuk Mencari Harga F_M
(Sumber: Design Manual, NAVFAC DM-7, 1971)

Untuk menghitung banyaknya tiang atau cerucuk per meter, maka ditentukan gaya horizontal total yang terjadi pada bidang gelincir (P_t).

$$SF_{\text{yang diinginkan}} = \frac{\text{Momen Penahan} (M_R)}{\text{Momen Penggerak} (M_D)} \quad [2.67]$$

Di mana:

SF_{yang diinginkan} = Safety Factor yang hendak dicapai

M_R = $\sum Cu_i \times L_i \times R_i$ = M_R dari tanah + ΔM_R dari cerucuk

Cu = Tegangan geser *undrained* tanah dasar

L = Panjang bidang gelincir

R = Jar-jari putar bidang gelincir

$$M_R = M_R \text{ dari tanah} + \Delta M_R \text{ dari cerucuk}$$

Di mana:

$$M_R = SF_{\text{yang diinginkan}} \times M_D$$

$$M_R \text{ dari tanah} = SF_{\text{yang ada}} \times M_D$$

Maka:

$$(SF_{\text{yang diinginkan}} \times M_D) = (SF_{\text{yang ada}} \times M_D) + \Delta M_R \text{ dari cerucuk}$$

$$\Delta M_R \text{ dari cerucuk} = (SF_{\text{yang diinginkan}} - SF_{\text{yang ada}}) \times M_D$$

Tambahan ΔM_R tersebut merupakan tambahan momen penahan yang ditimbulkan oleh adanya cerucuk, sehingga jumlah cerucuk yang dibutuhkan (n), adalah:

$$n \times P_{\max 1 \text{ cerucuk}} \times R = (SF_{\text{yang diinginkan}} - SF_{\text{yang ada}}) \times M_D$$

$$n = \frac{(SF_{\text{yang diinginkan}} - SF_{\text{yang ada}}) \times MD}{P_{\max 1 \text{ cerucuk}} \times R} \quad [2.68]$$

2.6.4 Perkuatan tanah dengan kombinasi *multiblocks* dan *geogrid*

Pada perkuatan tanah menggunakan kombinasi *multiblocks* dan *geogrid*, *multiblocks* berfungsi sebagai dinding penahan dengan *geogrid* sebagai perkuatan. *Geogrid* berguna untuk mempermudah posisi *multiblocks* untuk dapat saling *interlock* menjadi suatu kesatuan sehingga tercipta stabilitas struktur. Perhitungan kebutuhan *geogrid* dapat menggunakan prinsip perhitungan *geotextile wall* dengan tambahan gaya penahan dari berat *multiblocks* itu sendiri. Contoh Pemasangan ditampilkan pada Gambar 2.15

Gambar 2.15 Contoh Pemasangan *Multiblocks* dan *Geogrid*



(Sumber: Brosur PT. Multibangun Rekatama Patria)

2.7 Peningkatan Daya Dukung Tanah

Sebagai akibat penimbunan bertahap menyebabkan terjadinya konsolidasi pada suatu lapisan tanah, maka lapisan yang bersangkutan menjadi lebih padat yang berarti kekuatan tanah juga meningkat sebagai akibat kenaikan harga Cu (undrained shear strength). Maka dari itu perlu dihitung adanya peningkatan daya

dukung tanah dimana umur timbunan tidak sama setiap pentahapannya.

Kenaikan daya dukung akibat beban timbunan bertahap sebesar ΔP , adalah :

Penimbunan dilakukan seperti pada Tabel 2.10 dengan asumsi kecepatan penimbunan ketinggian tertentu per minggu.

Tabel 2.10 Tahapan Penimbunan

| Tinggi Timbunan | Waktu (minggu) | | | | | | | | | |
|-----------------|----------------|--------|--------|--------|--------|--------|--------|--------|--------|--------|
| | 0,60 m | 1,20 m | 1,80 m | 2,40 m | 3,00 m | 3,60 m | 4,20 m | 4,80 m | 5,40 m | 6,00 m |
| 0,60 m | 1 mg | | | | | | | | | |
| 1,20 m | 2 mg | 1 mg | | | | | | | | |
| 1,80 m | 3 mg | 2 mg | 1 mg | | | | | | | |
| 2,40 m | 4 mg | 3 mg | 2 mg | 1 mg | | | | | | |
| 3,00 m | 5 mg | 4 mg | 3 mg | 2 mg | 1 mg | | | | | |
| 3,60 m | 6 mg | 5 mg | 4 mg | 3 mg | 2 mg | 1 mg | | | | |
| 4,20 m | 7 mg | 6 mg | 5 mg | 4 mg | 3 mg | 2 mg | 1 mg | | | |
| 4,80 m | 8 mg | 7 mg | 6 mg | 5 mg | 4 mg | 3 mg | 2 mg | 1 mg | | |
| 5,40 m | 9 mg | 8 mg | 7 mg | 6 mg | 5 mg | 4 mg | 3 mg | 2 mg | 1 mg | |
| 6,00 m | 10 mg | 9 mg | 8 mg | 7 mg | 6 mg | 5 mg | 4 mg | 3 mg | 2 mg | 1 mg |

- Menetukan tahapan penimbunan
- Tegangan tanah mula-mula(tegangan *overburden*) = p'_o
- Penambahan tegangan beban ΔP , apabila periode pemberian beban t_1 dan derajat konsolidasi = U_1 , maka :

$$\Delta P_{u1} = \left(\frac{\sigma'_{t1}}{p'_{o1}} \right)^{u1} p'_{o1} - p'_{o1} \quad [2.69]$$

Contoh perhitungan ΔP_{ui} dapat dilihat pada Tabel 2.11

- Harga Cu baru dari tanah pada saat $t = t_1$ adalah :
 - Untuk harga *Plasticity Index* (PI) < 120%
 $Cu (\text{kg/cm}^2) = [0,0737 + (0,1899 - 0,0016 PI)] \sigma'_{\text{baru}}$ [2.70]
 - Untuk harga *Plasticity Index* (PI) $\geq 120\%$
 $Cu (\text{kg/cm}^2) = [0,0737 + (0,0454 - 0,00004 PI)] \sigma'_{\text{baru}}$ [2.71]

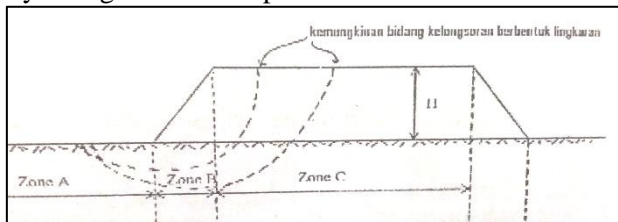
Tabel 2.11 Contoh Perhitungan Tegangan Vertikal efektif

| Tahapan penimbunan | Umur (munggu) | Derasat kejemuhan U_i | Δp_i pada U_i % |
|---|---------------|-------------------------|--|
| tanah asli 0,0 m | ~ | 100 % | p'_o |
| 0 - 0,60 m | 10 | 97,2 % | $\left(\frac{\sigma'_1}{p'_o}\right)^{0,972} \cdot p'_o - p'_o$ |
| 0,60 - 1,20 m | 9 | 96,0 % | $\left(\frac{\sigma'_2}{p'_o}\right)^{0,969} \cdot \sigma'_1 - \sigma'_1$ |
| 1,20 - 1,80 m | 8 | 94,3 % | $\left(\frac{\sigma'_3}{p'_o}\right)^{0,943} \cdot \sigma'_2 - \sigma'_2$ |
| 1,80 - 2,40 m | 7 | 91,9 % | $\left(\frac{\sigma'_4}{p'_o}\right)^{0,919} \cdot \sigma'_3 - \sigma'_3$ |
| 2,40 - 3,0 m | 6 | 88,5 % | $\left(\frac{\sigma'_5}{p'_o}\right)^{0,9885} \cdot \sigma'_4 - \sigma'_4$ |
| 3,0 - 3,6 m | 5 | 83,7 % | $\left(\frac{\sigma'_6}{p'_o}\right)^{0,837} \cdot \sigma'_5 - \sigma'_5$ |
| 3,6 - 4,20 m | 4 | 76,7 % | $\left(\frac{\sigma'_7}{p'_o}\right)^{0,767} \cdot \sigma'_6 - \sigma'_6$ |
| 4,20 - 4,80 m | 3 | 66,7 % | $\left(\frac{\sigma'_8}{p'_o}\right)^{0,667} \cdot \sigma'_7 - \sigma'_7$ |
| 4,80 - 5,40 m | 2 | 52,4 % | $\left(\frac{\sigma'_9}{p'_o}\right)^{0,542} \cdot \sigma'_8 - \sigma'_8$ |
| 5,0 - 6,0 m | 1 | 31,7 % | $\left(\frac{\sigma'_{10}}{p'_o}\right)^{0,317} \cdot \sigma'_9 - \sigma'_9$ |
| Catatan : $\sigma'_{i+1} = \sigma'_i + \Delta p_i$ | | | $\Sigma = \sigma'_{i=0,0 \text{ meter}}^{10}$ |
| | | | $= p'_o + \sum_{i=1}^{10} \Delta p_{i,i}$ |

(Sumber: Mochtar, 2012)

2.8 Perhitungan Stabilitas Timbunan Sesudah Pemampatan

Seperti telah disebutkan sebelumnya bahwa stabilitas timbunan dapat dihitung berdasarkan program Xstabl atau sejenisnya dengan asumsi seperti Gambar 2.16.



Gambar 2.16 Pembagian Zona Kekuatan Tanah
(Sumber: Mochtar, 2012)

Dimana:

Zona A = Tanah dalam kondisi masih asli, Cu = Cu asli

Zona B = Zona transisi $Cu_{di\ B} = \frac{Cu_{di\ A} + Cu_{di\ c}}{2}$

Zona C = Tanah terkonsolidasi di bawah timbunan H, Cu baru dihitung seperti pada Sub bab 2.7.

2.9 Perencanaan *Abutment* Jembatan

2.9.1 Pembebanan *abutment* jembatan

Pembebanan dalam desain mengikuti RSNI T-02-2005 tentang Standar Pembebanan untuk Jembatan.

Beban dari pelat lantai jembatan diteruskan kepada abutment melalui perletakan. Beban vertikal maksimum pada perletakan dipadatkan dari analisa perhitungan pelat lantai jembatan. Dari perhitungan pembebanan tersebut dapat ditentukan jenis pondasi yang cocok untuk abutment dan juga tipe perletakan yang akan digunakan.

Beban horizontal pada abutment diakibatkan oleh beban angin, efek temperatur, rangkak (*creep*), beban penggereman lalu lintas dan pemasangan tembok pelindung jembatan (parapet). Beban sentrifugal juga dapat disebabkan apabila jari-jari lengkungan jalan pada jalan kurang dari 1000 meter. Beban longitudinal yang berasal dari efek temperatur pada pelat lantai akan bergantung pada jenis perletakan yang digunakan. Perletakan elastomer pada umumnya dipasang dengan merekatkan pelat lantai dan ujung abutment sehingga elastomer tersebut dapat berubah bentuk ketika pelat lantai berdeformasi. Gaya longitudinal yang dihasilkan oleh deformasi tersebut harus sesuai dengan kekakuan geser dari perletakan dan besarnya gerakan yang terjadi.

Pada sisi lain, geser yang terjadi pada perletakan akan menghasilkan beban longitudinal yang sebanding dengan reaksi beban mati dan koefisien friksi antara geser permukaan. Koefisien friksi (μ) nilainya bervariasi antara 0,01 sampai 0,08 tergantung tipe perletakan dan kuat tekan perletakan. (Childs, 1993).

Jenis beban yang akan diperhitungkan dalam pembebanan antara lain.

- a. Beban mati
- b. Beban hidup
 - Beban terbagi rata (BTR)
 - Beban Garis Terpusat (BGT)
 - Beban angin
 - Beban rem
 - Beban gempa

2.9.2 Kontrol stabilitas *abutment*

Stabilitas *abutment* dapat ditentukan dengan menganalisa:

- a. Longsor
- b. Kegagalan dari tanah dasar
- c. Kegagalan gelincir dari tanah di sekeliling *abutment*

Untuk menambah faktor keamanan disarankan agar *abutment* diurug setinggi elevasi perletakannya. Hal tersebut akan memberikan akses yang bagus pada konstruksi pelat jembatan (Childs, 1993).

Daya dukung tanah dasar yang diijinkan didapatkan dari survey penyelidikan tanah. Besarnya tekanan yang diijinkan bergantung pada dimensi pondasi dan beban yang bekerja pada *abutment* jembatan.

Beberapa penyebab kegagalan gelincir antara lain:

- a. *Abutment* dibangun pada tanah yang rawan longsor
- b. Struktur *abutment* berdiri diatas tanah lempung yang berat daya dukungnya berbanding lurus dengan kedalamannya
- c. Struktur *abutment* berdiri pada lapisan yang kuat namun dibawah lapisan kuat tersebut terdapat lapisan yang rapuh
- d. Struktur *abutment* didirikan pada lapisan yang memiliki tekanan tanah pori yang tinggi (dapat disebabkan keadaan alam atau sumber buatan)

Beberapa analisa untuk kontrol stabilitas *abutment* antara lain.

- a. Kontrol geser

Kontrol geser dapat dianalisa menggunakan persamaan sebagai berikut:

$$F \leq \frac{f \cdot W}{\Sigma H}; F = 1,5 \quad [2.72]$$

Dimana:

f = koefisien gesek antara beton dengan tanah = 0,6

W = beban vertikal yang bekerja pada dinding yaitu berat sendiri abutment, berat tanah dan beban struktur bangunan beton

$W = W_{\text{total}} + R_D$

W_{total} = berat sendiri abutment dan berat tanah diatas abutment

R_D = beban struktur bangunan atas yang dipikul oleh abutment (reaksi di perletakan)

$$\Sigma H = E_{a1} + E_{a2} + E_{w1} + E_{w2} \quad [2.73]$$

b. Kontrol penurunan

c. Kontrol guling

Kontrol guling tidak perlu dilakukan apabila kontrol geser dan kontrol penurunan sudah memenuhi syarat. Untuk menganalisa kontrol guling kita harus menemukan satu titik acuan. Titik acuan dapat diambil dengan melihat bagian terluar dari pangkal *abutment*. Titik tersebut kemudian dinamakan sebagai titik pusar guling. Langkah selanjutnya adalah menghitung momen penahanan dan momen guling. Kontrol guling lalu dihitung dengan menguraikan persamaan sebagai berikut.

$$\text{Syarat} = \frac{\Sigma \text{Momen penahan}}{\Sigma \text{Momen guling}} \geq 2,2 \quad [2.74]$$

2.10 Perumusan Daya Dukung Pondasi Tiang Pancang

Secara umum perumusan kapasitas daya dukung tiang pancang dapat dirumuskan sebagai berikut:

$$Q_{\text{ult}} = Q_s + Q_p \quad [2.75]$$

di mana:

Q_{ult} = Daya dukung *ultimate* pondasi tiang pancang

Q_s = Gesekan sepanjang keliling tiang pancang (*friction*).

Q_p = Daya dukung ujung tiang pancang (*end bearing capacity*)

Adapun metode yang dipakai untuk mendapatkan harga Q_{ult} dalam penuisan Tugas Akhir ini adalah berdasarkan data SPT (*Standard Penetration Test*) di lapangan.

2.10.1 Perencanaan daya dukung tiang pancang berdasarkan SPT lapangan

Data SPT dari lapangan tidak dapat langsung digunakan untuk perencanaan daya dukung tiapng pancang dan harus dilakukan beberapa koreksi terhadap data tersebut. Koreksi-koreksi yang harus diperhitungkan adalah sebagai berikut:

1. Koreksi terhadap muka air tanah

- Untuk tanah pasir halus, pasir belanau, dan pasir berlempung yang berada di bawah muka air tanah dengan harga $N > 15$, maka harga N dikoreksi dengan menggunakan persamaan berikut dan diambil harga yang terkecil:
 - a. $N_1 = 15 + \frac{1}{2} + (N - 15)$ (Terzaghi & Peck, 1960) [2.76]
 - b. $N_1 = 0,6 N$ (Bazaraa, 1967) [2.77]
 - Untuk jenis tanah lempung, lanau, pasir kasar dengan harga $N \leq 15$ tidak perlu dilakukan koreksi sehingga $N_1 = N$.
- Catatan: Untuk jenis tanah di luar pasir tersebut di atas, koreksi ini tidak diperlukan.

2. Koreksi terhadap *overburden pressure* dari tanah

Hasil dari koreksi terhadap muka air tanah (N_1) dikoreksi terhadap pengaruh tekanan vertikal efektif pada lapisan tanah, di mana harga N tersebut didapatkan (tekanan vertikal efektif = tekanan overburden).

Menurut Bazaraa (1967), koreksi terhadap tekanan overburden dapat dilakukan dengan persamaan berikut:

- Bila $\sigma_o \leq 7,5$ ton/m², maka:

$$N_2 = \frac{4xN_t}{1+0,4x\sigma_o} \quad [2.78]$$

- Bila $\sigma_o > 7,5$ ton/m², maka:

$$N_2 = \frac{4xN_t}{3,25+0,1x\sigma_o} \quad [2.79]$$

di mana:

σ_o = tekanan tanah vertikal efektif pada lapisan tanah atau kedalaman yang ditinjau, dalam satuan ton/m².

$$= \sum \gamma_i' x h_i$$

Harga N2 yang didapat nilainya harus kurang dari atau sama dengan dua kali harga N1 ($N2 \leq 2N1$).

Untuk menghitung end-bearing capacity dilakukan perhitungan sebagai berikut:

$$P_{ujung} = C_{n_{ujung}} \times A_{ujung} \text{ (ton)} \quad [2.80]$$

di mana:

$$C_{n_{ujung}} = 40 \times N, \text{ (ton/m}^2\text{)}$$

N = harga rata-rata N_2 dari 4.D di bawah ujung tiang pancang sampai dengan 8.D di atas ujung tiang pancang.

$$A_{ujung} = \text{luas ujung tiang pancang, (m}^2\text{)}$$

Untuk menghitung *friction* sepanjang tiang pancang dilakukan perhitungan sebagai berikut:

$$\sum Ps_i = Cl_i \times AS_i \quad [2.81]$$

di mana:

$Cl_i = fs_i$ = hambatan geser selimut tang pada setiap lapisan atau kedalaman.

$$= N_i / 2 \text{ (ton/m}^2\text{), untuk tanah lempung atau lanau.}$$

$$= N_i / 5 \text{ (ton.m}^2\text{), untuk tanah pasir.}$$

As_i = luas selimut tiang pada setiap lapisan i.

$$= O_i \times h_i$$

O_i = keliling tiang pancang.

Sehingga:

$$P_{ult \ 1 \ tiang} = P_{ujung} + \sum R_{S_i}$$

$$P_{ijin} = \frac{P_{ult \ 1 \ tiang}}{SF} \quad [2.82]$$

Harga SF = 2 untuk beban sementara, dan SF = 3 untuk beban tetap.

2.10.2 Kapasitas daya dukung kelompok tiang pancang

Jika daya dukung ultimate kelompok tiang pancang kategori end bearing piles, maka daya dukung kelompok tiang pancang dapat dianggap sebagai daya dukung sebuah tiang dikalikan dengan jumlah tiang pancang. Tetapi jika termasuk kategori friction piles, maka terdapat faktor reduksi pada daya dukung tiang pancang.

Faktor reduksi tersebut dapat ditentukan dengan memilih nilai terbesar dari 3 persamaan rumus berikut :

1. Converse-Labarre (Poulus dan Davis, 1980), yaitu:

$$C = 1 - \operatorname{arctg} \frac{D}{S} x \left[\frac{(n-1)xm + (m-1)xn}{90xmn} \right] \quad [2.83]$$

2. Los Angeles Group, yaitu :

$$C = 1 - \frac{D}{\pi S} x \left[\frac{(n-1)xm + (m-1)xn + (m-1)(n-1)\sqrt{2}}{mn} \right] \quad [2.84]$$

3. Seilwe-Keeney, yaitu :

$$C = \left[1 - \frac{36s}{(75s^2 - 7)} \frac{(m+n-2)}{(m+n-1)} \right] + \frac{0.3}{(m+n)} \quad [2.85]$$

di mana:

- C = faktor reduksi
- D = diameter tiang pancang
- S = jarak antara pusat tiang pancang
- m = jumlah baris dalam kelompok tiang pancang
- n = jumlah tiang pancang dalam satu baris

2.10.3 Ketahanan pondasi tiang pancang terhadap gaya lateral

Perumusan yang dipakai dalam perhitungan gaya lateral yang mampu diterima oleh pondasi tiang pancang dalam tugas akhir ini diambil dari NAVFAC DM-7 (1971). Menurut NAVFAC DM-7 tersebut, gaya lateral yang bekerja pada pondasi tiang pancang dibedakan atas 3 (tiga) kondisi, yaitu:

1. Tiang pancang yang poernya fleksibel atau tiang pancang yang terjepit ujungnya (Gambar 2.18). Kondisi ini disebut sebagai kondisi I.
2. Tiang pancang dengan poer kaku menempel di atas permukaan tanah (Gambar 2.19). Kondisi ini disebut sebagai kondisi II.
3. Tiang pancang dengan poer kaku terletak pada suatu ketinggian (Gambar 2.20). Kondisi ini disebut sebagai kondisi III.

Prosedur perhitungan untuk masing-masing kondisi adalah sebagai berikut:

- **Kondisi I:**

1. Menghitung faktor kekakuan relative (*relative stiffness factor*).

$$T = \left(\frac{E \times I}{f} \right)^{\frac{1}{5}} \quad [2.86]$$

di mana:

E = modulus elastisitas tiang (cerucuk), Kg/cm^2

I = momen inersia tiang (cerucuk), cm^4

f = koefisien dari variasi modulus tanah, kg/cm^3

T = dalam cm

2. Menghitung defleksi, momen dan gaya geser pada kedalaman yang ditinjau dari rumus yang terdapat pada Gambar 2.18

- **Kondisi II:**

1. Sama dengan langkah 1 kondisi I.
2. Menentukan koefisien defleksi (F_δ) dan koefisien (F_M) berdasarkan Gambar 2.19
3. Menghitung defleksi dan besarnya momen berdasarkan rumus yang terdapat pada Gambar 2.19
4. Gaya geser maksimum dianggap terjadi pada ujung atas tiang pancang, yang besarnya untuk 1 tiang pancang adalah:

$$P = \frac{PT}{n} \quad [2.87]$$

di mana:

P = besar gaya geser 1 tiang pancang

PT = besar gaya geser total yang bekerja

n = jumlah tiang pancang

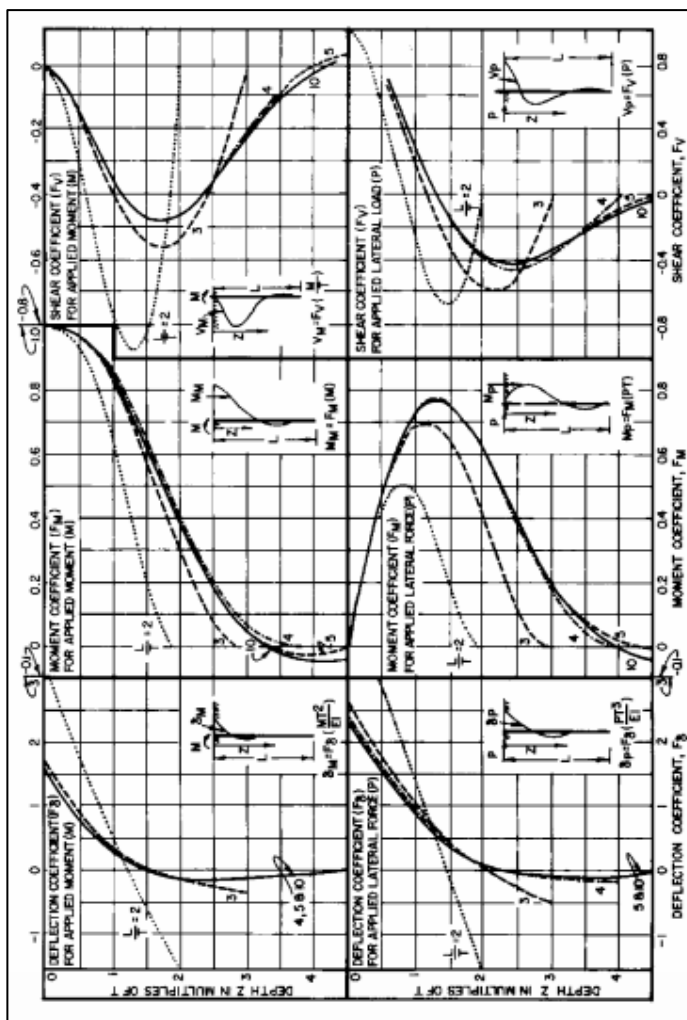
- **Kondisi III:**

1. Menganggap pada titik A terjadi jepitan dan momen M_1 seperti pada Gambar 2.20
2. Menghitung sudut θ_2 di atas tanah.
3. Menghitung sudut θ_1 dari koefisien sudut (F_o) dari rumus yang terdapat pada Gambar 2.20

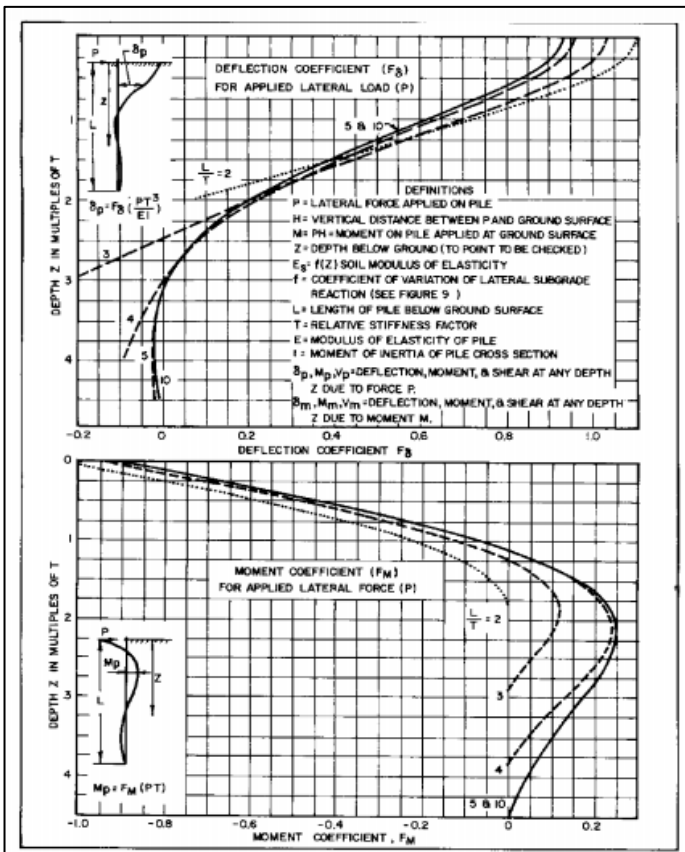
4. Dengan persamaan $\theta_1 = \theta_2$, diperoleh nilai momen.
5. Setelah mendapatkan nilai M dan P₁, menghitung besarnya defleksi, gaya geser dan momen seperti pada Kondisi I.

| CASE I. FLEXIBLE CAP, ELEVATED POSITION | | |
|---|--|---|
| CONDITION | LOAD AT GROUND LINE | DESIGN PROCEDURE |
| <p>$n = \text{NUMBER OF PILES}$</p> | <p>FOR EACH PILE:</p> $P = \frac{P_T}{n}$ $M = PH$ <p>DEFLECTED POSITION</p> | <p>FOR DEFINITION OF PARAMETERS SEE FIGURE I2</p> <ol style="list-style-type: none"> 1. COMPUTE RELATIVE STIFFNESS FACTOR. $T = (\frac{EI}{L})^{1/5}$ 2. SELECT CURVE FOR PROPER L IN FIGURE II. 3. OBTAIN COEFFICIENTS F_B, F_M, F_V AT DEPTHS DESIRED. 4. COMPUTE DEFLECTION, MOMENT AND SHEAR AT DESIRED DEPTHS USING FORMULAS OF FIGURE II. <p>NOTE - "f" VALUES FROM FIGURE 9 AND CONVERT TO LB/IN².</p> |
| CASE II. PILES WITH RIGID CAP AT GROUND SURFACE | | |
| | | <ol style="list-style-type: none"> 1. PROCEED AS IN STEP 1, CASE I. 2. COMPUTE DEFLECTION AND MOMENT AT DESIRED DEPTHS USING COEFFICIENTS F_B, F_M AND FORMULAS OF FIGURE I2. 3. MAXIMUM SHEAR OCCURS AT TOP OF PILE AND EQUALS $P = \frac{P_T}{n}$ IN EACH PILE. |
| CASE III. RIGID CAP, ELEVATED POSITION | | |
| | | <ol style="list-style-type: none"> 1. ASSUME A HINGE AT POINT A WITH A BALANCING MOMENT M APPLIED AT POINT A. 2. COMPUTE SLOPE θ_2 ABOVE GROUND AS A FUNCTION OF M FROM CHARACTERISTICS OF SUPERSTRUCTURE. 3. COMPUTE SLOPE θ_1 FROM SLOPE COEFFICIENTS OF FIGURE I3 AS FOLLOWS: $\theta_1 = F_B \left(\frac{P_T^2}{EI} \right) + F_B \left \frac{MT}{EI} \right$ 4. EQUATE $\theta_1 = \theta_2$ AND SOLVE FOR VALUE OF M. 5. KNOWING VALUES OF P AND M, SOLVE FOR DEFLECTION, SHEAR, AND MOMENT AS IN CASE I. <p>NOTE: IF GROUND SURFACE AT PILE LOCATION IS INCLINED, LOAD P TAKEN BY EACH PILE IS PROPORTIONAL TO I/H_0^3.</p> |

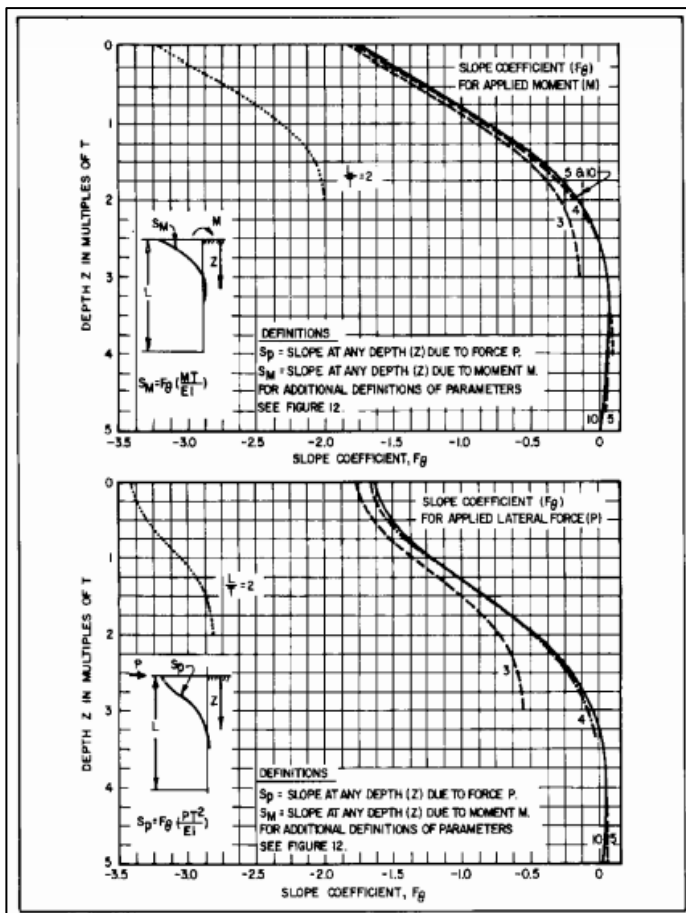
Gambar 2.17 Prosedur Desain untuk Masing-masing Kondisi
(Sumber : *Design Manual, NAVFAC DM-7, 1971*)



Gambar 2.18 Koefisien-koefisien untuk Tiang Pancang yang Menerima Beban Lateral pada Kondisi I
 (Sumber: NAVFAC DM-7, 1971)



Gambar 2.19 Koefisien-koefisien untuk Tiang Pancang yang Menerima Beban Lateral pada Kondisi II
 (Sumber: NAVFAC DM-7, 1971)



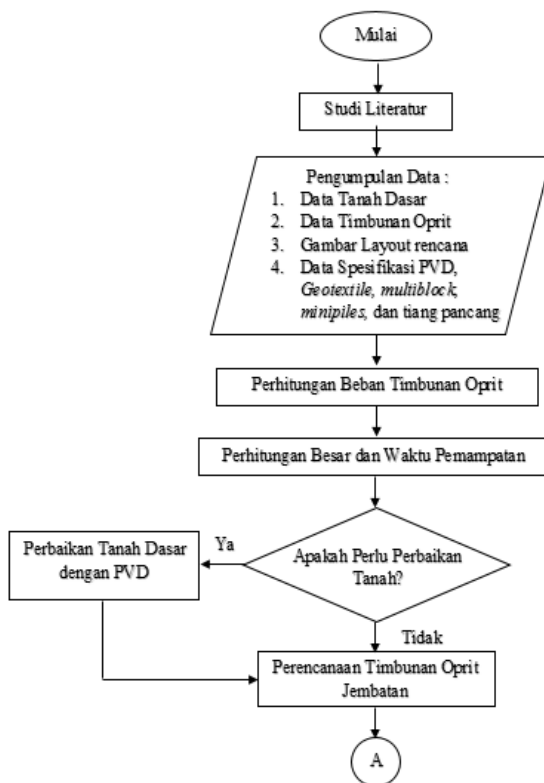
Gambar 2.20 Koefisien-koefisien untuk Tiang Pancang yang Menerima Beban Lateral pada Kondisi III
 (Sumber: NAVFAC DM-7, 1971)

Halaman ini sengaja dikosongkan

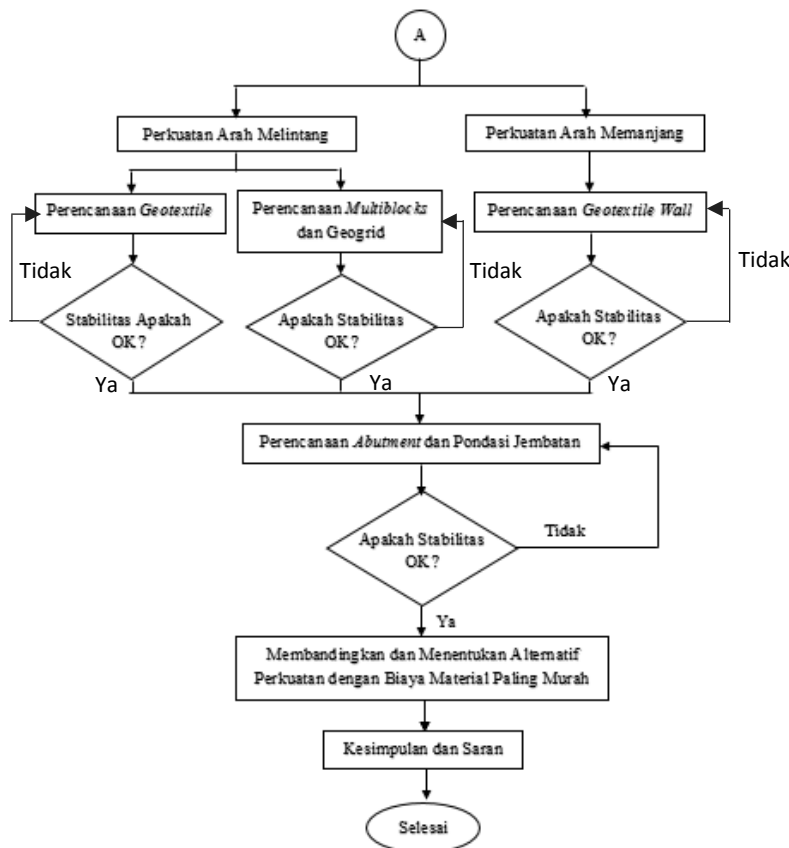
BAB III METODOLOGI

3.1 Bagan Alir

Gambar 3.1 berikut ini adalah diagram alir pada penulisan Tugas Akhir “Perencanaan Ulang Timbunan Oprit dan *Abutment* Jembatan Plasma Batu Tugu – Plasma Tanjung Kurung, Palembang (yang mengalami keruntuhan sebelumnya pada saat pelaksanaan)”



Gambar 3.1 Diagram Alir Tugas Akhir



Gambar 3.1 (Lanjutan) Diagram Alir Tugas Akhir

3.2 Studi Literatur

Studi Literatur pada tugas akhir diperlukan sebagai penunjang dan pengetahuan dasar sebelum penggerjaan tugas akhir. Dalam proses ini, penulis dapat mengetahui berbagai macam dasar teori yang digunakan dalam penggerjaan tugas akhir. Studi literatur didapatkan dari berbagai sumber seperti buku diktat kuliah, jurnal, peraturan-peraturan terkait, internet, serta buku penunjang lainnya

yang berhubungan dengan masalah yang dibahas dalam tugas akhir. Adapun bahan teori yang nantinya digunakan adalah sebagai berikut:

1. Teori pemampatan / *settlement*
2. Teori waktu konsolidasi
3. Teori perbaikan tanah dengan PVD
4. Perkuatan timbunan dengan *geotextile*
5. Perkuatan Timbunan dengan *Multiblocks* dan *geogrid*.
6. Teori tentang *Geotextile Wall* sebagai dinding penahan tanah
7. Teori tentang cerucuk
8. Teori pondasi dalam

3.3 Pengumpulan dan Analisa Data

Data-data yang dipakai dalam perencanaan ini adalah data sekunder yang didapat dari instansi terkait atau hasil *survey* dari pihak lain. Data tersebut meliputi:

1. Data tanah dasar
2. Data timbunan dan oprit
3. Gambar *layout* rencana
4. Data spesifikasi PVD
5. Data spesifikasi *geotextile*
6. Data spesifikasi *multiblocks* dan *geogrid*
7. Data detail jembatan beton *girder* bentang 30 meter.
8. Data spesifikasi *minipiles* dan tiang pancang.

3.4 Perhitungan Beban

Menghitung beban yang terjadi pada timbunan oprit rencana, baik yang berasal dari tanah timbunan sendiri maupun beban lalu lintas dan diterjemahkan menjadi distribusi tegangan pada tanah asli.

3.5 Menghitung Pemampatan Tanah yang Terjadi

Dengan data sekunder dari analisa tanah pada lapangan serta perhitungan, diperoleh besar dan waktu pemampatan dari tanah dasar yang terjadi.

3.6 Merencanakan Jenis Perbaikan Tanah Dasar

Apabila pemampatan yang terjadi cukup besar dan waktu yang dibutuhkan untuk memampat cukup lama, maka dibutuhkan perencanaan perbaikan tanah dasar. Perencanaan perbaikan tanah dasar yang digunakan adalah *Prefabricated Vertical Drain* (PVD). Namun apabila pemampatan yang terjadi relatif kecil dan waktu yang dibutuhkan untuk memampat tidak lama, maka langkah ini dapat diabaikan.

3.7 Merencanakan Timbunan Oprit Jembatan

Perencanaan timbunan oprit jembatan adalah merencanakan perkuatan yang terdiri dari dua alternatif perkuatan, yaitu *geotextile* atau kombinasi *multiblocks* dan *geogrid*. Kedua alternatif tersebut harus memenuhi kemampuan stabilitas melintang. Untuk perkuatan timbunan oprit arah memanjang direncanakan menggunakan perkuatan dengan *geotextile wall* sebagai fungsi dinding penahan. Timbunan oprit di belakang *abutment* dibedakan menjadi beberapa zona berdasarkan ketinggian timbunan yang nantinya akan menentukan jenis perkuatannya.

Penentuan jenis perkuatan yang digunakan didasarkan pada besarnya biaya material yang dibutuhkan.

3.8 Merencanakan *Abutment* dan Pondasi

Perencanaan pondasi jembatan dilakukan atas pertimbangan adanya beban yang terjadi secara langsung terhadap pondasi. Perencanaan ini harus memenuhi ketahanan terhadap geser, guling, dan amblas.

Penentuan dimensi *abutment* didasarkan pada dimensi *abutment* yang memenuhi ketahanan geser, guling, dan amblas seefisien mungkin yang dilihat dari besarnya biaya material yang dibutuhkan.

3.9 Kesimpulan dan Saran

Pada kesimpulan dipaparkan rencana perkuatan timbunan, oprit, beserta pondasi jembatan yang dipakai, beserta alasan pertimbangan pemilihan.

Pada saran dituliskan saran dan harapan atas perencanaan timbunan oprit dan abutmen jembatan plasma batu tugu – plasma tanjung kurung, palembang ini supaya tidak terjadi lagi keruntuhan yang sama seperti sebelumnya maupun perencanaan lain yang sejenis, demi peningkatan kualitas perencanaan selanjutnya.

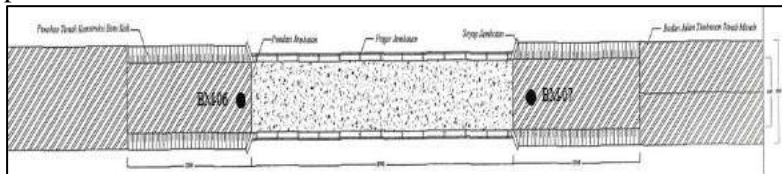
Halaman ini sengaja dikosongkan

BAB IV

DATA DAN ANALISA

4.1 Data Tanah

Data tanah yang digunakan dalam Tugas Akhir ini adalah data SPT dan data laboratorium hasil penyelidikan tanah Proyek Pembangunan Jembatan Plasma Batu Tugu – Plasma Tanjung Kurung, Palembang yang dilakukan oleh Laboratorium Mekanika Tanah Universitas Sriwijaya tahun 2008. Data SPT yang tersedia berjumlah dua data pengeboran yang berada pada sisi sebelum sungai dan sisi setelah sungai yaitu BM-06 dan BM-07 (Gambar 4.1). Data dianalisa dengan membandingkan jenis tanah dan analisa SPT untuk mendapatkan kedalaman tanah mampu mampat ($N_{SPT} \leq 10$). Hubungan N -SPT dengan kedalaman untuk menentukan tebal lapisan tanah yang terkonsolidasi dapat dilihat pada Gambar 4.2.

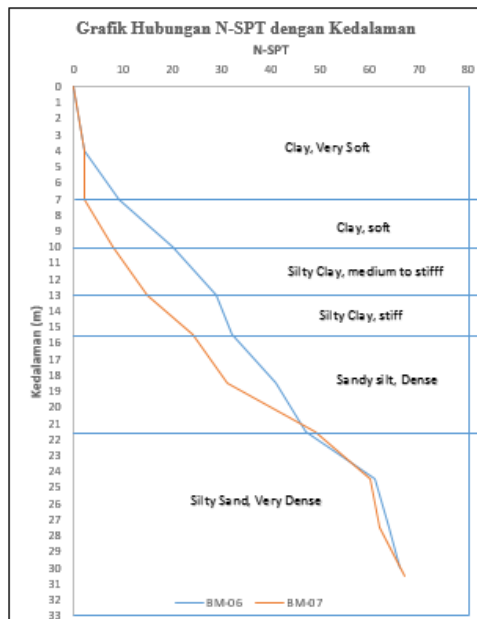


Gambar 4.1 *Layout Lokasi Titik Bor*
(Sumber: PT. Golden Blossom Sumatera)

4.2 Analisa Parameter Tanah

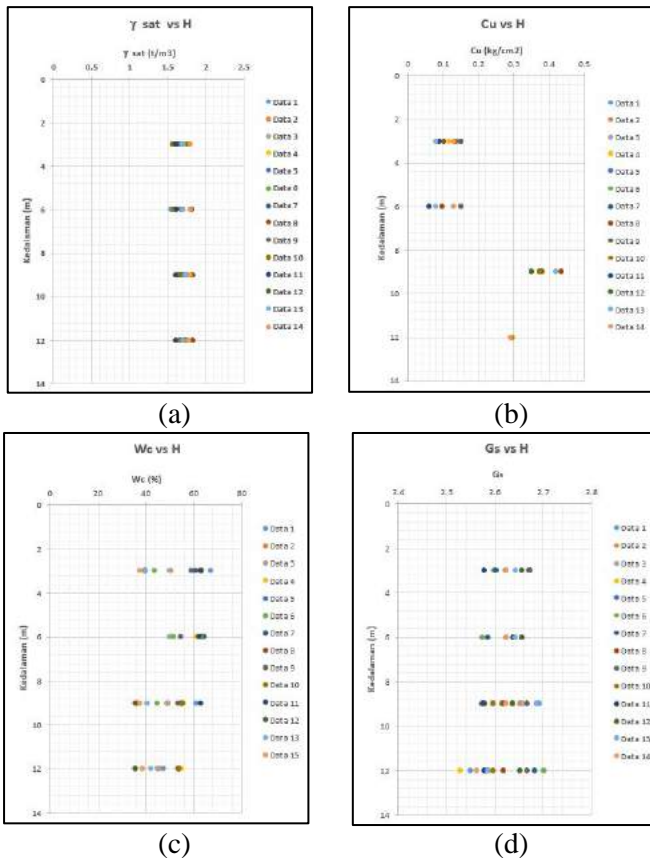
Akibat terbatasnya data parameter tanah yang dimiliki, maka perlu dicari data parameter tanah lain dengan jenis tanah dan nilai N-SPT yang hampir sama tiap kedalamannya. Data parameter tanah yang digunakan dalam Tugas Akhir ini diperoleh dari hasil penyelidikan tanah di lokasi (BM-06 dan BM-07) yang digabungkan dengan 14 data tanah lain yang memiliki nilai N-SPT dan jenis tanah yang hampir sama. Selanjutnya nilai parameter tanah dibagi menjadi layer per kedalaman 3 m berdasarkan konsistensi tanah. Penentuan nilai parameter tanah dari gabungan data tanah sejenis menggunakan metode statistik dengan selang kepercayaan 90%.

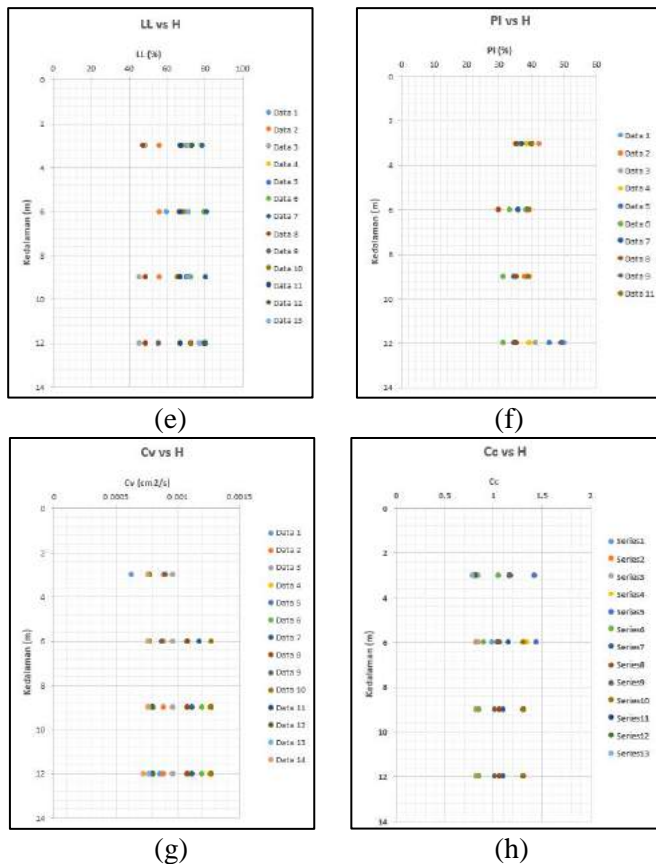
Berdasarkan Gambar 4.2 didapatkan bahwa tanah mampu mampat berada sampai pada tanah kedalaman 10 meter dengan N-SPT 10 .



Gambar 4.2 Hubungan N-SPT dan Kedalaman
(Sumber: Hasil analisa)

Sebaran data parameter tanah setiap kedalamannya dapat dilihat pada Gambar 4.3. Hasil statistika dapat dilihat pada Lampiran 1 dan hasil analisa parameter tanah dasar dapat dilihat pada Tabel 4.1.





Gambar 4.3 Grafik Parameter Tanah Menurut Kedalaman (a) Berat Jenis Tanah Jenuh, (b)Kuat Geser Tanah, (c) Kadar Air, (d) *Specific Gravity*, (e) *Liquid Limit*, (f) Indeks Plastisitas, (g)Koefisien Konsolidasi, (h) Indeks Kompresi.

(Sumber: Hasil Analisa)

Tabel 4.1 Parameter Dasar Tanah

| Kedalaman (m) | Deskripsi | N-SPT | ϕ | Cu | γ_{sat} | Wc | Gs | LL | PI | Cv | Cc |
|------------------|--------------------|-------|--------|--------------------|------------------|-------|-------|-------|-------|----------------------|-------|
| | | | ° | kg/cm ² | t/m ³ | % | | % | % | (cm ² /s) | |
| 0-3 | clay, very soft | 2 | 3 | 0.108 | 1.637 | 56.93 | 2.614 | 70.83 | 37.28 | 0.000741 | 1.177 |
| 3-6 | | 2 | 3 | 0.104 | 1.630 | 60.90 | 2.617 | 72.66 | 34.55 | 0.000880 | 1.193 |
| 6-9 | clay, soft | 5 | 3 | 0.371 | 1.676 | 52.82 | 2.612 | 69.80 | 34.94 | 0.000929 | 1.171 |
| 9-10 | silty clay, medium | 10 | 15 | 0.292 | 1.678 | 49.25 | 2.586 | 73.06 | 38.06 | 0.000918 | 1.171 |

(Sumber: Hasil Analisa)

Nilai angka pori (e) ditentukan dengan menggunakan rumus $\gamma_{sat} = \frac{G_s \cdot \gamma_w (W_c + 1)}{1 + e}$. Berikut adalah contoh perhitungan e pada kedalaman 0-3 m:

$$1.637 = \frac{2,614 \times 1 (0,5693+1)}{1+e}$$

$$e = 1,507 \text{ gr/cm}^3$$

sehingga,

$$\gamma' = 0,5554 \text{ gr/cm}^3$$

Nilai indeks mengembang (C_s) diambil 1/10 dari indeks kompresi (C_c). Berikut adalah contoh perhitungan C_s pada kedalaman 0-3 m:

$$C_s = \frac{1}{10} \times 1.177$$

$$= 0,118$$

Hasil perhitungan parameter e dan C_s ditampilkan pada Tabel 4.2.

Tabel 4.2 Hasil Perhitungan Parameter e dan C_s

| Kedalaman (m) | γ_{sat} | Wc | Gs | C_c | C_s | e |
|------------------|------------------|-------|-------|-------|-------|-------|
| | t/m ³ | % | | | | |
| 0-3 | 1.637 | 56.93 | 2.614 | 1.177 | 0.118 | 1.507 |
| 3-6 | 1.630 | 60.90 | 2.617 | 1.193 | 0.119 | 1.583 |
| 6-9 | 1.676 | 52.82 | 2.612 | 1.171 | 0.117 | 1.382 |
| 9-10 | 1.678 | 49.25 | 2.586 | 1.171 | 0.117 | 1.300 |

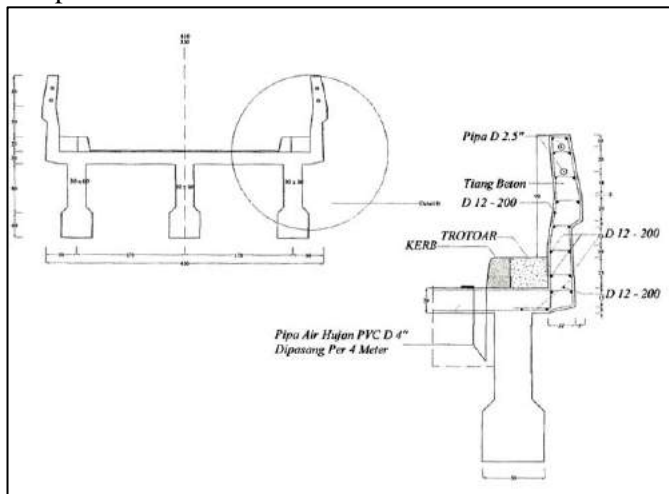
(Sumber: Hasil Perhitungan)

4.3 Data Timbunan Oprit

- Tinggi timbunan oprit : 6 meter dan 5.3 meter
- Kemiringan (*slope*) melintang : 1: 2
- Kemiringan (*slope*) memanjang : 3% dan 0%
- Lebar badan jalan rencana : 6 m
- Ø : 30°
- γ timbunan : 1,80 t/m³
- γ sat timbunan : 1,80 t/m³
- Fluktuasi muka air banjir : 4.4 meter

4.4 Data Jembatan

Jembatan direncanakan menggunakan girder seperti pada perencanaan sebelumnya dengan bentang 30 meter dengan bentuk girder seperti Gambar 4.4.



Gambar 4.4 Potongan Melintang Girder Jembatan dan Detail

4.5 Data Tiang Pancang

Tiang Pancang direncanakan menggunakan tiang pancang (spun piles) produksi WIKA BETON. Diameter spun piles yang

dihitung yakni diameter 30 cm dan 40 cm. Spesifikasi selengkapnya dapat dilihat pada Lampiran 2.

4.6 Data Geotextile

Geotextile digunakan pada alternatif timbunan oprit trapesium dan sebagai dinding penahan tanah timbunan arah memanjang jembatan. *Geotextile* direncanakan menggunakan spesifikasi Unggul-Tex UW 250 dengan tensile strength 52 KN/m produksi PT. Teknindo Geosistem Unggul. Spesifikasi selengkapnya dapat dilihat pada Lampiran 2.

4.7 Data Micropile

Micropile direncanakan menggunakan *micropile* ATA BETON. Spesifikasi *micropile* yang digunakan adalah *micropile* segi empat dengan dimensi 20x20 cm. Spesifikasi selengkapnya dapat dilihat pada Lampiran 2.

4.8 Data Vertical Drain

Vertical drain yang digunakan adalah *Prefabricated Vertical Drain* merk CeTeau Drain CT-D812 produksi PT. Teknindo Geosistem Unggul dengan spesifikasi sebagai berikut:

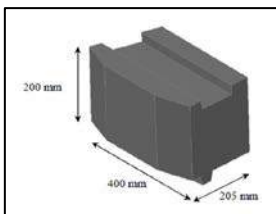
- Weight = 70 g/m
- Thickness (a) = 100 mm
- Width (b) = 3 mm

Spesifikasi selengkapnya dapat dilihat pada Lampiran 2.

4.9 Data Multiblocks

Multiblocks yang digunakan adalah *modular concrete block* dengan dimensi sebagai berikut:

- Panjang = 400 mm
- Lebar = 205 mm
- Tinggi = 200 mm



Gambar 4.5 Dimensi *Modular Concrete Block*
Spesifikasi selengkapnya dapat dilihat pada Lampiran 2.

4.10 Data *Geogrid*

Geogrid digunakan sebagai alternatif timbunan oprit tegak yang dikombinasikan dengan penggunaan *multiblocks*. *Geogrid* yang digunakan adalah *Uniaxial Geogrid* produksi PT. Multibngun Rekatama Patria tipe RE580 dengan *Tensile Strength* 59.17 kN/m. Spesifikasi selengkapnya dapat dilihat pada Lampiran 2.

BAB V

PERENCANAAN DAN PEMILIHAN ALTERNATIF

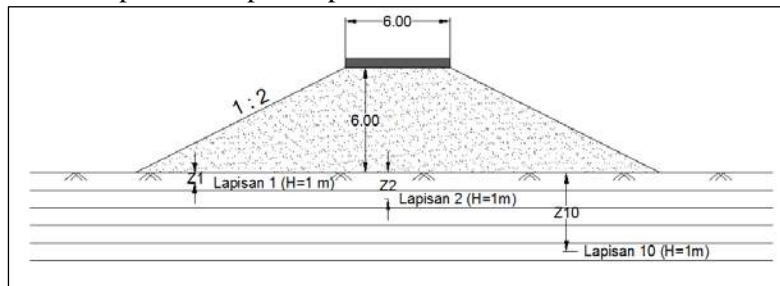
5.1 Perhitungan Besar Pemampatan (S_c) dan Tinggi Timbunan Awal ($H_{initial}$)

5.1.1 Alternatif 1 (timbunan miring)

Suatu lapisan tanah dianggap mudah memampat apabila lapisan tanah tersebut berupa tanah lempung atau lanau dengan rentang konsistensi sangat lunak sampai dengan menengah (*very soft to medium stiff soil*).

Timbunan oprit direncanakan untuk sebelum dan sesudah sungai memiliki ketinggian yang sama. Dari profil lapisan tanah dasar yang ditunjukkan pada Bab IV, dapat diketahui kedalaman tanah asli yang direncanakan untuk sebelum dan sesudah sungai adalah 10 meter yang merupakan lapisan *medium stiff* dengan SPT = 10. Maka, perhitungan besar *settlement* harus ditinjau sampai kedalaman 10 meter (*compressible soil*).

Tanah dasar dibagi dalam lapisan-lapisan dengan ketebalan $H=1$ m seperti ditampilkan pada Gambar 5.1



Gambar 5.1 Pembagian Lapisan Tanah Dasar Setiap 1m

Untuk mendapatkan nilai $H_{initial}$ dilakukan perhitungan pemampatan konsolidasi akibat variasi pemberian beban timbunan (q), beban merata *pavement* jalan, dan beban *traffic*. Variasi beban timbunan yang diberikan yaitu:

$$h \text{ timbunan} = 3 \text{ m} \rightarrow q = 3 \times \gamma_{timb} = 5.4 \text{ t/m}$$

$$h \text{ timbunan} = 5 \text{ m} \rightarrow q = 5 \times \gamma_{\text{timb}} = 9 \text{ t/m}^2$$

$$h \text{ timbunan} = 7 \text{ m} \rightarrow q = 7 \times \gamma_{\text{timb}} = 12.6 \text{ t/m}^2$$

$$h \text{ timbunan} = 9 \text{ m} \rightarrow q = 9 \times \gamma_{\text{timb}} = 16.2 \text{ t/m}^2$$

$$h \text{ timbunan} = 11 \text{ m} \rightarrow q = 11 \times \gamma_{\text{timb}} = 19.8 \text{ t/m}^2$$

$$h \text{ timbunan} = 13 \text{ m} \rightarrow q = 13 \times \gamma_{\text{timb}} = 23.4 \text{ t/m}^2$$

$$h \text{ timbunan} = 15 \text{ m} \rightarrow q = 15 \times \gamma_{\text{timb}} = 27 \text{ t/m}^2$$

$$h \text{ timbunan} = 17 \text{ m} \rightarrow q = 17 \times \gamma_{\text{timb}} = 30.6 \text{ t/m}^2$$

$$h \text{ timbunan} = 19 \text{ m} \rightarrow q = 19 \times \gamma_{\text{timb}} = 34.2 \text{ t/m}^2$$

Beban-beban tersebut didistribusikan ke kedalaman tanah yang ditinjau (z) sebagai beban merata trapesium. Sedangkan untuk beban merata *pavement* jalan direncanakan tebal *pavement* 0.45 m dengan berat jenis aspal 2.2 t/m³, sehingga didapatkan q sebesar 0.99 t/m². Beban *pavement* tersebut akan disitribusikan sebagai beban merata persegi pada kedalaman (z). Untuk beban *traffic* menggunakan asumsi bahwa q *traffic* berkorelasi dengan tinggi timbunan yang direncanakan (Japan Road Association, 1986)

Lalu dihitung tegangan *overburden* efektif (σ'_o) dan distribusi tegangan akibat q total ($\Delta\sigma'$). Berikut adalah contoh perhitungan tegangan *overburden* efektif (σ'_o) akibat timbunan:

Pada lapisan 1:

$$H = 1 \text{ m}$$

$$Z = 0.5 \text{ m}$$

$$(\sigma'_o) = \gamma' \times Z$$

$$= (0,637 \text{ t/m}^3) \times 0,5 \text{ m}$$

$$= 0,318 \text{ t/m}^2$$

Hasil perhitungan σ'_o seluruhnya ditampilkan pada Lampiran 2.

Besar tegangan akibat beban timbunan ($\Delta\sigma'$) ditentukan dengan Persamaan 2.11. Berikut adalah contoh perhitungan tegangan akibat beban timbunan ($\Delta\sigma'$) dengan $q = 5,4 \text{ t/m}^2$:

Pada lapisan 1:

$$\begin{aligned}
 Z &= 0,5 \text{ m} \\
 B1 &= \frac{\text{lebar jalan rencana}}{2} \\
 &= \frac{6 \text{ m}}{2} \\
 &= 3 \text{ m} \\
 B2 &= 2 \times H \text{ total} \\
 &= 2 \times 3 \text{ m} \\
 &= 6 \text{ m} \\
 \alpha 1 &= \tan^{-1}\left(\frac{B1+B2}{z}\right) - \tan^{-1}x\left(\frac{B1}{z}\right) \text{ (radian)} \\
 &= \tan^{-1}\left(\frac{3+6}{0,5}\right) - \tan^{-1}x\left(\frac{3}{0,5}\right) \text{ (radian)} \\
 &= 6,282^\circ
 \end{aligned}$$

$$\begin{aligned}
 \alpha 2 &= \tan^{-1}x\left(\frac{B1}{z}\right) \text{ (radian)} \\
 &= \tan^{-1}x\left(\frac{3}{0,5}\right) \text{ (radian)} \\
 &= 80,538^\circ
 \end{aligned}$$

$$\begin{aligned}
 q_0 &= 5,4 \text{ t/m}^2 \\
 \Delta\sigma' &= \frac{q_0}{\pi} x \left[\left(\frac{B1+B2}{B2} \right) x (\alpha 1 + \alpha 2) - \left(\frac{B1}{B2} x \alpha 2 \right) \right] \\
 &= \frac{5,4}{\pi} x \left[\left(\frac{3+6}{6} \right) x (6,282 + 80,538) - \left(\frac{3}{6} x 80,538 \right) \right] \\
 &= 2,699 \text{ t/m}^2
 \end{aligned}$$

$$\begin{aligned}
 2\Delta\sigma' &= 2 \times 2,699 \text{ t/m}^2 \\
 &= 5,398 \text{ t/m}^2
 \end{aligned}$$

Hasil perhitungan $\Delta\sigma'$ untuk seluruh lapisan ditampilkan pada Lampiran 2.

Kemudian dilakukan perhitungan *settlement* yang terjadi akibat setiap q yang ditentukan. Perumusan yang digunakan adalah Persamaan 2.8 atau Persamaan 2.9. Berikut adalah contoh perhitungan *settlement* tanah dasar akibat beban timbunan sebesar $q = 5,4 \text{ t/m}^2$:

Pada lapisan 1:

$$\begin{aligned}
 H_i &= 1 \text{ m} \\
 C_c &= 1,177 \\
 C_s &= 0,118 \\
 e_0 &= 1,507
 \end{aligned}$$

$$\begin{aligned}
 \sigma' o &= 0,318 \text{ t/m}^2 \\
 \Delta\sigma' &= 5,398 \text{ t/m}^2 \\
 \sigma' o + \Delta\sigma' &= 0,318 \text{ t/m}^2 + 5,398 \text{ t/m}^2 \\
 &= 5,716 \text{ t/m}^2 \\
 P \text{ fluktuasi} &= 4,4 \text{ t/m}^2 \\
 \sigma c' &= \sigma' o + P \text{ fluktuasi} \\
 &= 0,318 \text{ t/m}^2 + 4,4 \text{ t/m}^2 \\
 &= 4,718 \text{ t/m}^2 \\
 OCR &= \frac{\sigma' c}{\sigma' o} \\
 &= \frac{4,718 \text{ t/m}^2}{0,318 \text{ t/m}^2} \\
 &= 14,823 > 1 \rightarrow OC
 \end{aligned}$$

$\sigma' o + \Delta\sigma' > \sigma c'$ → menggunakan Persamaan 2.9. Sehingga:

$$\begin{aligned}
 Sc &= \frac{Cs.H_0}{1+e_0} \cdot \log \frac{\sigma' c'}{\sigma' o} + \frac{Cc.H_0}{1+e_0} \cdot \log \frac{\sigma' o + \Delta\sigma}{\sigma' c'} \\
 Sc &= \frac{0,118 \times 1}{1+1,507} \cdot \log \frac{4,718 \text{ t/m}^2}{0,318 \text{ t/m}^2} + \frac{1,177 \times 1}{1+1,507} \cdot \log \frac{5,716 \text{ t/m}^2}{4,718 \text{ t/m}^2} \\
 Sc &= 0,094 \text{ m}
 \end{aligned}$$

Total pemampatan yang terjadi dari seluruh layer tanah beban timbunan sebesar $q = 5,4 \text{ t/m}^2$ adalah sebesar 0,345 m.

Setelah tanah dasar mengalami pemampatan akibat beban timbunan, maka timbunan yang diletakkan akan menjadi lebih rendah dari elevasi rencana. Oleh sebab itu perlu dicari tinggi awal timbunan menggunakan Persamaan 2.14. Berikut adalah contoh perhitungan tinggi timbunan awal:

Untuk percobaan $q = 5,4 \text{ t/m}^2$ dengan Sc total = 0,345 m

$$\begin{aligned}
 H_{\text{inisial}} &= \frac{q + (S_c \times \gamma_{\text{timb}}) - (S_c \times \gamma'_{\text{timb}})}{\gamma_{\text{timb}}} \\
 H_{\text{inisial}} &= \frac{5,4 + (0,345 \times 1,8) - (0,345 \times 0,8)}{1,8} \\
 H_{\text{inisial}} &= 3,19 \text{ m}
 \end{aligned}$$

Setelah mendapatkan H_{inisial} , kemudian dihitung kembali besarnya pemampatan akibat beban *pavement* dengan kedalaman distribusi yang sudah disesuaikan dengan H_{inisial} yang sudah didapat. Perumusan yang digunakan adalah Persamaan 2.8 atau

Persamaan 2.9. Berikut contoh perhitungan *settlement* tanah dasar akibat beban *pavement* sebesar $q = 0,99 \text{ t/m}^2$:

Pada Lapisan 1:

$$z_i = 0,5 \text{ m}$$

$$z = H_{\text{initial}} + z_i = 3,19 + 0,5 = 3,69 \text{ m}$$

$$x = \infty \rightarrow m = x/z = \infty$$

$$y = 3 \text{ m} \rightarrow n = y/z = 3 / 3,69 = 0,813$$

Dari grafik pada Gambar 2.3 diperoleh $I = 0,19$. Karena I tersebut diambil di titik tengah beban terbagi rata maka perhitungan dengan Persamaan 2.13 untuk beban *pavement* total dapat dikali 4.

$$\begin{aligned}\Delta\sigma' &= 4 \times I \times q \\ &= 4 \times 0,19 \times 0,99 \text{ t/m}^3 \\ &= 0,562 \text{ t/m}^2\end{aligned}$$

$$\begin{aligned}\sigma'_o + \Delta\sigma' &= 0,318 \text{ t/m}^2 + 0,562 \text{ t/m}^2 \\ &= 0,881 \text{ t/m}^2\end{aligned}$$

$$\sigma_c' = 4,718 \text{ t/m}^2$$

$\sigma'_o + \Delta\sigma' < \sigma_c'$ → menggunakan Persamaan 2.8, didapatkan:

$$\begin{aligned}Sc &= \frac{c_s H_0}{1+e_0} \cdot \log \frac{\sigma'_{vo} + \Delta\sigma}{\sigma'_{vo'}} \\ Sc &= \frac{0,118 \cdot 1}{1+1,507} \cdot \log \frac{0,881}{0,318}\end{aligned}$$

$$= 0,025 \text{ m}$$

Total pemampatan yang terjadi dari seluruh layer tanah akibat beban *pavement* sebesar $q = 0,99 \text{ t/m}^2$ adalah sebesar $0,058 \text{ m}$.

Langkah-langkah tersebut diulang dengan menggunakan tinggi timbunan yang berbeda dan beban *pavement* jalan sebesar $0,99 \text{ t/m}^2$. Hasil perhitungan *settlement* untuk seluruh lapisan tanah ditampilkan pada Lampiran 3.

H bongkar traffic didapatkan dari grafik Road Association, 1986 pada Gambar 2.3. Berikut contoh penentuan H_{bongkar} :

Pada $q = 5,4 \text{ t/m}^2$

$H_{\text{initial}} = 3,19 \text{ m}$

Berdasarkan grafik, besar beban akibat traffic yang didistribusikan ke tanah dasar dengan tinggi timbunan sebesar 3,19 meter didapatkan:

$$q_{\text{traffic}} = 0,5 \text{ t/m}^2$$

q dikonversikan ke tinggi timbunan dan didapatkan H bongkar sebesar $q_{\text{traffic}}/\gamma$ timb = 0,278 m.

Selanjutnya menghitung tinggi final sesuai dengan Persamaan 2.15 yaitu :

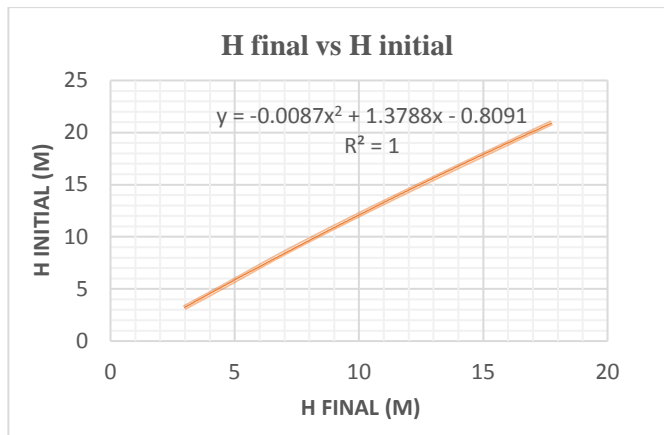
$$H_{\text{final}} = H_{\text{initial}} - S_c \text{ akibat timbunan} - H_{\text{bongkar traffic}} + \text{tebal } \textit{pavement} - S_c \text{ akibat pavement}$$

Hasil perhitungan H_{final} disajikan dalam Tabel 5.1. Pada Gambar 5.2 ditampilkan grafik hubungan H_{final} dengan H_{inisial} dan pada Gambar 5.3 ditampilkan grafik hubungan H_{final} dengan *Settlement*.

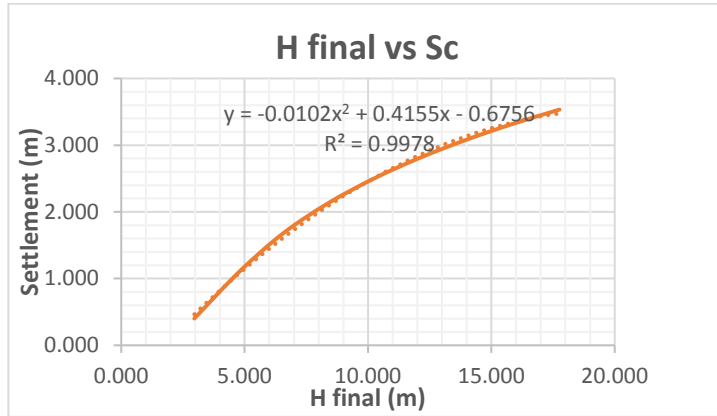
Tabel 5.1 Hasil Perhitungan H_{initial} , $H_{\text{Bongkar Traffic}}$ dan H_{final}
Alternatif 1

| q timb t/m^2 | S_c akibat q timb (m) | H initial (m) | H bongkar Traffic (m) | Tebal Pavement (m) | S_c akibat pavemen (m) | H final (m) |
|----------------------------|------------------------------|--------------------|----------------------------|-----------------------|-----------------------------|------------------|
| Direncanakan | Perhitungan | $(A+B)/\gamma$ | Grafik | Direncanakan | Perhitungan | $C-B-D+E-F$ |
| A | B | C | D | E | F | G |
| 5.4 | 0.345 | 3.191 | 0.278 | 0.450 | 0.058 | 2.961 |
| 9 | 1.066 | 5.592 | 0.111 | 0.450 | 0.048 | 4.817 |
| 12.6 | 1.639 | 7.910 | 0.111 | 0.450 | 0.041 | 6.569 |
| 16.2 | 2.091 | 10.162 | 0.111 | 0.450 | 0.036 | 8.374 |
| 19.8 | 2.463 | 12.368 | 0.111 | 0.450 | 0.032 | 10.213 |
| 23.4 | 2.779 | 14.544 | 0.111 | 0.450 | 0.027 | 12.077 |
| 27 | 3.054 | 16.697 | 0.111 | 0.450 | 0.023 | 13.958 |
| 30.6 | 3.297 | 18.832 | 0.111 | 0.450 | 0.020 | 15.853 |
| 34.2 | 3.514 | 20.952 | 0.111 | 0.450 | 0.018 | 17.759 |

(Sumber: Hasil Analisis)



Gambar 5.2 Grafik Hubungan H_{final} dengan $H_{initial}$ (Alternatif 1)



Gambar 5.3 Grafik Hubungan H_{final} dengan Settlement (Alternatif 1)

Dari grafik-grafik di atas dapat ditentukan $H_{initial}$ dan *settlement* yang terjadi dengan H_{final} yaitu:

1. Pada zona 1 ($H_{final} = 6$ meter)
 $H_{initial} = 7,2$ m dan *settlement* = 1,45 m
2. Pada zona 2 ($H_{final} = 5,3$ meter)
 $H_{initial} = 6,3$ m dan *settlement* = 1,24 m

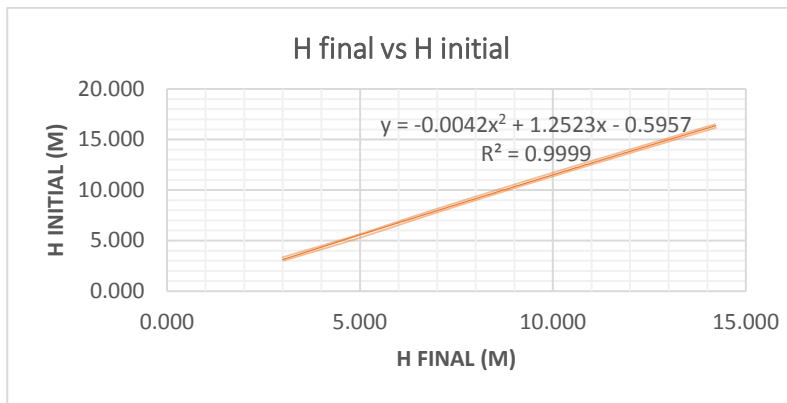
5.1.2 Alternatif 2 (timbunan tegak)

Untuk perhitungan tinggi timbunan awal dan *settlement* pada alternatif 2 sama seperti langkah pada sub bab 5.1.1. Perhitungan perubahan tegangan akibat beban timbunan digunakan grafik pada Gambar 2.2. Hasil perhitungan besar timbunan awal dan *settlement* akibat timbunan, *traffic*, dan *pavement* ditampilkan pada Tabel 5.2

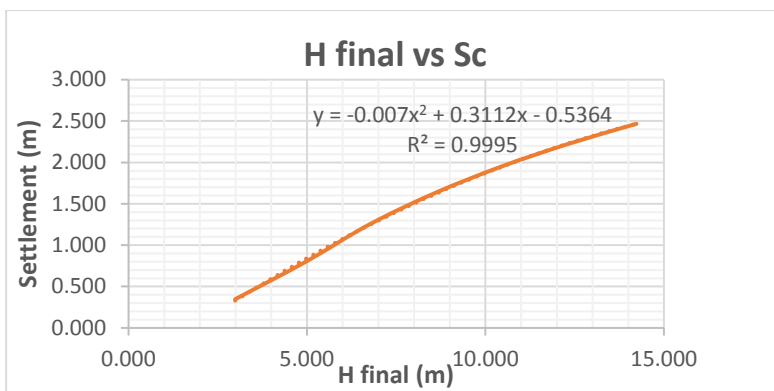
Tabel 5.2 Hasil Perhitungan $H_{initial}$, $H_{Bongkar Traffic}$ dan H_{final}
Alternatif 2

| q timb t/m ² | Sc akibat q timb (m) | $H_{initial}$ (m) | $H_{bongkarTraffic}$ (m) | Tebal Pavement (m) | Sc akibat pavement (m) | H_{final} (m) | Sc total (m) |
|----------------------------|----------------------------|----------------------|-----------------------------|--------------------------|------------------------------|--------------------|-----------------|
| Direncanakan | Perhitungan | $(A+B)/t$ | Grafik | Direncanakan | Perhitungan | $C-B-D+E-F$ | $B+F$ |
| A | B | C | D | E | F | G | H |
| 5.4 | 0.289 | 3.160 | 0.278 | 0.450 | 0.058 | 2.986 | 0.347 |
| 9 | 0.749 | 5.416 | 0.111 | 0.450 | 0.049 | 4.957 | 0.798 |
| 12.6 | 1.212 | 7.673 | 0.111 | 0.450 | 0.041 | 6.759 | 1.253 |
| 16.2 | 1.597 | 9.887 | 0.111 | 0.450 | 0.035 | 8.594 | 1.632 |
| 19.8 | 1.920 | 12.067 | 0.111 | 0.450 | 0.032 | 10.454 | 1.952 |
| 23.4 | 2.198 | 14.221 | 0.111 | 0.450 | 0.028 | 12.334 | 2.226 |
| 27 | 2.443 | 16.357 | 0.111 | 0.450 | 0.024 | 14.229 | 2.467 |

(Sumber: Hasil Analisis)



Gambar 5.4 Grafik Hubungan H_{final} dengan $H_{initial}$ (Alternatif 2)



Gambar 5.5 Grafik Hubungan H_{final} dengan *Settlement* (Alternatif 2)

Dari grafik-grafik di atas dapat ditentukan $H_{inisial}$ dan *settlement* yang terjadi dengan H_{final} yaitu:

3. Pada zona 1 ($H_{final} = 6$ meter)
 $H_{inisial} = 6,8$ m dan *settlement* = 1,1 m
4. Pada zona 2 ($H_{final} = 5,3$ meter)
 $H_{inisial} = 5,9$ m dan *settlement* = 0,9 m

Perhitungan tinggi timbunan awal dan *settlement* untuk timbunan tegak ditampikan pada Lampiran 3.

5.2 Perencanaan Perbaikan Tanah dengan PVD

5.2.1 Perhitungan waktu konsolidasi (t)

Waktu konsolidasi (t) dihitung dengan Persamaan 2.19. Berikut adalah contoh perhitungan untuk tanah dasar sebelum sungai:

$$t = \frac{Tv.(H_{dr})^2}{Cv}$$

dengan:

$$Tv = 0,848 \text{ (Tabel 2.3)}$$

$$H_{dr} = 10 \text{ meter}$$

$$Cv = \frac{(H_1+H_2+\dots+H_n)^2}{\left(\frac{H_1}{\sqrt{Cv_1}} + \frac{H_2}{\sqrt{Cv_2}} + \dots + \frac{H_n}{\sqrt{Cv_n}}\right)^2} \text{ (Persamaan 2.20)}$$

$$\begin{aligned}
 &= \frac{(3+3+3+1)^2}{\left(\frac{3}{\sqrt{0,000741}} + \frac{3}{\sqrt{0,00088}} + \frac{3}{\sqrt{0,000929}} + \frac{1}{\sqrt{0,000918}}\right)^2} \\
 &= 0,0008509 \text{ cm}^2/\text{detik} \\
 &= 0,000000085 \text{ m}^2/\text{detik} \\
 &= 2,6835 \text{ m}^2/\text{tahun} \\
 t &= \frac{0,848 \cdot (10m)^2}{2,6835 \text{ m}^2/\text{tahun}} \\
 &= 31,6 \text{ tahun}
 \end{aligned}$$

Karena waktu yang dibutuhkan untuk konsolidasi sebesar 90% sangat lama, maka diperlukan bantuan *vertical drain* untuk mempercepat waktu konsolidasi tersebut. Jenis *vertical drain* yang dipakai adalah *Prefabricated Vertical Drain* (PVD). Hasil perhitungan waktu konsolidasi ditampilkan pada Lampiran 4.

5.2.2 Perencanaan *Prefabricated Vertical Drain* (PVD)

Tujuan dari pemasangan PVD pada perencanaan ini adalah untuk membantu mempercepat proses pemampatan konsolidasi, sehingga dapat berlangsung dengan waktu yang relatif singkat.

Perencanaan PVD dalam Tugas Akhir ini menggunakan pola persegi dan pola segitiga, dengan jarak antar PVD (S) yang dihitung adalah 0,5; 0,75; 1; 1,25; 1,5; 1,75; 2; dan 2,25 meter.

5.2.2.1 Perencanaan PVD dengan pola segiempat

Berikut adalah contoh perhitungan perencanaan PVD pola segi empat dengan jarak S = 1 m:

- Menghitung Fungsi Hambatan PVD (F(n)) menggunakan Persamaan 2.23 atau Persamaan 2.24.

D = diameter ekivalen dari lingkaran tanah yang merupakan daerah pengaruh dari *vertical drain*.

$$= 1,13 \times S$$

$$= 1,13 \times 1$$

$$= 1,13 \text{ m}$$

$$dw = 2(a+b)/\pi$$

$$= 2(100+3)/\pi$$

$$= 51,5 \text{ mm}$$

$$n = D/dw$$

$$\begin{aligned}
 &= 1,13 / 0,0515 \text{ m} \\
 &= 21,94 \\
 F(n) &= \left(\frac{n^2}{n^2 - 1^2} \right) \left[\ln(n) - \frac{3}{4} - \left(\frac{1}{4n^2} \right) \right] \\
 F(n) &= \left(\frac{21,94^2}{21,94^2 - 1^2} \right) \left[\ln(21,94) - \frac{3}{4} - \left(\frac{1}{21,94^2} \right) \right] \\
 F(n) &= 2,338
 \end{aligned}$$

Hasil perhitungan D, n, dan F(n) untuk setiap jarak antar PVD ditampilkan pada Lampiran 4.

- Menghitung Derajat Konsolidasi (U_v) dengan PVD

Dalam hal ini besarnya U_v diasumsikan kurang dari 60% sehingga digunakan Persamaan 2.29 Sesuai dengan persamaan tersebut, untuk memperoleh nilai U_v maka terlebih dahulu perlu mengetahui nilai T_v . Nilai T_v didapat dari Persamaan 2.19.

- $C_v = 0,0008509 \text{ cm}^2/\text{dtk}$
- $t = 1 \text{ minggu} = 604800 \text{ detik}$
- $H_{dr} = 10 \text{ m} = 1000 \text{ cm}$

$$\begin{aligned}
 T_v &= \text{faktor waktu} = \frac{t \times C_v}{(H_{dr})^2} \\
 &= \frac{1 \text{ minggu} \times (604800 \text{ detik}) \times 0,000000085 \text{ m}^2/\text{detik}}{(10 \text{ m})^2} \\
 &= 0,0005
 \end{aligned}$$

$$\begin{aligned}
 U_v &= \text{derajat konsolidasi tanah akibat aliran air arah vertikal} \\
 &= \left(2 \sqrt{\frac{T_v}{\pi}} \right) \times 100\% \\
 &= \left(2 \sqrt{\frac{0,0005}{\pi}} \right) \times 100\% \\
 &= 0,0256
 \end{aligned}$$

- Menghitung Derajat Konsolidasi (U_h) dengan PVD menggunakan Persamaan 2.21

- $C_{vgab} = 0,0008509 \text{ cm}^2/\text{dtk}$
- $K_h/K_v = 2$
- Lebar PVD (a) = 100 mm

- Tebal PVD (b) = 3 mm
- d_w = 51,5 mm

$$\begin{aligned} Ch &= 2 \times Cv \\ &= 2 \times 0,000000085 \text{ m}^2/\text{detik} \\ &= 0,00000017 \text{ m}^2/\text{minggu} \end{aligned}$$

Uh = derajat konsolidasi tanah arah horizontal

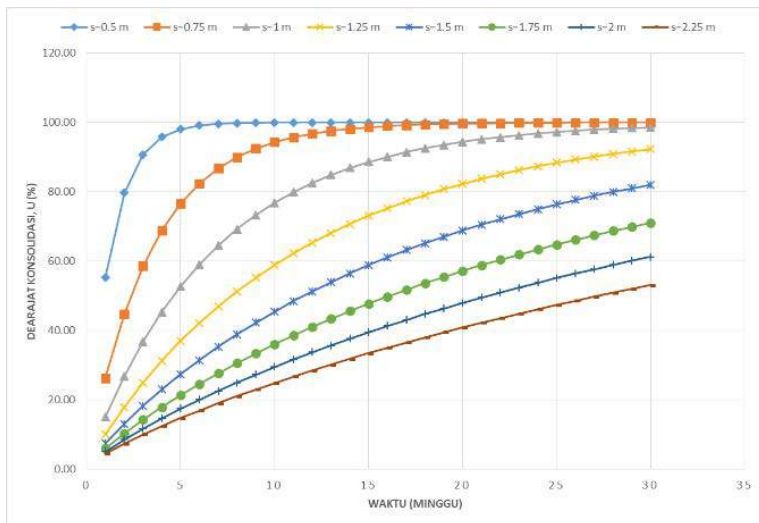
$$\begin{aligned} &= \left[1 - \left(e^{-\frac{1}{\left(\frac{tx8xCh}{D^2x2xF(n)} \right)}} \right) \right] \\ &= \left[1 - \left(e^{-\frac{1}{\left(\frac{(1 \times 604800)x8x0,00000017}{1,13^2x2x2,338} \right)}} \right) \right] \\ &= 0,1288 \end{aligned}$$

- Menghitung Derajat Konsolidasi rata-rata (Urata-rata) dengan PVD menggunakan Persamaan 2.30

$$\begin{aligned} U \text{ rata-rata} &= (1-(1-Uh)) \times (1-Uv) \times 100\% \\ &= (1-(1-0,1288)) \times (1-0,0256) \times 100\% \\ &= 15,11 \% \end{aligned}$$

Perhitungan diatas dilakukan untuk seluruh jarak PVD (S). Hasil perhitungan derajat konsolidasi rata-rata (U) untuk pola segiempat pada setiap S ditampilkan pada Lampiran 4.

Pada Gambar 5.6 ditampilkan grafik hubungan waktu dengan derajat konsolidasi dengan menggunakan PVD pola segiempat.



Gambar 5.6 Grafik Hubungan Derajat Konsolidasi (U) dengan Waktu Timbunan dengan PVD Pola Segiempat

Dari Gambar 5.6 didapat jarak antar PVD pola segiempat yang dipakai adalah 1 m.

5.2.2.2 Perencanaan PVD dengan pola segitiga

Berikut adalah contoh perhitungan perencanaan PVD pola segi empat untuk sisi sebelum sungai dengan jarak $S= 1\text{ m}$:

- Menghitung Fungsi Hambatan PVD ($F(n)$) menggunakan Persamaan 2.23 atau Persamaan 2.24.

D = diameter ekivalen dari lingkaran tanah yang merupakan daerah pengaruh dari *vertical drain*.

$$= 1,05 \times S \text{ (Lampiran 1)}$$

$$= 1,05 \times 1$$

$$= 1,05 \text{ m}$$

$$dw = 2(a+b)/\pi$$

$$= 2(100+3)/\pi$$

$$= 51,5 \text{ mm}$$

$$n = D/dw$$

$$= 1,05 \text{ m} / 0,0515 \text{ m}$$

$$= 20,388$$

$$F(n) = \left(\frac{n^2}{n^2 - 1^2} \right) \left[\ln(n) - 3/4 - \left(\frac{1}{4n^2} \right) \right]$$

$$F(n) = \left(\frac{20,388^2}{20,388^2 - 1^2} \right) \left[\ln(20,388) - 3/4 - \left(\frac{1}{20,388} \right) \right]$$

$$F(n) = 2,265$$

Hasil perhitungan D, n, dan F(n) untuk setiap jarak antar PVD ditampilkan pada Lampiran 2.

- Menghitung Derajat Konsolidasi Tanah Akibat Aliran Air Arah Vertikal (U_v) dengan PVD

Dalam hal ini besarnya U_v diasumsikan kurang dari 60% sehingga digunakan Persamaan 2.29 Sesuai dengan persamaan tersebut, untuk memperoleh nilai U_v maka terlebih dahulu perlu mengetahui nilai T_v . Nilai T_v didapat dari Persamaan 2.19.

- $C_v = 0,0008509 \text{ cm}^2/\text{dtk}$
- $t = 1 \text{ minggu} = 604800 \text{ detik}$
- $H_{dr} = 10 \text{ m} = 1000 \text{ cm}$

$$T_v = \text{faktor waktu} = \frac{t \times C_v}{(H_{dr})^2}$$

$$= \frac{1 \text{ minggu} \times (604800 \text{ detik}) \times 0,000000085 \text{ m}^2/\text{detik}}{(10 \text{ m})^2}$$

$$= 0,0005$$

$$U_v = \left(2 \sqrt{\frac{T_v}{\pi}} \right) \times 100\%$$

$$= \left(2 \sqrt{\frac{0,0005}{\pi}} \right) \times 100\%$$

$$= 0,0256$$

- Menghitung Derajat Konsolidasi Tanah Akibat Aliran Air Arah Horizontal (U_h) dengan PVD menggunakan Persamaan 2.21.

- $C_{vgab} = 0,0008509 \text{ cm}^2/\text{dtk}$
- $K_h/K_v = 2$
- $\text{Lebar PVD (a)} = 100 \text{ mm}$
- $\text{Tebal PVD (b)} = 3 \text{ mm}$
- $d_w = 51,5 \text{ mm}$

$$Ch = 2 \times Cv$$

$$\begin{aligned}
 &= 2 \times 0,000000085 \text{ m}^2/\text{detik} \\
 &= 0,00000017 \text{ m}^2/\text{minggu}
 \end{aligned}$$

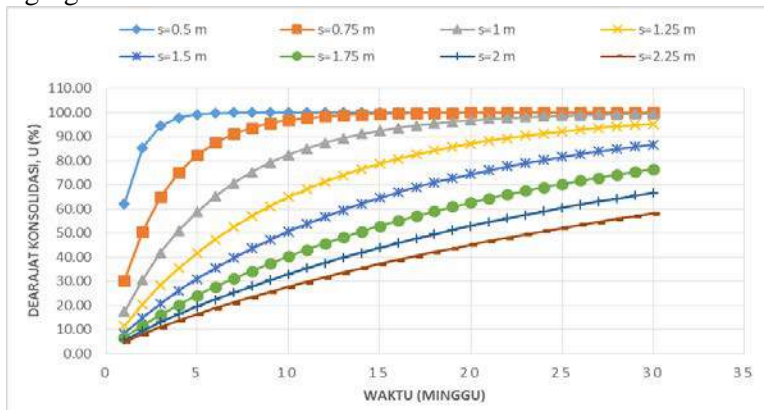
$$\begin{aligned}
 Uh &= \left[1 - \left(\frac{1}{e^{\left(\frac{tx8xCh}{D^2x2xF(n)} \right)}} \right) \right] \\
 &= \left[1 - \left(\frac{1}{e^{\left(\frac{(1 \times 604800)x8x0,00000017}{1,05^2x2x2,265} \right)}} \right) \right] \\
 &= 0,152
 \end{aligned}$$

- Menghitung Derajat Konsolidasi rata-rata (Urata-rata) dengan PVD menggunakan Persamaan 2.30

$$\begin{aligned}
 U \text{ rata-rata} &= (1-(1-Uh)) \times (1-Uv) \times 100\% \\
 &= (1-(1-0,152)) \times (1-0,0256) \times 100\% \\
 &= 17,37 \%
 \end{aligned}$$

Perhitungan diatas dilakukan untuk seluruh jarak PVD (S). Hasil perhitungan derajat konsolidasi rata-rata (U) untuk pola segitiga pada setiap S ditampilkan pada Lampiran 4.

Pada Gambar 5.7 ditampilkan grafik hubungan waktu dengan derajat konsolidasi dengan menggunakan PVD pola segitiga.



Gambar 5.7 Grafik Hubungan Derajat Konsolidasi (U) dengan Waktu Timbunan dengan PVD Pola Segitiga

Dari Gambar 5.7 didapat jarak antar PVD pola segitiga yang dipakai adalah 1,25 m.

Jadi, PVD yang dipakai adalah menggunakan pola segitiga dengan jarak 1,25 m, karena jarak yang lebih besar menghasilkan kuantitas yang lebih sedikit, yang mengakibatkan biaya yang lebih sedikit pula.

5.3 Alternatif Perencanaan Perkuatan Geotextile (Alternatif 1)

Seperti yang telah dijelaskan pada Sub bab 2.6 bahwa sebelum merencanakan perkuatan perlu diketahui terlebih dahulu tinggi H_{kritis} dan peningkatan Cu akibat penimbunan bertahap.

5.3.1 Penentuan tinggi timbunan kritis (H_{cr})

Tinggi timbunan kritis (H_{cr}) yaitu tinggi timbunan yang masih mampu dipikul oleh tanah dasar agar timbunan tidak mengalami kelongsoran. Berikut hasil perhitungan H_{kritis} timbunan dengan Persamaan 2.31 yaitu:

$SF = 1,4$ (Berdasarkan Tabel 2.4)

$Nc = 5,956$ (Interpolasi dari Tabel 2.8)

$$H_{cr} = \frac{c \cdot Nc}{SF \cdot \gamma_{timb}}$$

$$H_{cr} = \frac{1.08 \cdot 5,956}{1,4 \cdot 1,8}$$

$$H_{cr} = 2,55 \text{ m}$$

Dengan penimbunan bertahap setiap 0,4 meter/minggu, didapatkan waktu 6 minggu untuk mencapai tinggi timbunan setinggi H_{kritis} . Nilai Cu diasumsikan meningkat setelah tanah diberi beban timbunan setinggi H_{kritis} , maka perlu dihitung berapa besar peningkatan Cu selama 6 minggu. Untuk tahap berikutnya, daya dukung tanah dasar harus cukup kuat menahan timbunan berikutnya, untuk itu harus dilakukan pengecekan daya dukung tanah terlebih dahulu.

5.3.2 Perhitungan peningkatan kohesi *undrained* (Cu)

Perhitungan peningkatan nilai Cu perlu dilakukan untuk menentukan apakah tanah dasar cukup mampu memikul beban timbunan dengan peningkatan nilai C_u akibat adanya penimbunan bertahap. Perhitungan tersebut dilakukan untuk menentukan apakah penimbunan dapat dilanjutkan atau harus dilakukan penundaan.

Kemudian dilakukan percobaan dengan memodelkan timbunan pada program XSTABL setinggi H_{kritis} 2,4 meter dengan asumsi Cu yang telah meningkat 6 minggu sehingga didapatkan $SF=1,6 > SF$ rencana = 1,4. Yang artinya tidak perlu ada penundaan. Percobaan dilakukan sampai didapatkan SF tidak aman atau kurang dari 1,4 dengan penambahan timbunan per 0,4 meter dengan nilai peningkatan Cu dari penimbunan tersebut. Dari percobaan *running* didapatkan timbunan dengan $SF=1,327 < SF$ rencana = 1,4 ketika Cu telah meningkat di minggu ke 8 dengan timbunan setinggi 3,2 meter. Agar tidak terjadi penundaan, maka diperlukan adanya perkuatan tanah untuk mengatasi kelongsoran yang terjadi akibat penimbunan setelah 3,2 meter. Maka pada perencanaan perkuatan timbunan dipakai Cu 8 minggu. Hal ini dilakukan agar perencanaan perkuatan tidak terlalu boros seperti pada perencanaan menggunakan Cu awal tanah asli.

Peningkatan nilai Cu didapatkan dengan menggunakan Persamaan 2.69 sampai dengan Persamaan 2.71. Berikut contoh perhitungan peningkatan nilai Cu di minggu ke-6:

Pada minggu ke 6:

1. Menghitung tegangan di tiap lapisan tanah untuk derajat konsolidasi (U) 100%

Perhitungan perubahan tegangan didapat dari:

$$\sigma_1' = P_o + \Delta\sigma'1$$

$$\sigma_2' = \sigma_1' + \Delta\sigma'2 \text{ dan seterusnya hingga } \sigma_n'$$

Perhitungan penambahan beban timbunan setiap 0,4 meter (ΔP_i) didapat dari Persamaan 2.11 dengan distribusi tegangan sesuai dengan kedalaman yang ditinjau.

Hasil perhitungan $\Delta\sigma'$ sampai pentahapan penimbunan 8 minggu ditampilkan pada Tabel 5.3

Tabel 5.3 Perubahan Tegangan Efektif Tanah di Zona 1 Akibat Penimbunan H = 3,2 m (Minggu ke-8) pada U=100%

| | | | Tegangan efektif untuk U 100% | | | | | | | | | |
|-----------|---|-----|-------------------------------|------------------|------------------|------------------|------------------|------------------|------------------|------------------|------------------|--------|
| Depth (m) | | z | P _{o'} | σ_1' | σ_2' | σ_3' | σ_4' | σ_5' | σ_6' | σ_7' | σ_8' | |
| | | (m) | t/m ² | t/m ² | t/m ² | t/m ² | t/m ² | t/m ² | t/m ² | t/m ² | t/m ² | |
| 0 | - | 1 | 0.5 | 0.318 | 1.038 | 1.758 | 2.478 | 3.198 | 3.917 | 4.634 | 5.351 | 6.064 |
| 1 | - | 2 | 1.5 | 0.955 | 1.675 | 2.394 | 3.113 | 3.831 | 4.548 | 5.263 | 5.974 | 6.680 |
| 2 | - | 3 | 2.5 | 1.592 | 2.311 | 3.029 | 3.746 | 4.461 | 5.174 | 5.883 | 6.587 | 7.282 |
| 3 | - | 4 | 3.5 | 2.225 | 2.943 | 3.659 | 4.372 | 5.083 | 5.790 | 6.491 | 7.184 | 7.867 |
| 4 | - | 5 | 4.5 | 2.856 | 3.570 | 4.283 | 4.992 | 5.696 | 6.395 | 7.086 | 7.766 | 8.433 |
| 5 | - | 6 | 5.5 | 3.486 | 4.197 | 4.904 | 5.607 | 6.303 | 6.992 | 7.670 | 8.336 | 8.986 |
| 6 | - | 7 | 6.5 | 4.139 | 4.844 | 5.545 | 6.240 | 6.926 | 7.603 | 8.268 | 8.917 | 9.548 |
| 7 | - | 8 | 7.5 | 4.815 | 5.513 | 6.206 | 6.891 | 7.566 | 8.229 | 8.878 | 9.510 | 10.121 |
| 8 | - | 9 | 8.5 | 5.490 | 6.181 | 6.864 | 7.538 | 8.200 | 8.849 | 9.482 | 10.095 | 10.686 |
| 9 | - | 10 | 9.5 | 6.167 | 6.849 | 7.521 | 8.183 | 8.832 | 9.465 | 10.080 | 10.675 | 11.246 |

(Sumber : Hasil Analisa)

2. Menghitung tegangan di tiap lapisan tanah untuk derajat konsolidasi (U) kurang dari 100%

Derajat konsolidasi yang dipakai sampai penimbunan minggu ke-8 dari U penimbunan terakhir (minggu ke-24) sebesar 91,3%. Berikut contoh perhitungan ΔP_{ui} dengan pengaruh $U<100\%$ menggunakan Persamaan 2.69 dan dapat dilihat pada Tabel 5.4:

Tabel 5.4 Perhitungan ΔP_{ui} pada Lapisan 1

| Tahapan Penimbunan (m) | Umur Timbunan (minggu) | Derasat Konsolidasi (%) | ΔP_{ui} pada $U<100\%$ (t/m^2) |
|------------------------|------------------------|-------------------------|--|
| 0 - 0.4 | 8 | 57 | $\Delta P_{u1} = \left(\frac{1,038}{0,318}\right)^{0,57} 0,318 - 0,318$ |
| 0.4 - 0.8 | 7 | 52,4 | $\Delta P_{u2} = \left(\frac{1,758}{1,038}\right)^{0,524} 1,038 - 1,038$ |
| 0.8 - 1.2 | 6 | 47,3 | $\Delta P_{u3} = \left(\frac{2,478}{1,758}\right)^{0,473} 1,758 - 1,758$ |
| 1.2 - 1.6 | 5 | 41,7 | $\Delta P_{u4} = \left(\frac{3,198}{2,478}\right)^{0,417} 2,478 - 2,478$ |
| 1.6 - 2.0 | 4 | 35,4 | $\Delta P_{u5} = \left(\frac{3,917}{3,198}\right)^{0,354} 3,198 - 3,198$ |
| 2.0 - 2.4 | 3 | 28,4 | $\Delta P_{u6} = \left(\frac{4,634}{3,917}\right)^{0,284} 3,917 - 3,917$ |

| | | | |
|-----------|---|------|--|
| 2.4 – 2.8 | 2 | 20,5 | $\Delta P_{u7} = \left(\frac{5,351}{4,634} \right)^{0,205} 4,634 - 4,634$ |
| 2.8 – 3.2 | 1 | 11,5 | $\Delta P_{u8} = \left(\frac{6,064}{5,351} \right)^{0,115} 5,351 - 5,351$ |

(Sumber: Hasil Analisis)

Hasil perhitungan perubahan tegangan di tiap lapisan tanah pada derajat konsolidasi <100% ditampilkan pada Tabel 5.5

Tabel 5.5 Hasil Perhitungan ΔP_{ui} tiap lapisan pada U<100%

| Perubahan Tegangan KN/m ² | Derasat Konsolidasi U<100% | | | | | | | | | $\Sigma \sigma'_p$ | $\Sigma \sigma'_p'$ | |
|---|----------------------------|------------------------------------|------------------------------------|------------------------------------|------------------------------------|------------------------------------|------------------------------------|------------------------------------|------------------------------------|--------------------|---------------------|-------|
| | Po' KN/m ² | $\Delta P_1'$ KN/m ² | $\Delta P_2'$ KN/m ² | $\Delta P_3'$ KN/m ² | $\Delta P_4'$ KN/m ² | $\Delta P_5'$ KN/m ² | $\Delta P_6'$ KN/m ² | $\Delta P_7'$ KN/m ² | $\Delta P_8'$ KN/m ² | | | |
| Tinggi Timbunan | 0 | 0.4 | 0.8 | 1.2 | 1.6 | 2 | 2.4 | 2.8 | 3.2 | | | |
| Umur Timbunan | - | 8 mg | 7 mg | 6 mg | 5 mg | 4 mg | 3 mg | 2 mg | 1 mg | | | |
| Kedalaman/ U(%) | 1 | 0.570 | 0.524 | 0.473 | 0.417 | 0.354 | 0.284 | 0.205 | 0.115 | /m ² | kg/cm ² | |
| 0 | - | 1 | 0.318 | 0.306 | 0.330 | 0.310 | 0.278 | 0.238 | 0.191 | 0.138 | 0.077 | 2.188 |
| 1 | - | 2 | 0.955 | 0.360 | 0.345 | 0.317 | 0.281 | 0.240 | 0.192 | 0.138 | 0.077 | 2.906 |
| 2 | - | 3 | 1.592 | 0.377 | 0.352 | 0.320 | 0.283 | 0.240 | 0.192 | 0.138 | 0.076 | 3.570 |
| 3 | - | 4 | 2.225 | 0.384 | 0.356 | 0.322 | 0.283 | 0.240 | 0.191 | 0.136 | 0.075 | 4.212 |
| 4 | - | 5 | 2.856 | 0.388 | 0.357 | 0.322 | 0.282 | 0.238 | 0.189 | 0.134 | 0.074 | 4.840 |
| 5 | - | 6 | 3.486 | 0.389 | 0.357 | 0.321 | 0.280 | 0.236 | 0.186 | 0.132 | 0.072 | 5.459 |
| 6 | - | 7 | 4.139 | 0.388 | 0.355 | 0.318 | 0.278 | 0.232 | 0.183 | 0.129 | 0.070 | 6.093 |
| 7 | - | 8 | 4.815 | 0.387 | 0.353 | 0.315 | 0.274 | 0.228 | 0.179 | 0.126 | 0.068 | 6.745 |
| 8 | - | 9 | 5.490 | 0.384 | 0.349 | 0.311 | 0.269 | 0.224 | 0.175 | 0.122 | 0.066 | 7.391 |
| 9 | - | 10 | 6.167 | 0.380 | 0.345 | 0.306 | 0.264 | 0.219 | 0.171 | 0.119 | 0.064 | 8.035 |
| | | | | | | | | | | | | 0.803 |

(Sumber: Hasil Analisis)

- Menghitung kenaikan daya dukung tanah (akibat kenaikan harga Cu). Karena nilai PI<120% maka digunakan Persamaan 2.70. Hasil perhitungan peningkatan nilai Cu ditampilkan pada Tabel 5.6.

Tabel 5.6 Hasil Perhitungan Peningkatan Nilai Cu minggu ke-8

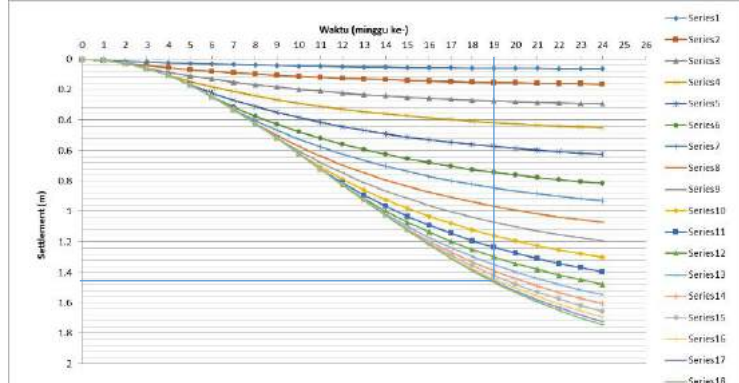
| $\Sigma \sigma'_p$ ' kg/cm ² | Kedalaman (m) | | | PI | Cu lama kg/cm ² | Cu baru (Ardana & Mochtar) kg/cm ² |
|--|------------------|---|----|--------|-------------------------------|---|
| | 0 | - | 1 | | | |
| 0.219 | 0 | - | 1 | 37.282 | 0.108 | 0.102 |
| 0.291 | 1 | - | 2 | 37.282 | 0.108 | 0.111 |
| 0.357 | 2 | - | 3 | 37.282 | 0.108 | 0.120 |
| 0.421 | 3 | - | 4 | 34.553 | 0.104 | 0.130 |
| 0.484 | 4 | - | 5 | 34.553 | 0.104 | 0.139 |
| 0.546 | 5 | - | 6 | 34.553 | 0.104 | 0.147 |
| 0.609 | 6 | - | 7 | 34.938 | 0.371 | 0.155 |
| 0.674 | 7 | - | 8 | 34.938 | 0.371 | 0.164 |
| 0.739 | 8 | - | 9 | 34.938 | 0.371 | 0.172 |
| 0.803 | 9 | - | 10 | 38.059 | 0.292 | 0.177 |

(Sumber: Hasil Analisis)

Selanjutnya peningkatan nilai Cu 8 minggu digunakan untuk perencanaan perkuatan.

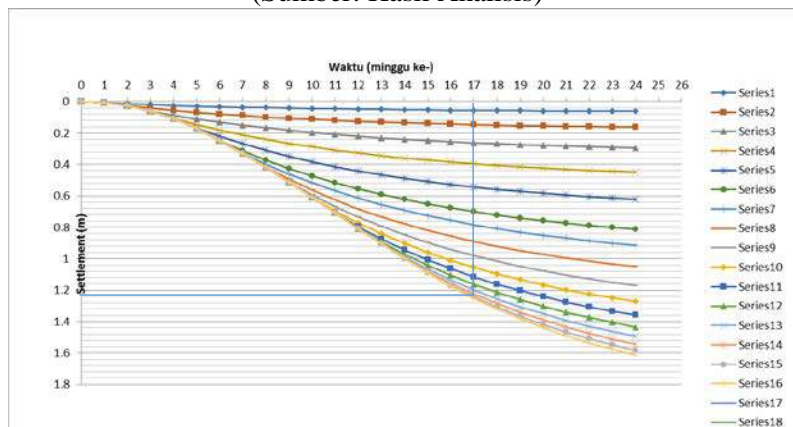
5.3.3 Pemampatan konsolidasi pada penimbunan bertahap

Pemampatan akibat penimbunan bertahap dihitung dengan Persamaan 2.16, Persamaan 2.17, dan Persamaan 2.18 yang selanjutnya didapatkan gambar grafik hubungan antara waktu atau tahapan penimbunan dengan *Settlement* sebagai berikut :



Gambar 5.8 *Settlement* tiap tahapan timbunan PVD segitiga dengan jarak 1,25 m untuk zona 1 (Alternatif 1).

(Sumber: Hasil Analisis)



Gambar 5.9 *Settlement* tiap tahapan timbunan PVD segitiga dengan jarak 1,25 m untuk zona 2 (Alternatif 1).

(Sumber: Hasil Analisis)

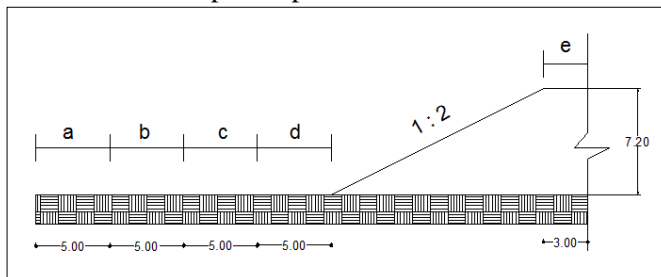
Berdasarkan Gambar 5.8 dan Gambar 5.9 didapatkan waktu yang diperlukan untuk menyelesaikan pemampatan konsolidasi pada penimbunan bertahap zona 1 adalah 19 minggu dan untuk zona 2 adalah 17 minggu. Hasil Perhitungan *settlement* akibat timbunan bertahap tiap lapisan pada zona 1 dan zona 2 dapat dilihat pada Lampiran 5.

5.3.4 Perencanaan *geotextile* sebagai perkuatan timbunan arah melintang

Geotextile digunakan sebagai perkuatan tanah untuk meningkatkan daya dukung tanah dasar di bawah timbunan.

Dalam perhitungan *geotextile* dibutuhkan nilai SF, jari-jari bidang longsor, momen resisten, koordinat titik pusat bidang longsor, dan momen dorong yang didapat dari hasil analisa program XSTABL. Selanjutnya menghitung kebutuhan *geotextile* untuk timbunan 7.2 m pada Zona 1 dengan menggunakan nilai T_{allow} dikali jarak pasang masing-masing *geotextile* terhadap titik pusat jari-jari kelongsoran hingga memenuhi $\Delta M_R \leq T_{allow} \times \sum R_i$.

Simulasi dilakukan sebanyak 4 kali dengan kordinat *initiation* dan *termination* yang ditentukan dari pembagian jarak di timbunan yang dianalisis. Hal ini dilakukan untuk mendapatkan kebutuhan Momen *Resistance* (ΔMR) yang paling besar, karena SF yang kecil belum tentu menghasilkan ΔMR yang terbesar. Semakin besar ΔMR menghasilkan kebutuhan perkuatan yang lebih besar. Pembagian zona *initiation* dan *termination* pada analisis program bantu XSTABL ditampilkan pada Gambar 5.10.



Gambar 5.10 Pembagian Zona Simulasi Program XSTABL pada Timbunan Jalan

Dari kemudian diperoleh kombinasi *initiation* dan *termination* dari analisis kelongsoran yang ditampilkan pada Tabel 5.7.

Tabel 5.7 Kombinasi Zona *Initiation* dan *Termination* pada Analisis Program Bantu XSTABL (Alternatif 1)

| No. Kombinasi | Zona <i>Initiation-Termination</i> |
|---------------|------------------------------------|
| 1 | a - e |
| 2 | b - e |
| 3 | c - e |
| 4 | d - e |

MD, MR_{rencana}, dan ΔMR dihitung dengan Persamaan 2.32. Hasil analisis dari seluruh kombinasi untuk timbunan oprit ditampilkan pada Tabel 5.8 dan Tabel 5.9.

Tabel 5.8 Hasil Kombinasi untuk Timbunan Oprit pada Zona 1

| No | SF xstabl | Hasil xstabl | | | | | Perhitungan | | | |
|----|-----------|--------------|--------------|-------------|-------|--------|---------------|---------------|----------------|--|
| | | MR (kN.m) | MD (kN.m) | titik pusat | | R m | SF rencana | MR rencana | Δ MR (kN.m) | |
| 1 | 1.03 | 12590 | 12223.3 | 18.94 | 43.25 | 19.23 | 1.4 | 17112.62 | 4522.621 | |
| 2 | 0.953 | 9393 | 9856.243 | 21.64 | 41.22 | 16.17 | 1.4 | 13798.74 | 4405.741 | |
| 3 | 0.91 | 6917 | 7601.099 | 24.19 | 39.04 | 13.29 | 1.4 | 10641.54 | 3724.538 | |
| 4 | 0.915 | 6404 | 6998.907 | 24.82 | 38.57 | 12.62 | 1.4 | 9798.47 | 3394.47 | |

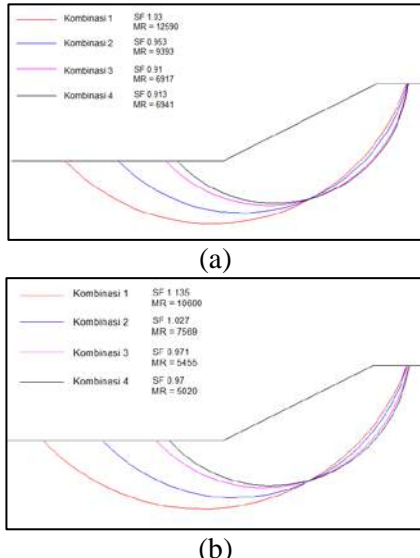
(Sumber: Hasil Analisis)

Tabel 5.9 Hasil Kombinasi untuk Timbunan Oprit pada Zona 2

| No | SF xstabl | Hasil xstabl | | | | | Perhitungan | | | |
|----|-----------|--------------|--------------|-------------|-------|--------|---------------|---------------|----------------|--|
| | | MR (kN.m) | MD (kN.m) | titik pusat | | R m | SF rencana | MR rencana | Δ MR (kN.m) | |
| 1 | 1.135 | 10600 | 9339.207 | 18.25 | 42.56 | 18.25 | 1.4 | 13074.89 | 2474.89 | |
| 2 | 1.027 | 7569 | 7370.01 | 20.94 | 40.24 | 14.99 | 1.4 | 10318.01 | 2749.014 | |
| 3 | 0.971 | 5455 | 5617.92 | 23.43 | 38.3 | 12.23 | 1.4 | 7865.088 | 2410.088 | |
| 4 | 0.97 | 5020 | 5175.258 | 24.08 | 37.83 | 11.58 | 1.4 | 7245.361 | 2225.361 | |

(Sumber: Hasil Analisis)

Dari seluruh hasil analisis tersebut, diperoleh gambar kelongsoran untuk timbunan oprit pada zona 1 dan zona 2 pada Gambar 5.11.



Gambar 5.11 Gambar Hasil Analisis Kelongsoran a) zona 1; b) zona 2 pada Alternatif 1

Karena SF terkritis dari kedua zona tersebut kurang dari 1,4 maka diperlukan perkuatan timbunan.

Dari Gambar 5.11 diperoleh kombinasi yang dipakai yaitu kombinasi 3 untuk zona 1 dan zona 2, karena membutuhkan jumlah lapisan *geotextile* paling banyak. Berikut contoh perhitungan perkuatan *geotextile*:

Pada perencanaan ini digunakan *geotextile* dengan *Tensile Strength* (T_{ult}) sebesar 52 kN/m.

$$T_{allow} = T_{ultimate} \left[\frac{1}{FS_{id} \times FS_{cr} \times FS_{cd} \times FS_{bd}} \right]$$

| | | | |
|-----------|---------|-----------|----------|
| FS_{id} | $= 1.5$ | FS_{cd} | $= 1.25$ |
| FS_{cr} | $= 2.0$ | FS_{bd} | $= 1.15$ |

$$T_{allow} = 200 \left[\frac{1}{1.5 \times 2 \times 1.25 \times 1.15} \right] \\ = 12,058 \text{ kN/m}$$

Geotextile direncanakan dipasang tiap 20 cm dengan pertimbangan jumlah layer pada *geotextile* di tiap lapisannya tidak lebih dari 3. Hal ini dilakukan untuk mencegah gagalnya *geotextile* akibat gesekan antar *geotextile*. Berikut adalah contoh perhitungan untuk perencanaan perkuatan *geotextile* timbunan zona 1.

- Menghitung jarak *geotextile* ke titik pusat kelongsoran (Ti)

Ti dihitung dengan Persamaan 2.33. Ordinat dasar kelongsoran dapat diketahui dari *output* program bantu XSTABL. Berikut adalah contoh perhitungan Ti untuk timbunan zona 1:

$$\begin{aligned} Ti &= 39,04 \text{ m} - 30 \text{ m} \\ &= 9,04 \text{ m} \end{aligned}$$

- Menghitung jumlah lapisan *geotextile* yang dibutuhkan

Dengan Persamaan 2.38, untuk 1 m² tanah timbunan didapatkan:

$$\begin{aligned} M_{geotextile} &= 12,058 \text{ kN} \times 9,04 \text{ m} \times 2 \text{ lapis} \\ &= 218,008 \text{ kNm} \end{aligned}$$

Kemudian, M_{geotextile} dikumulatifkan dengan lapisan di atasnya, sehingga $\Sigma M_{geotextile} > \Delta MR$. Untuk hasil perhitungan jumlah lapisan *geotextile* yang seluruhnya ditampilkan pada Lampiran 6.

- Menghitung tegangan geser *geotextile* dengan tanah timbunan (τ_1)

Dengan mengetahui tegangan geser *undrained* tanah timbunan (Cu1) dan sudut geser tanah timbunan (θ_1), maka τ_1 dapat dihitung dengan Persamaan 2.34.

$$Cu_1 = 0 \text{ kN/m}^2$$

$$\begin{aligned} \sigma_v &= 18 \text{ kN/m}^3 \times 7,2 \text{ m} \\ &= 129,6 \text{ kN/m}^2 \end{aligned}$$

$$\begin{aligned} \tan \theta_1 &= \tan(30^\circ) \\ &= 0,577 \end{aligned}$$

maka:

$$\begin{aligned}\tau_1 &= Cu_1 + \sigma_v \cdot \tan \theta_1 \\ &= 0 + (129,6 \text{ kN/m}^2 \times 0,577) \\ &= 74,825 \text{ kN/m}^2\end{aligned}$$

- Menghitung tegangan geser *geotextile* dengan tanah asli (τ_2)
Dengan mengetahui tegangan geser *undrained* tanah dasar (Cu_2) dan sudut geser tanah dasar (θ_2), maka τ_2 dapat dihitung dengan Persamaan 2.34.

$$\begin{aligned}Cu_2 &= \text{Tegangan geser tanah asli peningkatan 6 minggu} \\ &= 10,8 \text{ kN/m}^2\end{aligned}$$

$$\begin{aligned}\sigma_v &= \gamma \cdot tmb \times H \\ &= 18 \text{ kN/m}^3 \times 7,2 \text{ m} \\ &= 129,6 \text{ kN/m}^2\end{aligned}$$

$$\begin{aligned}\tan \theta_2 &= \tan(3^\circ) \\ &= 0,05\end{aligned}$$

maka:

$$\begin{aligned}\tau_2 &= Cu_2 + \sigma_v \cdot \tan \theta_2 \\ &= 10,8 + (129,6 \text{ kN/m}^2 \times 0,05) \\ &= 17,592 \text{ kN/m}^2\end{aligned}$$

- Menghitung panjang *geotextile* di belakang bidang longsor (Le)
Panjang *geotextile* di belakang bidang lonsor dicari menggunakan Persamaan 2.37:

sehingga:

$$\begin{aligned}Le &= (12,058 \text{ kN} \times 1,4) / [(129,6 \text{ kN/m}^2 + 17,592 \text{ kN/m}^2) \times 0,8] \\ &= 0,228 \text{ m}\end{aligned}$$

- Menghitung Panjang *Geotextile* di Depan Bidang Longsor (Lr)
Panjang *Geotextile* di Depan Bidang Longsor (Lr) ditentukan menggunakan program bantu AutoCAD untuk mempermudah perhitungan.

- Menghitung Panjang Lipatan *Geotextile* (Lo)
Panjang minimal lipatan *geotextile* yaitu sepanjang 1 meter.

Berikut contoh perhitungan panjang lipatan *geotextile* (Lo):

$$\begin{aligned}Lo &= (12,058 \text{ kN} \times 1,4) / 2 [(129,6 \text{ kN/m}^2 + 17,592 \text{ kN/m}^2) \times 0,8] \\ &= 0,114 \text{ m}\end{aligned}$$

Maka Lo pakai = 1 meter.

Dengan cara yang sama seperti di atas, maka perhitungan panjang *geotextile* untuk zona 2 dapat dihitung. Rekapitulasi jumlah kebutuhan *geotextile* zona 1 dapat dilihat pada Tabel 5.10 dan untuk zona 2 dapat dilihat pada Tabel 5.11. Hasil perhitungan panjang *geotextile* untuk timbunan zona 1 pada Tabel 5.17 dan untuk zona 2 dapat dilihat pada Lampiran 6. Sketsa pemasangan *geotextile* untuk Zona 1 dan Zona 2 dapat dilihat pada Gambar 5.12.

Tabel 5.10 Hasil Perhitungan Jumlah Kebutuhan *Geotextile* pada Zona 1

| No | Keterangan | Hasil xstabl | | | Perhitungan | | | | |
|----|-------------|--------------|--------|-----------|-------------|------------|----------|-------------------|--|
| | | SF xstabl | MR | MD | SF rencana | MR rencana | Δ MR | Jumlah Geotextile | |
| | | | (kN.m) | (kN.m) | (kN.m) | (kN.m) | (kN.m) | Lapis | |
| 1 | Cu 8 minggu | 1.03 | 12590 | 12223.301 | 1.4 | 17112.621 | 4522.621 | 37 | |
| 2 | | 0.953 | 9393 | 9856.243 | 1.4 | 13798.741 | 4405.741 | 36 | |
| 3 | | 0.91 | 6917 | 7601.099 | 1.4 | 10641.538 | 3724.538 | 49 | |
| 4 | | 0.915 | 6404 | 6998.907 | 1.4 | 9798.470 | 3394.470 | 48 | |

(Sumber: Hasil Analisis)

Tabel 5.11 Hasil Perhitungan Jumlah Kebutuhan *Geotextile* pada Zona 2

| No | Keterangan | Hasil xstabl | | | Perhitungan | | | | |
|----|-------------|--------------|--------|------------|-------------|------------|----------|-------------------|--|
| | | SF xstabl | MR | MD | SF rencana | MR rencana | Δ MR | Jumlah Geotextile | |
| | | | (kN.m) | (kN.m) | (kN.m) | (kN.m) | (kN.m) | Lapis | |
| 1 | Cu 8 minggu | 1.135 | 10600 | 9339.20705 | 1.4 | 13074.890 | 2474.890 | 20 | |
| 2 | | 1.027 | 7569 | 7370.00974 | 1.4 | 10318.014 | 2749.014 | 30 | |
| 3 | | 0.971 | 5455 | 5617.91967 | 1.4 | 7865.088 | 2410.088 | 34 | |
| 4 | | 0.97 | 5020 | 5175.25773 | 1.4 | 7245.361 | 2225.361 | 34 | |

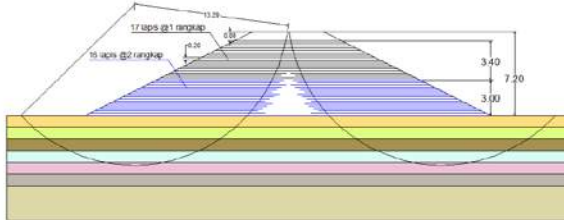
(Sumber: Hasil Analisis)

Tabel 5.12 Hasil Perhitungan Panjang *Geotextile* pada Zona 1

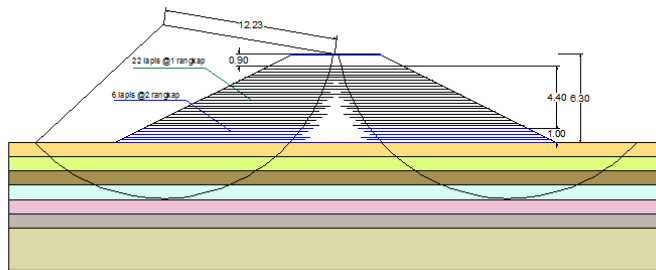
| No | Hi = (H-Z) | Ti | σv | $\tau 1$ | | $\tau 2$ | | Le | Lo | Lo (pakai) | Lr | L total | L total x rangkap |
|----|------------|------|------------|----------|--------|-------------------|-------|----|-------|------------|------|---------|-------------------|
| | | | | m | m | kN/m ² | m | | | | | | |
| 1 | 7.20 | 9.04 | 129.6 | 74.825 | 17.592 | 0.228 | 0.114 | 1 | 13.93 | 16.00 | 32 | | |
| 2 | 7.00 | 8.84 | 126 | 72.746 | 72.746 | 0.145 | 0.073 | 1 | 13.71 | 16.00 | 32 | | |
| 3 | 6.80 | 8.64 | 122.4 | 70.668 | 70.668 | 0.149 | 0.075 | 1 | 13.49 | 15.00 | 30 | | |
| 4 | 6.60 | 8.44 | 118.8 | 68.589 | 68.589 | 0.154 | 0.077 | 1 | 13.26 | 15.00 | 30 | | |
| 5 | 6.40 | 8.24 | 115.2 | 66.511 | 66.511 | 0.159 | 0.079 | 1 | 13.02 | 15.00 | 30 | | |
| 6 | 6.20 | 8.04 | 111.6 | 64.432 | 64.432 | 0.164 | 0.082 | 1 | 12.77 | 15.00 | 30 | | |
| 7 | 6.00 | 7.84 | 108 | 62.354 | 62.354 | 0.169 | 0.085 | 1 | 12.52 | 14.00 | 28 | | |
| 8 | 5.80 | 7.64 | 104.4 | 60.275 | 60.275 | 0.175 | 0.088 | 1 | 12.26 | 14.00 | 28 | | |
| 9 | 5.60 | 7.44 | 100.8 | 58.197 | 58.197 | 0.181 | 0.091 | 1 | 12 | 14.00 | 28 | | |
| 10 | 5.40 | 7.24 | 97.2 | 56.118 | 56.118 | 0.188 | 0.094 | 1 | 11.73 | 14.00 | 28 | | |
| 11 | 5.20 | 7.04 | 93.6 | 54.040 | 54.040 | 0.195 | 0.098 | 1 | 11.46 | 13.00 | 26 | | |
| 12 | 5.00 | 6.84 | 90 | 51.962 | 51.962 | 0.203 | 0.102 | 1 | 11.18 | 13.00 | 26 | | |
| 13 | 4.80 | 6.64 | 86.4 | 49.883 | 49.883 | 0.212 | 0.106 | 1 | 10.9 | 13.00 | 26 | | |
| 14 | 4.60 | 6.44 | 82.8 | 47.805 | 47.805 | 0.221 | 0.110 | 1 | 10.62 | 13.00 | 26 | | |
| 15 | 4.40 | 6.24 | 79.2 | 45.726 | 45.726 | 0.231 | 0.115 | 1 | 10.32 | 12.00 | 24 | | |
| 16 | 4.20 | 6.04 | 75.6 | 43.648 | 43.648 | 0.242 | 0.121 | 1 | 10.03 | 12.00 | 24 | | |
| 17 | 4.00 | 5.84 | 72 | 41.569 | 41.569 | 0.254 | 0.127 | 1 | 9.73 | 12.00 | 12 | | |
| 18 | 3.80 | 5.64 | 68.4 | 39.491 | 39.491 | 0.267 | 0.134 | 1 | 9.42 | 11.00 | 11 | | |
| 19 | 3.60 | 5.44 | 64.8 | 37.412 | 37.412 | 0.282 | 0.141 | 1 | 9.12 | 11.00 | 11 | | |
| 20 | 3.40 | 5.24 | 61.2 | 35.334 | 35.334 | 0.299 | 0.149 | 1 | 8.8 | 11.00 | 10.8 | | |
| 21 | 3.20 | 5.04 | 57.6 | 33.255 | 33.255 | 0.317 | 0.159 | 1 | 8.49 | 11.00 | 10.4 | | |
| 22 | 3.00 | 4.84 | 54 | 31.177 | 31.177 | 0.338 | 0.169 | 1 | 8.17 | 10.00 | 10 | | |
| 23 | 2.80 | 4.64 | 50.4 | 29.098 | 29.098 | 0.363 | 0.181 | 1 | 7.84 | 10.00 | 9.6 | | |
| 24 | 2.60 | 4.44 | 46.8 | 27.020 | 27.020 | 0.390 | 0.195 | 1 | 7.52 | 10.00 | 9.2 | | |
| 25 | 2.40 | 4.24 | 43.2 | 24.942 | 24.942 | 0.423 | 0.212 | 1 | 7.19 | 9.00 | 8.8 | | |
| 26 | 2.20 | 4.04 | 39.6 | 22.863 | 22.863 | 0.461 | 0.231 | 1 | 6.85 | 9.00 | 8.2 | | |
| 27 | 2.00 | 3.84 | 36 | 20.785 | 20.785 | 0.508 | 0.254 | 1 | 6.51 | 9.00 | 8 | | |
| 28 | 1.80 | 3.64 | 32.4 | 18.706 | 18.706 | 0.564 | 0.282 | 1 | 6.17 | 8.00 | 7.6 | | |
| 29 | 1.60 | 3.44 | 28.8 | 16.628 | 16.628 | 0.635 | 0.317 | 1 | 5.83 | 8.00 | 7.2 | | |
| 30 | 1.40 | 3.24 | 25.2 | 14.549 | 14.549 | 0.725 | 0.363 | 1 | 5.48 | 8.00 | 6.8 | | |
| 31 | 1.20 | 3.04 | 21.6 | 12.471 | 12.471 | 0.846 | 0.423 | 1 | 5.13 | 8.00 | 6.4 | | |
| 32 | 1.00 | 2.84 | 18 | 10.392 | 10.392 | 1.015 | 0.508 | 1 | 4.77 | 7.00 | 6 | | |
| 33 | 0.80 | 2.64 | 14.4 | 8.314 | 8.314 | 1.269 | 0.635 | 1 | 4.42 | 7.00 | 5.6 | | |

(Sumber: Hasil Analisis)

Untuk L total per lapisan jika L total dua sisi melebihi dari lebar timbunan di lapisan tersebut maka pemasangan *geotextile* dilanjutkan selebar timbunan pada lapisan tersebut. Perhitungan *geotextile* untuk zona 1 dan zona 2 ditampilkan pada Lampiran 6.



(a)



(b)

Gambar 5.12 Sketsa Pemasangan *Geotextile* (a)Zona 1,(b) Zona 2

5.4 Alternatif Perencanaan Kombinasi *Geogrid* dan *Multiblocks* sebagai Perkuatan Timbunan Arah Melintang

Pada Alternatif perkuatan timbunan arah melintang menggunakan kombinasi *geogrid* dan *multiblocks* ini direncanakan timbunan tegak dengan lebar 6 meter untuk zona 1 maupun zona 2. Karena timbunan merupakan timbunan tegak maka diperlukan adanya perkuatan sejak awal penimbunan. Dalam pelaksanaannya, penimbunan dilakukan secara bertahap sehingga perlu dihitung peningkatan Cu akibat pentahapan tersebut, serta diperlukan adanya pengecekan apakah dengan peningkatan Cu pada minggu tertentu dapat menahan timbunan pada tahapan di minggu tersebut. Nilai Cu nantinya digunakan untuk mengecek apakah kontrol daya dukung tanah dasar terpenuhi.

5.4.1 Perhitungan peningkatan kohesi *undrained* (Cu)

Seperti halnya pada sub bab 5.3.2, dilakukan percobaan dengan menggunakan program *geoslope* untuk mencari tau pada ketinggian timbunan berapa tanah dasar mulai longsor dengan peningkatan nilai Cu akibat timbunan bertahap. Berdasarkan percobaan didapatkan bahwa tanah longsor ketika tanah dasar diberi timbunan setinggi 4,8 m dengan peningkatan Cu di minggu ke-12. Hasil perhitungan peningkatan Cu di minggu ke 12 dapat

dilihat pada Tabel 5.13. Nilai Cu nantinya digunakan untuk mengecek apakah kontrol daya dukung tanah dasar terpenuhi dan untuk merencanakan perkuatan tambahan jika daya dukung tetap tidak memenuhi.

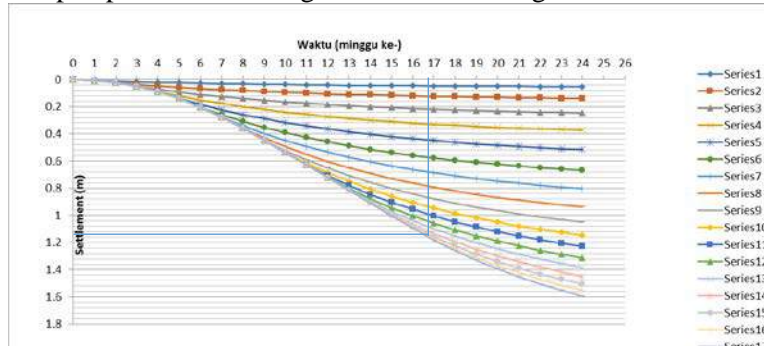
Tabel 5.13 Hasil Perhitungan Peningkatan Cu minggu ke-12

| $\Sigma\sigma'_p$ | Kedalaman | | | PI | Cu lama (Ardana & Mochtar) | Cu baru kg/cm ² |
|-------------------|-----------|---|--------------------|----|-------------------------------|-------------------------------|
| | (m) | % | kg/cm ² | | | |
| 0.371 | 0 | - | 37.282 | 1 | 0.108 | 0.122 |
| 0.419 | 1 | - | 37.282 | 2 | 0.108 | 0.128 |
| 0.449 | 2 | - | 37.282 | 3 | 0.108 | 0.132 |
| 0.484 | 3 | - | 34.553 | 4 | 0.104 | 0.139 |
| 0.517 | 4 | - | 34.553 | 5 | 0.104 | 0.143 |
| 0.557 | 5 | - | 34.553 | 6 | 0.104 | 0.148 |
| 0.603 | 6 | - | 34.938 | 7 | 0.371 | 0.154 |
| 0.653 | 7 | - | 34.938 | 8 | 0.371 | 0.161 |
| 0.709 | 8 | - | 34.938 | 9 | 0.371 | 0.168 |
| 0.761 | 9 | - | 38.059 | 10 | 0.292 | 0.172 |

(Sumber: Hasil Analisis)

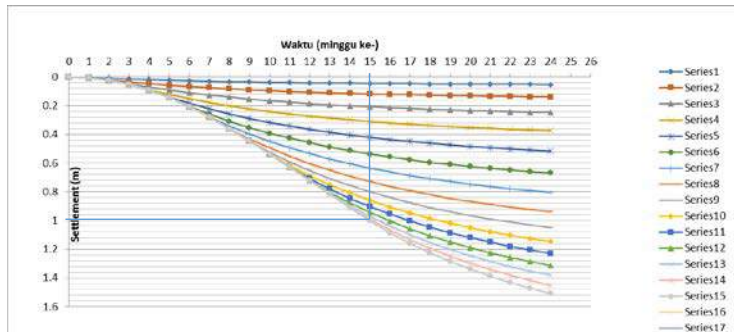
5.4.2 Pemampatan konsolidasi pada penimbunan bertahap

Pemampatan akibat penimbunan bertahap dihitung dengan Persamaan 2.16, Persamaan 2.17, dan Persamaan 2.18 yang selanjutnya didapatkan gambar grafik hubungan antara waktu atau tahapan penimbunan dengan *Settlement* sebagai berikut :



Gambar 5.13 *Settlement* tiap tahapan timbunan PVD segitiga dengan jarak 1,25 m untuk zona 1 (Alternatif 2).

(Sumber: Hasil Analisis)



Gambar 5.14 *Settlement* tiap tahapan timbunan PVD segitiga dengan jarak 1,25 m untuk zona 2 (Alternatif 2).

(Sumber: Hasil Analisis)

Berdasarkan Gambar 5.13 dan Gambar 5.14 didapatkan waktu yang diperlukan untuk menyelesaikan pemampatan konsolidasi pada penimbunan bertahap zona 1 adalah 17 minggu dan untuk zona 2 adalah 15 minggu. Hasil Perhitungan *settlement* akibat timbunan bertahap tiap lapisan pada zona 1 dan zona 2 dapat dilihat pada Lampiran 7.

5.4.3 Perencanaan *multiblocks* dan *geogrid*

Perhitungan *geogrid* sebagai dinding penahan tanah dapat dihitung menggunakan prinsip *geotextile* sebagai dinding penahan tanah. Penentuan jarak antar *geogrid* mengacu pada tinggi 1 unit block yaitu 0,2 m sehingga jarak antar *geogrid* harus berjarak kelipatan 0,2 m. Berikut contoh perhitungan perencanaan *geogrid* pada zona 1:

1. Perhitungan kuat tarik ijin menggunakan Persamaan 2.36

$$\text{Geogrid : } T_{ult} = 59,17 \text{ kN/m}$$

$$T_{allow} = \frac{59,17}{1.5 \times 2 \times 1 \times 1}$$

$$T_{allow} = 19,72 \text{ kN/m}$$

$$\text{Geotextile : } T_{ult} = 52 \text{ kN/m}$$

$$T_{allow} = \frac{52}{1.5 \times 2 \times 1 \times 1}$$

$$T_{allow} = 17,33 \text{ kN/m}$$

2. Perhitungan tekanan tanah *horizontal* menggunakan Persamaan 2.40

Tekanan tanah *horizontal* dihitung akibat dari berat tanah sendiri setinggi $H_{initial}$, sehingga tidak perlu dihitung tekanan tanah akibat beban *traffic* karena beban *traffic* sudah dikonversi ke tinggi timbunan dan sudah termasuk di dalam $h_{initial}$ timbunan. Berikut contoh perhitungan tekanan tanah horizontal pada zona 1:

$$Ka = \tan^2(45 - \frac{30}{2}) \quad (\text{Persamaan 2.41})$$

$$Ka = 0.333$$

$$\sigma_{hs} = \gamma t \text{imb} \times z \times Ka$$

$$\sigma_{hs} = 1,8 \times zi \times 0,333$$

$$\sigma_{hs} = 0,6 zi \text{ t/m}^2$$

$$\sigma_{htot} = \sigma_{hs}$$

3. Perhitungan jarak antar *geogrid* (Sv) menggunakan Persamaan 2.48

Pada $z = 6,8 \text{ m}$ diperoleh:

$$Sv = \frac{17,33}{1,4x(0,6 \times 6,8)x1}$$

$$Sv = 0,3 \text{ m}$$

Hasil perhitungan Sv disajikan pada Tabel 5.14.

Tabel 5.14 Perhitungan Jarak Antar *Geogrid* (Zona 1)

| No | z (m) | γ (t/m ³) | σ_{hs} (t/m ²) | σ_{htot} (t/m ²) | Tall (t/m) | SF | Sv (m) | Sv pakai (m) | Keterangan |
|----|------------|---------------------------------|--------------------------------------|--|---------------|-----|-----------|-----------------|--|
| 1 | 6.8 | 1.8 | 4.08 | 4.08 | 1.733 | 1.4 | 0.303 | 0.2 | Z = 6-6.8 m pakai <i>geotextile</i> Sv = 0.2 m (5 lapis) |
| 2 | 6.4 | 1.8 | 3.84 | 3.84 | 1.733 | 1.4 | 0.322 | 0.2 | |
| 3 | 6 | 1.8 | 3.6 | 3.6 | 1.733 | 1.4 | 0.344 | 0.2 | |
| 4 | 5.6 | 1.8 | 3.36 | 3.36 | 1.972 | 1.4 | 0.419 | 0.4 | |
| 5 | 5.2 | 1.8 | 3.12 | 3.12 | 1.972 | 1.4 | 0.452 | 0.4 | |
| 6 | 4.8 | 1.8 | 2.88 | 2.88 | 1.972 | 1.4 | 0.489 | 0.4 | |
| 7 | 4.4 | 1.8 | 2.64 | 2.64 | 1.972 | 1.4 | 0.534 | 0.4 | |
| 8 | 4 | 1.8 | 2.4 | 2.4 | 1.972 | 1.4 | 0.587 | 0.4 | |
| 9 | 3.6 | 1.8 | 2.16 | 2.16 | 1.972 | 1.4 | 0.652 | 0.4 | |
| 10 | 3.2 | 1.8 | 1.92 | 1.92 | 1.972 | 1.4 | 0.734 | 0.4 | |
| 11 | 2.8 | 1.8 | 1.68 | 1.68 | 1.972 | 1.4 | 0.839 | 0.8 | |
| 12 | 2.4 | 1.8 | 1.44 | 1.44 | 1.972 | 1.4 | 0.978 | 0.8 | |
| 13 | 2 | 1.8 | 1.2 | 1.2 | 1.972 | 1.4 | 1.174 | 0.8 | |
| 14 | 1.6 | 1.8 | 0.96 | 0.96 | 1.972 | 1.4 | 1.468 | 0.8 | |
| 15 | 1.2 | 1.8 | 0.72 | 0.72 | 1.972 | 1.4 | 1.957 | 0.8 | |
| 16 | 0.8 | 2.8 | 0.75 | 0.74667 | 1.972 | 1.4 | 1.887 | 0.8 | Z = 0-3.2 m pakai <i>geogrid</i> Sv = 0.8 m (3 lapis) |

*catatan: $z1=6,8 \text{ m}$ merupakan dasar timbunan

(Sumber: Hasil Analisis)

Jarak antar *geogrid* sebagai perkuatan seperti pada perhitungan di atas. Namun, setiap jarak 0,2 meter harus diberi *geogrid* sebagai pengait *multiblocks* dengan panjang minimal 1 meter. Untuk tanah timbunan kedalaman 6,8 m sampai 6 m direncanakan memakai *geotextile* karena pada kedalaman tersebut tanah timbunan akan turun dan tenggelam dalam tanah asli, sehingga dengan penggunaan *geotextile* dapat menekan biaya penggunaan *multiblocks*.

4. Perhitungan panjang *geogrid* di belakang bidang longsor (*Le*) menggunakan Persamaan 2.51. Perhitungan *Le* dilakukan tiap lapisan (Tabel 5.19) dan disamakan per layer yang sudah ditetapkan sebelumnya. Berikut contoh perhitungan *Le*:

Pada $z = 6,8$ m dan $Sv = 0,2$ m dengan $SF = 1,4$ diperoleh:

$$Le = \frac{0,2 \times 4,08 \times 1,4}{2(0 + (1,8 \times 6,8) \times tg 25)}$$

$$Le = 0,1001$$

Dipakai $Le \text{ min} = 1$ meter

5. Perhitungan panjang *geogrid* di depan bidang longsor (L_R) Sama halnya dengan L_e , perhitungan L_R dilakukan tiap lapisan menggunakan Persamaan 2.50, misalnya pada $z = 11,45$ m dan diperoleh:

$$L_R = (6,8 - 6,8) \times tg (45 - \frac{25}{2})$$

$$L_R = 0 \text{ m}$$

6. Perhitungan panjang lipatan *geogrid* (*Lo*) menggunakan Persamaan 2.52. Berikut contoh perhitungan *Lo*:

Pada $z = 6,8$ m dan $Sv = 0,2$ m dengan $SF = 1,4$

$$Lo = \frac{0,2 \times 4,08 \times 1,4}{4(0 + (1,8 \times 6,8) \times tg 25)}$$

$$Lo = 0,05 \text{ m}$$

Dipakai $Lo \text{ min} = 1$ meter

7. Panjang total *geogrid*

$L_{\text{total}} = Le + L_R$

Untuk panjang total *geotextile* per lapis

$$L_{total} = L_e + L_R + L_o + S_v$$

Hasil perhitungan Panjang total *geogrid* (Zona 1) disajikan pada Tabel 5.15.

Tabel 5.15 Hasil Perhitungan Panjang *Geogrid* (Zona 1)

| No | z (m) | Sv pakai (m) | σ_h (t/m ²) | σ_v (t/m ²) | L _e (m) | L _e pakai (m) | L _r (m) | L _o (m) | L _{min} (m) | L _{total} (m) | L _{pakai} (m) |
|----|----------|-----------------|-----------------------------------|-----------------------------------|-----------------------|-----------------------------|-----------------------|-----------------------|-------------------------|---------------------------|---------------------------|
| 1 | 0.8 | 0.8 | 0.74667 | 2.24 | 0.4003 | 1 | 3.464 | 0.200 | 1 | 5.464 | 6 |
| 2 | 1.2 | 0.8 | 0.72 | 2.16 | 0.4003 | 1 | 3.233 | 0.200 | 1 | 5.233162 | 6 |
| 3 | 1.6 | 0.8 | 0.96 | 2.88 | 0.4003 | 1 | 3.002 | 0.200 | 1 | 5.002221 | 6 |
| 4 | 2 | 0.8 | 0.96 | 2.88 | 0.4003 | 1 | 2.771 | 0.200 | 1 | 4.771281 | 6 |
| 5 | 2.4 | 0.8 | 1.44 | 4.32 | 0.4003 | 1 | 2.540 | 0.200 | 1 | 4.540341 | 6 |
| 6 | 2.8 | 0.8 | 1.68 | 5.04 | 0.4003 | 1 | 2.309 | 0.200 | 1 | 4.309401 | 6 |
| 7 | 3.2 | 0.4 | 1.92 | 5.76 | 0.2002 | 1 | 2.078 | 0.100 | 1 | 4.078461 | 5 |
| 8 | 3.6 | 0.4 | 2.16 | 6.48 | 0.2002 | 1 | 1.848 | 0.100 | 1 | 3.847521 | 5 |
| 9 | 4 | 0.4 | 2.4 | 7.2 | 0.2002 | 1 | 1.617 | 0.100 | 1 | 3.616581 | 5 |
| 10 | 4.4 | 0.4 | 2.64 | 7.92 | 0.2002 | 1 | 1.386 | 0.100 | 1 | 3.385641 | 5 |
| 11 | 4.8 | 0.4 | 2.88 | 8.64 | 0.2002 | 1 | 1.155 | 0.100 | 1 | 3.154701 | 5 |
| 12 | 5.2 | 0.4 | 3.12 | 9.36 | 0.2002 | 1 | 0.924 | 0.100 | 1 | 2.92376 | 5 |
| 13 | 5.6 | 0.4 | 3.36 | 10.08 | 0.2002 | 1 | 0.693 | 0.100 | 1 | 2.69282 | 5 |
| 14 | 6 | 0.2 | 3.6 | 10.8 | 0.1001 | 1 | 0.462 | 0.050 | 1 | 2.66188 | 3 |
| 15 | 6.4 | 0.2 | 3.84 | 11.52 | 0.1001 | 1 | 0.231 | 0.050 | 1 | 2.43094 | 3 |
| 16 | 6.8 | 0.2 | 4.08 | 12.24 | 0.1001 | 1 | 0 | 0.050 | 1 | 2 | 3 |

(Sumber: Hasil Analisis)

8. Kontrol stabilitas *geogrid* sebagai perkuatan

Pada perencanaan *geogrid* tanah dasar yang lunak sudah diberi perkuatan *micropile*, oleh karenanya kontrol stabilitas yang dihitung yaitu kontrol guling, geser, dan *overall stability*.

a. Kontrol Guling (menggunakan Persamaan 2.57)

$$c \text{ timb} = 0 \text{ t/m}^2$$

$$\delta = 25^\circ \text{ (Tabel 2.7)}$$

$$H = 6,8 \text{ meter}$$

Gaya-gaya pada dinding penahan:

Tabel 5.16 Hasil Perhitungan Tekanan Tanah (Zona 1)

| Tekanan Tanah | | |
|-----------------------|---------|------------------|
| σ_v | 12.24 | t/m ² |
| σ_h | 4.08 | t/m ² |
| $P_1 (0.4 \text{ m})$ | 5.5488 | t |
| $P_1 \cos \delta$ | 5.02892 | t |
| $P_1 \sin \delta$ | 2.34502 | t |
| R ₁ | 2.26667 | m |

(Sumber: Hasil Analisis)

Tabel 5.17 Hasil Perhitungan Beban Tanah pada *Geogrid*
(Zona1)

| Beban tanah (per 0.4 m) | | | | | |
|-------------------------|--------|---|----|-----|---|
| w1 | 12.096 | t | x1 | 3 | m |
| w2 | 10.368 | t | x2 | 2.5 | m |
| w3 | 10.368 | t | x3 | 1.5 | m |

(Sumber: Hasil Analisis)

$$\begin{aligned} w_1 &= \text{berat tanah pada geogrid panjang } 6 \text{ m} \\ &= \gamma t \text{imb} \times 2.8 \times 6 \times 0.4 \\ &= 12,096 \text{ t} \end{aligned}$$

$$x_1 = \frac{1}{2} \times 6 = 3 \text{ m}$$

Tabel 5.18 Hasil Perhitungan Beban Multiblocks (Zona 1)

| Beban Multiblocks | | | | | |
|-------------------|---|----------------|-----|-------|-----|
| W multiblock | = | γ beton | H | t | p |
| | = | 2.4 | 5.8 | 0.205 | 0.4 |
| | = | 1.14144 | t | | |

(Sumber: Hasil Analisis)

Momen dorong terdiri dari:

Tabel 5.19 Perhitungan Momen Dorong (Zona 1)

| Momen dorong ($P \cos \delta \times R$) | | |
|---|--------|----|
| $P_1 \cos \delta \times R_1$ | 11.399 | tm |
| M_D | 11.399 | tm |

(Sumber: Hasil Analisis)

Momen penahanan terdiri dari:

Tabel 5.20 Perhitungan Momen Penahan (Zona 1)

| Momen penahan($(P \sin \delta * x) + w * x$) | | |
|--|-----------|----|
| $P_1 \sin \delta * x$ | 7.035 | tm |
| $w_1 * x_1$ | 36.288 | tm |
| $w_2 * x_2$ | 25.92 | tm |
| $w_3 * x_3$ | 15.552 | tm |
| $W_m * \frac{1}{2}t$ | 0.1169976 | tm |
| M_p | 84.912 | tm |

(Sumber: Hasil Analisis)

$$\begin{aligned}
 \text{Angka Keamanan, } SF &= M_p/M_D \\
 &= 84,912/11,399 \\
 &= 7,5 > SF = 3 \text{ "OK"}
 \end{aligned}$$

Perhitungan perkuatan kombinasi *multiblocks* dan *geogrid* untuk zona 2 ditampilkan pada Lampiran 8.

- b. Kontrol Geser (Persamaan 2.54)

Gaya penahan terdiri dari:

Tabel 5.21 Perhitungan Gaya Penahan

| Gaya Penahan ($P \sin\delta + w$) | | |
|-------------------------------------|---------------|---|
| $P_1 \sin \delta$ | 2.345 | t |
| w1 | 12.096 | t |
| w2 | 10.368 | t |
| w3 | 10.368 | t |
| wm | 1.14144 | t |
| P_p | 36.318 | t |

(Sumber: Hasil Analisis)

Gaya pendorong terdiri dari:

Tabel 5.22 Perhitungan Gaya Pendorong

| Gaya Pendorong ($P \cos\delta$) | | |
|-----------------------------------|-------|---|
| $P_1 \cos \delta$ | 5.029 | t |
| P_D | 5.029 | t |

(Sumber: Hasil Analisis)

Angka keamanan terhadap geser:

$$SF = \frac{c \times B \times 0,4 + (\sum w_i + P \sin \delta) \tan \phi}{P \cos \delta}$$

B = lebar *geotextile* yang bersentuhan dengan tanah

$$SF = \frac{1.22 \times 3 + (36,318) \times \tan 3}{5,029}$$

$$SF = 0,67 < 1,5$$

Geogrid diperpanjang sampai diperoleh $SF > 1,5$. Setelah dihitung dibutuhkan panjang 10 meter agar $SF > 1,5$. Karena lebar timbunan hanya 6 meter maka panjang *geogrid* diteruskan sepanjang lebar timbunan yaitu 6 meter tiap lapisnya.

c. Kontrol Daya Dukung (Persamaan 2.58)

$$\phi = 3^\circ$$

$N_c = 5,96$ (interpolasi dari Tabel 2.8)

$$N_q = 1,36$$

$$N_\gamma = 0,06$$

$$C_u = 1.22 \text{ t/m}^2$$

$$\gamma \text{ tanah dasar} = 1,637 \text{ t/m}^3$$

$$\begin{aligned} q_{ult} &= 0,5 \gamma B N_\gamma + (\gamma \cdot D + q_0) N_q + c \cdot N_c \\ &= 7,76 \text{ t/m}^2 \end{aligned}$$

$$q_{act} = \gamma \cdot H + c \text{ timb} = 12,24 \text{ t/m}^2$$

$$SF = q_{ult} / q_{act} = 0,634 < 1,5 \rightarrow \text{perlu cerucuk}$$

Perhitungan cerucuk akan dijelaskan pada sub bab berikutnya. Rekapitulasi Kebutuhan *geogrid*, *multiblocks*, dan *geotextile* zona 1 ditampilkan pada Tabel 5.23 dan untuk zona 2 ditampilkan pada Tabel 5.24. Perhitungan perkuatan timbunan menggunakan kombinasi *multiblocks* dan *geogrid* ditampilkan pada Lampiran 8. Sketsa pemasangan *multiblock* dan *geogrid* ditampilkan pada Gambar 5.15.

Tabel 5.23 Rekapitulasi Kebutuhan *Geogrid*, *Multiblocks*, Dan *Geotextile* (Zona 1)

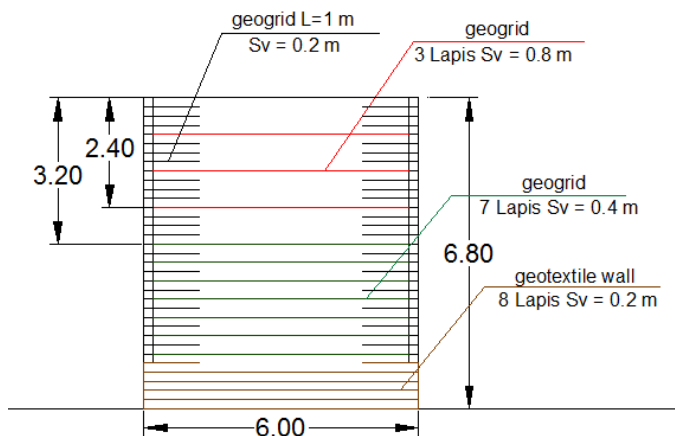
| Zona 1 | | |
|---|------|----------------|
| Jumlah geotextile | 5 | lapis |
| panjang geotextile perlapis | 8.4 | m |
| Luas Kebutuhan Geotextile | 1008 | m ² |
| Jumlah geogrid sebagai perkuatan | 10 | lapis |
| Luas Kebutuhan Geogrid sebagai perkuatan | 1440 | m ² |
| Jumlah geogrid sebagai pengait multiblocks | 18 | Lapis |
| Jumlah Kebutuhan Geogrid sebagai pengait (2 sisi) | 36 | m |
| | 216 | m ² |
| Total kebutuhan geogrid | 1656 | m ² |
| tinggi multiblock | 5.8 | m |

(Sumber: Hasil Analisis)

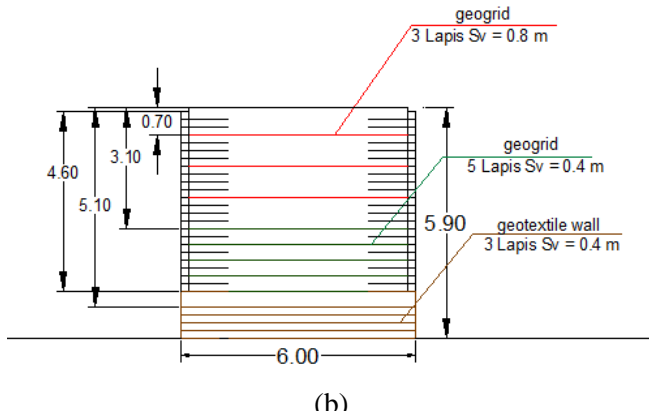
Tabel 5.24 Rekapitulasi Kebutuhan *Geogrid*, *Multiblocks*, Dan *Geotextile* (Zona 2)

| Zona 2 | | |
|---|-------|----------------|
| Jumlah geotextile | 5 | lapis |
| Panjang geotextile perlapis | 8.4 | m |
| Luas Kebutuhan Geotextile | 42000 | m ² |
| Jumlah geogrid sebagai perkuatan | 8 | lapis |
| Jumlah Kebutuhan Geogrid sebagai perkuatan | 48000 | m ² |
| Jumlah lapis sebagai pengait multiblocks (1 sisi) | 15 | Lapis |
| Jumlah Kebutuhan Geogrid sebagai pengait (2 sisi) | 30 | lapis |
| | 30000 | m ² |
| Total Kebutuhan Geogrid | 78000 | m ² |
| tinggi multiblock | 4.6 | m |

(Sumber: Hasil Analisis)



(a)



Gambar 5.15 Sketsa Pemasangan *Multiblock* dan *Geogrid* (a)
Zona 1 (b) Zona 2

5.4.4 Perkuatan *micropile*/cerucuk untuk arah melintang

Pada alternatif perkuatan menggunakan kombinasi *multiblocks* dan *geogrid* perlu tambahan perkuatan *micropile* untuk meningkatkan daya dukung tanah dasar. *Micropile* juga digunakan agar timbunan aman terhadap *overall stability*. Analisa kestabilan dilakukan menggunakan program bantu *Geoslope* untuk mendapatkan SF, momen *resisting*, jari-jari kelongsoran, serta koordinat kelongsoran dengan kondisi terkritis. Hasil percobaan *running* dapat dilihat pada Lampiran 8.

Dari beberapa percobaan *running*, didapatkan SF terkritis = 1,029. Pada perencanaan ini digunakan *micropile* persegi dengan ukuran 20 x 20 cm dengan mutu beton K-450. Perhitungan perencanaan *micropile* yang digunakan untuk perkuatan tanah adalah :

$$f_y = \text{tegangan leleh tulangan}$$

$$= 400 \text{ MPa}$$

$$f'_c = \text{tegangan kekuatan beton}$$

$$= 45 \text{ Mpa}$$

D = diameter tulangan memanjang *micropile*
 = 16 mm

ϕ = diameter tulangan sengkang *micropile*
 = 6 mm

d' = tebal selimut beton
 = 40 mm

jumlah tulangan tarik = 2 buah

jumlah tulangan tekan = 2 buah

jarak pemasangan tulangan sengkang = 200 mm

$$\begin{aligned} \text{As tarik} &= 2 \times \left(\frac{1}{4} \times \pi \times D^2\right) \\ &= 2 \times \left(\frac{1}{4} \times \pi \times 16^2\right) \\ &= 402,124 \text{ mm}^2 \end{aligned}$$

$$\begin{aligned} \text{As tarik} &= 2 \times \left(\frac{1}{4} \times \pi \times D^2\right) \\ &= 2 \times \left(\frac{1}{4} \times \pi \times 16^2\right) \\ &= 402,124 \text{ mm}^2 \end{aligned}$$

$$\begin{aligned} d &= h - d' - (1/2 \times D) - \phi \\ &= (20 \times 10) - 40 - (1/2 \times 16) - 6 = 146 \text{ mm} \end{aligned}$$

- Menghitung Momen *Ultimate Micropile* (Mu)

gaya tekan = gaya tarik

$0,85 \times f'_c \times b \times a = \text{As tarik} \times f_y$

$$\begin{aligned} a &= \frac{402,124 \text{ mm}^2 \times 400}{0,85 \times 45 \text{ MPa} \times (20 \text{ cm} \times 10)} \\ a &= 21,03 \text{ mm} \end{aligned}$$

gaya tekan:

$$\begin{aligned} C &= 0,85 \times 45 \text{ MPa} \times (20 \text{ cm} \times 10) \times 21,03 \text{ mm} \\ &= 160849,5 \text{ N} \end{aligned}$$

Momen nominal (Mn):

$$\begin{aligned} Mn &= C \left(d - \frac{a}{2} \right) + As' \times f_y (d - d') \\ &= 160849,5 \times (40 - \frac{21,03 \text{ mm}}{2}) + 402,124 \text{ mm}^2 \times 400 \text{ MPa} \times \\ &\quad (146 \text{ mm} - 40) \\ &= 38843067 \text{ Nmm} \end{aligned}$$

Momen ultimate (Mu)

$$\begin{aligned}
 \text{Mu} &= \varnothing x M_n \\
 &= 0,8 \times 38843067 \text{ Nmm} \\
 &= 31074454 \text{ Nmm} \\
 &= 3,107 \text{ tm}
 \end{aligned}$$

Namun untuk zona 2 pada alternatif 2 digunakan *micropile* dengan kekuatan momen ultimate yang lebih rendah yaitu 2.107 tm. Spesifikasi dapat dilihat pada Tabel 5.25.

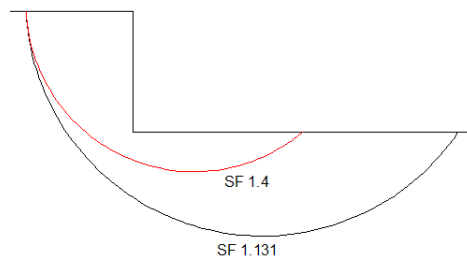
Tabel 5.25 Spesifikasi *Micropile* yang digunakan

| Type | f'_c | D tulangan | \varnothing sengkang | f_y | Dimensi | Mu |
|------------|--------|------------|------------------------|-------|---------|-------------|
| | Mpa | mm | mm | Mpa | cm | tm |
| segi empat | 45 | 12 | 6 | 400 | 20 | 1.810 |
| | 45 | 13 | 6 | 400 | 20 | 2.107 |
| | 45 | 16 | 6 | 400 | 20 | 3.107 |

(Sumber: Hasil Analisis)

- Menghitung Panjang *micropile* (L)

Untuk menghitung panjang *micropile* yang digunakan perlu dicari kedalaman kelongsoran dengan SF sebesar SF rencana, yang ditampilkan pada Gambar 5.16.



Gambar 5.16 Kedalaman Kelongsoran SF Rencana (Zona 1)

Dari Gambar 5.16 dapat diketahui bahwa kedalaman kelongsoran SF rencana tidak lebih dari kedalaman kelongsoran SF minimum. Maka dari itu, dipakai kedalaman praktis 2-3 meter di bawah bidang longsor kritis. Untuk Panjang di atas bidang longsor dicari menggunakan program AutoCAD, didapatkan:

L_a (di atas bidang longsor) = 3,65 meter

Direncanakan panjang di bawah bidang longsor, $L_b = 2$ meter

Maka di dapatkan panjang (L) cerucuk = $3,65 + 2 \approx 6$ meter.

- Menghitung Gaya Penahan (*Resisting*)

Faktor modulus tanah (f)

C_u = Tahanan geser tanah asli

C_u (pada garis longsor) = $0,148 \text{ kg/cm}^2$

$$q_u = 2 \times C_u$$

$$= 2 \times 0,148 \text{ Kg/cm}^2$$

$$= 0,296 \text{ Kg/cm}^2$$

dengan Grafik NAVFAC, DM-7, 1971 seperti yang ditampilkan pada Gambar 2.13, maka didapat:

$$f = 0,096 \text{ kg/cm}^3$$

Momen inersia (I)

$$I = \frac{1}{12} \times b \times h^3$$

$$= \frac{1}{12} \times 20 \times 20^3$$

$$= 13333,333 \text{ cm}^4$$

Modulus Elastisitas (E)

$$E = 315285.5848 \text{ kg/cm}^2$$

Faktor Kekakuan Relatif (T) (Persamaan 2.61)

$$T = (EI/f)^{1/5}$$

$$= (315285.5848 \text{ kg/cm}^2 \times 13333,333 \text{ cm}^4 / 0,096 \text{ Kg/cm}^3)^{1/5}$$

$$= 134,36 \text{ cm}$$

Koefisien Momen Akibat Gaya Lateral (F_M)

$$Lb/T = 2 \times 100 / 134,36 = 1,5$$

$$Z = 0 \text{ m}$$

Berdasarkan Grafik NAVFAC, DM-7, 1971 seperti yang ditampilkan pada Gambar 2.14, maka didapat:

$$F_M = 1$$

- Menghitung Gaya Horizontal yang Mampu Dipikul 1 Buah *Micropile*

$$P_{\max 1 \text{ cerucuk}} = \frac{M_p \max 1 \text{ cerucuk}}{F_M \times T} \times F_k \quad (\text{Persamaan 2.65})$$

$$M_p \max = M_u = 3,107 \text{ tm}$$

Faktor Koreksi (Fk) dihitung menggunakan Persamaan 2.66 dan Tabel 2.9.

$$X_t = Lb/D = 2 \text{ m} \times 100 / 20 = 10$$

$$Y_t = 0,65$$

$$X_D = D/T = 20/134,36 = 0,15$$

$$Y_D = 46,616 (X_D) - 3,582$$

$$= 46,616 (0,15) - 3,582$$

$$= 3,3 > Y_{D \max}, \text{ maka dipakai } Y_{D \max} = 2$$

Spasi cerucuk direncanakan = $5D = 5 \times 20 = 100 \text{ cm}$

$$X_s = S/D = 100/20 = 5$$

$$Y_s = -0,057(X_s)^2 + 0,614 X_s - 0,658$$

$$= -0,057(5)^2 + 0,614 (5) - 0,658$$

$$= 0,987$$

X_n : jumlah cerucuk asumsi dimana nilainya konvergen jika n asumsi = n hitung (Persamaan 2.68)

$$X_n = 2$$

$$Y_n = -0,045 X_n + 1,051$$

$$= -0,045 (2) + 1,051$$

$$= 0,957$$

$$\begin{aligned} F_k &= 2,3 \times Y_t \times Y_D \times Y_s \times Y_n \\ &= 2,3 \times 0,65 \times 2 \times 0,987 \times 0,957 \\ &= 2,82 \end{aligned}$$

$$\begin{aligned} P_{\max 1 \text{ cerucuk}} &= \frac{3,107}{1 \times \left(\frac{134,36}{100}\right)} \times 2,82 \\ &= 6,53 \text{ ton} \end{aligned}$$

- Menghitung Jumlah *Micropile* yang Dibutuhkan

$$H_{\text{inisial}} = 6,8 \text{ m}$$

$$SF_{\min} = 1,131$$

$$MR_{\min} = 5489,2 \text{ kNm}$$

$$R_{(\text{jari-jari})} = 13,254 \text{ m}$$

$$SF_{\text{rencana}} = 1,4$$

$$M_{\text{dorong}} = MR_{\min} / SF_{\min}$$

$$= 5489,2 \text{ kNm} / 1,131$$

$$= 4853,404 \text{ kNm}$$

$$n = \frac{(SF \text{ yang diinginkan} - SF \text{ yang ada}) \times MD}{P_{\max 1 \text{ cerucuk}} \times R} \quad (\text{Persamaan 2.68})$$

$$\begin{aligned}
 &= \frac{(1,4 - 1,131) \times 4853,404}{6,53 \times 13,254} \\
 &= 1,5 \text{ buah / meter tegak lurus gambar} \approx 2 \text{ buah/m} \\
 (\text{n asumsi konvergen dengan n hitung}) \\
 \text{maka dipakai jumlah cerucuk per meter sebanyak 2 buah.}
 \end{aligned}$$

Rekpitulasi hasil perhitungan kebutuhan cerucuk untuk zona 1 ditampilkan pada Tabel 5.26 dan untuk zona 2 ditampilkan pada Tabel 5.27.

Tabel 5.26 Rekpitulasi Hasil Perhitungan Kebutuhan Cerucuk Zona 1

| No | SF minimum | ΔMR | Dimensi cerucuk | Kebutuhan cerucuk (1 sisi) | Kebutuhan cerucuk (2 sisi) | Jarak antar cerucuk | La (atas bidang longsor) | Lb (bawah bidang longsor) | L total |
|----|------------|-------------|-----------------|----------------------------|----------------------------|---------------------|--------------------------|---------------------------|---------|
| | | | | (kNm) | (m) | (buah/m) | (buah/m) | (m) | (m) |
| 1 | 1.139 | 1218.428 | 20x20 | 2 | 4 | 1 | 3.6 | 2 | 6 |
| 2 | 1.259 | 403.9051 | 20x20 | 1 | 2 | 1 | 2.43 | 2 | 5 |
| 3 | 1.131 | 1305.566 | 20x20 | 2 | 4 | 1 | 3.65 | 2 | 6 |
| 4 | 1.179 | 862.4061 | 20x20 | 2 | 4 | 1 | 3.15 | 2 | 6 |

(Sumber: Hasil Analisis)

Tabel 5.27 Rekpitulasi Hasil Perhitungan Kebutuhan Cerucuk Zona 2

| No | SF minimum | ΔMR | Dimensi cerucuk | Kebutuhan cerucuk (1 sisi) | Kebutuhan cerucuk (2 sisi) | Jarak antar cerucuk | La (atas bidang longsor) | Lb (bawah bidang longsor) | L total |
|----|------------|-------------|-----------------|----------------------------|----------------------------|---------------------|--------------------------|---------------------------|---------|
| | | | | (kNm) | (m) | (buah/m) | (buah/m) | (m) | (m) |
| 1 | 1.204 | 854.5698 | 20x20 | 2 | 4 | 1 | 3.98 | 2 | 6 |
| 2 | 1.211 | 792.6763 | 20x20 | 2 | 4 | 1 | 3.89 | 2 | 6 |
| 3 | 1.285 | 271.6148 | 20x20 | 1 | 2 | 1 | 2.95 | 2 | 5 |
| 4 | 1.252 | 435.7016 | 20x20 | 2 | 4 | 1 | 3.47 | 2 | 6 |

(Sumber: Hasil Analisis)

Perhitungan percobaan kebutuhan cerucuk masing-masing SF ditampilkan pada Lampiran 8. Gambar pemasangan perkuatan kombinasi *multiblocks*, *geogrid*, dan cerucuk dapat dilihat pada Lampiran 11.

5.5 Perancaan *Geotextile Wall* Arah Memanjang Jalan

Direncanakan *geotextile* sebagai dinding penahan pada timbunan ke arah sungai. *Geotextile* yang digunakan sama dengan *geotextile* sebagai perkuatan timbunan arah melintang yaitu tipe

UW-250. Konstruksi ini akan dipasang pada tanah yang sudah kuat yaitu tanah yang sudah diberi perkuatan *micropile*. Adapun perhitungan kebutuhan *geotextile wall* sama dengan perhitungan perkuatan *geogrid* pada Sub bab 5.4.1.

5.5.1 Perencanaan *geotextile wall*

Pada perencanaan perkuatan arah memanjang jalan direncanakan jarak antar *geotextile* kelipatan 0,2 m sama dengan pada perencanaan perkuatan arah melintang jalan. Hal ini dilakukan untuk memudahkan dalam pelaksanaan.

Geotextile wall direncanakan hanya berfungsi sebagai dinding penahan tanah, sedangkan untuk kontrol terhadap *overall stability* akan ditahan oleh *micropile*. Kebutuhan biaya akan lebih banyak jika *geotextile* difungsikan sebagai perkuatan karena panjang *geotextile* harus memotong bidang longsor serta untuk mencapai SF rencana juga masih diperlukan tambahan bantuan dari cerucuk. Berikut hasil perhitungan kebutuhan *geotextile wall*:

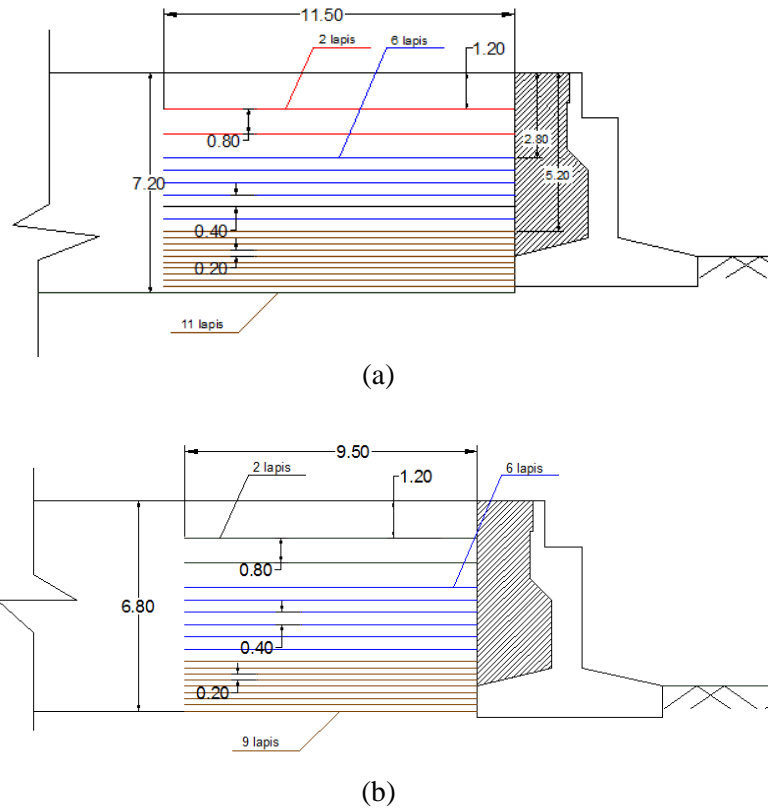
Pada alternatif 1:

$$\begin{aligned} \text{Jumlah Lapis } &\text{geotextile} = 19 \text{ lapis} \\ \text{Panjang tiap lapis} &= 11,5 \text{ m} \\ \text{Total kebutuhan} &= 1311 \text{ m}^2. \end{aligned}$$

Pada alternatif 2:

$$\begin{aligned} \text{Jumlah Lapis } &\text{geotextile} = 17 \text{ lapis} \\ \text{Panjang tiap lapis} &= 9,5 \text{ m} \\ \text{Total kebutuhan} &= 969 \text{ m}^2. \end{aligned}$$

Hasil Perhitungan *geotextile wall* untuk alternatif 1 dan alternatif 2 dapat dilihat pada Lampiran 9. Sketsa pemasangan ditampilkan pada Gambar 5.17.



Gambar 5.17 Sketsa Pemasangan *Geotextile Wall* pada (a)
Alternatif 1, (b) Alternatif 2

5.5.2 Perkuatan *micropile*/cerucuk untuk arah memanjang jalan

Perhitungan perkuatan *micropile* untuk arah memanjang sungai sama dengan perhitungan pada Sub bab 5.4.4. Hasil perhitungan kebutuhan *micropile* untuk arah memanjang jalan dapat dilihat pada Tabel 5.28 dan Tabel 5.29.

Tabel 5.28 Hasil Perhitungan Kebutuhan Cerucuk Arah Memanjang jalan (Alternatif 1)

| No | SF minimum | ΔMR | Dimensi cerucuk | Kebutuhan cerucuk | Jarak antar cerucuk | La (atas bidang longsor) | Lb (bawah bidang longsor) | L total |
|----|------------|-------------|-----------------|-------------------|---------------------|--------------------------|---------------------------|---------|
| | | (kNm) | (m) | (buah/m) | (m) | (m) | (m) | (m) |
| 1 | 0.868 | 4077.155 | 20x20 | 4 | 1 | 6.1 | 2.5 | 9 |
| 2 | 1.273 | 486.0618 | 20x20 | 1 | 1 | 4 | 2.5 | 7 |
| 3 | 0.907 | 5422.022 | 20x20 | 4 | 1 | 5.7 | 2.5 | 9 |
| 4 | 0.985 | 3755.771 | 20x20 | 3 | 3 | 4.8 | 2.5 | 8 |

(Sumber: Hasil Analisis)

Tabel 5.29 Hasil Perhitungan Kebutuhan Cerucuk Arah Memanjang jalan (Alternatif 2)

| No | SF minimum | ΔMR | Dimensi cerucuk | Kebutuhan cerucuk | Jarak antar cerucuk | La (atas bidang longsor) | Lb (bawah bidang longsor) | L total |
|----|------------|-------------|-----------------|-------------------|---------------------|--------------------------|---------------------------|---------|
| | | (kNm) | (m) | (buah/m) | (m) | (m) | (m) | (m) |
| 1 | 1.029 | 3132.733 | 20x20 | 3 | 1 | 6 | 2.5 | 9 |
| 2 | 1.042 | 2505.588 | 20x20 | 3 | 1 | 5.9 | 2.5 | 9 |
| 3 | 1.348 | 192.5813 | 20x20 | 1 | 1 | 4 | 2.5 | 7 |
| 4 | 1.032 | 3332.468 | 20x20 | 3 | 1 | 5.9 | 2.5 | 9 |

(Sumber: Hasil Analisis)

Perhitungan kebutuhan cerucuk masing-masing SF ditampilkan pada Lampiran 9. Gambar perencanaan perkuatan arah memanjang jalan dengan *geotextile* dan cerucuk ditampilkan pada Lampiran 11.

5.6 Perencanaan Abutment dan Pondasi Abutment

5.6.1 Pembebanan abutment

Perencanaan beban yang bekerja pada struktur bangunan bawah jembatan berdasarkan pada RSNI T-02-2005 dan SNI 2833-2008. Dimana beban yang bekerja di kombinasikan untuk menghasilkan nilai beban seperti kondisi kenyataannya.

5.6.1.1 Data perencanaan

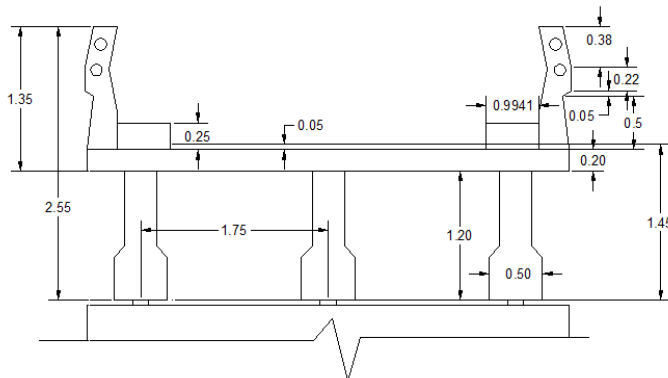
| | |
|---|----------|
| Panjang girder (L) | = 30 m |
| Lebar jalan (b) | = 4,5 m |
| Tebal plat lantai jembatan (t_s) | = 0.2 m |
| Tebal lapisan aspal + overlay (t_a) | = 0.05 m |
| Lebar abutment (B) | = 6 m |

Tinggi abutment (ha) = 6,5 m

5.6.1.2 Aksi tetap

Aksi tetap pada *abutment* jembatan yaitu Berat Sendiri (MS) yang terdiri dari struktur atas dan struktur bawah, Berat Mati Tambahan (MA), dan Tekanan Tanah (TA).

a. Berat struktur atas



Gambar 5.18 Gambar Struktur Atas

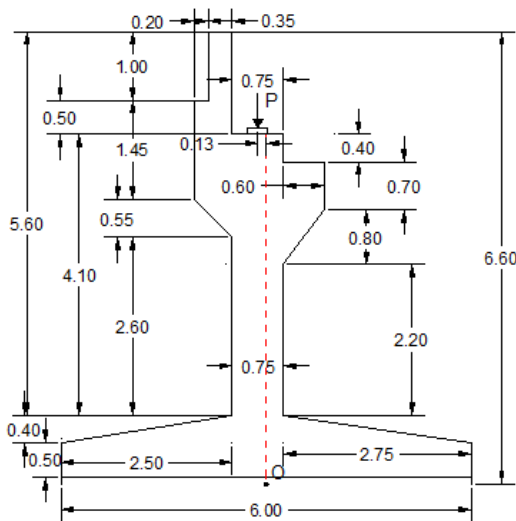
Tabel 5.30 Perhitungan Berat Sendiri Struktur Atas

| Beban | Luas penampang | | Panjang (m) | Banyak (buah) | Berat jenis kN/m ³ | Berat (kN) |
|----------------------------|----------------------------|--------|----------------|------------------|----------------------------------|---------------------------------------|
| | Lebar (m ²) | Tinggi | | | | |
| Girder jembatan | 0.450 | | 30 | 3 | 24 | 972 |
| Slab beton | 0.893 | | 30 | 1 | 24 | 642.683 |
| tiang beton | 0.271 | | 0.22 | 32 | 24 | 45.8194176 |
| trotoar + kerb | 0.12425 | | 30 | 2 | 24 | 178.92 |
| Diaphragma | 0.3 | 0.6 | 4.5 | 7 | 24 | 136.08 |
| Lapisan permukaan beraspal | 4.50 | 0.05 | 30 | 1 | 22 | 148.5 |
| | | | | | | $W_{MS} \text{ (kN)} = 2124.002218$ |
| | | | | | | $P_{MS} \text{ (kN)} = 1062.001109$ |
| | | | | | | $e \text{ (m)} = -0.13$ |
| | | | | | | $M_{MS} \text{ (kNm)} = -138.0601441$ |

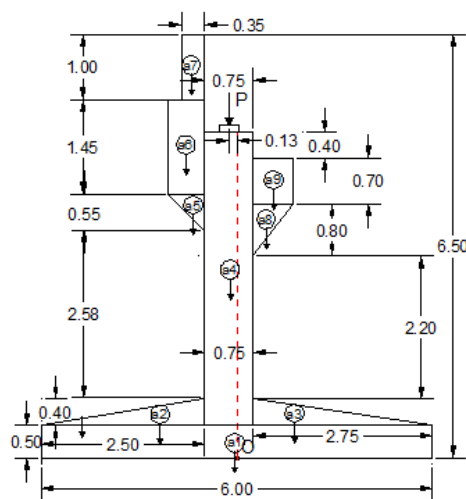
(Sumber: Hasil Analisis)

b. Berat struktur bawah

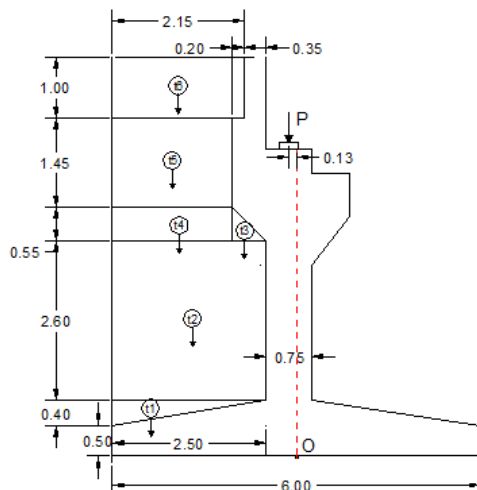
Abutment yang akan direncanakan memiliki ukuran tinggi total 7 m dan lebar total sebesar 6 m. untuk gambar lebih detail dapat dilihat pada Gambar 5.19 dan Gambar 5.20.



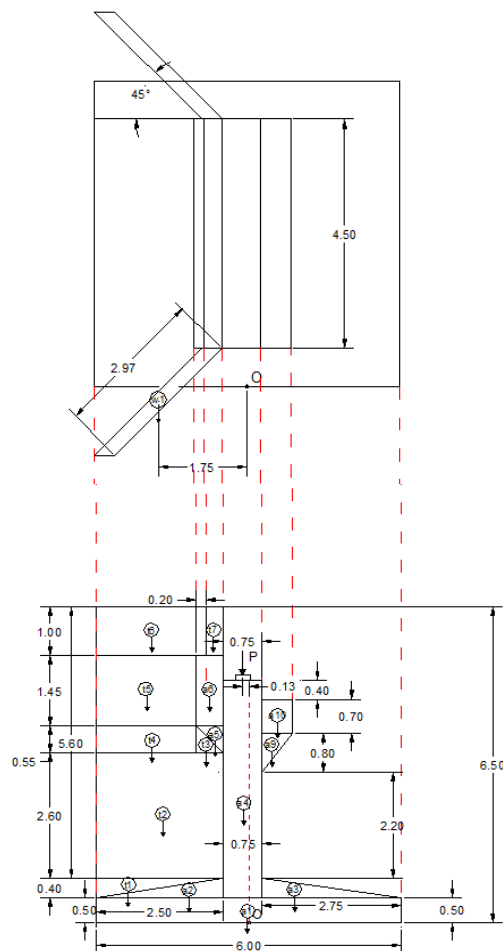
Gambar 5.19 Perencanaan Awal Abutment



(a)



(b)



(c)

Gambar 5.20 Berat Struktur Bawah (a) Berat *Abutment* (b) Berat Tanah di atas *Abutment* (c) Berat *Wingwall*

Tebal dinding wing wall (t_w) = 0.4 m

Tabel 5.31 Perhitungan Berat Sendiri Struktur Bawah

| Kode | Lebar (m) | Tinggi (m) | Panjang /tebal (m) | shape | Berat Jenis (kN/m3) | Berat (kN) | Lengan (m) | Arah Momen | Momen (kNm) |
|-----------------|--------------|---------------|-----------------------|-------|------------------------|-------------------|---------------|-----------------------|-----------------|
| Abutment | | | | | | | | | |
| a1 | 6 | 0.5 | 6 | 1 | 24 | 432 | 0.000 | 1 | 0 |
| a2 | 2.5 | 0.4 | 4.5 | 0.5 | 24 | 54 | 1.333 | -1 | -72 |
| a3 | 2.75 | 0.4 | 4.5 | 0.5 | 24 | 59.4 | 1.167 | 1 | 69.3 |
| a4 | 0.75 | 4.5 | 4.5 | 1 | 24 | 364.5 | 0.125 | -1 | -45.5625 |
| a5 | 0.55 | 0.55 | 4.5 | 0.5 | 24 | 16.335 | 0.683 | -1 | -11.1623 |
| a6 | 0.55 | 1.45 | 4.5 | 1 | 24 | 86.13 | 0.775 | -1 | -66.7508 |
| a7 | 0.3 | 1 | 4.5 | 1 | 24 | 32.4 | 0.650 | -1 | -21.06 |
| a8 | 0.6 | 0.8 | 4.5 | 0.5 | 24 | 25.92 | 0.600 | 1 | 15.552 |
| a9 | 0.6 | 0.7 | 4.5 | 1 | 24 | 45.36 | 0.700 | 1 | 31.752 |
| Wingwall | | | | | | | | | |
| w1 | 2.97 | 6 | 0.8 | 1 | 24 | 342.144 | 1.75 | -1 | -598.752 |
| Tanah | | | | | | | | | |
| t1 | 2.5 | 0.4 | 4.5 | 0.5 | 18 | 40.5 | 2.267 | -1 | -91.8 |
| t2 | 2.5 | 2.6 | 4.5 | 1 | 18 | 526.5 | 1.850 | -1 | -974.025 |
| t3 | 0.55 | 0.55 | 4.5 | 0.5 | 18 | 12.25125 | 0.967 | -1 | -11.8429 |
| t4 | 1.95 | 0.55 | 4.5 | 1 | 18 | 86.8725 | 2.325 | -1 | -201.979 |
| t5 | 1.95 | 1.45 | 4.5 | 1 | 18 | 229.0275 | 2.325 | -1 | -532.489 |
| t6 | 2.15 | 1 | 4.5 | 1 | 18 | 174.15 | 1.925 | -1 | -335.239 |
| | | | | | P_{MS} | 2527.49025 | | M_{MS} | -2846.06 |

(Sumber: Hasil Analisis)

Berat total akibat berat sendiri ditampilkan pada Tabel 5.32.

Tabel 5.32 Total Berat Sendiri

| Beban sendiri | P _{MS} | M _{MS} |
|----------------|-----------------|-----------------|
| | kN | kNm |
| Struktur atas | 1062.001 | -138.060 |
| Struktur bawah | 2527.49 | -2846.058 |
| Total | 3589.491 | -2984.118 |

(Sumber: Hasil Analisis)

c. Berat mati tambahan (MA)

Hasil perhitungan berat mati tambahan pada struktur atas dapat dilihat pada Tabel 5.33.

Tabel 5.33 Berat Mati Tambahan

| Jenis Beban mati tambahan | Tebal (m) | Lebar (m) | Panjang (m) | Jumlah | γ (kN/m ³) | Berat (kN) |
|---------------------------|--------------|--------------|----------------|--------|----------------------------------|---------------|
| Lapisan aspal + overlay | 0.05 | 4.5 | 30 | 1 | 22 | 148.5 |
| Railing, light, dll. | | | 30 | 2 | 0.5 | 30 |
| Instalasi ME | | | 30 | 2 | 0.1 | 6 |
| Air Hujan | 0.05 | 4.5 | 30 | 1 | 9.8 | 66.15 |
| | | | | | W_{MA} | 250.65 |
| | | | | | P_{MA} | 125.325 |
| | | | | | e | -0.13 |
| | | | | | M_{MA} | -16.29225 |

(Sumber: Hasil Analisis)

d. Tekanan tanah (TA)

Seperti pada sub bab 5.5 telah dijelaskan bahwa tekanan tanah di belakang *abutment* direncanakan ditahan oleh *geotextile wall* dan ceruk. Maka dari itu tekanan tanah tidak diperhitungkan dalam perencanaan *abutment* dan pondasi *abutment*.

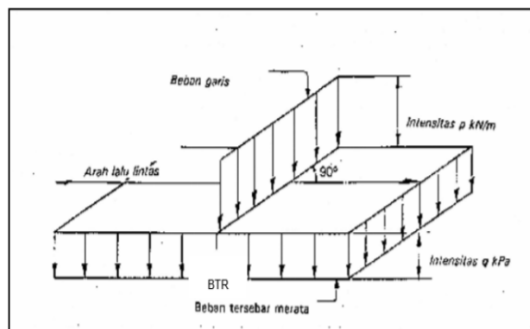
5.6.1.3 Aksi lalu lintas

Beban akibat aksi lalu lintas yaitu terdiri dari beban laju 'D' (TD), beban pejalan kaki (pedestrian), dan gaya rem.

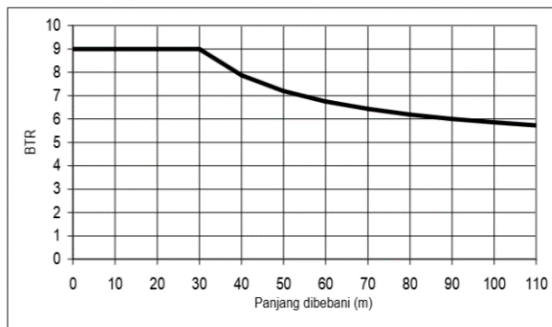
a. Beban lajur 'D' (TD)

Beban kendaraan yg berupa beban lajur "D" terdiri dari Beban Terbagi Rata (BTR) dan Beban Garis Terpusat (BGT) seperti pada Gambar 5.21. BTR mempunyai intensitas q (kPa) yang besarnya tergantung pada panjang total L yang dibebani lalu-lintas seperti Gambar 5.22 atau dinyatakan dengan rumus sebagai berikut :

- $q = 9.0 \text{ kPa}$, untuk $L \leq 30 \text{ m}$
- $q = 9.0 \times (0.5 + 15 / L) \text{ kPa}$, untuk $L > 30 \text{ m}$



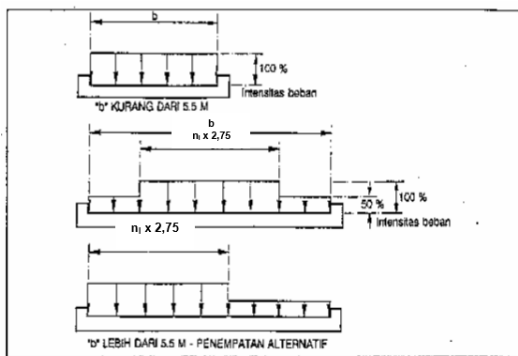
Gambar 5.21 Beban Lajur "D"
(sumber: RSNI T-02-2005)



Gambar 5.22 BTR vs Panjang yang Dibebani
(sumber: RSNI T-02-2005)

Untuk panjang bentang 30 m, menurut Gambar 5.22 memiliki nilai q BTR sebesar 9 kPa.

Menurut RSNI T-02-2005, bila lebar jalur kendaraan jembatan kurang atau sama dengan 5,5 m, maka beban "D" harus ditempatkan pada seluruh jalur dengan intensitas 100 % seperti tercantum dalam Pasal 6.3.1. dan Gambar 5.23.



Gambar 5.23 Penyebaran Pembebanan pada Arah Melintang
(sumber: RSNI T-02-2005)

Maka beban terbagi rata yang terjadi pada *abutment*:

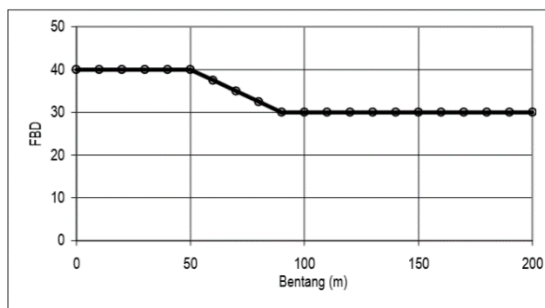
$$P_{BTR} = 0,5 \times q \times b \times L$$

$$P_{BTR} = 0,5 \times 9 \times 4,5 \times 30$$

$$P_{BTR} = 607,5 \text{ kN}$$

Untuk perhitungan Beban Garis Terpusat (BGT) mempunyai intensitas $p = 49 \text{ kN/m}$ dan memiliki faktor beban dinamis (FBD) yang bergantung pada bentang jembatan. Faktor beban dinamis untuk BGT diambil sebagai berikut :

- FBD = 0.4, untuk $L \leq 50 \text{ m}$
- $FBD = 0.4 - 0.0025*(L - 50)$, untuk $50 < L < 90 \text{ m}$
- FBD = 0.3, untuk $L \geq 90 \text{ m}$



Gambar 5.24 Faktor Beban Dinamis (FBD) untuk Beban BGT
(sumber: RSNI T-02-2005)

Untuk panjang bentang 30 m, menurut Gambar 5.24 memiliki nilai FBD sebesar 40%. Besarnya BGT dapat dilihat pada perhitungan berikut.

$$P_{BGT} = 0,5 \times P \times (1+DLA) \times b$$

$$P_{BGT} = 0,5 \times 49 \times (1+0,4) \times 4,5$$

$$P_{BGT} = 154,35 \text{ kN}$$

Maka besarnya beban lajur D pada abutment adalah sebesar:

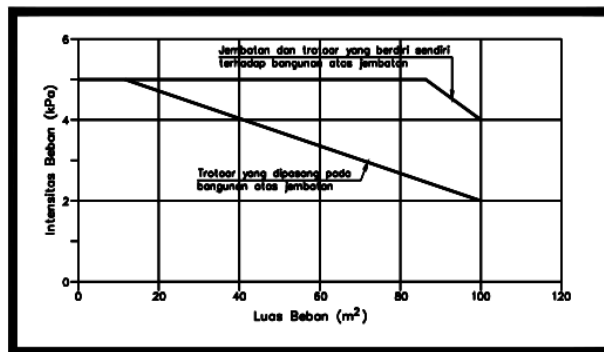
$$P_{TD} = (P_{BTR} + P_{BGT}) = (607,5 + 154,35) = 761,85 \text{ kN}$$

Eksentrisitas beban thd. Pondasi, $e = -0,13 \text{ m}$. Momen pada fondasi akibat beban lajur "D",

$$M_{TD} = P_{TD} * e = - 99,04 \text{ kNm}$$

b. Beban pejalan kaki (TP)

Jembatan jalan raya direncanakan mampu memikul beban hidup merata pada trotoar yang besarnya tergantung pada luas bidang trotoar yang didukungnya. $A = \text{luas bidang trotoar yang dibebani pejalan kaki } (\text{m}^2)$. Besarnya beban hidup merata q untuk beban pejalan kaki dapat dilihat pada Gambar 5.25



Gambar 5.25 Pembebanan Pejalan Kaki
(sumber: RSNI T-02-2005)

Dengan data jembatan:

$$\text{Lebar trotoar, } (b_1) = 0,5 \text{ m}$$

$$L \text{ jembatan, } (L) = 30 \text{ m}$$

$$\text{Luas trotoar yang di bebani pejalan kaki} = 15 \text{ m}^2$$

Sehingga di dapat,

$$\text{Beban vertikal merata, } (q) = 5 \text{ kN/m}^2$$

$$\text{Jumlah trotoar, } (n) = 2 \text{ buah}$$

Beban akibat pejalan kaki, (T_{TP})

$$T_{TP} = b_1 \times q \times n \times L$$

$$= 0.5 \times 5 \times 2 \times 30$$

$$= 150 \text{ kN}$$

$$P_{TP} \text{ abutment} = 0.5 \times 150 = 75 \text{ kN}$$

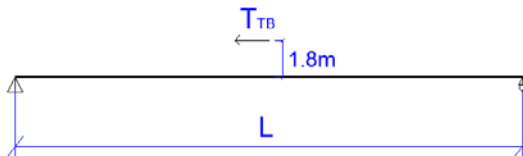
Eksentrisitas beban terhadap pondasi, $e = -0.13 \text{ m}$

Momen pada fondasi akibat beban pedestrian,

$$M_{TP} = P_{TP} \times e = -9,75 \text{ tm}$$

c. Gaya rem (TB)

Pengaruh penggereman dari lalu-lintas diperhitungkan sebagai gaya dalam arah memanjang dan dianggap bekerja pada permukaan lantai jembatan. Pengaruh penggereman dari lalu-lintas diperhitungkan sebagai gaya dalam arah memanjang dan dianggap bekerja pada jarak 1.8 m diatas permukaan lantai jembatan. Besarnya gaya rem arah memanjang jembatan diperhitungkan senilai dengan 5% dari 100% beban lajur D yang dianggap ada pada semua jalur lalu-lintas tanpa dikalikan dengan DLA dalam satu jurusan. Beban lajur D disini tidak direduksi bila panjang bentang melebihi 30 m, digunakan $q = 9 \text{ kPa}$.



Gambar 5.26 Gaya Akibat Beban Rem

$$\text{Panjang girder, } (L) = 30 \text{ m}$$

$$\text{Beban merata pada girder, } (P_{TD}) = 1215 \text{ kN}$$

$$\text{Beban terpusat pada girder tanpa DLA, } (P_{TD}) = 220,5 \text{ kN}$$

$$\text{Gaya rem satu girder, } (T_{TB})$$

$$T_{TB} = 5\% \times (1215 + 220,5) \\ = 71,775 \text{ kN}$$

lengan terhadap titik putar pondasi, (ya) = 8,3 m

Momen akibat gaya rem, (M_{TB}) = $T_{TB} \times ya$ = 595,733 kNm

5.6.1.4 Aksi lingkungan

Beban akibat aksi lingkungan yaitu terdiri dari beban temperatur (ET), beban angin (EW), dan beban gempa (EQ).

a. Pengaruh temperatur (ET)

Untuk memperhitungkan tegangan maupun deformasi struktur yang timbul akibat pengaruh temperatur, diambil perbedaan temperatur yang besarnya setengah dari selisih antara temperatur maksimum dan temperatur minimum rata-rata pada lantai jembatan.

Tabel 5.34 Temperatur Jembatan Rata-rata Nominal

| Tipe Bangunan Atas | Temperatur Jembatan Rata-rata Minimum (1) | Temperatur Jembatan Rata-rata Maksimum |
|---|---|--|
| Lantai beton di atas gelagar atau boks beton. | 15°C | 40°C |
| Lantai beton di atas gelagar, boks atau rangka baja. | 15°C | 40°C |
| Lantai pelat baja di atas gelagar, boks atau rangka baja. | 15°C | 45°C |

CATATAN (1) Temperatur jembatan rata-rata minimum bisa dikurangi 5°C untuk lokasi yang terletak pada ketinggian lebih besar dari 500 m diatas permukaan laut.

(sumber: RSNI-T02-2005)

Tabel 5.35 Koefisien Perpanjangan Akibat Suhu

| Bahan | Koefisien Perpanjangan Akibat Suhu | Modulus Elastisitas MPa |
|--------------------|------------------------------------|-------------------------|
| Baja | 12×10^{-6} per °C | 200.000 |
| Beton: | | |
| Kuat tekan <30 MPa | 10×10^{-6} per °C | 25.000 |
| Kuat tekan >30 MPa | 11×10^{-6} per °C | 34.000 |
| Aluminium | 24×10^{-6} per °C | 70.000 |

(sumber: RSNI-T02-2005)

Temperatur rata-rata min, (T_{min}) = 15°C

Temperatur rata-rata max, (T_{max}) = 40°C

Perbedaan temperatur, (ΔT)

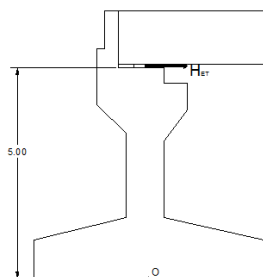
$$\begin{aligned}\Delta T &= (T_{\max} - T_{\min})/2 \\ &= (40 - 15)/2 \\ &= 12.5 \text{ }^{\circ}\text{C}\end{aligned}$$

Koefisien muai FRP, (β) = 10×10^{-6}

Jumlah elastomer dalam 1 pondasi, (n) = 3 buah

Kekakuan geser untuk elastomer, (k) = 1500 kN/m

Lengan terhadap pondasi, (Y_{ET}) = 5 m



Gambar 5.27 Skema Pengaruh Temperatur

$$\begin{aligned}T_{ET \text{ abutment}} &= \beta \times \Delta T \times k \times L \times n \times 1/2 \\ &= 0.00001 \times 12.5 \times 1500 \times 30 \times 3 \times 1/2 \\ &= 8,4375 \text{ kN}\end{aligned}$$

$$\begin{aligned}M_{ET \text{ abutment}} &= H_{ET} \times Y_{ET} \\ &= 8,4375 \times 5 \\ &= 42,1875 \text{ kNm}\end{aligned}$$

b. Beban angin (EW)

- Angin yang meniup badan samping jembatan

Gaya akibat angin yang meniup bidang samping jembatan dihitung dengan rumus :

$$T_{EW1} = 0.0006 * C_w * (V_w)^2 * A_b \text{ kN}$$

dengan,

$$b/d = 4,5/2,55 = 1,8 \rightarrow \text{interpolasi untuk mendapatkan nilai } C_w$$

$$C_w = \text{koefisien seret} = 1,641 \text{ Tabel 5.36)$$

V_w = Kecepatan angin rencana (m/det) = 30 m/s

Ab = luas bidang samping jembatan (m^2)

Tabel 5.36 Koefisien Seret C_w

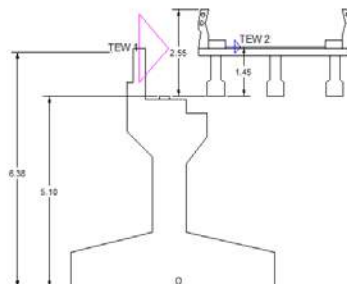
| Tipe Jembatan | C_w |
|---|----------|
| Bangunan atas masif: (1), (2) | |
| $b/d = 1.0$ | 2.1 (3) |
| $b/d = 2.0$ | 1.5 (3) |
| $b/d \geq 6.0$ | 1.25 (3) |
| Bangunan atas rangka | 1.2 |
| CATATAN (1) b = lebar keseluruhan jembatan dihitung dari sisi luar sandaran d = tinggi bangunan atas, termasuk tinggi bagian sandaran yang masif | |
| CATATAN (2) Untuk harga antara dari b / d bisa diinterpolasi linier | |
| CATATAN (3) Apabila bangunan atas mempunyai superelevasi, C_w harus dinaikkan sebesar 3 % untuk setiap derajat superelevasi, dengan kenaikan maksimum 2,5 % | |

(sumber: RSNI-T02-2005)

Tabel 5.37 Kecepatan Angin Rencana V_w

| Keadaan Batas | Lokasi | |
|---------------|-------------------------|--------------------|
| | Sampai 5 km dari pantai | > 5 km dari pantai |
| Daya layan | 30 m/s | 25 m/s |
| Ultimit | 35 m/s | 30 m/s |

(sumber: RSNI-T02-2005)



Gambar 5.28 Skema Pengaruh Angin terhadap Struktur Jembatan

Luas samping bangunan atas, (Ab_1)

$$\begin{aligned}Ab_1 &= y_1 \times L/2 \\&= 2,55 \times 30/2 \\&= 38,25 \text{ m}^2\end{aligned}$$

$$\begin{aligned}T_{EW1} &= 0.0006 \times C_w \times (V_w)^2 \times Ab_1 \\&= 0.0006 \times 1.641 \times (30)^2 \times 38,25 \\&= 33,9 \text{ kN}\end{aligned}$$

Lengan terhadap titik O, (Y) = $5,1 + 2,55/2 = 6,38 \text{ m}$

$$\begin{aligned}M_{EW1} &= T_{EW1} \times Y \\&= 33,9 \times 6,38 \\&= 216,1 \text{ kNm}\end{aligned}$$

Lengan terhadap breast wall = $4,2 + 2,55/2 = 5,475 \text{ m}$

$$\begin{aligned}M'_{EW1} &= T_{EW1} \times Y' \\&= 33,9 \times 5,375 \\&= 185,6 \text{ kNm}\end{aligned}$$

- Angin yang meniup kendaraan

Gaya angin tambahan arah horisontal pada permukaan lantai jembatan akibat beban angin yang meniup kendaraan di atas lantai jembatan dihitung dengan rumus :

$$\begin{aligned}T_{EW2} &= 0.0012 \times C_w \times (V_w)^2 \times L / 2 \text{ kN} \\&\text{dengan, } C_w = 1.2 \\&= 0.0012 \times 1.2 \times 30^2 \times 30/2 = 19,44 \text{ kN}\end{aligned}$$

Lengan terhadap titik O, (Y) = $t \text{ abutment} + t \text{ aspal}$
 $= 6,5 \text{ m} + 0,05 \text{ m} = 6,55 \text{ m}$

$$\begin{aligned}M_{EW2} &= T_{EW2} \times Y \\&= 19,44 \times 6,55 \\&= 127,33 \text{ kN}\end{aligned}$$

Lengan terhadap breast wall = $t \text{ abutment} + t \text{ aspal} - 0,9 \text{ m}$
 $= 6,5 \text{ m} + 0,05 - 0,9 \text{ m} = 5,65 \text{ m}$

$$\begin{aligned}M'_{EW2} &= T_{EW2} \times Y' \\&= 19,44 \times 5,65 \\&= 109,84 \text{ kNm}\end{aligned}$$

Rekapan nilai beban beban yang bekerja pada abutmen akibat gaya angina adalah sebagai berikut:

Total beban angin pada Abutment:

$$T_{EW} = T_{EW1} + T_{EW2} = 53,34 \text{ kN}$$

Total momen pd Fondasi:

$$M_{EW} = M_{EW1} + M_{EW2} = 343,43 \text{ kNm}$$

Total momen pd Breast wall:

$$M_{EW} = M'_{EW1} + M'_{EW2} = 295,43 \text{ kNm}$$

c. Beban gempa (EW)

Beban gempa rencana dihitung dengan rumus :

$$TEQ = Kh \times I \times Wt$$

$$\text{dimana, } Kh = C \times S$$

Dengan pengertian:

TEQ = Gaya geser dasar total pada arah yang ditinjau (kN)

Kh = Koefisien beban gempa horisontal

I = Faktor kepentingan

Wt = Berat total jembatan yang berupa berat sendiri dan beban mati tambahan = PMS + PMA kN

C = Koefisien geser dasar untuk daerah , waktu dan kondisi setempat yang sesuai

S = Faktor tipe bangunan

Waktu getar struktur dihitung dengan rumus :

$$T = 2 \times \pi \times \sqrt{ [WTP / (g \times KP)] }$$

g = percepatan gravitasi (= 9.81 m/det²)

KP = kekakuan gabungan sebagai gaya horisontal yang diperlukan untuk menimbulkan satu satuan lendutan pada bagian atas pilar (kN/m)

WTP = berat total nominal bangunan atas termasuk beban mati tambahan ditambah setengah berat dari abutment (bila perlu dipertimbangkan) (kN) = PMS (str atas) + ½ x PMS (str bawah)

- **Beban gempa arah memanjang jembatan (arah x)**

Tinggi breast wall, Lb = 4,1 m

Ukuran penampang breast wall, b = By = 6 m

h = 0,75 m

Inersia penampang breast wall, Ic = $1/12 \times b \times h^3$
= 0,281 m⁴

Mutu beton, K - 300 fc' = 0,83 x K / 10 = 24,9 MPa

Modulus elastis beton, Ec = $4700 \times \sqrt{fc'} = 23452,953$ MPa

Ec = 23452952,91 kPa

Nilai kekakuan, Kp = $3 \times Ec \times Ic / Lb^3 = 287117,555$ kN/m

Percepatan gravitasi, g = 9,81 m/det2

Berat sendiri struktur atas = 1062,001 kN

Berat mati tambahan = 125,325 kN

Beban sendiri struktur bawah = 2451,071 kN

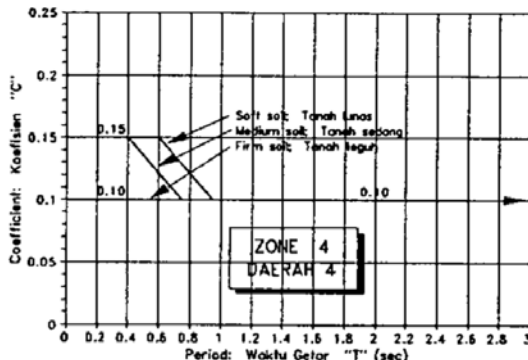
$$WTP = (1062,001 + 125,325) + 1/2 \times 2451,071 = 2705,717 \text{ kN}$$

$$T = 2 \times \pi \times \sqrt{WTP / (g \times Kp)} = 0,185 \text{ detik}$$

Tabel 5.38 Kondisi Tanah untuk Koefisien Geser Dasar

| Jenis Tanah | Tanah Teguh | Tanah Sedang | Tanah Lunak |
|---|-------------|----------------------|-------------|
| Untuk seluruh jenis tanah | ≤ 3 m | > 3 m sampai 25 m | > 25 m |
| Untuk tanah kohesif dengan kekuatan geser <i>undrained</i> rata-rata tidak melebihi 50 kPa: | ≤ 6 m | > 6 m sampai 25 m | > 25 m |
| Pada tempat dimana hamparan tanah salah satunya mempunyai sifat kohesif dengan kekuatan geser <i>undrained</i> rata-rata lebih besar dari 100 kPa, atau tanah berbutir yang sangat padat: | ≤ 9 m | > 9 m sampai 25 m | > 25 m |
| Untuk tanah kohesif dengan kekuatan geser <i>undrained</i> rata-rata tidak melebihi 200 kPa: | ≤ 12 m | > 12 m sampai 30 m | > 30 m |
| Untuk tanah berbutir dengan ikatan matrik padat: | ≤ 20 m | > 20 m sampai 40 m | > 40 m |
| CATATAN (1) Ketentuan ini harus digunakan dengan mengabaikan apakah tiang pancang diperpanjang sampai lapisan tanah keras yang lebih dalam | | | |

(Sumber: RSNI-T02-2005)



Gambar 5.29 Koefisien Geser Dasar (C)
(Sumber: RSNI-T02-2005)

Kondisi tanah dasar termasuk sedang. Lokasi di wilayah gempa 4. Koefisien geser dasar, $C = 0,15$

Untuk struktur jembatan dengan daerah sendi plastis beton bertulang , faktor jenis struktur dihitung dengan rumus :

$$S = 1 \times F$$

dengan, $F = 1,25 - 0,025 \times n$ dan F harus diambil ≥ 1 F = faktor perangkaan, n = jumlah sendi plastis yang menahan deformasi arah lateral.

Untuk, $n = 1$ maka :

$$F = 1,25 - 0,025 \times n = 1,225$$

$$S = 1 \times F = 1,225$$

Koefisien beban gempa horisontal,

$$Kh = C \times S = 0,18375$$

Tabel 5.39 Faktor kepentingan

| | |
|--|-----|
| 1. Jembatan memuat lebih dari 2000 kendaraan/hari, jembatan pada jalan raya utama atau arteri dan jembatan dimana tidak ada rute alternatif. | 1,2 |
| 2. Seluruh jembatan permanen lainnya dimana rute alternatif tersedia, tidak termasuk jembatan yang direncanakan untuk pembebanan lalu lintas yang dikurangi. | 1,0 |
| 3. Jembatan sementara (misal: Bailey) dan jembatan yang direncanakan untuk pembebanan lalu lintas yang dikurangi sesuai dengan pasal 6,5. | 0,8 |

(Sumber: RSNI-T02-2005)

Berdasarkan Tabel 5.39 diambil nilai faktor kepentingan sebesar 1,0 sehingga didapatkan:

$$\text{Gaya gempa, } \text{TEQ} = \text{Kh} \times \text{I} \times \text{Wt} = 0,184 \times \text{Wt}$$

Tabel 5.40 Distribusi Beban Gempa

| No | Berat (Wt) | TEQ | Iengan | MEQ |
|----------------|------------|---------|--------|-----------|
| | kN | kN | m | kNm |
| STRUKTUR ATAS | | | | |
| PMS | 1062.001 | 195.143 | 5 | 975.71352 |
| PMA | 125.325 | 23.028 | 5 | 115.14234 |
| STRUKTUR BAWAH | | | | |
| a1 | 432.00 | 79.380 | 0.000 | 0.000 |
| a2 | 54.00 | 9.923 | 1.333 | 13.230 |
| a3 | 59.40 | 10.915 | 1.167 | 12.734 |
| a4 | 364.50 | 66.977 | 0.125 | 8.372 |
| a5 | 16.34 | 3.002 | 0.683 | 2.051 |
| a6 | 86.13 | 15.826 | 0.775 | 12.265 |
| a7 | 32.40 | 5.954 | 0.650 | 3.870 |
| a8 | 25.92 | 4.763 | 0.600 | 2.858 |
| a9 | 45.36 | 8.335 | 0.700 | 5.834 |
| w1 | 342.14 | 62.869 | 1.750 | 110.021 |
| TANAH | | | | |
| t1 | 40.50 | 7.442 | 2.267 | 16.868 |
| t2 | 526.50 | 96.744 | 1.850 | 178.977 |
| t3 | 12.25 | 2.251 | 0.967 | 2.176 |
| t4 | 86.87 | 15.963 | 2.325 | 37.114 |
| t5 | 229.03 | 42.084 | 2.325 | 97.845 |
| t6 | 174.15 | 32.000 | 1.925 | 61.600 |
| | Teq | 682.60 | | 1656.67 |

(Sumber: Hasil Analisis)

Letak titik tangkap gaya horisontal gempa, y_{EQ} :

$$y_{EQ} = M_{EQ} / T_{EQ} = 2,427 \text{ m}$$

- Beban gempa arah melintang jembatan (arah y)

Inersia penampang breast wall, $I_c = 1/12 \times h \times b^3$

$$= 5,695 \text{ m}^4$$

Nilai kekakuan, K_p

$$= 3 \times E_c \times I_c / Lb^3$$

$$= 5814,13 \text{ kN/m}$$

Waktu getar alami struktur, T

$$= 2 \times \pi \times \sqrt{WTP / (g \times K_p)}$$

$$= 1,303 \text{ detik}$$

Koefisien geser dasar, C

$$= 0,1$$

| | |
|---|---|
| Faktor tipe struktur, S | = 1 x F |
| | = 1,225 |
| Koefisien beban gempa horisontal, $Kh = C \times S$ | |
| | = 0,1225 |
| Faktor kepentingan, I | = 1,0 |
| Wt | = $P_{ms} + P_{ma} = 3714,816 \text{ kN}$ |
| Gaya gempa, T_{EQ} | = $Kh \times I \times Wt$ |
| | = 455,065 kN |
| Momen gempa, M_{EQ} | = 1104,447 kNm |

5.6.1.5 Kombinasi beban kerja

Perhitungan kombinasi pembebanan pada *abutment* merupakan lanjutan perhitungan dari pembebanan *abutment*. Kombinasi beban-beban itu sendiri dapat dilihat pada Tabel 5.41. Tabel 5.41 Kombinasi Beban untuk Perencanaan Tegangan Kerja

| Aksi | Kombinasi No. | | | | | | |
|---|---------------|-----|-----|-----|-----|-----|-----|
| | 1 | 2 | 3 | 4 | 5 | 6 | 7 |
| Aksi tetap | X | X | X | X | X | X | X |
| Beban lalu lintas | X | X | X | X | - | - | X |
| Pengaruh temperatur | - | X | - | X | - | - | - |
| Arus/hanyutan/hidro/daya apung | X | X | X | X | X | - | - |
| Beban angin | - | - | X | X | - | - | - |
| Pengaruh gempa | - | - | - | - | X | - | - |
| Beban tumbukan | - | - | - | - | - | - | X |
| Beban pelaksanaan | - | - | - | - | - | X | - |
| Tegangan berlebihan yang diperbolehkan r_{os} | nil | 25% | 25% | 40% | 50% | 30% | 50% |

(Sumber: RSNI-T02-2005)

Perincian masing-masing hasil kombinasi dapat dilihat pada Lampiran 9. Rekap hasil perhitungan kombinasi pembebanan dapat dilihat pada Tabel 5.43.

Tabel 5.42 Rekap Hasil Perhitungan Pembebatan *Abutment*

| No | Aksi/Beban | Arah | Vertikal | Horisontal | | Momen | |
|-----------------------------|-----------------------|------|-----------|------------|------------|-------------|-------------|
| | | Kode | P (kN) | Tx (kN) | Ty (kN) | Mx (kNm) | My (kNm) |
| A. Aksi Tetap | | | | | | | |
| 1 | Berat sendiri | MS | 3589.491 | | | | -2984.12 |
| 2 | Beban Mati Tambahan | MA | 125.325 | | | | -16.2923 |
| B. Beban Lalu-Lintas | | | | | | | |
| 4 | Beban Lajur "D" | TD | 761.85 | | | | -99.0405 |
| 5 | Beban pedestrian | TP | 75 | | | | -9.75 |
| 6 | Gaya Rem | TB | | 71.775 | | | 595.7325 |
| C. Aksi Lingkungan | | | | | | | |
| 7 | Temperatur | ET | | 8.4375 | | | 42.1875 |
| 8 | Beban Angin | EW | | | 53.34 | 343.43 | |
| 9 | Beban Gempa | EQ | | 682.5975 | 455.065004 | 1104.45 | 1656.67 |
| 10 | Tekanan Tanah Dinamis | EQ | | | | | |
| Jumlah | | | 4551.666 | 762.81 | 508.403504 | 1447.882 | -814.61 |

(Sumber: Hasil Analisis)

Tabel 5.43 Hasil Perhitungan Kombinasi Pembebatan *Abutment*

| No | Kombinasi Beban | Tegangan berlebihan | P | Tx | Ty | Mx | My |
|----|-----------------|---------------------|----------|----------|------------|----------|----------|
| | | | kN | kN | kN | kNm | kNm |
| 1 | Kombinasi-1 | 0 | 4551.666 | 71.775 | | | -2513.47 |
| 2 | kombinasi-2 | 0.25 | 4551.666 | 80.2125 | | | -2471.28 |
| 3 | Kombinasi-3 | 0.25 | 4551.666 | 71.775 | 53.3385 | 343.4349 | -2513.47 |
| 4 | Kombinasi-4 | 0.4 | 4551.666 | 80.2125 | 53.3385 | 343.4349 | -2471.28 |
| 5 | Kombinasi-5 | 0.5 | 3714.816 | 682.5975 | 455.065004 | 1104.447 | -1343.74 |
| 6 | Kombinasi-6 | 0.3 | 3714.816 | | | | -3000.41 |
| 7 | Kombinasi-7 | 0.5 | 4551.666 | 71.775 | | | -2513.47 |

(Sumber: Hasil Analisis)

5.6.2 Kontrol stabilitas *abutment*

5.6.2.1 Kontrol Stabilitas Guling

Perhitungan stabilitas guling menggunakan SF minimal sebesar 2,2. Letak titik guling berada pada ujung pondasi sehingga lengan momen dari titik O adalah sebesar $B/2 = 3$ m untuk arah x dan $B/2 = 3$ m untuk arah y. Perhitungan kontrol guling menggunakan rumus sebagai berikut:

$$M_{py} = P \cdot B/2 \cdot (1+k), \quad \text{dengan } k = \text{persen kelebihan beban yang diijinkan (\%)}$$

$$SF = M_p/M > 2.2 \text{ (Persamaan 2.74)}$$

Hasil perhitungan kontrol stabilitas guling arah x dan arah y dapat dilihat pada Tabel 5.44 dan Tabel 5.45.

Tabel 5.44 Stabilitas Guling Arah X

| Kombinasi | k | P | M _y | M _{px} | SF | Keterangan |
|-------------|------|----------|----------------|-----------------|--------|------------|
| | | (kN) | (kNm) | (kNm) | | |
| Kombinasi 1 | 0 | 4551.666 | -2513.468019 | 13655 | 5.433 | OK |
| Kombinasi 2 | 0.25 | 4551.666 | -2471.280519 | 17068.75 | 6.907 | OK |
| Kombinasi 3 | 0.25 | 4551.666 | -2513.468019 | 17068.75 | 6.791 | OK |
| Kombinasi 4 | 0.4 | 4551.666 | -2471.280519 | 19117 | 7.736 | OK |
| Kombinasi 5 | 0.5 | 3714.816 | -1343.739098 | 16716.67 | 12.440 | OK |
| Kombinasi 6 | 0.3 | 3714.816 | -3000.410019 | 14487.78 | 4.829 | OK |
| Kombinasi 7 | 0.5 | 4551.666 | -2513.468019 | 20482.5 | 8.149 | OK |

(Sumber: Hasil Analisis)

Tabel 5.45 Stabilitas Guling Arah Y

| Kombinasi | k | P | M _x | M _{px} | SF | Keterangan |
|-------------|------|-------------|----------------|-----------------|----------|------------|
| | | (kN) | (kNm) | (kNm) | | |
| Kombinasi 1 | 0 | 4551.666359 | 0 | 13655 | ∞ | OK |
| Kombinasi 2 | 0.25 | 4551.666359 | 0 | 17068.75 | ∞ | OK |
| Kombinasi 3 | 0.25 | 4551.666359 | 343.4349375 | 17068.75 | 49.700 | OK |
| Kombinasi 4 | 0.4 | 4551.666359 | 343.4349375 | 19117 | 55.664 | OK |
| Kombinasi 5 | 0.5 | 3714.816359 | 1104.447281 | 16716.67 | 15.136 | OK |
| Kombinasi 6 | 0.3 | 3714.816359 | 0 | 14487.78 | ∞ | OK |
| Kombinasi 7 | 0.5 | 4551.666359 | 0 | 20482.5 | ∞ | OK |

(Sumber: Hasil Analisis)

5.6.1.1 Kontrol Stabilitas Geser

Stabilitas geser pada *abutment* dianalisa menggunakan Persamaan 2.72. Berikut hasil perhitungan kontrol stabilitas geser pada *abutment*:

$$\frac{f \cdot W}{\sum H} \geq F ; F = 1,5$$

$$\frac{0,6 \cdot 3714,816}{682,598} \geq 1,5$$

$$3,3 \geq 1,5 \text{ "OK"}$$

5.6.3 Perencanaan tiang pancang

Pada perencanaan pondasi *abutment*, direncanakan pondasi tiang pancang. Tiang pancang yang digunakan berbentuk lingkaran berongga dengan diameter luar masing-masing sebesar 30 m dan 40 m. Spesifikasi bahan dapat dilihat pada Lampiran 9.

a. Menentukan Kombinasi Tiang

Penentuan jumlah dan jarak antar tiang dibatasi oleh ketentuan berikut;

- Jarak tiang terluar keujung *pilecap* sebesar $d - 1,5d$ (Nayak, 1979)
- Jarak antar tiang minimal $2,5d \leq 3d$

Hasil perhitungan kombinasi tiang beserta jarak antar tiang sepanjang sumbu-x dan sumbu-y dapat dilihat pada Tabel 5.46.

Tabel 5.46 Hasil Perhitungan Kombinasi Tiang Pancang D30 dan D40

| Diameter tiang pancang (m) | m | n | Total | S_m | S_n | Jarak Pancang ke tepi m (m) | Jarak Pancang ke tepi n (m) | L (m) | B (m) |
|----------------------------------|---|---|-------|-------|-------|-----------------------------------|-----------------------------------|----------|----------|
| | | | | (m) | (m) | (m) | (m) | | |
| 0.3 | 5 | 4 | 20 | 1.3 | 1.73 | 0.4 | 0.4 | 6 | 6 |
| 0.4 | 4 | 3 | 12 | 1.66 | 2.5 | 0.5 | 0.5 | 6 | 6 |

Sketsa pemasangan *pile* berdasarkan Tabel dapat dilihat pada Lampiran 11.

b. Mencari Pmax Tiang

Setelah menemukan kombinasi tiang pancang untuk tiap-tiap diameter tiang yang direncanakan, barulah dapat dihitung kuat maksimum (P_{max}) untuk satu tiang pancang. Hasil perhitungan P_{max} tiang pancang untuk diameter 30 cm dan 40 cm. Persamaan yang digunakan adalah;

$$P_{max} = \frac{\sum V}{n} + \frac{My \cdot x_1}{\sum x_i^2} + \frac{Mx \cdot y_1}{\sum y_i^2}$$

dimana: x_1/y_1 = jarak terjauh *pile* sepanjang sumbu. x/y
 $\Sigma x_i^2 / \Sigma y_i^2$ = jarak *pile* dikalikan jumlah pada jarak tersebut

Maka didapatkan hasil perhitungan untuk P_{max} untuk satu tiang pada tiap-tiap ukuran tiang pancang yang dapat dilihat pada Tabel 5.47.

Tabel 5.47 Hasil Perhitungan Pmax Tiang Pancang pada
Abutment

| Kombinasi | P maksimum (kN) | |
|-----------|-----------------|---------|
| | D30 | D40 |
| 1 | 314.756 | 504.979 |
| 2 | 313.292 | 502.870 |
| 3 | 327.965 | 525.668 |
| 4 | 326.502 | 523.558 |
| 5 | 274.823 | 443.288 |
| 6 | 289.801 | 459.589 |
| 7 | 314.756 | 504.979 |

(Sumber: Hasil Analisis)

c. Kontrol Daya Dukung Tiang

Perhitungan daya dukung tanah menggunakan metode Meyerhoff dan Bazarra menghasilkan grafik hubungan antar kedalaman tiang dan daya dukung tanah yang dapat dilihat pada Lampiran 9. Melalui grafik tersebut dapat ditentukan kedalaman tiang pancang dengan syarat: $P_{\text{max}} < (P_{ijin} \times Ef)$ dimana efisiensi yang dipakai yaitu nilai terbesar dari Persamaan 2.83, Persamaan 2.84, dan Persamaan 2.85. Hasil perhitungan efisiensi yang dipakai dapat dilihat pada Tabel 5.48.

Tabel 5.48 Perhitungan Daya Dukung Tiang dalam *Group*

| Diameter (mm) | Class | P allow | Jumlah tiang | Kedalaman | P ijin tanah | efisiensi | P ijin 1 tiang dalam group |
|------------------|-------|---------|--------------|-----------|--------------|-----------|-------------------------------|
| | | (ton) | (buah) | (m) | (ton) | | (ton) |
| 300 | C | 229.5 | 20 | 17 | 47.674 | 0.691 | 32.961 |
| 400 | C | 111.5 | 12 | 16.5 | 68.333 | 0.787 | 53.760 |

(Sumber: Hasil Analisis)

Hasil perhitungan kontrol daya dukung tiang pancang untuk masing-masing kombinasi dapat dilihat pada Tabel 5.49 dan Tabel 5.50.

Tabel 5.49 Hasil Perhitungan Kontrol Kuat Tekan D30

| Untuk diameter 30 cm | | | | | |
|----------------------|---|---------------------------------|-----------------|----------------|------------|
| Kombinasi | Kenaikan Daya Dukung yang diperbolehkan | P ijin tiang dalam 1 group (kN) | P maksimum (kN) | P ijin x% (kN) | Keterangan |
| 1 | 100% | 329.606 | 314.756 | 329.606 | OK |
| 2 | 125% | 329.606 | 313.292 | 412.008 | OK |
| 3 | 125% | 329.606 | 327.965 | 412.008 | OK |
| 4 | 140% | 329.606 | 326.502 | 461.449 | OK |
| 5 | 150% | 329.606 | 274.823 | 494.409 | OK |
| 6 | 130% | 329.606 | 289.801 | 428.488 | OK |
| 7 | 150% | 329.606 | 314.756 | 494.409 | OK |

(Sumber: Hasil Analisis)

Tabel 5.50 Hasil Perhitungan Kontrol Kuat Tekan D40

| Untuk diameter 40 cm | | | | | |
|----------------------|---|---------------------------------|-----------------|-----------------|------------|
| Kombinasi | Kenaikan Daya Dukung yang diperbolehkan | P ijin tiang dalam 1 group (kN) | P maksimum (kN) | P ijin x % (kN) | Keterangan |
| 1 | 100% | 537.605 | 504.979 | 537.605 | OK |
| 2 | 125% | 537.605 | 502.870 | 672.006 | OK |
| 3 | 125% | 537.605 | 525.668 | 672.006 | OK |
| 4 | 140% | 537.605 | 523.558 | 752.647 | OK |
| 5 | 150% | 537.605 | 443.288 | 806.407 | OK |
| 6 | 130% | 537.605 | 459.589 | 698.886 | OK |
| 7 | 150% | 537.605 | 504.979 | 806.407 | OK |

(Sumber: Hasil Analisis)

d. Kontrol Tiang Pancang

Kontrol tiang berfungsi untuk memastikan tiang pancang yang sudah direncanakan tidak mengalami geser lateral dan tidak mengalami *crack* akibat momen. Tahapan yang dilakukan dalam proses kontrol tiang pancang dapat dilihat pada perhitungan dibawah ini. Perhitungan berikut merupakan kontrol lateral untuk diameter 40 cm. Tiang pancang yang dipakai yaitu produksi Wika Beton dengan K-600 Kelas C.

- o Mencari Harga f

Harga f didapatkan melalui grafik dari NAVFAC DM-7 yang sebelumnya telah tercantum pada Gambar 2.13. Sebelumnya, perlu ditemukan nilai geser undrained (C_u).

$$Cu = 0,108 \text{ kg/cm}^2$$

$$q = 2 \times Cu = 0,216 \text{ kg/cm}^2 = 0,221 \text{ ton/ft}^2$$

dari grafik NAVFAC didapatkan nilai $f = 2 \text{ ton/ft}^2$
 $f = 2 \times 0,032 = 0,064 \text{ kg/cm}^3$

- Mencari Nilai T (Persamaan 2.61)

$$T = (EI/f)^{1/5}$$

Mutu beton K-600

$$f'c = 0,83 \times 600 \times 9,81/100 = 48,85 \text{ MPa}$$

$$E = 4700x\sqrt{f_c} = 4700 \times \sqrt{48,85} \times 10 = 328508.82 \text{ kg/cm}^2$$

$$I = 34607.78467 \text{ cm}^4$$

$$\text{Maka, } T = 222,6 \text{ cm} = 2,226 \text{ m}$$

- Mencari F_δ dan F_M

Untuk mencari nilai F_δ dan F_M juga digunakan kurva NAVFAC ang sebelumnya telah tercantum pada Gambar 2.19. Namun sebelumnya harus ditentukan nilai L/T dan nilai z ditetapkan pada kedalaman 0 m ($z = 0$). Dimana L = panjang tiang pancang yang digunakan.

$$L/T = 16,5/2,226 = 7,41$$

dari kurva NAVFAC didapatkan;

$$F_\delta = 0,93 \text{ dan } F_M = 0,9$$

- Perhitungan Geser Lateral

Geser lateral dihitung dengan menggunakan persamaan

$$\delta = F_\delta \left(\frac{PT^3}{EI} \right)$$

Dimana :

$$P = H_{\max}/n$$

H_{\max} = gaya horizontal maksimum

n = jumlah tiang pancang

$\delta \leq 1 \text{ inch (2,54 cm)}$

Didapatkan $\delta = 1,67 \text{ cm} < 2,54 \text{ cm}$

Maka tiang pancang rencana aman dari geser lateral

- Perhitungan Momen Maksimum

Geser lateral dihitung dengan menggunakan persamaan

$$M_{pmax} = F_m \cdot P \cdot T$$

Dimana :

$$P = H_{\max}/n$$

H_{\max} = gaya horizontal maksimum

n = jumlah tiang pancang

$M_{pmax} < \text{Momen crack bahan}$

Didapatkan $M_{pmax} = 11,4 \text{ ton.m} < M_{crack}$

Maka tiang pancang rencana aman dari retak akibat momen.

Hasil kontrol geser lateral untuk diameter 30 cm dan 40 cm dapat dilihat Tabel 5.51. Hasil kontrol momen terhadap momen *crack* dapat dilihat pada Tabel 5.52 dan Tabel 5.53.

Tabel 5.51 Hasil Perhitungan Kontrol Gaya Lateral

| Diameter Pancang (cm) | Kontrol Lateral | | | Keterangan | |
|-----------------------|-----------------------|--|--|------------|--|
| | Geser Lateral (cm) | Gaya lateral yang diijinkan (cm) | | | |
| | | | | | |
| 30 | 1.57 | 2.54 | | OK | |
| 40 | 1.67 | 2.54 | | OK | |

(Sumber: Hasil Analisis)

Tabel 5.52 Hasil Perhitungan Kontrol Momen D30

| Kombinasi No. | % | M_{crack} | $P_x = T_x/n$ | $M_{p max}$ | $M_{p ijin} \times %$ | Keterangan |
|---------------|-------|-------------|---------------|-------------|-----------------------|------------|
| | Mijin | (tm) | (t) | (tm) | (tm) | |
| 1 | 100% | 4 | 0.359 | 0.574 | 4 | OK |
| 2 | 125% | 4 | 0.401 | 0.642 | 5 | OK |
| 3 | 125% | 4 | 0.359 | 0.574 | 5 | OK |
| 4 | 140% | 4 | 0.401 | 0.642 | 5.6 | OK |
| 5 | 150% | 4 | 3.413 | 5.461 | 6 | OK |
| 6 | 130% | 4 | 0.000 | 0.000 | 5.2 | OK |
| 7 | 150% | 4 | 0.359 | 0.574 | 6 | OK |

(Sumber: Hasil Analisis)

Tabel 5.53 Hasil Perhitungan Kontrol Momen D40

| Kombinasi No. | % | M_{crack} | $P_x = T_x/n$ | $M_{p max}$ | $M_{p ijin} \times %$ | Keterangan |
|---------------|-------|-------------|---------------|-------------|-----------------------|------------|
| | Mijin | (tm) | (t) | (tm) | (tm) | |
| 1 | 100% | 9 | 0.598 | 1.198 | 9 | OK |
| 2 | 125% | 9 | 0.668 | 1.339 | 11.25 | OK |
| 3 | 125% | 9 | 0.598 | 1.198 | 11.25 | OK |
| 4 | 140% | 9 | 0.668 | 1.339 | 12.6 | OK |
| 5 | 150% | 9 | 5.688 | 11.396 | 13.5 | OK |
| 6 | 130% | 9 | 0.000 | 0.000 | 11.7 | OK |
| 7 | 150% | 9 | 0.598 | 1.198 | 13.5 | OK |

(Sumber: Hasil Analisis)

5.6.4 Perhitungan penulangan *abutment*

- **Breast Wall**

Direncanakan dimensi *abutment* dengan diameter tulangan vertikal adalah 25 mm, dan diameter tulangan horizontal adalah 16 mm. Kekuatan leleh tulangan (*f_y*) adalah 290 MPa, dan kekuatan tekan beton (*f'c*) adalah K-300. Tebal selimut beton adalah 7,5 cm. Berikut ini adalah beban ultimate yang terjadi pada breast wall;

1. Beban Gempa

$$H = 317,074 \text{ kN}$$

$$Mu = 1150,305 \text{ kNm}$$

Didapatkan momen ultimate, $Mu = 1150,305 \text{ kNm}$

$$d = 675 \text{ mm} \rightarrow dx = d - 0,5 D - \emptyset = 646,5 \text{ mm}$$

$$\rho_b = \frac{0,85 \cdot \beta_1 \cdot f_c}{f_y} \cdot \left(\frac{600}{600 + f_y} \right) = 0,05$$

$$\rho_{\max} = 0,75 \times \rho_b = 0,038$$

$$\rho_{\min} = 1,4/f_y = 0,0048$$

$$Mn = Mu/\emptyset = 1864,538 \text{ kNm}$$

$$Rn = Mn/(b \cdot d^2) = 0,7$$

$$\rho_{perlu} = \frac{0,85 \cdot f_c}{f_y} \cdot \left(1 - \sqrt{1 - \frac{2 \cdot Rn}{0,85 \cdot f_c}} \right) = 0,003$$

$\rho_{\min} > \rho_{perlu}$ maka digunakan ρ_{\min}

$$As \text{ perlu} = \rho \cdot b \cdot dx = 1404465 \text{ mm}^2$$

Digunakan tulangan D25-150 ($As = 14726,22 \text{ mm}^2$)

Untuk tulangan bagi dipakai 20% $As = 2808,931 \text{ mm}^2$

Digunakan tulangan D16-250 ($As = 3015,929 \text{ mm}^2$)

- **BackWall**

Direncanakan dimensi abutmen dengan diameter tulangan vertikal adalah 16 mm, dan diameter tulangan horizontal adalah 13 mm. Kekuatan leleh tulangan (*f_y*) adalah 290 MPa, dan kekuatan

tekan beton (f'_c) adalah K-300. Tebal selimut beton adalah 5 cm. Berikut ini adalah beban ultimate yang terjadi pada breast wall;

1. Beban Gempa

$$H = 5,309 \text{ kN}$$

$$Mu = 4,9 \text{ kNm}$$

Didapatkan momen ultimate, $Mu = 4,9 \text{ kNm}$

$$d = 300 \text{ mm} \rightarrow dx = d - 0,5D - \emptyset = 279 \text{ mm}$$

$$\rho_b = \frac{0,85 \cdot \beta_1 \cdot f_c}{f_y} \cdot \left(\frac{600}{600 + f_y} \right) = 0,05$$

$$\rho_{\max} = 0,75 \times \rho_b = 0,038$$

$$\rho_{\min} = 1,4/f_y = 0,0048$$

$$\rho_{perlu} = \frac{0,85 \cdot f_c}{f_y} \cdot \left(1 - \sqrt{1 - \frac{2 \cdot Rn}{0,85 \cdot f_c}} \right) = 0,00006$$

$\rho_{\min} > \rho_{perlu}$ maka digunakan ρ_{\min}

$$As_{\text{perlu}} = \rho \cdot b \cdot dx = 6061,034 \text{ mm}^2$$

Digunakan tulangan D16-125 ($As = 7037,168 \text{ mm}^2$)

Untuk tulangan bagi dipakai 20% $As = 2020,345 \text{ mm}^2$

Digunakan tulangan D13-75 ($As = 2654,646 \text{ mm}^2$)

- **Pilecap**

Direncanakan dimensi *abutment* dengan diameter tulangan vertikal adalah 25 mm, dan diameter tulangan horizontal adalah 16 mm. Kekuatan leleh tulangan (f_y) adalah 290 MPa, dan kekuatan tekan beton (f'_c) adalah K-300. Tebal selimut beton adalah 7,5 cm. Berikut ini adalah beban ultimate yang terjadi pada breast wall;

1. Akibat Berat Pilecap

$$W_s = 25740 \text{ kg}$$

$$M_s = 32670 \text{ kgm}$$

2. Akibat Pmax Tiang Pancang

$$W_p = 210267,1 \text{ kg}$$

$$M_p = 441560,9 \text{ kgm}$$

Didapatkan momen ultimate, M_u/L (lebar) = 88593,04 kgm
 $d = 425 \text{ mm} \rightarrow dx = d - 0,5D - \emptyset = 396,5 \text{ mm}$

$$\rho_b = \frac{0.85 \cdot \beta_1 \cdot f_c}{f_y} \cdot \left(\frac{600}{600 + f_y} \right)$$

$$\rho_b = 0,05$$

$$\rho_{\max} = 0,75 \times \rho_b = 0,038$$

$$\rho_{\min} = 1,4/f_y = 0,0048$$

$$\rho_{perlu} = \frac{0.85 \cdot f_c}{f_y} \cdot \left(1 - \sqrt{1 - \frac{2 \cdot R_n}{0.85 \cdot f_c}} \right) = 0,0041$$

$\rho_{perlu} < \rho_{\min}$ maka digunakan ρ_{\min}

$$\text{As perlu} = \rho \cdot b \cdot dx = 11484,83 \text{ mm}^2$$

Digunakan tulangan D25-250 ($As = 11780,97 \text{ mm}^2$)

Untuk tulangan bagi dipakai 20% $As = 2296,966 \text{ mm}^2$

Digunakan tulangan D16-500 ($As = 2412,743 \text{ mm}^2$)

5.7 Pemilihan Alternatif Berdasarkan Biaya Material Termurah

5.7.1 Perhitungan total biaya material pada alternatif 1

Pada alternatif 1, digunakan PVD pola segitiga jarak 1,25 meter, perkuatan *geotextile* untuk timbunan oprit arah melintang dengan bentuk timbunan miring, perkuatan kombinasi *geotextile wall* dan *micropile/cerucuk* untuk arah memanjang di belakang *abutment*. Total kebutuhan dan biaya material pada alternatif 1 dapat dilihat pada Tabel 5.54.

Tabel 5.54 Total Kebutuhan dan Biaya Material pada Alternatif 1

| Material/Bahan | Kebutuhan | Satuan | Harga satuan | Total Biaya | |
|--|-----------|----------------|--------------|-------------|-----------------------|
| Geotextile | 772348 | m ² | Rp 17,000 | Rp | 13,129,912,600 |
| Cerucuk jumlah 24 buah panjang @9 meter | | | | | |
| panjang 3 m | 24 | buah | Rp 553,966 | Rp | 13,295,184 |
| panjang 6 m | 24 | buah | Rp 1,107,931 | Rp | 26,590,344 |
| PVD 10 m | 23679 | titik | Rp 3,500 | Rp | 828,765,000 |
| Timbunan | 120705.12 | m ³ | Rp 69,853 | Rp | 8,431,607,647 |
| | | | | Rp | 22,430,170,775 |

(Sumber: Hasil Analisis)

Rincian kebutuhan material pada alternatif 1 dapat dilihat pada Tabel 5.55, Tabel 5.56, Tabel 5.57, dan Tabel 5.58.

Tabel 5.55 Perhitungan Kebutuhan Total dan Total Biaya *Geotextile*

| Zona | Jumlah Kebutuhan Panjang (m) | Jumlah Kebutuhan Luas (m ²) | Total Biaya |
|--------------|------------------------------|---|-------------------|
| 1 | 1193 | 28637 | Rp 486,825,600 |
| 2 | 742.4 | 742400 | Rp 12,620,800,000 |
| Total | | | Rp 13,107,625,600 |

(Sumber: Hasil Analisis)

Tabel 5.56 Perhitungan Kebutuhan Total dan Total Biaya *Geotextile Wall dan Micropile*

| Jumlah Kebutuhan Luas (m ²) | Jumlah Kebutuhan cerucuk (buah) | | Biaya Geotextile wall | Biaya Cerucuk | Total Biaya |
|---|---------------------------------|--------------|-----------------------|---------------|---------------|
| | 1 buah x 3 m | 1 buah x 6 m | | | |
| 1311 | 24 | 24 | Rp 22,287,000 | Rp 39,885,528 | Rp 62,172,528 |

(Sumber: Hasil Analisis)

Tabel 5.57 Perhitungan Kebutuhan Total dan Total Biaya *PVD*

| Zona | Jumlah Kebutuhan Panjang (m) | Area (m ²) | Jumlah titik | Total Biaya |
|--------------|---------------------------------|---------------------------|--------------|----------------|
| | | | | |
| 1 | 10 | 835.2 | 618 | Rp 21,630,000 |
| 2 | 10 | 31200 | 23061 | Rp 807,135,000 |
| Total | | | | Rp 828,765,000 |

(Sumber: Hasil Analisis)

Tabel 5.58 Perhitungan Kebutuhan Total dan Total Biaya Material Timbunan

| Zona | Volume timbunan | Biaya timbunan |
|------|-----------------|------------------|
| 1 | 3525.12 | Rp 246,240,000 |
| 2 | 117180 | Rp 8,185,367,647 |
| | | Rp 8,431,607,647 |

(Sumber: Hasil Analisis)

5.7.2 Perhitungan total biaya material pada alternatif 2

Pada alternatif 2, digunakan PVD pola segiempat jarak 1 meter, perkuatan kombinasi *multiblocks* dan *geogrid* serta tambahan perkuatan *micropile*/cerucuk untuk timbunan oprit arah melintang dengan bentuk timbunan tegak, perkuatan kombinasi

geotextile wall dan *micropile/cerucuk* untuk arah memanjang di belakang *abutment*. Total kebutuhan dan biaya material pada alternatif 1 dapat dilihat pada Tabel 5.59.

Tabel 5.59 Total Kebutuhan dan Biaya Material pada Alternatif 2

| Material/Bahan | Kebutuhan | Satuan | Harga satuan | Total Biaya |
|--------------------|-----------|--------|--------------|--------------------------|
| Geogrid | 79656 | m2 | Rp 99,900 | Rp 7,957,634,400 |
| Multiblocks | 9478 | m2 | Rp 2,000,000 | Rp 18,956,800,000 |
| Geotextie | 43977 | m3 | Rp 17,000 | Rp 747,609,000 |
| Cerucuk | | | | |
| panjang 3 m | 18 | bahar | Rp 553,966 | Rp 9,971,388 |
| panjang 6 m | 4114 | bahar | Rp 1,107,931 | Rp 4,558,028,134 |
| PVD 10 m | 4542 | titik | Rp 3,500 | Rp 158,970,000 |
| Timbunan | 36379.2 | m3 | Rp 69,853 | Rp 2,541,194,118 |
| Total | | | | Rp 34,930,207,040 |

(Sumber: Hasil Analisis)

Rincian kebutuhan material pada alternatif 2 dapat dilihat pada Tabel 5.60, Tabel 5.61, Tabel 5.62, dan Tabel 5.63.

Tabel 5.60 Perhitungan Kebutuhan Total dan Total Biaya *Multiblock*, *geogrid*, dan *micropile/cerucuk* untuk Timbunan Melintang

| Material | Kebutuhan | Satuan | Total Biaya |
|-----------------------------|-----------|--------|--------------------------|
| Geogrid | | | |
| zona 1 | 1656 | m2 | Rp 165,434,400 |
| zona 2 | 78000 | m2 | Rp 7,792,200,000 |
| Multiblocks (2 sisi) | | | |
| zona 1 | 278.4 | m2 | Rp 556,800,000 |
| zona 2 | 9200 | m2 | Rp 18,400,000,000 |
| Geotextile wall | | | |
| zona 1 | 1008 | m2 | Rp 17,136,000 |
| zona 2 | 42000 | m2 | Rp 714,000,000 |
| cerucuk @6m | | | |
| zona 1 | | | |
| panjang 6 m | 96 | bahar | Rp 106,361,376 |
| zona 2 | | | |
| panjang 6 m | 4000 | bahar | Rp 4,431,724,000 |
| Total | | | Rp 32,183,655,776 |

(Sumber: Hasil Analisis)

Tabel 5.61 Perhitungan Kebutuhan Total dan Total Biaya
Geotextile Wall dan *Micopile/cerucuk*

| Jumlah Kebutuhan Geotextile (m ²) | Jumlah Kebutuhan cerucuk | | Biaya Geotextile wall | Biaya Cerucuk | Total Biaya |
|---|--------------------------|-------------|-----------------------|---------------|---------------|
| | panjang 3 m | panjang 6 m | | | |
| 969 | 18 | 18 | Rp 16,473,000 | Rp 29,914,146 | Rp 46,387,146 |

(Sumber: Hasil Analisis)

Tabel 5.62 Perhitungan Kebutuhan Total dan Total Biaya PVD

| Zona | Jumlah Kebutuhan | Jumlah titik | Total Biaya |
|--------------|------------------|--------------|----------------|
| | (m) | (titik) | |
| 1 | 10 | 107 | Rp 3,745,000 |
| 2 | 10 | 4435 | Rp 155,225,000 |
| Total | | | Rp 158,970,000 |

(Sumber: Hasil Analisis)

Tabel 5.63 Perhitungan Kebutuhan Total dan Total Biaya Material Timbunan

| Zona | Volume timbunan | Biaya timbunan |
|------|-----------------|-----------------|
| 1 | 979.2 | Rp68,400,000 |
| 2 | 35400 | Rp2,472,794,118 |
| | | Rp2,541,194,118 |

(Sumber: Hasil Analisis)

5.7.3 Perhitungan total biaya material tiang pancang

Pada perencanaan tiang pancang, direncanakan tiang pancang dengan diameter 0,3 m dan 0,4 m. Hasil perhitungan biaya untuk masing-masing dimensi tiang pancang yang direncanakan dapat dilihat pada Tabel 5.64.

Tabel 5.64 Total Kebutuhan dan Biaya Tiang Pancang

| Diameter (m) | Kedalaman (m) | Jumlah (buah) | Kebutuhan Tiang pancang (buah) | | | Harga |
|--------------|---------------|---------------|--------------------------------|----|----|---------------|
| | | | 6m | 8m | 9m | |
| 0.3 | 17 | 20 | 60 | | | Rp180,000,000 |
| 0.4 | 16.5 | 12 | | | 24 | Rp91,200,000 |

(Sumber: Hasil Analisis)

Berdasarkan perhitungan pda Sub bab 5.7.1 dan Sub bab 5.7.2 dapat dibandingkan total biaya yang dibutuhkan antara alternatif 1 dan alternatif 2, maka dapat dipilih **alternatif 1** sebagai alternatif termurah. Sedangkan untuk perencanaan tiang pancang

didapatkan bahwa tiang pancang dengan **diameter 40 cm** menghasilkan total biaya yang lebih murah.

Halaman ini sengaja dikosongkan

LAMPIRAN 1

ANALISA STATISTIK PARAMETER TANAH

Indeks Kompresi (Cc)

| Kedalaman (m) | Cc | | n | mean | std | t($\alpha/2,v$) | batas atas | batas bawah | Cc |
|---------------|------|-------|----|-------|-------|-------------------|------------|-------------|-------|
| 0-3 | 0.84 | 1.18 | 7 | 1.039 | 0.235 | 1.943 | 1.211 | 0.866 | 1.177 |
| | 1.42 | 0.82 | | | | | | | |
| | 1.05 | 0.79 | | | | | | | |
| | 1.17 | | | | | | | | |
| 3-6 | 0.99 | 1.16 | 10 | 1.093 | 0.216 | 1.833 | 1.218 | 0.967 | 1.193 |
| | 0.83 | 1.06 | | | | | | | |
| | 0.84 | 1.048 | | | | | | | |
| | 1.35 | 1.308 | | | | | | | |
| | 1.44 | | | | | | | | |
| | 0.9 | | | | | | | | |
| 6-9 | 0.83 | 1.1 | 9 | 1.069 | 0.205 | 1.860 | 1.196 | 0.943 | 1.171 |
| | 0.84 | 1.06 | | | | | | | |
| | 1.31 | 1.016 | | | | | | | |
| | 1.31 | 1.308 | | | | | | | |
| | 0.85 | | | | | | | | |
| 9-12 | 0.83 | 1.1 | 9 | 1.069 | 0.205 | 1.860 | 1.196 | 0.943 | 1.171 |
| | 0.84 | 1.06 | | | | | | | |
| | 1.31 | 1.016 | | | | | | | |
| | 1.31 | 1.308 | | | | | | | |
| | 0.85 | | | | | | | | |

Liquid Limit (LL)

| Kedalaman (m) | LL | | n | mean | std | t($\alpha/2,v$) | batas atas | batas bawah | LL (%) |
|---------------|-------|-------|----|----------|----------|-------------------|------------|-------------|--------|
| 0-3 | 55.8 | 47.49 | 12 | 66.61167 | 10.17599 | 1.796 | 71.887515 | 61.33581814 | 70.83 |
| | 49.04 | 67.84 | | | | | | | |
| | 73.47 | 70.17 | | | | | | | |
| | 73.47 | 66.88 | | | | | | | |
| | 72.67 | 73.15 | | | | | | | |
| 3-6 | 78.54 | 70.82 | 11 | 69.45182 | 7.332713 | 1.812 | 73.457962 | 65.44567448 | 72.66 |
| | 59.9 | 66.52 | | | | | | | |
| | 55.8 | 68.9 | | | | | | | |
| | 71.35 | 66.88 | | | | | | | |
| | 71.35 | 71.54 | | | | | | | |
| | 79.28 | 71.5 | | | | | | | |
| 6-9 | 80.95 | | 12 | 65.52417 | 10.31588 | 1.796 | 70.872545 | 60.17578831 | 69.80 |
| | 56.23 | 48.73 | | | | | | | |
| | 45.52 | 65.94 | | | | | | | |
| | 70.59 | 65.48 | | | | | | | |
| | 70.59 | 66.88 | | | | | | | |
| | 72.81 | 71.54 | | | | | | | |
| 9-12 | 80.48 | 71.5 | 12 | 68.19083 | 11.74924 | 1.796 | 74.282353 | 62.0993139 | 73.06 |
| | 73 | 48.73 | | | | | | | |
| | 45.52 | 55.62 | | | | | | | |
| | 72.97 | 72.97 | | | | | | | |
| | 72.97 | 66.88 | | | | | | | |
| | 72.81 | 79.37 | | | | | | | |
| | 80.48 | 76.97 | | | | | | | |

Indeks Plastisitas (PI)

Specific Gravity (Gs)

γ sat (t/m³)

Wc (%)

Cu (kg/cm²)

C_v (cm^2/detik)

LAMPIRAN 2

BROSUR-BROSUR BAHAN MATERIAL YANG DIPAKAI

Spesifikasi PVD

CeTau-Drain CT-D812

Drain Body

Extrusion profile of 100% polypropylene with the following important properties:

- environmental safe
- large water flow capacity
- flexible
- high tensile strength and toughness
- inert to natural occurring acids alkalis and salt
- workable and easy to handle at low temperatures
- no wet shrinkage or growth

Filter Jacket

Nonwoven fabric of 100% polyester without any binders, with the following important properties:

- balanced strength in both directions
- high tensile strength and toughness
- no wet shrinkage or growth
- good protection against moisture and insects
- high water permeability
- inert to natural occurring acids, alkalis and salt
- excellent filtration characteristics
- tear, burst and puncture resistant
- environmental safe

| Physical properties | | | Unit | CT-D812 |
|-------------------------------------|-----------------|------------|-------------------|--------------------------|
| Drain Body | Configuration | | m | |
| | Material | + | PP | |
| Filter Jacket | Colour | + | white | |
| | Material | + | PET | |
| Assembled Drain | Colour | + | grey | |
| | Weight | g/m | 70 | |
| | Width | mm | 100 | |
| | Thickness | mm | 3 | |
| Mechanical properties | | Symbol | Test | Unit |
| Filter Jacket | | | | CT-D812 |
| Grab Tensile Strength | F | ASTM D4632 | N | 480 |
| Elongation | ε | ASTM D4632 | % | 32 |
| Tear Strength | F | ASTM D4533 | N | 120 |
| Pore Size | Q ₁₀ | ASTM D4751 | μm | < 75 |
| Permeability | K | ASTM D4491 | m/s | > 1.0 × 10 ⁻⁴ |
| Assembled Drain | | | | |
| Tensile Strength | F | ASTM D4595 | kN | 2.60 |
| Elongation at break | ε | ASTM D4595 | % | 40 |
| Strength at 10% elongation | F | ASTM D4595 | kN | 2.1 |
| Elongation at 1 kN tensile strength | ε | ASTM D4595 | % | 1.0 |
| Discharge capacity at 100 kPa | q | ASTM D4716 | m ³ /s | 92 × 10 ⁻⁴ |
| Discharge capacity at 150 kPa | q | ASTM D4716 | m ³ /s | 189 × 10 ⁻⁴ |
| Discharge capacity at 200 kPa | q | ASTM D4716 | m ³ /s | 87 × 10 ⁻⁴ |
| Discharge capacity at 250 kPa | q | ASTM D4716 | m ³ /s | 86 × 10 ⁻⁴ |
| Discharge capacity at 300 kPa | q | ASTM D4716 | m ³ /s | 85 × 10 ⁻⁴ |
| Discharge capacity at 350 kPa | q | ASTM D4716 | m ³ /s | 64 × 10 ⁻⁴ |
| Transport details | | | Unit | CT-D812 |
| Roll length | | | m | 300 |
| Outside diameter roll | | | m | 1.10 |
| Inside diameter roll | | | m | 0.15 |
| Weight roll | | | kg | 20 |
| 40ft container | | | m | 139.000 |

All information, illustrations and specifications are based on the latest product information available at the time of printing. The right is reserved to make changes at any time without notice.

All mechanical properties are average values. Standard variations in mechanical strength of 10% and in hydraulic flow and pore size of 20% have to be allowed for.

Agent & Distributor in Indonesia Area :
PT. TEKINDO GEOSISTEM UNGGUL
 Jl. Rangka Industri Payak No 12 Surabaya 60203
 Tel. 62-31-8475062 Fax. 62-31-8475063
 Email : info@tekindogeosistem.co.id Website : www.tekindogeosistem.co.id



Gambar 1. Spesifikasi PVD CeTau-Drain CT-D812

Spesifikasi Tiang Pacang

| Specification of Material | | | | | | | | |
|---------------------------|------------------------------------|---|--|--|--|--|--|--|
| Item | Reference | Description | | | Specification | | | |
| Aggregate | ASTM C33 - 1999 NI 2 PB1 - 1971 | Standard Specification for Concrete Aggregate Indonesian Concrete Code | | | Standard product type I Special order : type II or V | | | |
| Cement | SNI 15-2049 - 2004 | Portland Cement | | | Type F : water reducing admixtures | | | |
| Admixture | ASTM C494 - 1985 | Standard Specification for Chemical Admixture for Concrete | | | Compressive Strength at: 28 days : 600 kgf/cm ² (cube) | | | |
| Concrete | SNI 03-2847-2002 | Indonesian Concrete Code | | | SWPD 1 | | | |
| PC Wire | JIS G 3536 - 1999 | Uncoated Stress-Relieved Steel Wire and Strand for Prestressed Concrete | | | SBPD.1275/1420 | | | |
| PC Bar | JIS G 3137 - 1994 | Small Size Deformed Steel Bars for Prestressed Concrete | | | SWMA / SWWP SS-400 | | | |
| Spiral Wire | JIS G 3532 - 2000 | Low Carbon Steel Wire | | | AWS A 5.1 / E 6013 | | | |
| Joint Plate | JIS G 3101 - 2004 | Rolled Steel for General Structure | | | NDKKO STEEL RD 26 / RD 260, UDIN 26, or equivalent | | | |
| Welding | ANSI / AWS D1.1 - 1990 | Structural Welding Code-Steel | | | | | | |

| Classification | | | | | | | | |
|-----------------------|---------------------|-------|---|--------------------|------------|------------------------------|------------------|----------------------------|
| Outside Diameter (mm) | Wall Thickness (mm) | Class | Concrete Cross Section (cm ²) | Unit Weight (Kg/m) | Length (m) | Bending Moment Crack (Ton.m) | Ultimate (Ton.m) | Allowable Axial Load (Ton) |
| 300 | 60 | A2 | 452 | 113 | 6 - 13 | 2.50 | 3.75 | 72.60 |
| | | A3 | | | | 3.00 | 4.50 | 70.75 |
| | | B | | | | 3.50 | 6.30 | 67.50 |
| | | C | | | | 4.00 | 8.00 | 65.40 |
| 350 | 65 | A1 | 582 | 145 | 6 - 15 | 3.50 | 5.25 | 93.10 |
| | | A3 | | | | 4.20 | 6.30 | 89.50 |
| | | B | | | | 5.00 | 9.00 | 86.40 |
| | | C | | | | 6.00 | 12.00 | 85.00 |
| 400 | 75 | A2 | 766 | 191 | 6 - 16 | 5.50 | 8.25 | 121.10 |
| | | A3 | | | | 6.50 | 9.75 | 117.60 |
| | | B | | | | 7.50 | 13.50 | 114.40 |
| | | C | | | | 9.00 | 18.00 | 111.50 |
| 450 | 80 | A1 | 930 | 232 | 6 - 16 | 7.50 | 11.25 | 149.50 |
| | | A2 | | | | 8.50 | 12.75 | 145.80 |
| | | A3 | | | | 10.00 | 15.00 | 143.80 |
| | | B | | | | 11.00 | 19.80 | 139.10 |
| | | C | | | | 12.50 | 25.00 | 134.90 |
| 500 | 90 | A1 | 1159 | 290 | 6 - 16 | 10.50 | 15.25 | 185.30 |
| | | A2 | | | | 12.50 | 18.75 | 181.70 |
| | | A3 | | | | 14.00 | 21.00 | 178.20 |
| | | B | | | | 15.00 | 27.00 | 174.90 |
| | | C | | | | 17.00 | 34.00 | 169.00 |
| 600 | 100 | A1 | 1571 | 393 | 6 - 16 | 17.00 | 25.50 | 252.70 |
| | | A2 | | | | 19.00 | 28.50 | 249.00 |
| | | A3 | | | | 22.00 | 33.00 | 243.20 |
| | | B | | | | 25.00 | 45.00 | 238.30 |
| | | C | | | | 29.00 | 58.00 | 229.50 |

Gambar 2. Spesifikasi Tiang Pancang (*Spun Piles*) WIKA

Spesifikasi *Geotextile*

UnggulTex

POLYPROPYLENE WOVEN GEOTEXTILES

TECHNICAL SPECIFICATIONS

| PROPERTIES | UNIT | TEST METHOD | UW - 150 | UW - 200 | UW - 250 |
|-------------------------------------|-----------------------|-------------------|------------|------------|------------|
| Physical Properties | | | | | |
| Mass | g/m ² | ASTM D 5261-92 | 150 | 200 | 250 |
| Thickness | mm | ASTM D 5199-91 | 0.5 | 0.6 | 0.7 |
| Colour | - | - | Black | Black | Black |
| Mechanical Properties | | | | | |
| Strip Tensile Strength (Wet/Wet) | kN/m | ASTM D 4595-94 | 37/35 | 42/39 | 52/52 |
| Elongation at Max. Load (Wet/Wet) | % | ASTM D 4595-94 | 19/15 | 20/20 | 20/20 |
| Grip Tensile Strength (Wet/Wet) | N | ASTM D 4632-91 | 1216/1200 | 1600/1600 | 1750/1750 |
| Elongation at Max. Load (Wet/Wet) | % | ASTM D 4632-91 | 14/13 | 22/22 | 22/22 |
| Trapezoidal Tear Strength (Wet/Wet) | N | ASTM D 4633-91 | 615/615 | 700/700 | 800/800 |
| Hydraulic Properties | | | | | |
| Pore Size O _{45°} | µm | ASTM D 4751-85 | 320 | 275 | 250 |
| Water Permeability | l/m ² /sec | 100 mm water head | 28 | 16 | 7.5 |
| Environmental Properties | | | | | |
| Effect of soil Alkalinity | - | - | nil | nil | nil |
| Effect of soil Acidity | - | - | nil | nil | nil |
| Effect of Bacteria | - | - | nil | nil | nil |
| Effect of U.V. Light | - | - | Stabilized | Stabilized | Stabilized |
| Packaging | | | | | |
| Roll Length | m | - | 150 - 200 | 150 - 200 | 150 - 200 |
| Roll Width | m | - | 3 - 4 | 3 - 4 | 3 - 4 |
| Roll Area | m ² | - | 640 - 760 | 640 - 760 | 640 - 760 |
| Roll Diameter (Approx) | m | - | 0.4 - 0.5 | 0.4 - 0.5 | 0.4 - 0.5 |
| Roll Weight (Approx) | kg | - | 96 - 114 | 128 - 152 | 160 - 190 |

All information, illustration and specification are based on the latest product information available at the time of printing.
The right is reserved to make changes at any time without notice.

Distributed by :

PT. TEKNINDO GEOSISTEM UNGGUL

PI. TERNINO'S SEASIDE

Tel. 031-8475062 / Fax. 031-8475

Email: info@converso.id



Gambar 3. Spesifikasi *Geotextile* UnggulTex UW-250

Spesifikasi Geogrid

:: SPESIFIKASI KHUSUS ::

MULTIBLOCK Retaining Wall System (Tensar Wall 1-4)

2.3 MATERIAL PONDASI UNTUK PERLETAKAN MODULAR CONCRETE BLOCK

Material berupa pasir, kerikil, batu pecah yang dipadatkan atau beton (B0) tanpa tulangan seperti ditunjukkan pada gambar-gambar rencana.
Kerikil bulat (peagravel) tidak diperkenankan untuk digunakan.

2.4 MATERIAL GEOGRID UNTUK PENULANGAN TANAH

1. Unsur perkuatan harus merupakan produk geogrid yang diproduksi sesuai dengan persyaratan quality assurance BS EN ISO 8001:2000 dan BS EN ISO 14001:1996.
2. Unsur perkuatan harus merupakan geogrid yang diproduksi dari lembaran *high density polyethylene*, berorientasi satu arah sehingga dengan demikian menghasilkan rusuk-rusuk yang mempunyai tingkat orientasi molekuler yang tinggi yang diteruskan ke batang transversalnya (*transverse bar*) yang utuh.

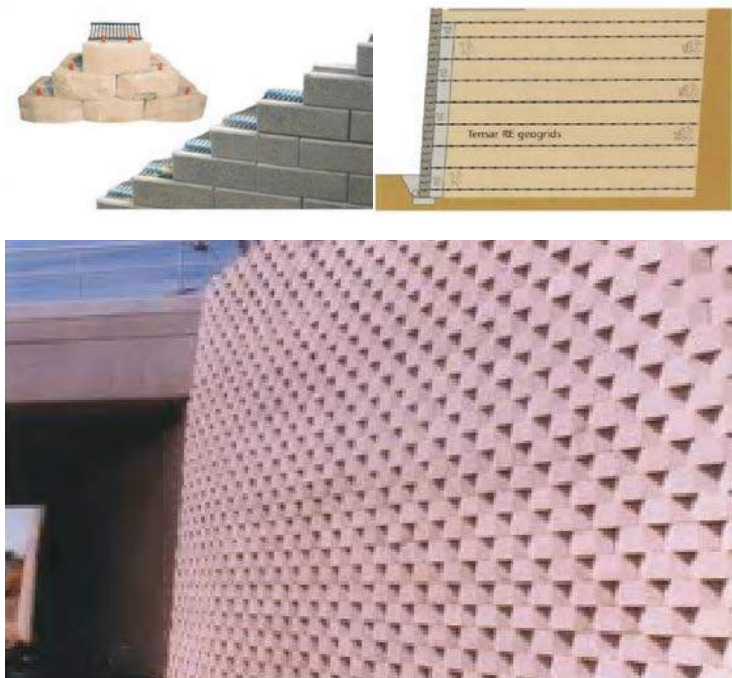


3. Kekuatan tarik batas rangkap untuk umur rencana 120 tahun untuk masing-masing tipe geogrid pada temperatur rata-rata 30°, harus sebesar sebagai berikut :

| Tipe Geogrid | Long Term Strength (kN/m) |
|--------------|---------------------------|
| RE510 | 17.24 |
| RE520 | 22.76 |
| RE540 | 27.80 |
| RE560 | 38.23 |
| RE570 | 51.03 |
| RE580 | 59.17 |

4

Gambar 4. Spesifikasi *Geogrid* Uniaxial RE580 PT. Multibangun Rekatama Patria



Gambar 5. Pemasangan *Multiblocks* PT. Multibangun Rekatama Patria

| A. Harga Material | | | | | |
|--------------------------|--|----------------------|-----------|----------------|-------------------|
| No | Jenis Barang | Nomor seri di brosur | Kebutuhan | Satuan | Harga satuan |
| 1 | Geotekstile non-woven | UNW-150 | 1 | m ² | Rp 10,000.00 |
| | | UNW-200 | 1 | m ² | Rp 11,000.00 |
| | | UNW-250 | 1 | m ² | Rp 12,500.00 |
| | | UNW-300 | 1 | m ² | Rp 13,500.00 |
| | | UNW-350 | 1 | m ² | Rp 16,500.00 |
| | | UNW-400 | 1 | m ² | Rp 17,500.00 |
| | | UNW-450 | 1 | m ² | Rp 21,500.00 |
| | | UNW-500 | 1 | m ² | Rp 23,500.00 |
| | | UNW-600 | 1 | m ² | Rp 26,500.00 |
| | | UNW-700 | 1 | m ² | Rp 33,000.00 |
| 2 | Geotekstile woven | UW-150 | 1 | m ² | Rp 11,000.00 |
| | | UW-200 | 1 | m ² | Rp 12,500.00 |
| | | UW-250 | 1 | m ² | Rp 17,000.00 |
| 3 | PVD | CT-D812 | 1 | m' | Rp 3,500.00 |
| 4 | PHD | CT-SD100-20 | 1 | m' | Rp 117,000.00 |
| | | CT-SD100-30 | 1 | m' | - |
| 5 | Geomembrane | Thickness 0.75 mm | 1 | m ² | Rp 35,000.00 |
| | | Thickness 1.0 mm | 1 | m ² | Rp 45,000.00 |
| | | Thickness 1.5 mm | 1 | m ² | Rp 67,500.00 |
| | | Thickness 2.0 mm | 1 | m ² | Rp 87,500.00 |
| | | Thickness 2.5 mm | 1 | m ² | Rp 110,000.00 |
| | | Thickness 3.0 mm | 1 | m ² | Rp 130,000.00 |
| 6 | Inclinometer (read out + Standart Tablet + Software) | | 1 | Unit | Rp 132,000,000.00 |
| 7 | Inclinometer (pipe) L = 24 m * | | 1 | Titik | Rp 42,000,000.00 |
| 8 | Pneumatik Piezometer (material) 3 Tip (20 m, 15 m, 10m)* | | 1 | Titik | Rp 45,500,000.00 |
| 9 | Pneumatik Piezometer (read out) | | 1 | Unit | Rp 145,000,000.00 |
| 10 | Settlement Plate (50 cm x 50 cm x 0.6 cm) Lmax 7.5 m* | | 1 | Titik | Rp 2,500,000.00 |
| 11 | Waterpass (Auto Level) | | 1 | Unit | Rp 8,000,000.00 |

Note : * = Harga Terpasang
USD = 14,000.00

Gambar 6. Harga *Geotextile* UnggulTex UW-250 dan PVD CeTau-Drain CT-D812 (PT. Teknindo Geosistem Unggul)

PT. GEMILAN BETON PRECAST
SPUN CONCRETE PILE

KAMI TEPERBUKAH DENGAN
SPESIFIKASI DAN HARGA



2005/04/07

Kami perusahaan pembuat tiang pancang bulat pratekan. Produk tiang pancang bulat (Spun Pile) dari ukuran diameter 30cm, 35cm, 40cm, 45cm, 50cm, & 60cm dengan Concrete Strength K-500, saat ini memiliki stock ribuan batang dengan berbagai ukuran, & harga bersaing, kualitas terjamin. Adapun variasi panjang tiang pancang adalah 12 m, 10 m, 9 m and 8 m.

SPESIFIKASI DAN HARGA

1. Spesifikasi Harga:
Diameter : 30cm.
Panjang : 8m/8m
Harga : Rp 3.000.000 / Batang
2. Spesifikasi Harga:
Diameter : 40cm.
Panjang : 9m/10m
Harga : Rp 3.800.000 / Batang
3. Spesifikasi Harga:
Diameter : 50cm.
Panjang : 12m/14m
Harga : Rp 5.500.000 / Batang
4. Spesifikasi Harga:
Diameter : 60cm.
Panjang : 15m/16m
Harga : Rp 6.700.000 / Batang

Produk tiang pancang atau spun pile kami telah banyak dipakai untuk proyek di dalam maupun luar negeri, khususnya wilayah Jakarta & Kepri dan sekitarnya.

Hubungi kami untuk mendapatkan penawaran harga terbaru, maupun untuk mendapatkan surat dukungan tiang pancang (surat dukungan material), kami siap membantu:

HAMDAN WIJAYA,
Hp. 081291254718

PT. GEMILAN BETON PRECAST
Jl. Jend Gatot Subroto Km 8.5 Kadu Jaya Curug Tangerang 15810
e-mail : gemilanprecast@gmail.com

Gambar 7. Harga Tiang Pancang yang Dipakai

Google

Gmail -

COMPOSE

Inbox (95) Starred Important Sent Mail Drafts (41)

Circles Friends (29) Family Acquaintances Following Entertainment Travel Technology Popular on YouTube [imap]/Sent Junk More

Dari: Isparmo <isparmo@multibangunpatria.co.id>
Tanggal: 25 Februari 2016 09:10
Kepada: siti nurlita Fitri <nurlatifn@gmail.com>

Dear Mbk Siti Nurlita

Saya kirimkan brosur, spesifikasi Multiblock Retaining Wall System. Adapun harga materialnya, secara kasaran bisa memakai Rp 2.000.000 per m² luasan muak dinding, diluar biaya pekerjaan tanah (galian, timbunan, pemadatan) dan pekerjaan pembetonan.

Terima kasih,

Ir. ISPARMO, IPP
Marketing Manager

PT MULTIBANGUN REKATAMA PATRIA
Menara Sentraya Lt. 11
Jl. Iskandarsyah Raya no. 1A
Kebayoran Baru
Jakarta

Gambar 8. Harga *Multiblocks* yang Dipakai

Google

Gmail -

COMPOSE

Inbox (95) Starred Important Sent Mail Drafts (41)

Circles Friends (29) Family Acquaintances Following Entertainment Travel Technology Popular on YouTube [imap]/Sent Junk More

Indonesian English Translate message Turn off: Indonesian x

Dear Mbk Rifatul Ummah

Untuk harga Geogrid Tensar RE 580 : USD 481 per rol ukuran 1,3m x 50m.

Salam,

Ir. ISPARMO, IPP
Marketing Manager

PT MULTIBANGUN REKATAMA PATRIA
Menara Sentraya Lt. 11
Jl. Iskandarsyah Raya no. 1A
Kebayoran Baru
Jakarta

Mobile 0812 108 3060
Telp. 021-2788 1958
Fax. 021-2788 1959

<http://www.multibangunpatria.com>

Gambar 9. Harga *Geogrid* yang Dipakai

Spesifikasi *Micropile*



| No | Type | Btr | Mutu Beton | Tulangan Besi Ø | Sengatang | Dimensi | Berat Beton P (beton) | Transportasi | Harga | | | | | | Data pemancangan | |
|----|------------|-----|------------|-----------------|-----------|---------|-----------------------|--------------|--------------|--------------|------------|------------|------------|-------------|------------------------|--------------|
| | | | | | | | | | Vertikal (m) | min 10 m | per 1 m | per 2 m | per 3 m | per 6 m | n = 350 m ³ | |
| 1 | Segi Empat | | K - 450 | 10 | 6 | 16 | 6 | 64,4 Kg | 21 | Rp 11520 /M | Rp 99429 | Rp 198.955 | Rp 299.288 | Rp 598.576 | Rp 28.295,7 | |
| | | | K - 450 | 12 | 6 | 16 | 6 | 64,4 Kg | 23 | Rp 11520 /M | Rp 109739 | Rp 288.582 | Rp 377.873 | Rp 655.146 | Rp 30.000,00 | |
| | | | K - 450 | 13 | 6 | 16 | 6 | 64,4 Kg | 23 | Rp 11520 /M | Rp 114.894 | Rp 279.768 | Rp 344.663 | Rp 689.355 | Rp 30.000,00 | |
| | | | K - 450 | 16 | 8 | 20 | 6 | 77,8 Kg | 26 | Rp 14580 /M | Rp 165.363 | Rp 322.726 | Rp 349.089 | Rp 658.703 | Rp 28.295,7 | |
| 1 | Segi Empat | | K - 450 | 12 | 6 | 18 | 6 | 77,8 Kg | 27 | Rp 14580 /M | Rp 14.580 | Rp 128.225 | Rp 252.448 | Rp 378.574 | Rp 757.348 | Rp 30.000,00 |
| | | | K - 450 | 13 | 6 | 18 | 6 | 77,8 Kg | 28 | Rp 14580 /M | Rp 131.028 | Rp 265.055 | Rp 395.463 | Rp 793.957 | Rp 30.000,00 | |
| | | | K - 450 | 16 | 8 | 20 | 6 | 96,0 Kg | 36 | Rp 18.000 /M | Rp 184.655 | Rp 369.310 | Rp 553.965 | Rp 1.073,30 | Rp 30.000,00 | |

Gambar 10. Spesifikasi dan Daftar Harga *Micropile* ATA BETON

Halaman ini sengaja dikosongkan

LAMPIRAN 3

PERHITUNGAN BESAR PEMAMPATAN (S_c) DAN TINGGI TIMBUNAN AWAL ($H_{INITIAL}$)

1. PERHITUNGAN BESAR PEMAMPATAN (S_c) DAN TINGGI TIMBUNAN AWAL ($H_{INITIAL}$) (TIMBUNAN MIRING)

Tabel 1. Data Perencanaan untuk $q = 5,4 \text{ t/m}^2$

| | | |
|-----------------------|-----|------------------|
| h timbunan | 3 | m |
| γ timbunan | 1.8 | t/m ³ |
| γ sat timbunan | 1.8 | t/m ³ |
| fluktuasi muka air | 4.4 | m |
| fluktuasi muka air | 4.4 | t/m ² |
| q | 5.4 | t/m ² |
| kemiringan | 1:2 | |
| B1 | 3 | m |
| B2 | 6 | m |
| (B1+B2)/B2 | 1.5 | |
| B1/B2 | 0.5 | |

Tabel 2. Perhitungan *Settlement* Akibat Timbunan untuk $q = 5,4 \text{ t/m}^2$

| akibat timbunan | | | | | | | | | | | | | | | | | | | | | | |
|-----------------|---|----|---------------|-----|-------|-------|-------|------------|------------|------------------|------------------|------------------|------------------|------------------|-------------------|------------------|------------------|------------------|------------|---------------------------|-------|--------------|
| Kedalaman H | | | Tebal lapisan | z | e | Cc | Cs | α_1 | α_2 | $\Delta\sigma$ | $2\Delta\sigma$ | γ sat | γ' | $\gamma' * H$ | $\gamma' * H$ kum | $\sigma'0$ | $\sigma'c$ | OCR | NC/OC soil | $\Delta\sigma + \sigma'0$ | S_c | ΣS_c |
| (m) | | | (m) | (m) | | | | \circ | \circ | t/m ² | t/m ³ | t/m ³ | t/m ³ | t/m ² | t/m ² | t/m ² | t/m ² | t/m ² | (m) | (m) | | |
| 0 | - | 1 | 1 | 0.5 | 1.507 | 1.177 | 0.118 | 6.282 | 80.538 | 2.699 | 5.398 | 1.637 | 0.637 | 0.637 | 0.318 | 4.718 | 14.82298 | OC Soil | 5.716 | 0.094 | 0.094 | |
| 1 | - | 2 | 1 | 1.5 | 1.507 | 1.177 | 0.118 | 17.103 | 63.435 | 2.673 | 5.345 | 1.637 | 0.637 | 0.637 | 1.273 | 0.955 | 5.355 | 5.607659 | OC Soil | 6.300 | 0.068 | 0.162 |
| 2 | - | 3 | 1 | 2.5 | 1.507 | 1.177 | 0.118 | 24.281 | 50.194 | 2.598 | 5.197 | 1.637 | 0.637 | 0.637 | 1.910 | 1.592 | 5.992 | 3.764595 | OC Soil | 6.789 | 0.052 | 0.215 |
| 3 | - | 4 | 1 | 3.5 | 1.583 | 1.193 | 0.119 | 28.148 | 40.601 | 2.485 | 4.969 | 1.630 | 0.630 | 0.630 | 2.540 | 2.225 | 6.625 | 2.977456 | OC Soil | 7.194 | 0.038 | 0.253 |
| 4 | - | 5 | 1 | 4.5 | 1.583 | 1.193 | 0.119 | 29.745 | 33.690 | 2.349 | 4.698 | 1.630 | 0.630 | 0.630 | 3.171 | 2.856 | 7.256 | 2.540878 | OC Soil | 7.554 | 0.027 | 0.280 |
| 5 | - | 6 | 1 | 5.5 | 1.583 | 1.193 | 0.119 | 29.960 | 28.610 | 2.207 | 4.413 | 1.630 | 0.630 | 0.630 | 3.801 | 3.486 | 7.886 | 2.26221 | OC Soil | 7.899 | 0.017 | 0.297 |
| 6 | - | 7 | 1 | 6.5 | 1.382 | 1.171 | 0.117 | 29.387 | 24.775 | 2.066 | 4.131 | 1.676 | 0.676 | 0.676 | 4.477 | 4.139 | 8.539 | 2.063062 | OC Soil | 8.270 | 0.015 | 0.312 |
| 7 | - | 8 | 1 | 7.5 | 1.382 | 1.171 | 0.117 | 28.393 | 21.801 | 1.932 | 3.863 | 1.676 | 0.676 | 0.676 | 5.152 | 4.815 | 9.215 | 1.913882 | OC Soil | 8.678 | 0.013 | 0.324 |
| 8 | - | 9 | 1 | 8.5 | 1.382 | 1.171 | 0.117 | 27.197 | 19.440 | 1.807 | 3.614 | 1.676 | 0.676 | 0.676 | 5.828 | 5.490 | 9.890 | 1.801419 | OC Soil | 9.104 | 0.011 | 0.335 |
| 9 | - | 10 | 1 | 9.5 | 1.300 | 1.171 | 0.117 | 25.926 | 17.526 | 1.692 | 3.385 | 1.678 | 0.678 | 0.678 | 6.507 | 6.167 | 10.567 | 1.713439 | OC Soil | 9.552 | 0.010 | 0.345 |

Tabel 3. $H_{initial}$ untuk $q = 5,4 \text{ t/m}^2$

| | | |
|--------|------|------------------|
| q | 0.99 | t/m ² |
| H awal | 3.19 | m |

Tabel 4. Perhitungan Settlement Akibat Beban Pavement ($H_{initial}$ untuk $q = 5,4 \text{ t/m}^2$)

| Kedalaman (m) | | Akibat beban pavement | | | | | | | | | | | | | | | | | | | | | | |
|------------------|---|-------------------------|----------|----------|----------|----------|-------|-------|-------|-------|-------|------------------|------------------|------------------|------------------|------------------|------------------|------------------|------------------|------------------|---------|-------|-------|-------|
| | | Tebal lapisan (m) | x (m) | y (m) | z (m) | e | Cc | Cs | m=x/z | n=y/z | I | Δσ | γ | γ' | γ' * H | γ' * H kum | σ'0 | σ'c | OCR | NC/OC soil | Δσ+σ'0 | Sc | Σ Sc | |
| | | | | | | | | | | | | t/m ² | t/m ³ | t/m ³ | t/m ² | (m) | (m) | | |
| 0 | - | 1 | 1 | ∞ | 3 | 3.69145 | 1.507 | 1.177 | 0.118 | ∞ | 0.813 | 0.190 | 0.7524 | 1.637 | 0.637 | 0.637 | 0.318 | 4.718 | 14.82298 | OC Soil | 1.071 | 0.025 | 0.025 | |
| 1 | - | 2 | 1 | ∞ | 3 | 4.69145 | 1.507 | 1.177 | 0.118 | ∞ | 0.639 | 0.170 | 0.6732 | 1.637 | 0.637 | 0.637 | 1.273 | 0.955 | 5.355 | 5.607659 | OC Soil | 1.628 | 0.011 | 0.036 |
| 2 | - | 3 | 1 | ∞ | 3 | 5.69145 | 1.507 | 1.177 | 0.118 | ∞ | 0.527 | 0.150 | 0.594 | 1.637 | 0.637 | 0.637 | 1.910 | 1.592 | 5.992 | 3.764595 | OC Soil | 2.186 | 0.006 | 0.042 |
| 3 | - | 4 | 1 | ∞ | 3 | 6.69145 | 1.583 | 1.193 | 0.119 | ∞ | 0.448 | 0.135 | 0.5346 | 1.630 | 0.630 | 0.630 | 2.540 | 2.225 | 6.625 | 2.977456 | OC Soil | 2.760 | 0.004 | 0.046 |
| 4 | - | 5 | 1 | ∞ | 3 | 7.69145 | 1.583 | 1.193 | 0.119 | ∞ | 0.390 | 0.120 | 0.4752 | 1.630 | 0.630 | 0.630 | 3.171 | 2.856 | 7.256 | 2.540878 | OC Soil | 3.331 | 0.003 | 0.049 |
| 5 | - | 6 | 1 | ∞ | 3 | 8.69145 | 1.583 | 1.193 | 0.119 | ∞ | 0.345 | 0.110 | 0.4356 | 1.630 | 0.630 | 0.630 | 3.801 | 3.486 | 7.886 | 2.26221 | OC Soil | 3.922 | 0.002 | 0.052 |
| 6 | - | 7 | 1 | ∞ | 3 | 9.69145 | 1.382 | 1.171 | 0.117 | ∞ | 0.310 | 0.100 | 0.396 | 1.676 | 0.676 | 0.676 | 4.477 | 4.139 | 8.539 | 2.063062 | OC Soil | 4.535 | 0.002 | 0.054 |
| 7 | - | 8 | 1 | ∞ | 3 | 10.69145 | 1.382 | 1.171 | 0.117 | ∞ | 0.281 | 0.090 | 0.3564 | 1.676 | 0.676 | 0.676 | 5.152 | 4.815 | 9.215 | 1.913882 | OC Soil | 5.171 | 0.002 | 0.055 |
| 8 | - | 9 | 1 | ∞ | 3 | 11.69145 | 1.382 | 1.171 | 0.117 | ∞ | 0.257 | 0.082 | 0.32472 | 1.676 | 0.676 | 0.676 | 5.828 | 5.490 | 9.890 | 1.801419 | OC Soil | 5.815 | 0.001 | 0.057 |
| 9 | - | 10 | 1 | ∞ | 3 | 12.69145 | 1.300 | 1.171 | 0.117 | ∞ | 0.236 | 0.080 | 0.3168 | 1.678 | 0.678 | 0.678 | 6.507 | 6.167 | 10.567 | 1.713439 | OC Soil | 6.484 | 0.001 | 0.058 |

Tabel 5. Data Perencanaan untuk $q = 9 \text{ t/m}^2$

| | | |
|--------------------|-----|------------------|
| h timbunan | 5 | m |
| γ timbunan | 1.8 | t/m ³ |
| γ sat timbunan | 1.8 | t/m ³ |
| fluktuasi muka air | 4.4 | m |
| | 4.4 | t/m ² |
| q | 9.0 | t/m ² |
| kemiringan | 1: | 2 |
| B1 | 3 | m |
| B2 | 10 | m |
| (B1+B2)/B2 | 1.3 | |
| B1/B2 | 0.3 | |

Tabel 6. Perhitungan Settlement Akibat Timbunan untuk $q = 9 \text{ t/m}^2$

| akibat timbunan | | | | | | | | | | | | | | | | | | | | | | |
|-----------------|---|---------------|-----|-----|-------|-------|------------|------------|----------------|-----------------|----------------|-----------|---------------|---------------------|------------|------------|--------|------------|---------------------------|--------|-------------|-------|
| Kedalaman H | | Tebal lapisan | z | e | Cc | Cs | α_1 | α_2 | $\Delta\sigma$ | $2\Delta\sigma$ | γ_{sat} | γ' | $\gamma' * H$ | $\gamma' * H_{kum}$ | $\sigma'0$ | $\sigma'c$ | OCR | NC/OC soil | $\Delta\sigma + \sigma'0$ | Sc | ΣSc | |
| (m) | | (m) | (m) | | | | $^\circ$ | $^\circ$ | t/m2 | t/m3 | t/m3 | t/m3 | t/m2 | t/m2 | t/m2 | t/m2 | | | t/m2 | (m) | (m) | |
| 0 | - | 1 | 1 | 0.5 | 1.507 | 1.177 | 0.118 | 7.260 | 80.538 | 4.499 | 8.998 | 1.637 | 0.637 | 0.637 | 0.318 | 4.718 | 14.823 | OC Soil | 9.316 | 0.194 | 0.194 | |
| 1 | - | 2 | 1 | 1.5 | 1.507 | 1.177 | 0.118 | 19.983 | 63.435 | 4.471 | 8.941 | 1.637 | 0.637 | 1.273 | 0.955 | 5.355 | 5.608 | OC Soil | 9.896 | 0.160 | 0.354 | |
| 2 | - | 3 | 1 | 2.5 | 1.507 | 1.177 | 0.118 | 28.920 | 50.194 | 4.390 | 8.779 | 1.637 | 0.637 | 1.910 | 1.592 | 5.992 | 3.765 | OC Soil | 10.371 | 0.139 | 0.493 | |
| 3 | - | 4 | 1 | 3.5 | 1.583 | 1.193 | 0.119 | 34.330 | 40.601 | 4.262 | 8.523 | 1.630 | 0.630 | 0.630 | 2.540 | 2.225 | 6.625 | 2.977 | OC Soil | 10.748 | 0.119 | 0.612 |
| 4 | - | 5 | 1 | 4.5 | 1.583 | 1.193 | 0.119 | 37.216 | 33.690 | 4.104 | 8.207 | 1.630 | 0.630 | 0.630 | 3.171 | 2.856 | 7.256 | 2.541 | OC Soil | 11.063 | 0.103 | 0.715 |
| 5 | - | 6 | 1 | 5.5 | 1.583 | 1.193 | 0.119 | 38.457 | 28.610 | 3.930 | 7.861 | 1.630 | 0.630 | 0.630 | 3.801 | 3.486 | 7.886 | 2.262 | OC Soil | 11.346 | 0.089 | 0.805 |
| 6 | - | 7 | 1 | 6.5 | 1.382 | 1.171 | 0.117 | 38.660 | 24.775 | 3.752 | 7.503 | 1.676 | 0.676 | 0.676 | 4.477 | 4.139 | 8.539 | 2.063 | OC Soil | 11.642 | 0.082 | 0.886 |
| 7 | - | 8 | 1 | 7.5 | 1.382 | 1.171 | 0.117 | 38.217 | 21.801 | 3.574 | 7.148 | 1.676 | 0.676 | 0.676 | 5.152 | 4.815 | 9.215 | 1.914 | OC Soil | 11.963 | 0.070 | 0.956 |
| 8 | - | 9 | 1 | 8.5 | 1.382 | 1.171 | 0.117 | 37.381 | 19.440 | 3.402 | 6.804 | 1.676 | 0.676 | 0.676 | 5.828 | 5.490 | 9.890 | 1.801 | OC Soil | 12.294 | 0.059 | 1.015 |
| 9 | - | 10 | 1 | 9.5 | 1.300 | 1.171 | 0.117 | 36.316 | 17.526 | 3.237 | 6.474 | 1.678 | 0.678 | 0.678 | 6.507 | 6.167 | 10.567 | 1.713 | OC Soil | 12.641 | 0.052 | 1.066 |

Tabel 7. $H_{initial}$ untuk $q = 9 \text{ t/m}^2$

| | | |
|--------|------|------|
| q | 0.99 | t/m2 |
| H awal | 5.59 | m |

Tabel 8. Perhitungan Settlement Akibat Beban Pavement ($H_{initial}$ untuk $q = 9 \text{ t/m}^2$)

| Akibat beban pavement | | | | | | | | | | | | | | | | | | | | | | | | |
|-----------------------|---|---------------|-----|----------|-----|--------|-------|-------|---------|----------|-------|----------------|----------|-----------|---------------|---------------------|------------|------------|--------|------------|---------------------------|-------|-------------|-------|
| Kedalaman | | Tebal lapisan | x | y | z | e | Cc | Cs | $m=x/z$ | $n=y/z$ | I | $\Delta\sigma$ | γ | γ' | $\gamma' * H$ | $\gamma' * H_{kum}$ | $\sigma'0$ | $\sigma'c$ | OCR | NC/OC soil | $\Delta\sigma + \sigma'0$ | Sc | ΣSc | |
| (m) | | (m) | (m) | (m) | (m) | | | | | | | t/m2 | t/m3 | t/m3 | t/m2 | t/m2 | t/m2 | t/m2 | | | t/m2 | (m) | (m) | |
| 0 | 0 | 0 | 0 | 0 | 0 | 0 | 0 | 0 | 0 | 0 | 0 | 0 | 0 | 0 | 0 | 0 | 0 | - | 0 | 0 | 0 | | | |
| 0 | - | 1 | 1 | ∞ | 3 | 6.092 | 1.507 | 1.177 | 0.118 | ∞ | 0.492 | 0.142 | 0.56232 | 1.637 | 0.637 | 0.637 | 0.318 | 4.718 | 14.823 | OC Soil | 0.881 | 0.021 | 0.021 | |
| 1 | - | 2 | 1 | ∞ | 3 | 7.092 | 1.507 | 1.177 | 0.118 | ∞ | 0.423 | 0.129 | 0.51084 | 1.637 | 0.637 | 0.637 | 1.273 | 0.955 | 5.355 | 5.608 | OC Soil | 1.466 | 0.009 | 0.029 |
| 2 | - | 3 | 1 | ∞ | 3 | 8.092 | 1.507 | 1.177 | 0.118 | ∞ | 0.371 | 0.117 | 0.46332 | 1.637 | 0.637 | 0.637 | 1.910 | 1.592 | 5.992 | 3.765 | OC Soil | 2.055 | 0.005 | 0.035 |
| 3 | - | 4 | 1 | ∞ | 3 | 9.092 | 1.583 | 1.193 | 0.119 | ∞ | 0.330 | 0.11 | 0.4356 | 1.630 | 0.630 | 0.630 | 2.540 | 2.225 | 6.625 | 2.977 | OC Soil | 2.661 | 0.004 | 0.038 |
| 4 | - | 5 | 1 | ∞ | 3 | 10.092 | 1.583 | 1.193 | 0.119 | ∞ | 0.297 | 0.099 | 0.39204 | 1.630 | 0.630 | 0.630 | 3.171 | 2.856 | 7.256 | 2.541 | OC Soil | 3.248 | 0.003 | 0.041 |
| 5 | - | 6 | 1 | ∞ | 3 | 11.092 | 1.583 | 1.193 | 0.119 | ∞ | 0.270 | 0.089 | 0.35244 | 1.630 | 0.630 | 0.630 | 3.801 | 3.486 | 7.886 | 2.262 | OC Soil | 3.838 | 0.002 | 0.043 |
| 6 | - | 7 | 1 | ∞ | 3 | 12.092 | 1.382 | 1.171 | 0.117 | ∞ | 0.248 | 0.086 | 0.34056 | 1.676 | 0.676 | 0.676 | 4.477 | 4.139 | 8.539 | 2.063 | OC Soil | 4.480 | 0.002 | 0.044 |
| 7 | - | 8 | 1 | ∞ | 3 | 13.092 | 1.382 | 1.171 | 0.117 | ∞ | 0.229 | 0.082 | 0.32472 | 1.676 | 0.676 | 0.676 | 5.152 | 4.815 | 9.215 | 1.914 | OC Soil | 5.139 | 0.001 | 0.046 |
| 8 | - | 9 | 1 | ∞ | 3 | 14.092 | 1.382 | 1.171 | 0.117 | ∞ | 0.213 | 0.072 | 0.28512 | 1.676 | 0.676 | 0.676 | 5.828 | 5.490 | 9.890 | 1.801 | OC Soil | 5.775 | 0.001 | 0.047 |
| 9 | - | 10 | 1 | ∞ | 3 | 15.092 | 1.300 | 1.171 | 0.117 | ∞ | 0.199 | 0.069 | 0.27324 | 1.678 | 0.678 | 0.678 | 6.507 | 6.167 | 10.567 | 1.713 | OC Soil | 6.441 | 0.001 | 0.048 |

Tabel 9. Data Perencanaan untuk $q = 12,6 \text{ t/m}^2$

| | | |
|-----------------------|-------|------------------|
| h timbunan | 7 | m |
| γ timbunan | 1.8 | t/m ³ |
| γ sat timbunan | 1.8 | t/m ³ |
| fluktuasi muka air | 4.4 | m |
| | 4.4 | t/m ² |
| q | 12.6 | t/m ² |
| kemiringan | 1: | 2 |
| B1 | 3 | m |
| B2 | 14 | m |
| (B1+B2)/B2 | 1.214 | |
| B1/B2 | 0.214 | |

Tabel 10. Perhitungan *Settlement* Akibat Timbunan untuk $q = 12,6 \text{ t/m}^2$

| akibat timbunan | | | | | | | | | | | | | | | | | | | | | | |
|-----------------|---|----|---------------|-----|-------|-------|-------|------------|------------|------------------|------------------|------------------|------------------|------------------|-------------------|------------------|------------------|---------|------------------|---------------------------|-------|-------------|
| Kedalaman H | | | Tebal lapisan | z | e | Cc | Cs | $\alpha 1$ | $\alpha 2$ | $\Delta\sigma$ | $2\Delta\sigma$ | γ sat | γ' | $\gamma' * H$ | $\gamma' * H$ kum | $\sigma'0$ | $\sigma'c$ | OCR | NC/OC soil | $\Delta\sigma + \sigma'0$ | Sc | ΣSc |
| (m) | | | (m) | (m) | | | | ° | ° | t/m ² | t/m ³ | t/m ³ | t/m ³ | t/m ² | t/m ² | t/m ² | t/m ² | | t/m ² | (m) | (m) | |
| | | | 0 | 0 | 0 | 0 | 0 | 0 | 0 | 0 | 0 | 0 | 0 | 0 | 0 | 0 | 0 | 0 | 0 | 0 | 0 | |
| 0 | - | 1 | 1 | 0.5 | 1.507 | 1.177 | 0.118 | 7.778 | 80.538 | 6.299 | 12.597 | 1.637 | 0.637 | 0.637 | 0.318 | 4.718 | 14.823 | OC Soil | 12.916 | 0.260 | 0.260 | |
| 1 | - | 2 | 1 | 1.5 | 1.507 | 1.177 | 0.118 | 21.523 | 63.435 | 6.270 | 12.540 | 1.637 | 0.637 | 0.637 | 1.273 | 0.955 | 5.355 | 5.608 | OC Soil | 13.495 | 0.224 | 0.484 |
| 2 | - | 3 | 1 | 2.5 | 1.507 | 1.177 | 0.118 | 31.440 | 50.194 | 6.186 | 12.372 | 1.637 | 0.637 | 0.637 | 1.910 | 1.592 | 5.992 | 3.765 | OC Soil | 13.964 | 0.200 | 0.683 |
| 3 | - | 4 | 1 | 3.5 | 1.583 | 1.193 | 0.119 | 37.765 | 40.601 | 6.052 | 12.104 | 1.630 | 0.630 | 0.630 | 2.540 | 2.225 | 6.625 | 2.977 | OC Soil | 14.329 | 0.177 | 0.860 |
| 4 | - | 5 | 1 | 4.5 | 1.583 | 1.193 | 0.119 | 41.483 | 33.690 | 5.884 | 11.769 | 1.630 | 0.630 | 0.630 | 3.171 | 2.856 | 7.256 | 2.541 | OC Soil | 14.624 | 0.159 | 1.019 |
| 5 | - | 6 | 1 | 5.5 | 1.583 | 1.193 | 0.119 | 43.462 | 28.610 | 5.697 | 11.394 | 1.630 | 0.630 | 0.630 | 3.801 | 3.486 | 7.886 | 2.262 | OC Soil | 14.880 | 0.144 | 1.163 |
| 6 | - | 7 | 1 | 6.5 | 1.382 | 1.171 | 0.117 | 44.300 | 24.775 | 5.500 | 11.000 | 1.676 | 0.676 | 0.676 | 4.477 | 4.139 | 8.539 | 2.063 | OC Soil | 15.139 | 0.138 | 1.301 |
| 7 | - | 8 | 1 | 7.5 | 1.382 | 1.171 | 0.117 | 44.393 | 21.801 | 5.299 | 10.599 | 1.676 | 0.676 | 0.676 | 5.152 | 4.815 | 9.215 | 1.914 | OC Soil | 15.414 | 0.124 | 1.424 |
| 8 | - | 9 | 1 | 8.5 | 1.382 | 1.171 | 0.117 | 43.995 | 19.440 | 5.100 | 10.201 | 1.676 | 0.676 | 0.676 | 5.828 | 5.490 | 9.890 | 1.801 | OC Soil | 15.691 | 0.111 | 1.536 |
| 9 | - | 10 | 1 | 9.5 | 1.300 | 1.171 | 0.117 | 43.277 | 17.526 | 4.905 | 9.811 | 1.678 | 0.678 | 0.678 | 6.507 | 6.167 | 10.567 | 1.713 | OC Soil | 15.978 | 0.103 | 1.639 |

Tabel 11. $H_{initial}$ untuk $q = 12,6 \text{ t/m}^2$

| q | 0.99 | t/m2 |
|-------|------|------|
| Hawal | 7.91 | m |

Tabel 12. Perhitungan Settlement Akibat Beban Pavement ($H_{initial}$ untuk $q = 12,6 \text{ t/m}^2$)

| Akibat beban pavement | | | | | | | | | | | | | | | | | | | | | | | | |
|-----------------------|---|---------------|-----|----------|-----|--------|-------|-------|-------|----------|-------|----------------|----------|-----------|---------------|---------------------|------------|------------|--------|------------|-------------------------|-------|-------------|-------|
| Kedalaman | | Tebal lapisan | x | y | z | e | Cc | Cs | m=x/z | n=y/z | I | $\Delta\sigma$ | γ | γ' | $\gamma' * H$ | $\gamma' * H_{kum}$ | $\sigma'0$ | $\sigma'c$ | OCR | NC/OC soil | $\Delta\sigma+\sigma'0$ | Sc | ΣSc | |
| (m) | | (m) | (m) | (m) | (m) | | | | | | | t/m2 | t/m3 | t/m3 | t/m2 | t/m2 | t/m2 | t/m2 | | | t/m2 | (m) | (m) | |
| 0 | | 0 | 0 | 0 | 0 | 0 | 0 | 0 | 0 | 0 | 0 | 0 | 0 | 0 | 0 | 0 | 0 | 0 | - | 0 | 0 | 0 | | |
| 0 | - | 1 | 1 | ∞ | 3 | 8.410 | 1.507 | 1.177 | 0.118 | ∞ | 0.357 | 0.113 | 0.44748 | 1.637 | 0.637 | 0.637 | 0.318 | 4.718 | 14.823 | OC Soil | 0.766 | 0.018 | 0.018 | |
| 1 | - | 2 | 1 | ∞ | 3 | 9.410 | 1.507 | 1.177 | 0.118 | ∞ | 0.319 | 0.11 | 0.4356 | 1.637 | 0.637 | 0.637 | 1.273 | 0.955 | 5.355 | 5.608 | OC Soil | 1.391 | 0.008 | 0.026 |
| 2 | - | 3 | 1 | ∞ | 3 | 10.410 | 1.507 | 1.177 | 0.118 | ∞ | 0.288 | 0.099 | 0.39204 | 1.637 | 0.637 | 0.637 | 1.910 | 1.592 | 5.992 | 3.765 | OC Soil | 1.984 | 0.004 | 0.030 |
| 3 | - | 4 | 1 | ∞ | 3 | 11.410 | 1.583 | 1.193 | 0.119 | ∞ | 0.263 | 0.089 | 0.35244 | 1.630 | 0.630 | 0.630 | 2.540 | 2.225 | 6.625 | 2.977 | OC Soil | 2.578 | 0.003 | 0.033 |
| 4 | - | 5 | 1 | ∞ | 3 | 12.410 | 1.583 | 1.193 | 0.119 | ∞ | 0.242 | 0.086 | 0.34056 | 1.630 | 0.630 | 0.630 | 3.171 | 2.856 | 7.256 | 2.541 | OC Soil | 3.196 | 0.002 | 0.035 |
| 5 | - | 6 | 1 | ∞ | 3 | 13.410 | 1.583 | 1.193 | 0.119 | ∞ | 0.224 | 0.082 | 0.32472 | 1.630 | 0.630 | 0.630 | 3.801 | 3.486 | 7.886 | 2.262 | OC Soil | 3.811 | 0.002 | 0.037 |
| 6 | - | 7 | 1 | ∞ | 3 | 14.410 | 1.382 | 1.171 | 0.117 | ∞ | 0.208 | 0.072 | 0.28512 | 1.676 | 0.676 | 0.676 | 4.477 | 4.139 | 8.539 | 2.063 | OC Soil | 4.424 | 0.001 | 0.038 |
| 7 | - | 8 | 1 | ∞ | 3 | 15.410 | 1.382 | 1.171 | 0.117 | ∞ | 0.195 | 0.068 | 0.26928 | 1.676 | 0.676 | 0.676 | 5.152 | 4.815 | 9.215 | 1.914 | OC Soil | 5.084 | 0.001 | 0.040 |
| 8 | - | 9 | 1 | ∞ | 3 | 16.410 | 1.382 | 1.171 | 0.117 | ∞ | 0.183 | 0.06 | 0.2376 | 1.676 | 0.676 | 0.676 | 5.828 | 5.490 | 9.890 | 1.801 | OC Soil | 5.728 | 0.001 | 0.041 |
| 9 | - | 10 | 1 | ∞ | 3 | 17.410 | 1.300 | 1.171 | 0.117 | ∞ | 0.172 | 0.057 | 0.22572 | 1.678 | 0.678 | 0.678 | 6.507 | 6.167 | 10.567 | 1.713 | OC Soil | 6.393 | 0.001 | 0.041 |

Tabel 13. Data Perencanaan untuk $q = 16,2 \text{ t/m}^2$

| | | |
|-----------------------|-------|------|
| h timbunan | 9 | m |
| γ timbunan | 1.8 | t/m3 |
| γ sat timbunan | 1.8 | t/m3 |
| fluktuasi muka air | 4.4 | m |
| | 4.4 | t/m2 |
| q | 16.2 | t/m2 |
| kemiringan | 1: | 2 |
| B1 | 3 | m |
| B2 | 18 | m |
| $(B1+B2)/B2$ | 1.167 | |
| B1/B2 | 0.167 | |

Tabel 14. Perhitungan Settlement Akibat Timbunan untuk $q = 16,2 \text{ t/m}^2$

| akibat timbunan | | | | | | | | | | | | | | | | | | | | | | |
|-----------------|-----|---------------|---|-----|-------|-------|------------|------------|----------------|-----------------|----------------|-----------|---------------|---------------------------|------------|------------|--------|------------|---------------------------|--------|-------------|-------|
| Kedalaman H | | Tebal lapisan | z | e | Cc | Cs | α_1 | α_2 | $\Delta\sigma$ | $2\Delta\sigma$ | γ_{sat} | γ' | $\gamma' * H$ | $\gamma' * H \text{ kum}$ | $\sigma'0$ | $\sigma'c$ | OCR | NC/OC soil | $\Delta\sigma + \sigma'0$ | Sc | ΣSc | |
| (m) | (m) | (m) | | | | | $^\circ$ | $^\circ$ | t/m2 | t/m3 | t/m3 | t/m3 | t/m2 | t/m2 | t/m2 | t/m2 | | | t/m2 | (m) | (m) | |
| 0 | - | 1 | 1 | 0.5 | 1.507 | 1.177 | 0.118 | 8.098 | 80.538 | 8.099 | 16.197 | 1.637 | 0.637 | 0.637 | 0.318 | 4.718 | 14.823 | OC Soil | 16.516 | 0.310 | 0.310 | |
| 1 | - | 2 | 1 | 1.5 | 1.507 | 1.177 | 0.118 | 22.479 | 63.435 | 8.069 | 16.139 | 1.637 | 0.637 | 0.637 | 1.273 | 0.955 | 5.355 | 5.608 | OC Soil | 17.094 | 0.272 | 0.582 |
| 2 | - | 3 | 1 | 2.5 | 1.507 | 1.177 | 0.118 | 33.017 | 50.194 | 7.984 | 15.968 | 1.637 | 0.637 | 0.637 | 1.910 | 1.592 | 5.992 | 3.765 | OC Soil | 17.560 | 0.246 | 0.828 |
| 3 | - | 4 | 1 | 3.5 | 1.583 | 1.193 | 0.119 | 39.936 | 40.601 | 7.847 | 15.695 | 1.630 | 0.630 | 0.630 | 2.540 | 2.225 | 6.625 | 2.977 | OC Soil | 17.920 | 0.221 | 1.050 |
| 4 | - | 5 | 1 | 4.5 | 1.583 | 1.193 | 0.119 | 44.215 | 33.690 | 7.675 | 15.349 | 1.630 | 0.630 | 0.630 | 3.171 | 2.856 | 7.256 | 2.541 | OC Soil | 18.205 | 0.203 | 1.253 |
| 5 | - | 6 | 1 | 5.5 | 1.583 | 1.193 | 0.119 | 46.713 | 28.610 | 7.480 | 14.960 | 1.630 | 0.630 | 0.630 | 3.801 | 3.486 | 7.886 | 2.262 | OC Soil | 18.446 | 0.187 | 1.440 |
| 6 | - | 7 | 1 | 6.5 | 1.382 | 1.171 | 0.117 | 48.026 | 24.775 | 7.273 | 14.545 | 1.676 | 0.676 | 0.676 | 4.477 | 4.139 | 8.539 | 2.063 | OC Soil | 18.684 | 0.183 | 1.623 |
| 7 | - | 8 | 1 | 7.5 | 1.382 | 1.171 | 0.117 | 48.545 | 21.801 | 7.059 | 14.119 | 1.676 | 0.676 | 0.676 | 5.152 | 4.815 | 9.215 | 1.914 | OC Soil | 18.933 | 0.168 | 1.790 |
| 8 | - | 9 | 1 | 8.5 | 1.382 | 1.171 | 0.117 | 48.524 | 19.440 | 6.845 | 13.689 | 1.676 | 0.676 | 0.676 | 5.828 | 5.490 | 9.890 | 1.801 | OC Soil | 19.179 | 0.154 | 1.944 |
| 9 | - | 10 | 1 | 9.5 | 1.300 | 1.171 | 0.117 | 48.133 | 17.526 | 6.631 | 13.263 | 1.678 | 0.678 | 0.678 | 6.507 | 6.167 | 10.567 | 1.713 | OC Soil | 19.430 | 0.147 | 2.091 |

Tabel 15. $H_{initial}$ untuk $q = 16,2 \text{ t/m}^2$

| | | |
|--------|-------|------|
| q | 0.99 | t/m2 |
| H awal | 10.16 | m |

Tabel 16. Perhitungan Settlement Akibat Beban Pavement ($H_{initial}$ untuk $q = 16,2 \text{ t/m}^2$)

| Akibat beban pavement | | | | | | | | | | | | | | | | | | | | | | | | |
|-----------------------|-----|---------------|-----|----------|-----|--------|-------|-------|---------|----------|-------|----------------|----------|-----------|---------------|---------------------------|------------|------------|--------|------------|---------------------------|-------|-------------|-------|
| Kedalaman | | Tebal lapisan | x | y | z | e | Cc | Cs | $m=x/z$ | $n=y/z$ | I | $\Delta\sigma$ | γ | γ' | $\gamma' * H$ | $\gamma' * H \text{ kum}$ | $\sigma'0$ | $\sigma'c$ | OCR | NC/OC soil | $\Delta\sigma + \sigma'0$ | Sc | ΣSc | |
| (m) | (m) | (m) | (m) | (m) | (m) | | | | | | | t/m2 | t/m3 | t/m3 | t/m2 | t/m2 | t/m2 | t/m2 | | | t/m2 | (m) | (m) | |
| 0 | - | 1 | 1 | ∞ | 3 | 10.662 | 1.507 | 1.177 | 0.118 | ∞ | 0.281 | 0.098 | 0.38808 | 1.637 | 0.637 | 0.637 | 0.318 | 4.718 | 14.823 | OC Soil | 0.706 | 0.016 | 0.016 | |
| 1 | - | 2 | 1 | ∞ | 3 | 11.662 | 1.507 | 1.177 | 0.118 | ∞ | 0.257 | 0.088 | 0.34848 | 1.637 | 0.637 | 0.637 | 1.273 | 0.955 | 5.355 | 5.608 | OC Soil | 1.303 | 0.006 | 0.023 |
| 2 | - | 3 | 1 | ∞ | 3 | 12.662 | 1.507 | 1.177 | 0.118 | ∞ | 0.237 | 0.085 | 0.3366 | 1.637 | 0.637 | 0.637 | 1.910 | 1.592 | 5.992 | 3.765 | OC Soil | 1.928 | 0.004 | 0.027 |
| 3 | - | 4 | 1 | ∞ | 3 | 13.662 | 1.583 | 1.193 | 0.119 | ∞ | 0.220 | 0.081 | 0.32076 | 1.630 | 0.630 | 0.630 | 2.540 | 2.225 | 6.625 | 2.977 | OC Soil | 2.546 | 0.003 | 0.029 |
| 4 | - | 5 | 1 | ∞ | 3 | 14.662 | 1.583 | 1.193 | 0.119 | ∞ | 0.205 | 0.071 | 0.28116 | 1.630 | 0.630 | 0.630 | 3.171 | 2.856 | 7.256 | 2.541 | OC Soil | 3.137 | 0.002 | 0.031 |
| 5 | - | 6 | 1 | ∞ | 3 | 15.662 | 1.583 | 1.193 | 0.119 | ∞ | 0.192 | 0.067 | 0.26532 | 1.630 | 0.630 | 0.630 | 3.801 | 3.486 | 7.886 | 2.262 | OC Soil | 3.751 | 0.001 | 0.033 |
| 6 | - | 7 | 1 | ∞ | 3 | 16.662 | 1.382 | 1.171 | 0.117 | ∞ | 0.180 | 0.059 | 0.23364 | 1.676 | 0.676 | 0.676 | 4.477 | 4.139 | 8.539 | 2.063 | OC Soil | 4.373 | 0.001 | 0.034 |
| 7 | - | 8 | 1 | ∞ | 3 | 17.662 | 1.382 | 1.171 | 0.117 | ∞ | 0.170 | 0.055 | 0.2178 | 1.676 | 0.676 | 0.676 | 5.152 | 4.815 | 9.215 | 1.914 | OC Soil | 5.032 | 0.001 | 0.035 |
| 8 | - | 9 | 1 | ∞ | 3 | 18.662 | 1.382 | 1.171 | 0.117 | ∞ | 0.161 | 0.05 | 0.198 | 1.676 | 0.676 | 0.676 | 5.828 | 5.490 | 9.890 | 1.801 | OC Soil | 5.688 | 0.001 | 0.035 |
| 9 | - | 10 | 1 | ∞ | 3 | 19.662 | 1.300 | 1.171 | 0.117 | ∞ | 0.153 | 0.048 | 0.19008 | 1.678 | 0.678 | 0.678 | 6.507 | 6.167 | 10.567 | 1.713 | OC Soil | 6.357 | 0.001 | 0.036 |

Tabel 17. Data Perencanaan untuk $q = 19,8 \text{ t/m}^2$

| | | |
|-----------------------|-------|------------------|
| h timbunan | 11 | m |
| γ timbunan | 1.8 | t/m ³ |
| γ sat timbunan | 1.8 | t/m ³ |
| fluktuasi muka air | 4.4 | m |
| | 4.4 | t/m ² |
| q | 19.8 | t/m ² |
| kemiringan | 1: | 2 |
| B1 | 3 | m |
| B2 | 22 | m |
| (B1+B2)/B2 | 1.136 | |
| B1/B2 | 0.136 | |

Tabel 18. Perhitungan *Settlement* Akibat Timbunan untuk $q = 19,8 \text{ t/m}^2$

| akibat timbunan | | | | | | | | | | | | | | | | | | | | | | |
|-----------------|---|----|---------------|-----|-------|-------|-------|------------|------------|------------------|------------------|------------------|------------------|------------------|-------------------|------------------|------------------|--------|------------|---------------------------|-------|-------------|
| Kedalaman H | | | Tebal lapisan | z | e | Cc | Cs | α_1 | α_2 | $\Delta\sigma$ | $2\Delta\sigma$ | γ sat | γ' | $\gamma' * H$ | $\gamma' * H$ kum | $\sigma'0$ | $\sigma'c$ | OCR | NC/OC soil | $\Delta\sigma + \sigma'0$ | Sc | ΣSc |
| (m) | | | (m) | (m) | | | | \circ | \circ | t/m ² | t/m ³ | t/m ³ | t/m ³ | t/m ² | t/m ² | t/m ² | t/m ² | (m) | (m) | (m) | (m) | |
| | | | 0 | 0 | 0 | 0 | 0 | 0 | 0 | 0 | 0 | 0 | 0 | 0 | 0 | 0 | 0 | 0 | 0 | 0 | 0 | |
| 0 | - | 1 | 1 | 0.5 | 1.507 | 1.177 | 0.118 | 8.317 | 80.538 | 9.899 | 19.797 | 1.637 | 0.637 | 0.637 | 0.637 | 0.318 | 4.718 | 14.823 | OC Soil | 20.116 | 0.351 | 0.351 |
| 1 | - | 2 | 1 | 1.5 | 1.507 | 1.177 | 0.118 | 23.131 | 63.435 | 9.869 | 19.739 | 1.637 | 0.637 | 0.637 | 1.273 | 0.955 | 5.355 | 5.608 | OC Soil | 20.693 | 0.311 | 0.661 |
| 2 | - | 3 | 1 | 2.5 | 1.507 | 1.177 | 0.118 | 34.095 | 50.194 | 9.783 | 19.567 | 1.637 | 0.637 | 0.637 | 1.910 | 1.592 | 5.992 | 3.765 | OC Soil | 21.158 | 0.284 | 0.946 |
| 3 | - | 4 | 1 | 3.5 | 1.583 | 1.193 | 0.119 | 41.429 | 40.601 | 9.645 | 19.290 | 1.630 | 0.630 | 0.630 | 2.540 | 2.225 | 6.625 | 2.977 | OC Soil | 21.515 | 0.258 | 1.204 |
| 4 | - | 5 | 1 | 4.5 | 1.583 | 1.193 | 0.119 | 46.106 | 33.690 | 9.469 | 18.938 | 1.630 | 0.630 | 0.630 | 3.171 | 2.856 | 7.256 | 2.541 | OC Soil | 21.794 | 0.239 | 1.443 |
| 5 | - | 6 | 1 | 5.5 | 1.583 | 1.193 | 0.119 | 48.982 | 28.610 | 9.270 | 18.540 | 1.630 | 0.630 | 0.630 | 3.801 | 3.486 | 7.886 | 2.262 | OC Soil | 22.026 | 0.222 | 1.666 |
| 6 | - | 7 | 1 | 6.5 | 1.382 | 1.171 | 0.117 | 50.651 | 24.775 | 9.057 | 18.113 | 1.676 | 0.676 | 0.676 | 4.477 | 4.139 | 8.539 | 2.063 | OC Soil | 22.252 | 0.220 | 1.885 |
| 7 | - | 8 | 1 | 7.5 | 1.382 | 1.171 | 0.117 | 51.499 | 21.801 | 8.836 | 17.671 | 1.676 | 0.676 | 0.676 | 5.152 | 4.815 | 9.215 | 1.914 | OC Soil | 22.486 | 0.204 | 2.090 |
| 8 | - | 9 | 1 | 8.5 | 1.382 | 1.171 | 0.117 | 51.782 | 19.440 | 8.611 | 17.222 | 1.676 | 0.676 | 0.676 | 5.828 | 5.490 | 9.890 | 1.801 | OC Soil | 22.713 | 0.190 | 2.280 |
| 9 | - | 10 | 1 | 9.5 | 1.300 | 1.171 | 0.117 | 51.668 | 17.526 | 8.386 | 16.773 | 1.678 | 0.678 | 0.678 | 6.507 | 6.167 | 10.567 | 1.713 | OC Soil | 22.940 | 0.183 | 2.463 |

Tabel 19. H_{initial} untuk $q = 19,8 \text{ t/m}^2$

| | | |
|--------|-------|------|
| q | 0.99 | t/m2 |
| H awal | 12.37 | m |

Tabel 20. Perhitungan Settlement Akibat Beban Pavement (H_{initial} untuk $q = 19,8 \text{ t/m}^2$)

| Akibat beban pavement | | | | | | | | | | | | | | | | | | | | | | | | |
|-----------------------|-----|---------------|-----|----------|-----|--------|-------|-------|-------|----------|-------|----------------|----------|-----------|---------------|----------------------------|------------|------------|--------|------------|-------------------------|-------|-------------|-------|
| Kedalaman | | Tebal lapisan | x | y | z | e | Cc | Cs | m=x/z | n=y/z | I | $\Delta\sigma$ | γ | γ' | $\gamma'^* H$ | $\gamma'^* H_{\text{kum}}$ | $\sigma'0$ | $\sigma'c$ | OCR | NC/OC soil | $\Delta\sigma+\sigma'0$ | Sc | ΣSc | |
| (m) | (m) | (m) | (m) | (m) | (m) | | | | | | | t/m2 | t/m3 | t/m3 | t/m2 | t/m2 | t/m2 | t/m2 | (m) | (m) | | | | |
| 0 | - | 0 | 0 | 0 | 0 | 0 | 0 | 0 | 0 | 0 | 0 | 0 | 0 | 0 | 0 | 0 | 0 | - | 0 | 0 | 0 | | | |
| 0 | - | 1 | 1 | ∞ | 3 | 12.868 | 1.507 | 1.177 | 0.118 | ∞ | 0.233 | 0.083 | 0.32868 | 1.637 | 0.637 | 0.637 | 0.318 | 4.718 | 14.823 | OC Soil | 0.647 | 0.014 | 0.014 | |
| 1 | - | 2 | 1 | ∞ | 3 | 13.868 | 1.507 | 1.177 | 0.118 | ∞ | 0.216 | 0.079 | 0.31284 | 1.637 | 0.637 | 0.637 | 1.273 | 0.955 | 5.355 | 5.608 | OC Soil | 1.268 | 0.006 | 0.020 |
| 2 | - | 3 | 1 | ∞ | 3 | 14.868 | 1.507 | 1.177 | 0.118 | ∞ | 0.202 | 0.070 | 0.2772 | 1.637 | 0.637 | 0.637 | 1.910 | 1.592 | 5.992 | 3.765 | OC Soil | 1.869 | 0.003 | 0.024 |
| 3 | - | 4 | 1 | ∞ | 3 | 15.868 | 1.583 | 1.193 | 0.119 | ∞ | 0.189 | 0.066 | 0.26136 | 1.630 | 0.630 | 0.630 | 2.540 | 2.225 | 6.625 | 2.977 | OC Soil | 2.486 | 0.002 | 0.026 |
| 4 | - | 5 | 1 | ∞ | 3 | 16.868 | 1.583 | 1.193 | 0.119 | ∞ | 0.178 | 0.058 | 0.22968 | 1.630 | 0.630 | 0.630 | 3.171 | 2.856 | 7.256 | 2.541 | OC Soil | 3.085 | 0.002 | 0.027 |
| 5 | - | 6 | 1 | ∞ | 3 | 17.868 | 1.583 | 1.193 | 0.119 | ∞ | 0.168 | 0.054 | 0.21384 | 1.630 | 0.630 | 0.630 | 3.801 | 3.486 | 7.886 | 2.262 | OC Soil | 3.700 | 0.001 | 0.028 |
| 6 | - | 7 | 1 | ∞ | 3 | 18.868 | 1.382 | 1.171 | 0.117 | ∞ | 0.159 | 0.049 | 0.19404 | 1.676 | 0.676 | 0.676 | 4.477 | 4.139 | 8.539 | 2.063 | OC Soil | 4.333 | 0.001 | 0.029 |
| 7 | - | 8 | 1 | ∞ | 3 | 19.868 | 1.382 | 1.171 | 0.117 | ∞ | 0.151 | 0.047 | 0.18612 | 1.676 | 0.676 | 0.676 | 5.152 | 4.815 | 9.215 | 1.914 | OC Soil | 5.001 | 0.001 | 0.030 |
| 8 | - | 9 | 1 | ∞ | 3 | 20.868 | 1.382 | 1.171 | 0.117 | ∞ | 0.144 | 0.043 | 0.17028 | 1.676 | 0.676 | 0.676 | 5.828 | 5.490 | 9.890 | 1.801 | OC Soil | 5.661 | 0.001 | 0.031 |
| 9 | - | 10 | 1 | ∞ | 3 | 21.868 | 1.300 | 1.171 | 0.117 | ∞ | 0.137 | 0.041 | 0.16236 | 1.678 | 0.678 | 0.678 | 6.507 | 6.167 | 10.567 | 1.713 | OC Soil | 6.330 | 0.001 | 0.032 |

Tabel 21. Data Perencanaan untuk $q = 23,4 \text{ t/m}^2$

| | | |
|-----------------------|-------|------|
| h timbunan | 13 | m |
| γ timbunan | 1.8 | t/m3 |
| γ sat timbunan | 1.8 | t/m3 |
| fluktuasi muka air | 4.4 | m |
| | 4.4 | t/m2 |
| q | 23.4 | t/m2 |
| kemiringan | 1: | 2 |
| B1 | 3 | m |
| B2 | 26 | m |
| $(B1+B2)/B2$ | 1.115 | |
| B1/B2 | 0.115 | |

Tabel 22. Perhitungan Settlement Akibat Timbunan untuk $q = 23,4 \text{ t/m}^2$

| Kedalaman H (m) | | akibat timbunan | | | | | | | | | | | | | | | | | | | | |
|--------------------|---|----------------------|----------|-----|-------|-------|------------|------------|------------------|------------------|------------------|------------------|------------------|---------------------|------------------|------------------|--------|------------|---------------------------|--------|-------------|-------|
| | | Tebal lapisan (m) | z (m) | e | Cc | Cs | α_1 | α_2 | $\Delta\sigma$ | $2\Delta\sigma$ | γ_{sat} | γ' | $\gamma' * H$ | $\gamma' * H_{kum}$ | $\sigma'0$ | $\sigma'c$ | OCR | NC/OC soil | $\Delta\sigma + \sigma'0$ | Sc | ΣSc | |
| | | | | | | | $^\circ$ | $^\circ$ | t/m ² | t/m ³ | t/m ³ | t/m ³ | t/m ² | t/m ² | t/m ² | t/m ² | | | t/m ² | (m) | (m) | |
| 0 | - | 1 | 1 | 0.5 | 1.507 | 1.177 | 0.118 | 8.475 | 80.538 | 11.699 | 23.397 | 1.637 | 0.637 | 0.637 | 0.637 | 0.318 | 4.718 | 14.823 | OC Soil | 23.716 | 0.384 | 0.384 |
| 1 | - | 2 | 1 | 1.5 | 1.507 | 1.177 | 0.118 | 23.604 | 63.435 | 11.669 | 23.338 | 1.637 | 0.637 | 0.637 | 1.273 | 0.955 | 5.355 | 5.608 | OC Soil | 24.293 | 0.343 | 0.728 |
| 2 | - | 3 | 1 | 2.5 | 1.507 | 1.177 | 0.118 | 34.878 | 50.194 | 11.583 | 23.165 | 1.637 | 0.637 | 0.637 | 1.910 | 1.592 | 5.992 | 3.765 | OC Soil | 24.757 | 0.316 | 1.044 |
| 3 | - | 4 | 1 | 3.5 | 1.583 | 1.193 | 0.119 | 42.517 | 40.601 | 11.443 | 22.886 | 1.630 | 0.630 | 0.630 | 2.540 | 2.225 | 6.625 | 2.977 | OC Soil | 25.111 | 0.289 | 1.333 |
| 4 | - | 5 | 1 | 4.5 | 1.583 | 1.193 | 0.119 | 47.490 | 33.690 | 11.266 | 22.531 | 1.630 | 0.630 | 0.630 | 3.171 | 2.856 | 7.256 | 2.541 | OC Soil | 25.387 | 0.270 | 1.603 |
| 5 | - | 6 | 1 | 5.5 | 1.583 | 1.193 | 0.119 | 50.651 | 28.610 | 11.064 | 22.127 | 1.630 | 0.630 | 0.630 | 3.801 | 3.486 | 7.886 | 2.262 | OC Soil | 25.613 | 0.253 | 1.856 |
| 6 | - | 7 | 1 | 6.5 | 1.382 | 1.171 | 0.117 | 52.591 | 24.775 | 10.847 | 21.693 | 1.676 | 0.676 | 0.676 | 4.477 | 4.139 | 8.539 | 2.063 | OC Soil | 25.832 | 0.252 | 2.107 |
| 7 | - | 8 | 1 | 7.5 | 1.382 | 1.171 | 0.117 | 53.698 | 21.801 | 10.620 | 21.241 | 1.676 | 0.676 | 0.676 | 5.152 | 4.815 | 9.215 | 1.914 | OC Soil | 26.056 | 0.236 | 2.343 |
| 8 | - | 9 | 1 | 8.5 | 1.382 | 1.171 | 0.117 | 54.224 | 19.440 | 10.390 | 20.779 | 1.676 | 0.676 | 0.676 | 5.828 | 5.490 | 9.890 | 1.801 | OC Soil | 26.270 | 0.221 | 2.564 |
| 9 | - | 10 | 1 | 9.5 | 1.300 | 1.171 | 0.117 | 54.336 | 17.526 | 10.157 | 20.314 | 1.678 | 0.678 | 0.678 | 6.507 | 6.167 | 10.567 | 1.713 | OC Soil | 26.481 | 0.215 | 2.779 |

Tabel 23. $H_{initial}$ untuk $q = 23,4 \text{ t/m}^2$

| | | |
|--------|-------|------------------|
| q | 0.99 | t/m ² |
| H awal | 14.54 | m |

Tabel 24. Perhitungan Settlement Akibat Beban Pavement ($H_{initial}$ untuk $q = 23,4 \text{ t/m}^2$)

| Kedalaman (m) | | Akibat beban pavement | | | | | | | | | | | | | | | | | | | | | | | |
|------------------|---|-----------------------|----------|----------|----------|--------|-------|-------|---------|----------|---|------------------|------------------|------------------|------------------|---------------------|------------------|------------------|-------|------------|---------------------------|---------|-------------|-------|-------|
| | | Tebal lapisan (m) | x (m) | y (m) | z (m) | e | Cc | Cs | $m=x/z$ | $n=y/z$ | I | $\Delta\sigma$ | γ | γ' | $\gamma' * H$ | $\gamma' * H_{kum}$ | $\sigma'0$ | $\sigma'c$ | OCR | NC/OC soil | $\Delta\sigma + \sigma'0$ | Sc | ΣSc | | |
| | | | | | | | | | | | | t/m ² | t/m ³ | t/m ³ | t/m ² | t/m ² | t/m ² | t/m ² | | | t/m ² | (m) | (m) | | |
| 0 | - | 1 | 1 | ∞ | 3 | 15.044 | 1.507 | 1.177 | 0.118 | ∞ | 0 | 0.199 | 0.069 | 0.27324 | 1.637 | 0.637 | 0.637 | 0.318 | 4.718 | 14.823 | OC Soil | 0.592 | 0.013 | 0.013 | |
| 1 | - | 2 | 1 | ∞ | 3 | 16.044 | 1.507 | 1.177 | 0.118 | ∞ | 0 | 0.187 | 0.065 | 0.2574 | 1.637 | 0.637 | 0.637 | 1.273 | 0.955 | 5.355 | 5.608 | OC Soil | 1.212 | 0.005 | 0.018 |
| 2 | - | 3 | 1 | ∞ | 3 | 17.044 | 1.507 | 1.177 | 0.118 | ∞ | 0 | 0.176 | 0.057 | 0.22572 | 1.637 | 0.637 | 0.637 | 1.910 | 1.592 | 5.992 | 3.765 | OC Soil | 1.817 | 0.003 | 0.020 |
| 3 | - | 4 | 1 | ∞ | 3 | 18.044 | 1.583 | 1.193 | 0.119 | ∞ | 0 | 0.166 | 0.053 | 0.20988 | 1.630 | 0.630 | 0.630 | 2.540 | 2.225 | 6.625 | 2.977 | OC Soil | 2.435 | 0.002 | 0.022 |
| 4 | - | 5 | 1 | ∞ | 3 | 19.044 | 1.583 | 1.193 | 0.119 | ∞ | 0 | 0.158 | 0.048 | 0.19008 | 1.630 | 0.630 | 0.630 | 3.171 | 2.856 | 7.256 | 2.541 | OC Soil | 3.046 | 0.001 | 0.023 |
| 5 | - | 6 | 1 | ∞ | 3 | 20.044 | 1.583 | 1.193 | 0.119 | ∞ | 0 | 0.150 | 0.046 | 0.18216 | 1.630 | 0.630 | 0.630 | 3.801 | 3.486 | 7.886 | 2.262 | OC Soil | 3.668 | 0.001 | 0.024 |
| 6 | - | 7 | 1 | ∞ | 3 | 21.044 | 1.382 | 1.171 | 0.117 | ∞ | 0 | 0.143 | 0.042 | 0.16632 | 1.676 | 0.676 | 0.676 | 4.477 | 4.139 | 8.539 | 2.063 | OC Soil | 4.305 | 0.001 | 0.025 |
| 7 | - | 8 | 1 | ∞ | 3 | 22.044 | 1.382 | 1.171 | 0.117 | ∞ | 0 | 0.136 | 0.041 | 0.16236 | 1.676 | 0.676 | 0.676 | 5.152 | 4.815 | 9.215 | 1.914 | OC Soil | 4.977 | 0.001 | 0.026 |
| 8 | - | 9 | 1 | ∞ | 3 | 23.044 | 1.382 | 1.171 | 0.117 | ∞ | 0 | 0.130 | 0.040 | 0.1584 | 1.676 | 0.676 | 0.676 | 5.828 | 5.490 | 9.890 | 1.801 | OC Soil | 5.649 | 0.001 | 0.026 |
| 9 | - | 10 | 1 | ∞ | 3 | 24.044 | 1.300 | 1.171 | 0.117 | ∞ | 0 | 0.125 | 0.038 | 0.15048 | 1.678 | 0.678 | 0.678 | 6.507 | 6.167 | 10.567 | 1.713 | OC Soil | 6.318 | 0.001 | 0.027 |

Tabel 25. Data Perencanaan untuk $q = 27 \text{ t/m}^2$

| | | |
|-----------------------|------|------------------|
| h timbunan | 15 | m |
| γ timbunan | 1.8 | t/m ³ |
| γ sat timbunan | 1.8 | t/m ³ |
| fluktuasi muka air | 4.4 | m |
| | 4.4 | t/m ² |
| q | 27.0 | t/m ² |
| kemiringan | 1: | 2 |
| B1 | 3 | m |
| B2 | 30 | m |
| (B1+B2)/B2 | 1.1 | |
| B1/B2 | 0.1 | |

Tabel 26. Perhitungan Settlement Akibat Timbunan untuk $q = 27 \text{ t/m}^2$

| akibat timbunan | | | | | | | | | | | | | | | | | | | | | | |
|-----------------|---|---------------|-----|-----|-------|-------|------------|------------|------------------|------------------|------------------|------------------|------------------|-------------------|------------------|------------------|------------------|------------|-------------------------|--------|-------------|-------|
| Kedalaman H | | Tebal lapisan | z | e | Cc | Cs | α_1 | α_2 | $\Delta\sigma$ | $2\Delta\sigma$ | γ sat | γ' | $\gamma' * H$ | $\gamma' * H$ kum | $\sigma'0$ | $\sigma'c$ | OCR | NC/OC soil | $\Delta\sigma+\sigma'0$ | Sc | ΣSc | |
| (m) | | (m) | (m) | | | | ° | ° | t/m ² | t/m ³ | t/m ³ | t/m ³ | t/m ² | t/m ² | t/m ² | t/m ² | t/m ² | (m) | (m) | | | |
| 0 | - | 0 | 0 | 0 | 0 | 0 | 0 | 0 | 0 | 0 | 0 | 0 | 0 | 0 | 0 | 0 | 0 | 0 | 0 | 0 | | |
| 0 | - | 1 | 1 | 0.5 | 1.507 | 1.177 | 0.118 | 8.594 | 80.538 | 13.499 | 26.997 | 1.637 | 0.637 | 0.637 | 0.318 | 4.718 | 14.823 | OC Soil | 27.316 | 0.413 | 0.413 | |
| 1 | - | 2 | 1 | 1.5 | 1.507 | 1.177 | 0.118 | 23.962 | 63.435 | 13.469 | 26.938 | 1.637 | 0.637 | 0.637 | 1.273 | 0.955 | 5.355 | 5.608 | OC Soil | 27.893 | 0.372 | 0.785 |
| 2 | - | 3 | 1 | 2.5 | 1.507 | 1.177 | 0.118 | 35.473 | 50.194 | 13.382 | 26.765 | 1.637 | 0.637 | 0.637 | 1.910 | 1.592 | 5.992 | 3.765 | OC Soil | 28.356 | 0.344 | 1.129 |
| 3 | - | 4 | 1 | 3.5 | 1.583 | 1.193 | 0.119 | 43.345 | 40.601 | 13.242 | 26.484 | 1.630 | 0.630 | 0.630 | 2.540 | 2.225 | 6.625 | 2.977 | OC Soil | 28.709 | 0.316 | 1.445 |
| 4 | - | 5 | 1 | 4.5 | 1.583 | 1.193 | 0.119 | 48.545 | 33.690 | 13.063 | 26.127 | 1.630 | 0.630 | 0.630 | 3.171 | 2.856 | 7.256 | 2.541 | OC Soil | 28.982 | 0.297 | 1.741 |
| 5 | - | 6 | 1 | 5.5 | 1.583 | 1.193 | 0.119 | 51.927 | 28.610 | 12.860 | 25.719 | 1.630 | 0.630 | 0.630 | 3.801 | 3.486 | 7.886 | 2.262 | OC Soil | 29.205 | 0.279 | 2.020 |
| 6 | - | 7 | 1 | 6.5 | 1.382 | 1.171 | 0.117 | 54.082 | 24.775 | 12.640 | 25.280 | 1.676 | 0.676 | 0.676 | 4.477 | 4.139 | 8.539 | 2.063 | OC Soil | 29.419 | 0.280 | 2.300 |
| 7 | - | 8 | 1 | 7.5 | 1.382 | 1.171 | 0.117 | 55.394 | 21.801 | 12.410 | 24.821 | 1.676 | 0.676 | 0.676 | 5.152 | 4.815 | 9.215 | 1.914 | OC Soil | 29.635 | 0.263 | 2.563 |
| 8 | - | 9 | 1 | 8.5 | 1.382 | 1.171 | 0.117 | 56.116 | 19.440 | 12.175 | 24.350 | 1.676 | 0.676 | 0.676 | 5.828 | 5.490 | 9.890 | 1.801 | OC Soil | 29.841 | 0.248 | 2.811 |
| 9 | - | 10 | 1 | 9.5 | 1.300 | 1.171 | 0.117 | 56.414 | 17.526 | 11.937 | 23.874 | 1.678 | 0.678 | 0.678 | 6.507 | 6.167 | 10.567 | 1.713 | OC Soil | 30.042 | 0.243 | 3.054 |

Tabel 27. $H_{initial}$ untuk $q = 27 \text{ t/m}^2$

| | | |
|--------|-------|------------------|
| q | 0.99 | t/m ² |
| H awal | 16.70 | m |

Tabel 28. Perhitungan Settlement Akibat Beban Pavement ($H_{initial}$ untuk $q = 27 \text{ t/m}^2$)

| Akibat beban pavement | | | | | | | | | | | | | | | | | | | | | | | | |
|-----------------------|---|---------------|-----|----------|-----|--------|-------|-------|-------|----------|-------|----------------|----------|-----------|---------------|---------------------|------------|------------|--------|------------|-------------------------|---------|-------------|---------|
| Kedalaman | | Tebal lapisan | x | y | z | e | Cc | Cs | m=x/z | n=y/z | I | $\Delta\sigma$ | γ | γ' | $\gamma'^* H$ | $\gamma'^* H_{kum}$ | $\sigma'0$ | $\sigma'c$ | OCR | NC/OC soil | $\Delta\sigma+\sigma'0$ | Sc | ΣSc | |
| (m) | | (m) | (m) | (m) | (m) | | | | | | | t/m2 | t/m3 | t/m3 | t/m2 | t/m2 | t/m2 | t/m2 | | | t/m2 | (m) | (m) | |
| 0 | | 0 | 0 | 0 | 0 | 0 | 0 | 0 | 0 | 0 | 0 | 0 | 0 | 0 | 0 | 0 | 0 | 0 | - | 0 | 0 | 0 | | |
| 0 | - | 1 | 1 | ∞ | 3 | 17.197 | 1.507 | 1.177 | 0.118 | ∞ | 0.174 | 0.056 | 0.22176 | 1.637 | 0.637 | 0.637 | 0.318 | 4.718 | 14.823 | OC Soil | 0.540 | 0.01078 | 0.01078 | |
| 1 | - | 2 | 1 | ∞ | 3 | 18.197 | 1.507 | 1.177 | 0.118 | ∞ | 0.165 | 0.053 | 0.20988 | 1.637 | 0.637 | 0.637 | 1.273 | 0.955 | 5.355 | 5.608 | OC Soil | 1.165 | 0.00405 | 0.01483 |
| 2 | - | 3 | 1 | ∞ | 3 | 19.197 | 1.507 | 1.177 | 0.118 | ∞ | 0.156 | 0.047 | 0.18612 | 1.637 | 0.637 | 0.637 | 1.910 | 1.592 | 5.992 | 3.765 | OC Soil | 1.778 | 0.00225 | 0.01708 |
| 3 | - | 4 | 1 | ∞ | 3 | 20.197 | 1.583 | 1.193 | 0.119 | ∞ | 0.149 | 0.045 | 0.1782 | 1.630 | 0.630 | 0.630 | 2.540 | 2.225 | 6.625 | 2.977 | OC Soil | 2.403 | 0.00155 | 0.01863 |
| 4 | - | 5 | 1 | ∞ | 3 | 21.197 | 1.583 | 1.193 | 0.119 | ∞ | 0.142 | 0.042 | 0.16632 | 1.630 | 0.630 | 0.630 | 3.171 | 2.856 | 7.256 | 2.541 | OC Soil | 3.022 | 0.00114 | 0.01976 |
| 5 | - | 6 | 1 | ∞ | 3 | 22.197 | 1.583 | 1.193 | 0.119 | ∞ | 0.135 | 0.041 | 0.16236 | 1.630 | 0.630 | 0.630 | 3.801 | 3.486 | 7.886 | 2.262 | OC Soil | 3.648 | 0.00091 | 0.02068 |
| 6 | - | 7 | 1 | ∞ | 3 | 23.197 | 1.382 | 1.171 | 0.117 | ∞ | 0.129 | 0.040 | 0.1584 | 1.676 | 0.676 | 0.676 | 4.477 | 4.139 | 8.539 | 2.063 | OC Soil | 4.297 | 0.00080 | 0.02148 |
| 7 | - | 8 | 1 | ∞ | 3 | 24.197 | 1.382 | 1.171 | 0.117 | ∞ | 0.124 | 0.038 | 0.15048 | 1.676 | 0.676 | 0.676 | 5.152 | 4.815 | 9.215 | 1.914 | OC Soil | 4.965 | 0.00066 | 0.02214 |
| 8 | - | 9 | 1 | ∞ | 3 | 25.197 | 1.382 | 1.171 | 0.117 | ∞ | 0.119 | 0.037 | 0.14652 | 1.676 | 0.676 | 0.676 | 5.828 | 5.490 | 9.890 | 1.801 | OC Soil | 5.637 | 0.00056 | 0.02270 |
| 9 | - | 10 | 1 | ∞ | 3 | 26.197 | 1.300 | 1.171 | 0.117 | ∞ | 0.115 | 0.035 | 0.1386 | 1.678 | 0.678 | 0.678 | 6.507 | 6.167 | 10.567 | 1.713 | OC Soil | 6.306 | 0.00049 | 0.02319 |

Tabel 29. Data Perencanaan untuk $q = 30,6 \text{ t/m}^2$

| | | |
|-----------------------|-------|------------------|
| h timbunan | 17 | m |
| γ timbunan | 1.8 | t/m3 |
| γ sat timbunan | 1.8 | t/m3 |
| fluktuasi muka air | 4.4 | m |
| | 4.4 | t/m2 |
| q | 30.6 | t/m ² |
| kemiringan | 1: | 2 |
| B1 | 3 | m |
| B2 | 34 | m |
| $(B1+B2)/B2$ | 1.088 | |
| B1/B2 | 0.088 | |

Tabel 30. Perhitungan Settlement Akibat Timbunan untuk $q = 30,6 \text{ t/m}^2$

| akibat timbunan | | | | | | | | | | | | | | | | | | | | | | |
|-----------------|---|---------------|-----|-------|-------|-------|------------|------------|----------------|-----------------|----------------|-----------|---------------|---------------------|------------|------------|---------|------------|---------------------------|--------|-------------|-------|
| Kedalaman H | | Tebal lapisan | z | e | Cc | Cs | α_1 | α_2 | $\Delta\sigma$ | $2\Delta\sigma$ | γ_{sat} | γ' | $\gamma' * H$ | $\gamma' * H_{kum}$ | $\sigma'0$ | $\sigma'c$ | OCR | NC/OC soil | $\Delta\sigma + \sigma'0$ | Sc | ΣSc | |
| (m) | | (m) | (m) | 0 | 0 | 0 | ° | ° | t/m2 | t/m3 | t/m3 | t/m2 | t/m2 | t/m2 | t/m2 | t/m2 | | | t/m2 | (m) | (m) | |
| 0 | - | 1 | 0.5 | 1.507 | 1.177 | 0.118 | 8.688 | 80.538 | 15.299 | 30.597 | 1.637 | 0.637 | 0.637 | 0.318 | 4.718 | 14.823 | OC Soil | 30.916 | 0.438 | 0.438 | | |
| 1 | - | 2 | 1 | 1.5 | 1.507 | 1.177 | 0.118 | 24.244 | 63.435 | 15.269 | 30.538 | 1.637 | 0.637 | 1.273 | 0.955 | 5.355 | 5.608 | OC Soil | 31.493 | 0.396 | 0.835 | |
| 2 | - | 3 | 1 | 2.5 | 1.507 | 1.177 | 0.118 | 35.940 | 50.194 | 15.182 | 30.364 | 1.637 | 0.637 | 0.637 | 1.910 | 1.592 | 5.992 | 3.765 | OC Soil | 31.955 | 0.368 | 1.203 |
| 3 | - | 4 | 1 | 3.5 | 1.583 | 1.193 | 0.119 | 43.995 | 40.601 | 15.041 | 30.083 | 1.630 | 0.630 | 0.630 | 2.540 | 2.225 | 6.625 | 2.977 | OC Soil | 32.308 | 0.340 | 1.543 |
| 4 | - | 5 | 1 | 4.5 | 1.583 | 1.193 | 0.119 | 49.376 | 33.690 | 14.862 | 29.724 | 1.630 | 0.630 | 0.630 | 3.171 | 2.856 | 7.256 | 2.541 | OC Soil | 32.579 | 0.320 | 1.863 |
| 5 | - | 6 | 1 | 5.5 | 1.583 | 1.193 | 0.119 | 52.935 | 28.610 | 14.657 | 29.313 | 1.630 | 0.630 | 0.630 | 3.801 | 3.486 | 7.886 | 2.262 | OC Soil | 32.799 | 0.302 | 2.165 |
| 6 | - | 7 | 1 | 6.5 | 1.382 | 1.171 | 0.117 | 55.261 | 24.775 | 14.435 | 28.870 | 1.676 | 0.676 | 0.676 | 4.477 | 4.139 | 8.539 | 2.063 | OC Soil | 33.009 | 0.304 | 2.469 |
| 7 | - | 8 | 1 | 7.5 | 1.382 | 1.171 | 0.117 | 56.740 | 21.801 | 14.203 | 28.406 | 1.676 | 0.676 | 0.676 | 5.152 | 4.815 | 9.215 | 1.914 | OC Soil | 33.221 | 0.288 | 2.757 |
| 8 | - | 9 | 1 | 8.5 | 1.382 | 1.171 | 0.117 | 57.622 | 19.440 | 13.965 | 27.930 | 1.676 | 0.676 | 0.676 | 5.828 | 5.490 | 9.890 | 1.801 | OC Soil | 33.420 | 0.272 | 3.029 |
| 9 | - | 10 | 1 | 9.5 | 1.300 | 1.171 | 0.117 | 58.074 | 17.526 | 13.723 | 27.446 | 1.678 | 0.678 | 0.678 | 6.507 | 6.167 | 10.567 | 1.713 | OC Soil | 33.614 | 0.268 | 3.297 |

Tabel 31. $H_{initial}$ untuk $q = 30,6 \text{ t/m}^2$

| | | |
|--------|-------|------|
| q | 0.99 | t/m2 |
| H awal | 18.83 | m |

Tabel 32. Perhitungan Settlement Akibat Beban Pavement ($H_{initial}$ untuk $q = 30,6 \text{ t/m}^2$)

| Akibat beban pavement | | | | | | | | | | | | | | | | | | | | | | | | |
|-----------------------|---|---------------|-----|----------|-----|--------|-------|-------|---------|----------|-------|----------------|----------|-----------|---------------|---------------------|------------|------------|--------|------------|---------------------------|---------|-------------|---------|
| Kedalaman | | Tebal lapisan | x | y | z | e | Cc | Cs | $m=x/z$ | $n=y/z$ | I | $\Delta\sigma$ | γ | γ' | $\gamma' * H$ | $\gamma' * H_{kum}$ | $\sigma'0$ | $\sigma'c$ | OCR | NC/OC soil | $\Delta\sigma + \sigma'0$ | Sc | ΣSc | |
| (m) | | (m) | (m) | (m) | (m) | 0 | 0 | 0 | 0 | 0 | 0 | 0 | 0 | 0 | 0 | 0 | 0 | - | 0 | 0 | 0 | | | |
| 0 | - | 1 | 1 | ∞ | 3 | 19.332 | 1.507 | 1.177 | 0.118 | ∞ | 0.155 | 0.047 | 0.18612 | 1.637 | 0.637 | 0.637 | 0.318 | 4.718 | 14.823 | OC Soil | 0.504 | 0.00939 | 0.00939 | |
| 1 | - | 2 | 1 | ∞ | 3 | 20.332 | 1.507 | 1.177 | 0.118 | ∞ | 0.148 | 0.044 | 0.17424 | 1.637 | 0.637 | 1.273 | 0.955 | 5.355 | 5.608 | OC Soil | 1.129 | 0.00342 | 0.01280 | |
| 2 | - | 3 | 1 | ∞ | 3 | 21.332 | 1.507 | 1.177 | 0.118 | ∞ | 0.141 | 0.041 | 0.16236 | 1.637 | 0.637 | 0.637 | 1.910 | 1.592 | 5.992 | 3.765 | OC Soil | 1.754 | 0.00198 | 0.01478 |
| 3 | - | 4 | 1 | ∞ | 3 | 22.332 | 1.583 | 1.193 | 0.119 | ∞ | 0.134 | 0.040 | 0.1584 | 1.630 | 0.630 | 0.630 | 2.540 | 2.225 | 6.625 | 2.977 | OC Soil | 2.383 | 0.00138 | 0.01616 |
| 4 | - | 5 | 1 | ∞ | 3 | 23.332 | 1.583 | 1.193 | 0.119 | ∞ | 0.129 | 0.039 | 0.15444 | 1.630 | 0.630 | 0.630 | 3.171 | 2.856 | 7.256 | 2.541 | OC Soil | 3.010 | 0.00106 | 0.01722 |
| 5 | - | 6 | 1 | ∞ | 3 | 24.332 | 1.583 | 1.193 | 0.119 | ∞ | 0.123 | 0.037 | 0.14652 | 1.630 | 0.630 | 0.630 | 3.801 | 3.486 | 7.886 | 2.262 | OC Soil | 3.632 | 0.00083 | 0.01805 |
| 6 | - | 7 | 1 | ∞ | 3 | 25.332 | 1.382 | 1.171 | 0.117 | ∞ | 0.118 | 0.036 | 0.14256 | 1.676 | 0.676 | 0.676 | 4.477 | 4.139 | 8.539 | 2.063 | OC Soil | 4.282 | 0.00072 | 0.01877 |
| 7 | - | 8 | 1 | ∞ | 3 | 26.332 | 1.382 | 1.171 | 0.117 | ∞ | 0.114 | 0.035 | 0.1386 | 1.676 | 0.676 | 0.676 | 5.152 | 4.815 | 9.215 | 1.914 | OC Soil | 4.953 | 0.00061 | 0.01937 |
| 8 | - | 9 | 1 | ∞ | 3 | 27.332 | 1.382 | 1.171 | 0.117 | ∞ | 0.110 | 0.034 | 0.13464 | 1.676 | 0.676 | 0.676 | 5.828 | 5.490 | 9.890 | 1.801 | OC Soil | 5.625 | 0.00052 | 0.01989 |
| 9 | - | 10 | 1 | ∞ | 3 | 28.332 | 1.300 | 1.171 | 0.117 | ∞ | 0.106 | 0.033 | 0.13068 | 1.678 | 0.678 | 0.678 | 6.507 | 6.167 | 10.567 | 1.713 | OC Soil | 6.298 | 0.00046 | 0.02036 |

Tabel 33. Data Perencanaan untuk $q = 34,2 \text{ t/m}^2$

| | | |
|-----------------------|-------|------------------|
| h timbunan | 19 | m |
| γ timbunan | 1.8 | t/m ³ |
| γ sat timbunan | 1.8 | t/m ³ |
| fluktuasi muka air | 4.4 | m |
| | 4.4 | t/m ² |
| q | 34.2 | t/m ² |
| kemiringan | 1: | 2 |
| B1 | 3 | m |
| B2 | 38 | m |
| (B1+B2)/B2 | 1.079 | |
| B1/B2 | 0.079 | |

Tabel 34. Perhitungan *Settlement* Akibat Timbunan untuk $q = 34,2 \text{ t/m}^2$

| akibat timbunan | | | | | | | | | | | | | | | | | | | | | | |
|-----------------|---|----|---------------|-----|-------|-------|-------|------------|------------|----------------|-----------------|--------------|-----------|---------------|-------------------|------------|------------|------------------|------------|---------------------------|-------|-------------|
| Kedalaman H | | | Tebal lapisan | z | e | Cc | Cs | α_1 | α_2 | $\Delta\sigma$ | $2\Delta\sigma$ | γ sat | γ' | $\gamma' * H$ | $\gamma' * H$ kum | $\sigma'0$ | $\sigma'c$ | OCR | NC/OC soil | $\Delta\sigma + \sigma'0$ | Sc | ΣSc |
| (m) | | | (m) | (m) | 0 | 0 | 0 | 0 | 0 | 0 | 0 | 0 | 0 | 0 | 0 | 0 | 0 | t/m ² | (m) | (m) | | |
| 0 | - | 1 | 1 | 0.5 | 1.507 | 1.177 | 0.118 | 8.764 | 80.538 | 17.099 | 34.197 | 1.637 | 0.637 | 0.637 | 0.637 | 0.318 | 4.718 | 14.823 | OC Soil | 34.516 | 0.461 | 0.461 |
| 1 | - | 2 | 1 | 1.5 | 1.507 | 1.177 | 0.118 | 24.470 | 63.435 | 17.069 | 34.138 | 1.637 | 0.637 | 0.637 | 1.273 | 0.955 | 5.355 | 5.608 | OC Soil | 35.093 | 0.418 | 0.879 |
| 2 | - | 3 | 1 | 2.5 | 1.507 | 1.177 | 0.118 | 36.316 | 50.194 | 16.982 | 33.964 | 1.637 | 0.637 | 0.637 | 1.910 | 1.592 | 5.992 | 3.765 | OC Soil | 35.555 | 0.390 | 1.269 |
| 3 | - | 4 | 1 | 3.5 | 1.583 | 1.193 | 0.119 | 44.519 | 40.601 | 16.841 | 33.681 | 1.630 | 0.630 | 0.630 | 2.540 | 2.225 | 6.625 | 2.977 | OC Soil | 35.907 | 0.361 | 1.630 |
| 4 | - | 5 | 1 | 4.5 | 1.583 | 1.193 | 0.119 | 50.046 | 33.690 | 16.661 | 33.321 | 1.630 | 0.630 | 0.630 | 3.171 | 2.856 | 7.256 | 2.541 | OC Soil | 36.177 | 0.341 | 1.971 |
| 5 | - | 6 | 1 | 5.5 | 1.583 | 1.193 | 0.119 | 53.749 | 28.610 | 16.455 | 32.909 | 1.630 | 0.630 | 0.630 | 3.801 | 3.486 | 7.886 | 2.262 | OC Soil | 36.395 | 0.323 | 2.294 |
| 6 | - | 7 | 1 | 6.5 | 1.382 | 1.171 | 0.117 | 56.216 | 24.775 | 16.232 | 32.463 | 1.676 | 0.676 | 0.676 | 4.477 | 4.139 | 8.539 | 2.063 | OC Soil | 36.602 | 0.326 | 2.620 |
| 7 | - | 8 | 1 | 7.5 | 1.382 | 1.171 | 0.117 | 57.832 | 21.801 | 15.998 | 31.996 | 1.676 | 0.676 | 0.676 | 5.152 | 4.815 | 9.215 | 1.914 | OC Soil | 36.810 | 0.310 | 2.930 |
| 8 | - | 9 | 1 | 8.5 | 1.382 | 1.171 | 0.117 | 58.847 | 19.440 | 15.757 | 31.515 | 1.676 | 0.676 | 0.676 | 5.828 | 5.490 | 9.890 | 1.801 | OC Soil | 37.005 | 0.294 | 3.224 |
| 9 | - | 10 | 1 | 9.5 | 1.300 | 1.171 | 0.117 | 59.429 | 17.526 | 15.513 | 31.026 | 1.678 | 0.678 | 0.678 | 6.507 | 6.167 | 10.567 | 1.713 | OC Soil | 37.193 | 0.290 | 3.514 |

Tabel 35. H_{initial} untuk $q = 34,2 \text{ t/m}^2$

| | | |
|--------|-------|------------------|
| q | 0.99 | t/m ² |
| H awal | 20.95 | m |

Tabel 36. Perhitungan Settlement Akibat Beban *Pavement* (H_{initial} untuk $q = 34,2 \text{ t/m}^2$)

| Akibat beban pavement | | | | | | | | | | | | | | | | | | | | | | | | |
|-----------------------|---|---------------|-----|----------|-----|--------|-------|-------|-------|----------|-------|----------------|----------|-----------|---------------|---------------------------|------------|------------|--------|------------|---------------------------|---------|-------------|---------|
| Kedalaman | | Tebal lapisan | x | y | z | e | Cc | Cs | m=x/z | n=y/z | I | $\Delta\sigma$ | γ | γ' | $\gamma' * H$ | $\gamma' * H \text{ kum}$ | $\sigma'0$ | $\sigma'c$ | OCR | NC/OC soil | $\Delta\sigma + \sigma'0$ | Sc | ΣSc | |
| (m) | | (m) | (m) | (m) | (m) | | | | | | | t/m2 | t/m3 | t/m3 | t/m2 | t/m2 | t/m2 | t/m2 | | t/m2 | (m) | (m) | | |
| 0 | | 0 | 0 | 0 | 0 | 0 | 0 | 0 | 0 | 0 | 0 | 0 | 0 | 0 | 0 | 0 | 0 | - | 0 | 0 | 0 | | | |
| 0 | - | 1 | 1 | ∞ | 3 | 21.452 | 1.507 | 1.177 | 0.118 | ∞ | 0.140 | 0.04 | 0.1584 | 1.637 | 0.637 | 0.637 | 0.318 | 4.718 | 14.823 | OC Soil | 0.477 | 0.00823 | 0.00823 | |
| 1 | - | 2 | 1 | ∞ | 3 | 22.452 | 1.507 | 1.177 | 0.118 | ∞ | 0.134 | 0.039 | 0.15444 | 1.637 | 0.637 | 0.637 | 1.273 | 0.955 | 5.355 | 5.608 | OC Soil | 1.109 | 0.00306 | 0.01129 |
| 2 | - | 3 | 1 | ∞ | 3 | 23.452 | 1.507 | 1.177 | 0.118 | ∞ | 0.128 | 0.038 | 0.15048 | 1.637 | 0.637 | 0.637 | 1.910 | 1.592 | 5.992 | 3.765 | OC Soil | 1.742 | 0.00184 | 0.01313 |
| 3 | - | 4 | 1 | ∞ | 3 | 24.452 | 1.583 | 1.193 | 0.119 | ∞ | 0.123 | 0.036 | 0.14256 | 1.630 | 0.630 | 0.630 | 2.540 | 2.225 | 6.625 | 2.977 | OC Soil | 2.368 | 0.00125 | 0.01438 |
| 4 | - | 5 | 1 | ∞ | 3 | 25.452 | 1.583 | 1.193 | 0.119 | ∞ | 0.118 | 0.035 | 0.1386 | 1.630 | 0.630 | 0.630 | 3.171 | 2.856 | 7.256 | 2.541 | OC Soil | 2.994 | 0.00095 | 0.01533 |
| 5 | - | 6 | 1 | ∞ | 3 | 26.452 | 1.583 | 1.193 | 0.119 | ∞ | 0.113 | 0.034 | 0.13464 | 1.630 | 0.630 | 0.630 | 3.801 | 3.486 | 7.886 | 2.262 | OC Soil | 3.621 | 0.00076 | 0.01609 |
| 6 | - | 7 | 1 | ∞ | 3 | 27.452 | 1.382 | 1.171 | 0.117 | ∞ | 0.109 | 0.033 | 0.13068 | 1.676 | 0.676 | 0.676 | 4.477 | 4.139 | 8.539 | 2.063 | OC Soil | 4.270 | 0.00066 | 0.01675 |
| 7 | - | 8 | 1 | ∞ | 3 | 28.452 | 1.382 | 1.171 | 0.117 | ∞ | 0.105 | 0.032 | 0.12672 | 1.676 | 0.676 | 0.676 | 5.152 | 4.815 | 9.215 | 1.914 | OC Soil | 4.941 | 0.00055 | 0.01731 |
| 8 | - | 9 | 1 | ∞ | 3 | 29.452 | 1.382 | 1.171 | 0.117 | ∞ | 0.102 | 0.031 | 0.12276 | 1.676 | 0.676 | 0.676 | 5.828 | 5.490 | 9.890 | 1.801 | OC Soil | 5.613 | 0.00047 | 0.01778 |
| 9 | - | 10 | 1 | ∞ | 3 | 30.452 | 1.300 | 1.171 | 0.117 | ∞ | 0.099 | 0.031 | 0.12276 | 1.678 | 0.678 | 0.678 | 6.507 | 6.167 | 10.567 | 1.713 | OC Soil | 6.290 | 0.00044 | 0.01822 |

Tabel 37. Rekap Hasil Perhitungan Settlement dan $H_{initial}$ Masing-masing q

| q timb | Sc akibat q timb | H initial | H bongkar Traffic | Tebal Pavement | Sc akibat pavemen | H final | Sc tota |
|--------------|------------------|-----------|-------------------|----------------|-------------------|-----------|---------|
| t/m2 | (m) | (m) | (m) | (m) | (m) | (m) | (m) |
| Direncanakan | Perhitungan | (A+B)/γt | Grafik | Direncanakan | Perhitungan | C-B-D+E-F | B+F |
| A | B | C | D | E | F | G | H |
| 5.4 | 0.345 | 3.191 | 0.278 | 0.450 | 0.058 | 2.961 | 0.402 |
| 9 | 1.066 | 5.592 | 0.111 | 0.450 | 0.048 | 4.817 | 1.114 |
| 12.6 | 1.639 | 7.910 | 0.111 | 0.450 | 0.041 | 6.569 | 1.680 |
| 16.2 | 2.091 | 10.162 | 0.111 | 0.450 | 0.036 | 8.374 | 2.127 |
| 19.8 | 2.463 | 12.368 | 0.111 | 0.450 | 0.032 | 10.213 | 2.495 |
| 23.4 | 2.779 | 14.544 | 0.111 | 0.450 | 0.027 | 12.077 | 2.806 |
| 27 | 3.054 | 16.697 | 0.111 | 0.450 | 0.023 | 13.958 | 3.077 |
| 30.6 | 3.297 | 18.832 | 0.111 | 0.450 | 0.020 | 15.853 | 3.317 |
| 34.2 | 3.514 | 20.952 | 0.111 | 0.450 | 0.018 | 17.759 | 3.533 |

2. PERHITUNGAN BESAR PEMAMPATAN (S_c) DAN TINGGI TIMBUNAN AWAL ($H_{initial}$) (TIMBUNAN TEGAK)

Tabel 38. Data Perencanaan untuk $q = 5,4 \text{ t/m}^2$

| | | |
|-------------------|----------|----------------|
| h timbunan | 3 | m |
| q | 5.4 | t/m^2 |
| γ timbunan | 1.8 | t/m^3 |
| fluktuasi air | 4.4 | t/m^2 |
| y | 3 | m |
| x | ∞ | m |

Tabel 39. Perhitungan *Settlement* Akibat Timbunan untuk $q = 5,4 \text{ t/m}^2$

| Kedalaman H (m) | Tebal lapisan (m) | akibat timbunan tegak | | | | | | | | | | | | | | | | | | | | |
|-------------------------|-------------------------|-----------------------|------------|------------|-------|-------|-------|----------|---------|-------|----------|-----------|---------------|---------------------------|------------|------------|----------------|--------|------------|---------------------------|-------|--------------|
| | | x (m) | y (m) | z (m) | e_0 | C_c | C_s | $m=x/z$ | $n=y/z$ | I | γ | γ' | $\gamma' * H$ | $\gamma' * H \text{ kum}$ | $\sigma'0$ | $\sigma'c$ | $\Delta\sigma$ | OCR | NC/OC soil | $\Delta\sigma + \sigma'0$ | S_c | ΣS_c |
| | | | | | | | | | | | t/m3 | t/m3 | t/m2 | t/m2 | t/m2 | t/m2 | t/m2 | | | t/m2 | (m) | (m) |
| 0 | 0 | 0 | 0 | 0 | 0 | 0 | 0 | 0 | 0 | 0 | 0 | 0 | 0 | 0 | 0 | 0 | 0 | - | 0 | 0 | 0 | |
| 1 | 1 | ∞ | 3 | 0.5 | 1.507 | 1.177 | 0.118 | ∞ | 6.00 | 0.25 | 1.637 | 0.637 | 0.637 | 0.637 | 0.318 | 4.718 | 5.4 | 14.823 | Ocsoil | 5.718311 | 0.094 | 0.094 |
| 2 | 1 | ∞ | 3 | 1.5 | 1.507 | 1.177 | 0.118 | ∞ | 2.00 | 0.24 | 1.637 | 0.637 | 0.637 | 1.273 | 0.955 | 5.355 | 5.184 | 5.608 | Ocsoil | 6.138932 | 0.063 | 0.157 |
| 3 | 1 | ∞ | 3 | 2.5 | 1.507 | 1.177 | 0.118 | ∞ | 1.20 | 0.225 | 1.637 | 0.637 | 0.637 | 1.910 | 1.592 | 5.992 | 4.86 | 3.765 | Ocsoil | 6.451553 | 0.042 | 0.199 |
| 4 | 1 | ∞ | 3 | 3.5 | 1.583 | 1.193 | 0.119 | ∞ | 0.86 | 0.205 | 1.630 | 0.630 | 0.630 | 2.540 | 2.225 | 6.625 | 4.428 | 2.977 | Ocsoil | 6.653081 | 0.023 | 0.222 |
| 5 | 1 | ∞ | 3 | 4.5 | 1.583 | 1.193 | 0.119 | ∞ | 0.67 | 0.179 | 1.630 | 0.630 | 0.630 | 3.171 | 2.856 | 7.256 | 3.8664 | 2.541 | Ocsoil | 6.721915 | 0.017 | 0.239 |
| 6 | 1 | ∞ | 3 | 5.5 | 1.583 | 1.193 | 0.119 | ∞ | 0.55 | 0.155 | 1.630 | 0.630 | 0.630 | 3.801 | 3.486 | 7.886 | 3.348 | 2.262 | Ocsoil | 6.83395 | 0.014 | 0.253 |
| 7 | 1 | ∞ | 3 | 6.5 | 1.382 | 1.171 | 0.117 | ∞ | 0.46 | 0.139 | 1.676 | 0.676 | 0.676 | 4.477 | 4.139 | 8.539 | 3.0024 | 2.063 | Ocsoil | 7.141386 | 0.012 | 0.264 |
| 8 | 1 | ∞ | 3 | 7.5 | 1.382 | 1.171 | 0.117 | ∞ | 0.40 | 0.123 | 1.676 | 0.676 | 0.676 | 5.152 | 4.815 | 9.215 | 2.6568 | 1.914 | Ocsoil | 7.471424 | 0.009 | 0.274 |
| 9 | 1 | ∞ | 3 | 8.5 | 1.382 | 1.171 | 0.117 | ∞ | 0.35 | 0.115 | 1.676 | 0.676 | 0.676 | 5.828 | 5.490 | 9.890 | 2.484 | 1.801 | Ocsoil | 7.974262 | 0.008 | 0.282 |
| 10 | 1 | ∞ | 3 | 9.5 | 1.300 | 1.171 | 0.117 | ∞ | 0.32 | 0.105 | 1.678 | 0.678 | 0.678 | 6.507 | 6.167 | 10.567 | 2.268 | 1.713 | Ocsoil | 8.435309 | 0.007 | 0.289 |

Tabel 40. $H_{initial}$ untuk $q = 5,4 \text{ t/m}^2$

| | | | |
|---------------|---|------|----------------|
| q | = | 0.99 | t/m^2 |
| $H_{initial}$ | = | 3.16 | m |

Tabel 41. Perhitungan *Settlement* Akibat Beban *Pavement* ($H_{initial}$ untuk $q = 5,4 \text{ t/m}^2$)

| Kedalaman H (m) | Tebal lapisan (m) | x (m) | y (m) | z (m) | e0 | Cc | Cs | m=x/z | n=y/z | I | akibat beban pavement | | | | | | | | | | | | |
|--------------------|----------------------|----------|----------|----------|-------|-------|-------|----------|-------|-------|-----------------------|------------------------------|-------------------------------|-----------------------------------|---|--------------------------------|--------------------------------|------------------------------------|--------|------------|---|-----------|--------------------|
| | | | | | | | | | | | q t/m ² | γ t/m ³ | γ' t/m ³ | $\gamma' * H$ t/m ² | $\gamma' * H_{kum}$ t/m ² | $\sigma'0$ t/m ² | $\sigma'c$ t/m ² | $\Delta\sigma$ t/m ² | OCR | NC/OC soil | $\Delta\sigma + \sigma'0$ t/m ² | Sc (m) | ΣSc (m) |
| 0 | 0 | 0 | 0 | 0 | 0 | 0 | 0 | 0 | 0 | 0 | 0 | 0 | 0 | 0 | 0 | 0 | 0 | - | 0 | 0 | 0 | | |
| 1 | 1 | ∞ | 3 | 3.660333 | 1.507 | 1.177 | 0.118 | ∞ | 0.82 | 0.195 | 0.99 | 1.637 | 0.637 | 0.637 | 0.318 | 4.718 | 0.7722 | 14.823 | Ocsoil | 1.090511 | 0.025 | 0.025 | |
| 2 | 1 | ∞ | 3 | 4.660333 | 1.507 | 1.177 | 0.118 | ∞ | 0.64 | 0.17 | 0.99 | 1.637 | 0.637 | 0.637 | 0.955 | 5.355 | 0.6732 | 5.608 | Ocsoil | 1.628132 | 0.011 | 0.036 | |
| 3 | 1 | ∞ | 3 | 5.660333 | 1.507 | 1.177 | 0.118 | ∞ | 0.53 | 0.152 | 0.99 | 1.637 | 0.637 | 0.637 | 1.910 | 1.592 | 5.992 | 0.60192 | 3.765 | Ocsoil | 2.193473 | 0.007 | 0.043 |
| 4 | 1 | ∞ | 3 | 6.660333 | 1.583 | 1.193 | 0.119 | ∞ | 0.45 | 0.138 | 0.99 | 1.630 | 0.630 | 0.630 | 2.540 | 2.225 | 6.625 | 0.54648 | 2.977 | Ocsoil | 2.771561 | 0.004 | 0.047 |
| 5 | 1 | ∞ | 3 | 7.660333 | 1.583 | 1.193 | 0.119 | ∞ | 0.39 | 0.12 | 0.99 | 1.630 | 0.630 | 0.630 | 3.171 | 2.856 | 7.256 | 0.4752 | 2.541 | Ocsoil | 3.330715 | 0.003 | 0.050 |
| 6 | 1 | ∞ | 3 | 8.660333 | 1.583 | 1.193 | 0.119 | ∞ | 0.35 | 0.11 | 0.99 | 1.630 | 0.630 | 0.630 | 3.801 | 3.486 | 7.886 | 0.4356 | 2.262 | Ocsoil | 3.92155 | 0.002 | 0.052 |
| 7 | 1 | ∞ | 3 | 9.660333 | 1.382 | 1.171 | 0.117 | ∞ | 0.31 | 0.102 | 0.99 | 1.676 | 0.676 | 0.676 | 4.477 | 4.139 | 8.539 | 0.40392 | 2.063 | Ocsoil | 4.542906 | 0.002 | 0.054 |
| 8 | 1 | ∞ | 3 | 10.66033 | 1.382 | 1.171 | 0.117 | ∞ | 0.28 | 0.089 | 0.99 | 1.676 | 0.676 | 0.676 | 5.152 | 4.815 | 9.215 | 0.35244 | 1.914 | Ocsoil | 5.167064 | 0.002 | 0.056 |
| 9 | 1 | ∞ | 3 | 11.66033 | 1.382 | 1.171 | 0.117 | ∞ | 0.26 | 0.085 | 0.99 | 1.676 | 0.676 | 0.676 | 5.828 | 5.490 | 9.890 | 0.3366 | 1.801 | Ocsoil | 5.826862 | 0.001 | 0.057 |
| 10 | 1 | ∞ | 3 | 12.66033 | 1.300 | 1.171 | 0.117 | ∞ | 0.24 | 0.081 | 0.99 | 1.678 | 0.678 | 0.678 | 6.507 | 6.167 | 10.567 | 0.32076 | 1.713 | Ocsoil | 6.488069 | 0.001 | 0.058 |

Tabel 42. Data Perencanaan untuk $q = 9 \text{ t/m}^2$

| | | |
|-------------------|----------|------------------|
| h timbunan | 5 | m |
| q | 9 | t/m ² |
| γ timbunan | 1.8 | t/m ³ |
| fluktuasi air | 4.4 | t/m ² |
| y | 3 | m |
| x | ∞ | m |

Tabel 43. Perhitungan *Settlement* Akibat Timbunan untuk $q = 9 \text{ t/m}^2$

| Kedalaman H (m) | Tebal lapisan (m) | akibat timbunan tegak | | | | | | | | | | | | | | OCR | NC/OC soil | $\Delta\sigma + \sigma'0$ t/m2 | Sc (m) | ΣSc (m) | |
|--------------------|----------------------|-----------------------|----------|----------|-------|-------|-------|----------|-------|-------|------------------|-------------------|-----------------------|---------------------------|--------------------|--------------------|------------------------|-----------------------------------|-----------|--------------------|-------|
| | | x (m) | y (m) | z (m) | e0 | Cc | Cs | m=x/z | n=y/z | I | γ t/m3 | γ' t/m3 | $\gamma' * H$ t/m2 | $\gamma' * H kum$ t/m2 | $\sigma'0$ t/m2 | $\sigma'c$ t/m2 | $\Delta\sigma$ t/m2 | | | | |
| 0 | 0 | 0 | 0 | 0 | 0 | 0 | 0 | 0 | 0 | 0 | 0 | 0 | 0 | 0 | 0 | 0 | - | 0 | 0 | 0 | |
| 1 | 1 | ∞ | 3 | 0.5 | 1.507 | 1.177 | 0.118 | ∞ | 6.00 | 0.25 | 1.637 | 0.637 | 0.637 | 0.637 | 0.318 | 4.718 | 9 | 14.823 | Ocsoil | 9.318311 | 0.194 |
| 2 | 1 | ∞ | 3 | 1.5 | 1.507 | 1.177 | 0.118 | ∞ | 2.00 | 0.24 | 1.637 | 0.637 | 0.637 | 1.273 | 0.955 | 5.355 | 8.64 | 5.608 | Ocsoil | 9.594932 | 0.154 |
| 3 | 1 | ∞ | 3 | 2.5 | 1.507 | 1.177 | 0.118 | ∞ | 1.20 | 0.225 | 1.637 | 0.637 | 0.637 | 1.910 | 1.592 | 5.992 | 8.1 | 3.765 | Ocsoil | 9.691553 | 0.125 |
| 4 | 1 | ∞ | 3 | 3.5 | 1.583 | 1.193 | 0.119 | ∞ | 0.86 | 0.205 | 1.630 | 0.630 | 0.630 | 2.540 | 2.225 | 6.625 | 7.38 | 2.977 | Ocsoil | 9.605081 | 0.096 |
| 5 | 1 | ∞ | 3 | 4.5 | 1.583 | 1.193 | 0.119 | ∞ | 0.67 | 0.179 | 1.630 | 0.630 | 0.630 | 3.171 | 2.856 | 7.256 | 6.444 | 2.541 | Ocsoil | 9.299515 | 0.068 |
| 6 | 1 | ∞ | 3 | 5.5 | 1.583 | 1.193 | 0.119 | ∞ | 0.55 | 0.155 | 1.630 | 0.630 | 0.630 | 3.801 | 3.486 | 7.886 | 5.58 | 2.262 | Ocsoil | 9.06595 | 0.044 |
| 7 | 1 | ∞ | 3 | 6.5 | 1.382 | 1.171 | 0.117 | ∞ | 0.46 | 0.139 | 1.676 | 0.676 | 0.676 | 4.477 | 4.139 | 8.539 | 5.004 | 2.063 | Ocsoil | 9.142986 | 0.030 |
| 8 | 1 | ∞ | 3 | 7.5 | 1.382 | 1.171 | 0.117 | ∞ | 0.40 | 0.123 | 1.676 | 0.676 | 0.676 | 5.152 | 4.815 | 9.215 | 4.428 | 1.914 | Ocsoil | 9.242624 | 0.015 |
| 9 | 1 | ∞ | 3 | 8.5 | 1.382 | 1.171 | 0.117 | ∞ | 0.35 | 0.115 | 1.676 | 0.676 | 0.676 | 5.828 | 5.490 | 9.890 | 4.14 | 1.801 | Ocsoil | 9.630262 | 0.012 |
| 10 | 1 | ∞ | 3 | 9.5 | 1.300 | 1.171 | 0.117 | ∞ | 0.32 | 0.105 | 1.678 | 0.678 | 0.678 | 6.507 | 6.167 | 10.567 | 3.78 | 1.713 | Ocsoil | 9.947309 | 0.011 |

Tabel 44. H_{initial} untuk $q = 9 \text{ t/m}^2$

| | | | |
|----------------------|---|------|------|
| q | = | 0.99 | t/m2 |
| H_{inisial} | = | 5.42 | m |

Tabel 45. Perhitungan *Settlement* Akibat Beban *Pavement* (H_{initial} untuk $q = 9 \text{ t/m}^2$)

| Kedalaman H (m) | Tebal lapisan (m) | akibat beban pavement | | | | | | | | | | | | | | OCR | NC/OC soil | $\Delta\sigma + \sigma'0$ t/m2 | Sc (m) | ΣSc (m) | | |
|--------------------|----------------------|-----------------------|----------|----------|-------|-------|-------|----------|-------|-------|-----------|------------------|-------------------|-----------------------|---------------------------|--------------------|--------------------|-----------------------------------|-----------|--------------------|----------|-------|
| | | x (m) | y (m) | z (m) | e0 | Cc | Cs | m=x/z | n=y/z | I | q t/m2 | γ t/m3 | γ' t/m3 | $\gamma' * H$ t/m2 | $\gamma' * H kum$ t/m2 | $\sigma'0$ t/m2 | $\sigma'c$ t/m2 | $\Delta\sigma$ t/m2 | | | | |
| 0 | 0 | 0 | 0 | 0 | 0 | 0 | 0 | 0 | 0 | 0 | 0 | 0 | 0 | 0 | 0 | 0 | 0 | 0 | 0 | 0 | | |
| 1 | 1 | ∞ | 3 | 5.916 | 1.507 | 1.177 | 0.118 | ∞ | 0.51 | 0.15 | 0.99 | 1.637 | 0.637 | 0.637 | 0.637 | 0.318 | 4.718 | 0.594 | 14.823 | Ocsoil | 0.912311 | 0.021 |
| 2 | 1 | ∞ | 3 | 6.916 | 1.507 | 1.177 | 0.118 | ∞ | 0.43 | 0.131 | 0.99 | 1.637 | 0.637 | 0.637 | 1.273 | 0.955 | 5.355 | 0.51876 | 5.608 | Ocsoil | 1.473692 | 0.009 |
| 3 | 1 | ∞ | 3 | 7.916 | 1.507 | 1.177 | 0.118 | ∞ | 0.38 | 0.12 | 0.99 | 1.637 | 0.637 | 0.637 | 1.910 | 1.592 | 5.992 | 0.4752 | 3.765 | Ocsoil | 2.066753 | 0.005 |
| 4 | 1 | ∞ | 3 | 8.916 | 1.583 | 1.193 | 0.119 | ∞ | 0.34 | 0.11 | 0.99 | 1.630 | 0.630 | 0.630 | 2.540 | 2.225 | 6.625 | 0.4356 | 2.977 | Ocsoil | 2.660681 | 0.004 |
| 5 | 1 | ∞ | 3 | 9.916 | 1.583 | 1.193 | 0.119 | ∞ | 0.30 | 0.099 | 0.99 | 1.630 | 0.630 | 0.630 | 3.171 | 2.856 | 7.256 | 0.39204 | 2.541 | Ocsoil | 3.247555 | 0.003 |
| 6 | 1 | ∞ | 3 | 10.916 | 1.583 | 1.193 | 0.119 | ∞ | 0.27 | 0.088 | 0.99 | 1.630 | 0.630 | 0.630 | 3.801 | 3.486 | 7.886 | 0.34848 | 2.262 | Ocsoil | 3.83443 | 0.002 |
| 7 | 1 | ∞ | 3 | 11.916 | 1.382 | 1.171 | 0.117 | ∞ | 0.25 | 0.085 | 0.99 | 1.676 | 0.676 | 0.676 | 4.477 | 4.139 | 8.539 | 0.3366 | 2.063 | Ocsoil | 4.475586 | 0.002 |
| 8 | 1 | ∞ | 3 | 12.916 | 1.382 | 1.171 | 0.117 | ∞ | 0.23 | 0.08 | 0.99 | 1.676 | 0.676 | 0.676 | 5.152 | 4.815 | 9.215 | 0.3168 | 1.914 | Ocsoil | 5.131424 | 0.001 |
| 9 | 1 | ∞ | 3 | 13.916 | 1.382 | 1.171 | 0.117 | ∞ | 0.22 | 0.079 | 0.99 | 1.676 | 0.676 | 0.676 | 5.828 | 5.490 | 9.890 | 0.31284 | 1.801 | Ocsoil | 5.803102 | 0.001 |
| 10 | 1 | ∞ | 3 | 14.916 | 1.300 | 1.171 | 0.117 | ∞ | 0.20 | 0.069 | 0.99 | 1.678 | 0.678 | 0.678 | 6.507 | 6.167 | 10.567 | 0.27324 | 1.713 | Ocsoil | 6.440549 | 0.001 |

Tabel 46. Data Perencanaan untuk $q = 12.6 \text{ t/m}^2$

| | | |
|-------------------|-------------|------------------------|
| h timbunan | 7 | m |
| q | 12.6 | t/m² |
| γ timbunan | 1.8 | t/m ³ |
| fluktuasi air | 4.4 | t/m ² |
| γ | 3 | m |
| x | ∞ | m |

Tabel 47. Perhitungan *Settlement* Akibat Timbunan untuk $q = 12.6 \text{ t/m}^2$

| Kedalaman H (m) | Tebal lapisan (m) | akibat timbunan tegak | | | | | | | | | | | | | | | | | | | | |
|--------------------|----------------------|-----------------------|----------|----------|-------|-------|-------|----------|-------|-------|------------------|------------------|------------------|---------------------------|------------------|------------------|------------------|--------|-----------|---------------------------|-------|-------------|
| | | x (m) | y (m) | z (m) | e0 | Cc | Cs | m=x/z | n=y/z | I | γ | γ' | $\gamma' * H$ | $\gamma' * H \text{ kum}$ | $\sigma'0$ | $\sigma'c$ | $\Delta\sigma$ | OCR | NC/OC soi | $\Delta\sigma + \sigma'0$ | Sc | ΣSc |
| | | | | | | | | | | | t/m ³ | t/m ³ | t/m ² | t/m ² | t/m ² | t/m ² | t/m ² | | | t/m ² | (m) | (m) |
| 0 | 0 | 0 | 0 | 0 | 0 | 0 | 0 | 0 | 0 | 0 | 0 | 0 | 0 | 0 | 0 | 0 | 0 | - | 0 | 0 | 0 | |
| 1 | 1 | ∞ | 3 | 0.5 | 1.507 | 1.177 | 0.118 | ∞ | 6.00 | 0.25 | 1.637 | 0.637 | 0.637 | 0.637 | 0.318 | 4.718 | 12.6 | 14.823 | Ocsoil | 12.91831 | 0.260 | 0.260 |
| 2 | 1 | ∞ | 3 | 1.5 | 1.507 | 1.177 | 0.118 | ∞ | 2.00 | 0.24 | 1.637 | 0.637 | 0.637 | 1.273 | 0.955 | 5.355 | 12.096 | 5.608 | Ocsoil | 13.05093 | 0.217 | 0.477 |
| 3 | 1 | ∞ | 3 | 2.5 | 1.507 | 1.177 | 0.118 | ∞ | 1.20 | 0.225 | 1.637 | 0.637 | 0.637 | 1.910 | 1.592 | 5.992 | 11.34 | 3.765 | Ocsoil | 12.93155 | 0.184 | 0.661 |
| 4 | 1 | ∞ | 3 | 3.5 | 1.583 | 1.193 | 0.119 | ∞ | 0.86 | 0.205 | 1.630 | 0.630 | 0.630 | 2.540 | 2.225 | 6.625 | 10.332 | 2.977 | Ocsoil | 12.55708 | 0.150 | 0.811 |
| 5 | 1 | ∞ | 3 | 4.5 | 1.583 | 1.193 | 0.119 | ∞ | 0.67 | 0.179 | 1.630 | 0.630 | 0.630 | 3.171 | 2.856 | 7.256 | 9.0216 | 2.541 | Ocsoil | 11.87712 | 0.118 | 0.929 |
| 6 | 1 | ∞ | 3 | 5.5 | 1.583 | 1.193 | 0.119 | ∞ | 0.55 | 0.155 | 1.630 | 0.630 | 0.630 | 3.801 | 3.486 | 7.886 | 7.812 | 2.262 | Ocsoil | 11.29795 | 0.088 | 1.017 |
| 7 | 1 | ∞ | 3 | 6.5 | 1.382 | 1.171 | 0.117 | ∞ | 0.46 | 0.139 | 1.676 | 0.676 | 0.676 | 4.477 | 4.139 | 8.539 | 7.0056 | 2.063 | Ocsoil | 11.14459 | 0.072 | 1.089 |
| 8 | 1 | ∞ | 3 | 7.5 | 1.382 | 1.171 | 0.117 | ∞ | 0.40 | 0.123 | 1.676 | 0.676 | 0.676 | 5.152 | 4.815 | 9.215 | 6.1992 | 1.914 | Ocsoil | 11.01382 | 0.052 | 1.141 |
| 9 | 1 | ∞ | 3 | 8.5 | 1.382 | 1.171 | 0.117 | ∞ | 0.35 | 0.115 | 1.676 | 0.676 | 0.676 | 5.828 | 5.490 | 9.890 | 5.796 | 1.801 | Ocsoil | 11.28626 | 0.041 | 1.182 |
| 10 | 1 | ∞ | 3 | 9.5 | 1.300 | 1.171 | 0.117 | ∞ | 0.32 | 0.105 | 1.678 | 0.678 | 0.678 | 6.507 | 6.167 | 10.567 | 5.292 | 1.713 | Ocsoil | 11.45931 | 0.030 | 1.212 |

Tabel 48. H_{initial} untuk $q = 12.6 \text{ t/m}^2$

| | | | |
|------------------|---|-------------|------------------------|
| q | = | 0.99 | t/m² |
| H inisial | = | 7.67 | m |

Tabel 49. Perhitungan Settlement Akibat Beban Pavement ($H_{initial}$ untuk $q = 12.6 \text{ t/m}^2$)

| Kedalaman H (m) | Tebal lapisan (m) | akibat beban pavement | | | | | | | | | | | | | | | | | | | | | |
|--------------------|----------------------|-----------------------|----------|----------|-------|-------|-------|----------|-------|-------|-----------|----------|-----------|---------------|---------------------|------------|------------|----------------|--------|-----------|---------------------------|-------|-------------|
| | | x (m) | y (m) | z (m) | e0 | Cc | Cs | m=x/z | n=y/z | I | q t/m2 | γ | γ' | $\gamma' * H$ | $\gamma' * H_{kum}$ | $\sigma'0$ | $\sigma'c$ | $\Delta\sigma$ | OCR | NC/OC soi | $\Delta\sigma + \sigma'0$ | Sc | ΣSc |
| | | 0 | 0 | 0 | 0 | 0 | 0 | 0 | 0 | 0 | 0 | 0 | 0 | 0 | 0 | 0 | 0 | - | 0 | 0 | 0 | | |
| 1 | 1 | ∞ | 3 | 8.173334 | 1.507 | 1.177 | 0.118 | ∞ | 0.37 | 0.118 | 0.99 | 1.637 | 0.637 | 0.637 | 0.318 | 4.718 | 0.46728 | 14.823 | Ocsoil | 0.785591 | 0.018 | 0.018 | |
| 2 | 1 | ∞ | 3 | 9.173334 | 1.507 | 1.177 | 0.118 | ∞ | 0.33 | 0.11 | 0.99 | 1.637 | 0.637 | 0.637 | 1.273 | 0.955 | 5.355 | 0.4356 | 5.608 | Ocsoil | 1.390532 | 0.008 | 0.026 |
| 3 | 1 | ∞ | 3 | 10.17333 | 1.507 | 1.177 | 0.118 | ∞ | 0.29 | 0.09 | 0.99 | 1.637 | 0.637 | 0.637 | 1.910 | 1.592 | 5.992 | 0.3564 | 3.765 | Ocsoil | 1.947953 | 0.004 | 0.030 |
| 4 | 1 | ∞ | 3 | 11.17333 | 1.583 | 1.193 | 0.119 | ∞ | 0.27 | 0.087 | 0.99 | 1.630 | 0.630 | 0.630 | 2.540 | 2.225 | 6.625 | 0.34452 | 2.977 | Ocsoil | 2.569601 | 0.003 | 0.033 |
| 5 | 1 | ∞ | 3 | 12.17333 | 1.583 | 1.193 | 0.119 | ∞ | 0.25 | 0.083 | 0.99 | 1.630 | 0.630 | 0.630 | 3.171 | 2.856 | 7.256 | 0.32868 | 2.541 | Ocsoil | 3.184195 | 0.002 | 0.035 |
| 6 | 1 | ∞ | 3 | 13.17333 | 1.583 | 1.193 | 0.119 | ∞ | 0.23 | 0.08 | 0.99 | 1.630 | 0.630 | 0.630 | 3.801 | 3.486 | 7.886 | 0.3168 | 2.262 | Ocsoil | 3.80275 | 0.002 | 0.037 |
| 7 | 1 | ∞ | 3 | 14.17333 | 1.382 | 1.171 | 0.117 | ∞ | 0.21 | 0.072 | 0.99 | 1.676 | 0.676 | 0.676 | 4.477 | 4.139 | 8.539 | 0.28512 | 2.063 | Ocsoil | 4.424106 | 0.001 | 0.038 |
| 8 | 1 | ∞ | 3 | 15.17333 | 1.382 | 1.171 | 0.117 | ∞ | 0.20 | 0.069 | 0.99 | 1.676 | 0.676 | 0.676 | 5.152 | 4.815 | 9.215 | 0.27324 | 1.914 | Ocsoil | 5.087864 | 0.001 | 0.040 |
| 9 | 1 | ∞ | 3 | 16.17333 | 1.382 | 1.171 | 0.117 | ∞ | 0.19 | 0.065 | 0.99 | 1.676 | 0.676 | 0.676 | 5.828 | 5.490 | 9.890 | 0.2574 | 1.801 | Ocsoil | 5.747662 | 0.001 | 0.041 |
| 10 | 1 | ∞ | 3 | 17.17333 | 1.300 | 1.171 | 0.117 | ∞ | 0.17 | 0.052 | 0.99 | 1.678 | 0.678 | 0.678 | 6.507 | 6.167 | 10.567 | 0.20592 | 1.713 | Ocsoil | 6.373229 | 0.001 | 0.041 |

Tabel 50. Data Perencanaan untuk $q = 16.2 \text{ t/m}^2$

| | | |
|-------------------|----------|------|
| h timbunan | 9 | m |
| q | 16.2 | t/m2 |
| γ timbunan | 1.8 | t/m3 |
| fluktuasi air | 4.4 | t/m2 |
| y | 3 | m |
| x | ∞ | m |

Tabel 51. Perhitungan Settlement Akibat Timbunan untuk $q = 16.2 \text{ t/m}^2$

| Kedalaman H (m) | Tebal lapisan (m) | akibat timbunan tegak | | | | | | | | | | | | | | | | | | | | |
|--------------------|----------------------|-----------------------|----------|----------|-------|-------|-------|----------|-------|-------|----------|-----------|---------------|---------------------|------------|------------|----------------|--------|-----------|---------------------------|-------|-------------|
| | | x (m) | y (m) | z (m) | e0 | Cc | Cs | m=x/z | n=y/z | I | γ | γ' | $\gamma' * H$ | $\gamma' * H_{kum}$ | $\sigma'0$ | $\sigma'c$ | $\Delta\sigma$ | OCR | NC/OC soi | $\Delta\sigma + \sigma'0$ | Sc | ΣSc |
| | | 0 | 0 | 0 | 0 | 0 | 0 | 0 | 0 | 0 | 0 | 0 | 0 | 0 | 0 | 0 | 0 | - | 0 | 0 | 0 | |
| 1 | 1 | ∞ | 3 | 0.5 | 1.507 | 1.177 | 0.118 | ∞ | 6.00 | 0.25 | 1.637 | 0.637 | 0.637 | 0.637 | 0.318 | 4.718 | 16.2 | 14.823 | Ocsoil | 16.51831 | 0.310 | 0.310 |
| 2 | 1 | ∞ | 3 | 1.5 | 1.507 | 1.177 | 0.118 | ∞ | 2.00 | 0.24 | 1.637 | 0.637 | 0.637 | 1.273 | 0.955 | 5.355 | 15.552 | 5.608 | Ocsoil | 16.50693 | 0.265 | 0.575 |
| 3 | 1 | ∞ | 3 | 2.5 | 1.507 | 1.177 | 0.118 | ∞ | 1.20 | 0.225 | 1.637 | 0.637 | 0.637 | 1.910 | 1.592 | 5.992 | 14.58 | 3.765 | Ocsoil | 16.17155 | 0.229 | 0.805 |
| 4 | 1 | ∞ | 3 | 3.5 | 1.583 | 1.193 | 0.119 | ∞ | 0.86 | 0.205 | 1.630 | 0.630 | 0.630 | 2.540 | 2.225 | 6.625 | 13.284 | 2.977 | Ocsoil | 15.50908 | 0.193 | 0.997 |
| 5 | 1 | ∞ | 3 | 4.5 | 1.583 | 1.193 | 0.119 | ∞ | 0.67 | 0.179 | 1.630 | 0.630 | 0.630 | 3.171 | 2.856 | 7.256 | 11.5992 | 2.541 | Ocsoil | 14.45472 | 0.157 | 1.154 |
| 6 | 1 | ∞ | 3 | 5.5 | 1.583 | 1.193 | 0.119 | ∞ | 0.55 | 0.155 | 1.630 | 0.630 | 0.630 | 3.801 | 3.486 | 7.886 | 10.044 | 2.262 | Ocsoil | 13.52995 | 0.125 | 1.279 |
| 7 | 1 | ∞ | 3 | 6.5 | 1.382 | 1.171 | 0.117 | ∞ | 0.46 | 0.139 | 1.676 | 0.676 | 0.676 | 4.477 | 4.139 | 8.539 | 9.0072 | 2.063 | Ocsoil | 13.14619 | 0.108 | 1.386 |
| 8 | 1 | ∞ | 3 | 7.5 | 1.382 | 1.171 | 0.117 | ∞ | 0.40 | 0.123 | 1.676 | 0.676 | 0.676 | 5.152 | 4.815 | 9.215 | 7.9704 | 1.914 | Ocsoil | 12.78502 | 0.084 | 1.470 |
| 9 | 1 | ∞ | 3 | 8.5 | 1.382 | 1.171 | 0.117 | ∞ | 0.35 | 0.115 | 1.676 | 0.676 | 0.676 | 5.828 | 5.490 | 9.890 | 7.452 | 1.801 | Ocsoil | 12.94226 | 0.070 | 1.540 |
| 10 | 1 | ∞ | 3 | 9.5 | 1.300 | 1.171 | 0.117 | ∞ | 0.32 | 0.105 | 1.678 | 0.678 | 0.678 | 6.507 | 6.167 | 10.567 | 6.804 | 1.713 | Ocsoil | 12.97131 | 0.057 | 1.597 |

Tabel 52. H_{initial} untuk $q = 16.2 \text{ t/m}^2$

| q | = | 0.99 | t/m^2 |
|----------------------|---|------|----------------|
| H_{inisial} | = | 9.89 | m |

Tabel 53. Perhitungan Settlement Akibat Beban Pavement (H_{initial} untuk $q = 16.2 \text{ t/m}^2$)

| Kedalaman H (m) | Tebal lapisan (m) | akibat beban pavement | | | | | | | | | | | | | | | | | | | | | |
|--------------------|----------------------|-----------------------|----------|----------|-------|-------|-------|----------|---------|-------|---------------|---------------|---------------|---------------|---------------------------|---------------|---------------|----------------|---------------|---------------|---------------------------|---------------|-------------|
| | | x (m) | y (m) | z (m) | e_0 | Cc | Cs | $m=x/z$ | $n=y/z$ | I | q | γ | γ' | $\gamma' * H$ | $\gamma' * H \text{ kum}$ | $\sigma'0$ | $\sigma'c$ | $\Delta\sigma$ | OCR | NC/OC soi | $\Delta\sigma + \sigma'0$ | Sc | ΣSc |
| | | | | | | | | | | | $t/\text{m}2$ | $t/\text{m}3$ | $t/\text{m}3$ | $t/\text{m}2$ | $t/\text{m}2$ | $t/\text{m}2$ | $t/\text{m}2$ | $t/\text{m}2$ | $t/\text{m}2$ | $t/\text{m}2$ | $t/\text{m}2$ | $t/\text{m}2$ | |
| 0 | 0 | 0 | 0 | 0 | 0 | 0 | 0 | 0 | 0 | 0 | 0 | 0 | 0 | 0 | 0 | 0 | 0 | 0 | - | 0 | 0 | 0 | |
| 1 | 1 | ∞ | 3 | 10.38736 | 1.507 | 1.177 | 0.118 | ∞ | 0.29 | 0.091 | 0.99 | 1.637 | 0.637 | 0.637 | 0.637 | 0.318 | 4.718 | 0.36036 | 14.823 | Ocsoil | 0.678671 | 0.015 | 0.015 |
| 2 | 1 | ∞ | 3 | 11.38736 | 1.507 | 1.177 | 0.118 | ∞ | 0.26 | 0.082 | 0.99 | 1.637 | 0.637 | 0.637 | 1.273 | 0.955 | 5.355 | 0.32472 | 5.608 | Ocsoil | 1.279652 | 0.006 | 0.021 |
| 3 | 1 | ∞ | 3 | 12.38736 | 1.507 | 1.177 | 0.118 | ∞ | 0.24 | 0.08 | 0.99 | 1.637 | 0.637 | 0.637 | 1.910 | 1.592 | 5.992 | 0.3168 | 3.765 | Ocsoil | 1.908353 | 0.004 | 0.025 |
| 4 | 1 | ∞ | 3 | 13.38736 | 1.583 | 1.193 | 0.119 | ∞ | 0.22 | 0.078 | 0.99 | 1.630 | 0.630 | 0.630 | 2.540 | 2.225 | 6.625 | 0.30888 | 2.977 | Ocsoil | 2.533961 | 0.003 | 0.028 |
| 5 | 1 | ∞ | 3 | 14.38736 | 1.583 | 1.193 | 0.119 | ∞ | 0.21 | 0.075 | 0.99 | 1.630 | 0.630 | 0.630 | 3.171 | 2.856 | 7.256 | 0.297 | 2.541 | Ocsoil | 3.152515 | 0.002 | 0.030 |
| 6 | 1 | ∞ | 3 | 15.38736 | 1.583 | 1.193 | 0.119 | ∞ | 0.19 | 0.066 | 0.99 | 1.630 | 0.630 | 0.630 | 3.801 | 3.486 | 7.886 | 0.26136 | 2.262 | Ocsoil | 3.74731 | 0.001 | 0.031 |
| 7 | 1 | ∞ | 3 | 16.38736 | 1.382 | 1.171 | 0.117 | ∞ | 0.18 | 0.06 | 0.99 | 1.676 | 0.676 | 0.676 | 4.477 | 4.139 | 8.539 | 0.2376 | 2.063 | Ocsoil | 4.376586 | 0.001 | 0.032 |
| 8 | 1 | ∞ | 3 | 17.38736 | 1.382 | 1.171 | 0.117 | ∞ | 0.17 | 0.057 | 0.99 | 1.676 | 0.676 | 0.676 | 5.152 | 4.815 | 9.215 | 0.22572 | 1.914 | Ocsoil | 5.040344 | 0.001 | 0.033 |
| 9 | 1 | ∞ | 3 | 18.38736 | 1.382 | 1.171 | 0.117 | ∞ | 0.16 | 0.052 | 0.99 | 1.676 | 0.676 | 0.676 | 5.828 | 5.490 | 9.890 | 0.20592 | 1.801 | Ocsoil | 5.696182 | 0.001 | 0.034 |
| 10 | 1 | ∞ | 3 | 19.38736 | 1.300 | 1.171 | 0.117 | ∞ | 0.15 | 0.05 | 0.99 | 1.678 | 0.678 | 0.678 | 6.507 | 6.167 | 10.567 | 0.198 | 1.713 | Ocsoil | 6.365309 | 0.001 | 0.035 |

Tabel 54. Data Perencanaan untuk $q = 19.8 \text{ t/m}^2$

| | | |
|-------------------|----------|---------------|
| h timbunan | 11 | m |
| q | 19.8 | $t/\text{m}2$ |
| γ timbunan | 1.8 | $t/\text{m}3$ |
| fluktuasi air | 4.4 | $t/\text{m}2$ |
| γ | 3 | m |
| x | ∞ | m |

Tabel 55. Perhitungan Settlement Akibat Timbunan untuk $q = 19.8 \text{ t/m}^2$

| Kedalaman H (m) | Tebal lapisan (m) | akibat timbunan tegak | | | | | | | | | | | | | | | | | | | | |
|--------------------|----------------------|-----------------------|----------|----------|-------|-------|-------|----------|-------|-------|----------|-----------|---------------|---------------------|------------|------------|----------------|--------|-----------|---------------------------|-------|-------------|
| | | x (m) | y (m) | z (m) | e0 | Cc | Cs | m=x/z | n=y/z | I | γ | γ' | $\gamma' * H$ | $\gamma' * H_{kum}$ | $\sigma'0$ | $\sigma'c$ | $\Delta\sigma$ | OCR | NC/OC soi | $\Delta\sigma + \sigma'0$ | Sc | ΣSc |
| | | (m) | (m) | (m) | | | | | | | t/m3 | t/m3 | t/m2 | t/m2 | t/m2 | t/m2 | t/m2 | | | t/m2 | (m) | (m) |
| 0 | 0 | 0 | 0 | 0 | 0 | 0 | 0 | 0 | 0 | 0 | 0 | 0 | 0 | 0 | 0 | 0 | 0 | - | 0 | 0 | 0 | |
| 1 | 1 | ∞ | 3 | 0.5 | 1.507 | 1.177 | 0.118 | ∞ | 6.00 | 0.25 | 1.637 | 0.637 | 0.637 | 0.637 | 0.318 | 4.718 | 19.8 | 14.823 | Ocsoil | 20.11831 | 0.351 | 0.351 |
| 2 | 1 | ∞ | 3 | 1.5 | 1.507 | 1.177 | 0.118 | ∞ | 2.00 | 0.24 | 1.637 | 0.637 | 0.637 | 1.273 | 0.955 | 5.355 | 19.008 | 5.608 | Ocsoil | 19.96293 | 0.303 | 0.654 |
| 3 | 1 | ∞ | 3 | 2.5 | 1.507 | 1.177 | 0.118 | ∞ | 1.20 | 0.225 | 1.637 | 0.637 | 0.637 | 1.910 | 1.592 | 5.992 | 17.82 | 3.765 | Ocsoil | 19.41155 | 0.267 | 0.921 |
| 4 | 1 | ∞ | 3 | 3.5 | 1.583 | 1.193 | 0.119 | ∞ | 0.86 | 0.205 | 1.630 | 0.630 | 0.630 | 2.540 | 2.225 | 6.625 | 16.236 | 2.977 | Ocsoil | 18.46108 | 0.227 | 1.148 |
| 5 | 1 | ∞ | 3 | 4.5 | 1.583 | 1.193 | 0.119 | ∞ | 0.67 | 0.179 | 1.630 | 0.630 | 0.630 | 3.171 | 2.856 | 7.256 | 14.1768 | 2.541 | Ocsoil | 17.03232 | 0.190 | 1.338 |
| 6 | 1 | ∞ | 3 | 5.5 | 1.583 | 1.193 | 0.119 | ∞ | 0.55 | 0.155 | 1.630 | 0.630 | 0.630 | 3.801 | 3.486 | 7.886 | 12.276 | 2.262 | Ocsoil | 15.76195 | 0.155 | 1.493 |
| 7 | 1 | ∞ | 3 | 6.5 | 1.382 | 1.171 | 0.117 | ∞ | 0.46 | 0.139 | 1.676 | 0.676 | 0.676 | 4.477 | 4.139 | 8.539 | 11.0088 | 2.063 | Ocsoil | 15.14779 | 0.138 | 1.631 |
| 8 | 1 | ∞ | 3 | 7.5 | 1.382 | 1.171 | 0.117 | ∞ | 0.40 | 0.123 | 1.676 | 0.676 | 0.676 | 5.152 | 4.815 | 9.215 | 9.7416 | 1.914 | Ocsoil | 14.55622 | 0.111 | 1.743 |
| 9 | 1 | ∞ | 3 | 8.5 | 1.382 | 1.171 | 0.117 | ∞ | 0.35 | 0.115 | 1.676 | 0.676 | 0.676 | 5.828 | 5.490 | 9.890 | 9.108 | 1.801 | Ocsoil | 14.59826 | 0.096 | 1.838 |
| 10 | 1 | ∞ | 3 | 9.5 | 1.300 | 1.171 | 0.117 | ∞ | 0.32 | 0.105 | 1.678 | 0.678 | 0.678 | 6.507 | 6.167 | 10.567 | 8.316 | 1.713 | Ocsoil | 14.48331 | 0.082 | 1.920 |

Tabel 56. $H_{initial}$ untuk $q = 19.8 \text{ t/m}^2$

| | | | |
|-----------|---|-------|------|
| q | = | 0.99 | t/m2 |
| H inisial | = | 12.07 | m |

Tabel 57. Perhitungan Settlement Akibat Beban Pavement ($H_{initial}$ untuk $q = 19.8 \text{ t/m}^2$)

| Kedalaman H (m) | Tebal lapisan (m) | akibat beban pavement | | | | | | | | | | | | | | | | | | | | | |
|--------------------|----------------------|-----------------------|----------|----------|-------|-------|-------|----------|-------|-------|------|----------|-----------|---------------|---------------------|------------|------------|----------------|--------|-----------|---------------------------|-------|-------------|
| | | x (m) | y (m) | z (m) | e0 | Cc | Cs | m=x/z | n=y/z | I | q | γ | γ' | $\gamma' * H$ | $\gamma' * H_{kum}$ | $\sigma'0$ | $\sigma'c$ | $\Delta\sigma$ | OCR | NC/OC soi | $\Delta\sigma + \sigma'0$ | Sc | ΣSc |
| | | (m) | (m) | (m) | | | | | | | t/m2 | t/m3 | t/m3 | t/m2 | t/m2 | t/m2 | t/m2 | t/m2 | | | t/m2 | (m) | (m) |
| 0 | 0 | 0 | 0 | 0 | 0 | 0 | 0 | 0 | 0 | 0 | 0 | 0 | 0 | 0 | 0 | 0 | 0 | - | 0 | 0 | 0 | | |
| 1 | 1 | ∞ | 3 | 12.56664 | 1.507 | 1.177 | 0.118 | ∞ | 0.24 | 0.08 | 0.99 | 1.637 | 0.637 | 0.637 | 0.637 | 0.318 | 4.718 | 0.3168 | 14.823 | Ocsoil | 0.635111 | 0.014 | 0.014 |
| 2 | 1 | ∞ | 3 | 13.56664 | 1.507 | 1.177 | 0.118 | ∞ | 0.22 | 0.078 | 0.99 | 1.637 | 0.637 | 0.637 | 1.273 | 0.955 | 5.355 | 0.30888 | 5.608 | Ocsoil | 1.263812 | 0.006 | 0.020 |
| 3 | 1 | ∞ | 3 | 14.56664 | 1.507 | 1.177 | 0.118 | ∞ | 0.21 | 0.075 | 0.99 | 1.637 | 0.637 | 0.637 | 1.910 | 1.592 | 5.992 | 0.297 | 3.765 | Ocsoil | 1.888553 | 0.003 | 0.023 |
| 4 | 1 | ∞ | 3 | 15.56664 | 1.583 | 1.193 | 0.119 | ∞ | 0.19 | 0.066 | 0.99 | 1.630 | 0.630 | 0.630 | 2.540 | 2.225 | 6.625 | 0.26136 | 2.977 | Ocsoil | 2.486441 | 0.002 | 0.026 |
| 5 | 1 | ∞ | 3 | 16.56664 | 1.583 | 1.193 | 0.119 | ∞ | 0.18 | 0.06 | 0.99 | 1.630 | 0.630 | 0.630 | 3.171 | 2.856 | 7.256 | 0.2376 | 2.541 | Ocsoil | 3.093115 | 0.002 | 0.027 |
| 6 | 1 | ∞ | 3 | 17.56664 | 1.583 | 1.193 | 0.119 | ∞ | 0.17 | 0.057 | 0.99 | 1.630 | 0.630 | 0.630 | 3.801 | 3.486 | 7.886 | 0.22572 | 2.262 | Ocsoil | 3.71167 | 0.001 | 0.028 |
| 7 | 1 | ∞ | 3 | 18.56664 | 1.382 | 1.171 | 0.117 | ∞ | 0.16 | 0.052 | 0.99 | 1.676 | 0.676 | 0.676 | 4.477 | 4.139 | 8.539 | 0.20592 | 2.063 | Ocsoil | 4.344906 | 0.001 | 0.029 |
| 8 | 1 | ∞ | 3 | 19.56664 | 1.382 | 1.171 | 0.117 | ∞ | 0.15 | 0.05 | 0.99 | 1.676 | 0.676 | 0.676 | 5.152 | 4.815 | 9.215 | 0.198 | 1.914 | Ocsoil | 5.012624 | 0.001 | 0.030 |
| 9 | 1 | ∞ | 3 | 20.56664 | 1.382 | 1.171 | 0.117 | ∞ | 0.15 | 0.05 | 0.99 | 1.676 | 0.676 | 0.676 | 5.828 | 5.490 | 9.890 | 0.198 | 1.801 | Ocsoil | 5.688262 | 0.001 | 0.031 |
| 10 | 1 | ∞ | 3 | 21.56664 | 1.300 | 1.171 | 0.117 | ∞ | 0.14 | 0.042 | 0.99 | 1.678 | 0.678 | 0.678 | 6.507 | 6.167 | 10.567 | 0.16632 | 1.713 | Ocsoil | 6.333629 | 0.001 | 0.032 |

Tabel 58. Data Perencanaan untuk $q = 23.4 \text{ t/m}^2$

| | | |
|-------------------|----------|----------------|
| h timbunan | 13 | m |
| q | 23.4 | t/m^2 |
| γ timbunan | 1.8 | t/m^3 |
| fluktuasi air | 4.4 | t/m^2 |
| y | 3 | m |
| x | ∞ | m |

Tabel 59. Perhitungan Settlement Akibat Timbunan untuk $q = 23.4 \text{ t/m}^2$

| Kedalaman H (m) | Tebal lapisan (m) | akibat timbunan tegak | | | | | | | | | | | | | | | | | | | | |
|--------------------|----------------------|-----------------------|----------|----------|-------|-------|-------|----------|---------|-------|----------|-----------|---------------|---------------------------|------------|------------|----------------|--------|-----------|---------------------------|-------|--------------|
| | | x (m) | y (m) | z (m) | e_0 | Cc | Cs | $m=x/z$ | $n=y/z$ | l | γ | γ' | $\gamma' * H$ | $\gamma' * H \text{ kum}$ | $\sigma'0$ | $\sigma'c$ | $\Delta\sigma$ | OCR | NC/OC soi | $\Delta\sigma + \sigma'0$ | S_c | ΣS_c |
| | | | | | | | | | | | t/m3 | t/m3 | t/m2 | t/m2 | t/m2 | t/m2 | t/m2 | | | t/m2 | (m) | (m) |
| 0 | 0 | 0 | 0 | 0 | 0 | 0 | 0 | 0 | 0 | 0 | 0 | 0 | 0 | 0 | 0 | 0 | 0 | - | 0 | 0 | 0 | |
| 1 | 1 | ∞ | 3 | 0.5 | 1.507 | 1.177 | 0.118 | ∞ | 6.00 | 0.25 | 1.637 | 0.637 | 0.637 | 0.637 | 0.318 | 4.718 | 23.4 | 14.823 | Ocsoil | 23.71831 | 0.384 | 0.384 |
| 2 | 1 | ∞ | 3 | 1.5 | 1.507 | 1.177 | 0.118 | ∞ | 2.00 | 0.24 | 1.637 | 0.637 | 0.637 | 1.273 | 0.955 | 5.355 | 22.464 | 5.608 | Ocsoil | 23.41893 | 0.336 | 0.720 |
| 3 | 1 | ∞ | 3 | 2.5 | 1.507 | 1.177 | 0.118 | ∞ | 1.20 | 0.225 | 1.637 | 0.637 | 0.637 | 1.910 | 1.592 | 5.992 | 21.06 | 3.765 | Ocsoil | 22.65155 | 0.298 | 1.018 |
| 4 | 1 | ∞ | 3 | 3.5 | 1.583 | 1.193 | 0.119 | ∞ | 0.86 | 0.205 | 1.630 | 0.630 | 0.630 | 2.540 | 2.225 | 6.625 | 19.188 | 2.977 | Ocsoil | 21.41308 | 0.257 | 1.276 |
| 5 | 1 | ∞ | 3 | 4.5 | 1.583 | 1.193 | 0.119 | ∞ | 0.67 | 0.179 | 1.630 | 0.630 | 0.630 | 3.171 | 2.856 | 7.256 | 16.7544 | 2.541 | Ocsoil | 19.60992 | 0.218 | 1.494 |
| 6 | 1 | ∞ | 3 | 5.5 | 1.583 | 1.193 | 0.119 | ∞ | 0.55 | 0.155 | 1.630 | 0.630 | 0.630 | 3.801 | 3.486 | 7.886 | 14.508 | 2.262 | Ocsoil | 17.99395 | 0.182 | 1.676 |
| 7 | 1 | ∞ | 3 | 6.5 | 1.382 | 1.171 | 0.117 | ∞ | 0.46 | 0.139 | 1.676 | 0.676 | 0.676 | 4.477 | 4.139 | 8.539 | 13.0104 | 2.063 | Ocsoil | 17.14939 | 0.164 | 1.840 |
| 8 | 1 | ∞ | 3 | 7.5 | 1.382 | 1.171 | 0.117 | ∞ | 0.40 | 0.123 | 1.676 | 0.676 | 0.676 | 5.152 | 4.815 | 9.215 | 11.5128 | 1.914 | Ocsoil | 16.32742 | 0.136 | 1.976 |
| 9 | 1 | ∞ | 3 | 8.5 | 1.382 | 1.171 | 0.117 | ∞ | 0.35 | 0.115 | 1.676 | 0.676 | 0.676 | 5.828 | 5.490 | 9.890 | 10.764 | 1.801 | Ocsoil | 16.25426 | 0.119 | 2.094 |
| 10 | 1 | ∞ | 3 | 9.5 | 1.300 | 1.171 | 0.117 | ∞ | 0.32 | 0.105 | 1.678 | 0.678 | 0.678 | 6.507 | 6.167 | 10.567 | 9.828 | 1.713 | Ocsoil | 15.99531 | 0.104 | 2.198 |

Tabel 60. H_{initial} untuk $q = 23.4 \text{ t/m}^2$

| | | | |
|----------------------|---|-------|---------------|
| q | = | 0.99 | $\text{t/m}2$ |
| H_{inisial} | = | 14.22 | m |

Tabel 61. Perhitungan Settlement Akibat Beban Pavement ($H_{initial}$ untuk $q = 23.4 \text{ t/m}^2$)

| Kedalaman H (m) | Tebal lapisan (m) | akibat beban pavement | | | | | | | | | | | | | | | | | | | | | |
|--------------------|----------------------|-----------------------|----------|----------|-------|-------|-------|----------|-------|-------|-----------|----------|-----------|---------------|---------------------|------------|------------|----------------|--------|------------|---------------------------|-------|-------------|
| | | x (m) | y (m) | z (m) | e0 | Cc | Cs | m=x/z | n=y/z | I | q t/m2 | γ | γ' | $\gamma' * H$ | $\gamma' * H_{kum}$ | $\sigma'0$ | $\sigma'c$ | $\Delta\sigma$ | OCR | NC/OC soil | $\Delta\sigma + \sigma'0$ | Sc | ΣSc |
| | | 0 | 0 | 0 | 0 | 0 | 0 | 0 | 0 | 0 | 0 | 0 | 0 | 0 | 0 | 0 | 0 | - | 0 | 0 | 0 | | |
| 0 | 0 | 0 | 0 | 0 | 0 | 0 | 0 | 0 | 0 | 0 | 0 | 0 | 0 | 0 | 0 | 0 | 0 | 0 | 0 | 0 | 0 | | |
| 1 | 1 | ∞ | 3 | 14.72113 | 1.507 | 1.177 | 0.118 | ∞ | 0.20 | 0.069 | 0.99 | 1.637 | 0.637 | 0.637 | 0.318 | 4.718 | 0.27324 | 14.823 | Ocsoil | 0.591551 | 0.013 | 0.013 | |
| 2 | 1 | ∞ | 3 | 15.72113 | 1.507 | 1.177 | 0.118 | ∞ | 0.19 | 0.065 | 0.99 | 1.637 | 0.637 | 0.637 | 1.273 | 0.955 | 5.355 | 0.2574 | 5.608 | Ocsoil | 1.212332 | 0.005 | 0.018 |
| 3 | 1 | ∞ | 3 | 16.72113 | 1.507 | 1.177 | 0.118 | ∞ | 0.18 | 0.055 | 0.99 | 1.637 | 0.637 | 0.637 | 1.910 | 1.592 | 5.992 | 0.2178 | 3.765 | Ocsoil | 1.809353 | 0.003 | 0.020 |
| 4 | 1 | ∞ | 3 | 17.72113 | 1.583 | 1.193 | 0.119 | ∞ | 0.17 | 0.053 | 0.99 | 1.630 | 0.630 | 0.630 | 2.540 | 2.225 | 6.625 | 0.20988 | 2.977 | Ocsoil | 2.434961 | 0.002 | 0.022 |
| 5 | 1 | ∞ | 3 | 18.72113 | 1.583 | 1.193 | 0.119 | ∞ | 0.16 | 0.052 | 0.99 | 1.630 | 0.630 | 0.630 | 3.171 | 2.856 | 7.256 | 0.20592 | 2.541 | Ocsoil | 3.061435 | 0.001 | 0.023 |
| 6 | 1 | ∞ | 3 | 19.72113 | 1.583 | 1.193 | 0.119 | ∞ | 0.15 | 0.05 | 0.99 | 1.630 | 0.630 | 0.630 | 3.801 | 3.486 | 7.886 | 0.198 | 2.262 | Ocsoil | 3.68395 | 0.001 | 0.024 |
| 7 | 1 | ∞ | 3 | 20.72113 | 1.382 | 1.171 | 0.117 | ∞ | 0.14 | 0.049 | 0.99 | 1.676 | 0.676 | 0.676 | 4.477 | 4.139 | 8.539 | 0.19404 | 2.063 | Ocsoil | 4.333026 | 0.001 | 0.025 |
| 8 | 1 | ∞ | 3 | 21.72113 | 1.382 | 1.171 | 0.117 | ∞ | 0.14 | 0.049 | 0.99 | 1.676 | 0.676 | 0.676 | 5.152 | 4.815 | 9.215 | 0.19404 | 1.914 | Ocsoil | 5.008664 | 0.001 | 0.026 |
| 9 | 1 | ∞ | 3 | 22.72113 | 1.382 | 1.171 | 0.117 | ∞ | 0.13 | 0.046 | 0.99 | 1.676 | 0.676 | 0.676 | 5.828 | 5.490 | 9.890 | 0.18216 | 1.801 | Ocsoil | 5.672422 | 0.001 | 0.027 |
| 10 | 1 | ∞ | 3 | 23.72113 | 1.300 | 1.171 | 0.117 | ∞ | 0.13 | 0.046 | 0.99 | 1.678 | 0.678 | 0.678 | 6.507 | 6.167 | 10.567 | 0.18216 | 1.713 | Ocsoil | 6.349469 | 0.001 | 0.028 |

Tabel 62. Data Perencanaan untuk $q = 27 \text{ t/m}^2$

| | | |
|-------------------|----------|------|
| h timbunan | 15 | m |
| q | 27 | t/m2 |
| γ timbunan | 1.8 | t/m3 |
| fluktuasi air | 4.4 | t/m2 |
| γ | 3 | m |
| x | ∞ | m |

Tabel 63. Perhitungan Settlement Akibat Timbunan untuk $q = 27 \text{ t/m}^2$

| Kedalaman H (m) | Tebal lapisan (m) | akibat timbunan tegak | | | | | | | | | | | | | | | | | | | | |
|--------------------|----------------------|-----------------------|----------|----------|-------|-------|-------|----------|-------|-------|----------|-----------|---------------|---------------------|------------|------------|----------------|--------|------------|---------------------------|-------|-------------|
| | | x (m) | y (m) | z (m) | e0 | Cc | Cs | m=x/z | n=y/z | I | γ | γ' | $\gamma' * H$ | $\gamma' * H_{kum}$ | $\sigma'0$ | $\sigma'c$ | $\Delta\sigma$ | OCR | NC/OC soil | $\Delta\sigma + \sigma'0$ | Sc | ΣSc |
| | | 0 | 0 | 0 | 0 | 0 | 0 | 0 | 0 | 0 | 0 | 0 | 0 | 0 | 0 | 0 | 0 | 0 | 0 | 0 | 0 | |
| 0 | 0 | 0 | 0 | 0 | 0 | 0 | 0 | 0 | 0 | 0 | 0 | 0 | 0 | 0 | 0 | 0 | 0 | 0 | 0 | 0 | 0 | |
| 1 | 1 | ∞ | 3 | 0.5 | 1.507 | 1.177 | 0.118 | ∞ | 6.00 | 0.25 | 1.637 | 0.637 | 0.637 | 0.318 | 4.718 | 27 | 14.823 | Ocsoil | 27.31831 | 0.413 | 0.413 | |
| 2 | 1 | ∞ | 3 | 1.5 | 1.507 | 1.177 | 0.118 | ∞ | 2.00 | 0.24 | 1.637 | 0.637 | 0.637 | 1.273 | 0.955 | 5.355 | 25.92 | 5.608 | Ocsoil | 26.87493 | 0.364 | 0.777 |
| 3 | 1 | ∞ | 3 | 2.5 | 1.507 | 1.177 | 0.118 | ∞ | 1.20 | 0.225 | 1.637 | 0.637 | 0.637 | 1.910 | 1.592 | 5.992 | 24.3 | 3.765 | Ocsoil | 25.89155 | 0.325 | 1.102 |
| 4 | 1 | ∞ | 3 | 3.5 | 1.583 | 1.193 | 0.119 | ∞ | 0.86 | 0.205 | 1.630 | 0.630 | 0.630 | 2.540 | 2.225 | 6.625 | 22.14 | 2.977 | Ocsoil | 24.36508 | 0.283 | 1.386 |
| 5 | 1 | ∞ | 3 | 4.5 | 1.583 | 1.193 | 0.119 | ∞ | 0.67 | 0.179 | 1.630 | 0.630 | 0.630 | 3.171 | 2.856 | 7.256 | 19.332 | 2.541 | Ocsoil | 22.18752 | 0.243 | 1.629 |
| 6 | 1 | ∞ | 3 | 5.5 | 1.583 | 1.193 | 0.119 | ∞ | 0.55 | 0.155 | 1.630 | 0.630 | 0.630 | 3.801 | 3.486 | 7.886 | 16.74 | 2.262 | Ocsoil | 20.22595 | 0.205 | 1.834 |
| 7 | 1 | ∞ | 3 | 6.5 | 1.382 | 1.171 | 0.117 | ∞ | 0.46 | 0.139 | 1.676 | 0.676 | 0.676 | 4.477 | 4.139 | 8.539 | 15.012 | 2.063 | Ocsoil | 19.15099 | 0.188 | 2.022 |
| 8 | 1 | ∞ | 3 | 7.5 | 1.382 | 1.171 | 0.117 | ∞ | 0.40 | 0.123 | 1.676 | 0.676 | 0.676 | 5.152 | 4.815 | 9.215 | 13.284 | 1.914 | Ocsoil | 18.09862 | 0.158 | 2.180 |
| 9 | 1 | ∞ | 3 | 8.5 | 1.382 | 1.171 | 0.117 | ∞ | 0.35 | 0.115 | 1.676 | 0.676 | 0.676 | 5.828 | 5.490 | 9.890 | 12.42 | 1.801 | Ocsoil | 17.91026 | 0.139 | 2.319 |
| 10 | 1 | ∞ | 3 | 9.5 | 1.300 | 1.171 | 0.117 | ∞ | 0.32 | 0.105 | 1.678 | 0.678 | 0.678 | 6.507 | 6.167 | 10.567 | 11.34 | 1.713 | Ocsoil | 17.50731 | 0.124 | 2.443 |

Tabel 64. H_{initial} untuk $q = 27 \text{ t/m}^2$

| | | | |
|-----------|---|-------|------|
| q | = | 0.99 | t/m2 |
| H inisial | = | 16.36 | m |

Tabel 65. Perhitungan Settlement Akibat Beban Pavement ($H_{initial}$ untuk $q = 27 \text{ t/m}^2$)

| akibat beban pavement | | | | | | | | | | | | | | | | | | | | | | | |
|-----------------------|----------------------|----------|-----|----------|-------|-------|-------|----------|-------|-------|------|----------|-----------|---------------|-------------------|------------|------------|----------------|--------|------------|---------------------------|-------|-------------|
| Kedalaman H (m) | Tebal lapisan (m) | x | y | z | e0 | Cc | Cs | m=x/z | n=y/z | I | q | γ | γ' | $\gamma' * H$ | $\gamma' * H$ kum | $\sigma'0$ | $\sigma'c$ | $\Delta\sigma$ | OCR | NC/OC soil | $\Delta\sigma + \sigma'0$ | Sc | ΣSc |
| | | (m) | (m) | (m) | | | | | | | t/m2 | t/m3 | t/m3 | t/m2 | t/m2 | t/m2 | t/m2 | t/m2 | t/m2 | t/m2 | t/m2 | | |
| | | 0 | 0 | 0 | 0 | 0 | 0 | 0 | 0 | 0 | 0 | 0 | 0 | 0 | 0 | 0 | - | 0 | 0 | 0 | | | |
| 1 | 1 | ∞ | 3 | 16.85696 | 1.507 | 1.177 | 0.118 | ∞ | 0.18 | 0.055 | 0.99 | 1.637 | 0.637 | 0.637 | 0.637 | 0.318 | 4.718 | 0.2178 | 14.823 | Ocsoil | 0.536111 | 0.011 | 0.011 |
| 2 | 1 | ∞ | 3 | 17.85696 | 1.507 | 1.177 | 0.118 | ∞ | 0.17 | 0.053 | 0.99 | 1.637 | 0.637 | 0.637 | 1.273 | 0.955 | 5.355 | 0.20988 | 5.608 | Ocsoil | 1.164812 | 0.004 | 0.015 |
| 3 | 1 | ∞ | 3 | 18.85696 | 1.507 | 1.177 | 0.118 | ∞ | 0.16 | 0.052 | 0.99 | 1.637 | 0.637 | 0.637 | 1.910 | 1.592 | 5.992 | 0.20592 | 3.765 | Ocsoil | 1.797473 | 0.002 | 0.017 |
| 4 | 1 | ∞ | 3 | 19.85696 | 1.583 | 1.193 | 0.119 | ∞ | 0.15 | 0.05 | 0.99 | 1.630 | 0.630 | 0.630 | 2.540 | 2.225 | 6.625 | 0.198 | 2.977 | Ocsoil | 2.423081 | 0.002 | 0.019 |
| 5 | 1 | ∞ | 3 | 20.85696 | 1.583 | 1.193 | 0.119 | ∞ | 0.14 | 0.049 | 0.99 | 1.630 | 0.630 | 0.630 | 3.171 | 2.856 | 7.256 | 0.19404 | 2.541 | Ocsoil | 3.049555 | 0.001 | 0.020 |
| 6 | 1 | ∞ | 3 | 21.85696 | 1.583 | 1.193 | 0.119 | ∞ | 0.14 | 0.049 | 0.99 | 1.630 | 0.630 | 0.630 | 3.801 | 3.486 | 7.886 | 0.19404 | 2.262 | Ocsoil | 3.67999 | 0.001 | 0.021 |
| 7 | 1 | ∞ | 3 | 22.85696 | 1.382 | 1.171 | 0.117 | ∞ | 0.13 | 0.046 | 0.99 | 1.676 | 0.676 | 0.676 | 4.477 | 4.139 | 8.539 | 0.18216 | 2.063 | Ocsoil | 4.321146 | 0.001 | 0.022 |
| 8 | 1 | ∞ | 3 | 23.85696 | 1.382 | 1.171 | 0.117 | ∞ | 0.13 | 0.046 | 0.99 | 1.676 | 0.676 | 0.676 | 5.152 | 4.815 | 9.215 | 0.18216 | 1.914 | Ocsoil | 4.996784 | 0.001 | 0.023 |
| 9 | 1 | ∞ | 3 | 24.85696 | 1.382 | 1.171 | 0.117 | ∞ | 0.12 | 0.04 | 0.99 | 1.676 | 0.676 | 0.676 | 5.828 | 5.490 | 9.890 | 0.1584 | 1.801 | Ocsoil | 5.648662 | 0.001 | 0.024 |
| 10 | 1 | ∞ | 3 | 25.85696 | 1.300 | 1.171 | 0.117 | ∞ | 0.12 | 0.04 | 0.99 | 1.678 | 0.678 | 0.678 | 6.507 | 6.167 | 10.567 | 0.1584 | 1.713 | Ocsoil | 6.325709 | 0.001 | 0.024 |

Tabel 66. Rekap Hasil Perhitungan Settlement dan $H_{initial}$ Masing-masing q

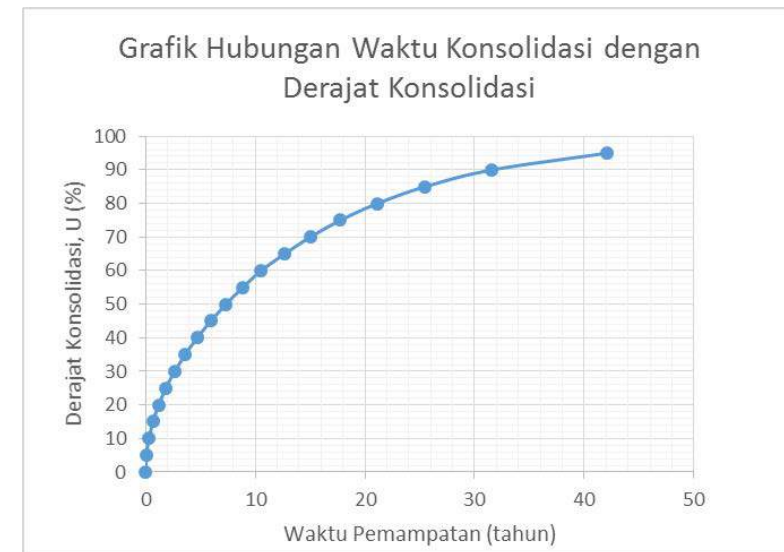
| q timb | Sc akibat q timb | H initial | H bongkar Traffic | Tebal Pavement | Sc akibat pavement | H final | Sc total |
|------------------|------------------|-----------|-------------------|----------------|--------------------|-----------|----------|
| t/m ² | (m) | (m) | (m) | (m) | (m) | (m) | (m) |
| Direncanakan | Perhitungan | (A+B)/γt | Grafik | Direncanakan | Perhitungan | C-B-D+E-F | B+F |
| A | B | C | D | E | F | G | H |
| 5.4 | 0.289 | 3.160 | 0.278 | 0.450 | 0.058 | 2.986 | 0.347 |
| 9 | 0.749 | 5.416 | 0.111 | 0.450 | 0.049 | 4.957 | 0.798 |
| 12.6 | 1.212 | 7.673 | 0.111 | 0.450 | 0.041 | 6.759 | 1.253 |
| 16.2 | 1.597 | 9.887 | 0.111 | 0.450 | 0.035 | 8.594 | 1.632 |
| 19.8 | 1.920 | 12.067 | 0.111 | 0.450 | 0.032 | 10.454 | 1.952 |
| 23.4 | 2.198 | 14.221 | 0.111 | 0.450 | 0.028 | 12.334 | 2.226 |
| 27 | 2.443 | 16.357 | 0.111 | 0.450 | 0.024 | 14.229 | 2.467 |

LAMPIRAN 4
WAKTU KONSOLIDASI DAN PERCEPATAN WAKTU KONSOLIDASI DENGAN PVD

Tabel 1. Hasil Perhitungan Waktu Konsolidasi Alami

| Derajat Konsolidasi U(%) | Hdr (cm) | Cv (cm ² /detik) | T | t (detik) | t tahun |
|--------------------------|----------|-----------------------------|----------|-------------|------------|
| 0 | 1000 | 0.000850958 | 0 | 0 | 0 |
| 5 | | | 0.001963 | 2307393.058 | 0.07316695 |
| 10 | | | 0.007854 | 9229572.23 | 0.29266782 |
| 15 | | | 0.017671 | 20766537.52 | 0.65850258 |
| 20 | | | 0.031416 | 36918288.92 | 1.17067126 |
| 25 | | | 0.049087 | 57684826.44 | 1.82917385 |
| 30 | | | 0.070686 | 83066150.07 | 2.63401034 |
| 35 | | | 0.096211 | 113062259.8 | 3.58518074 |
| 40 | | | 0.125664 | 147673155.7 | 4.68268505 |
| 45 | | | 0.159043 | 186898837.7 | 5.92652326 |
| 50 | | | 0.19635 | 230739305.8 | 7.31669539 |
| 55 | | | 0.237583 | 279194560 | 8.85320142 |
| 60 | | | 0.282743 | 332264600.3 | 10.5360414 |
| 65 | | | 0.340385 | 400001376.4 | 12.6839604 |
| 70 | | | 0.402846 | 473402564.7 | 15.0114969 |
| 75 | | | 0.476722 | 560217744.1 | 17.7643881 |
| 80 | | | 0.567139 | 666470936.5 | 21.1336548 |
| 85 | | | 0.683707 | 803455126.3 | 25.4773949 |
| 90 | | | 0.848 | 996523498 | 31.5995528 |
| 95 | | | 1.128861 | 1326576060 | 42.0654509 |
| 100 | | | | | |

Gambar 1. Grafik Hubungan Waktu Konsolidasi dengan Derajat Konsolidasi



Tabel 2. Hasil Perhitungan Faktor Hambatan (F_n) dengan PVD Pola Segiempat

| JARAK PVD | D = 1.13 S | a | b | dw | n | $F(n)$ |
|-----------|------------|-----|-------|--------|----------|----------|
| S (m) | (m) | (m) | (m) | (m) | | |
| 0.5 | 0.565 | 0.1 | 0.003 | 0.0515 | 10.97087 | 1.656933 |
| 0.75 | 0.8475 | 0.1 | 0.003 | 0.0515 | 16.45631 | 2.057383 |
| 1 | 1.13 | 0.1 | 0.003 | 0.0515 | 21.94175 | 2.338391 |
| 1.25 | 1.4125 | 0.1 | 0.003 | 0.0515 | 27.42718 | 2.561535 |
| 1.5 | 1.695 | 0.1 | 0.003 | 0.0515 | 32.91262 | 2.743856 |
| 1.75 | 1.9775 | 0.1 | 0.003 | 0.0515 | 38.39806 | 2.898007 |
| 2 | 2.26 | 0.1 | 0.003 | 0.0515 | 43.8835 | 3.031538 |
| 2.25 | 2.5425 | 0.1 | 0.003 | 0.0515 | 49.36893 | 3.149321 |

Tabel 3. Hasil Perhitungan Derajat Konsolidasi dengan PVD Pola Segiempat

| SPASI 0.5 m | | | | | SPASI 0.75 m | | | | |
|---------------|--------|--------|---------|-------------|---------------|--------|--------|----------|-------------|
| t (minggu) | Tv | Uv | Uh | Ugab (%) | t (minggu) | Tv | Uv | Uh | Ugab (%) |
| 1 | 0.0005 | 0.0256 | 0.54086 | 55.26 | 1 | 0.0005 | 0.0256 | 0.243174 | 26.25 |
| 2 | 0.0010 | 0.0362 | 0.78919 | 79.68 | 2 | 0.0010 | 0.0362 | 0.427215 | 44.80 |
| 3 | 0.0015 | 0.0443 | 0.90321 | 90.75 | 3 | 0.0015 | 0.0443 | 0.566501 | 58.57 |
| 4 | 0.0021 | 0.0512 | 0.95556 | 95.78 | 4 | 0.0021 | 0.0512 | 0.671917 | 68.87 |
| 5 | 0.0026 | 0.0572 | 0.9796 | 98.08 | 5 | 0.0026 | 0.0572 | 0.751698 | 76.59 |
| 6 | 0.0031 | 0.0627 | 0.99063 | 99.12 | 6 | 0.0031 | 0.0627 | 0.812079 | 82.39 |
| 7 | 0.0036 | 0.0677 | 0.9957 | 99.60 | 7 | 0.0036 | 0.0677 | 0.857776 | 86.74 |
| 8 | 0.0041 | 0.0724 | 0.99803 | 99.82 | 8 | 0.0041 | 0.0724 | 0.892361 | 90.02 |
| 9 | 0.0046 | 0.0768 | 0.99909 | 99.92 | 9 | 0.0046 | 0.0768 | 0.918536 | 92.48 |
| 10 | 0.0051 | 0.0809 | 0.99958 | 99.96 | 10 | 0.0051 | 0.0809 | 0.938346 | 94.33 |
| 11 | 0.0057 | 0.0849 | 0.99981 | 99.98 | 11 | 0.0057 | 0.0849 | 0.953339 | 95.73 |
| 12 | 0.0062 | 0.0887 | 0.99991 | 99.99 | 12 | 0.0062 | 0.0887 | 0.964686 | 96.78 |
| 13 | 0.0067 | 0.0923 | 0.99996 | 100.00 | 13 | 0.0067 | 0.0923 | 0.973273 | 97.57 |
| 14 | 0.0072 | 0.0958 | 0.99998 | 100.00 | 14 | 0.0072 | 0.0958 | 0.979772 | 98.17 |
| 15 | 0.0077 | 0.0991 | 0.99999 | 100.00 | 15 | 0.0077 | 0.0991 | 0.984691 | 98.62 |
| 16 | 0.0082 | 0.1024 | 1 | 100.00 | 16 | 0.0082 | 0.1024 | 0.988414 | 98.96 |
| 17 | 0.0087 | 0.1055 | 1 | 100.00 | 17 | 0.0087 | 0.1055 | 0.991231 | 99.22 |
| 18 | 0.0093 | 0.1086 | 1 | 100.00 | 18 | 0.0093 | 0.1086 | 0.993364 | 99.41 |
| 19 | 0.0098 | 0.1116 | 1 | 100.00 | 19 | 0.0098 | 0.1116 | 0.994977 | 99.55 |
| 20 | 0.0103 | 0.1145 | 1 | 100.00 | 20 | 0.0103 | 0.1145 | 0.996199 | 99.66 |
| 21 | 0.0108 | 0.1173 | 1 | 100.00 | 21 | 0.0108 | 0.1173 | 0.997123 | 99.75 |
| 22 | 0.0113 | 0.1201 | 1 | 100.00 | 22 | 0.0113 | 0.1201 | 0.997823 | 99.81 |
| 23 | 0.0118 | 0.1228 | 1 | 100.00 | 23 | 0.0118 | 0.1228 | 0.998352 | 99.86 |
| 24 | 0.0124 | 0.1254 | 1 | 100.00 | 24 | 0.0124 | 0.1254 | 0.998753 | 99.89 |
| 25 | 0.0129 | 0.1280 | 1 | 100.00 | 25 | 0.0129 | 0.1280 | 0.999056 | 99.92 |
| 26 | 0.0134 | 0.1305 | 1 | 100.00 | 26 | 0.0134 | 0.1305 | 0.999286 | 99.94 |
| 27 | 0.0139 | 0.1330 | 1 | 100.00 | 27 | 0.0139 | 0.1330 | 0.999459 | 99.95 |
| 28 | 0.0144 | 0.1355 | 1 | 100.00 | 28 | 0.0144 | 0.1355 | 0.999591 | 99.96 |
| 29 | 0.0149 | 0.1379 | 1 | 100.00 | 29 | 0.0149 | 0.1379 | 0.99969 | 99.97 |
| 30 | 0.0154 | 0.1402 | 1 | 100.00 | 30 | 0.0154 | 0.1402 | 0.999766 | 99.98 |

Tabel 3. Hasil Perhitungan Derajat Konsolidasi dengan PVD Pola Segiempat (Lanjutan)

| SPASI 1.00 m | | | | | SPASI 1.25 m | | | | | SPASI 1.5 m | | | | |
|---------------|--------|--------|-------------|-------------|---------------|--------|--------|----------|-------------|---------------|--------|--------|---------|-------------|
| t (minggu) | Tv | Uv | Uh | Ugab (%) | t (minggu) | Tv | Uv | Uh | Ugab (%) | t (minggu) | Tv | Uv | Uh | Ugab (%) |
| 1 | 0.0005 | 0.0256 | 0.128806386 | 15.11 | 1 | 0.0005 | 0.0256 | 0.077403 | 10.10 | 1 | 0.0005 | 0.0256 | 0.05089 | 7.52 |
| 2 | 0.0010 | 0.0362 | 0.241021688 | 26.85 | 2 | 0.0010 | 0.0362 | 0.148814 | 17.96 | 2 | 0.0010 | 0.0362 | 0.09919 | 13.18 |
| 3 | 0.0015 | 0.0443 | 0.338782941 | 36.81 | 3 | 0.0015 | 0.0443 | 0.214698 | 24.95 | 3 | 0.0015 | 0.0443 | 0.14503 | 18.29 |
| 4 | 0.0021 | 0.0512 | 0.423951921 | 45.34 | 4 | 0.0021 | 0.0512 | 0.275483 | 31.26 | 4 | 0.0021 | 0.0512 | 0.18854 | 23.01 |
| 5 | 0.0026 | 0.0572 | 0.498150593 | 52.69 | 5 | 0.0026 | 0.0572 | 0.331563 | 36.98 | 5 | 0.0026 | 0.0572 | 0.22983 | 27.39 |
| 6 | 0.0031 | 0.0627 | 0.562792001 | 59.02 | 6 | 0.0031 | 0.0627 | 0.383301 | 42.20 | 6 | 0.0031 | 0.0627 | 0.26902 | 31.49 |
| 7 | 0.0036 | 0.0677 | 0.619107184 | 64.49 | 7 | 0.0036 | 0.0677 | 0.431036 | 46.96 | 7 | 0.0036 | 0.0677 | 0.30622 | 35.32 |
| 8 | 0.0041 | 0.0724 | 0.668168611 | 69.22 | 8 | 0.0041 | 0.0724 | 0.475075 | 51.31 | 8 | 0.0041 | 0.0724 | 0.34153 | 38.92 |
| 9 | 0.0046 | 0.0768 | 0.710910613 | 73.31 | 9 | 0.0046 | 0.0768 | 0.515706 | 55.29 | 9 | 0.0046 | 0.0768 | 0.37503 | 42.30 |
| 10 | 0.0051 | 0.0809 | 0.748147172 | 76.85 | 10 | 0.0051 | 0.0809 | 0.553191 | 58.94 | 10 | 0.0051 | 0.0809 | 0.40684 | 45.49 |
| 11 | 0.0057 | 0.0849 | 0.780587425 | 79.92 | 11 | 0.0057 | 0.0849 | 0.587776 | 62.28 | 11 | 0.0057 | 0.0849 | 0.43702 | 48.48 |
| 12 | 0.0062 | 0.0887 | 0.808849166 | 82.58 | 12 | 0.0062 | 0.0887 | 0.619683 | 65.34 | 12 | 0.0062 | 0.0887 | 0.46567 | 51.31 |
| 13 | 0.0067 | 0.0923 | 0.833470614 | 84.88 | 13 | 0.0067 | 0.0923 | 0.649121 | 68.15 | 13 | 0.0067 | 0.0923 | 0.49286 | 53.97 |
| 14 | 0.0072 | 0.0958 | 0.854920663 | 86.88 | 14 | 0.0072 | 0.0958 | 0.67628 | 70.73 | 14 | 0.0072 | 0.0958 | 0.51867 | 56.48 |
| 15 | 0.0077 | 0.0991 | 0.873607808 | 88.61 | 15 | 0.0077 | 0.0991 | 0.701336 | 73.09 | 15 | 0.0077 | 0.0991 | 0.54316 | 58.85 |
| 16 | 0.0082 | 0.1024 | 0.889887929 | 90.12 | 16 | 0.0082 | 0.1024 | 0.724454 | 75.27 | 16 | 0.0082 | 0.1024 | 0.56641 | 61.08 |
| 17 | 0.0087 | 0.1055 | 0.904071067 | 91.42 | 17 | 0.0087 | 0.1055 | 0.745782 | 77.26 | 17 | 0.0087 | 0.1055 | 0.58848 | 63.19 |
| 18 | 0.0093 | 0.1086 | 0.916427326 | 92.55 | 18 | 0.0093 | 0.1086 | 0.765459 | 79.09 | 18 | 0.0093 | 0.1086 | 0.60942 | 65.18 |
| 19 | 0.0098 | 0.1116 | 0.927192021 | 93.53 | 19 | 0.0098 | 0.1116 | 0.783613 | 80.78 | 19 | 0.0098 | 0.1116 | 0.62929 | 67.07 |
| 20 | 0.0103 | 0.1145 | 0.936570153 | 94.38 | 20 | 0.0103 | 0.1145 | 0.800362 | 82.32 | 20 | 0.0103 | 0.1145 | 0.64816 | 68.84 |
| 21 | 0.0108 | 0.1173 | 0.944740323 | 95.12 | 21 | 0.0108 | 0.1173 | 0.815815 | 83.74 | 21 | 0.0108 | 0.1173 | 0.66606 | 70.52 |
| 22 | 0.0113 | 0.1201 | 0.951858122 | 95.76 | 22 | 0.0113 | 0.1201 | 0.830071 | 85.05 | 22 | 0.0113 | 0.1201 | 0.68306 | 72.11 |
| 23 | 0.0118 | 0.1228 | 0.958059103 | 96.32 | 23 | 0.0118 | 0.1228 | 0.843224 | 86.25 | 23 | 0.0118 | 0.1228 | 0.69919 | 73.61 |
| 24 | 0.0124 | 0.1254 | 0.963461359 | 96.80 | 24 | 0.0124 | 0.1254 | 0.855359 | 87.35 | 24 | 0.0124 | 0.1254 | 0.71449 | 75.03 |
| 25 | 0.0129 | 0.1280 | 0.968167769 | 97.22 | 25 | 0.0129 | 0.1280 | 0.866555 | 88.36 | 25 | 0.0129 | 0.1280 | 0.72902 | 76.37 |
| 26 | 0.0134 | 0.1305 | 0.972267964 | 97.59 | 26 | 0.0134 | 0.1305 | 0.876884 | 89.30 | 26 | 0.0134 | 0.1305 | 0.74281 | 77.64 |
| 27 | 0.0139 | 0.1330 | 0.975840027 | 97.91 | 27 | 0.0139 | 0.1330 | 0.886413 | 90.15 | 27 | 0.0139 | 0.1330 | 0.7559 | 78.84 |
| 28 | 0.0144 | 0.1355 | 0.978951986 | 98.18 | 28 | 0.0144 | 0.1355 | 0.895205 | 90.94 | 28 | 0.0144 | 0.1355 | 0.76832 | 79.97 |
| 29 | 0.0149 | 0.1379 | 0.981663105 | 98.42 | 29 | 0.0149 | 0.1379 | 0.903316 | 91.66 | 29 | 0.0149 | 0.1379 | 0.78011 | 81.04 |
| 30 | 0.0154 | 0.1402 | 0.984025014 | 98.63 | 30 | 0.0154 | 0.1402 | 0.9108 | 92.33 | 30 | 0.0154 | 0.1402 | 0.7913 | 82.06 |

Tabel 3. Hasil Perhitungan Derajat Konsolidasi dengan PVD Pola Segiempat (Lanjutan)

| SPASI 1.75 m | | | | |
|---------------|--------|--------|----------|-------------|
| t (minggu) | Tv | Uv | Uh | Ugab (%) |
| 1 | 0.0005 | 0.0256 | 0.035679 | 6.04 |
| 2 | 0.0010 | 0.0362 | 0.070085 | 10.37 |
| 3 | 0.0015 | 0.0443 | 0.103263 | 14.30 |
| 4 | 0.0021 | 0.0512 | 0.135258 | 17.95 |
| 5 | 0.0026 | 0.0572 | 0.166111 | 21.38 |
| 6 | 0.0031 | 0.0627 | 0.195863 | 24.63 |
| 7 | 0.0036 | 0.0677 | 0.224554 | 27.71 |
| 8 | 0.0041 | 0.0724 | 0.252221 | 30.64 |
| 9 | 0.0046 | 0.0768 | 0.278901 | 33.43 |
| 10 | 0.0051 | 0.0809 | 0.304629 | 36.09 |
| 11 | 0.0057 | 0.0849 | 0.329439 | 38.64 |
| 12 | 0.0062 | 0.0887 | 0.353364 | 41.07 |
| 13 | 0.0067 | 0.0923 | 0.376436 | 43.40 |
| 14 | 0.0072 | 0.0958 | 0.398684 | 45.63 |
| 15 | 0.0077 | 0.0991 | 0.420138 | 47.76 |
| 16 | 0.0082 | 0.1024 | 0.440827 | 49.81 |
| 17 | 0.0087 | 0.1055 | 0.460778 | 51.77 |
| 18 | 0.0093 | 0.1086 | 0.480017 | 53.65 |
| 19 | 0.0098 | 0.1116 | 0.498569 | 55.45 |
| 20 | 0.0103 | 0.1145 | 0.51646 | 57.18 |
| 21 | 0.0108 | 0.1173 | 0.533712 | 58.84 |
| 22 | 0.0113 | 0.1201 | 0.550349 | 60.43 |
| 23 | 0.0118 | 0.1228 | 0.566392 | 61.96 |
| 24 | 0.0124 | 0.1254 | 0.581862 | 63.43 |
| 25 | 0.0129 | 0.1280 | 0.596781 | 64.84 |
| 26 | 0.0134 | 0.1305 | 0.611168 | 66.19 |
| 27 | 0.0139 | 0.1330 | 0.625041 | 67.49 |
| 28 | 0.0144 | 0.1355 | 0.638419 | 68.74 |
| 29 | 0.0149 | 0.1379 | 0.65132 | 69.94 |
| 30 | 0.0154 | 0.1402 | 0.66376 | 71.09 |

| SPASI 2 m | | | | |
|---------------|--------|--------|-------------|-------------|
| t (minggu) | Tv | Uv | Uh | Ugab (%) |
| 1 | 0.0005 | 0.0256 | 0.026240302 | 5.12 |
| 2 | 0.0010 | 0.0362 | 0.051792051 | 8.61 |
| 3 | 0.0015 | 0.0443 | 0.076673315 | 11.76 |
| 4 | 0.0021 | 0.0512 | 0.100901686 | 14.69 |
| 5 | 0.0026 | 0.0572 | 0.124494298 | 17.46 |
| 6 | 0.0031 | 0.0627 | 0.147467832 | 20.09 |
| 7 | 0.0036 | 0.0677 | 0.169838534 | 22.61 |
| 8 | 0.0041 | 0.0724 | 0.191622222 | 25.02 |
| 9 | 0.0046 | 0.0768 | 0.212834299 | 27.33 |
| 10 | 0.0051 | 0.0809 | 0.233489765 | 29.55 |
| 11 | 0.0057 | 0.0849 | 0.253603225 | 31.70 |
| 12 | 0.0062 | 0.0887 | 0.273188902 | 33.76 |
| 13 | 0.0067 | 0.0923 | 0.292260645 | 35.76 |
| 14 | 0.0072 | 0.0958 | 0.31083194 | 37.68 |
| 15 | 0.0077 | 0.0991 | 0.328915918 | 39.54 |
| 16 | 0.0082 | 0.1024 | 0.346525367 | 41.34 |
| 17 | 0.0087 | 0.1055 | 0.363672739 | 43.08 |
| 18 | 0.0093 | 0.1086 | 0.380370159 | 44.77 |
| 19 | 0.0098 | 0.1116 | 0.396629434 | 46.40 |
| 20 | 0.0103 | 0.1145 | 0.41246206 | 47.97 |
| 21 | 0.0108 | 0.1173 | 0.427879233 | 49.50 |
| 22 | 0.0113 | 0.1201 | 0.442891855 | 50.98 |
| 23 | 0.0118 | 0.1228 | 0.457510541 | 52.41 |
| 24 | 0.0124 | 0.1254 | 0.471745628 | 53.80 |
| 25 | 0.0129 | 0.1280 | 0.485607183 | 55.14 |
| 26 | 0.0134 | 0.1305 | 0.499105006 | 56.45 |
| 27 | 0.0139 | 0.1330 | 0.512248642 | 57.71 |
| 28 | 0.0144 | 0.1355 | 0.525047385 | 58.94 |
| 29 | 0.0149 | 0.1379 | 0.537510285 | 60.13 |
| 30 | 0.0154 | 0.1402 | 0.549646155 | 61.28 |

| SPASI 2.25 m | | | | |
|---------------|--------|--------|----------|-------------|
| t (minggu) | Tv | Uv | Uh | Ugab (%) |
| 1 | 0.0005 | 0.0256 | 0.020021 | 4.51 |
| 2 | 0.0010 | 0.0362 | 0.039641 | 7.44 |
| 3 | 0.0015 | 0.0443 | 0.058869 | 10.06 |
| 4 | 0.0021 | 0.0512 | 0.077711 | 12.49 |
| 5 | 0.0026 | 0.0572 | 0.096176 | 14.79 |
| 6 | 0.0031 | 0.0627 | 0.114272 | 16.98 |
| 7 | 0.0036 | 0.0677 | 0.132005 | 19.08 |
| 8 | 0.0041 | 0.0724 | 0.149383 | 21.10 |
| 9 | 0.0046 | 0.0768 | 0.166413 | 23.04 |
| 10 | 0.0051 | 0.0809 | 0.183103 | 24.92 |
| 11 | 0.0057 | 0.0849 | 0.199458 | 26.74 |
| 12 | 0.0062 | 0.0887 | 0.215486 | 28.51 |
| 13 | 0.0067 | 0.0923 | 0.231192 | 30.22 |
| 14 | 0.0072 | 0.0958 | 0.246585 | 31.87 |
| 15 | 0.0077 | 0.0991 | 0.261669 | 33.49 |
| 16 | 0.0082 | 0.1024 | 0.276451 | 35.05 |
| 17 | 0.0087 | 0.1055 | 0.290937 | 36.58 |
| 18 | 0.0093 | 0.1086 | 0.305133 | 38.06 |
| 19 | 0.0098 | 0.1116 | 0.319045 | 39.50 |
| 20 | 0.0103 | 0.1145 | 0.332679 | 40.91 |
| 21 | 0.0108 | 0.1173 | 0.346039 | 42.28 |
| 22 | 0.0113 | 0.1201 | 0.359132 | 43.61 |
| 23 | 0.0118 | 0.1228 | 0.371963 | 44.91 |
| 24 | 0.0124 | 0.1254 | 0.384537 | 46.17 |
| 25 | 0.0129 | 0.1280 | 0.396859 | 47.41 |
| 26 | 0.0134 | 0.1305 | 0.408935 | 48.61 |
| 27 | 0.0139 | 0.1330 | 0.420769 | 49.78 |
| 28 | 0.0144 | 0.1355 | 0.432365 | 50.93 |
| 29 | 0.0149 | 0.1379 | 0.44373 | 52.04 |
| 30 | 0.0154 | 0.1402 | 0.454867 | 53.13 |

Tabel 4. Hasil Perhitungan Faktor Hambatan (F_n) dengan PVD Pola Segitiga

| JARAK PVD | D = 1.05 S | a | b | dw | n | $F(n)$ |
|-----------|------------|-----|-------|--------|--------|--------|
| S (m) | (m) | (m) | (m) | (m) | | |
| 0.5 | 0.525 | 0.1 | 0.003 | 0.0515 | 10.194 | 1.585 |
| 0.75 | 0.7875 | 0.1 | 0.003 | 0.0515 | 15.291 | 1.985 |
| 1 | 1.05 | 0.1 | 0.003 | 0.0515 | 20.388 | 2.265 |
| 1.25 | 1.3125 | 0.1 | 0.003 | 0.0515 | 25.485 | 2.488 |
| 1.5 | 1.575 | 0.1 | 0.003 | 0.0515 | 30.583 | 2.670 |
| 1.75 | 1.8375 | 0.1 | 0.003 | 0.0515 | 35.680 | 2.825 |
| 2 | 2.1 | 0.1 | 0.003 | 0.0515 | 40.777 | 2.958 |
| 2.25 | 2.3625 | 0.1 | 0.003 | 0.0515 | 45.874 | 3.076 |

Tabel 4. Hasil Perhitungan Derajat Konsolidasi dengan PVD Pola Segitiga

| SPASI 0.5 m | | | | |
|---------------|--------|--------|---------|-------------|
| t (minggu) | Tv | Uv | Uh | Ugab (%) |
| 1 | 0.0005 | 0.0256 | 0.61041 | 62.04 |
| 2 | 0.0010 | 0.0362 | 0.84822 | 85.37 |
| 3 | 0.0015 | 0.0443 | 0.94087 | 94.35 |
| 4 | 0.0021 | 0.0512 | 0.97696 | 97.81 |
| 5 | 0.0026 | 0.0572 | 0.99102 | 99.15 |
| 6 | 0.0031 | 0.0627 | 0.9965 | 99.67 |
| 7 | 0.0036 | 0.0677 | 0.99864 | 99.87 |
| 8 | 0.0041 | 0.0724 | 0.99947 | 99.95 |
| 9 | 0.0046 | 0.0768 | 0.99979 | 99.98 |
| 10 | 0.0051 | 0.0809 | 0.99992 | 99.99 |
| 11 | 0.0057 | 0.0849 | 0.99997 | 100.00 |
| 12 | 0.0062 | 0.0887 | 0.99999 | 100.00 |
| 13 | 0.0067 | 0.0923 | 1 | 100.00 |
| 14 | 0.0072 | 0.0958 | 1 | 100.00 |
| 15 | 0.0077 | 0.0991 | 1 | 100.00 |
| 16 | 0.0082 | 0.1024 | 1 | 100.00 |
| 17 | 0.0087 | 0.1055 | 1 | 100.00 |
| 18 | 0.0093 | 0.1086 | 1 | 100.00 |
| 19 | 0.0098 | 0.1116 | 1 | 100.00 |
| 20 | 0.0103 | 0.1145 | 1 | 100.00 |
| 21 | 0.0108 | 0.1173 | 1 | 100.00 |
| 22 | 0.0113 | 0.1201 | 1 | 100.00 |
| 23 | 0.0118 | 0.1228 | 1 | 100.00 |
| 24 | 0.0124 | 0.1254 | 1 | 100.00 |
| 25 | 0.0129 | 0.1280 | 1 | 100.00 |
| 26 | 0.0134 | 0.1305 | 1 | 100.00 |
| 27 | 0.0139 | 0.1330 | 1 | 100.00 |
| 28 | 0.0144 | 0.1355 | 1 | 100.00 |
| 29 | 0.0149 | 0.1379 | 1 | 100.00 |
| 30 | 0.0154 | 0.1402 | 1 | 100.00 |

| SPASI 0.75 m | | | | |
|---------------|--------|--------|----------|-------------|
| t (minggu) | Tv | Uv | Uh | Ugab (%) |
| 1 | 0.0005 | 0.0256 | 0.284314 | 30.26 |
| 2 | 0.0010 | 0.0362 | 0.487794 | 50.63 |
| 3 | 0.0015 | 0.0443 | 0.633421 | 64.97 |
| 4 | 0.0021 | 0.0512 | 0.737645 | 75.11 |
| 5 | 0.0026 | 0.0572 | 0.812236 | 82.30 |
| 6 | 0.0031 | 0.0627 | 0.86562 | 87.40 |
| 7 | 0.0036 | 0.0677 | 0.903826 | 91.03 |
| 8 | 0.0041 | 0.0724 | 0.93117 | 93.62 |
| 9 | 0.0046 | 0.0768 | 0.950739 | 95.45 |
| 10 | 0.0051 | 0.0809 | 0.964745 | 96.76 |
| 11 | 0.0057 | 0.0849 | 0.974768 | 97.69 |
| 12 | 0.0062 | 0.0887 | 0.981942 | 98.35 |
| 13 | 0.0067 | 0.0923 | 0.987076 | 98.83 |
| 14 | 0.0072 | 0.0958 | 0.990751 | 99.16 |
| 15 | 0.0077 | 0.0991 | 0.99338 | 99.40 |
| 16 | 0.0082 | 0.1024 | 0.995262 | 99.57 |
| 17 | 0.0087 | 0.1055 | 0.996609 | 99.70 |
| 18 | 0.0093 | 0.1086 | 0.997573 | 99.78 |
| 19 | 0.0098 | 0.1116 | 0.998263 | 99.85 |
| 20 | 0.0103 | 0.1145 | 0.998757 | 99.89 |
| 21 | 0.0108 | 0.1173 | 0.99911 | 99.92 |
| 22 | 0.0113 | 0.1201 | 0.999363 | 99.94 |
| 23 | 0.0118 | 0.1228 | 0.999544 | 99.96 |
| 24 | 0.0124 | 0.1254 | 0.999674 | 99.97 |
| 25 | 0.0129 | 0.1280 | 0.999767 | 99.98 |
| 26 | 0.0134 | 0.1305 | 0.999833 | 99.99 |
| 27 | 0.0139 | 0.1330 | 0.99988 | 99.99 |
| 28 | 0.0144 | 0.1355 | 0.999914 | 99.99 |
| 29 | 0.0149 | 0.1379 | 0.999939 | 99.99 |
| 30 | 0.0154 | 0.1402 | 0.999956 | 100.00 |

Tabel 4. Hasil Perhitungan Derajat Konsolidasi dengan PVD Pola Segitiga (Lanjutan)

| SPASI 1.00 m | | | | |
|---------------|--------|--------|----------|-------------|
| t (minggu) | Tv | Uv | Uh | Ugab (%) |
| 1 | 0.0005 | 0.0256 | 0.152005 | 17.37 |
| 2 | 0.0010 | 0.0362 | 0.280905 | 30.69 |
| 3 | 0.0015 | 0.0443 | 0.390211 | 41.72 |
| 4 | 0.0021 | 0.0512 | 0.482902 | 50.94 |
| 5 | 0.0026 | 0.0572 | 0.561504 | 58.66 |
| 6 | 0.0031 | 0.0627 | 0.628158 | 65.15 |
| 7 | 0.0036 | 0.0677 | 0.68468 | 70.60 |
| 8 | 0.0041 | 0.0724 | 0.73261 | 75.20 |
| 9 | 0.0046 | 0.0768 | 0.773255 | 79.07 |
| 10 | 0.0051 | 0.0809 | 0.807721 | 82.33 |
| 11 | 0.0057 | 0.0849 | 0.836949 | 85.08 |
| 12 | 0.0062 | 0.0887 | 0.861733 | 87.40 |
| 13 | 0.0067 | 0.0923 | 0.882751 | 89.36 |
| 14 | 0.0072 | 0.0958 | 0.900573 | 91.01 |
| 15 | 0.0077 | 0.0991 | 0.915686 | 92.40 |
| 16 | 0.0082 | 0.1024 | 0.928503 | 93.58 |
| 17 | 0.0087 | 0.1055 | 0.939371 | 94.58 |
| 18 | 0.0093 | 0.1086 | 0.948587 | 95.42 |
| 19 | 0.0098 | 0.1116 | 0.956402 | 96.13 |
| 20 | 0.0103 | 0.1145 | 0.963029 | 96.73 |
| 21 | 0.0108 | 0.1173 | 0.968649 | 97.23 |
| 22 | 0.0113 | 0.1201 | 0.973414 | 97.66 |
| 23 | 0.0118 | 0.1228 | 0.977455 | 98.02 |
| 24 | 0.0124 | 0.1254 | 0.980882 | 98.33 |
| 25 | 0.0129 | 0.1280 | 0.983788 | 98.59 |
| 26 | 0.0134 | 0.1305 | 0.986253 | 98.80 |
| 27 | 0.0139 | 0.1330 | 0.988342 | 98.99 |
| 28 | 0.0144 | 0.1355 | 0.990114 | 99.15 |
| 29 | 0.0149 | 0.1379 | 0.991617 | 99.28 |
| 30 | 0.0154 | 0.1402 | 0.992891 | 99.39 |

| SPASI 1.25 m | | | | |
|---------------|--------|--------|----------|-------------|
| t (minggu) | Tv | Uv | Uh | Ugab (%) |
| 1 | 0.0005 | 0.0256 | 0.09159 | 11.48 |
| 2 | 0.0010 | 0.0362 | 0.174792 | 20.47 |
| 3 | 0.0015 | 0.0443 | 0.250373 | 28.36 |
| 4 | 0.0021 | 0.0512 | 0.319032 | 35.39 |
| 5 | 0.0026 | 0.0572 | 0.381402 | 41.68 |
| 6 | 0.0031 | 0.0627 | 0.43806 | 47.33 |
| 7 | 0.0036 | 0.0677 | 0.489528 | 52.41 |
| 8 | 0.0041 | 0.0724 | 0.536282 | 56.99 |
| 9 | 0.0046 | 0.0768 | 0.578755 | 61.11 |
| 10 | 0.0051 | 0.0809 | 0.617337 | 64.83 |
| 11 | 0.0057 | 0.0849 | 0.652385 | 68.19 |
| 12 | 0.0062 | 0.0887 | 0.684223 | 71.22 |
| 13 | 0.0067 | 0.0923 | 0.713145 | 73.96 |
| 14 | 0.0072 | 0.0958 | 0.739418 | 76.44 |
| 15 | 0.0077 | 0.0991 | 0.763285 | 78.68 |
| 16 | 0.0082 | 0.1024 | 0.784966 | 80.70 |
| 17 | 0.0087 | 0.1055 | 0.804661 | 82.53 |
| 18 | 0.0093 | 0.1086 | 0.822552 | 84.18 |
| 19 | 0.0098 | 0.1116 | 0.838805 | 85.68 |
| 20 | 0.0103 | 0.1145 | 0.853569 | 87.03 |
| 21 | 0.0108 | 0.1173 | 0.86698 | 88.26 |
| 22 | 0.0113 | 0.1201 | 0.879164 | 89.37 |
| 23 | 0.0118 | 0.1228 | 0.890231 | 90.37 |
| 24 | 0.0124 | 0.1254 | 0.900285 | 91.28 |
| 25 | 0.0129 | 0.1280 | 0.909418 | 92.10 |
| 26 | 0.0134 | 0.1305 | 0.917714 | 92.85 |
| 27 | 0.0139 | 0.1330 | 0.925251 | 93.52 |
| 28 | 0.0144 | 0.1355 | 0.932097 | 94.13 |
| 29 | 0.0149 | 0.1379 | 0.938316 | 94.68 |
| 30 | 0.0154 | 0.1402 | 0.943966 | 95.18 |

| SPASI 1.5 m | | | | |
|---------------|--------|--------|----------|-------------|
| t (minggu) | Tv | Uv | Uh | Ugab (%) |
| 1 | 0.0005 | 0.0256 | 0.060262 | 8.43 |
| 2 | 0.0010 | 0.0362 | 0.116892 | 14.89 |
| 3 | 0.0015 | 0.0443 | 0.17011 | 20.69 |
| 4 | 0.0021 | 0.0512 | 0.22012 | 26.00 |
| 5 | 0.0026 | 0.0572 | 0.267117 | 30.91 |
| 6 | 0.0031 | 0.0627 | 0.311282 | 35.45 |
| 7 | 0.0036 | 0.0677 | 0.352785 | 39.66 |
| 8 | 0.0041 | 0.0724 | 0.391787 | 43.58 |
| 9 | 0.0046 | 0.0768 | 0.428439 | 47.23 |
| 10 | 0.0051 | 0.0809 | 0.462883 | 50.64 |
| 11 | 0.0057 | 0.0849 | 0.49525 | 53.81 |
| 12 | 0.0062 | 0.0887 | 0.525667 | 56.77 |
| 13 | 0.0067 | 0.0923 | 0.554251 | 59.54 |
| 14 | 0.0072 | 0.0958 | 0.581113 | 62.12 |
| 15 | 0.0077 | 0.0991 | 0.606356 | 64.54 |
| 16 | 0.0082 | 0.1024 | 0.630077 | 66.80 |
| 17 | 0.0087 | 0.1055 | 0.65237 | 68.91 |
| 18 | 0.0093 | 0.1086 | 0.673318 | 70.88 |
| 19 | 0.0098 | 0.1116 | 0.693005 | 72.73 |
| 20 | 0.0103 | 0.1145 | 0.711505 | 74.45 |
| 21 | 0.0108 | 0.1173 | 0.72889 | 76.07 |
| 22 | 0.0113 | 0.1201 | 0.745228 | 77.58 |
| 23 | 0.0118 | 0.1228 | 0.760581 | 79.00 |
| 24 | 0.0124 | 0.1254 | 0.775008 | 80.32 |
| 25 | 0.0129 | 0.1280 | 0.788567 | 81.56 |
| 26 | 0.0134 | 0.1305 | 0.801308 | 82.72 |
| 27 | 0.0139 | 0.1330 | 0.813282 | 83.81 |
| 28 | 0.0144 | 0.1355 | 0.824534 | 84.83 |
| 29 | 0.0149 | 0.1379 | 0.835107 | 85.78 |
| 30 | 0.0154 | 0.1402 | 0.845044 | 86.68 |

Tabel 4. Hasil Perhitungan Derajat Konsolidasi dengan PVD Pola Segitiga (Lanjutan)

| SPASI 1.75 m | | | | |
|---------------|--------|--------|----------|-------------|
| t (minggu) | Tv | Uv | Uh | Ugab (%) |
| 1 | 0.0005 | 0.0256 | 0.042253 | 6.68 |
| 2 | 0.0010 | 0.0362 | 0.082721 | 11.59 |
| 3 | 0.0015 | 0.0443 | 0.121479 | 16.04 |
| 4 | 0.0021 | 0.0512 | 0.1586 | 20.17 |
| 5 | 0.0026 | 0.0572 | 0.194152 | 24.03 |
| 6 | 0.0031 | 0.0627 | 0.228201 | 27.66 |
| 7 | 0.0036 | 0.0677 | 0.260812 | 31.09 |
| 8 | 0.0041 | 0.0724 | 0.292046 | 34.33 |
| 9 | 0.0046 | 0.0768 | 0.321959 | 37.40 |
| 10 | 0.0051 | 0.0809 | 0.350608 | 40.32 |
| 11 | 0.0057 | 0.0849 | 0.378047 | 43.09 |
| 12 | 0.0062 | 0.0887 | 0.404327 | 45.71 |
| 13 | 0.0067 | 0.0923 | 0.429496 | 48.22 |
| 14 | 0.0072 | 0.0958 | 0.453602 | 50.59 |
| 15 | 0.0077 | 0.0991 | 0.476689 | 52.86 |
| 16 | 0.0082 | 0.1024 | 0.498801 | 55.01 |
| 17 | 0.0087 | 0.1055 | 0.519978 | 57.06 |
| 18 | 0.0093 | 0.1086 | 0.54026 | 59.02 |
| 19 | 0.0098 | 0.1116 | 0.559686 | 60.88 |
| 20 | 0.0103 | 0.1145 | 0.578291 | 62.66 |
| 21 | 0.0108 | 0.1173 | 0.596109 | 64.35 |
| 22 | 0.0113 | 0.1201 | 0.613175 | 65.96 |
| 23 | 0.0118 | 0.1228 | 0.62952 | 67.50 |
| 24 | 0.0124 | 0.1254 | 0.645174 | 68.97 |
| 25 | 0.0129 | 0.1280 | 0.660166 | 70.37 |
| 26 | 0.0134 | 0.1305 | 0.674525 | 71.70 |
| 27 | 0.0139 | 0.1330 | 0.688278 | 72.97 |
| 28 | 0.0144 | 0.1355 | 0.701449 | 74.19 |
| 29 | 0.0149 | 0.1379 | 0.714064 | 75.35 |
| 30 | 0.0154 | 0.1402 | 0.726145 | 76.45 |

| SPASI 2 m | | | | |
|---------------|--------|--------|----------|-------------|
| t (minggu) | Tv | Uv | Uh | Ugab (%) |
| 1 | 0.0005 | 0.0256 | 0.031069 | 5.59 |
| 2 | 0.0010 | 0.0362 | 0.061172 | 9.52 |
| 3 | 0.0015 | 0.0443 | 0.09034 | 13.07 |
| 4 | 0.0021 | 0.0512 | 0.118602 | 16.37 |
| 5 | 0.0026 | 0.0572 | 0.145986 | 19.49 |
| 6 | 0.0031 | 0.0627 | 0.172519 | 22.44 |
| 7 | 0.0036 | 0.0677 | 0.198227 | 25.25 |
| 8 | 0.0041 | 0.0724 | 0.223137 | 27.94 |
| 9 | 0.0046 | 0.0768 | 0.247273 | 30.51 |
| 10 | 0.0051 | 0.0809 | 0.270659 | 32.97 |
| 11 | 0.0057 | 0.0849 | 0.293319 | 35.33 |
| 12 | 0.0062 | 0.0887 | 0.315275 | 37.60 |
| 13 | 0.0067 | 0.0923 | 0.336548 | 39.78 |
| 14 | 0.0072 | 0.0958 | 0.357161 | 41.87 |
| 15 | 0.0077 | 0.0991 | 0.377133 | 43.89 |
| 16 | 0.0082 | 0.1024 | 0.396484 | 45.83 |
| 17 | 0.0087 | 0.1055 | 0.415235 | 47.70 |
| 18 | 0.0093 | 0.1086 | 0.433403 | 49.49 |
| 19 | 0.0098 | 0.1116 | 0.451006 | 51.23 |
| 20 | 0.0103 | 0.1145 | 0.468062 | 52.90 |
| 21 | 0.0108 | 0.1173 | 0.484589 | 54.51 |
| 22 | 0.0113 | 0.1201 | 0.500602 | 56.06 |
| 23 | 0.0118 | 0.1228 | 0.516118 | 57.55 |
| 24 | 0.0124 | 0.1254 | 0.531151 | 58.99 |
| 25 | 0.0129 | 0.1280 | 0.545718 | 60.39 |
| 26 | 0.0134 | 0.1305 | 0.559832 | 61.73 |
| 27 | 0.0139 | 0.1330 | 0.573507 | 63.02 |
| 28 | 0.0144 | 0.1355 | 0.586758 | 64.27 |
| 29 | 0.0149 | 0.1379 | 0.599596 | 65.48 |
| 30 | 0.0154 | 0.1402 | 0.612036 | 66.64 |

| SPASI 2.25 m | | | | |
|---------------|--------|--------|----------|-------------|
| t (minggu) | Tv | Uv | Uh | Ugab (%) |
| 1 | 0.0005 | 0.0256 | 0.023697 | 4.87 |
| 2 | 0.0010 | 0.0362 | 0.046833 | 8.13 |
| 3 | 0.0015 | 0.0443 | 0.06942 | 11.07 |
| 4 | 0.0021 | 0.0512 | 0.091473 | 13.80 |
| 5 | 0.0026 | 0.0572 | 0.113002 | 16.38 |
| 6 | 0.0031 | 0.0627 | 0.134022 | 18.83 |
| 7 | 0.0036 | 0.0677 | 0.154543 | 21.18 |
| 8 | 0.0041 | 0.0724 | 0.174578 | 23.43 |
| 9 | 0.0046 | 0.0768 | 0.194138 | 25.60 |
| 10 | 0.0051 | 0.0809 | 0.213235 | 27.69 |
| 11 | 0.0057 | 0.0849 | 0.231879 | 29.71 |
| 12 | 0.0062 | 0.0887 | 0.250081 | 31.66 |
| 13 | 0.0067 | 0.0923 | 0.267852 | 33.54 |
| 14 | 0.0072 | 0.0958 | 0.285202 | 35.37 |
| 15 | 0.0077 | 0.0991 | 0.302141 | 37.13 |
| 16 | 0.0082 | 0.1024 | 0.318678 | 38.84 |
| 17 | 0.0087 | 0.1055 | 0.334824 | 40.50 |
| 18 | 0.0093 | 0.1086 | 0.350587 | 42.11 |
| 19 | 0.0098 | 0.1116 | 0.365976 | 43.67 |
| 20 | 0.0103 | 0.1145 | 0.381 | 45.19 |
| 21 | 0.0108 | 0.1173 | 0.395669 | 46.66 |
| 22 | 0.0113 | 0.1201 | 0.40999 | 48.08 |
| 23 | 0.0118 | 0.1228 | 0.423972 | 49.47 |
| 24 | 0.0124 | 0.1254 | 0.437622 | 50.81 |
| 25 | 0.0129 | 0.1280 | 0.450949 | 52.12 |
| 26 | 0.0134 | 0.1305 | 0.46396 | 53.39 |
| 27 | 0.0139 | 0.1330 | 0.476662 | 54.63 |
| 28 | 0.0144 | 0.1355 | 0.489064 | 55.83 |
| 29 | 0.0149 | 0.1379 | 0.501172 | 56.99 |
| 30 | 0.0154 | 0.1402 | 0.512993 | 58.13 |

Halaman ini sengaja dikosongkan

LAMPIRAN 5

PEMAMPATAN KONSOLIDASI DAN PENINGKATAN DAYA DUKUNG TANAH AKIBAT TIMBUNAN BERTAHAP (ALTERNATIF 1)

Tabel 1. Tahapan Penimbunan (Zona 1)

| Tinggi Timbunan | Waktu (minggu) | | | | | | | | | | | | | | | | | |
|-----------------|----------------|-------|-------|-------|-------|-------|-------|-------|-------|------|------|------|------|------|------|------|-------|------|
| | 0.4 | 0.8 | 1.2 | 1.6 | 2 | 2.4 | 2.8 | 3.2 | 3.6 | 4 | 4.4 | 4.8 | 5.2 | 5.6 | 6 | 6.4 | 16 mg | 6.8 |
| 0.4 | 1 mg | | | | | | | | | | | | | | | | | |
| 0.8 | 2 mg | 1 mg | | | | | | | | | | | | | | | | |
| 1.2 | 3 mg | 2 mg | 1 mg | | | | | | | | | | | | | | | |
| 1.6 | 4 mg | 3 mg | 2 mg | 1 mg | | | | | | | | | | | | | | |
| 2 | 5 mg | 4 mg | 3 mg | 2 mg | 1 mg | | | | | | | | | | | | | |
| 2.4 | 6 mg | 5 mg | 4 mg | 3 mg | 2 mg | 1 mg | | | | | | | | | | | | |
| 2.8 | 7 mg | 6 mg | 5 mg | 4 mg | 3 mg | 2 mg | 1 mg | | | | | | | | | | | |
| 3.2 | 8 mg | 7 mg | 6 mg | 5 mg | 4 mg | 3 mg | 2 mg | 1 mg | | | | | | | | | | |
| 3.6 | 9 mg | 8 mg | 7 mg | 6 mg | 5 mg | 4 mg | 3 mg | 2 mg | 1 mg | | | | | | | | | |
| 4 | 10 mg | 9 mg | 8 mg | 7 mg | 6 mg | 5 mg | 4 mg | 3 mg | 2 mg | 1 mg | | | | | | | | |
| 4.4 | 11 mg | 10 mg | 9 mg | 8 mg | 7 mg | 6 mg | 5 mg | 4 mg | 3 mg | 2 mg | 1 mg | | | | | | | |
| 4.8 | 12 mg | 11 mg | 10 mg | 9 mg | 8 mg | 7 mg | 6 mg | 5 mg | 4 mg | 3 mg | 2 mg | 1 mg | | | | | | |
| 5.2 | 13 mg | 12 mg | 11 mg | 10 mg | 9 mg | 8 mg | 7 mg | 6 mg | 5 mg | 4 mg | 3 mg | 2 mg | 1 mg | | | | | |
| 5.6 | 14 mg | 13 mg | 12 mg | 11 mg | 10 mg | 9 mg | 8 mg | 7 mg | 6 mg | 5 mg | 4 mg | 3 mg | 2 mg | 1 mg | | | | |
| 6 | 15 mg | 14 mg | 13 mg | 12 mg | 11 mg | 10 mg | 9 mg | 8 mg | 7 mg | 6 mg | 5 mg | 4 mg | 3 mg | 2 mg | 1 mg | | | |
| 6.4 | 16 mg | 15 mg | 14 mg | 13 mg | 12 mg | 11 mg | 10 mg | 9 mg | 8 mg | 7 mg | 6 mg | 5 mg | 4 mg | 3 mg | 2 mg | 1 mg | 0 mg | |
| 6.8 | 17 mg | 16 mg | 15 mg | 14 mg | 13 mg | 12 mg | 11 mg | 10 mg | 9 mg | 8 mg | 7 mg | 6 mg | 5 mg | 4 mg | 3 mg | 2 mg | 1 mg | 1 mg |
| 7.2 | 18 mg | 17 mg | 16 mg | 15 mg | 14 mg | 13 mg | 12 mg | 11 mg | 10 mg | 9 mg | 8 mg | 7 mg | 6 mg | 5 mg | 4 mg | 3 mg | 2 mg | 1 mg |

Tabel 2. Hasil Perhitungan Tegangan dan Pemampatan Tanah Akibat Penimbunan Bertahap pada Zona 1

Tabel 2. Hasil Perhitungan Tegangan dan Pemampatan Tanah Akibat Penimbunan Bertahap pada Zona 1 (Lanjutan)

| PENIMBUNAN 4 | | H timbunan = | | 0.4 | m | $\gamma_{tim} (t/m^3) =$ | 1.8 | | | | | | | | | | | | | |
|--------------|---|--------------|------|-------|------------|--------------------------|------------|------------|----------------|-----------------|-------|-------|-------|------------|-------------------|------------------------|------------|--------|--------|-------|
| Depth (m) | | z | B2 | B1 | (B1+B2)/B2 | B1/B2 | α_1 | α_2 | $\Delta\sigma$ | $2\Delta\sigma$ | Cc | Cs | eo | $\sigma'o$ | $\Delta\sigma'^4$ | $\sum_i \Delta\sigma'$ | $\sigma'c$ | OCR | Sc | |
| | | (m) | (m) | (m) | | | | | t/m2 | t/m2 | | | | (t/m2) | (t/m2) | (t/m2) | (t/m2) | | m | |
| 0 | - | 1 | 1.7 | 0.800 | 14.2 | 18.75 | 17.75 | 0.361 | 83.17314 | 0.360 | 0.720 | 1.177 | 0.118 | 1.507 | 0.318 | 0.720 | 3.198 | 4.718 | 14.823 | 0.047 |
| 1 | - | 2 | 2.7 | 0.800 | 14.2 | 18.75 | 17.75 | 0.562 | 79.23424 | 0.359 | 0.718 | 1.177 | 0.118 | 1.507 | 0.955 | 0.718 | 3.831 | 5.355 | 5.608 | 0.028 |
| 2 | - | 3 | 3.7 | 0.800 | 14.2 | 18.75 | 17.75 | 0.748 | 75.39555 | 0.358 | 0.715 | 1.177 | 0.118 | 1.507 | 1.592 | 0.715 | 4.461 | 5.992 | 3.765 | 0.021 |
| 3 | - | 4 | 4.7 | 0.800 | 14.2 | 18.75 | 17.75 | 0.916 | 71.68618 | 0.355 | 0.711 | 1.193 | 0.119 | 1.583 | 2.225 | 0.711 | 5.083 | 6.625 | 2.977 | 0.017 |
| 4 | - | 5 | 5.7 | 0.800 | 14.2 | 18.75 | 17.75 | 1.064 | 68.12906 | 0.352 | 0.705 | 1.193 | 0.119 | 1.583 | 2.856 | 0.705 | 5.696 | 7.256 | 2.541 | 0.014 |
| 5 | - | 6 | 6.7 | 0.800 | 14.2 | 18.75 | 17.75 | 1.191 | 64.74061 | 0.348 | 0.697 | 1.193 | 0.119 | 1.583 | 3.486 | 0.697 | 6.303 | 7.886 | 2.262 | 0.012 |
| 6 | - | 7 | 7.7 | 0.800 | 14.2 | 18.75 | 17.75 | 1.296 | 61.53108 | 0.343 | 0.687 | 1.171 | 0.117 | 1.382 | 4.139 | 0.687 | 6.926 | 8.539 | 2.063 | 0.011 |
| 7 | - | 8 | 8.7 | 0.800 | 14.2 | 18.75 | 17.75 | 1.381 | 58.5052 | 0.338 | 0.675 | 1.171 | 0.117 | 1.382 | 4.815 | 0.675 | 7.566 | 9.215 | 1.914 | 0.010 |
| 8 | - | 9 | 9.7 | 0.800 | 14.2 | 18.75 | 17.75 | 1.448 | 55.66307 | 0.331 | 0.662 | 1.171 | 0.117 | 1.382 | 5.490 | 0.662 | 8.200 | 9.890 | 1.801 | 0.009 |
| 9 | - | 10 | 10.7 | 0.800 | 14.2 | 18.75 | 17.75 | 1.497 | 53.00112 | 0.324 | 0.649 | 1.171 | 0.117 | 1.300 | 6.167 | 0.649 | 8.832 | 10.567 | 1.713 | 0.008 |

Tabel 2. Hasil Perhitungan Tegangan dan Pemampatan Tanah Akibat Penimbunan Bertahap pada Zona 1 (Lanjutan)

| PENIMBUNAN 5 | H timbunan = | 0.4 | m | ytim (t/m3) = | 1.8 | | | | | | | | | | | | | | | |
|--------------|--------------|-----|------|---------------|------|------------|-------|------------|------------|----------------|-----------------|-------|-------|-------|-------------|-------------------|----------------------------|-------------|--------|-------|
| | Depth (m) | | z | B2 | B1 | (B1+B2)/B2 | B1/B2 | α_1 | α_2 | $\Delta\sigma$ | $2\Delta\sigma$ | Cc | Cs | eo | $\sigma' o$ | $\Delta\sigma' 5$ | $\sum_{o}^i \Delta\sigma'$ | $\sigma' c$ | OCR | Sc |
| | | | (m) | (m) | (m) | | | | | | | | | | (t/m2) | (t/m2) | | | | |
| 0 | - | 1 | 2.1 | 0.800 | 13.4 | 17.75 | 16.75 | 0.494 | 81.09326 | 0.359 | 0.719 | 1.177 | 0.118 | 1.507 | 0.318 | 0.719 | 3.917 | 4.718 | 14.823 | 0.051 |
| 1 | - | 2 | 3.1 | 0.800 | 13.4 | 17.75 | 16.75 | 0.711 | 76.97416 | 0.358 | 0.717 | 1.177 | 0.118 | 1.507 | 0.955 | 0.717 | 4.548 | 5.355 | 5.608 | 0.032 |
| 2 | - | 3 | 4.1 | 0.800 | 13.4 | 17.75 | 16.75 | 0.907 | 72.98745 | 0.356 | 0.713 | 1.177 | 0.118 | 1.507 | 1.592 | 0.713 | 5.174 | 5.992 | 3.765 | 0.024 |
| 3 | - | 4 | 5.1 | 0.800 | 13.4 | 17.75 | 16.75 | 1.081 | 69.16332 | 0.353 | 0.707 | 1.193 | 0.119 | 1.583 | 2.225 | 0.707 | 5.790 | 6.625 | 2.977 | 0.019 |
| 4 | - | 5 | 6.1 | 0.800 | 13.4 | 17.75 | 16.75 | 1.229 | 65.52384 | 0.349 | 0.699 | 1.193 | 0.119 | 1.583 | 2.856 | 0.699 | 6.395 | 7.256 | 2.541 | 0.016 |
| 5 | - | 6 | 7.1 | 0.800 | 13.4 | 17.75 | 16.75 | 1.352 | 62.08309 | 0.344 | 0.689 | 1.193 | 0.119 | 1.583 | 3.486 | 0.689 | 6.992 | 7.886 | 2.262 | 0.014 |
| 6 | - | 7 | 8.1 | 0.800 | 13.4 | 17.75 | 16.75 | 1.451 | 58.84798 | 0.338 | 0.677 | 1.171 | 0.117 | 1.382 | 4.139 | 0.677 | 7.603 | 8.539 | 2.063 | 0.013 |
| 7 | - | 8 | 9.1 | 0.800 | 13.4 | 17.75 | 16.75 | 1.527 | 55.8194 | 0.332 | 0.663 | 1.171 | 0.117 | 1.382 | 4.815 | 0.663 | 8.229 | 9.215 | 1.914 | 0.011 |
| 8 | - | 9 | 10.1 | 0.800 | 13.4 | 17.75 | 16.75 | 1.583 | 52.99352 | 0.324 | 0.649 | 1.171 | 0.117 | 1.382 | 5.490 | 0.649 | 8.849 | 9.890 | 1.801 | 0.010 |
| 9 | - | 10 | 11.1 | 0.800 | 13.4 | 17.75 | 16.75 | 1.623 | 50.36307 | 0.317 | 0.633 | 1.171 | 0.117 | 1.300 | 6.167 | 0.633 | 9.465 | 10.567 | 1.713 | 0.009 |

| PENIMBUNAN 6 | H timbunan = | 0.4 | m | γtim (t/m3) = | 1.8 | | | | | | | | | | | | | | | |
|--------------|--------------|-----|------|---------------|------|------------|-------|-------|----------|-------|-------|-------|-------|-------|-------|-------|------------------------------|--------|--------|-------|
| | Depth (m) | | z | B2 | B1 | (B1+B2)/B2 | B1/B2 | α1 | α2 | Δσ | 2Δσ | Cc | Cs | eo | σ'o | Δσ'6 | $\sum_{a=1}^i \Delta\sigma'$ | σ'c | OCR | Sc |
| | | | (m) | (m) | (m) | | | | | | | | | | | | | | | |
| 0 | - | 1 | 2.5 | 0.800 | 12.6 | 16.75 | 15.75 | 0.654 | 78.77754 | 0.359 | 0.718 | 1.177 | 0.118 | 1.507 | 0.318 | 0.718 | 4.634 | 4.718 | 14.823 | 0.055 |
| 1 | - | 2 | 3.5 | 0.800 | 12.6 | 16.75 | 15.75 | 0.886 | 74.47589 | 0.357 | 0.715 | 1.177 | 0.118 | 1.507 | 0.955 | 0.715 | 5.263 | 5.355 | 5.608 | 0.035 |
| 2 | - | 3 | 4.5 | 0.800 | 12.6 | 16.75 | 15.75 | 1.091 | 70.34618 | 0.354 | 0.709 | 1.177 | 0.118 | 1.507 | 1.592 | 0.709 | 5.883 | 5.992 | 3.765 | 0.027 |
| 3 | - | 4 | 5.5 | 0.800 | 12.6 | 16.75 | 15.75 | 1.266 | 66.41835 | 0.350 | 0.701 | 1.193 | 0.119 | 1.583 | 2.225 | 0.701 | 6.491 | 6.625 | 2.977 | 0.021 |
| 4 | - | 5 | 6.5 | 0.800 | 12.6 | 16.75 | 15.75 | 1.411 | 62.71201 | 0.345 | 0.691 | 1.193 | 0.119 | 1.583 | 2.856 | 0.691 | 7.086 | 7.256 | 2.541 | 0.018 |
| 5 | - | 6 | 7.5 | 0.800 | 12.6 | 16.75 | 15.75 | 1.527 | 59.23728 | 0.339 | 0.679 | 1.193 | 0.119 | 1.583 | 3.486 | 0.679 | 7.670 | 7.886 | 2.262 | 0.016 |
| 6 | - | 7 | 8.5 | 0.800 | 12.6 | 16.75 | 15.75 | 1.616 | 55.99627 | 0.332 | 0.664 | 1.171 | 0.117 | 1.382 | 4.139 | 0.664 | 8.268 | 8.539 | 2.063 | 0.015 |
| 7 | - | 8 | 9.5 | 0.800 | 12.6 | 16.75 | 15.75 | 1.680 | 52.98487 | 0.325 | 0.649 | 1.171 | 0.117 | 1.382 | 4.815 | 0.649 | 8.878 | 9.215 | 1.914 | 0.013 |
| 8 | - | 9 | 10.5 | 0.800 | 12.6 | 16.75 | 15.75 | 1.724 | 50.19443 | 0.316 | 0.633 | 1.171 | 0.117 | 1.382 | 5.490 | 0.633 | 9.482 | 9.890 | 1.801 | 0.012 |
| 9 | - | 10 | 11.5 | 0.800 | 12.6 | 16.75 | 15.75 | 1.750 | 47.61335 | 0.308 | 0.615 | 1.171 | 0.117 | 1.300 | 6.167 | 0.615 | 10.080 | 10.567 | 1.713 | 0.011 |

Tabel 2. Hasil Perhitungan Tegangan dan Pemampatan Tanah Akibat Penimbunan Bertahap pada Zona 1 (Lanjutan)

| PENIMBUNAN 7 | | H timbunan = | | 0.4 | m | ytim (t/m3) = | 1.8 | | | | | | | | | | | | | |
|--------------|---|--------------|------|-------|------------|---------------|-------|-------|----------|-------|-------|-------|-------|--------|--------|----------------------------|--------|--------|--------|-------|
| Depth (m) | | z | B2 | B1 | (B1+B2)/B2 | B1/B2 | α1 | α2 | Δσ | 2Δσ | Cc | Cs | eo | σ'o | Δσ'7 | $\sum_{o}^i \Delta\sigma'$ | σ'c | OCR | Sc | |
| | | (m) | (m) | (m) | | | | t/m2 | t/m2 | | | | | (t/m2) | (t/m2) | (t/m2) | (t/m2) | | m | |
| 0 | - | 1 | 2.9 | 0.800 | 11.8 | 15.75 | 14.75 | 0.846 | 76.19248 | 0.358 | 0.716 | 1.177 | 0.118 | 1.507 | 0.318 | 0.716 | 5.351 | 4.718 | 14.823 | 0.026 |
| 1 | - | 2 | 3.9 | 0.800 | 11.8 | 15.75 | 14.75 | 1.091 | 71.71084 | 0.356 | 0.711 | 1.177 | 0.118 | 1.507 | 0.955 | 0.711 | 5.974 | 5.355 | 5.608 | 0.023 |
| 2 | - | 3 | 4.9 | 0.800 | 11.8 | 15.75 | 14.75 | 1.300 | 67.44912 | 0.352 | 0.703 | 1.177 | 0.118 | 1.507 | 1.592 | 0.703 | 6.587 | 5.992 | 3.765 | 0.020 |
| 3 | - | 4 | 5.9 | 0.800 | 11.8 | 15.75 | 14.75 | 1.474 | 63.43495 | 0.347 | 0.693 | 1.193 | 0.119 | 1.583 | 2.225 | 0.693 | 7.184 | 6.625 | 2.977 | 0.017 |
| 4 | - | 5 | 6.9 | 0.800 | 11.8 | 15.75 | 14.75 | 1.611 | 59.68322 | 0.340 | 0.680 | 1.193 | 0.119 | 1.583 | 2.856 | 0.680 | 7.766 | 7.256 | 2.541 | 0.014 |
| 5 | - | 6 | 7.9 | 0.800 | 11.8 | 15.75 | 14.75 | 1.715 | 56.19803 | 0.333 | 0.666 | 1.193 | 0.119 | 1.583 | 3.486 | 0.666 | 8.336 | 7.886 | 2.262 | 0.012 |
| 6 | - | 7 | 8.9 | 0.800 | 11.8 | 15.75 | 14.75 | 1.790 | 52.97504 | 0.325 | 0.649 | 1.171 | 0.117 | 1.382 | 4.139 | 0.649 | 8.917 | 8.539 | 2.063 | 0.010 |
| 7 | - | 8 | 9.9 | 0.800 | 11.8 | 15.75 | 14.75 | 1.839 | 50.00392 | 0.316 | 0.632 | 1.171 | 0.117 | 1.382 | 4.815 | 0.632 | 9.510 | 9.215 | 1.914 | 0.008 |
| 8 | - | 9 | 10.9 | 0.800 | 11.8 | 15.75 | 14.75 | 1.867 | 47.27045 | 0.307 | 0.613 | 1.171 | 0.117 | 1.382 | 5.490 | 0.613 | 10.095 | 9.890 | 1.801 | 0.005 |
| 9 | - | 10 | 11.9 | 0.800 | 11.8 | 15.75 | 14.75 | 1.878 | 44.75825 | 0.297 | 0.595 | 1.171 | 0.117 | 1.300 | 6.167 | 0.595 | 10.675 | 10.567 | 1.713 | 0.003 |

| PENIMBUNAN 8 | H timbunan = | 0.4 | m | ytim (t/m3) = | 1.8 | | | | | | | | | | | | | | | |
|--------------|--------------|-----|------|---------------|------------|-------|-------|-------|----------|-------|-------|-------|-------|-------|-------------------------|-------|--------|--------|--------|-------|
| | | | | | | α1 | α2 | Δσ | 2Δσ | Cc | Cs | eo | σ'o | Δσ'8 | $\sum_i \Delta \sigma'$ | σ'c | OCR | Sc | | |
| | | | | | | | | | | | | | | | | | | | | |
| Depth (m) | | z | B2 | B1 | (B1+B2)/B2 | B1/B2 | | | | | | | | | | | | | | |
| | | (m) | (m) | (m) | | | | | | | | | | | | | | | | |
| 0 | - | 1 | 3.3 | 0.800 | 11 | 14.75 | 13.75 | 1.075 | 73.30076 | 0.357 | 0.713 | 1.177 | 0.118 | 1.507 | 0.318 | 0.713 | 6.064 | 4.718 | 14.823 | 0.026 |
| 1 | - | 2 | 4.3 | 0.800 | 11 | 14.75 | 13.75 | 1.329 | 68.64902 | 0.353 | 0.706 | 1.177 | 0.118 | 1.507 | 0.955 | 0.706 | 6.680 | 5.355 | 5.608 | 0.023 |
| 2 | - | 3 | 5.3 | 0.800 | 11 | 14.75 | 13.75 | 1.538 | 64.27439 | 0.348 | 0.696 | 1.177 | 0.118 | 1.507 | 1.592 | 0.696 | 7.282 | 5.992 | 3.765 | 0.020 |
| 3 | - | 4 | 6.3 | 0.800 | 11 | 14.75 | 13.75 | 1.703 | 60.19906 | 0.341 | 0.683 | 1.193 | 0.119 | 1.583 | 2.225 | 0.683 | 7.867 | 6.625 | 2.977 | 0.018 |
| 4 | - | 5 | 7.3 | 0.800 | 11 | 14.75 | 13.75 | 1.827 | 56.4303 | 0.334 | 0.667 | 1.193 | 0.119 | 1.583 | 2.856 | 0.667 | 8.433 | 7.256 | 2.541 | 0.017 |
| 5 | - | 6 | 8.3 | 0.800 | 11 | 14.75 | 13.75 | 1.914 | 52.96379 | 0.325 | 0.650 | 1.193 | 0.119 | 1.583 | 3.486 | 0.650 | 8.986 | 7.886 | 2.262 | 0.015 |
| 6 | - | 7 | 9.3 | 0.800 | 11 | 14.75 | 13.75 | 1.970 | 49.787 | 0.315 | 0.631 | 1.171 | 0.117 | 1.382 | 4.139 | 0.631 | 9.548 | 8.539 | 2.063 | 0.015 |
| 7 | - | 8 | 10.3 | 0.800 | 11 | 14.75 | 13.75 | 2.001 | 46.88228 | 0.306 | 0.611 | 1.171 | 0.117 | 1.382 | 4.815 | 0.611 | 10.121 | 9.215 | 1.914 | 0.013 |
| 8 | - | 9 | 11.3 | 0.800 | 11 | 14.75 | 13.75 | 2.011 | 44.22925 | 0.296 | 0.591 | 1.171 | 0.117 | 1.382 | 5.490 | 0.591 | 10.686 | 9.890 | 1.801 | 0.012 |
| 9 | - | 10 | 12.3 | 0.800 | 11 | 14.75 | 13.75 | 2.005 | 41.80655 | 0.286 | 0.571 | 1.171 | 0.117 | 1.300 | 6.167 | 0.571 | 11.246 | 10.567 | 1.713 | 0.012 |

Tabel 2. Hasil Perhitungan Tegangan dan Pemampatan Tanah Akibat Penimbunan Bertahap pada Zona 1 (Lanjutan)

| PENIMBUNAN 9 | | H timbunan = | | 0.4 | m | $\gamma_{tim} (t/m^3) =$ | 1.8 | | | | | | | | | | | | | |
|--------------|---|--------------|------|-------|------------|--------------------------|------------|------------|----------------|-----------------|-------|-------|-------|------------|------------------|--------------------------|------------|--------|--------|-------|
| Depth (m) | | z | B2 | B1 | (B1+B2)/B2 | B1/B2 | α_1 | α_2 | $\Delta\sigma$ | $2\Delta\sigma$ | Cc | Cs | eo | $\sigma'o$ | $\Delta\sigma'9$ | $\sum_0^i \Delta\sigma'$ | $\sigma'c$ | OCR | Sc | |
| | | (m) | (m) | (m) | | | t/m2 | t/m2 | | | | | | | (t/m2) | (t/m2) | (t/m2) | (t/m2) | | m |
| 0 | - | 1 | 3.7 | 0.800 | 10.2 | 13.75 | 12.75 | 1.347 | 70.06201 | 0.354 | 0.709 | 1.177 | 0.118 | 1.507 | 0.318 | 0.709 | 6.773 | 4.718 | 14.823 | 0.023 |
| 1 | - | 2 | 4.7 | 0.800 | 10.2 | 13.75 | 12.75 | 1.604 | 65.26049 | 0.349 | 0.699 | 1.177 | 0.118 | 1.507 | 0.955 | 0.699 | 7.378 | 5.355 | 5.608 | 0.020 |
| 2 | - | 3 | 5.7 | 0.800 | 10.2 | 13.75 | 12.75 | 1.805 | 60.80251 | 0.342 | 0.685 | 1.177 | 0.118 | 1.507 | 1.592 | 0.685 | 7.967 | 5.992 | 3.765 | 0.018 |
| 3 | - | 4 | 6.7 | 0.800 | 10.2 | 13.75 | 12.75 | 1.954 | 56.70058 | 0.334 | 0.669 | 1.193 | 0.119 | 1.583 | 2.225 | 0.669 | 8.535 | 6.625 | 2.977 | 0.016 |
| 4 | - | 5 | 7.7 | 0.800 | 10.2 | 13.75 | 12.75 | 2.057 | 52.95077 | 0.325 | 0.650 | 1.193 | 0.119 | 1.583 | 2.856 | 0.650 | 9.083 | 7.256 | 2.541 | 0.015 |
| 5 | - | 6 | 8.7 | 0.800 | 10.2 | 13.75 | 12.75 | 2.121 | 49.53777 | 0.315 | 0.630 | 1.193 | 0.119 | 1.583 | 3.486 | 0.630 | 9.615 | 7.886 | 2.262 | 0.014 |
| 6 | - | 7 | 9.7 | 0.800 | 10.2 | 13.75 | 12.75 | 2.154 | 46.43929 | 0.304 | 0.608 | 1.171 | 0.117 | 1.382 | 4.139 | 0.608 | 10.156 | 8.539 | 2.063 | 0.013 |
| 7 | - | 8 | 10.7 | 0.800 | 10.2 | 13.75 | 12.75 | 2.163 | 43.62955 | 0.293 | 0.587 | 1.171 | 0.117 | 1.382 | 4.815 | 0.587 | 10.708 | 9.215 | 1.914 | 0.012 |
| 8 | - | 9 | 11.7 | 0.800 | 10.2 | 13.75 | 12.75 | 2.152 | 41.08175 | 0.283 | 0.565 | 1.171 | 0.117 | 1.382 | 5.490 | 0.565 | 11.252 | 9.890 | 1.801 | 0.011 |
| 9 | - | 10 | 12.7 | 0.800 | 10.2 | 13.75 | 12.75 | 2.128 | 38.76968 | 0.272 | 0.544 | 1.171 | 0.117 | 1.300 | 6.167 | 0.544 | 11.790 | 10.567 | 1.713 | 0.010 |
| | | | | | | | | | | | | | | | | | | 0.153 | | |

| PENIMBUNAN 10 | | H timbunan = | | 0.4 | m | $\gamma_{tim} (t/m^3) =$ | 1.8 | | | | | | | | | | | | | |
|---------------|---|--------------|------|-------|------------|--------------------------|------------|------------|----------------|-----------------|-------|-------|-------|------------|-------------------|--------------------------|------------|--------|--------|-------|
| Depth (m) | | z | B2 | B1 | (B1+B2)/B2 | B1/B2 | α_1 | α_2 | $\Delta\sigma$ | $2\Delta\sigma$ | Cc | Cs | eo | $\sigma'o$ | $\Delta\sigma'10$ | $\sum_0^i \Delta\sigma'$ | $\sigma'c$ | OCR | Sc | |
| | | (m) | (m) | (m) | | | t/m2 | t/m2 | | | | | | | (t/m2) | (t/m2) | (t/m2) | (t/m2) | | m |
| 0 | - | 1 | 4.1 | 0.800 | 9.4 | 12.75 | 11.75 | 1.667 | 66.4346 | 0.351 | 0.702 | 1.177 | 0.118 | 1.507 | 0.318 | 0.702 | 7.474 | 4.718 | 14.823 | 0.020 |
| 1 | - | 2 | 5.1 | 0.800 | 9.4 | 12.75 | 11.75 | 1.917 | 61.51781 | 0.344 | 0.688 | 1.177 | 0.118 | 1.507 | 0.955 | 0.688 | 8.066 | 5.355 | 5.608 | 0.018 |
| 2 | - | 3 | 6.1 | 0.800 | 9.4 | 12.75 | 11.75 | 2.100 | 57.019 | 0.335 | 0.670 | 1.177 | 0.118 | 1.507 | 1.592 | 0.670 | 8.638 | 5.992 | 3.765 | 0.016 |
| 3 | - | 4 | 7.1 | 0.800 | 9.4 | 12.75 | 11.75 | 2.224 | 52.93555 | 0.325 | 0.650 | 1.193 | 0.119 | 1.583 | 2.225 | 0.650 | 9.186 | 6.625 | 2.977 | 0.015 |
| 4 | - | 5 | 8.1 | 0.800 | 9.4 | 12.75 | 11.75 | 2.298 | 49.24845 | 0.314 | 0.628 | 1.193 | 0.119 | 1.583 | 2.856 | 0.628 | 9.712 | 7.256 | 2.541 | 0.013 |
| 5 | - | 6 | 9.1 | 0.800 | 9.4 | 12.75 | 11.75 | 2.333 | 45.92904 | 0.303 | 0.605 | 1.193 | 0.119 | 1.583 | 3.486 | 0.605 | 10.221 | 7.886 | 2.262 | 0.012 |
| 6 | - | 7 | 10.1 | 0.800 | 9.4 | 12.75 | 11.75 | 2.338 | 42.94411 | 0.291 | 0.582 | 1.171 | 0.117 | 1.382 | 4.139 | 0.582 | 10.738 | 8.539 | 2.063 | 0.012 |
| 7 | - | 8 | 11.1 | 0.800 | 9.4 | 12.75 | 11.75 | 2.321 | 40.25949 | 0.279 | 0.559 | 1.171 | 0.117 | 1.382 | 4.815 | 0.559 | 11.267 | 9.215 | 1.914 | 0.011 |
| 8 | - | 9 | 12.1 | 0.800 | 9.4 | 12.75 | 11.75 | 2.288 | 37.84219 | 0.268 | 0.536 | 1.171 | 0.117 | 1.382 | 5.490 | 0.536 | 11.788 | 9.890 | 1.801 | 0.010 |
| 9 | - | 10 | 13.1 | 0.800 | 9.4 | 12.75 | 11.75 | 2.244 | 35.66161 | 0.257 | 0.514 | 1.171 | 0.117 | 1.300 | 6.167 | 0.514 | 12.304 | 10.567 | 1.713 | 0.009 |
| | | | | | | | | | | | | | | | | | | 0.137 | | |

Tabel 2. Hasil Perhitungan Tegangan dan Pemampatan Tanah Akibat Penimbunan Bertahap pada Zona 1 (Lanjutan)

| PENIMBUNAN 11 | H timbunan = | 0.4 | m | ytim (t/m3) = | 1.8 | | | | | | | | | | | | | | | | | | | | |
|---------------|--------------|-----|------|---------------|-----|-----------|-----|-------|----|-------|------------|-------|-------|-------|-------|-------|-------|-------|--------|--------|--------|----------------------------|-----|-----|----|
| | | | | | | Depth (m) | | z | B2 | B1 | (B1+B2)/B2 | B1/B2 | α1 | α2 | Δσ | 2Δσ | Cc | Cs | eo | σ'o | Δσ'11 | $\sum_{o}^i \Delta\sigma'$ | σ'c | OCR | Sc |
| | | | | | | (m) | (m) | | | | | | | | | | | | | m | | | | | |
| 0 | - | 1 | 4.5 | 0.800 | 8.6 | 11.75 | | 10.75 | | 2.040 | 62.37893 | 0.345 | 0.691 | 1.177 | 0.118 | 1.507 | 0.318 | 0.691 | 8.165 | 4.718 | 14.823 | 0.018 | | | |
| 1 | - | 2 | 5.5 | 0.800 | 8.6 | 11.75 | | 10.75 | | 2.268 | 57.39967 | 0.336 | 0.672 | 1.177 | 0.118 | 1.507 | 0.955 | 0.672 | 8.738 | 5.355 | 5.608 | 0.016 | | | |
| 2 | - | 3 | 6.5 | 0.800 | 8.6 | 11.75 | | 10.75 | | 2.419 | 52.9175 | 0.325 | 0.651 | 1.177 | 0.118 | 1.507 | 1.592 | 0.651 | 9.288 | 5.992 | 3.765 | 0.015 | | | |
| 3 | - | 4 | 7.5 | 0.800 | 8.6 | 11.75 | | 10.75 | | 2.506 | 48.90854 | 0.313 | 0.627 | 1.193 | 0.119 | 1.583 | 2.225 | 0.627 | 9.813 | 6.625 | 2.977 | 0.013 | | | |
| 4 | - | 5 | 8.5 | 0.800 | 8.6 | 11.75 | | 10.75 | | 2.543 | 45.33506 | 0.301 | 0.602 | 1.193 | 0.119 | 1.583 | 2.856 | 0.602 | 10.313 | 7.256 | 2.541 | 0.012 | | | |
| 5 | - | 6 | 9.5 | 0.800 | 8.6 | 11.75 | | 10.75 | | 2.543 | 42.15338 | 0.288 | 0.576 | 1.193 | 0.119 | 1.583 | 3.486 | 0.576 | 10.797 | 7.886 | 2.262 | 0.011 | | | |
| 6 | - | 7 | 10.5 | 0.800 | 8.6 | 11.75 | | 10.75 | | 2.517 | 39.31911 | 0.276 | 0.551 | 1.171 | 0.117 | 1.382 | 4.139 | 0.551 | 11.289 | 8.539 | 2.063 | 0.011 | | | |
| 7 | - | 8 | 11.5 | 0.800 | 8.6 | 11.75 | | 10.75 | | 2.472 | 36.7901 | 0.263 | 0.527 | 1.171 | 0.117 | 1.382 | 4.815 | 0.527 | 11.794 | 9.215 | 1.914 | 0.010 | | | |
| 8 | - | 9 | 12.5 | 0.800 | 8.6 | 11.75 | | 10.75 | | 2.415 | 34.52797 | 0.252 | 0.503 | 1.171 | 0.117 | 1.382 | 5.490 | 0.503 | 12.291 | 9.890 | 1.801 | 0.009 | | | |
| 9 | - | 10 | 13.5 | 0.800 | 8.6 | 11.75 | | 10.75 | | 2.351 | 32.49865 | 0.240 | 0.481 | 1.171 | 0.117 | 1.300 | 6.167 | 0.481 | 12.785 | 10.567 | 1.713 | 0.008 | | | |

| PENIMBUNAN 12 | H timbunan = | | 0.4 | m | $\gamma t/m^3$ | 1.8 | | | | | | | | | | | | | | |
|---------------|--------------|----|------|-------|----------------|------------|-------|------------|------------|----------------|-----------------|-------|-------|-------|-------------|--------------------|------------------------|-------------|--------|-------|
| | Depth (m) | | z | B2 | B1 | (B1+B2)/B2 | B1/B2 | α_1 | α_2 | $\Delta\sigma$ | $2\Delta\sigma$ | Cc | Cs | eo | $\sigma' o$ | $\Delta\sigma' 12$ | $\sum_i \Delta\sigma'$ | $\sigma' c$ | OCR | Sc |
| | | | (m) | (m) | (m) | | | | | | | | | | | | | | | |
| 0 | - | 1 | 4.9 | 0.800 | 7.8 | 10.75 | 9.75 | 2.464 | 57.86275 | 0.337 | 0.675 | 1.177 | 0.118 | 1.507 | 0.318 | 0.675 | 8.840 | 4.718 | 14.823 | 0.016 |
| 1 | - | 2 | 5.9 | 0.800 | 7.8 | 10.75 | 9.75 | 2.652 | 52.89577 | 0.326 | 0.651 | 1.177 | 0.118 | 1.507 | 0.955 | 0.651 | 9.390 | 5.355 | 5.608 | 0.015 |
| 2 | - | 3 | 6.9 | 0.800 | 7.8 | 10.75 | 9.75 | 2.756 | 48.50353 | 0.313 | 0.625 | 1.177 | 0.118 | 1.507 | 1.592 | 0.625 | 9.913 | 5.992 | 3.765 | 0.013 |
| 3 | - | 4 | 7.9 | 0.800 | 7.8 | 10.75 | 9.75 | 2.794 | 44.63506 | 0.299 | 0.597 | 1.193 | 0.119 | 1.583 | 2.225 | 0.597 | 10.410 | 6.625 | 2.977 | 0.012 |
| 4 | - | 5 | 8.9 | 0.800 | 7.8 | 10.75 | 9.75 | 2.786 | 41.23147 | 0.285 | 0.569 | 1.193 | 0.119 | 1.583 | 2.856 | 0.569 | 10.883 | 7.256 | 2.541 | 0.011 |
| 5 | - | 6 | 9.9 | 0.800 | 7.8 | 10.75 | 9.75 | 2.747 | 38.23383 | 0.271 | 0.542 | 1.193 | 0.119 | 1.583 | 3.486 | 0.542 | 11.339 | 7.886 | 2.262 | 0.010 |
| 6 | - | 7 | 10.9 | 0.800 | 7.8 | 10.75 | 9.75 | 2.686 | 35.58737 | 0.258 | 0.516 | 1.171 | 0.117 | 1.382 | 4.139 | 0.516 | 11.805 | 8.539 | 2.063 | 0.010 |
| 7 | - | 8 | 11.9 | 0.800 | 7.8 | 10.75 | 9.75 | 2.612 | 33.24333 | 0.245 | 0.491 | 1.171 | 0.117 | 1.382 | 4.815 | 0.491 | 12.284 | 9.215 | 1.914 | 0.009 |
| 8 | - | 9 | 12.9 | 0.800 | 7.8 | 10.75 | 9.75 | 2.531 | 31.1593 | 0.233 | 0.467 | 1.171 | 0.117 | 1.382 | 5.490 | 0.467 | 12.758 | 9.890 | 1.801 | 0.008 |
| 9 | - | 10 | 13.9 | 0.800 | 7.8 | 10.75 | 9.75 | 2.446 | 29.29901 | 0.222 | 0.445 | 1.171 | 0.117 | 1.300 | 6.167 | 0.445 | 13.230 | 10.567 | 1.713 | 0.008 |

Tabel 2. Hasil Perhitungan Tegangan dan Pemampatan Tanah Akibat Penimbunan Bertahap pada Zona 1 (Lanjutan)

| PENIMBUNAN 14 | H timbunan = | 0.4 | m | $\gamma t i m (t/m^3) =$ | 1.8 | | | | | | | | | | | | | | | |
|---------------|--------------|-----|------|--------------------------|-----|------------|-------|------------|------------|----------------|-----------------|-------|-------|-------|-------------|--------------------|--------------------------|-------------|--------|-------|
| | Depth (m) | | z | B2 | B1 | (B1+B2)/B2 | B1/B2 | α_1 | α_2 | $\Delta\sigma$ | $2\Delta\sigma$ | Cc | Cs | eo | $\sigma' o$ | $\Delta\sigma' 14$ | $\sum_a^l \Delta\sigma'$ | $\sigma' c$ | OCR | Sc |
| | | | (m) | (m) | (m) | | | | | | | | | | (t/m2) | (t/m2) | | | | |
| 0 | - | 1 | 5.7 | 0.800 | 6.2 | 8.75 | 7.75 | 3.439 | 47.40597 | 0.310 | 0.620 | 1.177 | 0.118 | 1.507 | 0.318 | 0.620 | 10.111 | 4.718 | 14.823 | 0.013 |
| 1 | - | 2 | 6.7 | 0.800 | 6.2 | 8.75 | 7.75 | 3.474 | 42.78034 | 0.293 | 0.585 | 1.177 | 0.118 | 1.507 | 0.955 | 0.585 | 10.598 | 5.355 | 5.608 | 0.012 |
| 2 | - | 3 | 7.7 | 0.800 | 6.2 | 8.75 | 7.75 | 3.433 | 38.84084 | 0.276 | 0.551 | 1.177 | 0.118 | 1.507 | 1.592 | 0.551 | 11.056 | 5.992 | 3.765 | 0.010 |
| 3 | - | 4 | 8.7 | 0.800 | 6.2 | 8.75 | 7.75 | 3.345 | 35.47533 | 0.259 | 0.518 | 1.193 | 0.119 | 1.583 | 2.225 | 0.518 | 11.489 | 6.625 | 2.977 | 0.009 |
| 4 | - | 5 | 9.7 | 0.800 | 6.2 | 8.75 | 7.75 | 3.230 | 32.58571 | 0.243 | 0.487 | 1.193 | 0.119 | 1.583 | 2.856 | 0.487 | 11.901 | 7.256 | 2.541 | 0.008 |
| 5 | - | 6 | 10.7 | 0.800 | 6.2 | 8.75 | 7.75 | 3.103 | 30.08969 | 0.229 | 0.458 | 1.193 | 0.119 | 1.583 | 3.486 | 0.458 | 12.300 | 7.886 | 2.262 | 0.008 |
| 6 | - | 7 | 11.7 | 0.800 | 6.2 | 8.75 | 7.75 | 2.972 | 27.91977 | 0.216 | 0.431 | 1.171 | 0.117 | 1.382 | 4.139 | 0.431 | 12.712 | 8.539 | 2.063 | 0.007 |
| 7 | - | 8 | 12.7 | 0.800 | 6.2 | 8.75 | 7.75 | 2.842 | 26.02112 | 0.204 | 0.407 | 1.171 | 0.117 | 1.382 | 4.815 | 0.407 | 13.142 | 9.215 | 1.914 | 0.007 |
| 8 | - | 9 | 13.7 | 0.800 | 6.2 | 8.75 | 7.75 | 2.715 | 24.34936 | 0.192 | 0.385 | 1.171 | 0.117 | 1.382 | 5.490 | 0.385 | 13.570 | 9.890 | 1.801 | 0.006 |
| 9 | - | 10 | 14.7 | 0.800 | 6.2 | 8.75 | 7.75 | 2.595 | 22.8685 | 0.182 | 0.365 | 1.171 | 0.117 | 1.300 | 6.167 | 0.365 | 14.001 | 10.567 | 1.713 | 0.006 |

Tabel 2. Hasil Perhitungan Tegangan dan Pemampatan Tanah Akibat Penimbunan Bertahap pada Zona 1 (Lanjutan)

Tabel 2. Hasil Perhitungan Tegangan dan Pemampatan Tanah Akibat Penimbunan Bertahap pada Zona 1 (Lanjutan)

| PENIMBUNAN 18 | H timbunan = | 0.4 | m | γ_{tim} (t/m ³) = | 1.8 | | | | | | | | | | | | | | | |
|---------------|--------------|-----|------|--------------------------------------|-----|------------|-------|------------|------------|----------------|-----------------|-------|-------|-------|---------------------|---------------------|--------------------------|------------|--------|-------|
| | Depth (m) | | z | B2 | B1 | (B1+B2)/B2 | B1/B2 | α_1 | α_2 | $\Delta\sigma$ | $2\Delta\sigma$ | Cc | Cs | eo | $\sigma'o$ | $\Delta\sigma'18$ | $\sum_a^i \Delta\sigma'$ | $\sigma'c$ | OCR | Sc |
| | | | (m) | (m) | (m) | | | | | | | | | | (t/m ²) | (t/m ²) | | | | |
| 0 | - | 1 | 7.3 | 0.800 | 3 | 4.75 | 3.75 | 5.158 | 22.34065 | 0.187 | 0.375 | 1.177 | 0.118 | 1.507 | 0.318 | 0.375 | 12.039 | 4.718 | 14.823 | 0.006 |
| 1 | - | 2 | 8.3 | 0.800 | 3 | 4.75 | 3.75 | 4.728 | 19.87218 | 0.169 | 0.339 | 1.177 | 0.118 | 1.507 | 0.955 | 0.339 | 12.369 | 5.355 | 5.608 | 0.006 |
| 2 | - | 3 | 9.3 | 0.800 | 3 | 4.75 | 3.75 | 4.346 | 17.8787 | 0.154 | 0.308 | 1.177 | 0.118 | 1.507 | 1.592 | 0.308 | 12.689 | 5.992 | 3.765 | 0.005 |
| 3 | - | 4 | 10.3 | 0.800 | 3 | 4.75 | 3.75 | 4.012 | 16.23884 | 0.141 | 0.282 | 1.193 | 0.119 | 1.583 | 2.225 | 0.282 | 12.998 | 6.625 | 2.977 | 0.004 |
| 4 | - | 5 | 11.3 | 0.800 | 3 | 4.75 | 3.75 | 3.719 | 14.86828 | 0.130 | 0.260 | 1.193 | 0.119 | 1.583 | 2.856 | 0.260 | 13.301 | 7.256 | 2.541 | 0.004 |
| 5 | - | 6 | 12.3 | 0.800 | 3 | 4.75 | 3.75 | 3.461 | 13.70696 | 0.121 | 0.241 | 1.193 | 0.119 | 1.583 | 3.486 | 0.241 | 13.604 | 7.886 | 2.262 | 0.004 |
| 6 | - | 7 | 13.3 | 0.800 | 3 | 4.75 | 3.75 | 3.234 | 12.71113 | 0.112 | 0.225 | 1.171 | 0.117 | 1.382 | 4.139 | 0.225 | 13.931 | 8.539 | 2.063 | 0.003 |
| 7 | - | 8 | 14.3 | 0.800 | 3 | 4.75 | 3.75 | 3.033 | 11.84827 | 0.105 | 0.210 | 1.171 | 0.117 | 1.382 | 4.815 | 0.210 | 14.286 | 9.215 | 1.914 | 0.003 |
| 8 | - | 9 | 15.3 | 0.800 | 3 | 4.75 | 3.75 | 2.854 | 11.09372 | 0.099 | 0.197 | 1.171 | 0.117 | 1.382 | 5.490 | 0.197 | 14.646 | 9.890 | 1.801 | 0.003 |
| 9 | - | 10 | 16.3 | 0.800 | 3 | 4.75 | 3.75 | 2.694 | 10.42853 | 0.093 | 0.186 | 1.171 | 0.117 | 1.300 | 6.167 | 0.186 | 15.016 | 10.567 | 1.713 | 0.003 |

Tabel 3. Hasil Perhitungan Perubahan Tegangan untuk U100% Akibat Penimbunan Bertahap 8 Minggu (8 Tahap) pada Zona 1

| Tegangan efektif untuk U 100% | | | | | | | | | | | | |
|-------------------------------|---|----|----------|-------------------------|-------------------------|-------------------------|-------------------------|-------------------------|-------------------------|-------------------------|-------------------------|-------------------------|
| Depth (m) | | | z (m) | Po' t/m ² | σ1' t/m ² | σ2' t/m ² | σ3' t/m ² | σ4' t/m ² | σ5' t/m ² | σ6' t/m ² | σ7' t/m ² | σ8' t/m ² |
| | | | | 0 | 0.4 | 0.8 | 1.2 | 1.6 | 2 | 2.4 | 2.8 | 3.2 |
| 0 | - | 1 | 0.5 | 0.318 | 1.038 | 1.758 | 2.478 | 3.198 | 3.917 | 4.634 | 5.351 | 6.064 |
| 1 | - | 2 | 1.5 | 0.955 | 1.675 | 2.394 | 3.113 | 3.831 | 4.548 | 5.263 | 5.974 | 6.680 |
| 2 | - | 3 | 2.5 | 1.592 | 2.311 | 3.029 | 3.746 | 4.461 | 5.174 | 5.883 | 6.587 | 7.282 |
| 3 | - | 4 | 3.5 | 2.225 | 2.943 | 3.659 | 4.372 | 5.083 | 5.790 | 6.491 | 7.184 | 7.867 |
| 4 | - | 5 | 4.5 | 2.856 | 3.570 | 4.283 | 4.992 | 5.696 | 6.395 | 7.086 | 7.766 | 8.433 |
| 5 | - | 6 | 5.5 | 3.486 | 4.197 | 4.904 | 5.607 | 6.303 | 6.992 | 7.670 | 8.336 | 8.986 |
| 6 | - | 7 | 6.5 | 4.139 | 4.844 | 5.545 | 6.240 | 6.926 | 7.603 | 8.268 | 8.917 | 9.548 |
| 7 | - | 8 | 7.5 | 4.815 | 5.513 | 6.206 | 6.891 | 7.566 | 8.229 | 8.878 | 9.510 | 10.121 |
| 8 | - | 9 | 8.5 | 5.490 | 6.181 | 6.864 | 7.538 | 8.200 | 8.849 | 9.482 | 10.095 | 10.686 |
| 9 | - | 10 | 9.5 | 6.167 | 6.849 | 7.521 | 8.183 | 8.832 | 9.465 | 10.080 | 10.675 | 11.246 |

Tabel 4. Hasil Perhitungan Perubahan Tegangan untuk U<100% Akibat Penimbunan Bertahap 8 Minggu (8 Tahap) pada Zona 1

| Derajat Konsolidasi U<100% | | | | | | | | | | | | | |
|----------------------------|---|--------------------------|---------------------------|---------------------------|---------------------------|---------------------------|---------------------------|---------------------------|---------------------------|---------------------------|--------------------------|----------------------------|-------|
| Perubahan Tegangan | | Po' KN/m ² | ΔP1' KN/m ² | ΔP2' KN/m ² | ΔP3' KN/m ² | ΔP4' KN/m ² | ΔP5' KN/m ² | ΔP6' KN/m ² | ΔP7' KN/m ² | ΔP8' KN/m ² | Σσp' t/m ² | Σσp' kg/cm ² | |
| Tinggi Timbunan | | 0 | 0.4 | 0.8 | 1.2 | 1.6 | 2 | 2.4 | 2.8 | 3.2 | | | |
| Umur Timbunan | | - | 8 mg | 7 mg | 6 mg | 5 mg | 4 mg | 3 mg | 2 mg | 1 mg | | | |
| Kedalaman/ U(%) | | 1 | 0.570 | 0.524 | 0.473 | 0.417 | 0.354 | 0.284 | 0.205 | 0.115 | t/m ² | kg/cm ² | |
| 0 | - | 1 | 0.318 | 0.306 | 0.330 | 0.310 | 0.278 | 0.238 | 0.191 | 0.138 | 0.077 | 2.188 | 0.219 |
| 1 | - | 2 | 0.955 | 0.360 | 0.345 | 0.317 | 0.281 | 0.240 | 0.192 | 0.138 | 0.077 | 2.906 | 0.291 |
| 2 | - | 3 | 1.592 | 0.377 | 0.352 | 0.320 | 0.283 | 0.240 | 0.192 | 0.138 | 0.076 | 3.570 | 0.357 |
| 3 | - | 4 | 2.225 | 0.384 | 0.356 | 0.322 | 0.283 | 0.240 | 0.191 | 0.136 | 0.075 | 4.212 | 0.421 |
| 4 | - | 5 | 2.856 | 0.388 | 0.357 | 0.322 | 0.282 | 0.238 | 0.189 | 0.134 | 0.074 | 4.840 | 0.484 |
| 5 | - | 6 | 3.486 | 0.389 | 0.357 | 0.321 | 0.280 | 0.236 | 0.186 | 0.132 | 0.072 | 5.459 | 0.546 |
| 6 | - | 7 | 4.139 | 0.388 | 0.355 | 0.318 | 0.278 | 0.232 | 0.183 | 0.129 | 0.070 | 6.093 | 0.609 |
| 7 | - | 8 | 4.815 | 0.387 | 0.353 | 0.315 | 0.274 | 0.228 | 0.179 | 0.126 | 0.068 | 6.745 | 0.674 |
| 8 | - | 9 | 5.490 | 0.384 | 0.349 | 0.311 | 0.269 | 0.224 | 0.175 | 0.122 | 0.066 | 7.391 | 0.739 |
| 9 | - | 10 | 6.167 | 0.380 | 0.345 | 0.306 | 0.264 | 0.219 | 0.171 | 0.119 | 0.064 | 8.035 | 0.803 |

Tabel 5. Hasil Perhitungan Peningkatan Cu (8 Minggu)

| $\Sigma\sigma_p'$ | Kedalaman | | | PI | Cu lama | Cu baru | |
|-------------------|--------------------|-----|----|--------|---------|--------------------|--------------------|
| | kg/cm ² | (m) | | | | kg/cm ² | kg/cm ² |
| 0.219 | 0 | - | 1 | 37.282 | 0.108 | 0.102 | |
| 0.291 | 1 | - | 2 | 37.282 | 0.108 | 0.111 | |
| 0.357 | 2 | - | 3 | 37.282 | 0.108 | 0.120 | |
| 0.421 | 3 | - | 4 | 34.553 | 0.104 | 0.130 | |
| 0.484 | 4 | - | 5 | 34.553 | 0.104 | 0.139 | |
| 0.546 | 5 | - | 6 | 34.553 | 0.104 | 0.147 | |
| 0.609 | 6 | - | 7 | 34.938 | 0.371 | 0.155 | |
| 0.674 | 7 | - | 8 | 34.938 | 0.371 | 0.164 | |
| 0.739 | 8 | - | 9 | 34.938 | 0.371 | 0.172 | |
| 0.803 | 9 | - | 10 | 38.059 | 0.292 | 0.177 | |

Tabel 6. Tahapan Penimbunan (Zona 2)

| Tinggi Timbunan | Waktu (minggu) | | | | | | | | | | | | | | |
|-----------------|----------------|-------|-------|-------|-------|-------|-------|------|------|------|------|------|------|------|------|
| | 0.4 | 0.8 | 1.2 | 1.6 | 2 | 2.4 | 2.8 | 3.2 | 3.6 | 4 | 4.4 | 4.8 | 5.2 | 5.6 | 6 |
| 0.4 | 1 mg | | | | | | | | | | | | | | |
| 0.8 | 2 mg | 1 mg | | | | | | | | | | | | | |
| 1.2 | 3 mg | 2 mg | 1 mg | | | | | | | | | | | | |
| 1.6 | 4 mg | 3 mg | 2 mg | 1 mg | | | | | | | | | | | |
| 2 | 5 mg | 4 mg | 3 mg | 2 mg | 1 mg | | | | | | | | | | |
| 2.4 | 6 mg | 5 mg | 4 mg | 3 mg | 2 mg | 1 mg | | | | | | | | | |
| 2.8 | 7 mg | 6 mg | 5 mg | 4 mg | 3 mg | 2 mg | 1 mg | | | | | | | | |
| 3.2 | 8 mg | 7 mg | 6 mg | 5 mg | 4 mg | 3 mg | 2 mg | 1 mg | | | | | | | |
| 3.6 | 9 mg | 8 mg | 7 mg | 6 mg | 5 mg | 4 mg | 3 mg | 2 mg | 1 mg | | | | | | |
| 4 | 10 mg | 9 mg | 8 mg | 7 mg | 6 mg | 5 mg | 4 mg | 3 mg | 2 mg | 1 mg | | | | | |
| 4.4 | 11 mg | 10 mg | 9 mg | 8 mg | 7 mg | 6 mg | 5 mg | 4 mg | 3 mg | 2 mg | 1 mg | | | | |
| 4.8 | 12 mg | 11 mg | 10 mg | 9 mg | 8 mg | 7 mg | 6 mg | 5 mg | 4 mg | 3 mg | 2 mg | 1 mg | | | |
| 5.2 | 13 mg | 12 mg | 11 mg | 10 mg | 9 mg | 8 mg | 7 mg | 6 mg | 5 mg | 4 mg | 3 mg | 2 mg | 1 mg | | |
| 5.6 | 14 mg | 13 mg | 12 mg | 11 mg | 10 mg | 9 mg | 8 mg | 7 mg | 6 mg | 5 mg | 4 mg | 3 mg | 2 mg | 1 mg | |
| 6 | 15 mg | 14 mg | 13 mg | 12 mg | 11 mg | 10 mg | 9 mg | 8 mg | 7 mg | 6 mg | 5 mg | 4 mg | 3 mg | 2 mg | 1 mg |
| 6.3 | 16 mg | 15 mg | 14 mg | 13 mg | 12 mg | 11 mg | 10 mg | 9 mg | 8 mg | 7 mg | 6 mg | 5 mg | 4 mg | 3 mg | 2 mg |

Tabel 7. Hasil Perhitungan Tegangan dan Pemampatan Tanah Akibat Penimbunan Bertahap pada Zona 2

| PENIMBUNAN 2 | | H timbunan = | | 0.4 | m | $\gamma_{tim} (t/m^3) =$ | 1.8 | | | | | | | | | | | | | |
|--------------|---|--------------|-----|-------|------------|--------------------------|------------|------------|----------------|-----------------|-------|-------|-------|-------------|-------------------|--------------------------|-------------|--------|--------|-------|
| Depth (m) | | z | B2 | B1 | (B1+B2)/B2 | B1/B2 | α_1 | α_2 | $\Delta\sigma$ | $2\Delta\sigma$ | Cc | Cs | eo | $\sigma' o$ | $\Delta\sigma' 2$ | $\sum_o^i \Delta\sigma'$ | $\sigma' c$ | OCR | Sc | |
| | | (m) | (m) | (m) | | | | t/m2 | t/m2 | | | | | (t/m2) | (t/m2) | (t/m2) | (t/m2) | | m | |
| 0 | - | 1 | 0.9 | 0.800 | 14 | 18.50 | 17.50 | 0.198 | 86.32176 | 0.360 | 0.720 | 1.177 | 0.118 | 1.507 | 0.318 | 0.720 | 1.758 | 4.718 | 14.823 | 0.035 |
| 1 | - | 2 | 1.9 | 0.800 | 14 | 18.50 | 17.50 | 0.413 | 82.27136 | 0.360 | 0.719 | 1.177 | 0.118 | 1.507 | 0.955 | 0.719 | 2.394 | 5.355 | 5.608 | 0.019 |
| 2 | - | 3 | 2.9 | 0.800 | 14 | 18.50 | 17.50 | 0.616 | 78.2971 | 0.359 | 0.718 | 1.177 | 0.118 | 1.507 | 1.592 | 0.718 | 3.028 | 5.992 | 3.765 | 0.013 |
| 3 | - | 4 | 3.9 | 0.800 | 14 | 18.50 | 17.50 | 0.804 | 74.43368 | 0.357 | 0.714 | 1.193 | 0.119 | 1.583 | 2.225 | 0.714 | 3.656 | 6.625 | 2.977 | 0.010 |
| 4 | - | 5 | 4.9 | 0.800 | 14 | 18.50 | 17.50 | 0.971 | 70.70995 | 0.355 | 0.709 | 1.193 | 0.119 | 1.583 | 2.856 | 0.709 | 4.278 | 7.256 | 2.541 | 0.008 |
| 5 | - | 6 | 5.9 | 0.800 | 14 | 18.50 | 17.50 | 1.117 | 67.14805 | 0.351 | 0.703 | 1.193 | 0.119 | 1.583 | 3.486 | 0.703 | 4.896 | 7.886 | 2.262 | 0.007 |
| 6 | - | 7 | 6.9 | 0.800 | 14 | 18.50 | 17.50 | 1.241 | 63.76329 | 0.347 | 0.694 | 1.171 | 0.117 | 1.382 | 4.139 | 0.694 | 5.533 | 8.539 | 2.063 | 0.006 |
| 7 | - | 8 | 7.9 | 0.800 | 14 | 18.50 | 17.50 | 1.343 | 60.56458 | 0.342 | 0.683 | 1.171 | 0.117 | 1.382 | 4.815 | 0.683 | 6.190 | 9.215 | 1.914 | 0.005 |
| 8 | - | 9 | 8.9 | 0.800 | 14 | 18.50 | 17.50 | 1.424 | 57.5553 | 0.336 | 0.671 | 1.171 | 0.117 | 1.382 | 5.490 | 0.671 | 6.843 | 9.890 | 1.801 | 0.005 |
| 9 | - | 10 | 9.9 | 0.800 | 14 | 18.50 | 17.50 | 1.486 | 54.73423 | 0.329 | 0.658 | 1.171 | 0.117 | 1.300 | 6.167 | 0.658 | 7.495 | 10.567 | 1.713 | 0.004 |

Tabel 7. Hasil Perhitungan Tegangan dan Pemampatan Tanah Akibat Penimbunan Bertahap pada Zona 2 (Lanjutan)

| PENIMBUNAN 3 | | H timbunan = | | 0.4 | m | $\gamma t i m (t/m^3) =$ | 1.8 | | | | | | | | | | | | | |
|--------------|---|--------------|------|-------|------|--------------------------|-------|------------|------------|----------------|-----------------|-------|-------|-------|-------------|-------------------|--------------------------|-------------|--------|-------|
| Depth (m) | | z | | B2 | B1 | (B1+B2)/B2 | B1/B2 | α_1 | α_2 | $\Delta\sigma$ | $2\Delta\sigma$ | Cc | Cs | eo | $\sigma' o$ | $\Delta\sigma' 3$ | $\sum_o^i \Delta\sigma'$ | $\sigma' c$ | OCR | Sc |
| | | (m) | | (m) | (m) | | | | | t/m2 | t/m2 | | | | (t/m2) | (t/m2) | (t/m2) | (t/m2) | | |
| 0 | - | 1 | 1.3 | 0.800 | 13.2 | 17.50 | 16.50 | 0.320 | 84.37537 | 0.360 | 0.720 | 1.177 | 0.118 | 1.507 | 0.318 | 0.720 | 2.478 | 4.718 | 14.823 | 0.042 |
| 1 | - | 2 | 2.3 | 0.800 | 13.2 | 17.50 | 16.50 | 0.555 | 80.11588 | 0.359 | 0.719 | 1.177 | 0.118 | 1.507 | 0.955 | 0.719 | 3.113 | 5.355 | 5.608 | 0.024 |
| 2 | - | 3 | 3.3 | 0.800 | 13.2 | 17.50 | 16.50 | 0.773 | 75.96376 | 0.358 | 0.716 | 1.177 | 0.118 | 1.507 | 1.592 | 0.716 | 3.744 | 5.992 | 3.765 | 0.017 |
| 3 | - | 4 | 4.3 | 0.800 | 13.2 | 17.50 | 16.50 | 0.969 | 71.95659 | 0.356 | 0.711 | 1.193 | 0.119 | 1.583 | 2.225 | 0.711 | 4.367 | 6.625 | 2.977 | 0.014 |
| 4 | - | 5 | 5.3 | 0.800 | 13.2 | 17.50 | 16.50 | 1.141 | 68.12379 | 0.352 | 0.705 | 1.193 | 0.119 | 1.583 | 2.856 | 0.705 | 4.983 | 7.256 | 2.541 | 0.011 |
| 5 | - | 6 | 6.3 | 0.800 | 13.2 | 17.50 | 16.50 | 1.286 | 64.48613 | 0.348 | 0.696 | 1.193 | 0.119 | 1.583 | 3.486 | 0.696 | 5.592 | 7.886 | 2.262 | 0.009 |
| 6 | - | 7 | 7.3 | 0.800 | 13.2 | 17.50 | 16.50 | 1.405 | 61.05608 | 0.343 | 0.685 | 1.171 | 0.117 | 1.382 | 4.139 | 0.685 | 6.218 | 8.539 | 2.063 | 0.009 |
| 7 | - | 8 | 8.3 | 0.800 | 13.2 | 17.50 | 16.50 | 1.499 | 57.83882 | 0.336 | 0.673 | 1.171 | 0.117 | 1.382 | 4.815 | 0.673 | 6.862 | 9.215 | 1.914 | 0.008 |
| 8 | - | 9 | 9.3 | 0.800 | 13.2 | 17.50 | 16.50 | 1.571 | 54.83356 | 0.329 | 0.659 | 1.171 | 0.117 | 1.382 | 5.490 | 0.659 | 7.502 | 9.890 | 1.801 | 0.007 |
| 9 | - | 10 | 10.3 | 0.800 | 13.2 | 17.50 | 16.50 | 1.623 | 52.03498 | 0.322 | 0.643 | 1.171 | 0.117 | 1.300 | 6.167 | 0.643 | 8.139 | 10.567 | 1.713 | 0.006 |

Tabel 7. Hasil Perhitungan Tegangan dan Pemampatan Tanah Akibat Penimbunan Bertahap pada Zona 2 (Lanjutan)

| PENIMBUNAN 5 | H timbunan = | 0.4 | m | ytim (t/m3) = | 1.8 | | | | | | | | | | | | | | | | | | | | |
|--------------|--------------|-----|------|---------------|------|-----------|-------|-------|----------|-------|------------|-------|-------|-------|-------|-------|-------|--------|--------|-------|------|------------------------------|-----|-----|----|
| | | | | | | Depth (m) | | z | B2 | B1 | (B1+B2)/B2 | B1/B2 | α1 | α2 | Δσ | 2Δσ | Cc | Cs | eo | σ'o | Δσ'5 | $\sum_{o=1}^i \Delta\sigma'$ | σ'c | OCR | Sc |
| | | | | | | (m) | (m) | | | | | | | | | | | | | | | | | | |
| 0 | - | 1 | 2.1 | 0.800 | 11.6 | 15.50 | 14.50 | 0.649 | 79.73863 | 0.359 | 0.718 | 1.177 | 0.118 | 1.507 | 0.318 | 0.718 | 3.916 | 4.718 | 14.823 | 0.051 | | | | | |
| 1 | - | 2 | 3.1 | 0.800 | 11.6 | 15.50 | 14.50 | 0.926 | 75.03784 | 0.358 | 0.715 | 1.177 | 0.118 | 1.507 | 0.955 | 0.715 | 4.545 | 5.355 | 5.608 | 0.032 | | | | | |
| 2 | - | 3 | 4.1 | 0.800 | 11.6 | 15.50 | 14.50 | 1.170 | 70.53413 | 0.355 | 0.709 | 1.177 | 0.118 | 1.507 | 1.592 | 0.709 | 5.166 | 5.992 | 3.765 | 0.024 | | | | | |
| 3 | - | 4 | 5.1 | 0.800 | 11.6 | 15.50 | 14.50 | 1.376 | 66.26706 | 0.350 | 0.701 | 1.193 | 0.119 | 1.583 | 2.225 | 0.701 | 5.775 | 6.625 | 2.977 | 0.019 | | | | | |
| 4 | - | 5 | 6.1 | 0.800 | 11.6 | 15.50 | 14.50 | 1.544 | 62.26182 | 0.345 | 0.690 | 1.193 | 0.119 | 1.583 | 2.856 | 0.690 | 6.370 | 7.256 | 2.541 | 0.016 | | | | | |
| 5 | - | 6 | 7.1 | 0.800 | 11.6 | 15.50 | 14.50 | 1.675 | 58.53049 | 0.338 | 0.676 | 1.193 | 0.119 | 1.583 | 3.486 | 0.676 | 6.955 | 7.886 | 2.262 | 0.014 | | | | | |
| 6 | - | 7 | 8.1 | 0.800 | 11.6 | 15.50 | 14.50 | 1.772 | 55.07433 | 0.330 | 0.660 | 1.171 | 0.117 | 1.382 | 4.139 | 0.660 | 7.553 | 8.539 | 2.063 | 0.013 | | | | | |
| 7 | - | 8 | 9.1 | 0.800 | 11.6 | 15.50 | 14.50 | 1.840 | 51.88643 | 0.322 | 0.643 | 1.171 | 0.117 | 1.382 | 4.815 | 0.643 | 8.165 | 9.215 | 1.914 | 0.011 | | | | | |
| 8 | - | 9 | 10.1 | 0.800 | 11.6 | 15.50 | 14.50 | 1.882 | 48.95425 | 0.313 | 0.625 | 1.171 | 0.117 | 1.382 | 5.490 | 0.625 | 8.770 | 9.890 | 1.801 | 0.010 | | | | | |
| 9 | - | 10 | 11.1 | 0.800 | 11.6 | 15.50 | 14.50 | 1.905 | 46.26182 | 0.303 | 0.606 | 1.171 | 0.117 | 1.300 | 6.167 | 0.606 | 9.371 | 10.567 | 1.713 | 0.009 | | | | | |

| PENIMBUNAN 6 | | H timbunan = | 0.4 | m | $\gamma t/m^3$ = | 1.8 | | | | | | | | | | | | | | |
|--------------|---|--------------|------|-------|------------------|-------|------------|------------|----------------|-----------------|-------|-------|-------|-------------|-------------------|--------------------------|-------------|--------|--------|-------|
| Depth (m) | | z | B2 | B1 | (B1+B2)/B2 | B1/B2 | α_1 | α_2 | $\Delta\sigma$ | $2\Delta\sigma$ | Cc | Cs | eo | σ'_o | $\Delta\sigma'_6$ | $\sum_i \Delta\sigma'_i$ | σ'_c | OCR | Sc | |
| | | (m) | (m) | (m) | | | | | t/m2 | t/m2 | | | | (t/m2) | (t/m2) | (t/m2) | (t/m2) | | | |
| 0 | - | 1 | 2.5 | 0.800 | 10.8 | 14.50 | 13.50 | 0.871 | 76.96664 | 0.358 | 0.717 | 1.177 | 0.118 | 1.507 | 0.318 | 0.717 | 4.632 | 4.718 | 14.823 | 0.055 |
| 1 | - | 2 | 3.5 | 0.800 | 10.8 | 14.50 | 13.50 | 1.166 | 72.04383 | 0.356 | 0.712 | 1.177 | 0.118 | 1.507 | 0.955 | 0.712 | 5.257 | 5.355 | 5.608 | 0.035 |
| 2 | - | 3 | 4.5 | 0.800 | 10.8 | 14.50 | 13.50 | 1.417 | 67.38014 | 0.352 | 0.703 | 1.177 | 0.118 | 1.507 | 1.592 | 0.703 | 5.870 | 5.992 | 3.765 | 0.027 |
| 3 | - | 4 | 5.5 | 0.800 | 10.8 | 14.50 | 13.50 | 1.620 | 63.01211 | 0.346 | 0.692 | 1.193 | 0.119 | 1.583 | 2.225 | 0.692 | 6.467 | 6.625 | 2.977 | 0.021 |
| 4 | - | 5 | 6.5 | 0.800 | 10.8 | 14.50 | 13.50 | 1.778 | 58.95829 | 0.339 | 0.678 | 1.193 | 0.119 | 1.583 | 2.856 | 0.678 | 7.048 | 7.256 | 2.541 | 0.018 |
| 5 | - | 6 | 7.5 | 0.800 | 10.8 | 14.50 | 13.50 | 1.893 | 55.22217 | 0.331 | 0.661 | 1.193 | 0.119 | 1.583 | 3.486 | 0.661 | 7.617 | 7.886 | 2.262 | 0.016 |
| 6 | - | 7 | 8.5 | 0.800 | 10.8 | 14.50 | 13.50 | 1.972 | 51.79594 | 0.322 | 0.643 | 1.171 | 0.117 | 1.382 | 4.139 | 0.643 | 8.196 | 8.539 | 2.063 | 0.015 |
| 7 | - | 8 | 9.5 | 0.800 | 10.8 | 14.50 | 13.50 | 2.020 | 48.66418 | 0.312 | 0.624 | 1.171 | 0.117 | 1.382 | 4.815 | 0.624 | 8.788 | 9.215 | 1.914 | 0.013 |
| 8 | - | 9 | 10.5 | 0.800 | 10.8 | 14.50 | 13.50 | 2.043 | 45.80693 | 0.302 | 0.603 | 1.171 | 0.117 | 1.382 | 5.490 | 0.603 | 9.373 | 9.890 | 1.801 | 0.011 |
| 9 | - | 10 | 11.5 | 0.800 | 10.8 | 14.50 | 13.50 | 2.046 | 43.20207 | 0.291 | 0.583 | 1.171 | 0.117 | 1.300 | 6.167 | 0.583 | 9.954 | 10.567 | 1.713 | 0.011 |

Tabel 7. Hasil Perhitungan Tegangan dan Pemampatan Tanah Akibat Penimbunan Bertahap pada Zona 2 (Lanjutan)

| PENIMBUNAN 7 | | H timbunan = | 0.4 | m | γ_{tim} (t/m ³) = | 1.8 | | | | | | | | | | | | | | |
|--------------|---|--------------|------|-------|--------------------------------------|------------|-------|------------|------------|----------------|-----------------|-------|-------|-------|------------------|------------------|--------------------------|------------|--------|-------|
| Depth (m) | | | z | B2 | B1 | (B1+B2)/B2 | B1/B2 | α_1 | α_2 | $\Delta\sigma$ | $2\Delta\sigma$ | Cc | Cs | eo | $\sigma'o$ | $\Delta\sigma'7$ | $\sum_o^i \Delta\sigma'$ | $\sigma'c$ | OCR | Sc |
| | | | (m) | (m) | (m) | | | | | | | | | | t/m ² | t/m ² | | | | |
| 0 | - | 1 | 2.9 | 0.800 | 10 | 13.50 | 12.50 | 1.142 | 73.82784 | 0.357 | 0.714 | 1.177 | 0.118 | 1.507 | 0.318 | 0.714 | 5.346 | 4.718 | 14.823 | 0.026 |
| 1 | - | 2 | 3.9 | 0.800 | 10 | 13.50 | 12.50 | 1.451 | 68.69422 | 0.353 | 0.706 | 1.177 | 0.118 | 1.507 | 0.955 | 0.706 | 5.963 | 5.355 | 5.608 | 0.022 |
| 2 | - | 3 | 4.9 | 0.800 | 10 | 13.50 | 12.50 | 1.701 | 63.89515 | 0.347 | 0.695 | 1.177 | 0.118 | 1.507 | 1.592 | 0.695 | 6.565 | 5.992 | 3.765 | 0.019 |
| 3 | - | 4 | 5.9 | 0.800 | 10 | 13.50 | 12.50 | 1.893 | 59.4594 | 0.340 | 0.680 | 1.193 | 0.119 | 1.583 | 2.225 | 0.680 | 7.147 | 6.625 | 2.977 | 0.016 |
| 4 | - | 5 | 6.9 | 0.800 | 10 | 13.50 | 12.50 | 2.032 | 55.39432 | 0.331 | 0.663 | 1.193 | 0.119 | 1.583 | 2.856 | 0.663 | 7.711 | 7.256 | 2.541 | 0.013 |
| 5 | - | 6 | 7.9 | 0.800 | 10 | 13.50 | 12.50 | 2.124 | 51.69126 | 0.321 | 0.643 | 1.193 | 0.119 | 1.583 | 3.486 | 0.643 | 8.259 | 7.886 | 2.262 | 0.010 |
| 6 | - | 7 | 8.9 | 0.800 | 10 | 13.50 | 12.50 | 2.178 | 48.33092 | 0.311 | 0.622 | 1.171 | 0.117 | 1.382 | 4.139 | 0.622 | 8.818 | 8.539 | 2.063 | 0.008 |
| 7 | - | 8 | 9.9 | 0.800 | 10 | 13.50 | 12.50 | 2.202 | 45.28792 | 0.300 | 0.600 | 1.171 | 0.117 | 1.382 | 4.815 | 0.600 | 9.389 | 9.215 | 1.914 | 0.005 |
| 8 | - | 9 | 10.9 | 0.800 | 10 | 13.50 | 12.50 | 2.202 | 42.53424 | 0.289 | 0.578 | 1.171 | 0.117 | 1.382 | 5.490 | 0.578 | 9.951 | 9.890 | 1.801 | 0.002 |
| 9 | - | 10 | 11.9 | 0.800 | 10 | 13.50 | 12.50 | 2.184 | 40.04155 | 0.278 | 0.556 | 1.171 | 0.117 | 1.300 | 6.167 | 0.556 | 10.510 | 10.567 | 1.713 | 0.000 |

| PENIMBUNAN 8 | | H timbunan = | 0.4 | m | ytim (t/m3) = | 1.8 | | | | | | | | | | | | | | | |
|--------------|---|--------------|------|-------|---------------|------------|-------|-------|----------|-------|-------|-------|-------|-------|--------|--------|------------------------------|--------|--------|-------|--|
| Depth (m) | | | z | B2 | B1 | (B1+B2)/B2 | B1/B2 | α1 | α2 | Δσ | 2Δσ | Cc | Cs | eo | σ'o | Δσ'8 | $\sum_{o=0}^i \Delta\sigma'$ | σ'c | OCR | Sc | |
| | | | (m) | (m) | (m) | | | | | t/m2 | t/m2 | | | | (t/m2) | (t/m2) | | | | | |
| 0 | - | 1 | 3.3 | 0.800 | 9.2 | 12.50 | 11.50 | 1.470 | 70.26731 | 0.355 | 0.709 | 1.177 | 0.118 | 1.507 | 0.318 | 0.709 | 6.056 | 4.718 | 14.823 | 0.025 | |
| 1 | - | 2 | 4.3 | 0.800 | 9.2 | 12.50 | 11.50 | 1.783 | 64.94902 | 0.349 | 0.698 | 1.177 | 0.118 | 1.507 | 0.955 | 0.698 | 6.661 | 5.355 | 5.608 | 0.023 | |
| 2 | - | 3 | 5.3 | 0.800 | 9.2 | 12.50 | 11.50 | 2.022 | 60.05432 | 0.341 | 0.683 | 1.177 | 0.118 | 1.507 | 1.592 | 0.683 | 7.247 | 5.992 | 3.765 | 0.020 | |
| 3 | - | 4 | 6.3 | 0.800 | 9.2 | 12.50 | 11.50 | 2.192 | 55.59734 | 0.332 | 0.664 | 1.193 | 0.119 | 1.583 | 2.225 | 0.664 | 7.811 | 6.625 | 2.977 | 0.018 | |
| 4 | - | 5 | 7.3 | 0.800 | 9.2 | 12.50 | 11.50 | 2.302 | 51.56876 | 0.321 | 0.643 | 1.193 | 0.119 | 1.583 | 2.856 | 0.643 | 8.354 | 7.256 | 2.541 | 0.016 | |
| 5 | - | 6 | 8.3 | 0.800 | 9.2 | 12.50 | 11.50 | 2.363 | 47.94405 | 0.310 | 0.620 | 1.193 | 0.119 | 1.583 | 3.486 | 0.620 | 8.879 | 7.886 | 2.262 | 0.015 | |
| 6 | - | 7 | 9.3 | 0.800 | 9.2 | 12.50 | 11.50 | 2.387 | 44.6903 | 0.298 | 0.596 | 1.171 | 0.117 | 1.382 | 4.139 | 0.596 | 9.414 | 8.539 | 2.063 | 0.014 | |
| 7 | - | 8 | 10.3 | 0.800 | 9.2 | 12.50 | 11.50 | 2.382 | 41.77135 | 0.286 | 0.572 | 1.171 | 0.117 | 1.382 | 4.815 | 0.572 | 9.961 | 9.215 | 1.914 | 0.013 | |
| 8 | - | 9 | 11.3 | 0.800 | 9.2 | 12.50 | 11.50 | 2.356 | 39.15108 | 0.274 | 0.549 | 1.171 | 0.117 | 1.382 | 5.490 | 0.549 | 10.500 | 9.890 | 1.801 | 0.011 | |
| 9 | - | 10 | 12.3 | 0.800 | 9.2 | 12.50 | 11.50 | 2.316 | 36.79529 | 0.263 | 0.526 | 1.171 | 0.117 | 1.300 | 6.167 | 0.526 | 11.036 | 10.567 | 1.713 | 0.011 | |
| | | | | | | | | | | | | | | | | | | | | | |
| | | | | | | | | | | | | | | | | | | | | | |
| | | | | | | | | | | | | | | | | | | | | | |
| | | | | | | | | | | | | | | | | | | | | | |
| | | | | | | | | | | | | | | | | | | | | | |
| | | | | | | | | | | | | | | | | | | | | | |
| | | | | | | | | | | | | | | | | | | | | | |
| | | | | | | | | | | | | | | | | | | | | | |
| | | | | | | | | | | | | | | | | | | | | | |
| | | | | | | | | | | | | | | | | | | | | | |
| | | | | | | | | | | | | | | | | | | | | | |
| | | | | | | | | | | | | | | | | | | | | | |
| | | | | | | | | | | | | | | | | | | | | | |
| | | | | | | | | | | | | | | | | | | | | | |
| | | | | | | | | | | | | | | | | | | | | | |
| | | | | | | | | | | | | | | | | | | | | | |
| | | | | | | | | | | | | | | | | | | | | | |
| | | | | | | | | | | | | | | | | | | | | | |
| | | | | | | | | | | | | | | | | | | | | | |
| | | | | | | | | | | | | | | | | | | | | | |
| | | | | | | | | | | | | | | | | | | | | | |
| | | | | | | | | | | | | | | | | | | | | | |
| | | | | | | | | | | | | | | | | | | | | | |
| | | | | | | | | | | | | | | | | | | | | | |
| | | | | | | | | | | | | | | | | | | | | | |
| | | | | | | | | | | | | | | | | | | | | | |
| | | | | | | | | | | | | | | | | | | | | | |
| | | | | | | | | | | | | | | | | | | | | | |
| | | | | | | | | | | | | | | | | | | | | | |
| | | | | | | | | | | | | | | | | | | | | | |
| | | | | | | | | | | | | | | | | | | | | | |
| | | | | | | | | | | | | | | | | | | | | | |
| | | | | | | | | | | | | | | | | | | | | | |
| | | | | | | | | | | | | | | | | | | | | | |
| | | | | | | | | | | | | | | | | | | | | | |
| | | | | | | | | | | | | | | | | | | | | | |
| | | | | | | | | | | | | | | | | | | | | | |
| | | | | | | | | | | | | | | | | | | | | | |
| | | | | | | | | | | | | | | | | | | | | | |
| | | | | | | | | | | | | | | | | | | | | | |
| | | | | | | | | | | | | | | | | | | | | | |
| | | | | | | | | | | | | | | | | | | | | | |
| | | | | | | | | | | | | | | | | | | | | | |
| | | | | | | | | | | | | | | | | | | | | | |
| | | | | | | | | | | | | | | | | | | | | | |
| | | | | | | | | | | | | | | | | | | | | | |
| | | | | | | | | | | | | | | | | | | | | | |
| | | | | | | | | | | | | | | | | | | | | | |
| | | | | | | | | | | | | | | | | | | | | | |
| | | | | | | | | | | | | | | | | | | | | | |

Tabel 7. Hasil Perhitungan Tegangan dan Pemampatan Tanah Akibat Penimbunan Bertahap pada Zona 2 (Lanjutan)

Tabel 7. Hasil Perhitungan Tegangan dan Pemampatan Tanah Akibat Penimbunan Bertahap pada Zona 2 (Lanjutan)

| PENIMBUNAN 11 | | H timbunan = | | 0.4 | m | $\gamma t/m^3$ = | 1.8 | | | | | | | | | | | | | | |
|---------------|---|--------------|------|-------|------------|------------------|-------|------------|------------|----------------|-----------------|-------|-------|-------|-------------|--------------------|--------------------------|-------------|--------|-------|--|
| Depth (m) | | z | B2 | B1 | (B1+B2)/B2 | | B1/B2 | α_1 | α_2 | $\Delta\sigma$ | $2\Delta\sigma$ | Cc | Cs | eo | $\sigma' o$ | $\Delta\sigma' 11$ | $\sum_0^i \Delta\sigma'$ | $\sigma' c$ | OCR | Sc | |
| | | (m) | (m) | (m) | | | | | | | | | | | | | | | | | |
| 0 | - | 1 | 4.5 | 0.800 | 6.8 | 9.50 | 8.50 | 2.865 | 56.50482 | 0.335 | 0.670 | 1.177 | 0.118 | 1.507 | 0.318 | 0.670 | 8.115 | 4.718 | 14.823 | 0.018 | |
| 1 | - | 2 | 5.5 | 0.800 | 6.8 | 9.50 | 8.50 | 3.074 | 51.03325 | 0.321 | 0.642 | 1.177 | 0.118 | 1.507 | 0.955 | 0.642 | 8.656 | 5.355 | 5.608 | 0.016 | |
| 2 | - | 3 | 6.5 | 0.800 | 6.8 | 9.50 | 8.50 | 3.169 | 46.29217 | 0.306 | 0.611 | 1.177 | 0.118 | 1.507 | 1.592 | 0.611 | 9.166 | 5.992 | 3.765 | 0.014 | |
| 3 | - | 4 | 7.5 | 0.800 | 6.8 | 9.50 | 8.50 | 3.182 | 42.19755 | 0.290 | 0.579 | 1.193 | 0.119 | 1.583 | 2.225 | 0.579 | 9.648 | 6.625 | 2.977 | 0.012 | |
| 4 | - | 5 | 8.5 | 0.800 | 6.8 | 9.50 | 8.50 | 3.141 | 38.65981 | 0.274 | 0.548 | 1.193 | 0.119 | 1.583 | 2.856 | 0.548 | 10.105 | 7.256 | 2.541 | 0.011 | |
| 5 | - | 6 | 9.5 | 0.800 | 6.8 | 9.50 | 8.50 | 3.065 | 35.59469 | 0.259 | 0.518 | 1.193 | 0.119 | 1.583 | 3.486 | 0.518 | 10.546 | 7.886 | 2.262 | 0.010 | |
| 6 | - | 7 | 10.5 | 0.800 | 6.8 | 9.50 | 8.50 | 2.970 | 32.92786 | 0.245 | 0.489 | 1.171 | 0.117 | 1.382 | 4.139 | 0.489 | 10.999 | 8.539 | 2.063 | 0.010 | |
| 7 | - | 8 | 11.5 | 0.800 | 6.8 | 9.50 | 8.50 | 2.863 | 30.59601 | 0.231 | 0.462 | 1.171 | 0.117 | 1.382 | 4.815 | 0.462 | 11.467 | 9.215 | 1.914 | 0.009 | |
| 8 | - | 9 | 12.5 | 0.800 | 6.8 | 9.50 | 8.50 | 2.753 | 28.54619 | 0.219 | 0.438 | 1.171 | 0.117 | 1.382 | 5.490 | 0.438 | 11.932 | 9.890 | 1.801 | 0.008 | |
| 9 | - | 10 | 13.5 | 0.800 | 6.8 | 9.50 | 8.50 | 2.643 | 26.73456 | 0.207 | 0.415 | 1.171 | 0.117 | 1.300 | 6.167 | 0.415 | 12.398 | 10.567 | 1.713 | 0.008 | |

| PENIMBUNAN 12 | H timbunan = | 0.4 | m | $\gamma t/m^3$ = | 1.8 | | | | | | | | | | | | | | | |
|---------------|--------------|-----|------|------------------|-----|------------|-------|------------|------------|----------------|-----------------|-------|-------|-------|-------------|--------------------|--------------------------|-------------|--------|-------|
| | Depth (m) | | z | B2 | B1 | (B1+B2)/B2 | B1/B2 | α_1 | α_2 | $\Delta\sigma$ | $2\Delta\sigma$ | Cc | Cs | eo | $\sigma' o$ | $\Delta\sigma' 12$ | $\sum_a^t \Delta\sigma'$ | $\sigma' c$ | OCR | Sc |
| | | | (m) | (m) | (m) | | | | | | | | | | (t/m2) | | | | | |
| 0 | - | 1 | 4.9 | 0.800 | 6 | 8.50 | 7.50 | 3.461 | 50.76263 | 0.321 | 0.641 | 1.177 | 0.118 | 1.507 | 0.318 | 0.641 | 8.757 | 4.718 | 14.823 | 0.016 |
| 1 | - | 2 | 5.9 | 0.800 | 6 | 8.50 | 7.50 | 3.572 | 45.48147 | 0.303 | 0.607 | 1.177 | 0.118 | 1.507 | 0.955 | 0.607 | 9.262 | 5.355 | 5.608 | 0.014 |
| 2 | - | 3 | 6.9 | 0.800 | 6 | 8.50 | 7.50 | 3.573 | 41.00909 | 0.286 | 0.571 | 1.177 | 0.118 | 1.507 | 1.592 | 0.571 | 9.737 | 5.992 | 3.765 | 0.012 |
| 3 | - | 4 | 7.9 | 0.800 | 6 | 8.50 | 7.50 | 3.504 | 37.21644 | 0.268 | 0.536 | 1.193 | 0.119 | 1.583 | 2.225 | 0.536 | 10.184 | 6.625 | 2.977 | 0.011 |
| 4 | - | 5 | 8.9 | 0.800 | 6 | 8.50 | 7.50 | 3.395 | 33.98617 | 0.251 | 0.503 | 1.193 | 0.119 | 1.583 | 2.856 | 0.503 | 10.608 | 7.256 | 2.541 | 0.010 |
| 5 | - | 6 | 9.9 | 0.800 | 6 | 8.50 | 7.50 | 3.266 | 31.2184 | 0.236 | 0.472 | 1.193 | 0.119 | 1.583 | 3.486 | 0.472 | 11.018 | 7.886 | 2.262 | 0.009 |
| 6 | - | 7 | 10.9 | 0.800 | 6 | 8.50 | 7.50 | 3.127 | 28.83097 | 0.222 | 0.443 | 1.171 | 0.117 | 1.382 | 4.139 | 0.443 | 11.442 | 8.539 | 2.063 | 0.008 |
| 7 | - | 8 | 11.9 | 0.800 | 6 | 8.50 | 7.50 | 2.988 | 26.75732 | 0.209 | 0.417 | 1.171 | 0.117 | 1.382 | 4.815 | 0.417 | 11.884 | 9.215 | 1.914 | 0.008 |
| 8 | - | 9 | 12.9 | 0.800 | 6 | 8.50 | 7.50 | 2.851 | 24.94391 | 0.197 | 0.393 | 1.171 | 0.117 | 1.382 | 5.490 | 0.393 | 12.325 | 9.890 | 1.801 | 0.007 |
| 9 | - | 10 | 13.9 | 0.800 | 6 | 8.50 | 7.50 | 2.721 | 23.34767 | 0.186 | 0.372 | 1.171 | 0.117 | 1.300 | 6.167 | 0.372 | 12.770 | 10.567 | 1.713 | 0.007 |

Tabel 7. Hasil Perhitungan Tegangan dan Pemampatan Tanah Akibat Penimbunan Bertahap pada Zona 2 (Lanjutan)

Tabel 7. Hasil Perhitungan Tegangan dan Pemampatan Tanah Akibat Penimbunan Bertahap pada Zona 2 (Lanjutan)

| PENIMBUNAN 15 | | H timbunan = | 0.4 | m | $\gamma t/m^3$ = | 1.8 | | | | | | | | | | | | | | |
|---------------|---|--------------|------|-------|------------------|-------|------------|------------|----------------|-----------------|-------|-------|-------|-------------|--------------------|--------------------------|-------------|--------|--------|-------|
| Depth (m) | | z | B2 | B1 | (B1+B2)/B2 | B1/B2 | α_1 | α_2 | $\Delta\sigma$ | $2\Delta\sigma$ | Cc | Cs | eo | $\sigma' o$ | $\Delta\sigma' 15$ | $\sum_0^i \Delta\sigma'$ | $\sigma' c$ | OCR | Sc | |
| | | (m) | (m) | (m) | | | | | t/m2 | t/m2 | | | | (t/m2) | (t/m2) | (t/m2) | (t/m2) | | | |
| 0 | - | 1 | 6.1 | 0.800 | 3.6 | 5.50 | 4.50 | 5.256 | 30.54757 | 0.238 | 0.476 | 1.177 | 0.118 | 1.507 | 0.318 | 0.476 | 10.380 | 4.718 | 14.823 | 0.010 |
| 1 | - | 2 | 7.1 | 0.800 | 3.6 | 5.50 | 4.50 | 4.900 | 26.88693 | 0.215 | 0.431 | 1.177 | 0.118 | 1.507 | 0.955 | 0.431 | 10.755 | 5.355 | 5.608 | 0.008 |
| 2 | - | 3 | 8.1 | 0.800 | 3.6 | 5.50 | 4.50 | 4.549 | 23.96249 | 0.196 | 0.392 | 1.177 | 0.118 | 1.507 | 1.592 | 0.392 | 11.111 | 5.992 | 3.765 | 0.007 |
| 3 | - | 4 | 9.1 | 0.800 | 3.6 | 5.50 | 4.50 | 4.221 | 21.58397 | 0.179 | 0.358 | 1.193 | 0.119 | 1.583 | 2.225 | 0.358 | 11.451 | 6.625 | 2.977 | 0.006 |
| 4 | - | 5 | 10.1 | 0.800 | 3.6 | 5.50 | 4.50 | 3.922 | 19.61788 | 0.165 | 0.330 | 1.193 | 0.119 | 1.583 | 2.856 | 0.330 | 11.781 | 7.256 | 2.541 | 0.006 |
| 5 | - | 6 | 11.1 | 0.800 | 3.6 | 5.50 | 4.50 | 3.654 | 17.96914 | 0.152 | 0.305 | 1.193 | 0.119 | 1.583 | 3.486 | 0.305 | 12.107 | 7.886 | 2.262 | 0.005 |
| 6 | - | 7 | 12.1 | 0.800 | 3.6 | 5.50 | 4.50 | 3.414 | 16.56883 | 0.141 | 0.283 | 1.171 | 0.117 | 1.382 | 4.139 | 0.283 | 12.457 | 8.539 | 2.063 | 0.005 |
| 7 | - | 8 | 13.1 | 0.800 | 3.6 | 5.50 | 4.50 | 3.200 | 15.36609 | 0.132 | 0.264 | 1.171 | 0.117 | 1.382 | 4.815 | 0.264 | 12.834 | 9.215 | 1.914 | 0.004 |
| 8 | - | 9 | 14.1 | 0.800 | 3.6 | 5.50 | 4.50 | 3.008 | 14.32272 | 0.123 | 0.247 | 1.171 | 0.117 | 1.382 | 5.490 | 0.247 | 13.216 | 9.890 | 1.801 | 0.004 |
| 9 | - | 10 | 15.1 | 0.800 | 3.6 | 5.50 | 4.50 | 2.836 | 13.4096 | 0.116 | 0.232 | 1.171 | 0.117 | 1.300 | 6.167 | 0.232 | 13.609 | 10.567 | 1.713 | 0.004 |

Tabel 8. Hasil Perhitungan Perubahan Tegangan untuk U100% Akibat Penimbunan Bertahap 8 Minggu (8 Tahap) pada Zona 2

| Tegangan efektif untuk U 100% | | | | | | | | | | | | |
|-------------------------------|------|------|----------|-------|-------|-------|-------|-------|-------|-------|--------|--------|
| Depth (m) | | | z (m) | Po' | σ1' | σ2' | σ3' | σ4' | σ5' | σ6' | σ7' | σ8' |
| | t/m2 | t/m2 | | t/m2 | |
| 0 | - | 1 | 0.5 | 0.318 | 1.038 | 2.478 | 3.197 | 3.916 | 4.632 | 5.346 | 6.056 | |
| 1 | - | 2 | 1.5 | 0.955 | 1.675 | 2.394 | 3.113 | 3.830 | 4.545 | 5.257 | 5.963 | 6.661 |
| 2 | - | 3 | 2.5 | 1.592 | 2.310 | 3.028 | 3.744 | 4.457 | 5.166 | 5.870 | 6.565 | 7.247 |
| 3 | - | 4 | 3.5 | 2.225 | 2.942 | 3.656 | 4.367 | 5.074 | 5.775 | 6.467 | 7.147 | 7.811 |
| 4 | - | 5 | 4.5 | 2.856 | 3.568 | 4.278 | 4.983 | 5.681 | 6.370 | 7.048 | 7.711 | 8.354 |
| 5 | - | 6 | 5.5 | 3.486 | 4.193 | 4.896 | 5.592 | 6.279 | 6.955 | 7.617 | 8.259 | 8.879 |
| 6 | - | 7 | 6.5 | 4.139 | 4.839 | 5.533 | 6.218 | 6.893 | 7.553 | 8.196 | 8.818 | 9.414 |
| 7 | - | 8 | 7.5 | 4.815 | 5.506 | 6.190 | 6.862 | 7.522 | 8.165 | 8.788 | 9.389 | 9.961 |
| 8 | - | 9 | 8.5 | 5.490 | 6.172 | 6.843 | 7.502 | 8.145 | 8.770 | 9.373 | 9.951 | 10.500 |
| 9 | - | 10 | 9.5 | 6.167 | 6.837 | 7.495 | 8.139 | 8.765 | 9.371 | 9.954 | 10.510 | 11.036 |

Tabel 9. Hasil Perhitungan Perubahan Tegangan untuk U<100% Akibat Penimbunan Bertahap 8 Minggu (8 Tahap) pada Zona 2

| Derajat Konsolidasi U<100% | | | | | | | | | | | | | |
|----------------------------|-------|-------|-------|-------|-------|-------|-------|-------|-------|-------|--------|-------|-------|
| Perubahan Tegangan | | | Po' | ΔP1' | ΔP2' | ΔP3' | ΔP4' | ΔP5' | ΔP6' | ΔP7' | ΔP8' | Σσp' | Σσp' |
| | KN/m2 | | |
| Tinggi Timbunan | 0 | 0.4 | 0.8 | 1.2 | 1.6 | 2 | 2.4 | 2.8 | 3.2 | | | | |
| Umur Timbunan | - | 8 mg | 7 mg | 6 mg | 5 mg | 4 mg | 3 mg | 2 mg | 1 mg | | | | |
| Kedalaman/ U(%) | 1 | 0.570 | 0.524 | 0.473 | 0.417 | 0.354 | 0.284 | 0.205 | 0.115 | t/m2 | kg/cm2 | | |
| 0 | - | 1 | 0.318 | 0.306 | 0.330 | 0.310 | 0.278 | 0.238 | 0.191 | 0.138 | 0.077 | 2.186 | 0.219 |
| 1 | - | 2 | 0.955 | 0.360 | 0.345 | 0.317 | 0.281 | 0.239 | 0.191 | 0.137 | 0.076 | 2.902 | 0.290 |
| 2 | - | 3 | 1.592 | 0.377 | 0.352 | 0.320 | 0.282 | 0.239 | 0.190 | 0.136 | 0.075 | 3.563 | 0.356 |
| 3 | - | 4 | 2.225 | 0.384 | 0.355 | 0.321 | 0.282 | 0.238 | 0.188 | 0.134 | 0.073 | 4.200 | 0.420 |
| 4 | - | 5 | 2.856 | 0.387 | 0.356 | 0.320 | 0.280 | 0.235 | 0.185 | 0.131 | 0.071 | 4.820 | 0.482 |
| 5 | - | 6 | 3.486 | 0.387 | 0.355 | 0.318 | 0.277 | 0.231 | 0.182 | 0.127 | 0.069 | 5.432 | 0.543 |
| 6 | - | 7 | 4.139 | 0.386 | 0.352 | 0.314 | 0.273 | 0.227 | 0.177 | 0.124 | 0.067 | 6.058 | 0.606 |
| 7 | - | 8 | 4.815 | 0.383 | 0.348 | 0.310 | 0.268 | 0.222 | 0.172 | 0.120 | 0.064 | 6.700 | 0.670 |
| 8 | - | 9 | 5.490 | 0.379 | 0.343 | 0.304 | 0.262 | 0.216 | 0.167 | 0.116 | 0.062 | 7.338 | 0.734 |
| 9 | - | 10 | 6.167 | 0.373 | 0.337 | 0.298 | 0.255 | 0.210 | 0.162 | 0.111 | 0.059 | 7.973 | 0.797 |

Tabel 10. Hasil Perhitungan Peningkatan Cu (8 Minggu) Zona 2

| $\Sigma\sigma_p'$ kg/cm ² | Kedalaman (m) | | | PI | Cu lama kg/cm ² | Cu baru (Ardana & Mochtar) |
|---|------------------|---|----|--------|-------------------------------|-------------------------------|
| | 0 | - | 1 | | | kg/cm ² |
| 0.219 | 0 | - | 1 | 37.282 | 0.108 | 0.102 |
| 0.290 | 1 | - | 2 | 37.282 | 0.108 | 0.111 |
| 0.356 | 2 | - | 3 | 37.282 | 0.108 | 0.120 |
| 0.420 | 3 | - | 4 | 34.553 | 0.104 | 0.130 |
| 0.482 | 4 | - | 5 | 34.553 | 0.104 | 0.138 |
| 0.543 | 5 | - | 6 | 34.553 | 0.104 | 0.147 |
| 0.606 | 6 | - | 7 | 34.938 | 0.371 | 0.155 |
| 0.670 | 7 | - | 8 | 34.938 | 0.371 | 0.163 |
| 0.734 | 8 | - | 9 | 34.938 | 0.371 | 0.172 |
| 0.797 | 9 | - | 10 | 38.059 | 0.292 | 0.176 |

LAMPIRAN 6
PERHITUNGAN PERENCANAAN PERKUATAN GEOTEXTILE UNTUK TIMBUNAN MELINTANG (ALTERNATIF 1)

Tabel 1. Hasil Xstabl dengan Peningkatan Cu 8 minggu (Zona 1)

| No | SF xstabl | Hasil xstabl | | | | Perhitungan | | |
|----|-----------|--------------|--------------|-------------|-------|-------------|---------------|---------------|
| | | MR (kN.m) | MD (kN.m) | titik pusat | | R m | SF rencana | MR rencana |
| 1 | 1.03 | 12590 | 12223.3 | 18.94 | 43.25 | 19.23 | 1.4 | 17112.62 |
| 2 | 0.953 | 9393 | 9856.243 | 21.64 | 41.22 | 16.17 | 1.4 | 13798.74 |
| 3 | 0.91 | 6917 | 7601.099 | 24.19 | 39.04 | 13.29 | 1.4 | 10641.54 |
| 4 | 0.915 | 6404 | 6998.907 | 24.82 | 38.57 | 12.62 | 1.4 | 9798.47 |
| | | | | | | | | 3394.47 |

Tabel 2. Hasil Perhitungan Kebutuhan *Geotextile* SF = 1.03 (Zona 1)

| H (m) | Ti (m) | Jumlah rangkap | ΔMR | ΔMR kum | M tahan (kNm) | SF |
|----------|-----------|-------------------|----------|----------|------------------|-------|
| | | | (kNm) | (kNm) | | |
| 0 | 13.25 | 2 | 319.5362 | 319.5362 | 12909.54 | 1.056 |
| 0.2 | 13.05 | 2 | 314.713 | 634.2493 | 13224.25 | 1.082 |
| 0.4 | 12.85 | 2 | 309.8899 | 944.1391 | 13534.14 | 1.107 |
| 0.6 | 12.65 | 2 | 305.0667 | 1249.206 | 13839.21 | 1.132 |
| 0.8 | 12.45 | 1 | 150.1217 | 1399.328 | 13989.33 | 1.144 |
| 1 | 12.25 | 1 | 147.7101 | 1547.038 | 14137.04 | 1.157 |
| 1.2 | 12.05 | 1 | 145.2986 | 1692.336 | 14282.34 | 1.168 |
| 1.4 | 11.85 | 1 | 142.887 | 1835.223 | 14425.22 | 1.180 |
| 1.6 | 11.65 | 1 | 140.4754 | 1975.699 | 14565.70 | 1.192 |
| 1.8 | 11.45 | 1 | 138.0638 | 2113.762 | 14703.76 | 1.203 |
| 2 | 11.25 | 1 | 135.6522 | 2249.414 | 14839.41 | 1.214 |
| 2.2 | 11.05 | 1 | 133.2406 | 2382.655 | 14972.66 | 1.225 |
| 2.4 | 10.85 | 1 | 130.829 | 2513.484 | 15103.48 | 1.236 |
| 2.6 | 10.65 | 1 | 128.4174 | 2641.901 | 15231.90 | 1.246 |
| 2.8 | 10.45 | 1 | 126.0058 | 2767.907 | 15357.91 | 1.256 |
| 3 | 10.25 | 1 | 123.5942 | 2891.501 | 15481.5 | 1.267 |
| 3.2 | 10.05 | 1 | 121.1826 | 3012.684 | 15602.68 | 1.276 |
| 3.4 | 9.85 | 1 | 118.771 | 3131.455 | 15721.46 | 1.286 |
| 3.6 | 9.65 | 1 | 116.3594 | 3247.814 | 15837.81 | 1.296 |
| 3.8 | 9.45 | 1 | 113.9478 | 3361.762 | 15951.76 | 1.305 |
| 4 | 9.25 | 1 | 111.5362 | 3473.299 | 16063.30 | 1.314 |
| 4.2 | 9.05 | 1 | 109.1246 | 3582.423 | 16172.42 | 1.323 |
| 4.4 | 8.85 | 1 | 106.713 | 3689.136 | 16279.14 | 1.332 |
| 4.6 | 8.65 | 1 | 104.3014 | 3793.438 | 16383.44 | 1.340 |
| 4.8 | 8.45 | 1 | 101.8899 | 3895.328 | 16485.33 | 1.349 |
| 5 | 8.25 | 1 | 99.47826 | 3994.806 | 16584.81 | 1.357 |
| 5.2 | 8.05 | 1 | 97.06667 | 4091.872 | 16681.87 | 1.365 |
| 5.4 | 7.85 | 1 | 94.65507 | 4186.528 | 16776.53 | 1.373 |
| 5.6 | 7.65 | 1 | 92.24348 | 4278.771 | 16868.77 | 1.380 |
| 5.8 | 7.45 | 1 | 89.83188 | 4368.603 | 16958.60 | 1.387 |
| 6 | 7.25 | 1 | 87.42029 | 4456.023 | 17046.02 | 1.395 |
| 6.2 | 7.05 | 1 | 85.0087 | 4541.032 | 17131.03 | 1.402 |
| 6.4 | 6.85 | 1 | 82.5971 | 4623.629 | 17213.63 | 1.408 |

Tabel 3. Hasil Perhitungan Kebutuhan *Geotextile* SF=0.953 (Zona 1)

| H | Ti | Jumlah | Δ MR | Δ MR kum | M tahan | SF |
|-----|-------|---------|-------------|-----------------|----------|-------|
| (m) | (m) | rangkap | (kNm) | (kNm) | (kNm) | |
| 0 | 13.25 | 2 | 319.5362 | 319.5362 | 9712.54 | 0.985 |
| 0.2 | 13.05 | 2 | 314.713 | 634.2493 | 10027.25 | 1.017 |
| 0.4 | 12.85 | 2 | 309.8899 | 944.1391 | 10337.14 | 1.049 |
| 0.6 | 12.65 | 1 | 152.5333 | 1096.672 | 10489.67 | 1.064 |
| 0.8 | 12.45 | 1 | 150.1217 | 1246.794 | 10639.79 | 1.079 |
| 1 | 12.25 | 1 | 147.7101 | 1394.504 | 10787.50 | 1.094 |
| 1.2 | 12.05 | 1 | 145.2986 | 1539.803 | 10932.80 | 1.109 |
| 1.4 | 11.85 | 1 | 142.887 | 1682.69 | 11075.69 | 1.124 |
| 1.6 | 11.65 | 1 | 140.4754 | 1823.165 | 11216.17 | 1.138 |
| 1.8 | 11.45 | 1 | 138.0638 | 1961.229 | 11354.23 | 1.152 |
| 2 | 11.25 | 1 | 135.6522 | 2096.881 | 11489.88 | 1.166 |
| 2.2 | 11.05 | 1 | 133.2406 | 2230.122 | 11623.12 | 1.179 |
| 2.4 | 10.85 | 1 | 130.829 | 2360.951 | 11753.95 | 1.193 |
| 2.6 | 10.65 | 1 | 128.4174 | 2489.368 | 11882.37 | 1.206 |
| 2.8 | 10.45 | 1 | 126.0058 | 2615.374 | 12008.37 | 1.218 |
| 3 | 10.25 | 1 | 123.5942 | 2738.968 | 12131.97 | 1.231 |
| 3.2 | 10.05 | 1 | 121.1826 | 2860.151 | 12253.15 | 1.243 |
| 3.4 | 9.85 | 1 | 118.771 | 2978.922 | 12371.92 | 1.255 |
| 3.6 | 9.65 | 1 | 116.3594 | 3095.281 | 12488.28 | 1.267 |
| 3.8 | 9.45 | 1 | 113.9478 | 3209.229 | 12602.23 | 1.279 |
| 4 | 9.25 | 1 | 111.5362 | 3320.765 | 12713.77 | 1.290 |
| 4.2 | 9.05 | 1 | 109.1246 | 3429.89 | 12822.89 | 1.301 |
| 4.4 | 8.85 | 1 | 106.713 | 3536.603 | 12929.60 | 1.312 |
| 4.6 | 8.65 | 1 | 104.3014 | 3640.904 | 13033.90 | 1.322 |
| 4.8 | 8.45 | 1 | 101.8899 | 3742.794 | 13135.79 | 1.333 |
| 5 | 8.25 | 1 | 99.47826 | 3842.272 | 13235.27 | 1.343 |
| 5.2 | 8.05 | 1 | 97.06667 | 3939.339 | 13332.34 | 1.353 |
| 5.4 | 7.85 | 1 | 94.65507 | 4033.994 | 13426.99 | 1.362 |
| 5.6 | 7.65 | 1 | 92.24348 | 4126.238 | 13519.24 | 1.372 |
| 5.8 | 7.45 | 1 | 89.83188 | 4216.07 | 13609.07 | 1.381 |
| 6 | 7.25 | 1 | 87.42029 | 4303.49 | 13696.49 | 1.390 |
| 6.2 | 7.05 | 1 | 85.0087 | 4388.499 | 13781.50 | 1.398 |
| 6.4 | 6.85 | 1 | 82.5971 | 4471.096 | 13864.10 | 1.407 |

Tabel 4. Hasil Perhitungan Kebutuhan *Geotextile* SF=0.91 (Zona 1)

| H | Ti | Jumlah | Δ MR | Δ MR kum | M tahan | SF |
|-----|------|---------|-------------|-----------------|----------|-------|
| (m) | (m) | rangkap | (kNm) | (kNm) | (kNm) | |
| 0 | 9.04 | 2 | 218.0081 | 218.0081 | 7135.01 | 0.939 |
| 0.2 | 8.84 | 2 | 213.1849 | 431.193 | 7348.19 | 0.967 |
| 0.4 | 8.64 | 2 | 208.3617 | 639.5548 | 7556.55 | 0.994 |
| 0.6 | 8.44 | 2 | 203.5386 | 843.0933 | 7760.09 | 1.021 |
| 0.8 | 8.24 | 2 | 198.7154 | 1041.809 | 7958.81 | 1.047 |
| 1 | 8.04 | 2 | 193.8922 | 1235.701 | 8152.70 | 1.073 |
| 1.2 | 7.84 | 2 | 189.069 | 1424.77 | 8341.77 | 1.097 |
| 1.4 | 7.64 | 2 | 184.2458 | 1609.016 | 8526.02 | 1.122 |
| 1.6 | 7.44 | 2 | 179.4226 | 1788.438 | 8705.44 | 1.145 |
| 1.8 | 7.24 | 2 | 174.5994 | 1963.038 | 8880.04 | 1.168 |
| 2 | 7.04 | 2 | 169.7762 | 2132.814 | 9049.81 | 1.191 |
| 2.2 | 6.84 | 2 | 164.953 | 2297.767 | 9214.77 | 1.212 |
| 2.4 | 6.64 | 2 | 160.1299 | 2457.897 | 9374.90 | 1.233 |
| 2.6 | 6.44 | 2 | 155.3067 | 2613.203 | 9530.20 | 1.254 |
| 2.8 | 6.24 | 2 | 150.4835 | 2763.687 | 9680.69 | 1.274 |
| 3 | 6.04 | 2 | 145.6603 | 2909.347 | 9826.347 | 1.293 |
| 3.2 | 5.84 | 1 | 70.41855 | 2979.766 | 9896.77 | 1.302 |
| 3.4 | 5.64 | 1 | 68.00696 | 3047.773 | 9964.77 | 1.311 |
| 3.6 | 5.44 | 1 | 65.59536 | 3113.368 | 10030.37 | 1.320 |
| 3.8 | 5.24 | 1 | 63.18377 | 3176.552 | 10093.55 | 1.328 |
| 4 | 5.04 | 1 | 60.77217 | 3237.324 | 10154.32 | 1.336 |
| 4.2 | 4.84 | 1 | 58.36058 | 3295.685 | 10212.68 | 1.344 |
| 4.4 | 4.64 | 1 | 55.94899 | 3351.634 | 10268.63 | 1.351 |
| 4.6 | 4.44 | 1 | 53.53739 | 3405.171 | 10322.17 | 1.358 |
| 4.8 | 4.24 | 1 | 51.1258 | 3456.297 | 10373.30 | 1.365 |
| 5 | 4.04 | 1 | 48.7142 | 3505.011 | 10422.01 | 1.371 |
| 5.2 | 3.84 | 1 | 46.30261 | 3551.314 | 10468.31 | 1.377 |
| 5.4 | 3.64 | 1 | 43.89101 | 3595.205 | 10512.20 | 1.383 |
| 5.6 | 3.44 | 1 | 41.47942 | 3636.684 | 10553.68 | 1.388 |
| 5.8 | 3.24 | 1 | 39.06783 | 3675.752 | 10592.75 | 1.394 |
| 6 | 3.04 | 1 | 36.65623 | 3712.408 | 10629.41 | 1.398 |
| 6.2 | 2.84 | 1 | 34.24464 | 3746.653 | 10663.65 | 1.403 |
| 6.4 | 2.64 | 1 | 31.83304 | 3778.486 | 10695.49 | 1.407 |

Tabel 5. Hasil Perhitungan Kebutuhan *Geotextile* SF=0.915 (Zona 1)

| H (m) | Ti (m) | Jumlah rangkap | Δ MR (kNm) | Δ MR kum (kNm) | M tahan (kNm) | SF |
|----------|-----------|-------------------|----------------------|--------------------------|------------------|-------|
| 0 | 8.57 | 2 | 206.6736 | 206.6736 | 6610.67 | 0.945 |
| 0.2 | 8.37 | 2 | 201.8504 | 408.5241 | 6812.52 | 0.973 |
| 0.4 | 8.17 | 2 | 197.0272 | 605.5513 | 7009.55 | 1.002 |
| 0.6 | 7.97 | 2 | 192.2041 | 797.7554 | 7201.76 | 1.029 |
| 0.8 | 7.77 | 2 | 187.3809 | 985.1362 | 7389.14 | 1.056 |
| 1 | 7.57 | 2 | 182.5577 | 1167.694 | 7571.69 | 1.082 |
| 1.2 | 7.37 | 2 | 177.7345 | 1345.428 | 7749.43 | 1.107 |
| 1.4 | 7.17 | 2 | 172.9113 | 1518.34 | 7922.34 | 1.132 |
| 1.6 | 6.97 | 2 | 168.0881 | 1686.428 | 8090.43 | 1.156 |
| 1.8 | 6.77 | 2 | 163.2649 | 1849.693 | 8253.69 | 1.179 |
| 2 | 6.57 | 2 | 158.4417 | 2008.134 | 8412.13 | 1.202 |
| 2.2 | 6.37 | 2 | 153.6186 | 2161.753 | 8565.75 | 1.224 |
| 2.4 | 6.17 | 2 | 148.7954 | 2310.548 | 8714.55 | 1.245 |
| 2.6 | 5.97 | 2 | 143.9722 | 2454.521 | 8858.52 | 1.266 |
| 2.8 | 5.77 | 2 | 139.149 | 2593.67 | 8997.67 | 1.286 |
| 3 | 5.57 | 1 | 67.1629 | 2660.832 | 9064.832 | 1.295 |
| 3.2 | 5.37 | 1 | 64.7513 | 2725.584 | 9129.58 | 1.304 |
| 3.4 | 5.17 | 1 | 62.33971 | 2787.923 | 9191.92 | 1.313 |
| 3.6 | 4.97 | 1 | 59.92812 | 2847.852 | 9251.85 | 1.322 |
| 3.8 | 4.77 | 1 | 57.51652 | 2905.368 | 9309.37 | 1.330 |
| 4 | 4.57 | 1 | 55.10493 | 2960.473 | 9364.47 | 1.338 |
| 4.2 | 4.37 | 1 | 52.69333 | 3013.166 | 9417.17 | 1.346 |
| 4.4 | 4.17 | 1 | 50.28174 | 3063.448 | 9467.45 | 1.353 |
| 4.6 | 3.97 | 1 | 47.87014 | 3111.318 | 9515.32 | 1.360 |
| 4.8 | 3.77 | 1 | 45.45855 | 3156.777 | 9560.78 | 1.366 |
| 5 | 3.57 | 1 | 43.04696 | 3199.824 | 9603.82 | 1.372 |
| 5.2 | 3.37 | 1 | 40.63536 | 3240.459 | 9644.46 | 1.378 |
| 5.4 | 3.17 | 1 | 38.22377 | 3278.683 | 9682.68 | 1.383 |
| 5.6 | 2.97 | 1 | 35.81217 | 3314.495 | 9718.50 | 1.389 |
| 5.8 | 2.77 | 1 | 33.40058 | 3347.896 | 9751.90 | 1.393 |
| 6 | 2.57 | 1 | 30.98899 | 3378.885 | 9782.88 | 1.398 |
| 6.2 | 2.37 | 1 | 28.57739 | 3407.462 | 9811.46 | 1.402 |
| 6.4 | 2.17 | 1 | 26.1658 | 3433.628 | 9837.63 | 1.406 |

Tabel 6. Rekap Kebutuhan *Geotextile* Masing-masing SF (Zona 1)

| No | Keterangan | Hasil xstabl | | Perhitungan | | | |
|----|-------------|---------------------|--------------|-------------------------|-------------------------|-----------------------|-------------------------------|
| | | SF xstabl (kN.m) | MR (kN.m) | MR rencana (kN.m) | SF rencana (kN.m) | Δ MR (kN.m) | Jumlah Geotextile Lapis |
| 1 | Cu 8 minggu | 1.03 | 12590 | 12223.301 | 1.4 | 17112.621 | 4522.621 |
| 2 | | 0.953 | 9393 | 9856.243 | 1.4 | 13798.741 | 4405.741 |
| 3 | | 0.91 | 6917 | 7601.099 | 1.4 | 10641.538 | 3724.538 |
| 4 | | 0.915 | 6404 | 6998.907 | 1.4 | 9798.470 | 3394.470 |

Tabel 7. Hasil Perhitungan Panjang Geotextile SF = 0.91 (Zona 1)

| No | Hi = (H-Z) | Ti | Le | Lo | Lo (pakai) | Lr | L total | L total x rangkap |
|----|------------|------|-------|-------|------------|-------|---------|-------------------|
| | m | m | m | m | m | m | m | m |
| 1 | 7.20 | 9.04 | 0.228 | 0.114 | 1 | 13.93 | 16.00 | 32 |
| 2 | 7.00 | 8.84 | 0.145 | 0.073 | 1 | 13.71 | 16.00 | 32 |
| 3 | 6.80 | 8.64 | 0.149 | 0.075 | 1 | 13.49 | 15.00 | 30 |
| 4 | 6.60 | 8.44 | 0.154 | 0.077 | 1 | 13.26 | 15.00 | 30 |
| 5 | 6.40 | 8.24 | 0.159 | 0.079 | 1 | 13.02 | 15.00 | 30 |
| 6 | 6.20 | 8.04 | 0.164 | 0.082 | 1 | 12.77 | 15.00 | 30 |
| 7 | 6.00 | 7.84 | 0.169 | 0.085 | 1 | 12.52 | 14.00 | 28 |
| 8 | 5.80 | 7.64 | 0.175 | 0.088 | 1 | 12.26 | 14.00 | 28 |
| 9 | 5.60 | 7.44 | 0.181 | 0.091 | 1 | 12 | 14.00 | 28 |
| 10 | 5.40 | 7.24 | 0.188 | 0.094 | 1 | 11.73 | 14.00 | 28 |
| 11 | 5.20 | 7.04 | 0.195 | 0.098 | 1 | 11.46 | 13.00 | 26 |
| 12 | 5.00 | 6.84 | 0.203 | 0.102 | 1 | 11.18 | 13.00 | 26 |
| 13 | 4.80 | 6.64 | 0.212 | 0.106 | 1 | 10.9 | 13.00 | 26 |
| 14 | 4.60 | 6.44 | 0.221 | 0.110 | 1 | 10.62 | 13.00 | 26 |
| 15 | 4.40 | 6.24 | 0.231 | 0.115 | 1 | 10.32 | 12.00 | 24 |
| 16 | 4.20 | 6.04 | 0.242 | 0.121 | 1 | 10.03 | 12.00 | 24 |
| 17 | 4.00 | 5.84 | 0.254 | 0.127 | 1 | 9.73 | 12.00 | 12 |
| 18 | 3.80 | 5.64 | 0.267 | 0.134 | 1 | 9.42 | 11.00 | 11 |
| 19 | 3.60 | 5.44 | 0.282 | 0.141 | 1 | 9.12 | 11.00 | 11 |
| 20 | 3.40 | 5.24 | 0.299 | 0.149 | 1 | 8.8 | 11.00 | 10.8 |
| 21 | 3.20 | 5.04 | 0.317 | 0.159 | 1 | 8.49 | 11.00 | 10.4 |
| 22 | 3.00 | 4.84 | 0.338 | 0.169 | 1 | 8.17 | 10.00 | 10 |
| 23 | 2.80 | 4.64 | 0.363 | 0.181 | 1 | 7.84 | 10.00 | 9.6 |
| 24 | 2.60 | 4.44 | 0.390 | 0.195 | 1 | 7.52 | 10.00 | 9.2 |
| 25 | 2.40 | 4.24 | 0.423 | 0.212 | 1 | 7.19 | 9.00 | 8.8 |
| 26 | 2.20 | 4.04 | 0.461 | 0.231 | 1 | 6.85 | 9.00 | 8.2 |
| 27 | 2.00 | 3.84 | 0.508 | 0.254 | 1 | 6.51 | 9.00 | 8 |
| 28 | 1.80 | 3.64 | 0.564 | 0.282 | 1 | 6.17 | 8.00 | 7.6 |
| 29 | 1.60 | 3.44 | 0.635 | 0.317 | 1 | 5.83 | 8.00 | 7.2 |
| 30 | 1.40 | 3.24 | 0.725 | 0.363 | 1 | 5.48 | 8.00 | 6.8 |
| 31 | 1.20 | 3.04 | 0.846 | 0.423 | 1 | 5.13 | 8.00 | 6.4 |
| 32 | 1.00 | 2.84 | 1.015 | 0.508 | 1 | 4.77 | 7.00 | 6 |
| 33 | 0.80 | 2.64 | 1.269 | 0.635 | 1 | 4.42 | 7.00 | 5.6 |

| H (m) | Ti (m) | Jumlah rangkap | ΔMR (kNm) | ΔMR kum (kNm) | M tahan (kNm) | SF |
|----------|-----------|-------------------|----------------------|--------------------------|------------------|-------|
| 0 | 9.04 | 2 | 218.0081 | 218.0081 | 7135.01 | 0.939 |
| 0.2 | 8.84 | 2 | 213.1849 | 431.193 | 7348.19 | 0.967 |
| 0.4 | 8.64 | 2 | 208.3617 | 639.5548 | 7556.55 | 0.994 |
| 0.6 | 8.44 | 2 | 203.5386 | 843.0933 | 7760.09 | 1.021 |
| 0.8 | 8.24 | 2 | 198.7154 | 1041.809 | 7958.81 | 1.047 |
| 1 | 8.04 | 2 | 193.8922 | 1235.701 | 8152.70 | 1.073 |
| 1.2 | 7.84 | 2 | 189.069 | 1424.77 | 8341.77 | 1.097 |
| 1.4 | 7.64 | 2 | 184.2458 | 1609.016 | 8526.02 | 1.122 |
| 1.6 | 7.44 | 2 | 179.4226 | 1788.438 | 8705.44 | 1.145 |
| 1.8 | 7.24 | 2 | 174.5994 | 1963.038 | 8880.04 | 1.168 |
| 2 | 7.04 | 2 | 169.7762 | 2132.814 | 9049.81 | 1.191 |
| 2.2 | 6.84 | 2 | 164.953 | 2297.767 | 9214.77 | 1.212 |
| 2.4 | 6.64 | 2 | 160.1299 | 2457.897 | 9374.90 | 1.233 |
| 2.6 | 6.44 | 2 | 155.3067 | 2613.203 | 9530.20 | 1.254 |
| 2.8 | 6.24 | 2 | 150.4835 | 2763.687 | 9680.69 | 1.274 |
| 3 | 6.04 | 2 | 145.6603 | 2909.347 | 9826.347 | 1.293 |
| 3.2 | 5.84 | 1 | 70.41855 | 2979.766 | 9896.77 | 1.302 |
| 3.4 | 5.64 | 1 | 68.00696 | 3047.773 | 9964.77 | 1.311 |
| 3.6 | 5.44 | 1 | 65.59536 | 3113.368 | 10030.37 | 1.320 |
| 3.8 | 5.24 | 1 | 63.18377 | 3176.552 | 10093.55 | 1.328 |
| 4 | 5.04 | 1 | 60.77217 | 3237.324 | 10154.32 | 1.336 |
| 4.2 | 4.84 | 1 | 58.36058 | 3295.685 | 10212.68 | 1.344 |
| 4.4 | 4.64 | 1 | 55.94899 | 3351.634 | 10268.63 | 1.351 |
| 4.6 | 4.44 | 1 | 53.53739 | 3405.171 | 10322.17 | 1.358 |
| 4.8 | 4.24 | 1 | 51.1258 | 3456.297 | 10373.30 | 1.365 |
| 5 | 4.04 | 1 | 48.7142 | 3505.011 | 10422.01 | 1.371 |
| 5.2 | 3.84 | 1 | 46.30261 | 3551.314 | 10468.31 | 1.377 |
| 5.4 | 3.64 | 1 | 43.89101 | 3595.205 | 10512.20 | 1.383 |
| 5.6 | 3.44 | 1 | 41.47942 | 3636.684 | 10553.68 | 1.388 |
| 5.8 | 3.24 | 1 | 39.06783 | 3675.752 | 10592.75 | 1.394 |
| 6 | 3.04 | 1 | 36.65623 | 3712.408 | 10629.41 | 1.398 |
| 6.2 | 2.84 | 1 | 34.24464 | 3746.653 | 10663.65 | 1.403 |
| 6.4 | 2.64 | 1 | 31.83304 | 3778.486 | 10695.49 | 1.407 |

Tabel 8. Hasil Xstabl dengan Peningkatan Cu 8 minggu (Zona 2)

| No | SF xstabl | Hasil xstabl | | | | Perhitungan | | | |
|----|-----------|--------------|--------------|------------------|--------|---------------|---------------|----------------|----------|
| | | MR (kN.m) | MD (kN.m) | titik pusat X | R m | SF rencana | MR rencana | Δ MR (kN.m) | |
| 1 | 1.135 | 10600 | 9339.207 | 18.25 | 42.56 | 18.25 | 1.4 | 13074.89 | 2474.89 |
| 2 | 1.027 | 7569 | 7370.01 | 20.94 | 40.24 | 14.99 | 1.4 | 10318.01 | 2749.014 |
| 3 | 0.971 | 5455 | 5617.92 | 23.43 | 38.3 | 12.23 | 1.4 | 7865.088 | 2410.088 |
| 4 | 0.97 | 5020 | 5175.258 | 24.08 | 37.83 | 11.58 | 1.4 | 7245.361 | 2225.361 |

Tabel 9. Hasil Perhitungan Kebutuhan *Geotextile* SF=1,135 (Zona 2)

| H (m) | Ti (m) | Jumlah rangkap | ΔMR (kNm) | ΔMR kum (kNm) | M tahan (kNm) | SF |
|------------|-------------|-------------------|-----------------|------------------|------------------|--------------|
| 0 | 12.56 | 1 | 151.4481 | 151.4481 | 10751.45 | |
| 0.2 | 12.36 | 1 | 149.0365 | 300.4846 | 10900.48 | 1.167 |
| 0.4 | 12.16 | 1 | 146.6249 | 447.1096 | 11047.11 | 1.183 |
| 0.6 | 11.96 | 1 | 144.2133 | 591.3229 | 11191.32 | 1.198 |
| 0.8 | 11.76 | 1 | 141.8017 | 733.1246 | 11333.12 | 1.213 |
| 1 | 11.56 | 1 | 139.3901 | 872.5148 | 11472.51 | 1.228 |
| 1.2 | 11.36 | 1 | 136.9786 | 1009.493 | 11609.49 | 1.243 |
| 1.4 | 11.16 | 1 | 134.567 | 1144.06 | 11744.06 | 1.258 |
| 1.6 | 10.96 | 1 | 132.1554 | 1276.216 | 11876.22 | 1.272 |
| 1.8 | 10.76 | 1 | 129.7438 | 1405.959 | 12005.96 | 1.286 |
| 2 | 10.56 | 1 | 127.3322 | 1533.292 | 12133.29 | 1.299 |
| 2.2 | 10.36 | 1 | 124.9206 | 1658.212 | 12258.21 | 1.313 |
| 2.4 | 10.16 | 1 | 122.509 | 1780.721 | 12380.72 | 1.326 |
| 2.6 | 9.96 | 1 | 120.0974 | 1900.819 | 12500.82 | 1.339 |
| 2.8 | 9.76 | 1 | 117.6858 | 2018.504 | 12618.50 | 1.351 |
| 3 | 9.56 | 1 | 115.2742 | 2133.779 | 12733.78 | 1.363 |
| 3.2 | 9.36 | 1 | 112.8626 | 2246.641 | 12846.64 | 1.376 |
| 3.4 | 9.16 | 1 | 110.451 | 2357.092 | 12957.09 | 1.387 |
| 3.6 | 8.96 | 1 | 108.0394 | 2465.132 | 13065.13 | 1.399 |
| 3.8 | 8.76 | 1 | 105.6278 | 2570.759 | 13170.76 | 1.410 |

Tabel 10. Hasil Perhitungan Kebutuhan *Geotextile* SF=1,027 (Zona 2)

| H (m) | Ti (m) | Jumlah rangkap | Δ MR (kNm) | Δ MR kum (kNm) | M tahan (kNm) | SF |
|----------|-----------|-------------------|----------------------|--------------------------|------------------|-------|
| 0 | 10.24 | 2 | 246.9472 | 246.9472 | 7815.95 | 1.061 |
| 0.2 | 10.04 | 2 | 242.1241 | 489.0713 | 8058.07 | 1.093 |
| 0.4 | 9.84 | 1 | 118.6504 | 607.7217 | 8176.72 | 1.109 |
| 0.6 | 9.64 | 1 | 116.2388 | 723.9606 | 8292.96 | 1.125 |
| 0.8 | 9.44 | 1 | 113.8272 | 837.7878 | 8406.79 | 1.141 |
| 1 | 9.24 | 1 | 111.4157 | 949.2035 | 8518.20 | 1.156 |
| 1.2 | 9.04 | 1 | 109.0041 | 1058.208 | 8627.21 | 1.171 |
| 1.4 | 8.84 | 1 | 106.5925 | 1164.8 | 8733.80 | 1.185 |
| 1.6 | 8.64 | 1 | 104.1809 | 1268.981 | 8837.98 | 1.199 |
| 1.8 | 8.44 | 1 | 101.7693 | 1370.75 | 8939.75 | 1.213 |
| 2 | 8.24 | 1 | 99.35768 | 1470.108 | 9039.11 | 1.226 |
| 2.2 | 8.04 | 1 | 96.94609 | 1567.054 | 9136.05 | 1.240 |
| 2.4 | 7.84 | 1 | 94.53449 | 1661.588 | 9230.59 | 1.252 |
| 2.6 | 7.64 | 1 | 92.1229 | 1753.711 | 9322.71 | 1.265 |
| 2.8 | 7.44 | 1 | 89.7113 | 1843.423 | 9412.42 | 1.277 |
| 3 | 7.24 | 1 | 87.29971 | 1930.722 | 9499.722 | 1.289 |
| 3.2 | 7.04 | 1 | 84.88812 | 2015.61 | 9584.61 | 1.300 |
| 3.4 | 6.84 | 1 | 82.47652 | 2098.087 | 9667.09 | 1.312 |
| 3.6 | 6.64 | 1 | 80.06493 | 2178.152 | 9747.15 | 1.323 |
| 3.8 | 6.44 | 1 | 77.65333 | 2255.805 | 9824.81 | 1.333 |
| 4 | 6.24 | 1 | 75.24174 | 2331.047 | 9900.05 | 1.343 |
| 4.2 | 6.04 | 1 | 72.83014 | 2403.877 | 9972.88 | 1.353 |
| 4.4 | 5.84 | 1 | 70.41855 | 2474.296 | 10043.30 | 1.363 |
| 4.6 | 5.64 | 1 | 68.00696 | 2542.303 | 10111.30 | 1.372 |
| 4.8 | 5.44 | 1 | 65.59536 | 2607.898 | 10176.90 | 1.381 |
| 5 | 5.24 | 1 | 63.18377 | 2671.082 | 10240.08 | 1.389 |
| 5.2 | 5.04 | 1 | 60.77217 | 2731.854 | 10300.85 | 1.398 |
| 5.4 | 4.84 | 1 | 58.36058 | 2790.214 | 10359.21 | 1.406 |

Tabel 11. Hasil Perhitungan Kebutuhan *Geotextile* SF=0.971 (Zona 2)

| H (m) | Ti (m) | Jumlah rangkap | Δ MR (kNm) | Δ MR kum (kNm) | M tahan (kNm) | SF |
|----------|-----------|-------------------|----------------------|--------------------------|------------------|-------|
| 0 | 8.3 | 2 | 200.1623 | 200.1623 | 5655.16 | 1.007 |
| 0.2 | 8.1 | 2 | 195.3391 | 395.5014 | 5850.50 | 1.041 |
| 0.4 | 7.9 | 2 | 190.5159 | 586.0174 | 6041.02 | 1.075 |
| 0.6 | 7.7 | 2 | 185.6928 | 771.7101 | 6226.71 | 1.108 |
| 0.8 | 7.5 | 2 | 180.8696 | 952.5797 | 6407.58 | 1.141 |
| 1 | 7.3 | 2 | 176.0464 | 1128.626 | 6583.63 | 1.172 |
| 1.2 | 7.1 | 1 | 85.61159 | 1214.238 | 6669.24 | 1.187 |
| 1.4 | 6.9 | 1 | 83.2 | 1297.438 | 6752.44 | 1.202 |
| 1.6 | 6.7 | 1 | 80.78841 | 1378.226 | 6833.23 | 1.216 |
| 1.8 | 6.5 | 1 | 78.37681 | 1456.603 | 6911.60 | 1.230 |
| 2 | 6.3 | 1 | 75.96522 | 1532.568 | 6987.57 | 1.244 |
| 2.2 | 6.1 | 1 | 73.55362 | 1606.122 | 7061.12 | 1.257 |
| 2.4 | 5.9 | 1 | 71.14203 | 1677.264 | 7132.26 | 1.270 |
| 2.6 | 5.7 | 1 | 68.73043 | 1745.994 | 7200.99 | 1.282 |
| 2.8 | 5.5 | 1 | 66.31884 | 1812.313 | 7267.31 | 1.294 |
| 3 | 5.3 | 1 | 63.90725 | 1876.22 | 7331.22 | 1.305 |
| 3.2 | 5.1 | 1 | 61.49565 | 1937.716 | 7392.72 | 1.316 |
| 3.4 | 4.9 | 1 | 59.08406 | 1996.8 | 7451.80 | 1.326 |
| 3.6 | 4.7 | 1 | 56.67246 | 2053.472 | 7508.47 | 1.337 |
| 3.8 | 4.5 | 1 | 54.26087 | 2107.733 | 7562.73 | 1.346 |
| 4 | 4.3 | 1 | 51.84928 | 2159.583 | 7614.58 | 1.355 |
| 4.2 | 4.1 | 1 | 49.43768 | 2209.02 | 7664.02 | 1.364 |
| 4.4 | 3.9 | 1 | 47.02609 | 2256.046 | 7711.05 | 1.373 |
| 4.6 | 3.7 | 1 | 44.61449 | 2300.661 | 7755.66 | 1.381 |
| 4.8 | 3.5 | 1 | 42.2029 | 2342.864 | 7797.86 | 1.388 |
| 5 | 3.3 | 1 | 39.7913 | 2382.655 | 7837.66 | 1.395 |
| 5.2 | 3.1 | 1 | 37.37971 | 2420.035 | 7875.03 | 1.402 |
| 5.4 | 2.9 | 1 | 34.96812 | 2455.003 | 7910.00 | 1.408 |

Tabel 12. Hasil Perhitungan Kebutuhan *Geotextile* SF=0.97 (Zona 2)

| H (m) | Ti (m) | Jumlah rangkap | Δ MR (kNm) | Δ MR kum (kNm) | M tahan (kNm) | SF |
|----------|-----------|-------------------|----------------------|--------------------------|------------------|-------|
| 0 | 7.83 | 2 | 188.8278 | 188.8278 | 5208.83 | 1.006 |
| 0.2 | 7.63 | 2 | 184.0046 | 372.8325 | 5392.83 | 1.042 |
| 0.4 | 7.43 | 2 | 179.1814 | 552.0139 | 5572.01 | 1.077 |
| 0.6 | 7.23 | 2 | 174.3583 | 726.3722 | 5746.37 | 1.110 |
| 0.8 | 7.03 | 2 | 169.5351 | 895.9072 | 5915.91 | 1.143 |
| 1 | 6.83 | 2 | 164.7119 | 1060.619 | 6080.62 | 1.175 |
| 1.2 | 6.63 | 1 | 79.94435 | 1140.563 | 6160.56 | 1.190 |
| 1.4 | 6.43 | 1 | 77.53275 | 1218.096 | 6238.10 | 1.205 |
| 1.6 | 6.23 | 1 | 75.12116 | 1293.217 | 6313.22 | 1.220 |
| 1.8 | 6.03 | 1 | 72.70957 | 1365.927 | 6385.93 | 1.234 |
| 2 | 5.83 | 1 | 70.29797 | 1436.225 | 6456.22 | 1.248 |
| 2.2 | 5.63 | 1 | 67.88638 | 1504.111 | 6524.11 | 1.261 |
| 2.4 | 5.43 | 1 | 65.47478 | 1569.586 | 6589.59 | 1.273 |
| 2.6 | 5.23 | 1 | 63.06319 | 1632.649 | 6652.65 | 1.285 |
| 2.8 | 5.03 | 1 | 60.65159 | 1693.301 | 6713.30 | 1.297 |
| 3 | 4.83 | 1 | 58.24 | 1751.541 | 6771.541 | 1.308 |
| 3.2 | 4.63 | 1 | 55.82841 | 1807.369 | 6827.37 | 1.319 |
| 3.4 | 4.43 | 1 | 53.41681 | 1860.786 | 6880.79 | 1.330 |
| 3.6 | 4.23 | 1 | 51.00522 | 1911.791 | 6931.79 | 1.339 |
| 3.8 | 4.03 | 1 | 48.59362 | 1960.385 | 6980.38 | 1.349 |
| 4 | 3.83 | 1 | 46.18203 | 2006.567 | 7026.57 | 1.358 |
| 4.2 | 3.63 | 1 | 43.77043 | 2050.337 | 7070.34 | 1.366 |
| 4.4 | 3.43 | 1 | 41.35884 | 2091.696 | 7111.70 | 1.374 |
| 4.6 | 3.23 | 1 | 38.94725 | 2130.643 | 7150.64 | 1.382 |
| 4.8 | 3.03 | 1 | 36.53565 | 2167.179 | 7187.18 | 1.389 |
| 5 | 2.83 | 1 | 34.12406 | 2201.303 | 7221.30 | 1.395 |
| 5.2 | 2.63 | 1 | 31.71246 | 2233.016 | 7253.02 | 1.401 |
| 5.4 | 2.43 | 1 | 29.30087 | 2262.317 | 7282.32 | 1.407 |

Tabel 13. Rekap Kebutuhan *Geotextile* Masing-masing SF (Zona 2)

| No | Keterangan | Hasil xstabl | | | Perhitungan | | | | |
|----|-------------|---------------------|--------------|--------------|-------------------------|----------------------|-----------------------|--------------------------------|--|
| | | SF xstabl (kN.m) | MR (kN.m) | MD (kN.m) | SF rencana (kN.m) | MR rencana (kN.m) | Δ MR (kN.m) | Jumlah Geotextil e Lapis | |
| 1 | Cu 8 minggu | 1.135 | 10600 | 9339.20705 | 1.4 | 13074.890 | 2474.890 | 20 | |
| 2 | | 1.027 | 7569 | 7370.00974 | 1.4 | 10318.014 | 2749.014 | 30 | |
| 3 | | 0.971 | 5455 | 5617.91967 | 1.4 | 7865.088 | 2410.088 | 34 | |
| 4 | | 0.97 | 5020 | 5175.25773 | 1.4 | 7245.361 | 2225.361 | 34 | |

Tabel 14. Hasil Perhitungan Panjang Geotextile SF = 0.971 (Zona 1)

| No | Hi = (H-Z) | Ti | σ_v | τ_1 | τ_2 | Le | Lo | Lo (pakai) | Lr | L total | L total x rangkap |
|----|------------|------|------------|----------|----------|-------------------|-------------------|------------|-------|---------|-------------------|
| | | | | m | m | kN/m ² | kN/m ² | m | m | m | m |
| 1 | 6.30 | 8.3 | 113.4 | 65.472 | 16.743 | 0.257 | 0.128 | 1 | 12.41 | 14.00 | 28 |
| 2 | 6.10 | 8.10 | 109.8 | 63.393 | 63.393 | 0.166 | 0.083 | 1 | 12.13 | 14.00 | 28 |
| 3 | 5.90 | 7.9 | 106.2 | 61.315 | 61.315 | 0.172 | 0.086 | 1 | 11.9 | 14.00 | 28 |
| 4 | 5.70 | 7.7 | 102.6 | 59.236 | 59.236 | 0.178 | 0.089 | 1 | 11.67 | 13.00 | 26 |
| 5 | 5.50 | 7.5 | 99 | 57.158 | 57.158 | 0.185 | 0.092 | 1 | 11.43 | 13.00 | 26 |
| 6 | 5.30 | 7.3 | 95.4 | 55.079 | 55.079 | 0.192 | 0.096 | 1 | 11.18 | 13.00 | 26 |
| 7 | 5.10 | 7.1 | 91.8 | 53.001 | 53.001 | 0.199 | 0.100 | 1 | 11 | 13.00 | 13 |
| 8 | 4.90 | 6.9 | 88.2 | 50.922 | 50.922 | 0.207 | 0.104 | 1 | 10.67 | 12.00 | 12 |
| 9 | 4.70 | 6.7 | 84.6 | 48.844 | 48.844 | 0.216 | 0.108 | 1 | 10.4 | 12.00 | 12 |
| 10 | 4.50 | 6.5 | 81 | 46.765 | 46.765 | 0.226 | 0.113 | 1 | 10.13 | 12.00 | 12 |
| 11 | 4.30 | 6.3 | 77.4 | 44.687 | 44.687 | 0.236 | 0.118 | 1 | 9.85 | 12.00 | 12 |
| 12 | 4.10 | 6.1 | 73.8 | 42.608 | 42.608 | 0.248 | 0.124 | 1 | 9.57 | 11.00 | 11 |
| 13 | 3.90 | 5.9 | 70.2 | 40.530 | 40.530 | 0.260 | 0.130 | 1 | 9.28 | 11.00 | 11 |
| 14 | 3.70 | 5.7 | 66.6 | 38.452 | 38.452 | 0.274 | 0.137 | 1 | 8.99 | 11.00 | 11 |
| 15 | 3.50 | 5.5 | 63 | 36.373 | 36.373 | 0.290 | 0.145 | 1 | 8.69 | 10.00 | 10 |
| 16 | 3.30 | 5.3 | 59.4 | 34.295 | 34.295 | 0.308 | 0.154 | 1 | 8.39 | 10.00 | 10 |
| 17 | 3.10 | 5.1 | 55.8 | 32.216 | 32.216 | 0.327 | 0.164 | 1 | 8.08 | 10.00 | 10 |
| 18 | 2.90 | 4.9 | 52.2 | 30.138 | 30.138 | 0.350 | 0.175 | 1 | 7.77 | 10.00 | 9.8 |
| 19 | 2.70 | 4.7 | 48.6 | 28.059 | 28.059 | 0.376 | 0.188 | 1 | 7.46 | 9.00 | 9 |
| 20 | 2.50 | 4.5 | 45 | 25.981 | 25.981 | 0.406 | 0.203 | 1 | 7.14 | 9.00 | 9 |
| 21 | 2.30 | 4.3 | 41.4 | 23.902 | 23.902 | 0.441 | 0.221 | 1 | 6.82 | 9.00 | 8.6 |
| 22 | 2.10 | 4.1 | 37.8 | 21.824 | 21.824 | 0.483 | 0.242 | 1 | 6.49 | 8.00 | 8 |
| 23 | 1.90 | 3.9 | 34.2 | 19.745 | 19.745 | 0.534 | 0.267 | 1 | 6.16 | 8.00 | 7.8 |
| 24 | 1.70 | 3.7 | 30.6 | 17.667 | 17.667 | 0.597 | 0.299 | 1 | 5.82 | 8.00 | 7.4 |
| 25 | 1.50 | 3.5 | 27 | 15.588 | 15.588 | 0.677 | 0.338 | 1 | 5.49 | 8.00 | 7 |
| 26 | 1.30 | 3.3 | 23.4 | 13.510 | 13.510 | 0.781 | 0.390 | 1 | 5.14 | 7.00 | 6.6 |
| 27 | 1.10 | 3.1 | 19.8 | 11.432 | 11.432 | 0.923 | 0.461 | 1 | 4.8 | 7.00 | 6.2 |
| 28 | 0.90 | 2.9 | 16.2 | 9.353 | 9.353 | 1.128 | 0.564 | 1 | 4.45 | 7.00 | 5.8 |

| H | Ti | Jumlah | ΔMR | $\Delta MR kum$ | M tahan | SF |
|-----|-----|--------|-------------|-----------------|---------|-------|
| | | | (m) | (m) | rangkap | |
| 0 | 8.3 | 2 | 200.1623 | 200.1623 | 5655.16 | 1.007 |
| 0.2 | 8.1 | 2 | 195.3391 | 395.5014 | 5850.50 | 1.041 |
| 0.4 | 7.9 | 2 | 190.5159 | 586.0174 | 6041.02 | 1.075 |
| 0.6 | 7.7 | 2 | 185.6928 | 771.7101 | 6226.71 | 1.108 |
| 0.8 | 7.5 | 2 | 180.8696 | 952.5797 | 6407.58 | 1.141 |
| 1 | 7.3 | 2 | 176.0464 | 1128.626 | 6583.63 | 1.172 |
| 1.2 | 7.1 | 1 | 85.61159 | 1214.238 | 6669.24 | 1.187 |
| 1.4 | 6.9 | 1 | 83.2 | 1297.438 | 6752.44 | 1.202 |
| 1.6 | 6.7 | 1 | 80.78841 | 1378.226 | 6833.23 | 1.216 |
| 1.8 | 6.5 | 1 | 78.37681 | 1456.603 | 6911.60 | 1.230 |
| 2 | 6.3 | 1 | 75.96522 | 1532.568 | 6987.57 | 1.244 |
| 2.2 | 6.1 | 1 | 73.55362 | 1606.122 | 7061.12 | 1.257 |
| 2.4 | 5.9 | 1 | 71.14203 | 1677.264 | 7132.26 | 1.270 |
| 2.6 | 5.7 | 1 | 68.73043 | 1745.994 | 7200.99 | 1.282 |
| 2.8 | 5.5 | 1 | 66.31884 | 1812.313 | 7267.31 | 1.294 |
| 3 | 5.3 | 1 | 63.90725 | 1876.22 | 7331.22 | 1.305 |
| 3.2 | 5.1 | 1 | 61.49565 | 1937.716 | 7392.72 | 1.316 |
| 3.4 | 4.9 | 1 | 59.08406 | 1996.8 | 7451.80 | 1.326 |
| 3.6 | 4.7 | 1 | 56.67246 | 2053.472 | 7508.47 | 1.337 |
| 3.8 | 4.5 | 1 | 54.26087 | 2107.733 | 7562.73 | 1.346 |
| 4 | 4.3 | 1 | 51.84928 | 2159.583 | 7614.58 | 1.355 |
| 4.2 | 4.1 | 1 | 49.43768 | 2209.02 | 7664.02 | 1.364 |
| 4.4 | 3.9 | 1 | 47.02609 | 2256.046 | 7711.05 | 1.373 |
| 4.6 | 3.7 | 1 | 44.61449 | 2300.661 | 7755.66 | 1.381 |
| 4.8 | 3.5 | 1 | 42.2029 | 2342.864 | 7797.86 | 1.388 |
| 5 | 3.3 | 1 | 39.7913 | 2382.655 | 7837.66 | 1.395 |
| 5.2 | 3.1 | 1 | 37.37971 | 2420.035 | 7875.03 | 1.402 |
| 5.4 | 2.9 | 1 | 34.96812 | 2455.003 | 7910.00 | 1.408 |

LAMPIRAN 7

PEMAMPATAN KONSOLIDASI DAN PENINGKATAN DAYA DUKUNG TANAH AKIBAT TIMBUNAN BERTAHAP (ALTERNATIF 2)

Tabel 1. Tahapan Penimbunan (Zona 1)

| Tinggi Timbunan | Waktu (minggu) | | | | | | | | | | | | | | | | | |
|-----------------|----------------|-------|-------|-------|-------|-------|-------|-------|------|------|------|------|------|------|------|------|------|--|
| | 0.4 | 0.8 | 1.2 | 1.6 | 2 | 2.4 | 2.8 | 3.2 | 3.6 | 4 | 4.4 | 4.8 | 5.2 | 5.6 | 6 | 6.4 | 6.8 | |
| 0.4 | 1 mg | | | | | | | | | | | | | | | | | |
| 0.8 | 2 mg | 1 mg | | | | | | | | | | | | | | | | |
| 1.2 | 3 mg | 2 mg | 1 mg | | | | | | | | | | | | | | | |
| 1.6 | 4 mg | 3 mg | 2 mg | 1 mg | | | | | | | | | | | | | | |
| 2 | 5 mg | 4 mg | 3 mg | 2 mg | 1 mg | | | | | | | | | | | | | |
| 2.4 | 6 mg | 5 mg | 4 mg | 3 mg | 2 mg | 1 mg | | | | | | | | | | | | |
| 2.8 | 7 mg | 6 mg | 5 mg | 4 mg | 3 mg | 2 mg | 1 mg | | | | | | | | | | | |
| 3.2 | 8 mg | 7 mg | 6 mg | 5 mg | 4 mg | 3 mg | 2 mg | 1 mg | | | | | | | | | | |
| 3.6 | 9 mg | 8 mg | 7 mg | 6 mg | 5 mg | 4 mg | 3 mg | 2 mg | 1 mg | | | | | | | | | |
| 4 | 10 mg | 9 mg | 8 mg | 7 mg | 6 mg | 5 mg | 4 mg | 3 mg | 2 mg | 1 mg | | | | | | | | |
| 4.4 | 11 mg | 10 mg | 9 mg | 8 mg | 7 mg | 6 mg | 5 mg | 4 mg | 3 mg | 2 mg | 1 mg | | | | | | | |
| 4.8 | 12 mg | 11 mg | 10 mg | 9 mg | 8 mg | 7 mg | 6 mg | 5 mg | 4 mg | 3 mg | 2 mg | 1 mg | | | | | | |
| 5.2 | 13 mg | 12 mg | 11 mg | 10 mg | 9 mg | 8 mg | 7 mg | 6 mg | 5 mg | 4 mg | 3 mg | 2 mg | 1 mg | | | | | |
| 5.6 | 14 mg | 13 mg | 12 mg | 11 mg | 10 mg | 9 mg | 8 mg | 7 mg | 6 mg | 5 mg | 4 mg | 3 mg | 2 mg | 1 mg | | | | |
| 6 | 15 mg | 14 mg | 13 mg | 12 mg | 11 mg | 10 mg | 9 mg | 8 mg | 7 mg | 6 mg | 5 mg | 4 mg | 3 mg | 2 mg | 1 mg | | | |
| 6.4 | 16 mg | 15 mg | 14 mg | 13 mg | 12 mg | 11 mg | 10 mg | 9 mg | 8 mg | 7 mg | 6 mg | 5 mg | 4 mg | 3 mg | 2 mg | 1 mg | | |
| 6.8 | 17 mg | 16 mg | 15 mg | 14 mg | 13 mg | 12 mg | 11 mg | 10 mg | 9 mg | 8 mg | 7 mg | 6 mg | 5 mg | 4 mg | 3 mg | 2 mg | 1 mg | |

Tabel 2. Hasil Perhitungan Tegangan dan Pemampatan Tanah Akibat Penimbunan Bertahap pada Zona 1

Tabel 2. Hasil Perhitungan Tegangan dan Pemampatan Tanah Akibat Penimbunan Bertahap pada Zona 1 (Lanjutan)

Tabel 2. Hasil Perhitungan Tegangan dan Pemampatan Tanah Akibat Penimbunan Bertahap pada Zona 1 (Lanjutan)

Tabel 2. Hasil Perhitungan Tegangan dan Pemampatan Tanah Akibat Penimbunan Bertahap pada Zona 1 (Lanjutan)

Tabel 2. Hasil Perhitungan Tegangan dan Pemampatan Tanah Akibat Penimbunan Bertahap pada Zona 1 (Lanjutan)

Tabel 2. Hasil Perhitungan Tegangan dan Pemampatan Tanah Akibat Penimbunan Bertahap pada Zona 1 (Lanjutan)

Tabel 2. Hasil Perhitungan Tegangan dan Pemampatan Tanah Akibat Penimbunan Bertahap pada Zona 1 (Lanjutan)

Tabel 2. Hasil Perhitungan Tegangan dan Pemampatan Tanah Akibat Penimbunan Bertahap pada Zona 1 (Lanjutan)

Tabel 2. Hasil Perhitungan Tegangan dan Pemampatan Tanah Akibat Penimbunan Bertahap pada Zona 1 (Lanjutan)

| PENIMBUNAN 17 | | H timbunan = | 0.4 | m | $\gamma_{tim} =$ (t/m ³) | 1.8 | | | | | | | | | | | | | |
|---------------|---|--------------|------|----------|---|----------|-------|---------------------|---------------------|---------------------|-------|-------|-------|---------------------|---------------------|------------------------|-------------|----------|--------|
| Depth (m) | | | z | x | y | m=x/z | n=y/z | I | 24I | $4I \gamma H$ | Cc | Cs | eo | $\sigma' o$ | $\Delta\sigma' 17$ | $\sum_i \Delta\sigma'$ | $\sigma' c$ | OCR | Sc |
| | | (m) | (m) | (m) | | | | (t/m ²) | (t/m ²) | (t/m ²) | | | | (t/m ²) | (t/m ²) | (t/m ²) | m | | |
| 0 | - | 1 | 6.9 | ∞ | 3 | ∞ | 0.43 | 0.13 | 0.52 | 0.374 | 1.177 | 0.118 | 1.507 | 0.318 | 0.374 | 9.768 | 4.718 | 14.82298 | 0.0080 |
| 1 | - | 2 | 7.9 | ∞ | 3 | ∞ | 0.38 | 0.115 | 0.46 | 0.331 | 1.177 | 0.118 | 1.507 | 0.955 | 0.331 | 9.595 | 5.355 | 5.607659 | 0.0072 |
| 2 | - | 3 | 8.9 | ∞ | 3 | ∞ | 0.34 | 0.11 | 0.44 | 0.317 | 1.177 | 0.118 | 1.507 | 1.592 | 0.317 | 9.249 | 5.992 | 3.764595 | 0.0071 |
| 3 | - | 4 | 9.9 | ∞ | 3 | ∞ | 0.30 | 0.095 | 0.38 | 0.274 | 1.193 | 0.119 | 1.583 | 2.225 | 0.274 | 9.128 | 6.625 | 2.977456 | 0.0061 |
| 4 | - | 5 | 10.9 | ∞ | 3 | ∞ | 0.28 | 0.09 | 0.36 | 0.259 | 1.193 | 0.119 | 1.583 | 2.856 | 0.259 | 9.001 | 7.256 | 2.540878 | 0.0059 |
| 5 | - | 6 | 11.9 | ∞ | 3 | ∞ | 0.25 | 0.08 | 0.32 | 0.230 | 1.193 | 0.119 | 1.583 | 3.486 | 0.230 | 9.013 | 7.886 | 2.26221 | 0.0052 |
| 6 | - | 7 | 12.9 | ∞ | 3 | ∞ | 0.23 | 0.08 | 0.32 | 0.230 | 1.171 | 0.117 | 1.382 | 4.139 | 0.230 | 9.222 | 8.539 | 2.063062 | 0.0054 |
| 7 | - | 8 | 13.9 | ∞ | 3 | ∞ | 0.22 | 0.08 | 0.32 | 0.230 | 1.171 | 0.117 | 1.382 | 4.815 | 0.230 | 9.492 | 9.215 | 1.913882 | 0.0052 |
| 8 | - | 9 | 14.9 | ∞ | 3 | ∞ | 0.20 | 0.07 | 0.28 | 0.202 | 1.171 | 0.117 | 1.382 | 5.490 | 0.202 | 9.868 | 9.890 | 1.801419 | 0.0125 |
| 9 | - | 10 | 15.9 | ∞ | 3 | ∞ | 0.19 | 0.06 | 0.24 | 0.173 | 1.171 | 0.117 | 1.300 | 6.167 | 0.173 | 10.147 | 10.567 | 1.713439 | 0.0110 |
| | | | | | | | | | | | | | | | | | | 0.074 | |

Tabel 3. Hasil Perhitungan Perubahan Tegangan untuk U100% Akibat Penimbunan Bertahap 12 Minggu (12 Tahap) pada Zona 1

| Tegangan efektif untuk U 100% | | | | | | | | | | | | | | | | |
|-------------------------------|---|-----|-----|------------------|------------------|------------------|------------------|------------------|------------------|------------------|------------------|------------------|------------------|------------------|------------------|--------------|
| Depth (m) | | | z | Po' | $\sigma 1'$ | $\sigma 2'$ | $\sigma 3'$ | $\sigma 4'$ | $\sigma 5'$ | $\sigma 6'$ | $\sigma 7'$ | $\sigma 8'$ | $\sigma 9'$ | $\sigma 10'$ | $\sigma 11'$ | $\sigma 12'$ |
| | | | | t/m ² | |
| | | (m) | 0 | 0.4 | 0.8 | 1.2 | 1.6 | 2 | 2.4 | 2.8 | 3.2 | 3.6 | 4 | 4.4 | 4.8 | |
| 0 | - | 1 | 0.5 | 0.318 | 1.024 | 1.738 | 2.444 | 3.121 | 3.783 | 4.442 | 5.062 | 5.664 | 6.211 | 6.729 | 7.222 | 7.706 |
| 1 | - | 2 | 1.5 | 0.955 | 1.640 | 2.311 | 3.011 | 3.651 | 4.255 | 4.831 | 5.364 | 5.883 | 6.372 | 6.847 | 7.294 | 7.726 |
| 2 | - | 3 | 2.5 | 1.592 | 2.234 | 2.853 | 3.429 | 3.982 | 4.515 | 5.010 | 5.494 | 5.952 | 6.390 | 6.801 | 7.185 | 7.559 |
| 3 | - | 4 | 3.5 | 2.225 | 2.810 | 3.354 | 3.872 | 4.362 | 4.829 | 5.275 | 5.704 | 6.107 | 6.508 | 6.882 | 7.251 | 7.582 |
| 4 | - | 5 | 4.5 | 2.856 | 3.371 | 3.840 | 4.298 | 4.736 | 5.145 | 5.528 | 5.905 | 6.280 | 6.625 | 6.965 | 7.282 | 7.599 |
| 5 | - | 6 | 5.5 | 3.486 | 3.932 | 4.364 | 4.768 | 5.148 | 5.522 | 5.873 | 6.213 | 6.530 | 6.847 | 7.164 | 7.478 | 7.763 |
| 6 | - | 7 | 6.5 | 4.139 | 4.539 | 4.919 | 5.279 | 5.625 | 5.956 | 6.287 | 6.604 | 6.918 | 7.215 | 7.500 | 7.759 | 8.015 |
| 7 | - | 8 | 7.5 | 4.815 | 5.169 | 5.512 | 5.834 | 6.151 | 6.468 | 6.785 | 7.070 | 7.338 | 7.594 | 7.850 | 8.095 | 8.340 |
| 8 | - | 9 | 8.5 | 5.490 | 5.821 | 6.138 | 6.441 | 6.755 | 7.040 | 7.299 | 7.558 | 7.814 | 8.059 | 8.304 | 8.537 | 8.768 |
| 9 | - | 10 | 9.5 | 6.167 | 6.470 | 6.755 | 7.017 | 7.273 | 7.530 | 7.783 | 8.019 | 8.250 | 8.480 | 8.710 | 8.941 | 9.168 |

Tabel 4. Hasil Perhitungan Perubahan Tegangan untuk U<100% Akibat Penimbunan Bertahap 12 Minggu (12 Tahap) pada Zona 1

| Perubahan Tegangan | | Derajat Konsolidasi U<100% | | | | | | | | | | | | | | $\Sigma\sigma_p'$ | $\Sigma\sigma_p'$ |
|--------------------|---|----------------------------|-----------------------------------|-----------------------------------|-----------------------------------|-----------------------------------|-----------------------------------|-----------------------------------|-----------------------------------|-----------------------------------|-----------------------------------|------------------------------------|------------------------------------|------------------------------------|--------------------|-------------------|-------------------|
| | | Po' KN/m ² | $\Delta P1'$ KN/m ² | $\Delta P2'$ KN/m ² | $\Delta P3'$ KN/m ² | $\Delta P4'$ KN/m ² | $\Delta P5'$ KN/m ² | $\Delta P6'$ KN/m ² | $\Delta P7'$ KN/m ² | $\Delta P8'$ KN/m ² | $\Delta P9'$ KN/m ² | $\Delta P10'$ KN/m ² | $\Delta P11'$ KN/m ² | $\Delta P12'$ KN/m ² | | | |
| Tinggi Timbunan | 0 | 0.4 | 0.8 | 1.2 | 1.6 | 2 | 2.4 | 2.8 | 3.2 | 3.6 | 4 | 4.4 | 4.8 | | | | |
| Umur Timbunan | - | 12 mg | 11 mg | 10 mg | 9 mg | 8 mg | 7 mg | 6 mg | 5 mg | 4 mg | 3 mg | 2 mg | 1 mg | | | | |
| Kedalaman/ U(%) | 1 | 0.712 | 0.682 | 0.648 | 0.611 | 0.570 | 0.524 | 0.473 | 0.417 | 0.354 | 0.284 | 0.205 | 0.115 | t/m ² | kg/cm ² | | |
| 0 | - | 1 | 0.318 | 0.413 | 0.445 | 0.430 | 0.394 | 0.362 | 0.332 | 0.283 | 0.243 | 0.188 | 0.143 | 0.098 | 0.054 | 3.703 | 0.370 |
| 1 | - | 2 | 0.955 | 0.449 | 0.432 | 0.432 | 0.376 | 0.333 | 0.293 | 0.272 | 0.210 | 0.169 | 0.131 | 0.089 | 0.048 | 4.191 | 0.419 |
| 2 | - | 3 | 1.592 | 0.435 | 0.406 | 0.361 | 0.328 | 0.295 | 0.253 | 0.248 | 0.186 | 0.151 | 0.114 | 0.077 | 0.042 | 4.488 | 0.449 |
| 3 | - | 4 | 2.225 | 0.402 | 0.361 | 0.328 | 0.292 | 0.260 | 0.229 | 0.221 | 0.165 | 0.139 | 0.104 | 0.074 | 0.037 | 4.836 | 0.484 |
| 4 | - | 5 | 2.856 | 0.358 | 0.313 | 0.291 | 0.262 | 0.229 | 0.197 | 0.195 | 0.153 | 0.120 | 0.095 | 0.064 | 0.036 | 5.169 | 0.517 |
| 5 | - | 6 | 3.486 | 0.312 | 0.290 | 0.257 | 0.229 | 0.210 | 0.181 | 0.176 | 0.130 | 0.110 | 0.088 | 0.063 | 0.032 | 5.566 | 0.557 |
| 6 | - | 7 | 4.139 | 0.281 | 0.256 | 0.230 | 0.209 | 0.186 | 0.171 | 0.164 | 0.129 | 0.104 | 0.080 | 0.052 | 0.029 | 6.031 | 0.603 |
| 7 | - | 8 | 4.815 | 0.250 | 0.231 | 0.207 | 0.192 | 0.179 | 0.164 | 0.148 | 0.110 | 0.090 | 0.072 | 0.049 | 0.028 | 6.534 | 0.653 |
| 8 | - | 9 | 5.490 | 0.234 | 0.214 | 0.194 | 0.190 | 0.161 | 0.135 | 0.135 | 0.106 | 0.086 | 0.069 | 0.047 | 0.026 | 7.087 | 0.709 |
| 9 | - | 10 | 6.167 | 0.214 | 0.193 | 0.169 | 0.156 | 0.145 | 0.132 | 0.123 | 0.095 | 0.081 | 0.065 | 0.047 | 0.026 | 7.612 | 0.761 |

Tabel 5. Hasil Perhitungan Peningkatan Cu (12 Minggu)

| $\Sigma\sigma_p'$ | Kedalaman | | | PI | Cu lama | Cu baru | |
|-------------------|--------------------|-----|----|--------|---------|--------------------|--------------------|
| | kg/cm ² | (m) | % | | | kg/cm ² | kg/cm ² |
| 0.370 | 0 | - | 1 | 37.282 | 0.108 | 0.122 | |
| 0.419 | 1 | - | 2 | 37.282 | 0.108 | 0.128 | |
| 0.449 | 2 | - | 3 | 37.282 | 0.108 | 0.132 | |
| 0.484 | 3 | - | 4 | 34.553 | 0.104 | 0.139 | |
| 0.517 | 4 | - | 5 | 34.553 | 0.104 | 0.143 | |
| 0.557 | 5 | - | 6 | 34.553 | 0.104 | 0.148 | |
| 0.603 | 6 | - | 7 | 34.938 | 0.371 | 0.154 | |
| 0.653 | 7 | - | 8 | 34.938 | 0.371 | 0.161 | |
| 0.709 | 8 | - | 9 | 34.938 | 0.371 | 0.168 | |
| 0.761 | 9 | - | 10 | 38.059 | 0.292 | 0.172 | |

Tabel 6. Tahapan Penimbunan (Zona 2)

| Tinggi Timbunan | Waktu (minggu) | | | | | | | | | | | | | | |
|-----------------|----------------|-------|-------|-------|-------|-------|------|------|------|------|------|------|------|------|------|
| | 0.4 | 0.8 | 1.2 | 1.6 | 2 | 2.4 | 2.8 | 3.2 | 3.6 | 4 | 4.4 | 4.8 | 5.2 | 5.6 | 5.9 |
| 0.4 | 1 mg | | | | | | | | | | | | | | |
| 0.8 | 2 mg | 1 mg | | | | | | | | | | | | | |
| 1.2 | 3 mg | 2 mg | 1 mg | | | | | | | | | | | | |
| 1.6 | 4 mg | 3 mg | 2 mg | 1 mg | | | | | | | | | | | |
| 2 | 5 mg | 4 mg | 3 mg | 2 mg | 1 mg | | | | | | | | | | |
| 2.4 | 6 mg | 5 mg | 4 mg | 3 mg | 2 mg | 1 mg | | | | | | | | | |
| 2.8 | 7 mg | 6 mg | 5 mg | 4 mg | 3 mg | 2 mg | 1 mg | | | | | | | | |
| 3.2 | 8 mg | 7 mg | 6 mg | 5 mg | 4 mg | 3 mg | 2 mg | 1 mg | | | | | | | |
| 3.6 | 9 mg | 8 mg | 7 mg | 6 mg | 5 mg | 4 mg | 3 mg | 2 mg | 1 mg | | | | | | |
| 4 | 10 mg | 9 mg | 8 mg | 7 mg | 6 mg | 5 mg | 4 mg | 3 mg | 2 mg | 1 mg | | | | | |
| 4.4 | 11 mg | 10 mg | 9 mg | 8 mg | 7 mg | 6 mg | 5 mg | 4 mg | 3 mg | 2 mg | 1 mg | | | | |
| 4.8 | 12 mg | 11 mg | 10 mg | 9 mg | 8 mg | 7 mg | 6 mg | 5 mg | 4 mg | 3 mg | 2 mg | 1 mg | | | |
| 5.2 | 13 mg | 12 mg | 11 mg | 10 mg | 9 mg | 8 mg | 7 mg | 6 mg | 5 mg | 4 mg | 3 mg | 2 mg | 1 mg | | |
| 5.6 | 14 mg | 13 mg | 12 mg | 11 mg | 10 mg | 9 mg | 8 mg | 7 mg | 6 mg | 5 mg | 4 mg | 3 mg | 2 mg | 1 mg | |
| 5.9 | 15 mg | 14 mg | 13 mg | 12 mg | 11 mg | 10 mg | 9 mg | 8 mg | 7 mg | 6 mg | 5 mg | 4 mg | 3 mg | 2 mg | 1 mg |

Tabel 7. Hasil Perhitungan Tegangan dan Pemampatan Tanah Akibat Penimbunan Bertahap pada Zona 2

Tabel 7. Hasil Perhitungan Tegangan dan Pemampatan Tanah Akibat Penimbunan Bertahap pada Zona 2 (Lanjutan)

Tabel 7. Hasil Perhitungan Tegangan dan Pemampatan Tanah Akibat Penimbunan Bertahap pada Zona 2 (Lanjutan)

Tabel 7. Hasil Perhitungan Tegangan dan Pemampatan Tanah Akibat Penimbunan Bertahap pada Zona 2 (Lanjutan)

Tabel 7. Hasil Perhitungan Tegangan dan Pemampatan Tanah Akibat Penimbunan Bertahap pada Zona 2 (Lanjutan)

| PENIMBUNAN 9 | H timbunan = | | 0.4 | m | $\gamma_{tim} = (t/m^3)$ | 1.8 | | | | | | | | | | | | | OCR | Sc |
|--------------|--------------|-----|------|----------|--------------------------|----------|---------|-------|-------|---------------------|-------|-------|-------|---------------------|---------------------|--------------------------|---------------------|----------|--------|----|
| | Depth (m) | | z | x | y | $m=x/z$ | $n=y/z$ | I | 24I | 4I γ H | Cc | Cs | eo | $\sigma' o$ | $\Delta\sigma' 9$ | $\sum_0^i \Delta\sigma'$ | $\sigma' c$ | | | |
| | | (m) | (m) | (m) | (m) | | | | | (t/m ²) | | | | (t/m ²) | (t/m ²) | (t/m ²) | (t/m ²) | | | |
| 0 | - | 1 | 3.7 | ∞ | 3 | ∞ | 0.81 | 0.19 | 0.76 | 0.547 | 1.177 | 0.118 | 1.507 | 0.318 | 0.547 | 6.211 | 4.718 | 14.82298 | 0.0188 | |
| 1 | - | 2 | 4.7 | ∞ | 3 | ∞ | 0.64 | 0.17 | 0.68 | 0.490 | 1.177 | 0.118 | 1.507 | 0.955 | 0.490 | 6.372 | 5.355 | 5.607659 | 0.0163 | |
| 2 | - | 3 | 5.7 | ∞ | 3 | ∞ | 0.53 | 0.152 | 0.608 | 0.438 | 1.177 | 0.118 | 1.507 | 1.592 | 0.438 | 6.390 | 5.992 | 3.764595 | 0.0133 | |
| 3 | - | 4 | 6.7 | ∞ | 3 | ∞ | 0.45 | 0.139 | 0.556 | 0.400 | 1.193 | 0.119 | 1.583 | 2.225 | 0.400 | 6.508 | 6.625 | 2.977456 | 0.0215 | |
| 4 | - | 5 | 7.7 | ∞ | 3 | ∞ | 0.39 | 0.12 | 0.48 | 0.346 | 1.193 | 0.119 | 1.583 | 2.856 | 0.346 | 6.625 | 7.256 | 2.540878 | 0.0169 | |
| 5 | - | 6 | 8.7 | ∞ | 3 | ∞ | 0.34 | 0.11 | 0.44 | 0.317 | 1.193 | 0.119 | 1.583 | 3.486 | 0.317 | 6.847 | 7.886 | 2.26221 | 0.0135 | |
| 6 | - | 7 | 9.7 | ∞ | 3 | ∞ | 0.31 | 0.103 | 0.412 | 0.297 | 1.171 | 0.117 | 1.382 | 4.139 | 0.297 | 7.215 | 8.539 | 2.063062 | 0.0119 | |
| 7 | - | 8 | 10.7 | ∞ | 3 | ∞ | 0.28 | 0.089 | 0.356 | 0.256 | 1.171 | 0.117 | 1.382 | 4.815 | 0.256 | 7.594 | 9.215 | 1.913882 | 0.0097 | |
| 8 | - | 9 | 11.7 | ∞ | 3 | ∞ | 0.26 | 0.085 | 0.34 | 0.245 | 1.171 | 0.117 | 1.382 | 5.490 | 0.245 | 8.059 | 9.890 | 1.801419 | 0.0082 | |
| 9 | - | 10 | 12.7 | ∞ | 3 | ∞ | 0.24 | 0.08 | 0.32 | 0.230 | 1.171 | 0.117 | 1.300 | 6.167 | 0.230 | 8.480 | 10.567 | 1.713439 | 0.0070 | |

Tabel 7. Hasil Perhitungan Tegangan dan Pemampatan Tanah Akibat Penimbunan Bertahap pada Zona 2 (Lanjutan)

Tabel 7. Hasil Perhitungan Tegangan dan Pemampatan Tanah Akibat Penimbunan Bertahap pada Zona 2 (Lanjutan)

Tabel 7. Hasil Perhitungan Tegangan dan Pemampatan Tanah Akibat Penimbunan Bertahap pada Zona 2 (Lanjutan)

| PENIMBUNAN 15 | H timbunan = | | 0.3 | m | $\gamma_{tim} = (t/m^3)$ | 1.8 | | | | | | | | | | | | | | |
|---------------|--------------|-----|------|----------|--------------------------|---------|-------|-----------------|---------------------|---------------------|----|----|----|---------------------|---------------------|--------------------------|------------|--------|----------|--------|
| | Depth (m) | | z | x | y | $m=x/z$ | n=y/z | I | 24I | $4I \gamma H$ | Cc | Cs | eo | $\sigma'o$ | $\Delta\sigma'15$ | $\sum_0^i \Delta\sigma'$ | $\sigma'c$ | OCR | Sc | |
| | (m) | (m) | (m) | (m) | (m) | | | $\Delta\sigma'$ | (t/m ²) | (t/m ²) | | | | (t/m ²) | (t/m ²) | | | | m | |
| | 0 | - | 1 | 6.1 | ∞ | | | 0.14 | 0.56 | 0.403 | | | | 1.507 | 0.318 | 0.403 | 8.993 | 4.718 | 14.82298 | 0.0094 |
| 1 | - | 2 | 7.1 | ∞ | 3 | | | 0.131 | 0.524 | 0.377 | | | | 1.507 | 0.955 | 0.377 | 8.895 | 5.355 | 5.607659 | 0.0088 |
| 2 | - | 3 | 8.1 | ∞ | 3 | | | 0.115 | 0.46 | 0.331 | | | | 1.507 | 1.592 | 0.331 | 8.610 | 5.992 | 3.764595 | 0.0080 |
| 3 | - | 4 | 9.1 | ∞ | 3 | | | 0.11 | 0.44 | 0.317 | | | | 1.583 | 2.225 | 0.317 | 8.538 | 6.625 | 2.977456 | 0.0076 |
| 4 | - | 5 | 10.1 | ∞ | 3 | | | 0.099 | 0.396 | 0.285 | | | | 1.583 | 2.856 | 0.285 | 8.477 | 7.256 | 2.540878 | 0.0069 |
| 5 | - | 6 | 11.1 | ∞ | 3 | | | 0.089 | 0.356 | 0.256 | | | | 1.583 | 3.486 | 0.256 | 8.537 | 7.886 | 2.26221 | 0.0061 |
| 6 | - | 7 | 12.1 | ∞ | 3 | | | 0.085 | 0.34 | 0.245 | | | | 1.382 | 4.139 | 0.245 | 8.759 | 8.539 | 2.063062 | 0.0055 |
| 7 | - | 8 | 13.1 | ∞ | 3 | | | 0.08 | 0.32 | 0.230 | | | | 1.382 | 4.815 | 0.230 | 9.031 | 9.215 | 1.913882 | 0.0134 |
| 8 | - | 9 | 14.1 | ∞ | 3 | | | 0.075 | 0.3 | 0.216 | | | | 1.382 | 5.490 | 0.216 | 9.439 | 9.890 | 1.801419 | 0.0116 |
| 9 | - | 10 | 15.1 | ∞ | 3 | | | 0.07 | 0.28 | 0.202 | | | | 1.300 | 6.167 | 0.202 | 9.779 | 10.567 | 1.713439 | 0.0102 |
| | | | | | | | | | | | | | | | | | | | 0.087 | |

Tabel 8. Hasil Perhitungan Perubahan Tegangan untuk U100% Akibat Penimbunan Bertahap 12 Minggu (12 Tahap) pada Zona 2

| Tegangan efektif untuk U 100% | | | | | | | | | | | | | | | | |
|-------------------------------|---|----|-----|------------------|------------------|------------------|------------------|------------------|------------------|------------------|------------------|------------------|------------------|------------------|------------------|-------------|
| Depth (m) | | | z | Po' | $\sigma1'$ | $\sigma2'$ | $\sigma3'$ | $\sigma4'$ | $\sigma5'$ | $\sigma6'$ | $\sigma7'$ | $\sigma8'$ | $\sigma9'$ | $\sigma10'$ | $\sigma11'$ | $\sigma12'$ |
| | | | | t/m ² | |
| 0 | - | 1 | 0.5 | 0.318 | 1.024 | 1.738 | 2.444 | 3.121 | 3.783 | 4.442 | 5.062 | 5.664 | 6.211 | 6.729 | 7.222 | 7.706 |
| 1 | - | 2 | 1.5 | 0.955 | 1.640 | 2.311 | 3.011 | 3.651 | 4.255 | 4.831 | 5.364 | 5.883 | 6.372 | 6.847 | 7.294 | 7.726 |
| 2 | - | 3 | 2.5 | 1.592 | 2.234 | 2.853 | 3.429 | 3.982 | 4.515 | 5.010 | 5.494 | 5.952 | 6.390 | 6.801 | 7.185 | 7.559 |
| 3 | - | 4 | 3.5 | 2.225 | 2.810 | 3.354 | 3.872 | 4.362 | 4.829 | 5.275 | 5.704 | 6.107 | 6.508 | 6.882 | 7.251 | 7.582 |
| 4 | - | 5 | 4.5 | 2.856 | 3.371 | 3.840 | 4.298 | 4.736 | 5.145 | 5.528 | 5.905 | 6.280 | 6.625 | 6.965 | 7.282 | 7.599 |
| 5 | - | 6 | 5.5 | 3.486 | 3.932 | 4.364 | 4.768 | 5.148 | 5.522 | 5.873 | 6.213 | 6.530 | 6.847 | 7.164 | 7.478 | 7.763 |
| 6 | - | 7 | 6.5 | 4.139 | 4.539 | 4.919 | 5.279 | 5.625 | 5.956 | 6.287 | 6.604 | 6.918 | 7.215 | 7.500 | 7.759 | 8.015 |
| 7 | - | 8 | 7.5 | 4.815 | 5.169 | 5.512 | 5.834 | 6.151 | 6.468 | 6.785 | 7.070 | 7.338 | 7.594 | 7.850 | 8.095 | 8.340 |
| 8 | - | 9 | 8.5 | 5.490 | 5.821 | 6.138 | 6.441 | 6.755 | 7.040 | 7.299 | 7.558 | 7.814 | 8.059 | 8.304 | 8.537 | 8.768 |
| 9 | - | 10 | 9.5 | 6.167 | 6.470 | 6.755 | 7.017 | 7.273 | 7.530 | 7.783 | 8.019 | 8.250 | 8.480 | 8.710 | 8.941 | 9.168 |

Tabel 9. Hasil Perhitungan Perubahan Tegangan untuk U<100% Akibat Penimbunan Bertahap 12 Minggu (12 Tahap) pada Zona 2

| Derajat Konsolidasi U<100% | | | | | | | | | | | | | | | | | |
|----------------------------|---|----|-------------------|-------------------|-------------------|-------------------|-------------------|-------------------|-------------------|-------------------|-------------------|-------------------|-------------------|-------------------|-------|-------------------|--------------------|
| Perubahan Tegangan | | | Po' | ΔP1' | ΔP2' | ΔP3' | ΔP4' | ΔP5' | ΔP6' | ΔP7' | ΔP8' | ΔP9' | ΔP10' | ΔP11' | ΔP12' | $\Sigma\sigma_p'$ | $\Sigma\sigma_p'$ |
| | | | KN/m ² | | | |
| Tinggi Timbunan | | | 0 | 0.4 | 0.8 | 1.2 | 1.6 | 2 | 2.4 | 2.8 | 3.2 | 3.6 | 4 | 4.4 | 4.8 | $\Sigma\sigma_p'$ | $\Sigma\sigma_p'$ |
| Umur Timbunan | | | - | 12 mg | 11 mg | 10 mg | 9 mg | 8 mg | 7 mg | 6 mg | 5 mg | 4 mg | 3 mg | 2 mg | 1 mg | | |
| Kedalaman/ U(%) | | | 1 | 0.712 | 0.682 | 0.648 | 0.611 | 0.570 | 0.524 | 0.473 | 0.417 | 0.354 | 0.284 | 0.205 | 0.115 | t/m ² | kg/cm ² |
| 0 | - | 1 | 0.318 | 0.413 | 0.445 | 0.430 | 0.394 | 0.362 | 0.332 | 0.283 | 0.243 | 0.188 | 0.143 | 0.098 | 0.054 | 3.703 | 0.370 |
| 1 | - | 2 | 0.955 | 0.449 | 0.432 | 0.432 | 0.376 | 0.333 | 0.293 | 0.245 | 0.210 | 0.169 | 0.131 | 0.089 | 0.048 | 4.163 | 0.416 |
| 2 | - | 3 | 1.592 | 0.435 | 0.406 | 0.361 | 0.328 | 0.295 | 0.253 | 0.223 | 0.186 | 0.151 | 0.114 | 0.077 | 0.042 | 4.464 | 0.446 |
| 3 | - | 4 | 2.225 | 0.402 | 0.361 | 0.328 | 0.292 | 0.260 | 0.229 | 0.199 | 0.165 | 0.139 | 0.104 | 0.074 | 0.037 | 4.814 | 0.481 |
| 4 | - | 5 | 2.856 | 0.358 | 0.313 | 0.291 | 0.262 | 0.229 | 0.197 | 0.175 | 0.153 | 0.120 | 0.095 | 0.064 | 0.036 | 5.150 | 0.515 |
| 5 | - | 6 | 3.486 | 0.312 | 0.290 | 0.257 | 0.229 | 0.210 | 0.181 | 0.158 | 0.130 | 0.110 | 0.088 | 0.063 | 0.032 | 5.548 | 0.555 |
| 6 | - | 7 | 4.139 | 0.281 | 0.256 | 0.230 | 0.209 | 0.186 | 0.171 | 0.148 | 0.129 | 0.104 | 0.080 | 0.052 | 0.029 | 6.015 | 0.601 |
| 7 | - | 8 | 4.815 | 0.250 | 0.231 | 0.207 | 0.192 | 0.179 | 0.164 | 0.133 | 0.110 | 0.090 | 0.072 | 0.049 | 0.028 | 6.520 | 0.652 |
| 8 | - | 9 | 5.490 | 0.234 | 0.214 | 0.194 | 0.190 | 0.161 | 0.135 | 0.122 | 0.106 | 0.086 | 0.069 | 0.047 | 0.026 | 7.074 | 0.707 |
| 9 | - | 10 | 6.167 | 0.214 | 0.193 | 0.169 | 0.156 | 0.145 | 0.132 | 0.111 | 0.095 | 0.081 | 0.065 | 0.047 | 0.026 | 7.600 | 0.760 |

Tabel 10. Hasil Perhitungan Peningkatan Cu (8 Minggu) Zona 2

| $\Sigma\sigma_p'$ | Kedalaman | | | PI | Cu lama | Cu baru | | |
|-------------------|--------------------|-----|----|--------|---------|--------------------|--------------------|--------------------|
| | kg/cm ² | (m) | % | | | kg/cm ² | kg/cm ² | (Ardana & Mochtar) |
| 0.370 | 0 | - | 1 | 37.282 | 0.108 | 0.122 | | |
| 0.416 | 1 | - | 2 | 37.282 | 0.108 | 0.128 | | |
| 0.446 | 2 | - | 3 | 37.282 | 0.108 | 0.132 | | |
| 0.481 | 3 | - | 4 | 34.553 | 0.104 | 0.138 | | |
| 0.515 | 4 | - | 5 | 34.553 | 0.104 | 0.143 | | |
| 0.555 | 5 | - | 6 | 34.553 | 0.104 | 0.148 | | |
| 0.601 | 6 | - | 7 | 34.938 | 0.371 | 0.154 | | |
| 0.652 | 7 | - | 8 | 34.938 | 0.371 | 0.161 | | |
| 0.707 | 8 | - | 9 | 34.938 | 0.371 | 0.168 | | |
| 0.760 | 9 | - | 10 | 38.059 | 0.292 | 0.171 | | |

Halaman ini sengaja dikosongkan

LAMPIRAN 8
PERHITUNGAN PERENCANAAN PERKUATAN KOMBINASI *MULTIBLOCKS*, *GEOGRID*, DAN *MICROPILE/CERUCUK* UNTUK TIMBUNAN MELINTANG (ALTERNATIF 2)

Tabel 1. Hasil Perhitungan jarak antar *Geogrid* (Zona 1)

| No | z (m) | γ (t/m ³) | σ_{hs} (t/m ²) | $\sigma_{h\ tot}$ (t/m ²) | Tall (t/m) | SF | Sv | Sv pakai | Keterangan |
|----|----------|---------------------------------|--------------------------------------|--|---------------|-----|-------|----------|--|
| | | | | | | | (m) | (m) | |
| 1 | 6.8 | 1.8 | 4.08 | 4.08 | 1.733 | 1.4 | 0.303 | 0.2 | Z = 6-6.8 m pakai <i>geotextile</i> Sv = 0.2 m (5 lapis) |
| 2 | 6.4 | 1.8 | 3.84 | 3.84 | 1.733 | 1.4 | 0.322 | 0.2 | |
| 3 | 6 | 1.8 | 3.6 | 3.6 | 1.733 | 1.4 | 0.344 | 0.2 | |
| 4 | 5.6 | 1.8 | 3.36 | 3.36 | 1.972 | 1.4 | 0.419 | 0.4 | |
| 5 | 5.2 | 1.8 | 3.12 | 3.12 | 1.972 | 1.4 | 0.452 | 0.4 | |
| 6 | 4.8 | 1.8 | 2.88 | 2.88 | 1.972 | 1.4 | 0.489 | 0.4 | Z = 3.2-6 m pakai <i>geogrid</i> Sv = 0.4 m (7 lapis) |
| 7 | 4.4 | 1.8 | 2.64 | 2.64 | 1.972 | 1.4 | 0.534 | 0.4 | |
| 8 | 4 | 1.8 | 2.4 | 2.4 | 1.972 | 1.4 | 0.587 | 0.4 | |
| 9 | 3.6 | 1.8 | 2.16 | 2.16 | 1.972 | 1.4 | 0.652 | 0.4 | |
| 10 | 3.2 | 1.8 | 1.92 | 1.92 | 1.972 | 1.4 | 0.734 | 0.4 | |
| 11 | 2.8 | 1.8 | 1.68 | 1.68 | 1.972 | 1.4 | 0.839 | 0.8 | Z = 0-3.2 m pakai <i>geogrid</i> Sv = 0.8 m (3 lapis) |
| 12 | 2.4 | 1.8 | 1.44 | 1.44 | 1.972 | 1.4 | 0.978 | 0.8 | |
| 13 | 2 | 1.8 | 1.2 | 1.2 | 1.972 | 1.4 | 1.174 | 0.8 | |
| 14 | 1.6 | 1.8 | 0.96 | 0.96 | 1.972 | 1.4 | 1.468 | 0.8 | |
| 15 | 1.2 | 1.8 | 0.72 | 0.72 | 1.972 | 1.4 | 1.957 | 0.8 | |
| 16 | 0.8 | 2.8 | 0.75 | 0.74667 | 1.972 | 1.4 | 1.887 | 0.8 | |

Tabel 2. Hasil Perhitungan Panjang *Geogrid* (Zona 1)

| No | z | Sv pakai | $\sigma_{h\text{ tot}}$ | σ_v | Le | Le pakai | Lr | Lo | Lo min | L total | L pakai |
|----|-----|----------|-------------------------|---------------------|--------|----------|-------|-------|--------|----------|---------|
| | (m) | (m) | (t/m ²) | (t/m ²) | (m) | (m) | (m) | (m) | (m) | (m) | (m) |
| 1 | 0.8 | 0.8 | 0.74667 | 2.24 | 0.4003 | 1 | 3.464 | 0.200 | 1 | 5.464 | 6 |
| 2 | 1.2 | 0.8 | 0.72 | 2.16 | 0.4003 | 1 | 3.233 | 0.200 | 1 | 5.233162 | 6 |
| 3 | 1.6 | 0.8 | 0.96 | 2.88 | 0.4003 | 1 | 3.002 | 0.200 | 1 | 5.002221 | 6 |
| 4 | 2 | 0.8 | 0.96 | 2.88 | 0.4003 | 1 | 2.771 | 0.200 | 1 | 4.771281 | 6 |
| 5 | 2.4 | 0.8 | 1.44 | 4.32 | 0.4003 | 1 | 2.540 | 0.200 | 1 | 4.540341 | 6 |
| 6 | 2.8 | 0.8 | 1.68 | 5.04 | 0.4003 | 1 | 2.309 | 0.200 | 1 | 4.309401 | 6 |
| 7 | 3.2 | 0.4 | 1.92 | 5.76 | 0.2002 | 1 | 2.078 | 0.100 | 1 | 4.078461 | 5 |
| 8 | 3.6 | 0.4 | 2.16 | 6.48 | 0.2002 | 1 | 1.848 | 0.100 | 1 | 3.847521 | 5 |
| 9 | 4 | 0.4 | 2.4 | 7.2 | 0.2002 | 1 | 1.617 | 0.100 | 1 | 3.616581 | 5 |
| 10 | 4.4 | 0.4 | 2.64 | 7.92 | 0.2002 | 1 | 1.386 | 0.100 | 1 | 3.385641 | 5 |
| 11 | 4.8 | 0.4 | 2.88 | 8.64 | 0.2002 | 1 | 1.155 | 0.100 | 1 | 3.154701 | 5 |
| 12 | 5.2 | 0.4 | 3.12 | 9.36 | 0.2002 | 1 | 0.924 | 0.100 | 1 | 2.92376 | 5 |
| 13 | 5.6 | 0.4 | 3.36 | 10.08 | 0.2002 | 1 | 0.693 | 0.100 | 1 | 2.69282 | 5 |
| 14 | 6 | 0.2 | 3.6 | 10.8 | 0.1001 | 1 | 0.462 | 0.050 | 1 | 2.66188 | 3 |
| 15 | 6.4 | 0.2 | 3.84 | 11.52 | 0.1001 | 1 | 0.231 | 0.050 | 1 | 2.43094 | 3 |
| 16 | 6.8 | 0.2 | 4.08 | 12.24 | 0.1001 | 1 | 0 | 0.050 | 1 | 2 | 3 |

Tabel 3. Kontrol Guling (Zona 1)

| Tekanan Tanah | | | Beban tanah (per 0.4 m) | | | Momen dorong (P cos δ x R) | | |
|---------------|---------|------------------|-------------------------|--------|----------------|------------------------------------|-------|-----|
| σ_v | 12.24 | t/m ² | w1 | 12.096 | t | x1 | 3 | m |
| σ_h | 4.08 | t/m ² | w2 | 10.368 | t | x2 | 2.5 | m |
| P1 (0.4 m) | 5.5488 | t | w3 | 10.368 | t | x3 | 1.5 | m |
| P1 cos δ | 5.02892 | t | Beban Multiblocks | | | Momen penahan((P sinδ * x)+w * x) | | |
| P1 sin δ | 2.34502 | t | W multiblock | = | γ beton | H | t | p |
| R1 | 2.26667 | m | | = | 2.4 | 5.8 | 0.205 | 0.4 |
| | | | | = | 1.14144 | t | | |

SF = Mp/Md = 7,45 > 3 "OK"

Tabel 4. Kontrol Geser (Zona 1)

| Gaya Penahan (P sinδ + w) | | | Gaya Pendorong (P cos δ) | | |
|----------------------------|---------------|----------|---------------------------|-------|-------|
| P1 sin δ | 2.345 | t | P1 cos δ | 5.029 | t |
| w1 | 12.096 | t | P _D | 5.029 | t |
| w2 | 10.368 | t | cu | | |
| w3 | 10.368 | t | Gaya penahan total | 3.367 | t |
| wm | 1.14144 | t | Gaya pendorong | 5.029 | t |
| P _p | 36.318 | t | SF | 0.670 | < 1.5 |

Maka panjang Geogrid diperpanjang sampai 6 meter (selebar timbunan).

Tabel 5. Hasil *Running Geoslope* (Zona 1)

| No | SF Geoslope | Hasil Geoslope | | | | | Perhitungan | | |
|----|-------------|----------------|--------------|-------------|--------|--------|---------------|---------------|----------------|
| | | MR (kN.m) | MD (kN.m) | titik pusat | | R m | SF rencana | MR rencana | Δ MR (kN.m) |
| 1 | 1.029 | 8688.9 | 8444.023 | 18.03 | 14.928 | 14.933 | 1.4 | 11821.63 | 3132.733 |
| 2 | 1.042 | 7292.8 | 6998.848 | 18.876 | 13.457 | 13.392 | 1.4 | 9798.388 | 2505.588 |
| 3 | 1.348 | 4992.3 | 3703.487 | 21.342 | 13.346 | 11.355 | 1.4 | 5184.881 | 192.5813 |
| 4 | 1.032 | 9345.4 | 9055.62 | 17.697 | 15.814 | 15.738 | 1.4 | 12677.87 | 3332.468 |

Tabel 6. Peningkatan Cu yang dipakai (Zona 1)

| $\Sigma \sigma p'$ | Kedalaman | | | PI | Cu lama | Cu baru |
|--------------------|--------------------|-----|----|--------|---------|--------------------|
| | kg/cm ² | (m) | | | | kg/cm ² |
| 0.371 | 0 | - | 1 | 37.282 | 0.108 | 0.122 |
| 0.419 | 1 | - | 2 | 37.282 | 0.108 | 0.128 |
| 0.449 | 2 | - | 3 | 37.282 | 0.108 | 0.132 |
| 0.484 | 3 | - | 4 | 34.553 | 0.104 | 0.139 |
| 0.517 | 4 | - | 5 | 34.553 | 0.104 | 0.143 |
| 0.557 | 5 | - | 6 | 34.553 | 0.104 | 0.148 |
| 0.603 | 6 | - | 7 | 34.938 | 0.371 | 0.154 |
| 0.653 | 7 | - | 8 | 34.938 | 0.371 | 0.161 |
| 0.709 | 8 | - | 9 | 34.938 | 0.371 | 0.168 |
| 0.761 | 9 | - | 10 | 38.059 | 0.292 | 0.172 |

Tabel 5. Hasil *Running Geoslope* (Zona 1)

| No | SF Geoslope | Hasil Geoslope | | | | | Perhitungan | | |
|----|-------------|----------------|--------------|-------------|--------|--------|---------------|---------------|----------------|
| | | MR (kN.m) | MD (kN.m) | titik pusat | | R m | SF rencana | MR rencana | Δ MR (kN.m) |
| 1 | 1.029 | 8688.9 | 8444.023 | 18.03 | 14.928 | 14.933 | 1.4 | 11821.63 | 3132.733 |
| 2 | 1.042 | 7292.8 | 6998.848 | 18.876 | 13.457 | 13.392 | 1.4 | 9798.388 | 2505.588 |
| 3 | 1.348 | 4992.3 | 3703.487 | 21.342 | 13.346 | 11.355 | 1.4 | 5184.881 | 192.5813 |
| 4 | 1.032 | 9345.4 | 9055.62 | 17.697 | 15.814 | 15.738 | 1.4 | 12677.87 | 3332.468 |

Tabel 6. Peningkatan Cu yang dipakai (Zona 1)

| $\Sigma \sigma p'$ | Kedalaman | | | PI | Cu lama | Cu baru |
|--------------------|--------------------|-----|----|--------|---------|--------------------|
| | kg/cm ² | (m) | | | | kg/cm ² |
| 0.371 | 0 | - | 1 | 37.282 | 0.108 | 0.122 |
| 0.419 | 1 | - | 2 | 37.282 | 0.108 | 0.128 |
| 0.449 | 2 | - | 3 | 37.282 | 0.108 | 0.132 |
| 0.484 | 3 | - | 4 | 34.553 | 0.104 | 0.139 |
| 0.517 | 4 | - | 5 | 34.553 | 0.104 | 0.143 |
| 0.557 | 5 | - | 6 | 34.553 | 0.104 | 0.148 |
| 0.603 | 6 | - | 7 | 34.938 | 0.371 | 0.154 |
| 0.653 | 7 | - | 8 | 34.938 | 0.371 | 0.161 |
| 0.709 | 8 | - | 9 | 34.938 | 0.371 | 0.168 |
| 0.761 | 9 | - | 10 | 38.059 | 0.292 | 0.172 |

Tabel 7. Hasil Perhitungan Kebutuhan Cerucuk (Zona 1)

| Segi Empat 20 x 20 K-45 | | | |
|-------------------------|---|----------|--------|
| f'c | = | 45 | Mpa |
| D | = | 20 | cm |
| E | = | 315285.6 | kg/cm2 |
| I | = | 13333.33 | cm4 |
| Cu (bidang longsor) | = | 0.148 | kg/cm2 |
| q | = | 0.296 | kg/cm2 |
| f | = | 0.096 | kg/cm2 |
| T | = | 134.3613 | cm |
| Mu | = | 3.107445 | tm |
| L | = | 2 | m |
| L/T | = | 1.488523 | |
| Fm | = | 1 | |
| Xt | = | 10 | |
| Yt | = | 0.65 | |
| spasi | = | 1 | m |
| Xs | = | 5 | |
| Ys | = | 0.987 | |
| Xn | = | 2 | |
| Yn | = | 0.957 | |
| Xd | = | 0.148852 | |
| Yd | = | 3.356901 | |
| Yd pakai | = | 2 | |
| fk | = | 2.824231 | |
| P | = | 6.531749 | ton |
| SF rencana | = | 1.4 | |
| SF existing | = | 1.139 | |
| R jari" | = | 13.07 | m |
| MR | = | 5317.2 | kNm |
| MD | = | 4668.306 | |
| ΔMr | = | 1218.428 | kNm |
| n | = | 1.427233 | bah/m |
| n pakai | = | 2 | bah/m |

| Segi Empat 20 x 20 K-45 | | | |
|-------------------------|---|----------|--------|
| f'c | = | 45 | Mpa |
| D | = | 20 | cm |
| E | = | 315285.6 | kg/cm2 |
| I | = | 13333.33 | cm4 |
| Cu (bidang longsor) | = | 0.139 | kg/cm2 |
| q | = | 0.278 | kg/cm2 |
| f | = | 0.096 | kg/cm2 |
| T | = | 134.3613 | cm |
| Mu | = | 3.107445 | tm |
| L | = | 2 | m |
| L/T | = | 1.488523 | |
| Fm | = | 1 | |
| Xt | = | 10 | |
| Yt | = | 0.65 | |
| spasi | = | 1 | m |
| Xs | = | 5 | |
| Ys | = | 0.987 | |
| Xn | = | 1 | |
| Yn | = | 1.004 | |
| Xd | = | 0.148852 | |
| Yd | = | 3.356901 | |
| Yd pakai | = | 2 | |
| fk | = | 2.962935 | |
| P | = | 6.852535 | ton |
| SF rencana | = | 1.4 | |
| SF existing | = | 1.259 | |
| R jari" | = | 10.916 | m |
| MR | = | 3606.5 | kNm |
| MD | = | 2864.575 | |
| ΔMr | = | 403.9051 | kNm |
| n | = | 0.539964 | bah/m |
| n pakai | = | 1 | bah/m |

| Segi Empat 20 x 20 K-45 | | | |
|-------------------------|---|----------|--------|
| f'c | = | 45 | Mpa |
| D | = | 20 | cm |
| E | = | 315285.6 | kg/cm2 |
| I | = | 13333.33 | cm4 |
| Cu (bidang longsor) | = | 0.148 | kg/cm2 |
| q | = | 0.296 | kg/cm2 |
| f | = | 0.096 | kg/cm2 |
| T | = | 134.3613 | cm |
| Mu | = | 3.107445 | tm |
| L | = | 2 | m |
| L/T | = | 1.488523 | |
| Fm | = | 1 | |
| Xt | = | 10 | |
| Yt | = | 0.65 | |
| spasi | = | 1 | m |
| Xs | = | 5 | |
| Ys | = | 0.987 | |
| Xn | = | 2 | |
| Yn | = | 0.957 | |
| Xd | = | 0.148852 | |
| Yd | = | 3.356901 | |
| Yd pakai | = | 2 | |
| fk | = | 2.824231 | |
| P | = | 6.531749 | ton |
| SF rencana | = | 1.4 | |
| SF existing | = | 1.131 | |
| R jari" | = | 13.254 | m |
| MR | = | 5489.2 | kNm |
| MD | = | 4853.404 | |
| ΔMr | = | 1305.566 | kNm |
| n | = | 1.508073 | bah/m |
| n pakai | = | 2 | bah/m |

Tabel 8. Hasil Perhitungan Kebutuhan Cerucuk (Zona 1) (Lanjutan)

| Segi Empat 20 x 20 K-45 | | | |
|-------------------------|---|----------|--------------------|
| f'c | = | 45 | Mpa |
| D | = | 20 | cm |
| E | = | 315285.6 | kg/cm ² |
| I | = | 13333.33 | cm ⁴ |
| Cu (bidang longsor) | = | 0.143 | kg/cm ² |
| q | = | 0.286 | kg/cm ² |
| f | = | 0.096 | kg/cm ² |
| T | = | 134.3613 | cm |
| Mu | = | 3.107445 | tm |
| L | = | 2 | m |
| L/T | = | 1.488523 | |
| Fm | = | 1 | |
| Xt | = | 10 | |
| Yt | = | 0.65 | |
| spasi | = | 1 | m |
| Xs | = | 5 | |
| Ys | = | 0.987 | |
| Xn | = | 2 | |
| Yn | = | 0.957 | |
| Xd | = | 0.148852 | |
| Yd | = | 3.356901 | |
| Yd pakai | = | 2 | |
| fk | = | 2.824231 | |
| P | = | 6.531749 | ton |
| SF rencana | = | 1.4 | |
| SF existing | = | 1.179 | |
| R jari" | = | 12.249 | m |
| MR | = | 4600.8 | kNm |
| MD | = | 3902.29 | |
| ΔMr | = | 862.4061 | kNm |
| n | = | 1.077908 | buah/m |
| n pakai | = | 2 | buah/m |

Tabel 9. Rekapitulasi Hasil Perhitungan Kebutuhan Cerucuk (Zona 1)

| No | SF minimum | ΔMR | Dimensi cerucuk | Kebutuhan cerucuk (1 sisi) | Kebutuhan cerucuk (2 sisi) | Jarak antar cerucuk | La (atas bidang longsor) | Lb (bawah bidang longsor) | L total |
|----|---------------|----------|--------------------|----------------------------------|----------------------------------|---------------------------|--------------------------------|------------------------------------|---------|
| | | | | (kNm) | (m) | (buah/m) | (buah/m) | | |
| 1 | 1.139 | 1218.428 | 20x20 | 2 | 4 | 1 | 3.6 | 2 | 6 |
| 2 | 1.259 | 403.9051 | 20x20 | 1 | 2 | 1 | 2.43 | 2 | 5 |
| 3 | 1.131 | 1305.566 | 20x20 | 2 | 4 | 1 | 3.65 | 2 | 6 |
| 4 | 1.179 | 862.4061 | 20x20 | 2 | 4 | 1 | 3.15 | 2 | 6 |

Tabel 10. Hasil Perhitungan Jarak antar *Geogrid* (Zona 2)

| No | z (m) | γ (t/m ³) | σ_{hs} (t/m ²) | $\sigma_{h\ tot}$ (t/m ²) | Tall (t/m) | SF | Sv | Sv pakai | Keterangan |
|----|----------|---------------------------------|--------------------------------------|--|---------------|-----|------|----------|--|
| | | | | | | | (m) | (m) | |
| 1 | 5.9 | 1.8 | 3.54 | 3.54 | 1.733 | 1.4 | 0.35 | 0.2 | Z = 5.1-5.9 m pakai geotextile Sv = 0.2 m (5 lapis) |
| 2 | 5.5 | 1.8 | 3.3 | 3.3 | 1.733 | 1.4 | 0.38 | 0.2 | |
| 3 | 5.1 | 1.8 | 3.06 | 3.06 | 1.733 | 1.4 | 0.40 | 0.2 | |
| 4 | 4.7 | 1.8 | 2.82 | 2.82 | 1.972 | 1.4 | 0.50 | 0.4 | Z = 3.1-5.1m pakai geogrid Sv = 0.4 m (5 lapis) |
| 5 | 4.3 | 1.8 | 2.58 | 2.58 | 1.972 | 1.4 | 0.55 | 0.4 | |
| 6 | 3.9 | 1.8 | 2.34 | 2.34 | 1.972 | 1.4 | 0.60 | 0.4 | |
| 7 | 3.5 | 1.8 | 2.1 | 2.1 | 1.972 | 1.4 | 0.67 | 0.4 | |
| 8 | 3.1 | 1.8 | 1.86 | 1.86 | 1.972 | 1.4 | 0.76 | 0.4 | Z = 0-3.1 m pakai geogrid Sv = 0.8 m (3 lapis) |
| 9 | 2.7 | 1.8 | 1.62 | 1.62 | 1.972 | 1.4 | 0.87 | 0.8 | |
| 10 | 2.3 | 1.8 | 1.38 | 1.38 | 1.972 | 1.4 | 1.02 | 0.8 | |
| 11 | 1.9 | 1.8 | 1.14 | 1.14 | 1.972 | 1.4 | 1.24 | 0.8 | |
| 12 | 1.5 | 1.8 | 0.9 | 0.9 | 1.972 | 1.4 | 1.57 | 0.8 | |
| 13 | 1.1 | 1.8 | 0.66 | 0.66 | 1.972 | 1.4 | 2.13 | 0.8 | |
| 14 | 0.7 | 1.8 | 0.42 | 0.42 | 1.972 | 1.4 | 3.35 | 0.8 | |

Tabel 11. Hasil Perhitungan Panjang Geogrid (Zona 2)

| No | z | Sv pakai | $\sigma_{h\text{ tot}}$ | σ_v | Le | e pakai | Lr | Lo | Lo min | L total | L pakai |
|----|-----|----------|-------------------------|---------------------|----------|---------|-------|----------|--------|---------|---------|
| | (m) | (m) | (t/m ²) | (t/m ²) | (m) | (m) | (m) | (m) | (m) | (m) | (m) |
| 1 | 0.7 | 0.8 | 0.42 | 1.26 | 0.400308 | 1 | 3.002 | 0.200154 | 1 | 5.00 | 5 |
| 2 | 1.1 | 0.8 | 0.42 | 1.26 | 0.400308 | 1 | 2.771 | 0.200154 | 1 | 4.77 | 5 |
| 3 | 1.5 | 0.8 | 0.9 | 2.7 | 0.400308 | 1 | 2.54 | 0.200154 | 1 | 4.54 | 5 |
| 4 | 1.9 | 0.8 | 1.14 | 3.42 | 0.400308 | 1 | 2.309 | 0.200154 | 1 | 4.31 | 5 |
| 5 | 2.3 | 0.8 | 1.38 | 4.14 | 0.400308 | 1 | 2.078 | 0.200154 | 1 | 4.08 | 5 |
| 6 | 2.7 | 0.8 | 1.62 | 4.86 | 0.400308 | 1 | 1.848 | 0.200154 | 1 | 3.85 | 5 |
| 7 | 3.1 | 0.4 | 1.86 | 5.58 | 0.200154 | 1 | 1.617 | 0.100077 | 1 | 3.62 | 5 |
| 8 | 3.5 | 0.4 | 2.1 | 6.3 | 0.200154 | 1 | 1.386 | 0.100077 | 1 | 3.39 | 4 |
| 9 | 3.9 | 0.4 | 2.34 | 7.02 | 0.200154 | 1 | 1.155 | 0.100077 | 1 | 3.15 | 4 |
| 10 | 4.3 | 0.4 | 2.58 | 7.74 | 0.200154 | 1 | 0.924 | 0.100077 | 1 | 2.92 | 4 |
| 11 | 4.7 | 0.4 | 2.82 | 8.46 | 0.200154 | 1 | 0.693 | 0.100077 | 1 | 2.69 | 4 |
| 12 | 5.1 | 0.2 | 3.06 | 9.18 | 0.100077 | 1 | 0.462 | 0.050038 | 1 | 2.66 | 4 |
| 13 | 5.5 | 0.2 | 3.3 | 9.9 | 0.100077 | 1 | 0.231 | 0.050038 | 1 | 2.43 | 4 |
| 14 | 5.9 | 0.2 | 3.54 | 10.62 | 0.100077 | 1 | 0 | 0.050038 | 1 | 2.20 | 4 |

Tabel 12. Kontrol Guling (Zona 2)

| Tekanan Tanah | | | Beban tanah (per 0.4 m) | | | | | |
|--|--------|------------------|--------------------------------|-------|----------------|-----|-------|-----|
| σ_v | 10.62 | t/m ² | w1 | 11.16 | t | x1 | 2.5 | m |
| σ_h | 3.54 | t/m ² | w2 | 8.064 | t | x2 | 2 | m |
| P1 (0.4 m) | 4.1772 | t | | | | | | |
| P1 cos δ | 3.7858 | t | | | | | | |
| P1 sin δ | 1.7654 | t | | | | | | |
| R1 | 1.9667 | m | | | | | | |
| Momen dorong (P cos δ x R) | | | Beban Multiblocks | | | | | |
| P1 cos δ x R1 | 7.445 | tm | W multiblock | = | γ beton | H | t | p |
| M _D | 7.445 | tm | | = | 2.4 | 4.6 | 0.205 | 0.4 |
| | | | | = | 0.90528 | t | | |
| Momen penahan((P sinδ * x)+ w * x) | | | | | | | | |
| P1 sin δ * x | 7.061 | tm | | | | | | |
| w1*x1 | 27.9 | tm | | | | | | |
| w2*x2 | 16.128 | tm | | | | | | |
| | | | | | | | | |
| Wm*1/2t | 0.0928 | tm | | | | | | |
| M _P | 51.182 | tm | | | | | | |
| SF | 6.874 | > 3 | | | | | | OK |

Tabel 13. Kontrol Geser (Zona 2)

| Gaya Penahan ($P \sin\delta + w$) | | | Gaya Pendorong ($P \cos \delta$) | | |
|---|---------------|----------|--|--------|------------------|
| $P_1 \sin \delta$ | 1.765 | t | $P_1 \cos \delta$ | 3.786 | t |
| w1 | 11.16 | t | P_D | 3.786 | t |
| w2 | 8.064 | t | | | |
| | | | | | |
| wm | 0.9053 | t | | | |
| P_p | 21.895 | t | cu | 1.22 | t/m ² |
| | | | Gaya penahan total | 3.099 | t |
| | | | Gaya pendorong | 3.786 | t |
| | | | SF | 0.8187 | < 1.5 NOT OK |

Maka panjang *geogrid* diperpanjang sampai 6 meter

Tabel 14. Hasil *Running Geoslope* (Zona 2)

| No | SF Geoslope | Hasil Geoslope | | | | Perhitungan | | | |
|----|-------------|----------------|--------------|-------------|--------|-------------|---------------|---------------|----------------|
| | | MR (kN.m) | MD (kN.m) | titik pusat | | R m | SF rencana | MR rencana | Δ MR (kN.m) |
| 1 | 1.155 | 8924.9 | 7727.186 | 17.702 | 15.719 | 15.675 | 1.4 | 10818.06 | 1893.161 |
| 2 | 1.163 | 7361.1 | 6329.407 | 18.663 | 13.878 | 13.805 | 1.4 | 8861.169 | 1500.069 |
| 3 | 1.385 | 4666.5 | 3369.314 | 21.029 | 12.439 | 11.042 | 1.4 | 4717.04 | 50.53971 |
| 4 | 1.156 | 8119.5 | 7023.789 | 18.175 | 13.878 | 14.7 | 1.4 | 9833.304 | 1713.804 |

Tabel 15. Hasil Hasil Perhitungan Kebutuhan Cerucuk (Zona 2)

| Segi Empat 20 x 20 K-45 | | | |
|-------------------------|---|----------|--------|
| f'c | = | 45 | Mpa |
| D | = | 20 | cm |
| E | = | 315285.6 | kg/cm2 |
| I | = | 13333.33 | cm4 |
| Cu (bidang longsor) | = | 0.148 | kg/cm2 |
| q | = | 0.296 | kg/cm2 |
| f | = | 0.096 | kg/cm2 |
| T | = | 134.3613 | cm |
| Mu | = | 2.107234 | tm |
| L | = | 2 | m |
| L/T | = | 1.488523 | |
| Fm | = | 1 | |
| Xt | = | 10 | |
| Yt | = | 0.65 | |
| spasi | = | 1 | m |
| Xs | = | 5 | |
| Ys | = | 0.987 | |
| Xn | = | 1 | |
| Yn | = | 1.004 | |
| Xd | = | 0.148852 | |
| Yd | = | 3.356901 | |
| Yd pakai | = | 2 | |
| fk | = | 2.962935 | |
| P | = | 4.646871 | ton |
| SF rencana | = | 1.4 | |
| SF existing | = | 1.204 | |
| R jari" | = | 13.062 | m |
| MR | = | 5249.5 | kNm |
| MD | = | 4360.05 | |
| ΔMr | = | 854.5698 | kNm |
| n | = | 1.407918 | buah/m |
| n pakai | = | 2 | buah/m |

| Segi Empat 20 x 20 K-45 | | | |
|-------------------------|---|----------|--------|
| f'c | = | 45 | Mpa |
| D | = | 20 | cm |
| E | = | 315285.6 | kg/cm2 |
| I | = | 13333.33 | cm4 |
| Cu (bidang longsor) | = | 0.148 | kg/cm2 |
| q | = | 0.296 | kg/cm2 |
| f | = | 0.096 | kg/cm2 |
| T | = | 134.3613 | cm |
| Mu | = | 2.107234 | tm |
| L | = | 2 | m |
| L/T | = | 1.488523 | |
| Fm | = | 1 | |
| Xt | = | 10 | |
| Yt | = | 0.65 | |
| spasi | = | 1 | m |
| Xs | = | 5 | |
| Ys | = | 0.987 | |
| Xn | = | 2 | |
| Yn | = | 0.957 | |
| Xd | = | 0.148852 | |
| Yd | = | 3.356901 | |
| Yd pakai | = | 2 | |
| fk | = | 2.824231 | |
| P | = | 4.429338 | ton |
| SF rencana | = | 1.4 | |
| SF existing | = | 1.211 | |
| R jari" | = | 12.875 | m |
| MR | = | 5079 | kNm |
| MD | = | 4194.055 | |
| ΔMr | = | 792.6763 | kNm |
| n | = | 1.389984 | buah/m |
| n pakai | = | 2 | buah/m |

| Segi Empat 20 x 20 K-45 | | | |
|-------------------------|---|----------|--------|
| f'c | = | 45 | Mpa |
| D | = | 20 | cm |
| E | = | 315285.6 | kg/cm2 |
| I | = | 13333.33 | cm4 |
| Cu (bidang longsor) | = | 0.139 | kg/cm2 |
| q | = | 0.278 | kg/cm2 |
| f | = | 0.096 | kg/cm2 |
| T | = | 134.3613 | cm |
| Mu | = | 2.107234 | tm |
| L | = | 2 | m |
| L/T | = | 1.488523 | |
| Fm | = | 1 | |
| Xt | = | 10 | |
| Yt | = | 0.65 | |
| spasi | = | 1 | m |
| Xs | = | 5 | |
| Ys | = | 0.987 | |
| Xn | = | 1 | |
| Yn | = | 1.004 | |
| Xd | = | 0.148852 | |
| Yd | = | 3.356901 | |
| Yd pakai | = | 2 | |
| fk | = | 2.962935 | |
| P | = | 4.646871 | ton |
| SF rencana | = | 1.4 | |
| SF existing | = | 1.285 | |
| R jari" | = | 10.104 | m |
| MR | = | 3035 | kNm |
| MD | = | 2361.868 | |
| ΔMr | = | 271.6148 | kNm |
| n | = | 0.578495 | buah/m |
| n pakai | = | 1 | buah/m |

Tabel 16. Hasil Hasil Perhitungan Kebutuhan Cerucuk (Zona 2) (Lanjutan)

| Segi Empat 20 x 20 K-45 | | | |
|--------------------------------|---|----------|--------|
| f'c | = | 45 | Mpa |
| D | = | 20 | cm |
| E | = | 315285.6 | kg/cm2 |
| I | = | 13333.33 | cm4 |
| Cu (bidang longsor) | = | 0.143 | kg/cm2 |
| q | = | 0.286 | kg/cm2 |
| f | = | 0.096 | kg/cm2 |
| T | = | 134.3613 | cm |
| Mu | = | 2.107234 | tm |
| L | = | 2 | m |
| L/T | = | 1.488523 | |
| Fm | = | 1 | |
| Xt | = | 10 | |
| Yt | = | 0.65 | |
| spasi | = | 1 | m |
| Xs | = | 5 | |
| Ys | = | 0.987 | |
| Xn | = | 2 | |
| Yn | = | 0.957 | |
| Xd | = | 0.148852 | |
| Yd | = | 3.356901 | |
| Yd pakai | = | 2 | |
| fk | = | 2.824231 | |
| P | = | 4.429338 | ton |
| SF rencana | = | 1.4 | |
| SF existing | = | 1.211 | |
| R jari" | = | 12.875 | m |
| MR | = | 5079 | kNm |
| MD | = | 4194.055 | |
| ΔMr | = | 792.6763 | kNm |
| n | = | 1.389984 | buah/m |
| n pakai | = | 2 | buah/m |

Tabel 17. Rekapitulasi Hasil Perhitungan Kebutuhan Cerucuk (Zona 2)

| No | SF minimum | ΔMR | Dimensi cerucuk | Kebutuhan cerucuk (1 sisi) | Kebutuhan cerucuk (2 sisi) | Jarak antar cerucuk | La (atas bidang longsor) | Lb (bawah bidang longsor) | L total |
|----|---------------|----------|--------------------|----------------------------------|----------------------------------|---------------------------|--------------------------------|------------------------------------|---------|
| | | | | (kNm) | (m) | (buah/m) | (buah/m) | (m) | |
| 1 | 1.204 | 854.5698 | 20x20 | 2 | 4 | 1 | 3.98 | 2 | 6 |
| 2 | 1.211 | 792.6763 | 20x20 | 2 | 4 | 1 | 3.89 | 2 | 6 |
| 3 | 1.285 | 271.6148 | 20x20 | 1 | 2 | 1 | 2.95 | 2 | 5 |
| 4 | 1.252 | 435.7016 | 20x20 | 2 | 4 | 1 | 3.47 | 2 | 6 |

LAMPIRAN 9
PERHITUNGAN PERENCANAAN PERKUATAN GEOTEXTILE WALL DAN MICROPILE/CERUCUK UNTUK ARAH MEMANJANG JALAN

Tabel 1. Hasil Perhitungan jarak antar *Geotextile* (Alternatif 1)

| No | z | γ | σ_{hs} | $\sigma_{h\ tot}$ | Tall | SF | Sv | Sv pakai | Keterangan |
|----|-----|---------------------|---------------------|---------------------|----------|-----|----------|----------|---|
| | (m) | (t/m ³) | (t/m ²) | (t/m ²) | (t/m) | | (m) | (m) | |
| 1 | 7.2 | 1.8 | 4.32 | 4.32 | 1.733333 | 1.4 | 0.286596 | 0.2 | $z = 5.2-7.2$ pakai Sv 0.2 m (11 lapis) |
| 2 | 6.8 | 1.8 | 4.08 | 4.08 | 1.733333 | 1.4 | 0.303455 | 0.2 | |
| 3 | 6.4 | 1.8 | 3.84 | 3.84 | 1.733333 | 1.4 | 0.322421 | 0.2 | |
| 4 | 6 | 1.8 | 3.6 | 3.6 | 1.733333 | 1.4 | 0.343915 | 0.2 | |
| 5 | 5.6 | 1.8 | 3.36 | 3.36 | 1.733333 | 1.4 | 0.368481 | 0.2 | |
| 6 | 5.2 | 1.8 | 3.12 | 3.12 | 1.733333 | 1.4 | 0.396825 | 0.2 | |
| 7 | 4.8 | 1.8 | 2.88 | 2.88 | 1.733333 | 1.4 | 0.429894 | 0.4 | $Z = 2.8 - 4.8$ pakai Sv 0.4 m (6 lapis) |
| 8 | 4.4 | 1.8 | 2.64 | 2.64 | 1.733333 | 1.4 | 0.468975 | 0.4 | |
| 9 | 4 | 1.8 | 2.4 | 2.4 | 1.733333 | 1.4 | 0.515873 | 0.4 | |
| 10 | 3.6 | 1.8 | 2.16 | 2.16 | 1.733333 | 1.4 | 0.573192 | 0.4 | |
| 11 | 3.2 | 1.8 | 1.92 | 1.92 | 1.733333 | 1.4 | 0.644841 | 0.4 | |
| 12 | 2.8 | 1.8 | 1.68 | 1.68 | 1.733333 | 1.4 | 0.736961 | 0.4 | |
| 13 | 2.4 | 1.8 | 1.44 | 1.44 | 1.733333 | 1.4 | 0.859788 | 0.8 | $Z = 0-2.8$ pakai Sv 0.8 m (2 lapis) |
| 14 | 2 | 1.8 | 1.2 | 1.2 | 1.733333 | 1.4 | 1.031746 | 0.8 | |
| 15 | 1.6 | 1.8 | 0.96 | 0.96 | 1.733333 | 1.4 | 1.289683 | 0.8 | |
| 16 | 1.2 | 1.8 | 0.72 | 0.72 | 1.733333 | 1.4 | 1.719577 | 0.8 | |
| 17 | 0.8 | 1.8 | 0.48 | 0.48 | 1.733333 | 1.4 | 2.579365 | 0.8 | |

Tabel 2. Hasil Perhitungan panjang *Geotextile* (Alternatif 1)

| No | z (m) | Sv pakai (m) | σ_{htot} (t/m ²) | σ_v (t/m ²) | Le (m) | Le pakai (m) | Lr (m) | Lo (m) | Lo min (m) | L total (m) | L pakai (m) |
|----|----------|-----------------|--|-----------------------------------|-----------|-----------------|-----------|-----------|---------------|----------------|----------------|
| 1 | 0.8 | 0.8 | 0.48 | 1.44 | 0.323 | 1 | 3.695 | 0.162 | 1 | 6.495 | 7 |
| 2 | 1.2 | 0.8 | 0.72 | 2.16 | 0.323 | 1 | 3.464 | 0.162 | 1 | 6.264102 | 7 |
| 3 | 1.6 | 0.8 | 0.96 | 2.88 | 0.323 | 1 | 3.233 | 0.162 | 1 | 6.033162 | 7 |
| 4 | 2 | 0.8 | 1.2 | 3.6 | 0.323 | 1 | 3.002 | 0.162 | 1 | 5.802221 | 7 |
| 5 | 2.4 | 0.8 | 1.44 | 4.32 | 0.323 | 1 | 2.771 | 0.162 | 1 | 5.571281 | 7 |
| 6 | 2.8 | 0.4 | 1.68 | 5.04 | 0.162 | 1 | 2.540 | 0.081 | 1 | 4.940341 | 5 |
| 7 | 3.2 | 0.4 | 1.92 | 5.76 | 0.162 | 1 | 2.309 | 0.081 | 1 | 4.709401 | 5 |
| 8 | 3.6 | 0.4 | 2.16 | 6.48 | 0.162 | 1 | 2.078 | 0.081 | 1 | 4.478461 | 5 |
| 9 | 4 | 0.4 | 2.4 | 7.2 | 0.162 | 1 | 1.848 | 0.081 | 1 | 4.247521 | 5 |
| 10 | 4.4 | 0.4 | 2.64 | 7.92 | 0.162 | 1 | 1.617 | 0.081 | 1 | 4.016581 | 5 |
| 11 | 4.8 | 0.4 | 2.88 | 8.64 | 0.162 | 1 | 1.386 | 0.081 | 1 | 3.785641 | 5 |
| 12 | 5.2 | 0.2 | 3.120 | 9.36 | 0.081 | 1 | 1.155 | 0.040 | 1 | 3.35 | 4 |
| 13 | 5.6 | 0.2 | 3.360 | 10.08 | 0.081 | 1 | 0.924 | 0.040 | 1 | 3.12 | 4 |
| 14 | 6 | 0.2 | 3.600 | 10.8 | 0.081 | 1 | 0.693 | 0.040 | 1 | 2.89 | 4 |
| 15 | 6.4 | 0.2 | 3.840 | 11.52 | 0.081 | 1 | 0.462 | 0.040 | 1 | 2.66 | 4 |
| 16 | 6.8 | 0.2 | 4.080 | 12.24 | 0.081 | 1 | 0.231 | 0.040 | 1 | 2.43 | 4 |
| 17 | 7.2 | 0.2 | 4.320 | 12.96 | 0.081 | 1 | 0.000 | 0.040 | 1 | 2.20 | 4 |

Tabel 3. Kontrol Guling (Alternatif 1)

| Tekanan Tanah | | Beban Tanah | | | | | Momen penahan($(P \sin \delta * x) + w * x$) | | | | | | |
|---------------|------|------------------|----------------------------|-------|--------|-------|--|---|----------------|---------|-------|---|----|
| σ_v | 13 | t/m ² | w1 | 30.24 | t/m | x1 | 3.5 | m | P1 sin δ * x | 54.432 | tm /m | | |
| σ_h | 4.32 | t/m ² | w2 | 21.6 | t/m | x2 | 2.5 | m | w1*x1 | 105.84 | tm /m | | |
| P1 | 15.6 | t/m | w3 | 3.2 | t/m | x3 | 2 | m | w2*x2 | 54 | tm /m | | |
| P1 cos δ | 13.5 | t/m | Momen dorong (P cos δ x R) | | | | | | w1*x2 | 6.4 | tm /m | | |
| P1 sin δ | 7.78 | t/m | P1 cos δ x R1 | | 32.324 | tm /m | | | M _P | 220.672 | tm /m | | |
| R1 | 2.4 | m | M _D | | 32.324 | tm /m | | | SF | 6.827 | > | 3 | OK |

Tabel 4. Kontrol Geser (Zona 1)

Maka panjang *geotextile* diperpanjang sampai 11,5 m sehingga SF >1,5

Tabel 5. Hasil *Running Geoslope* (Aterlnatif 1)

| No | SF Geoslope | Hasil Geoslope | | | | | Perhitungan | | |
|----|-------------|----------------|--------------|-------------|--------|--------|---------------|---------------|----------------|
| | | MR (kN.m) | MD (kN.m) | titik pusat | | R m | SF rencana | MR rencana | Δ MR (kN.m) |
| 1 | 0.868 | 6652.2 | 7663.825 | 18.73 | 13.872 | 13.747 | 1.4 | 10729.35 | 4077.155 |
| 2 | 1.273 | 4872.1 | 3827.258 | 21.494 | 13.75 | 11.507 | 1.4 | 5358.162 | 486.0618 |
| 3 | 0.907 | 9975.2 | 10998.02 | 17.12 | 18.434 | 17.903 | 1.4 | 15397.22 | 5422.022 |
| 4 | 0.985 | 8914.3 | 9050.051 | 18.459 | 18.038 | 16.676 | 1.4 | 12670.07 | 3755.771 |

Tabel 5. Rekapitulasi Kebutuhan Cerucuk (Aterlnatif 1)

| No | SF minimum | ΔMR (kNm) | Dimensi | Kebutuhan | Jarak | La (atas | Lb (bawah | L total |
|----|---------------|--------------|---------|-----------|------------------|--------------------|--------------------|---------|
| | | | cerucuk | cerucuk | antar cerucuk | bidang longsor) | bidang longsor) | |
| 1 | 0.868 | 4077.155 | 20x20 | 4 | 1 | 6.1 | 2.5 | 9 |
| 2 | 1.273 | 486.0618 | 20x20 | 1 | 1 | 4 | 2.5 | 7 |
| 3 | 0.907 | 5422.022 | 20x20 | 4 | 1 | 5.7 | 2.5 | 9 |
| 4 | 0.985 | 3755.771 | 20x20 | 3 | 3 | 4.8 | 2.5 | 8 |

Tabel 5. Hasil Perhitungan Kebutuhan Cerucuk Masing-masing SF (Aterlnatif 1)

| Segi Empat 20 x 20 K-45 | | | | Segi Empat 20 x 20 K-45 | | | | Segi Empat 20 x 20 K-45 | | | | Segi Empat 20 x 20 K-45 | | | |
|-------------------------|---|----------|--------|-------------------------|---|----------|--------|-------------------------|---|----------|--------|-------------------------|---|----------|--------|
| f'c | = | 45 | Mpa |
| D | = | 20 | cm |
| E | = | 315285.6 | kg/cm2 |
| I | = | 13333.33 | cm4 |
| Cu (bidang longsor) | = | 0.147 | kg/cm2 | Cu (bidang longsor) | = | 0.13 | kg/cm2 | Cu (bidang longsor) | = | 0.147 | kg/cm2 | Cu (bidang longsor) | = | 0.139 | kg/cm2 |
| q | = | 0.294 | kg/cm2 | q | = | 0.26 | kg/cm2 | q | = | 0.294 | kg/cm2 | q | = | 0.278 | kg/cm2 |
| f | = | 0.096 | kg/cm2 | f | = | 0.064 | kg/cm2 | f | = | 0.096 | kg/cm2 | f | = | 0.064 | kg/cm2 |
| T | = | 134.3613 | cm | T | = | 145.7111 | cm | T | = | 134.3613 | cm | T | = | 145.7111 | cm |
| Mu | = | 3.107445 | tm |
| L | = | 2.5 | m |
| L/T | = | 1.860654 | | L/T | = | 1.715724 | | L/T | = | 1.860654 | | L/T | = | 1.715724 | |
| Fm | = | 1 | | Fm | = | 1 | | Fm | = | 1 | | Fm | = | 1 | |
| Xt | = | 12.5 | | Xt | = | 12.5 | | Xt | = | 12.5 | | Xt | = | 12.5 | |
| Yt | = | 0.9 | | Yt | = | 0.9 | | Yt | = | 0.9 | | Yt | = | 0.9 | |
| spasi | = | 1 | m |
| Xs | = | 5 | | Xs | = | 5 | | Xs | = | 5 | | Xs | = | 5 | |
| Ys | = | 0.987 | | Ys | = | 0.987 | | Ys | = | 0.987 | | Ys | = | 0.987 | |
| Xn | = | 4 | | Xn | = | 1 | | Xn | = | 4 | | Xn | = | 3 | |
| Yn | = | 0.863 | | Yn | = | 1.004 | | Yn | = | 0.863 | | Yn | = | 0.91 | |
| Xd | = | 0.148852 | | Xd | = | 0.137258 | | Xd | = | 0.148852 | | Xd | = | 0.137258 | |
| Yd | = | 3.356901 | | Yd | = | 2.816415 | | Yd | = | 3.356901 | | Yd | = | 2.816415 | |
| Yd pakai | = | 2 | | Yd pakai | = | 2 | | Yd pakai | = | 2 | | Yd pakai | = | 2 | |
| fk | = | 3.526373 | | fk | = | 4.102525 | | fk | = | 3.526373 | | fk | = | 3.718424 | |
| P | = | 8.155629 | ton | P | = | 8.749075 | ton | P | = | 8.155629 | ton | P | = | 7.929938 | ton |
| SF rencana | = | 1.4 | | SF rencana | = | 1.4 | | SF rencana | = | 1.4 | | SF rencana | = | 1.4 | |
| SF existing | = | 0.868 | | SF existing | = | 1.273 | | SF existing | = | 0.907 | | SF existing | = | 0.985 | |
| R jari" | = | 13.747 | m | R jari" | = | 11.507 | m | R jari" | = | 17.903 | m | R jari" | = | 16.676 | m |
| MR | = | 6652.2 | | MR | = | 4872.1 | | MR | = | 9975.2 | | MR | = | 8914.3 | |
| MD | = | 7663.825 | | MD | = | 3827.258 | | MD | = | 10998.02 | | MD | = | 9050.051 | |
| ΔMr | = | 4077.155 | kNm | ΔMr | = | 486.0618 | kNm | ΔMr | = | 5422.022 | kNm | ΔMr | = | 3755.771 | kNm |
| n | = | 3.636569 | buah/m | n | = | 0.4828 | buah/m | n | = | 3.713453 | buah/m | n | = | 2.840125 | buah/m |
| n pakai | = | 4 | buah/m | n pakai | = | 1 | buah/m | n pakai | = | 4 | buah/m | n pakai | = | 3 | buah/m |

Tabel 5. Hasil Perhitungan jarak antar *Geotextile* (Alternatif 2)

| No | z | γ | σ_{hs} | $\sigma_{h\ tot}$ | Tall | SF | Sv | Sv pakai | Keterangan |
|----|-----|----------|---------------|-------------------|----------|-----|----------|----------|---|
| | (m) | (t/m³) | (t/m²) | (t/m²) | (t/m) | | (m) | (m) | |
| 2 | 6.8 | 1.8 | 4.08 | 4.08 | 1.733333 | 1.4 | 0.303455 | 0.2 | Z = 4.8-6.8 pakai Sv 0.2 m (9 lapis) |
| 3 | 6.4 | 1.8 | 3.84 | 3.84 | 1.733333 | 1.4 | 0.322421 | 0.2 | |
| 4 | 6 | 1.8 | 3.6 | 3.6 | 1.733333 | 1.4 | 0.343915 | 0.2 | |
| 5 | 5.6 | 1.8 | 3.36 | 3.36 | 1.733333 | 1.4 | 0.368481 | 0.2 | |
| 6 | 5.2 | 1.8 | 3.12 | 3.12 | 1.733333 | 1.4 | 0.396825 | 0.2 | |
| 7 | 4.8 | 1.8 | 2.88 | 2.88 | 1.733333 | 1.4 | 0.429894 | 0.4 | Z = 2.8 - 4.8 pakai Sv 0.4 m (6 lapis) |
| 8 | 4.4 | 1.8 | 2.64 | 2.64 | 1.733333 | 1.4 | 0.468975 | 0.4 | |
| 9 | 4 | 1.8 | 2.4 | 2.4 | 1.733333 | 1.4 | 0.515873 | 0.4 | |
| 10 | 3.6 | 1.8 | 2.16 | 2.16 | 1.733333 | 1.4 | 0.573192 | 0.4 | |
| 11 | 3.2 | 1.8 | 1.92 | 1.92 | 1.733333 | 1.4 | 0.644841 | 0.4 | |
| 12 | 2.8 | 1.8 | 1.68 | 1.68 | 1.733333 | 1.4 | 0.736961 | 0.4 | Z = 0-2.8 pakai Sv 0.8 m (2 lapis) |
| 13 | 2.4 | 1.8 | 1.44 | 1.44 | 1.733333 | 1.4 | 0.859788 | 0.8 | |
| 14 | 2 | 1.8 | 1.2 | 1.2 | 1.733333 | 1.4 | 1.031746 | 0.8 | |
| 15 | 1.6 | 1.8 | 0.96 | 0.96 | 1.733333 | 1.4 | 1.289683 | 0.8 | |
| 16 | 1.2 | 1.8 | 0.72 | 0.72 | 1.733333 | 1.4 | 1.719577 | 0.8 | |
| 17 | 0.8 | 1.8 | 0.48 | 0.48 | 1.733333 | 1.4 | 2.579365 | 0.8 | |

Tabel 6. Hasil Perhitungan panjang *Geotextile* (Alternatif 2)

| No | z (m) | S _v pakai (m) | $\sigma_{h\text{ tot}}$ (t/m ²) | σ_v (t/m ²) | L _e (m) | L _e pakai (m) | L _r (m) | L _o (m) | L _{o min} (m) | L _{total} (m) | L _{pakai} (m) |
|----|----------|-----------------------------|--|-----------------------------------|-----------------------|-----------------------------|-----------------------|-----------------------|---------------------------|---------------------------|---------------------------|
| 0 | 0 | | | | | | | | | | |
| 1 | 0.8 | 0.8 | 0.48 | 1.44 | 0.323 | 1 | 3.464 | 0.162 | 1 | 6.264 | 7 |
| 2 | 1.2 | 0.8 | 0.72 | 2.16 | 0.323 | 1 | 3.233 | 0.162 | 1 | 6.033162 | 7 |
| 3 | 1.6 | 0.8 | 0.96 | 2.88 | 0.323 | 1 | 3.002 | 0.162 | 1 | 5.802221 | 7 |
| 4 | 2 | 0.8 | 1.2 | 3.6 | 0.323 | 1 | 2.771 | 0.162 | 1 | 5.571281 | 7 |
| 5 | 2.4 | 0.8 | 1.44 | 4.32 | 0.323 | 1 | 2.540 | 0.162 | 1 | 5.340341 | 7 |
| 6 | 2.8 | 0.4 | 1.68 | 5.04 | 0.162 | 1 | 2.309 | 0.081 | 1 | 4.709401 | 5 |
| 7 | 3.2 | 0.4 | 1.92 | 5.76 | 0.162 | 1 | 2.078 | 0.081 | 1 | 4.478461 | 5 |
| 8 | 3.6 | 0.4 | 2.16 | 6.48 | 0.162 | 1 | 1.848 | 0.081 | 1 | 4.247521 | 5 |
| 9 | 4 | 0.4 | 2.4 | 7.2 | 0.162 | 1 | 1.617 | 0.081 | 1 | 4.016581 | 5 |
| 10 | 4.4 | 0.4 | 2.64 | 7.92 | 0.162 | 1 | 1.386 | 0.081 | 1 | 3.785641 | 5 |
| 11 | 4.8 | 0.4 | 2.88 | 8.64 | 0.162 | 1 | 1.155 | 0.081 | 1 | 3.554701 | 5 |
| 12 | 5.2 | 0.2 | 3.120 | 9.36 | 0.081 | 1 | 0.924 | 0.040 | 1 | 3.12 | 4 |
| 13 | 5.6 | 0.2 | 3.360 | 10.08 | 0.081 | 1 | 0.693 | 0.040 | 1 | 2.89 | 4 |
| 14 | 6 | 0.2 | 3.600 | 10.8 | 0.081 | 1 | 0.462 | 0.040 | 1 | 2.66 | 4 |
| 15 | 6.4 | 0.2 | 3.840 | 11.52 | 0.081 | 1 | 0.231 | 0.040 | 1 | 2.43 | 4 |
| 16 | 6.8 | 0.2 | 4.080 | 12.24 | 0.081 | 1 | 0.000 | 0.040 | 1 | 2.20 | 4 |

Untuk memenuhi stabilitas geser, *geotextile* harus diperpanjang hingga 9,5 m

Tabel 7. Rekapitulasi Kebutuhan Cerucuk Arah Memanjang

| No | SF minimum | ΔMR | Dimensi cerucuk | Kebutuhan cerucuk | Jarak antar cerucuk | La (atas bidang longsor) | Lb (bawah bidang longsor) | L total |
|----|---------------|-------------|--------------------|----------------------|---------------------------|--------------------------------|------------------------------------|---------|
| | | | | | | | | |
| 1 | 1.029 | 3132.733 | 20x20 | 3 | 1 | 6 | 2.5 | 9 |
| 2 | 1.042 | 2505.588 | 20x20 | 3 | 1 | 5.9 | 2.5 | 9 |
| 3 | 1.348 | 192.5813 | 20x20 | 1 | 1 | 4 | 2.5 | 7 |
| 4 | 1.032 | 3332.468 | 20x20 | 3 | 1 | 5.9 | 2.5 | 9 |

LAMPIRAN 10
PERENCANAAN TIANG PANCANG

Tabel 1. Kombinasi-kombinasi Pembebatan Tiang Pancang

| No | Aksi/Beban | Kode | Vertikal | Horisontal | | Momen | |
|----|---------------------|------|-----------|------------|------------|-------------|-------------|
| | | | P (kN) | Tx (kN) | Ty (kN) | Mx (kNm) | My (kNm) |
| 1 | Berat sendiri | MS | 3589.491 | | | | -2984.12 |
| 2 | Beban Mati Tambahan | MA | 125.325 | | | | -16.2923 |
| 3 | Beban Lajur "D" | TD | 761.85 | | | | -99.0405 |
| 4 | Beban pedestrian | TP | 75 | | | | -9.75 |
| 5 | Gaya Rem | TB | | 71.775 | | | 595.7325 |
| 6 | Temperatur | ET | | | | | |
| 7 | Beban Angin | EW | | | | | |
| 8 | Beban Gempa | EQ | | | | | |
| | | | | | | | |

| No | Aksi/Beban | Kode | Vertikal | Horisontal | | Momen | |
|----|---------------------|------|-----------|------------|------------|-------------|-------------|
| | | | P (kN) | Tx (kN) | Ty (kN) | Mx (kNm) | My (kNm) |
| 1 | Berat sendiri | MS | 3589.491 | | | | -2984.12 |
| 2 | Beban Mati Tambahan | MA | 125.325 | | | | -16.2923 |
| 3 | Beban Lajur "D" | TD | 761.85 | | | | -99.0405 |
| 4 | Beban pedestrian | TP | 75 | | | | -9.75 |
| 5 | Gaya Rem | TB | | 71.775 | | | 595.7325 |
| 6 | Temperatur | ET | | 8.4375 | | | 42.1875 |
| 7 | Beban Angin | EW | | | | | |
| 8 | Beban Gempa | EQ | | | | | |
| | | | | | | | |

Tabel 1. Kombinasi-kombinasi Pembebatan Tiang Pancang (Lanjutan)

| Kombinasi 3 | | Arah | Vertikal | Horisontal | | Momen | | |
|-------------|---------------------|------|----------|------------|-------|--------|----------|--|
| No | Aksi/Beban | | P | Tx | Ty | Mx | My | |
| | | | (kN) | (kN) | (kN) | (kNm) | (kNm) | |
| 1 | Berat sendiri | MS | 3589.491 | | | | -2984.12 | |
| 2 | Beban Mati Tambahan | MA | 125.325 | | | | -16.2923 | |
| 3 | Beban Lajur "D" | TD | 761.85 | | | | -99.0405 | |
| 4 | Beban pedestrian | TP | 75 | | | | -9.75 | |
| 5 | Gaya Rem | TB | | 71.775 | | | 595.7325 | |
| 6 | Temperatur | ET | | | | | | |
| 7 | Beban Angin | EW | | | 53.34 | 343.43 | | |
| 8 | Beban Gempa | EQ | | | | | | |

| Kombinasi 4 | | Arah | Vertikal | Horisontal | | Momen | | |
|-------------|---------------------|------|----------|------------|-------|--------|----------|--|
| No | Aksi/Beban | | Kode | P | Tx | Ty | Mx | |
| | | | | (kN) | (kN) | (kN) | (kNm) | |
| 1 | Berat sendiri | MS | 3589.491 | | | | -2984.12 | |
| 2 | Beban Mati Tambahan | MA | 125.325 | | | | -16.2923 | |
| 3 | Beban Lajur "D" | TD | 761.85 | | | | -99.0405 | |
| 4 | Beban pedestrian | TP | 75 | | | | -9.75 | |
| 5 | Gaya Rem | TB | | 71.775 | | | 595.7325 | |
| 6 | Temperatur | ET | | 8.4375 | | | 42.1875 | |
| 7 | Beban Angin | EW | | | 53.34 | 343.43 | | |
| 8 | Beban Gempa | EQ | | | | | | |

Tabel 1. Kombinasi-kombinasi Pembebanan Tiang Pancang (Lanjutan)

| Kombinasi 5 | | Arah | Vertikal | Horisontal | | Momen | |
|-------------|---------------------|------|----------|------------|------------|----------|----------|
| No | Aksi/Beban | Kode | P | Tx | Ty | Mx | My |
| | | | (kN) | (kN) | (kN) | (kNm) | (kNm) |
| 1 | Berat sendiri | MS | 3589.491 | | | | -2984.12 |
| 2 | Beban Mati Tambahan | MA | 125.325 | | | | -16.2923 |
| 3 | Beban Lajur "D" | TD | | | | | |
| 4 | Beban pedestrian | TP | | | | | |
| 5 | Gaya Rem | TB | | | | | |
| 6 | Temperatur | ET | | | | | |
| 7 | Beban Angin | EW | | | | | |
| 8 | Beban Gempa | EQ | | 682.5975 | 455.065004 | 1104.447 | 1656.671 |

| Kombinasi 6 | | Arah | Vertikal | Horisontal | | Momen | |
|-------------|---------------------|------|----------|------------|------|-------|----------|
| No | Aksi/Beban | Kode | P | Tx | Ty | Mx | My |
| | | | (kN) | (kN) | (kN) | (kNm) | (kNm) |
| 1 | Berat sendiri | MS | 3589.491 | | | | -2984.12 |
| 2 | Beban Mati Tambahan | MA | 125.325 | | | | -16.2923 |
| 3 | Beban Lajur "D" | TD | | | | | |
| 4 | Beban pedestrian | TP | | | | | |
| 5 | Gaya Rem | TB | | | | | |
| 6 | Temperatur | ET | | | | | |
| 7 | Beban Angin | EW | | | | | |
| 8 | Beban Gempa | EQ | | | | | |

Tabel 1. Kombinasi-kombinasi Pembebanan Tiang Pancang (Lanjutan)

| Kombinasi 7 | | Arah | Vertikal | Horisontal | | Momen | |
|-------------|---------------------|------|----------|------------|------|-------|----------|
| No | Aksi/Beban | Kode | P | Tx | Ty | Mx | My |
| | | | (kN) | (kN) | (kN) | (kNm) | (kNm) |
| 1 | Berat sendiri | MS | 3589.491 | | | | -2984.12 |
| 2 | Beban Mati Tambahan | MA | 125.325 | | | | -16.2923 |
| 3 | Beban Lajur "D" | TD | 761.85 | | | | -99.0405 |
| 4 | Beban pedestrian | TP | 75 | | | | -9.75 |
| 5 | Gaya Rem | TB | | 71.775 | | | 595.7325 |
| 6 | Temperatur | ET | | | | | |
| 7 | Beban Angin | EW | | | | | |
| 8 | Beban Gempa | EQ | | | | | |

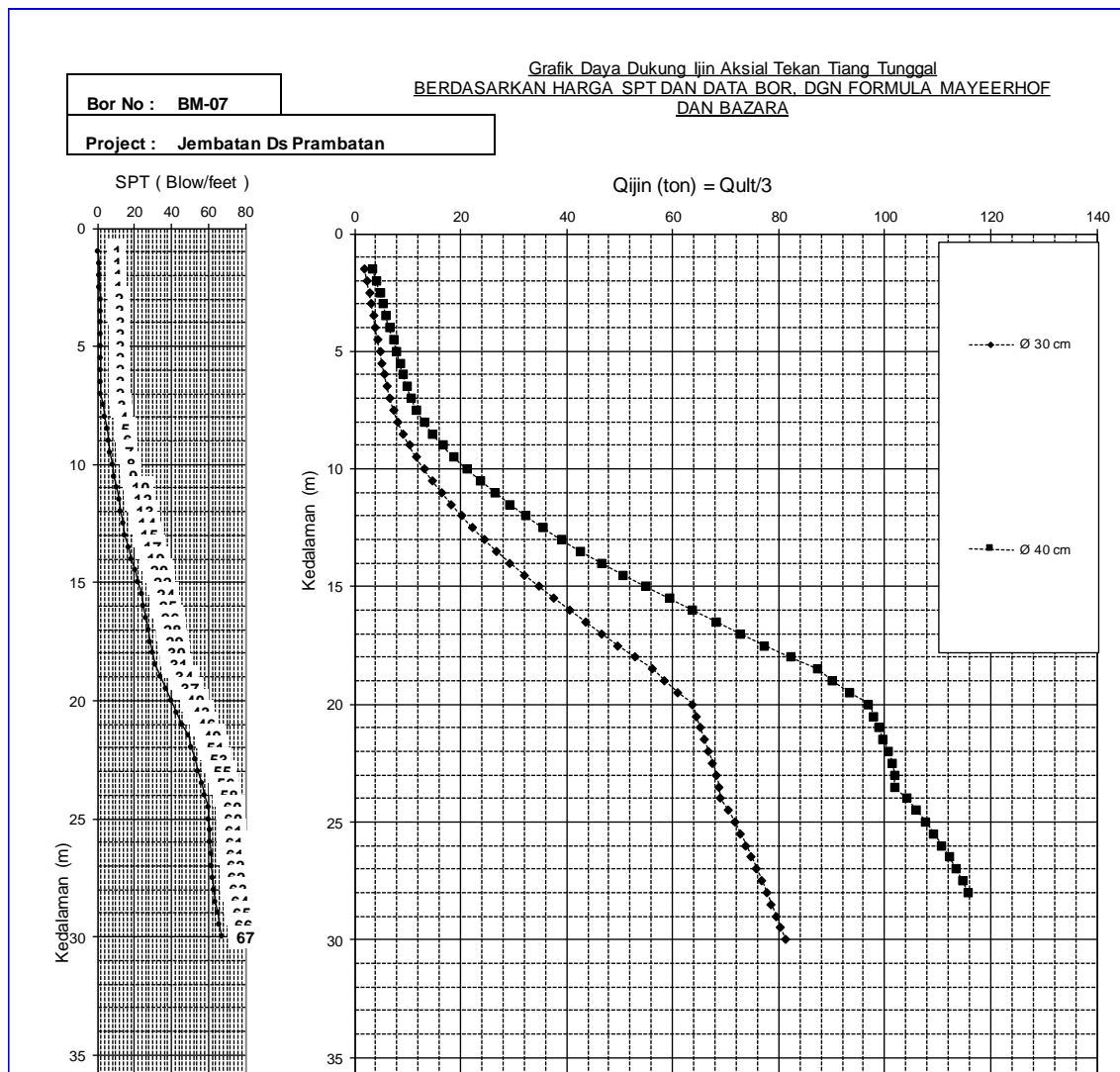
Tabel 2. Rekapitulasi Hasil Kombinasi Pembebanan

| No | Kombinasi Beban | Tegangan berlebihan | P | Tx | Ty | Mx | My |
|----|-----------------|---------------------|----------|----------|------------|----------|----------|
| | | | kN | kN | kN | kNm | kNm |
| 1 | Kombinasi-1 | 0 | 4551.666 | 71.775 | | | -2513.47 |
| 2 | kombinasi-2 | 0.25 | 4551.666 | 80.2125 | | | -2471.28 |
| 3 | Kombinasi-3 | 0.25 | 4551.666 | 71.775 | 53.3385 | 343.4349 | -2513.47 |
| 4 | Kombinasi-4 | 0.4 | 4551.666 | 80.2125 | 53.3385 | 343.4349 | -2471.28 |
| 5 | Kombinasi-5 | 0.5 | 3714.816 | 682.5975 | 455.065004 | 1104.447 | -1343.74 |
| 6 | Kombinasi-6 | 0.3 | 3714.816 | | | | -3000.41 |
| 7 | Kombinasi-7 | 0.5 | 4551.666 | 71.775 | | | -2513.47 |

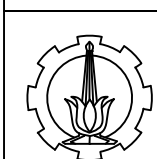
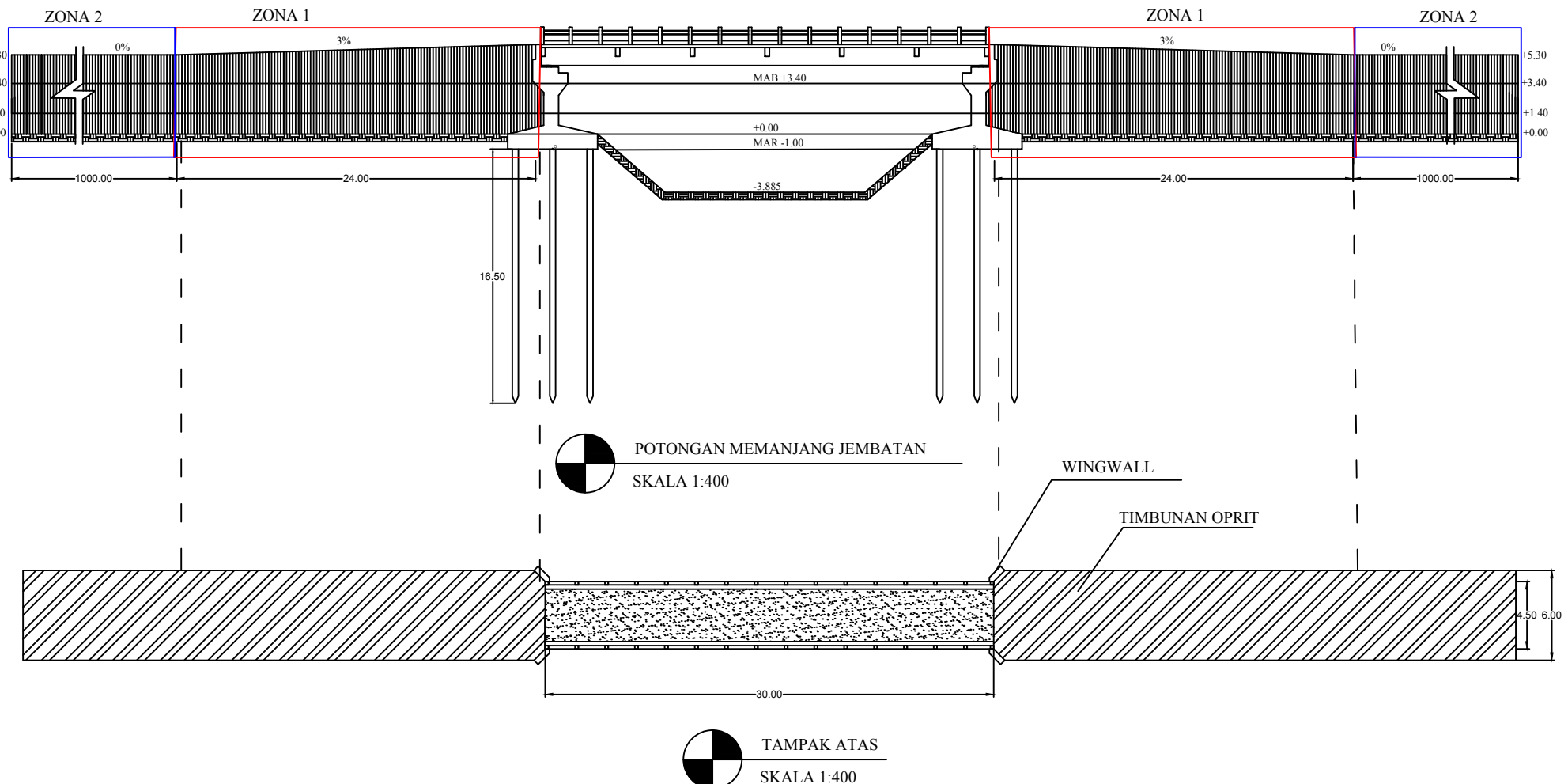
Tabel 2. Kontrol Masing-masing Kombinasi D30 dan D40

| Untuk diameter 30 cm | | | | | |
|----------------------|---|---------------------------------|-----------------|----------------|------------|
| Kombinasi | Kenaikan Daya Dukung yang diperbolehkan | P ijin tiang dalam 1 group (kN) | P maksimum (kN) | P ijin x% (kN) | Keterangan |
| 1 | 100% | 329.606 | 314.756 | 329.606 | OK |
| 2 | 125% | 329.606 | 313.292 | 412.008 | OK |
| 3 | 125% | 329.606 | 327.965 | 412.008 | OK |
| 4 | 140% | 329.606 | 326.502 | 461.449 | OK |
| 5 | 150% | 329.606 | 274.823 | 494.409 | OK |
| 6 | 130% | 329.606 | 289.801 | 428.488 | OK |
| 7 | 150% | 329.606 | 314.756 | 494.409 | OK |

| Untuk diameter 40 cm | | | | | |
|----------------------|---|---------------------------------|-----------------|-----------------|------------|
| Kombinasi | Kenaikan Daya Dukung yang diperbolehkan | P ijin tiang dalam 1 group (kN) | P maksimum (kN) | P ijin x % (kN) | Keterangan |
| 1 | 100% | 537.605 | 504.979 | 537.605 | OK |
| 2 | 125% | 537.605 | 502.870 | 672.006 | OK |
| 3 | 125% | 537.605 | 525.668 | 672.006 | OK |
| 4 | 140% | 537.605 | 523.558 | 752.647 | OK |
| 5 | 150% | 537.605 | 443.288 | 806.407 | OK |
| 6 | 130% | 537.605 | 459.589 | 698.886 | OK |
| 7 | 150% | 537.605 | 504.979 | 806.407 | OK |



Gambar 1. Grafik Daya Dukung Tanah Mayeerhof dan Bazara



FAKULTAS TEKNIK SIPIL
DAN PERENCANAAN
INSTITUT TEKNOLOGI
SEPULUH NOPEMBER
SURABAYA

NAMA TUGAS
TUGAS AKHIR

DOSEN PEMBIMBING
1. Musta'in Arif, S.T.,M.T.
2. Prof. Ir. Noor Endah, M.Sc., Ph.D.

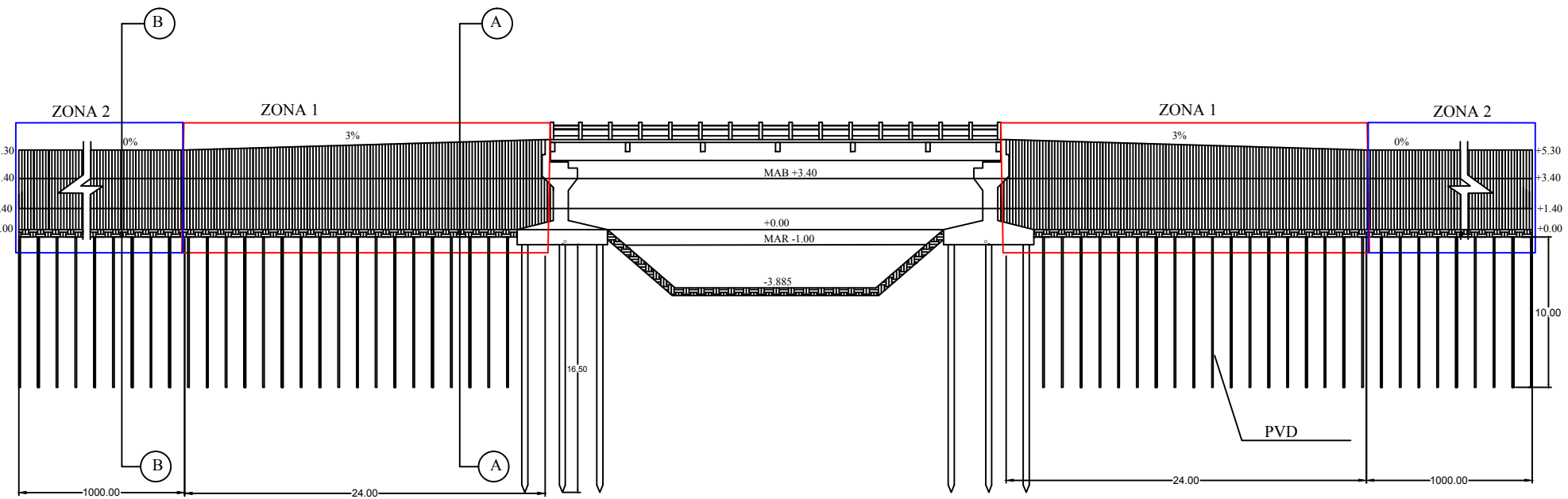
NAMA & NRP MAHASISWA
RIF' ATUL UMMAH
3112100064

NAMA GAMBAR
Abutment dan Bangunan Atas
Jembatan

SKALA
1: 400

NO. GAMBAR
01

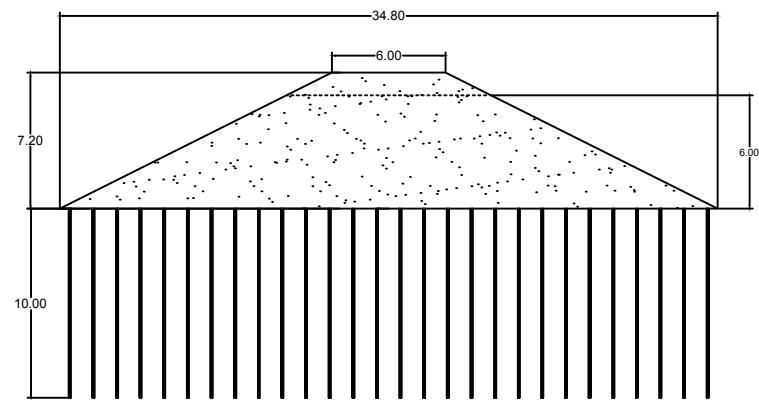
JUMLAH GAMBAR
13



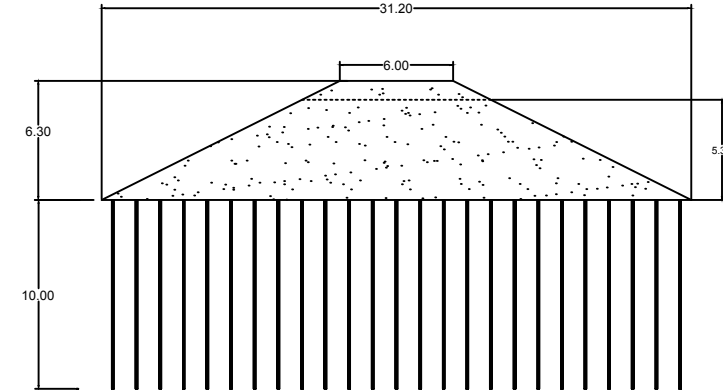
LAYOUT PEMASANGAN PVD

SKALA 1:400

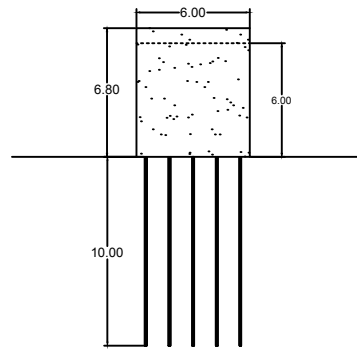
| FAKULTAS TEKNIK SIPIL DAN PERENCANAAN INSTITUT TEKNOLOGI SEPULUH NOPEMBER SURABAYA | NAMA TUGAS TUGAS AKHIR | DOSEN PEMBIMBING 1. Musta'in Arif, S.T.,M.T. 2. Prof. Ir. Noor Endah, M.Sc., Ph.D. | NAMA & NRP MAHASISWA RIF' ATUL UMMAH 3112100064 | NAMA GAMBAR | SKALA | NO. GAMBAR | JUMLAH GAMBAR |
|--|-------------------------------|--|---|--|--------|------------|---------------|
| | | | | Abutment dan Bangunan Atas Jembatan | 1: 400 | 02 | 13 |



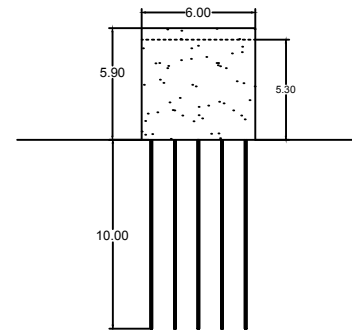
POTONGAN A-A (PEMASANGAN PVD ALTERNATIF 1 ZONA 1)
SKALA 1:400



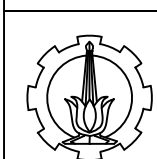
POTONGAN B-B (PEMASANGAN PVD ALTERNATIF 1 ZONA 2)
SKALA 1:400



POTONGAN A-A (PEMASANGAN PVD ALTERNATIF 2 ZONA 1)
SKALA 1:400



POTONGAN A-A (PEMASANGAN PVD ALTERNATIF 2 ZONA 1)
SKALA 1:400



FAKULTAS TEKNIK SIPIL
DAN PERENCANAAN
INSTITUT TEKNOLOGI
SEPULUH NOPEMBER
SURABAYA

NAMA TUGAS

DOSEN PEMBIMBING

NAMA & NRP MAHASISWA

NAMA GAMBAR

SKALA

NO. GAMBAR

JUMLAH GAMBAR

TUGAS AKHIR

1. Musta'in Arif, S.T.,M.T.
2. Prof. Ir. Noor Endah, M.Sc., Ph.D.

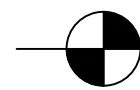
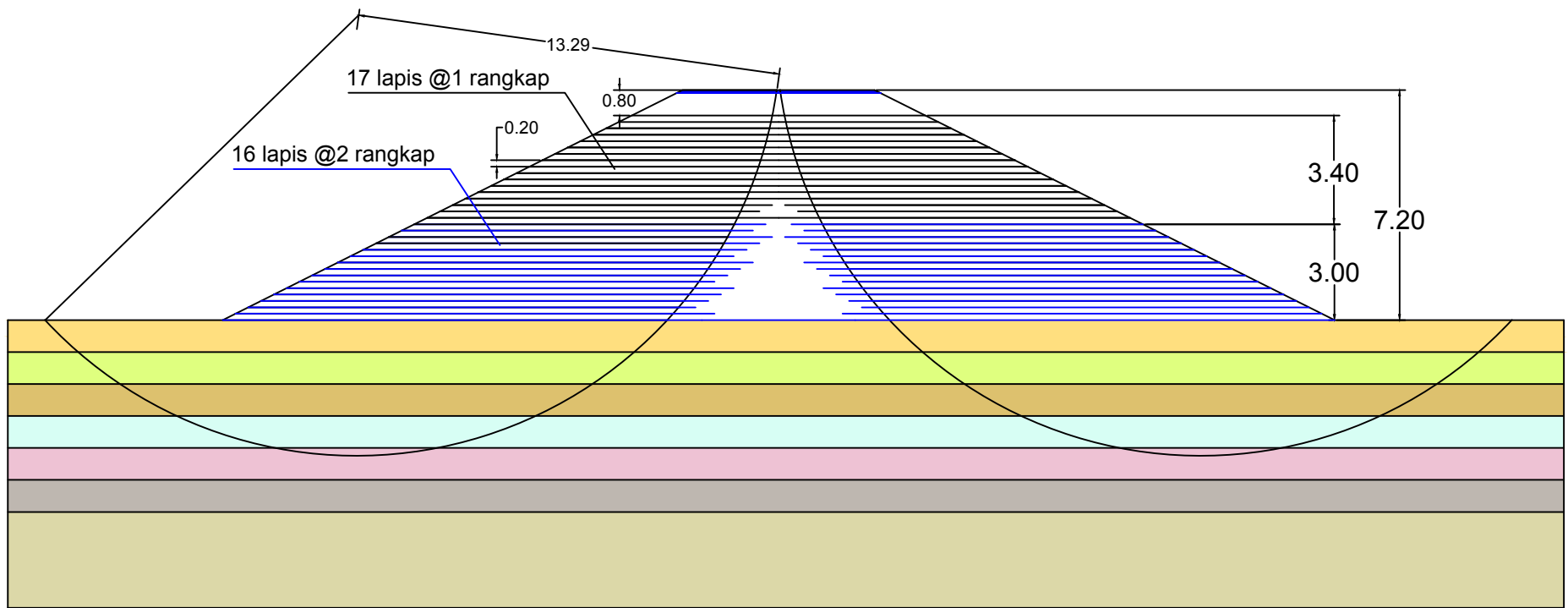
RIF' ATUL UMMAH
3112100064

Potongan Melintang
(Pemasangan PVD)

1: 400

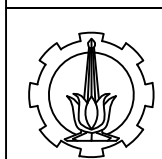
03

13



POTONGAN MELINTANG PERENCANAAN PERKUATAN GEOTEXTILE
(ZONA 1)

SKALA 1:200



FAKULTAS TEKNIK SIPIL
DAN PERENCANAAN
INSTITUT TEKNOLOGI
SEPULUH NOPEMBER
SURABAYA

NAMA TUGAS

DOSEN PEMBIMBING

NAMA & NRP MAHASISWA

NAMA GAMBAR

SKALA

NO. GAMBAR

JUMLAH GAMBAR

TUGAS AKHIR

1. Musta'in Arif, S.T.,M.T.
2. Prof. Ir. Noor Endah, M.Sc., Ph.D.

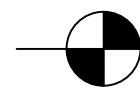
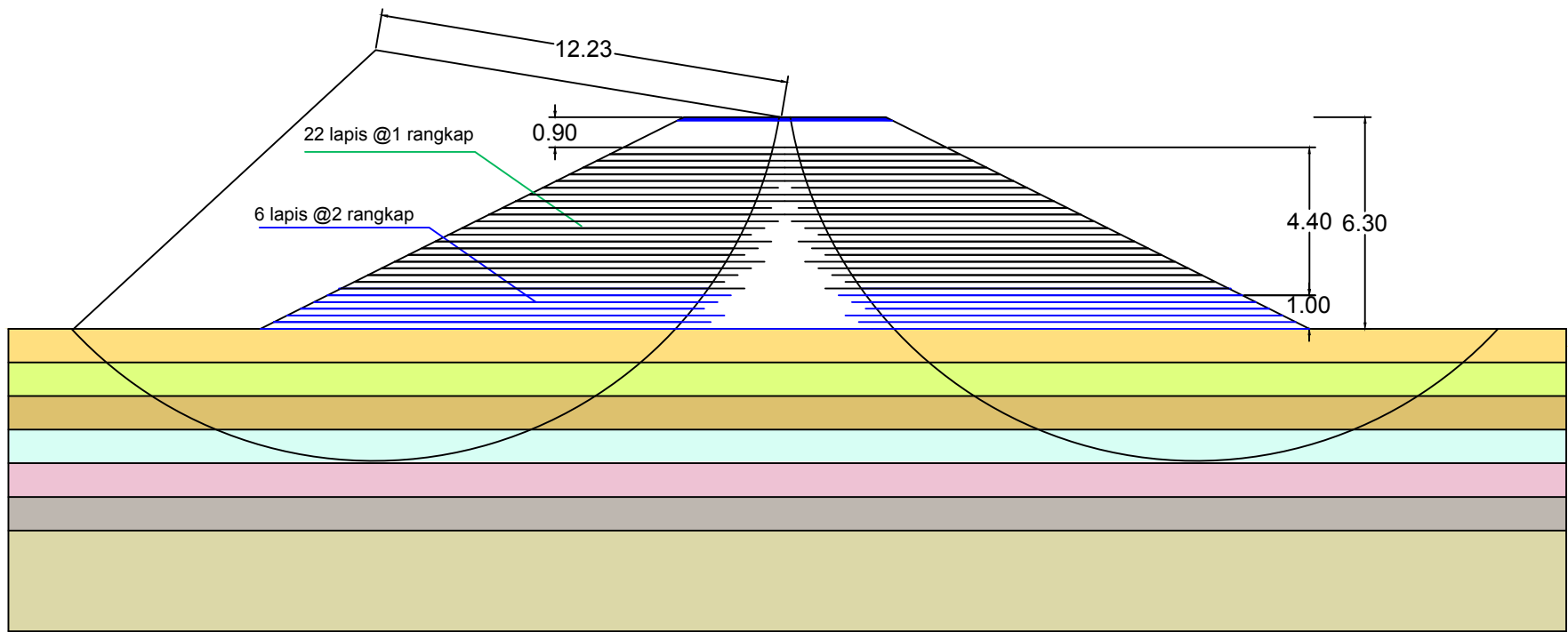
RIF' ATUL UMMAH
3112100064

Alternatif 1 (Zona 1)

1 : 200

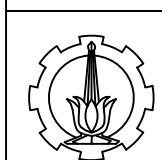
05

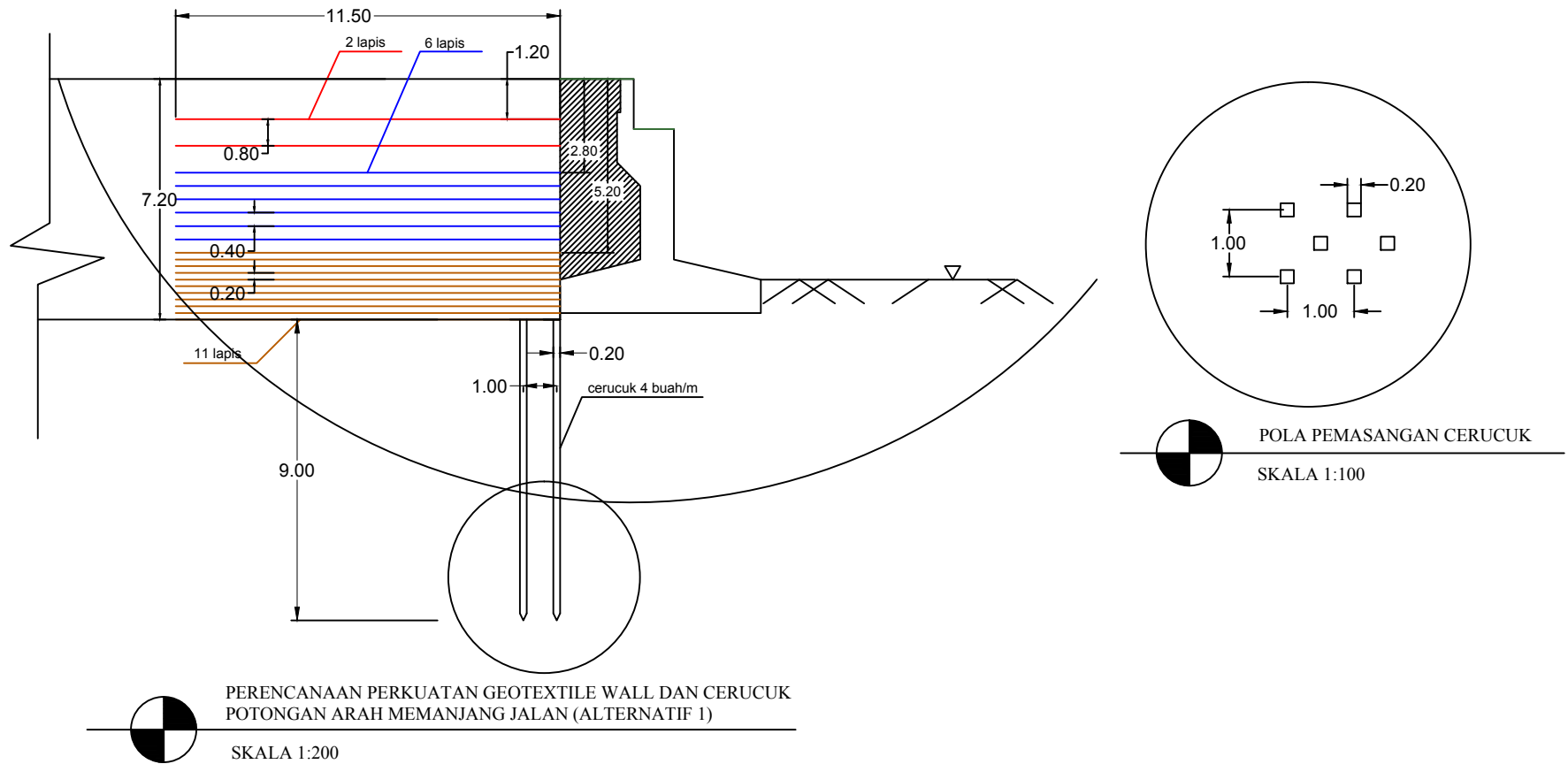
13

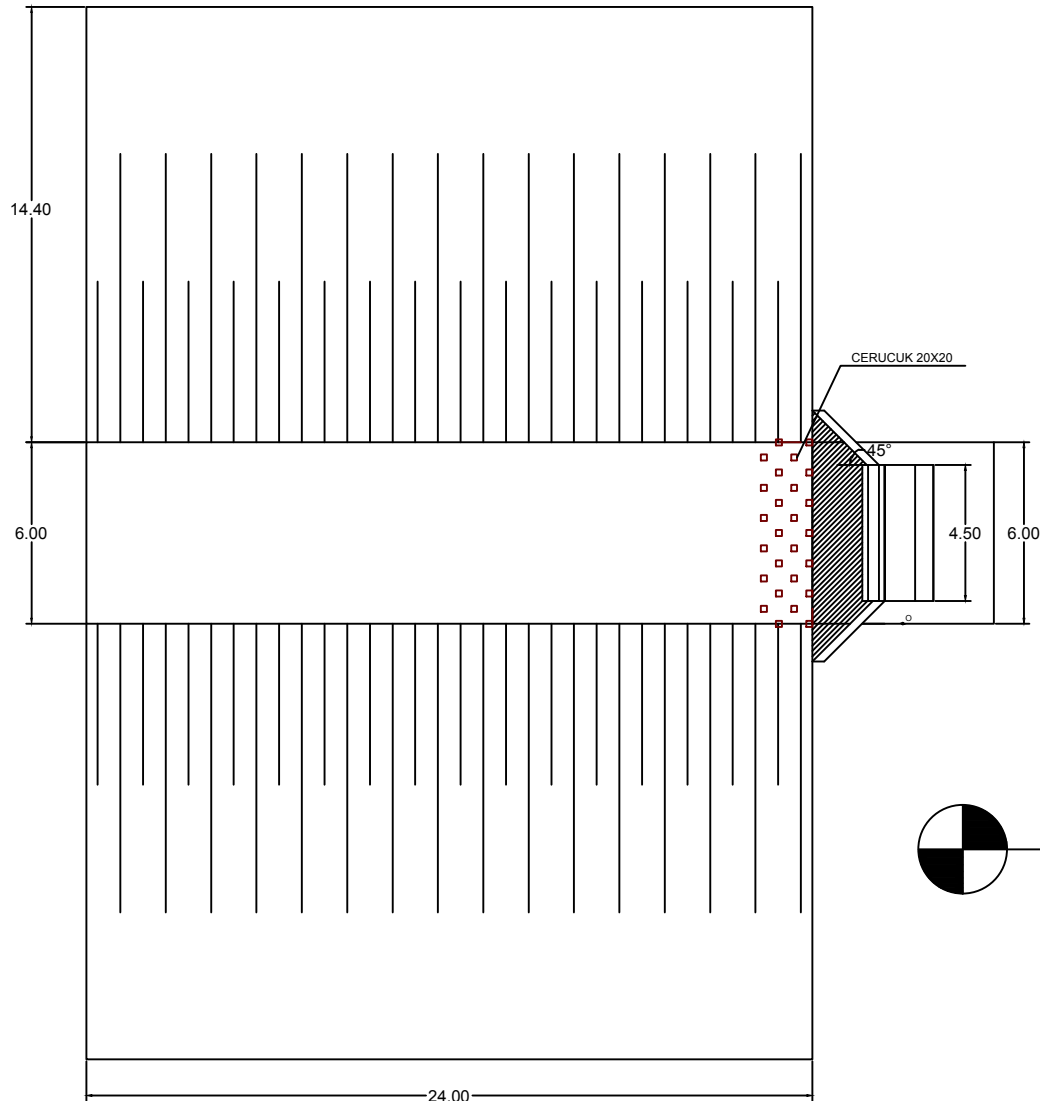


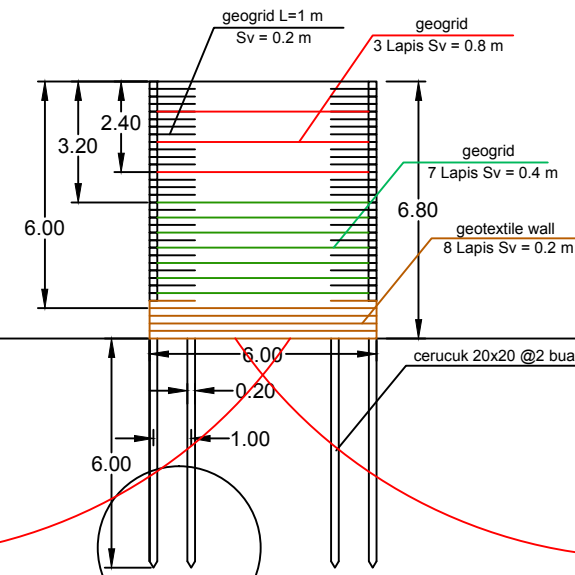
POTONGAN MELINTANG PERENCANAAN PERKUATAN GEOTEXTILE
(ZONA 2)

SKALA 1:200



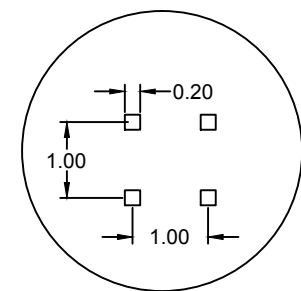






POTONGAN ARAH MELINTANG PERENCANAAN PERKUATAN
KOMBINASI MULTIBLOCKS, GEOGRID, DAN CERUCUK (ZONA 1)

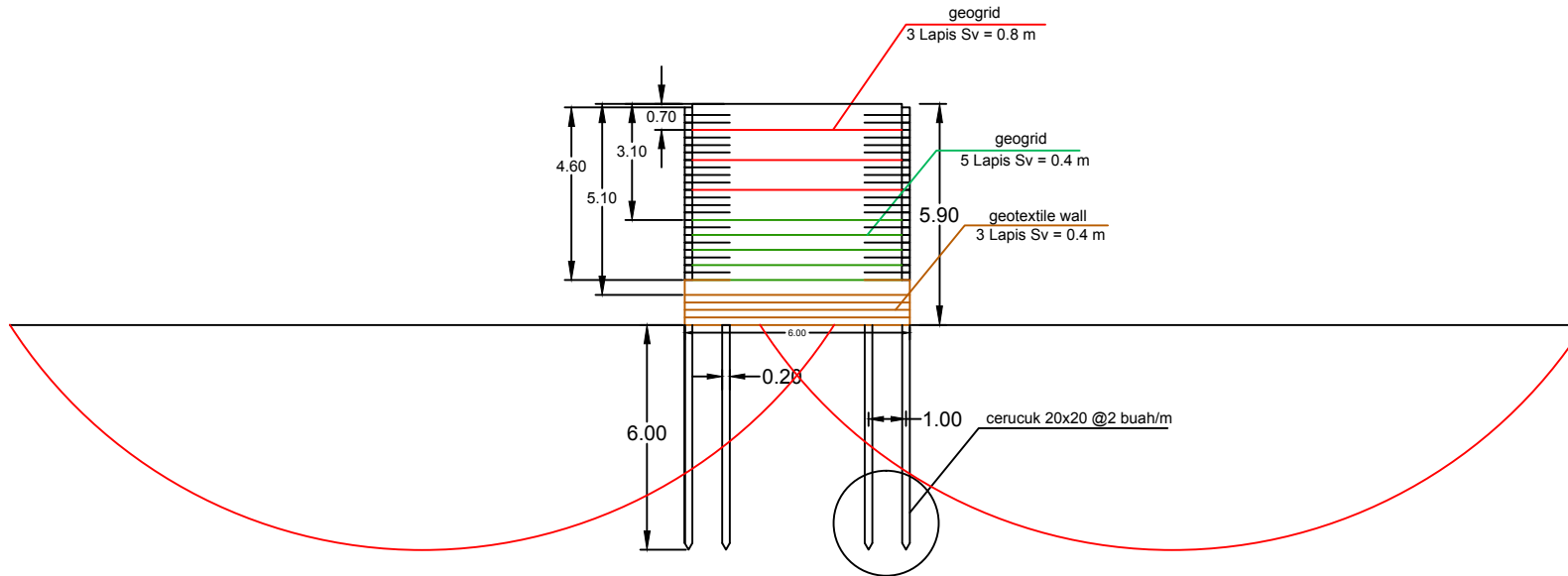
SKALA 1:200



POLA PEMASANGAN CERUCUK

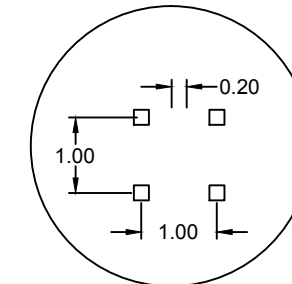
SKALA 1:100





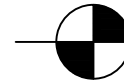
POTONGAN MELINTANG PERENCANAAN PERKUATAN KOMBINASI
MULTIBLOCKS, GEOGRID, DAN CERUCUK (ZONA 2)

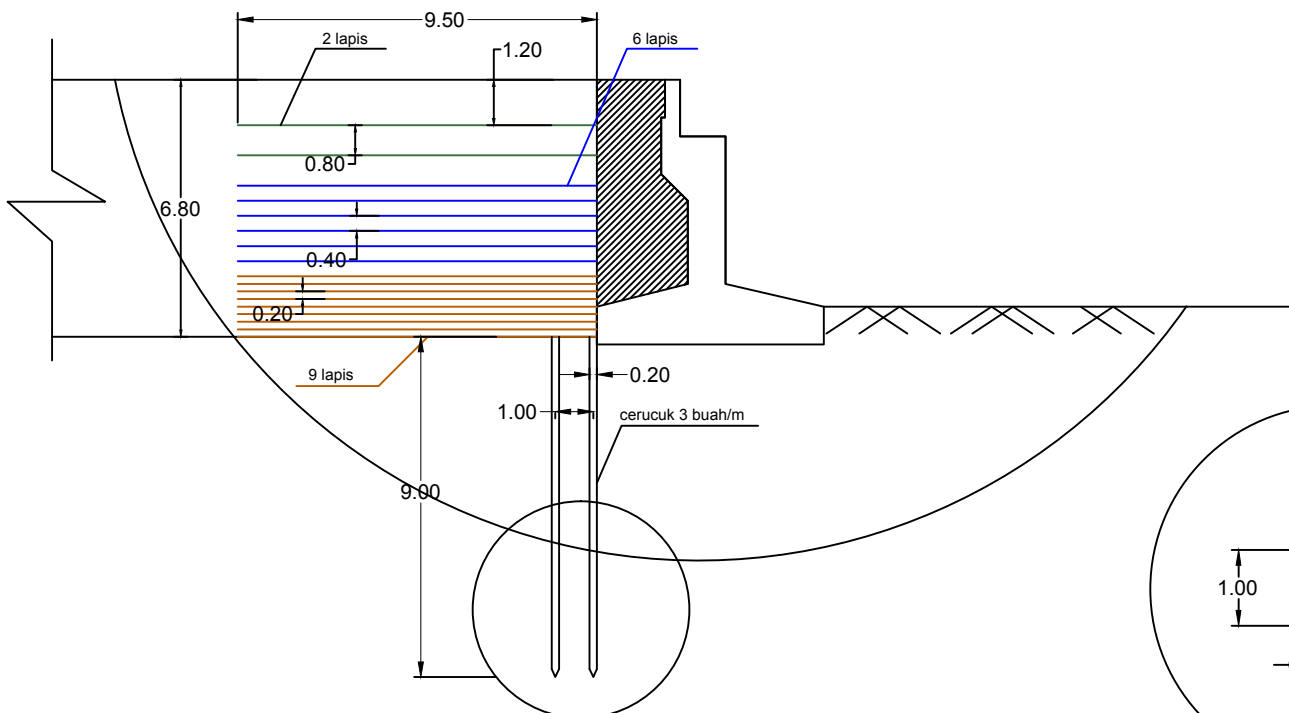
SKALA 1:200



POLA PEMASANGAN CERUCUK

SKALA 1:100





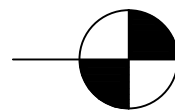
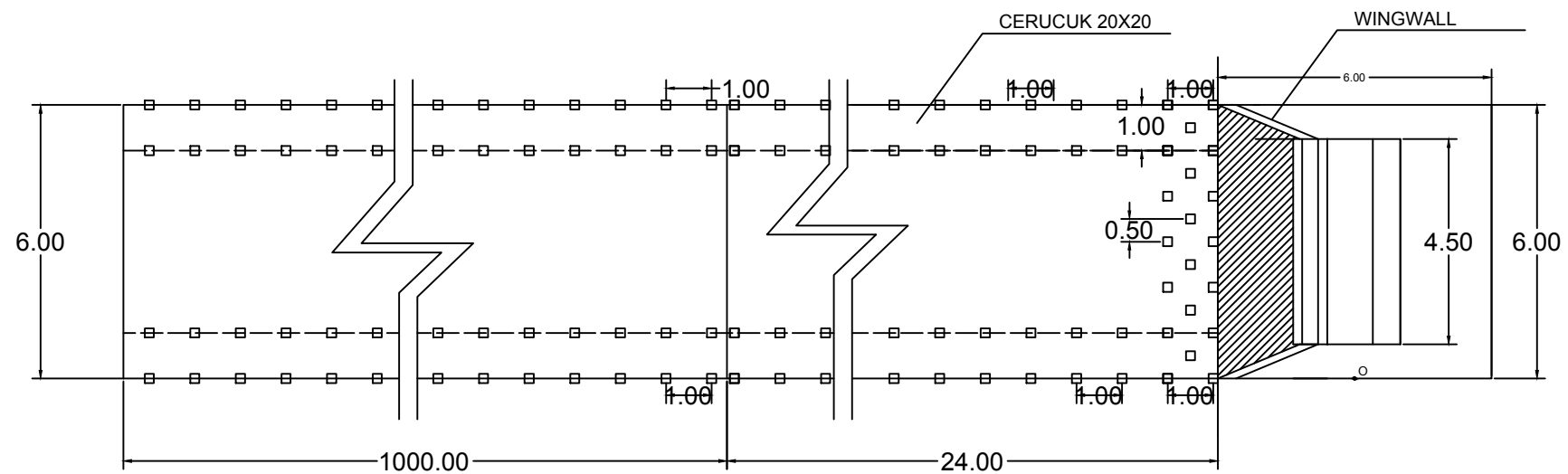
PERENCANAAN PERKUATAN GEOTEXTILE WALL DAN CERUCUK
POTONGAN ARAH MEMANJANG JALAN (ALTERNATIF 2)

SKALA 1:200

POLA PEMASANGAN CERUCUK

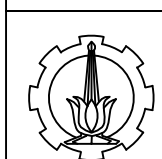
SKALA 1:100

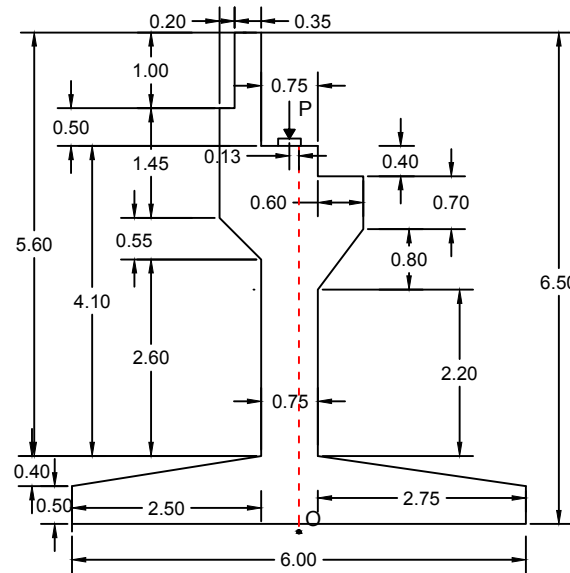




TAMPAK ATAS PEMASANGAN CERUCUK (ALTERNATIF 2)

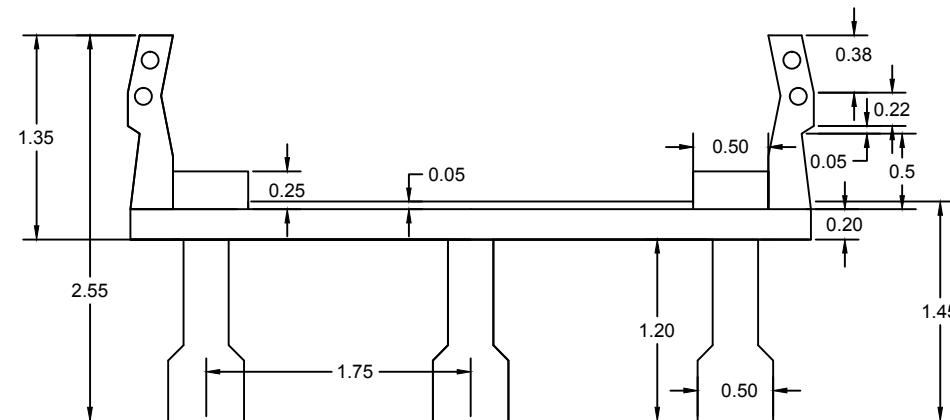
SKALA 1:150





PERENCANAAN ABUTMENT JEMBATAN

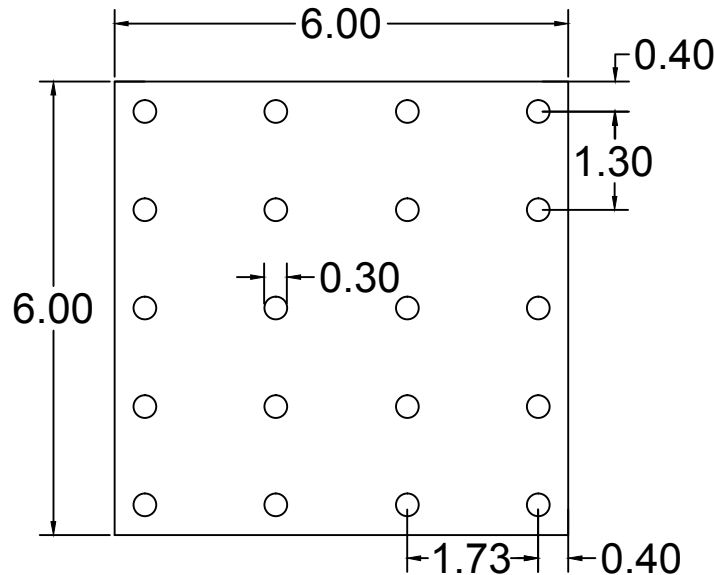
SKALA 1:100



BANGUNAN ATAS JEMBATAN

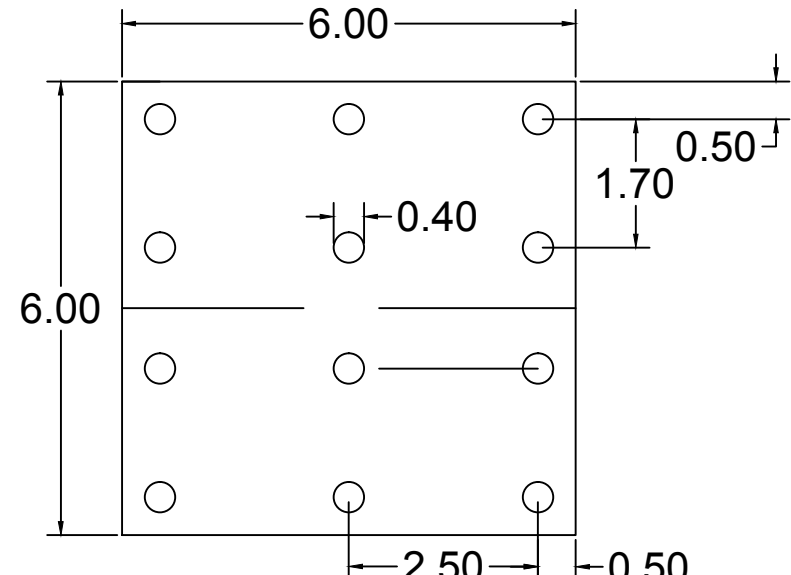
SKALA 1:50

| FAKULTAS TEKNIK SIPIL DAN PERENCANAAN INSTITUT TEKNOLOGI SEPULUH NOPEMBER SURABAYA | NAMA TUGAS TUGAS AKHIR | DOSEN PEMBIMBING 1. Musta'in Arif, S.T.,M.T. 2. Prof. Ir. Noor Endah, M.Sc., Ph.D. | NAMA & NRP MAHASISWA RIF' ATUL UMMAH 3112100064 | NAMA GAMBAR Abutment dan Bangunan Atas Jembatan | SKALA 1:100 | NO. GAMBAR 12 | JUMLAH GAMBAR 13 |
|---|---------------------------|--|---|--|----------------|------------------|---------------------|
| | | | | | | | |
| LAMPU KERJA | | | | | | | |



KOMBINASI TIANG PANCANG D30

SKALA 1:100



KOMBINASI TIANG PANCANG D40

SKALA 1: 100

| FAKULTAS TEKNIK SIPIL DAN PERENCANAAN INSTITUT TEKNOLOGI SEPULUH NOPEMBER SURABAYA | NAMA TUGAS TUGAS AKHIR | DOSEN PEMBIMBING 1. Musta'in Arif, S.T.,M.T. 2. Prof. Ir. Noor Endah, M.Sc., Ph.D. | NAMA & NRP MAHASISWA RIF' ATUL UMMAH 3112100064 | NAMA GAMBAR | SKALA | NO. GAMBAR | JUMLAH GAMBAR |
|--|-------------------------------|--|---|--|-------|------------|---------------|
| | | | | Kombinasi Tiang Pancang pada Abutment | 1:100 | 13 | 13 |



TUGAS AKHIR (RC14-1501)

**PERENCANAAN ULANG TIMBUNAN OPRIT DAN
ABUTMENT JEMBATAN PLASMA BATU TUGU-
PLASMA TANJUNG KURUNG, PALEMBANG (YANG
MENGALAMI KERUNTUHAN SEBELUMNYA PADA
SAAT PELAKSANAAN)**

RIF' ATUL UMMAH
NRP 3112 100 064

Dosen Pembimbing
Musta'in Arif, S.T., M.T.
Prof. Ir. Noor Endah, M.Sc., Ph.D.

JURUSAN TEKNIK SIPIL
Fakultas Teknik Sipil dan Perencanaan
Institut Teknologi Sepuluh Nopember
Surabaya 2016



FINAL PROJECT (RC14-1501)

***RE-DESIGN OPRIT EMBANKMENT AND BRIDGE
ABUTMENT PLASMA BATU TUGU-PLASMA TANJUNG
KURUNG, PALEMBANG (COLLAPSE AT
IMPLEMENTATION)***

RIF' ATUL UMMAH
NRP 3112 100 064

Academic Supervisor
Musta'in Arif, S.T.,M.T.
Prof. Ir. Noor Endah, M.Sc.,Ph.D.

DEPARTMENT OF CIVIL ENGINEERING
Faculty of Civil Engineering and Planning
Institut Teknologi Sepuluh Nopember
Surabaya 2016

BAB VI

KESIMPULAN DAN SARAN

6.1 Kesimpulan

Dalam perencanaan Tugas Akhir ini didapatkan beberapa kesimpulan yaitu :

1. Besar Pemampatan yang terjadi pada alternatif 1 yaitu zona 1 = 1,45 m dan zona 2 = 1,24 m. Pada alternatif 2 untuk zona 1 = 1,1 m dan zona 2 = 0,9 m.
2. Didapatkan tinggi timbunan awal pada alternatif 1 yaitu pada zona 1 = 7,2 m dan zona 2 = 6,3 meter. Pada Alternatif 2 didapatkan untuk zona 1 = 6,8 m dan zona 2 = 5,9 m.
3. Waktu yang dibutuhkan untuk mencapai derajat konsolidasi 90% ($U=90\%$) adalah 31,6 tahun. Waktu tersebut sangat lama, sehingga dibutuhkan perencanaan *Prefabricated Vertical Drain* (PVD) untuk percepatan waktu konsolidasi dan didapatkan PVD pola segitiga jarak 1,25 m. Lama *preloading* diberikan sampai pemampatan selesai membutuhkan waktu :
Alternatif 1:
Zona 1 selama 19 minggu, dan zona 2 selama 17 minggu.
Alternatif 2:
Zona 1 selama 17 minggu, dan zona 2 selama 15 minggu.
4. Pada perencanaan perkuatan tanah dengan *geotextile* didapatkan hasil sebagai berikut:
 - Pada Zona 1:
Jarak antar layer = 0,2 meter
Jumlah lapis *geotextile* = 16 lapis (2 rangkap) dan 17 lapis (1 rangkap)
Luas total *geotextile* = 28637 m²
 - Pada Zona 2:
Jarak antar layer = 0,2 meter
Jumlah lapis *geotextile* = 6 lapis (2 rangkap) dan 22 lapis (1 rangkap)

- Pada Alternatif 2:
 - Kebutuhan *geotextile* = 17 lapis
 - Luas total *geotextile* = 969 m²
 - Kebutuhan cerucuk = 3 buah/m
 - Panjang cerucuk = 9 meter
7. Perencanaan *abutment* dapat dilihat pada Lampiran 11. Hasil perhitungan tiang pancang didapatkan:
- Untuk diameter 30 cm:
- Jumlah tiang = 20 buah
 - Panjang per tiang = 17 meter
- Untuk diameter 40 cm:
- Jumlah tiang = 12 buah
 - Panjang per tiang = 16,5 meter
8. Dari kedua alternatif perkuatan timbunan dipilih alternatif 1 karena menghasilkan biaya termurah yaitu Rp22.430.170.775,-, sedangkan untuk tiang pancang dipilih diameter 40 cm dengan biaya material Rp91.200.000,-

6.2 Saran

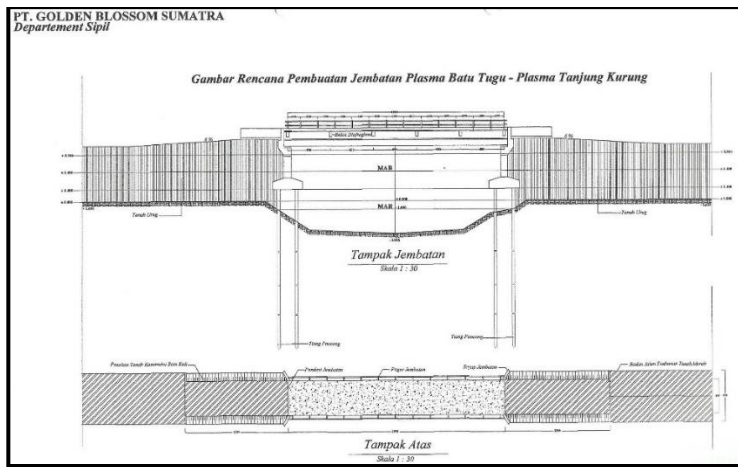
Setelah dilakukan perhitungan dan analisa, penulis memberikan saran yaitu :

1. Pada perencanaan oprit dan *abutment* selanjutnya dapat digunakan turap pada saat pelaksanaan sebagai dinding penahan tanah timbunan oprit agar pekerjaan oprit dan pemancangan pondasi *abutment* dapat dilakukan bersamaan.
2. Perencanaan timbunan sebaiknya mempertimbangkan lokasi di sekitar.
3. Pada perhitungan biaya untuk perencanaan selanjutnya dapat diperhitungkan biaya pelaksanaan.

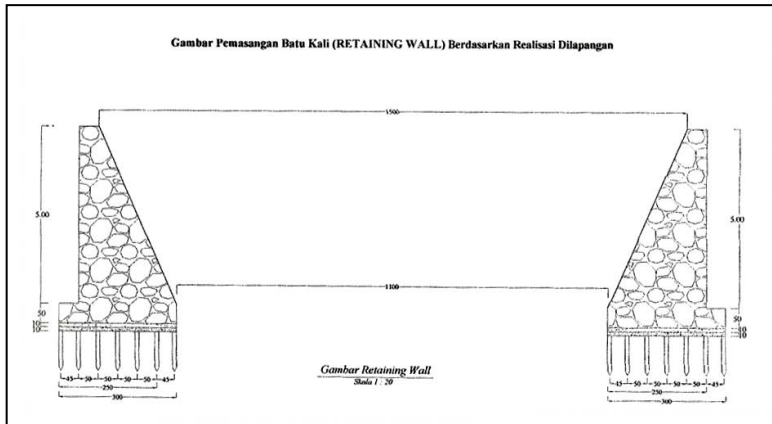


Gambar 1.1 Peta Desa Prambatan, Kecamatan Abab, Kabupaten Muara Enim, Propinsi Sumatera Selatan (Sumber : www.google.com)

Jembatan Plasma Batu Tugu - Plasma Tanjung Kurung mempunyai panjang 25 meter dan lebar 4.5 meter (Gambar 1.2) dengan jenis jembatan beton girder. Tinggi timbunan oprit direncanakan setinggi 6 meter agar jalan tidak terendam ketika tinggi air mencapai kondisi muka air banjir dengan pemasangan batu kali sebagai dinding penahan /*retaining wall* setinggi 5 meter (Gambar 1.3). Jembatan ini menggunakan jenis pondasi tiang pancang direncanakan bentuk persegi ukuran 35 cm x 35 cm panjang 12 meter dengan adanya penyambungan. Pemancangan dilakukan dengan menggunakan *drop hammer* dan ponton (Gambar 1.4).



Gambar 1.2 Tampak Samping dan Denah Rencana Jembatan Panjang 25 m & Lebar 4.50 m



Gambar 1.3 Retaining Wall di tepi Timbunan Jalan 5 m
(Sumber : PT. GBS)

BAB II

TINJAUAN PUSTAKA

2.1 Pengambilan Data Tanah

Data tanah merupakan data yang diperoleh dari hasil penyelidikan lapangan dan hasil tes laboratorium. Salah satu tes penyelidikan tanah di lapangan yaitu menggunakan tes boring dan SPT (*Standart Penetration Test*). Pengambilan *sample* data tanah dilakukan di beberapa titik pada beberapa kedalaman untuk mengetahui jenis dan pengetesan parameter tanah di laboratorium. Dalam menentukan jenis dan parameter tanah untuk perencanaan perlu dilakukan analisa dengan pembuatan stratigrafi dan pemilihan dengan metode statistik.

2.2 Analisa Parameter Tanah

2.2.1 Pembuatan stratigrafi

Stratigrafi tanah dibuat untuk mengetahui kondisi tanah dasar di lokasi pembangunan. Sebelum membuat stratigrafi tanah, perlu dilakukan pendekatan statistik sederhana terhadap data-data tanah yang dimiliki. Pendekatan statistik yang digunakan adalah dengan pengambilan keputusan berdasarkan koefisien varian (CV) dari suatu distribusi nilai parameter tanah.

Beberapa persamaan statistik yang digunakan antara lain (ITS,1998) :

- Rata –rata

$$\bar{X} = \frac{\sum_{n=1}^1 X}{n} \quad [2.1]$$

- Standar Deviasi

$$STD = \sqrt{\frac{\sum(x-U)^2}{n}} \quad [2.2]$$

- Koefisien Varian

$$CV = \frac{STD}{U} \times 100\% \quad [2.3]$$

Dimana distribusi sebaran suatu nilai dapat diterima jika harga koefisien varian (CV) dari sebaran tersebut bernilai lebih kecil atau sama dengan 30%. Apabila nilai koefisien varian (CV) lebih besar dari pada 30%, maka perlu dilakukan pembagian layer

2.3 Permasalahan Pembangunan Konstruksi di Atas Tanah Lunak

Tanah lempung merupakan jenis tanah lunak yang kurang menguntungkan untuk digunakan sebagai lapisan tanah dasar pondasi, karena daya dukung tanah ini sangat rendah dan memiliki kemampuan amplitudo tinggi. Tanah lunak atau sangat lunak memiliki daya dukung sangat rendah, yang menyebabkan tanah tidak mampu mendukung tinggi timbunan rencana beserta beban lalu lintasnya, sehingga memerlukan perbaikan tanah dasar yang cukup.

2.4 Pemampatan Konsolidasi (*Consolidation Settlement*)

2.4.1 Besar konsolidasi

2.4.1.1 Besar konsolidasi penimbunan langsung

Penimbunan timbunan setinggi H di atas tanah lunak akan menyebabkan terjadinya penambahan tegangan pada tanah dasar sehingga mengakibatkan adanya konsolidasi. Terdapat dua jenis konsolidasi berdasarkan tegangan yang diakibatkan, yaitu :

1. Tanah terkonsolidasi secara normal, *Normally Consolidated Soil* (NC-Soil), di mana tegangan *overburden* efektif pada saat ini adalah merupakan tegangan maksimum yang pernah dialami tanah tersebut.
2. Tanah terkonsolidasi lebih, *Over Consolidated Soil* (OC-Soil), di mana tegangan *overburden* efektif saat ini adalah lebih kecil daripada tegangan yang pernah dialami oleh tanah yang bersangkutan sebelumnya.

Tanah disebut sebagai NC-Soil atau OC-soil tergantung dari harga *Over Consolidation Ratio* (OCR), yang didefinisikan dengan persamaan berikut ini:

$$OCR = \frac{\sigma_c'}{\sigma_o'} \quad [2.6]$$

di mana:

σ_c' = effective past overburden pressure

σ_o' = effective overburden pressure

NC-Soil mempunyai harga $OCR = 1$ dan OC soil mempunyai harga $OCR > 1$.

- H₁, H₂, ..., H_n = tebal lapisan-lapisan tanah lempung yang mengalami pemampatan.
- C_{v1}, C_{v2}, ..., C_{vn} = harga Cv untuk masing-masing lapisan tanah yang bersangkutan.

Tabel 2.3 Variasi Faktor Waktu Terhadap Derajat Konsolidasi

| Derajat Konsolidasi U% | Faktor Waktu T _v |
|------------------------|-----------------------------|
| 0 | 0 |
| 10 | 0,008 |
| 20 | 0,031 |
| 30 | 0,071 |
| 40 | 0,126 |
| 50 | 0,197 |
| 60 | 0,287 |
| 70 | 0,403 |
| 80 | 0,567 |
| 90 | 0,848 |
| 100 | - |

(sumber: Braja M. Das, 1985)

2.5 Percepatan Waktu Konsolidasi dengan *Vertical Drain*

Lamanya waktu konsolidasi disebabkan oleh lapisan tanah lunak yang tebal sehingga menyebabkan lamanya proses keluarnya aliran air pori secara vertikal. Untuk mempercepat proses konsolidasi maka diperlukan suatu metode *vertical drain*. Salah satu penerapan metode *vertical drain* yaitu dengan menggunakan *Prefabricated Vertical Drain (PVD)*.

2.5.1 Percepatan waktu konsolidasi dengan PVD

Penentuan waktu konsolidasi didasarkan teori aliran pasir vertikal menurut Barron (1948), menggunakan asumsi teori Terzaghi tentang konsolidasi linier satu dimensi. Penentuan waktu konsolidasi dari teori Barron (1948) adalah :

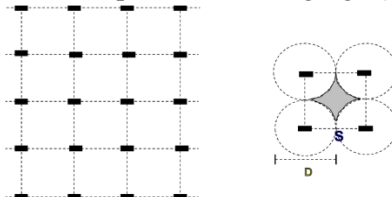
$$t = \left(\frac{D^2}{8.Ch} \right) F(n) \cdot \ln \left(\frac{1}{1-Uh} \right) \quad [2.21]$$

dimana :

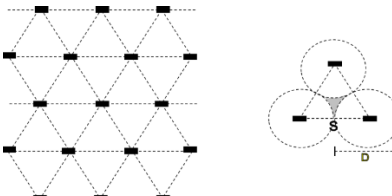
t = waktu untuk menyelesaikan konsolidasi primer

D = diameter *equivalen* dari lingkaran tanah yang merupakan daerah pengaruh PVD

Harga $D = 1,13 \times s$ untuk pola susunan bujur sangkar(Gambar 2.4)
Harga $D = 1,05 \times s$ untuk pola susunan segitiga (Gambar 2.5)



Gambar 2.4 Pola Susunan PVD Bujur Sangkar
(sumber : Mochtar, 2000)



Gambar 2.5 Pola Susunan PVD Segitiga
(sumber : Mochtar, 2000)

Ch = koefisien konsolidasi tanah horisontal
 $= (kh/kv) \cdot Cv$

Kh/kv = perbandingan antara koefisien permeabilitas tanah dasar arah horizontal dan vertikal, untuk tanah lempung yang jenuh air, harga (kh/kv) berkisar antara 2 sampai 5.
(sumber : Mochtar, 2000)

$F(n)$ = faktor hambatan yang disebabkan karena jarak antara PVD

Oleh Hansbo (1979) dalam Mochtar (2000) harga $F(n)$ didefinisikan sebagai berikut :

$$F(n) = \left(\frac{n^2}{n^2 - 1^2} \right) \left[\ln(n) - \left(\frac{3n^2 - 1}{4n^2} \right) \right] \quad [2.22]$$

Atau :

$$F(n) = \left(\frac{n^2}{n^2 - 1^2} \right) \left[\ln(n) - 3/4 - \left(\frac{1}{4n^2} \right) \right] \quad [2.23]$$

Dimana :

$$a = \frac{1.781 - Tv}{0.933} \quad [2.28]$$

$$\pi = 3.14$$

- Untuk Uv antara 0 s/d 60% :

$$Uv = \left(2 \sqrt{\frac{Tv}{\pi}} \right) \times 100\% \quad [2.29]$$

- Derajat konsolidasi rata-rata U dapat dicari dengan cara :

$$U = [1 - (1-Uh) (1-Uv)] \times 100\% \quad [2.30]$$

2.6 Daya Dukung Tanah Dasar

Pada Sub bab 2.3 telah disebutkan bahwa permasalahan pada tanah lunak yaitu memiliki daya dukung yang rendah. Apabila tanah dasar tidak mampu untuk menerima beban di atasnya maka diperlukan perkuatan untuk meningkatkan daya dukung tanah dasar. Perkuatan yang dapat digunakan untuk meningkatkan daya dukung tanah diantaranya yaitu perkuatan dengan *geotextile*, *micropile*, atau kombinasi *multiblocks* dan *geogrid*. Sebelum menghitung perkuatan, perlu diketahui tinggi timbunan yang mampu ditahan oleh tanah dasar atau bisa disebut tinggi kritis (H_{cr}).

Seperti yang telah dijelaskan sebelumnya pada Sub bab 2.4.1.2 bahwa penimbunan di lapangan dilakukan secara bertahap, maka perlu dihitung peningkatan daya dukung akibat penambahan beban timbunan bertahap dimana umur timbunan tidak sama setiap pentahapannya.

2.6.1 Penentuan tinggi timbunan kritis (H_{cr})

Penentuan tinggi timbunan kritis (H_{cr}) dapat ditentukan dengan *trial* menggunakan program bantu, salah satunya *XSTABL*. Tinggi timbunan kritis juga dapat dihitung menggunakan rumus empiris:

$$H_{cr} = \frac{c.Nc}{SF.y_{timb}} \quad [2.31]$$

2.6.2 Perkuatan tanah dengan *geotextile*

2.6.2.1 *Geotextile* sebagai perkuatan

Perencanaan *geotextile* sebagai perkuatan tergantung pada besar peningkatan momen perlawanan (ΔM_R) yang

[2.45]

- Untuk tanah miring adalah:

$$K_a = \left(\frac{\cos Q}{1 + \sqrt{\frac{\sin Q \sin(Q+\delta)}{\cos \delta}}} \right)^2 \quad [2.46]$$

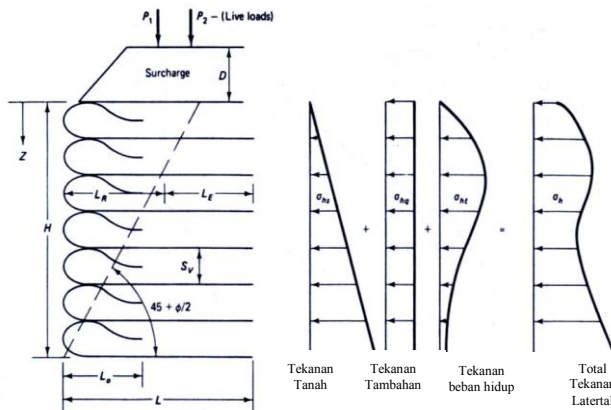
Dimana:

Q = sudut geser tanah

δ = kemiringan tanah

Dalam kasus tekanan lateral pasif, kohesi (lekatan antar butiran tanah) mempunyai pengaruh memperbesar tekanan pasif tanah sebesar $2c\sqrt{K_p}$, sehingga perumusan menjadi:

$$\sigma_p = K_p \times \gamma \times H + 2 \times c \times \sqrt{K_p} \quad [2.47]$$



Gambar 2.10 Prinsip Beban yang Bekerja pada *Geotextile Wall*

Jarak Vertikal pemasangan geotextile (S_v) :

$$\sigma_{HZ} x S_v x l = \frac{T_{ALL}}{SF} \rightarrow S_v = \frac{T_{ALL}}{SF x \sigma_{HZ} x l} \quad [2.48]$$

Dimana : σ_{HZ} = tegangan horisontal pada kedalaman Z

Tambahan ΔM_R tersebut merupakan tambahan momen penahan yang ditimbulkan oleh adanya cerucuk, sehingga jumlah cerucuk yang dibutuhkan (n), adalah:

$$n \times P_{\max 1 \text{ cerucuk}} \times R = (SF_{\text{yang diinginkan}} - SF_{\text{yang ada}}) \times M_D$$

$$n = \frac{(SF_{\text{yang diinginkan}} - SF_{\text{yang ada}}) \times MD}{P_{\max 1 \text{ cerucuk}} \times R} \quad [2.68]$$

2.6.4 Perkuatan tanah dengan kombinasi *multiblocks* dan *geogrid*

Pada perkuatan tanah menggunakan kombinasi *multiblocks* dan *geogrid*, *multiblocks* berfungsi sebagai dinding penahan dengan *geogrid* sebagai perkuatan. *Geogrid* berguna untuk mempermudah posisi *multiblocks* untuk dapat saling *interlock* menjadi suatu kesatuan sehingga tercipta stabilitas struktur. Perhitungan kebutuhan *geogrid* dapat menggunakan prinsip perhitungan *geotextile wall* dengan tambahan gaya penahan dari berat *multiblocks* itu sendiri. Contoh Pemasangan ditampilkan pada Gambar 2.15

Gambar 2.15 Contoh Pemasangan *Multiblocks* dan *Geogrid*



(Sumber: Brosur PT. Multibangun Rekatama Patria)

2.7 Peningkatan Daya Dukung Tanah

Sebagai akibat penimbunan bertahap menyebabkan terjadinya konsolidasi pada suatu lapisan tanah, maka lapisan yang bersangkutan menjadi lebih padat yang berarti kekuatan tanah juga meningkat sebagai akibat kenaikan harga Cu (undrained shear strength). Maka dari itu perlu dihitung adanya peningkatan daya

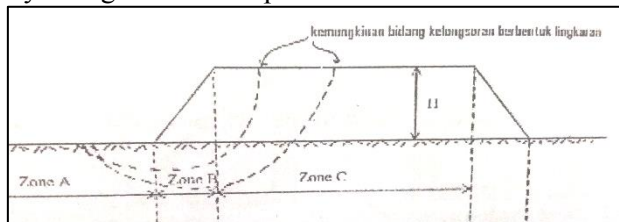
Tabel 2.11 Contoh Perhitungan Tegangan Vertikal efektif

| Tahapan penimbunan | Umur (munggu) | Derasat kejemuhan U_i | Δp_i pada U_i % |
|---|---------------|--|--|
| tanah asli 0,0 m | ~ | 100 % | p'_o |
| 0 - 0,60 m | 10 | 97,2 % | $\left(\frac{\sigma'_1}{p'_o}\right)^{0,972} \cdot p'_o - p'_o$ |
| 0,60 - 1,20 m | 9 | 96,0 % | $\left(\frac{\sigma'_2}{p'_o}\right)^{0,969} \cdot \sigma'_1 - \sigma'_1$ |
| 1,20 - 1,80 m | 8 | 94,3 % | $\left(\frac{\sigma'_3}{p'_o}\right)^{0,943} \cdot \sigma'_2 - \sigma'_2$ |
| 1,80 - 2,40 m | 7 | 91,9 % | $\left(\frac{\sigma'_4}{p'_o}\right)^{0,919} \cdot \sigma'_3 - \sigma'_3$ |
| 2,40 - 3,0 m | 6 | 88,5 % | $\left(\frac{\sigma'_5}{p'_o}\right)^{0,9885} \cdot \sigma'_4 - \sigma'_4$ |
| 3,0 - 3,6 m | 5 | 83,7 % | $\left(\frac{\sigma'_6}{p'_o}\right)^{0,837} \cdot \sigma'_5 - \sigma'_5$ |
| 3,6 - 4,20 m | 4 | 76,7 % | $\left(\frac{\sigma'_7}{p'_o}\right)^{0,767} \cdot \sigma'_6 - \sigma'_6$ |
| 4,20 - 4,80 m | 3 | 66,7 % | $\left(\frac{\sigma'_8}{p'_o}\right)^{0,667} \cdot \sigma'_7 - \sigma'_7$ |
| 4,80 - 5,40 m | 2 | 52,4 % | $\left(\frac{\sigma'_9}{p'_o}\right)^{0,542} \cdot \sigma'_8 - \sigma'_8$ |
| 5,0 - 6,0 m | 1 | 31,7 % | $\left(\frac{\sigma'_{10}}{p'_o}\right)^{0,317} \cdot \sigma'_9 - \sigma'_9$ |
| Catatan : $\sigma'_{i+1} = \sigma'_i + \Delta p_i$ | | $\Sigma = \sigma'_{i=0,0 \text{ meter}}$ | |
| | | 10 | |
| | | = $p'_o + \sum_{i=1}^n \Delta p_{i,i}$ | |

(Sumber: Mochtar, 2012)

2.8 Perhitungan Stabilitas Timbunan Sesudah Pemampatan

Seperti telah disebutkan sebelumnya bahwa stabilitas timbunan dapat dihitung berdasarkan program Xstabl atau sejenisnya dengan asumsi seperti Gambar 2.16.



Gambar 2.16 Pembagian Zona Kekuatan Tanah
(Sumber: Mochtar, 2012)

Dimana:

Zona A = Tanah dalam kondisi masih asli, Cu = Cu asli

Zona B = Zona transisi $Cu_{di\ B} = \frac{Cu_{di\ A} + Cu_{di\ C}}{2}$

Zona C = Tanah terkonsolidasi di bawah timbunan H, Cu baru dihitung seperti pada Sub bab 2.7.

2.9 Perencanaan *Abutment* Jembatan

2.9.1 Pembebanan *abutment* jembatan

Pembebanan dalam desain mengikuti RSNI T-02-2005 tentang Standar Pembebanan untuk Jembatan.

Beban dari pelat lantai jembatan diteruskan kepada abutment melalui perletakan. Beban vertikal maksimum pada perletakan dipadatkan dari analisa perhitungan pelat lantai jembatan. Dari perhitungan pembebanan tersebut dapat ditentukan jenis pondasi yang cocok untuk abutment dan juga tipe perletakan yang akan digunakan.

Beban horizontal pada abutment diakibatkan oleh beban angin, efek temperatur, rangkak (*creep*), beban penggereman lalu lintas dan pemasangan tembok pelindung jembatan (parapet). Beban sentrifugal juga dapat disebabkan apabila jari-jari lengkungan jalan pada jalan kurang dari 1000 meter. Beban longitudinal yang berasal dari efek temperatur pada pelat lantai akan bergantung pada jenis perletakan yang digunakan. Perletakan elastomer pada umumnya dipasang dengan merekatkan pelat lantai dan ujung abutment sehingga elastomer tersebut dapat berubah bentuk ketika pelat lantai berdeformasi. Gaya longitudinal yang dihasilkan oleh deformasi tersebut harus sesuai dengan kekakuan geser dari perletakan dan besarnya gerakan yang terjadi.

Pada sisi lain, geser yang terjadi pada perletakan akan menghasilkan beban longitudinal yang sebanding dengan reaksi beban mati dan koefisien friksi antara geser permukaan. Koefisien friksi (μ) nilainya bervariasi antara 0,01 sampai 0,08 tergantung tipe perletakan dan kuat tekan perletakan. (Childs, 1993).

Jenis beban yang akan diperhitungkan dalam pembebanan antara lain.

$$F \leq \frac{f \cdot W}{\Sigma H}; F = 1,5 \quad [2.72]$$

Dimana:

f = koefisien gesek antara beton dengan tanah = 0,6

W = beban vertikal yang bekerja pada dinding yaitu berat sendiri abutment, berat tanah dan beban struktur bangunan beton

$W = W_{\text{total}} + R_D$

W_{total} = berat sendiri abutment dan berat tanah diatas abutment

R_D = beban struktur bangunan atas yang dipikul oleh abutment (reaksi di perletakan)

$$\Sigma H = E_{a1} + E_{a2} + E_{w1} + E_{w2} \quad [2.73]$$

b. Kontrol penurunan

c. Kontrol guling

Kontrol guling tidak perlu dilakukan apabila kontrol geser dan kontrol penurunan sudah memenuhi syarat. Untuk menganalisa kontrol guling kita harus menemukan satu titik acuan. Titik acuan dapat diambil dengan melihat bagian terluar dari pangkal *abutment*. Titik tersebut kemudian dinamakan sebagai titik pusar guling. Langkah selanjutnya adalah menghitung momen penahanan dan momen guling. Kontrol guling lalu dihitung dengan menguraikan persamaan sebagai berikut.

$$\text{Syarat} = \frac{\Sigma \text{Momen penahan}}{\Sigma \text{Momen guling}} \geq 2,2 \quad [2.74]$$

2.10 Perumusan Daya Dukung Pondasi Tiang Pancang

Secara umum perumusan kapasitas daya dukung tiang pancang dapat dirumuskan sebagai berikut:

$$Q_{\text{ult}} = Q_s + Q_p \quad [2.75]$$

di mana:

Q_{ult} = Daya dukung *ultimate* pondasi tiang pancang

Q_s = Gesekan sepanjang keliling tiang pancang (*friction*).

Q_p = Daya dukung ujung tiang pancang (*end bearing capacity*)

BAB V

PERENCANAAN DAN PEMILIHAN ALTERNATIF

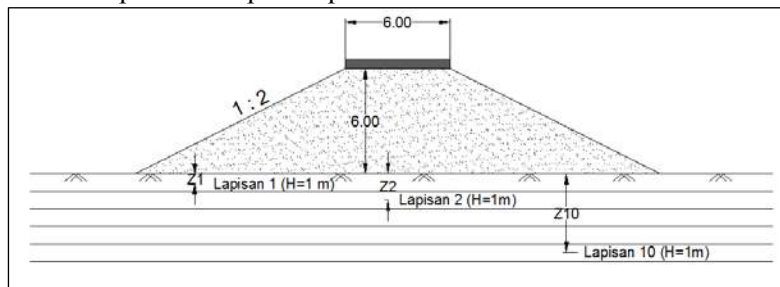
5.1 Perhitungan Besar Pemampatan (Sc) dan Tinggi Timbunan Awal ($H_{initial}$)

5.1.1 Alternatif 1 (timbunan miring)

Suatu lapisan tanah dianggap mudah memampat apabila lapisan tanah tersebut berupa tanah lempung atau lanau dengan rentang konsistensi sangat lunak sampai dengan menengah (*very soft to medium stiff soil*).

Timbunan oprit direncanakan untuk sebelum dan sesudah sungai memiliki ketinggian yang sama. Dari profil lapisan tanah dasar yang ditunjukkan pada Bab IV, dapat diketahui kedalaman tanah asli yang direncanakan untuk sebelum dan sesudah sungai adalah 10 meter yang merupakan lapisan *medium stiff* dengan SPT = 10. Maka, perhitungan besar *settlement* harus ditinjau sampai kedalaman 10 meter (*compressible soil*).

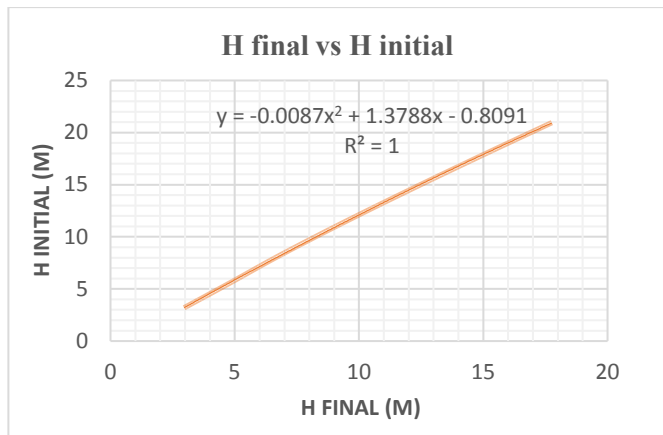
Tanah dasar dibagi dalam lapisan-lapisan dengan ketebalan $H=1$ m seperti ditampilkan pada Gambar 5.1



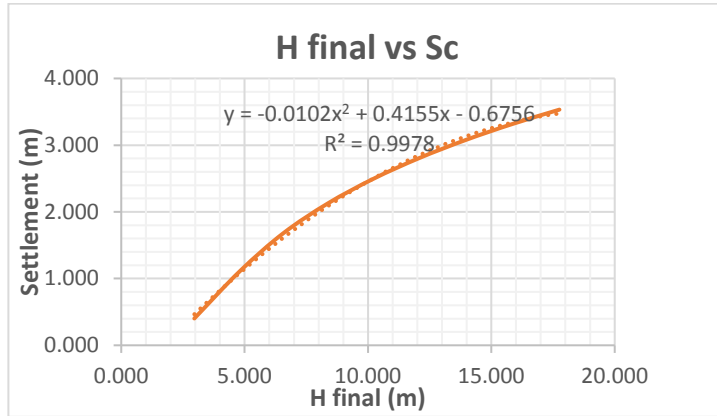
Gambar 5.1 Pembagian Lapisan Tanah Dasar Setiap 1m

Untuk mendapatkan nilai $H_{initial}$ dilakukan perhitungan pemampatan konsolidasi akibat variasi pemberian beban timbunan (q), beban merata *pavement* jalan, dan beban *traffic*. Variasi beban timbunan yang diberikan yaitu:

$$h \text{ timbunan} = 3 \text{ m} \rightarrow q = 3 \times \gamma_{timb} = 5.4 \text{ t/m}$$



Gambar 5.2 Grafik Hubungan H_{final} dengan $H_{initial}$ (Alternatif 1)



Gambar 5.3 Grafik Hubungan H_{final} dengan Settlement (Alternatif 1)

Dari grafik-grafik di atas dapat ditentukan $H_{initial}$ dan *settlement* yang terjadi dengan H_{final} yaitu:

1. Pada zona 1 ($H_{final} = 6$ meter)
 $H_{initial} = 7,2$ m dan *settlement* = 1,45 m
2. Pada zona 2 ($H_{final} = 5,3$ meter)
 $H_{initial} = 6,3$ m dan *settlement* = 1,24 m

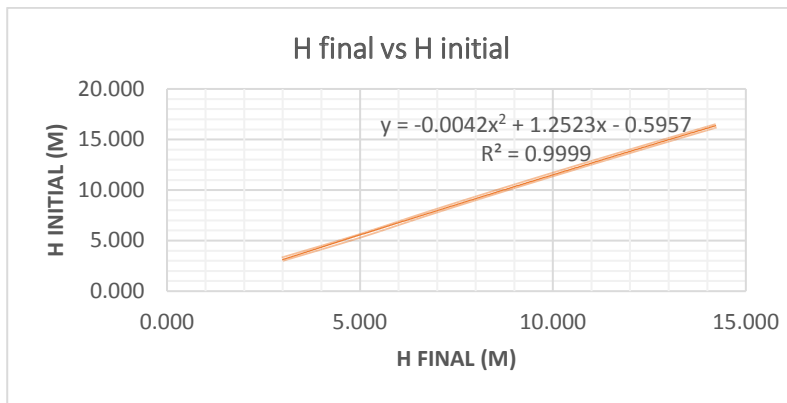
5.1.2 Alternatif 2 (timbunan tegak)

Untuk perhitungan tinggi timbunan awal dan *settlement* pada alternatif 2 sama seperti langkah pada sub bab 5.1.1. Perhitungan perubahan tegangan akibat beban timbunan digunakan grafik pada Gambar 2.2. Hasil perhitungan besar timbunan awal dan *settlement* akibat timbunan, *traffic*, dan *pavement* ditampilkan pada Tabel 5.2

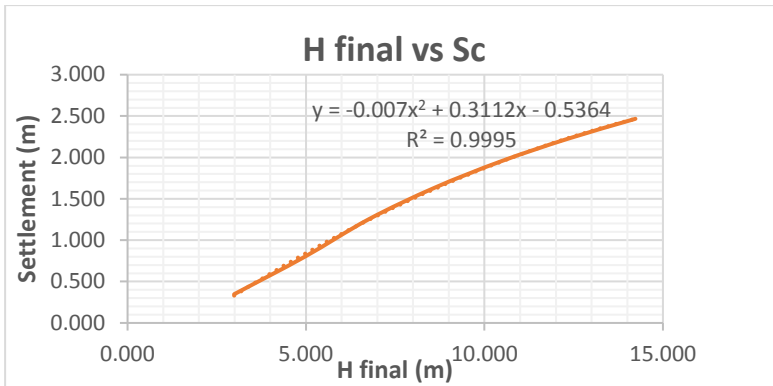
Tabel 5.2 Hasil Perhitungan $H_{initial}$, $H_{Bongkar Traffic}$ dan H_{final}
Alternatif 2

| q timb t/m ² | Sc akibat q timb (m) | $H_{initial}$ (m) | $H_{bongkarTraffic}$ (m) | Tebal Pavement (m) | Sc akibat pavement (m) | H_{final} (m) | Sc total (m) |
|----------------------------|----------------------------|----------------------|-----------------------------|--------------------------|------------------------------|--------------------|-----------------|
| Direncanakan | Perhitungan (A+B)/t | Grafik | Direncanakan | Perhitungan | C-B-D+E-F | B+F | |
| A | B | C | D | E | G | H | |
| 5.4 | 0.289 | 3.160 | 0.278 | 0.450 | 0.058 | 2.986 | 0.347 |
| 9 | 0.749 | 5.416 | 0.111 | 0.450 | 0.049 | 4.957 | 0.798 |
| 12.6 | 1.212 | 7.673 | 0.111 | 0.450 | 0.041 | 6.759 | 1.253 |
| 16.2 | 1.597 | 9.887 | 0.111 | 0.450 | 0.035 | 8.594 | 1.632 |
| 19.8 | 1.920 | 12.067 | 0.111 | 0.450 | 0.032 | 10.454 | 1.952 |
| 23.4 | 2.198 | 14.221 | 0.111 | 0.450 | 0.028 | 12.334 | 2.226 |
| 27 | 2.443 | 16.357 | 0.111 | 0.450 | 0.024 | 14.229 | 2.467 |

(Sumber: Hasil Analisis)



Gambar 5.4 Grafik Hubungan H_{final} dengan $H_{initial}$ (Alternatif 2)



Gambar 5.5 Grafik Hubungan H_{final} dengan Settlement
(Alternatif 2)

Dari grafik-grafik di atas dapat ditentukan $H_{inisial}$ dan *settlement* yang terjadi dengan H_{final} yaitu:

3. Pada zona 1 ($H_{final} = 6$ meter)
 $H_{inisial} = 6,8$ m dan *settlement* = 1,1 m
4. Pada zona 2 ($H_{final} = 5,3$ meter)
 $H_{inisial} = 5,9$ m dan *settlement* = 0,9 m

Perhitungan tinggi timbunan awal dan *settlement* untuk timbunan tegak ditampilkan pada Lampiran 3.

5.2 Perencanaan Perbaikan Tanah dengan PVD

5.2.1 Perhitungan waktu konsolidasi (t)

Waktu konsolidasi (t) dihitung dengan Persamaan 2.19. Berikut adalah contoh perhitungan untuk tanah dasar sebelum sungai:

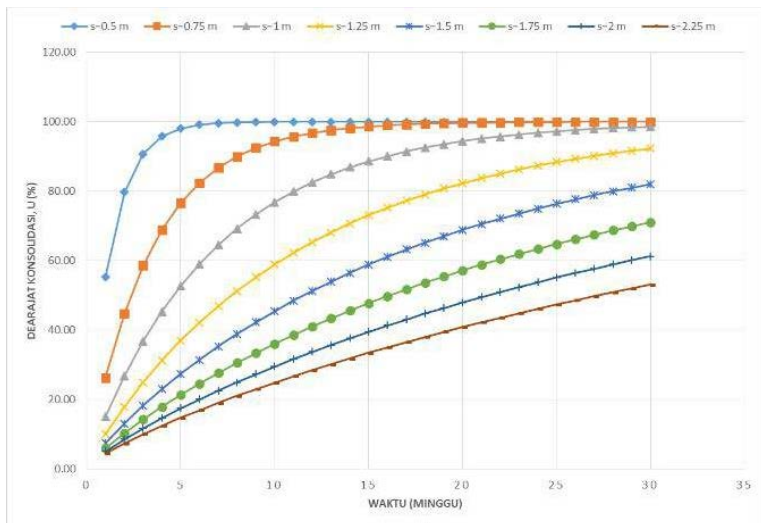
$$t = \frac{Tv \cdot H_{dr}^2}{Cv}$$

dengan:

$$T_v = 0,848 \text{ (Tabel 2.3)}$$

$$H_{dr} = 10 \text{ meter}$$

$$Cv = \frac{H_1 + H_2 + \dots + H_n}{\left(\frac{H_1}{\sqrt{Cv_1}} + \frac{H_2}{\sqrt{Cv_2}} + \dots + \frac{H_n}{\sqrt{Cv_n}} \right)^2} \text{ (Persamaan 2.20)}$$



Gambar 5.6 Grafik Hubungan Derajat Konsolidasi (U) dengan Waktu Timbunan dengan PVD Pola Segiempat

Dari Gambar 5.6 didapat jarak antar PVD pola segiempat yang dipakai adalah 1 m.

5.2.2.2 Perencanaan PVD dengan pola segitiga

Berikut adalah contoh perhitungan perencanaan PVD pola segi empat untuk sisi sebelum sungai dengan jarak $S = 1$ m:

- Menghitung Fungsi Hambatan PVD ($F(n)$) menggunakan Persamaan 2.23 atau Persamaan 2.24.

D = diameter ekivalen dari lingkaran tanah yang merupakan daerah pengaruh dari *vertical drain*.

$$= 1,05 \times S \text{ (Lampiran 1)}$$

$$= 1,05 \times 1$$

$$= 1,05 \text{ m}$$

$$dw = 2(a+b)/\pi$$

$$= 2(100+3)/\pi$$

$$= 51,5 \text{ mm}$$

$$n = D/dw$$

$$= 1,05 \text{ m} / 0,0515 \text{ m}$$

$$\begin{aligned}
 &= 2 \times 0,000000085 \text{ m}^2/\text{detik} \\
 &= 0,00000017 \text{ m}^2/\text{minggu}
 \end{aligned}$$

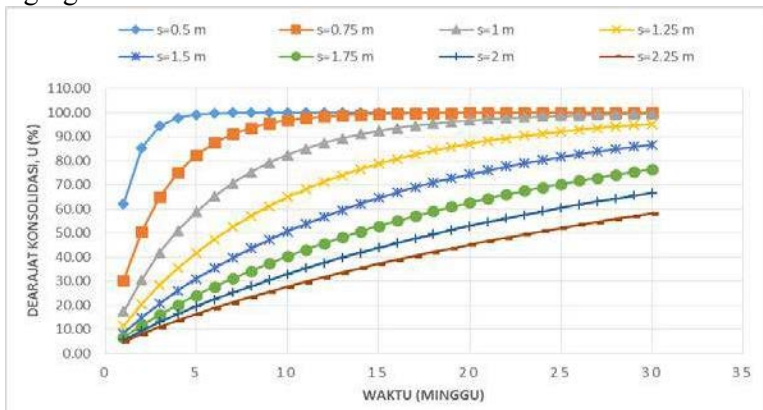
$$\begin{aligned}
 Uh &= \left[-\left(\frac{1}{e^{\left(\frac{tx8xCh}{D^2x2xFn} \right)}} \right) \right] \\
 &= \left[-\left(\frac{1}{e^{\left(\frac{1x604800x8x00000017}{105^2x2x2265} \right)}} \right) \right] \\
 &= 0,152
 \end{aligned}$$

- Menghitung Derajat Konsolidasi rata-rata (Urata-rata) dengan PVD menggunakan Persamaan 2.30

$$\begin{aligned}
 U_{\text{rata-rata}} &= (1-(1-Uh)) \times (1-Uv) \times 100\% \\
 &= (1-(1-0,152)) \times (1-0,0256) \times 100\% \\
 &= 17,37\%
 \end{aligned}$$

Perhitungan diatas dilakukan untuk seluruh jarak PVD (S). Hasil perhitungan derajat konsolidasi rata-rata (U) untuk pola segitiga pada setiap S ditampilkan pada Lampiran 4.

Pada Gambar 5.7 ditampilkan grafik hubungan waktu dengan derajat konsolidasi dengan menggunakan PVD pola segitiga.



Gambar 5.7 Grafik Hubungan Derajat Konsolidasi (U) dengan Waktu Timbunan dengan PVD Pola Segitiga

Dari Gambar 5.7 didapat jarak antar PVD pola segitiga yang dipakai adalah 1,25 m.

Jadi, PVD yang dipakai adalah menggunakan pola segitiga dengan jarak 1,25 m, karena jarak yang lebih besar menghasilkan kuantitas yang lebih sedikit, yang mengakibatkan biaya yang lebih sedikit pula.

5.3 Alternatif Perencanaan Perkuatan Geotextile (Alternatif 1)

Seperti yang telah dijelaskan pada Sub bab 2.6 bahwa sebelum merencanakan perkuatan perlu diketahui terlebih dahulu tinggi H_{kritis} dan peningkatan Cu akibat penimbunan bertahap.

5.3.1 Penentuan tinggi timbunan kritis (H_{cr})

Tinggi timbunan kritis (H_{cr}) yaitu tinggi timbunan yang masih mampu dipikul oleh tanah dasar agar timbunan tidak mengalami kelongsoran. Berikut hasil perhitungan H_{kritis} timbunan dengan Persamaan 2.31 yaitu:

$SF = 1,4$ (Berdasarkan Tabel 2.4)

$N_c = 5,956$ (Interpolasi dari Tabel 2.8)

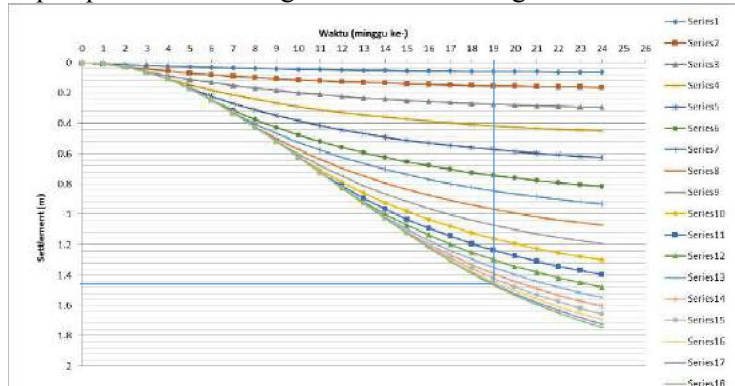
$$H_{cr} = \frac{c N_c}{SF \gamma_{timb}}$$

$$H_{cr} \quad \text{_____} \\ H_{cr} \quad m$$

Dengan penimbunan bertahap setiap 0,4 meter/minggu, didapatkan waktu 6 minggu untuk mencapai tinggi timbunan setinggi H_{kritis} . Nilai Cu diasumsikan meningkat setelah tanah diberi beban timbunan setinggi H_{kritis} , maka perlu dihitung berapa besar peningkatan Cu selama 6 minggu. Untuk tahap berikutnya, daya dukung tanah dasar harus cukup kuat menahan timbunan berikutnya, untuk itu harus dilakukan pengecekan daya dukung tanah terlebih dahulu.

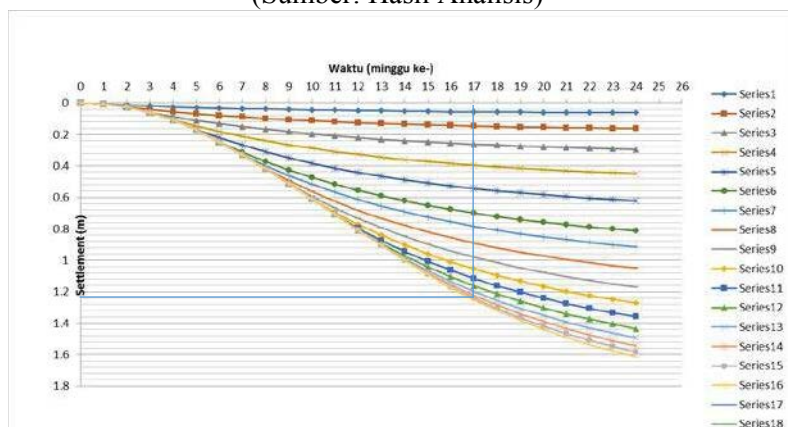
5.3.3 Pemampatan konsolidasi pada penimbunan bertahap

Pemampatan akibat penimbunan bertahap dihitung dengan Persamaan 2.16, Persamaan 2.17, dan Persamaan 2.18 yang selanjutnya didapatkan gambar grafik hubungan antara waktu atau tahapan penimbunan dengan *Settlement* sebagai berikut :



Gambar 5.8 *Settlement* tiap tahapan timbunan PVD segitiga dengan jarak 1,25 m untuk zona 1 (Alternatif 1).

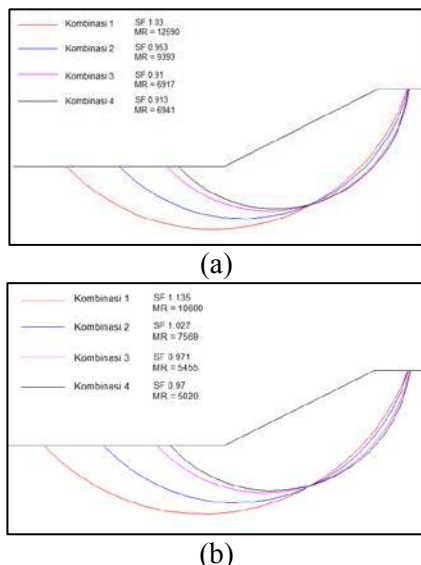
(Sumber: Hasil Analisis)



Gambar 5.9 *Settlement* tiap tahapan timbunan PVD segitiga dengan jarak 1,25 m untuk zona 2 (Alternatif 1).

(Sumber: Hasil Analisis)

Dari seluruh hasil analisis tersebut, diperoleh gambar kelongsoran untuk timbunan oprit pada zona 1 dan zona 2 pada Gambar 5.11.



Gambar 5.11 Gambar Hasil Analisis Kelongsoran a) zona 1; b) zona 2 pada Alternatif 1

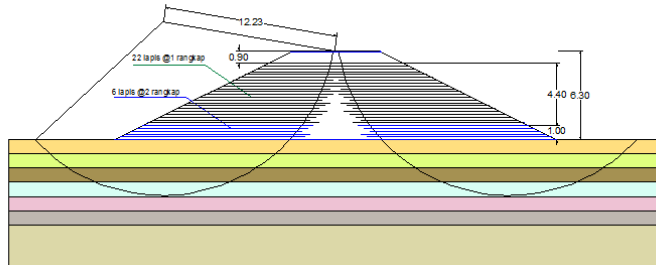
Karena SF terkritis dari kedua zona tersebut kurang dari 1,4 maka diperlukan perkuatan timbunan.

Dari Gambar 5.11 diperoleh kombinasi yang dipakai yaitu kombinasi 3 untuk zona 1 dan zona 2, karena membutuhkan jumlah lapisan *geotextile* paling banyak. Berikut contoh perhitungan perkuatan *geotextile*:

Pada perencanaan ini digunakan *geotextile* dengan *Tensile Strength* (T_{ult}) sebesar 52 kN/m.

$$T_{allow} = T_{ultimate} \left[\frac{1}{FS_{id} \times FS_{cr} \times FS_{cd} \times FS_{bd}} \right]$$

$$\begin{array}{ll} FS_{id} & = 1.5 \\ FS_{cr} & = 2.0 \end{array} \quad \begin{array}{ll} FS_{cd} & = 1.25 \\ FS_{bd} & = 1.15 \end{array}$$



(b)

Gambar 5.12 Sketsa Pemasangan *Geotextile* (a)Zona 1,(b) Zona 2

5.4 Alternatif Perencanaan Kombinasi *Geogrid* dan *Multiblocks* sebagai Perkuatan Timbunan Arah Melintang

Pada Alternatif perkuatan timbunan arah melintang menggunakan kombinasi *geogrid* dan *multiblocks* ini direncanakan timbunan tegak dengan lebar 6 meter untuk zona 1 maupun zona 2. Karena timbunan merupakan timbunan tegak maka diperlukan adanya perkuatan sejak awal penimbunan. Dalam pelaksanaannya, penimbunan dilakukan secara bertahap sehingga perlu dihitung peningkatan Cu akibat pentahapan tersebut, serta diperlukan adanya pengecekan apakah dengan peningkatan Cu pada minggu tertentu dapat menahan timbunan pada tahapan di minggu tersebut. Nilai Cu nantinya digunakan untuk mengecek apakah kontrol daya dukung tanah dasar terpenuhi.

5.4.1 Perhitungan peningkatan kohesi *undrained* (Cu)

Seperti halnya pada sub bab 5.3.2, dilakukan percobaan dengan menggunakan program *geoslope* untuk mencari tau pada ketinggian timbunan berapa tanah dasar mulai longsor dengan peningkatan nilai Cu akibat timbunan bertahap. Berdasarkan percobaan didapatkan bahwa tanah longsor ketika tanah dasar diberi timbunan setinggi 4,8 m dengan peningkatan Cu di minggu ke-12. Hasil perhitungan peningkatan Cu di minggu ke 12 dapat

dilihat pada Tabel 5.13. Nilai Cu nantinya digunakan untuk mengecek apakah kontrol daya dukung tanah dasar terpenuhi dan untuk merencanakan perkuatan tambahan jika daya dukung tetap tidak memenuhi.

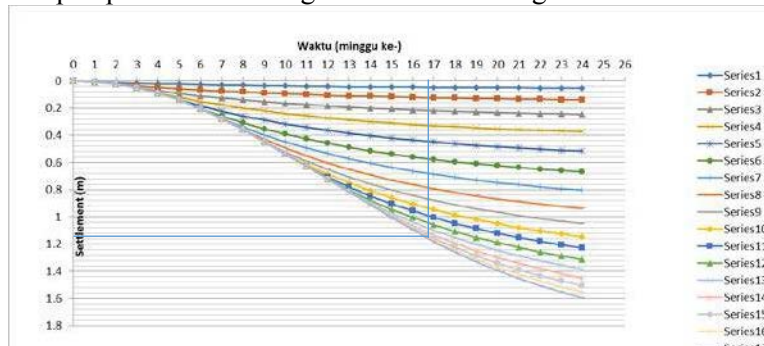
Tabel 5.13 Hasil Perhitungan Peningkatan Cu minggu ke-12

| $\Sigma\sigma'_p$ | Kedalaman | | | PI | Cu lama (Ardana & Mochtar) | Cu baru kg/cm ² |
|-------------------|-----------|---|--------------------|--------|-------------------------------|-------------------------------|
| | (m) | % | kg/cm ² | | | |
| 0.371 | 0 | - | 1 | 37.282 | 0.108 | 0.122 |
| 0.419 | 1 | - | 2 | 37.282 | 0.108 | 0.128 |
| 0.449 | 2 | - | 3 | 37.282 | 0.108 | 0.132 |
| 0.484 | 3 | - | 4 | 34.553 | 0.104 | 0.139 |
| 0.517 | 4 | - | 5 | 34.553 | 0.104 | 0.143 |
| 0.557 | 5 | - | 6 | 34.553 | 0.104 | 0.148 |
| 0.603 | 6 | - | 7 | 34.938 | 0.371 | 0.154 |
| 0.653 | 7 | - | 8 | 34.938 | 0.371 | 0.161 |
| 0.709 | 8 | - | 9 | 34.938 | 0.371 | 0.168 |
| 0.761 | 9 | - | 10 | 38.059 | 0.292 | 0.172 |

(Sumber: Hasil Analisis)

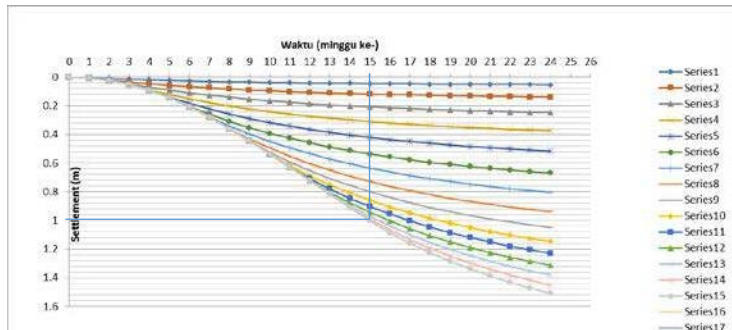
5.4.2 Pemampatan konsolidasi pada penimbunan bertahap

Pemampatan akibat penimbunan bertahap dihitung dengan Persamaan 2.16, Persamaan 2.17, dan Persamaan 2.18 yang selanjutnya didapatkan gambar grafik hubungan antara waktu atau tahapan penimbunan dengan *Settlement* sebagai berikut :



Gambar 5.13 *Settlement* tiap tahapan timbunan PVD segitiga dengan jarak 1,25 m untuk zona 1 (Alternatif 2).

(Sumber: Hasil Analisis)



Gambar 5.14 *Settlement* tiap tahapan timbunan PVD segitiga dengan jarak 1,25 m untuk zona 2 (Alternatif 2).

(Sumber: Hasil Analisis)

Berdasarkan Gambar 5.13 dan Gambar 5.14 didapatkan waktu yang diperlukan untuk menyelesaikan pemampatan konsolidasi pada penimbunan bertahap zona 1 adalah 17 minggu dan untuk zona 2 adalah 15 minggu. Hasil Perhitungan *settlement* akibat timbunan bertahap tiap lapisan pada zona 1 dan zona 2 dapat dilihat pada Lampiran 7.

5.4.3 Perencanaan *multiblocks* dan *geogrid*

Perhitungan *geogrid* sebagai dinding penahan tanah dapat dihitung menggunakan prinsip *geotextile* sebagai dinding penahan tanah. Penentuan jarak antar *geogrid* mengacu pada tinggi 1 unit block yaitu 0,2 m sehingga jarak antar *geogrid* harus berjarak kelipatan 0,2 m. Berikut contoh perhitungan perencanaan *geogrid* pada zona 1:

1. Perhitungan kuat tarik ijin menggunakan Persamaan 2.36

$$\text{Geogrid : } T_{ult} = 59,17 \text{ kN/m}$$

$$T_{allow} = \frac{59,17}{1,5 \times 2 \times 1 \times 1}$$

$$T_{allow} = 19,72 \text{ kN/m}$$

$$\text{Geotextile : } T_{ult} = 52 \text{ kN/m}$$

$$T_{allow} = \frac{52}{1,5 \times 2 \times 1 \times 1}$$

$$T_{allow} = 17,33 \text{ kN/m}$$

$$= \frac{14 - 1131 \times 4853\,404}{6\,53 \times 13\,254}$$

$$= 1,5 \text{ buah / meter tegak lurus gambar} \approx 2 \text{ buah/m}$$

(n asumsi konvergen dengan n hitung)

maka dipakai jumlah cerucuk per meter sebanyak 2 buah.

Rekpitulasi hasil perhitungan kebutuhan cerucuk untuk zona 1 ditampilkan pada Tabel 5.26 dan untuk zona 2 ditampilkan pada Tabel 5.27.

Tabel 5.26 Rekpitulasi Hasil Perhitungan Kebutuhan Cerucuk
Zona 1

| No | SF minimum | ΔMR | Dimensi cerucuk | Kebutuhan cerucuk (1 sisi) | Kebutuhan cerucuk (2 sisi) | Jarak antar cerucuk | La (atas bidang longsor) | Lb (bawah bidang longsor) | L total |
|----|------------|-------------|-----------------|----------------------------|----------------------------|---------------------|--------------------------|---------------------------|---------|
| | | | | (kNm) | (m) | (buah/m) | (buah/m) | (m) | (m) |
| 1 | 1.139 | 1218.428 | 20x20 | 2 | 4 | 1 | 3.6 | 2 | 6 |
| 2 | 1.259 | 403.9051 | 20x20 | 1 | 2 | 1 | 2.43 | 2 | 5 |
| 3 | 1.131 | 1305.566 | 20x20 | 2 | 4 | 1 | 3.65 | 2 | 6 |
| 4 | 1.179 | 862.4061 | 20x20 | 2 | 4 | 1 | 3.15 | 2 | 6 |

(Sumber: Hasil Analisis)

Tabel 5.27 Rekpitulasi Hasil Perhitungan Kebutuhan Cerucuk
Zona 2

| No | SF minimum | ΔMR | Dimensi cerucuk | Kebutuhan cerucuk (1 sisi) | Kebutuhan cerucuk (2 sisi) | Jarak antar cerucuk | La (atas bidang longsor) | Lb (bawah bidang longsor) | L total |
|----|------------|-------------|-----------------|----------------------------|----------------------------|---------------------|--------------------------|---------------------------|---------|
| | | | | (kNm) | (m) | (buah/m) | (buah/m) | (m) | (m) |
| 1 | 1.204 | 854.5698 | 20x20 | 2 | 4 | 1 | 3.98 | 2 | 6 |
| 2 | 1.211 | 792.6763 | 20x20 | 2 | 4 | 1 | 3.89 | 2 | 6 |
| 3 | 1.285 | 271.6148 | 20x20 | 1 | 2 | 1 | 2.95 | 2 | 5 |
| 4 | 1.252 | 435.7016 | 20x20 | 2 | 4 | 1 | 3.47 | 2 | 6 |

(Sumber: Hasil Analisis)

Perhitungan percobaan kebutuhan cerucuk masing-masing SF ditampilkan pada Lampiran 8. Gambar pemasangan perkuatan kombinasi *multiblocks*, *geogrid*, dan cerucuk dapat dilihat pada Lampiran 11.

5.5 Perancaan *Geotextile Wall* Arah Memanjang Jalan

Direncanakan *geotextile* sebagai dinding penahan pada timbunan ke arah sungai. *Geotextile* yang digunakan sama dengan *geotextile* sebagai perkuatan timbunan arah melintang yaitu tipe

Tabel 5.28 Hasil Perhitungan Kebutuhan Cerucuk Arah Memanjang jalan (Alternatif 1)

| No | SF minimum | ΔMR | Dimensi cerucuk | Kebutuhan cerucuk | Jarak antar cerucuk | La (atas bidang longsor) | Lb (bawah bidang longsor) | L total |
|----|------------|-------------|-----------------|-------------------|---------------------|--------------------------|---------------------------|---------|
| | | (kNm) | (m) | (buah/m) | (m) | (m) | (m) | (m) |
| 1 | 0.868 | 4077.155 | 20x20 | 4 | 1 | 6.1 | 2.5 | 9 |
| 2 | 1.273 | 486.0618 | 20x20 | 1 | 1 | 4 | 2.5 | 7 |
| 3 | 0.907 | 5422.022 | 20x20 | 4 | 1 | 5.7 | 2.5 | 9 |
| 4 | 0.985 | 3755.771 | 20x20 | 3 | 3 | 4.8 | 2.5 | 8 |

(Sumber: Hasil Analisis)

Tabel 5.29 Hasil Perhitungan Kebutuhan Cerucuk Arah Memanjang jalan (Alternatif 2)

| No | SF minimum | ΔMR | Dimensi cerucuk | Kebutuhan cerucuk | Jarak antar cerucuk | La (atas bidang longsor) | Lb (bawah bidang longsor) | L total |
|----|------------|-------------|-----------------|-------------------|---------------------|--------------------------|---------------------------|---------|
| | | (kNm) | (m) | (buah/m) | (m) | (m) | (m) | (m) |
| 1 | 1.029 | 3132.733 | 20x20 | 3 | 1 | 6 | 2.5 | 9 |
| 2 | 1.042 | 2505.588 | 20x20 | 3 | 1 | 5.9 | 2.5 | 9 |
| 3 | 1.348 | 192.5813 | 20x20 | 1 | 1 | 4 | 2.5 | 7 |
| 4 | 1.032 | 3332.468 | 20x20 | 3 | 1 | 5.9 | 2.5 | 9 |

(Sumber: Hasil Analisis)

Perhitungan kebutuhan cerucuk masing-masing SF ditampilkan pada Lampiran 9. Gambar perencanaan perkuatan arah memanjang jalan dengan *geotextile* dan cerucuk ditampilkan pada Lampiran 11.

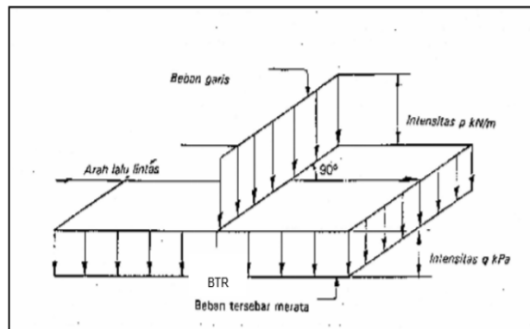
5.6 Perencanaan *Abutment* dan Pondasi *Abutment*

5.6.1 Pembebanan *abutment*

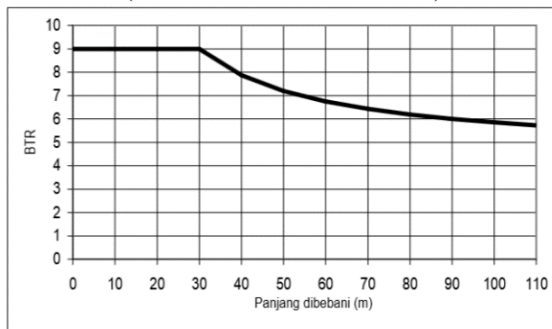
Perencanaan beban yang bekerja pada struktur bangunan bawah jembatan berdasarkan pada RSNI T-02-2005 dan SNI 2833-2008. Dimana beban yang bekerja di kombinasikan untuk menghasilkan nilai beban seperti kondisi kenyataannya.

5.6.1.1 Data perencanaan

| | |
|---|----------|
| Panjang girder (L) | = 30 m |
| Lebar jalan (b) | = 4,5 m |
| Tebal plat lantai jembatan (t_s) | = 0.2 m |
| Tebal lapisan aspal + overlay (t_a) | = 0.05 m |
| Lebar abutment (B) | = 6 m |



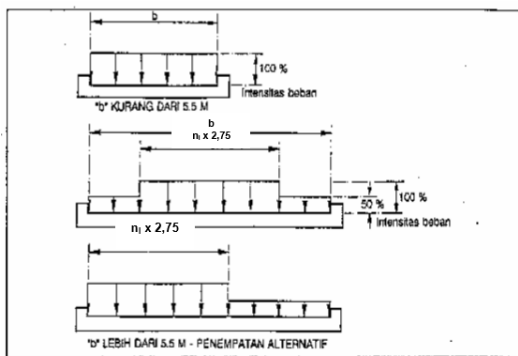
Gambar 5.21 Beban Lajur "D"
(sumber: RSNI T-02-2005)



Gambar 5.22 BTR vs Panjang yang Dibebani
(sumber: RSNI T-02-2005)

Untuk panjang bentang 30 m, menurut Gambar 5.22 memiliki nilai q BTR sebesar 9 kPa.

Menurut RSNI T-02-2005, bila lebar jalur kendaraan jembatan kurang atau sama dengan 5,5 m, maka beban "D" harus ditempatkan pada seluruh jalur dengan intensitas 100 % seperti tercantum dalam Pasal 6.3.1. dan Gambar 5.23.



Gambar 5.23 Penyebaran Pembebanan pada Arah Melintang
(sumber: RSNI T-02-2005)

Maka beban terbagi rata yang terjadi pada *abutment*:

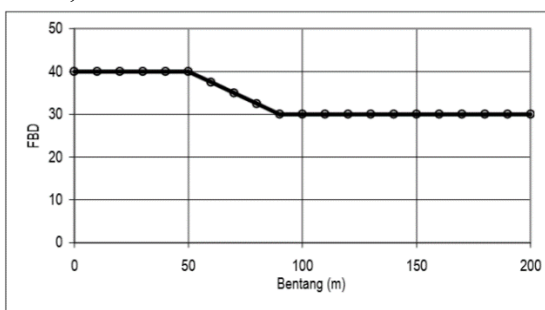
$$P_{BTR} = 0,5 \times q \times b \times L$$

$$P_{BTR} = 0,5 \times 9 \times 4,5 \times 30$$

$$P_{BTR} = 607,5 \text{ kN}$$

Untuk perhitungan Beban Garis Terpusat (BGT) mempunyai intensitas $p = 49 \text{ kN/m}$ dan memiliki faktor beban dinamis (FBD) yang bergantung pada bentang jembatan. Faktor beban dinamis untuk BGT diambil sebagai berikut :

- FBD = 0.4, untuk $L \leq 50 \text{ m}$
- $FBD = 0.4 - 0.0025*(L - 50)$, untuk $50 < L < 90 \text{ m}$
- FBD = 0.3, untuk $L \geq 90 \text{ m}$



Gambar 5.24 Faktor Beban Dinamis (FBD) untuk Beban BGT
(sumber: RSNI T-02-2005)

Untuk panjang bentang 30 m, menurut Gambar 5.24 memiliki nilai FBD sebesar 40%. Besarnya BGT dapat dilihat pada perhitungan berikut.

$$P_{BGT} = 0,5 \times P \times (1+DLA) \times b$$

$$P_{BGT} = 0,5 \times 49 \times (1+0,4) \times 4,5$$

$$P_{BGT} = 154,35 \text{ kN}$$

Maka besarnya beban lajur D pada abutment adalah sebesar:

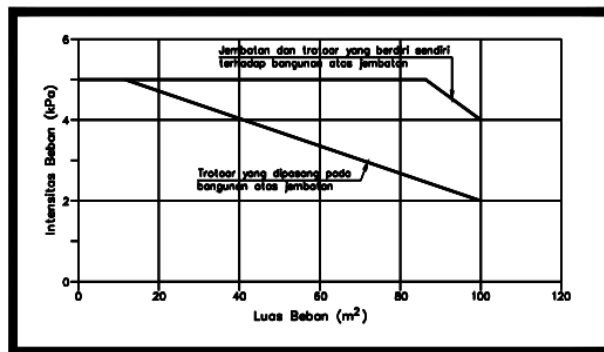
$$P_{TD} = (P_{BTR} + P_{BGT}) = (607,5 + 154,35) = 761,85 \text{ kN}$$

Eksentrisitas beban thd. Pondasi, $e = -0,13 \text{ m}$. Momen pada fondasi akibat beban lajur "D",

$$M_{TD} = P_{TD} * e = - 99,04 \text{ kNm}$$

b. Beban pejalan kaki (TP)

Jembatan jalan raya direncanakan mampu memikul beban hidup merata pada trotoar yang besarnya tergantung pada luas bidang trotoar yang didukungnya. A = luas bidang trotoar yang dibebani pejalan kaki (m^2). Besarnya beban hidup merata q untuk beban pejalan kaki dapat dilihat pada Gambar 5.25



Gambar 5.25 Pembebanan Pejalan Kaki
(sumber: RSNI T-02-2005)

Dengan data jembatan:

$$\text{Lebar trotoar, } (b_1) = 0,5 \text{ m}$$

$$\text{L jembatan, } (L) = 30 \text{ m}$$

$$\text{Luas trotoar yang di bebani pejalan kaki} = 15 \text{ m}^2$$

Sehingga di dapat,

$$\text{Beban vertikal merata, } (q) = 5 \text{ kN/m}^2$$

$$\text{Jumlah trotoar, } (n) = 2 \text{ buah}$$

Beban akibat pejalan kaki, (T_{TP})

$$T_{TP} = b_1 \times q \times n \times L$$

$$= 0.5 \times 5 \times 2 \times 30$$

$$= 150 \text{ kN}$$

$$P_{TP} \text{ abutment} = 0.5 \times 150 = 75 \text{ kN}$$

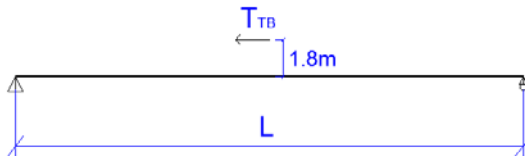
Eksentrisitas beban terhadap pondasi, $e = -0.13 \text{ m}$

Momen pada fondasi akibat beban pedestrian,

$$M_{TP} = P_{TP} \times e = -9,75 \text{ tm}$$

c. Gaya rem (TB)

Pengaruh penggereman dari lalu-lintas diperhitungkan sebagai gaya dalam arah memanjang dan dianggap bekerja pada permukaan lantai jembatan. Pengaruh penggereman dari lalu-lintas diperhitungkan sebagai gaya dalam arah memanjang dan dianggap bekerja pada jarak 1.8 m diatas permukaan lantai jembatan. Besarnya gaya rem arah memanjang jembatan diperhitungkan senilai dengan 5% dari 100% beban lajur D yang dianggap ada pada semua jalur lalu-lintas tanpa dikalikan dengan DLA dalam satu jurusan. Beban lajur D disini tidak direduksi bila panjang bentang melebihi 30 m, digunakan $q = 9 \text{ kPa}$.



Gambar 5.26 Gaya Akibat Beban Rem

$$\text{Panjang girder, } (L) = 30 \text{ m}$$

$$\text{Beban merata pada girder, } (P_{TD}) = 1215 \text{ kN}$$

$$\text{Beban terpusat pada girder tanpa DLA, } (P_{TD}) = 220,5 \text{ kN}$$

$$\text{Gaya rem satu girder, } (T_{TB})$$

$$T_{TB} = 5\% \times (1215 + 220,5) \\ = 71,775 \text{ kN}$$

lengan terhadap titik putar pondasi, (ya) = 8,3 m

Momen akibat gaya rem, (M_{TB}) = $T_{TB} \times ya$ = 595,733 kNm

5.6.1.4 Aksi lingkungan

Beban akibat aksi lingkungan yaitu terdiri dari beban temperatur (ET), beban angin (EW), dan beban gempa (EQ).

a. Pengaruh temperatur (ET)

Untuk memperhitungkan tegangan maupun deformasi struktur yang timbul akibat pengaruh temperatur, diambil perbedaan temperatur yang besarnya setengah dari selisih antara temperatur maksimum dan temperatur minimum rata-rata pada lantai jembatan.

Tabel 5.34 Temperatur Jembatan Rata-rata Nominal

| Tipe Bangunan Atas | Temperatur Jembatan Rata-rata Minimum (1) | Temperatur Jembatan Rata-rata Maksimum |
|---|---|--|
| Lantai beton di atas gelagar atau boks beton. | 15°C | 40°C |
| Lantai beton di atas gelagar, boks atau rangka baja. | 15°C | 40°C |
| Lantai pelat baja di atas gelagar, boks atau rangka baja. | 15°C | 45°C |
| CATATAN (1) Temperatur jembatan rata-rata minimum bisa dikurangi 5°C untuk lokasi yang terletak pada ketinggian lebih besar dari 500 m diatas permukaan laut. | | |

(sumber: RSNI-T02-2005)

Tabel 5.35 Koefisien Perpanjangan Akibat Suhu

| Bahan | Koefisien Perpanjangan Akibat Suhu | Modulus Elastisitas MPa |
|--------------------|------------------------------------|-------------------------|
| Baja | 12×10^{-6} per °C | 200.000 |
| Beton: | | |
| Kuat tekan <30 MPa | 10×10^{-6} per °C | 25.000 |
| Kuat tekan >30 MPa | 11×10^{-6} per °C | 34.000 |
| Aluminium | 24×10^{-6} per °C | 70.000 |

(sumber: RSNI-T02-2005)

Temperatur rata-rata min, (T_{min}) = 15°C

Temperatur rata-rata max, (T_{max}) = 40°C

V_w = Kecepatan angin rencana (m/det) = 30 m/s

A_b = luas bidang samping jembatan (m^2)

Tabel 5.36 Koefisien Seret C_w

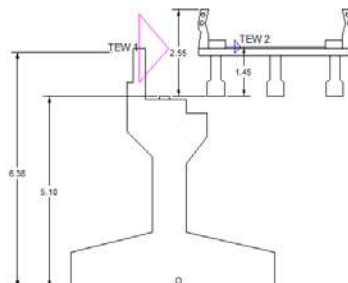
| Tipe Jembatan | C_w |
|---|----------|
| Bangunan atas masif: (1), (2) | |
| $b/d = 1.0$ | 2.1 (3) |
| $b/d = 2.0$ | 1.5 (3) |
| $b/d \geq 6.0$ | 1.25 (3) |
| Bangunan atas rangka | 1.2 |
| CATATAN (1) b = lebar keseluruhan jembatan dihitung dari sisi luar sandaran d = tinggi bangunan atas, termasuk tinggi bagian sandaran yang masif | |
| CATATAN (2) Untuk harga antara dari b / d bisa diinterpolasi linier | |
| CATATAN (3) Apabila bangunan atas mempunyai superelevasi, C_w harus dinaikkan sebesar 3 % untuk setiap derajat superelevasi, dengan kenaikan maksimum 2,5 % | |

(sumber: RSNI-T02-2005)

Tabel 5.37 Kecepatan Angin Rencana V_w

| Keadaan Batas | Lokasi | |
|---------------|-------------------------|--------------------|
| | Sampai 5 km dari pantai | > 5 km dari pantai |
| Daya layan | 30 m/s | 25 m/s |
| Ultimit | 35 m/s | 30 m/s |

(sumber: RSNI-T02-2005)



Gambar 5.28 Skema Pengaruh Angin terhadap Struktur Jembatan

Luas samping bangunan atas, (A_{b1})

- **Beban gempa arah memanjang jembatan (arah x)**

Tinggi breast wall, Lb = 4,1 m

Ukuran penampang breast wall, b = By = 6 m

h = 0,75 m

Inersia penampang breast wall, Ic = $1/12 \times b \times h^3$

= 0,281 m⁴

Mutu beton, K - 300 fc' = 0,83 x K / 10 = 24,9 MPa

Modulus elastis beton, Ec = $4700 \times \sqrt{fc'} = 23452,953$ MPa

Ec = 23452952,91 kPa

Nilai kekakuan, Kp = $3 \times Ec \times Ic / Lb^3 = 287117,555$ kN/m

Percepatan gravitasi, g = 9,81 m/det²

Berat sendiri struktur atas = 1062,001 kN

Berat mati tambahan = 125,325 kN

Beban sendiri struktur bawah = 2451,071 kN

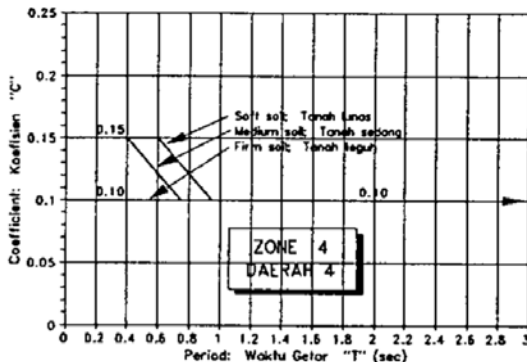
$$WTP = (1062,001 + 125,325) + 1/2 \times 2451,071 = 2705,717 \text{ kN}$$

$$T = 2 \times \pi \times \sqrt{WTP / (g \times Kp)} = 0,185 \text{ detik}$$

Tabel 5.38 Kondisi Tanah untuk Koefisien Geser Dasar

| Jenis Tanah | Tanah Teguh | Tanah Sedang | Tanah Lunak |
|---|-------------|----------------------|-------------|
| Untuk seluruh jenis tanah | ≤ 3 m | > 3 m sampai 25 m | > 25 m |
| Untuk tanah kohesif dengan kekuatan geser <i>undrained</i> rata-rata tidak melebihi 50 kPa: | ≤ 6 m | > 6 m sampai 25 m | > 25 m |
| Pada tempat dimana hamparan tanah salah satunya mempunyai sifat kohesif dengan kekuatan geser <i>undrained</i> rata-rata lebih besar dari 100 kPa, atau tanah berbutir yang sangat padat: | ≤ 9 m | > 9 m sampai 25 m | > 25 m |
| Untuk tanah kohesif dengan kekuatan geser <i>undrained</i> rata-rata tidak melebihi 200 kPa: | ≤ 12 m | > 12 m sampai 30 m | > 30 m |
| Untuk tanah berbutir dengan ikatan matrik padat: | ≤ 20 m | > 20 m sampai 40 m | > 40 m |
| CATATAN (1) Ketentuan ini harus digunakan dengan mengabaikan apakah tiang pancang diperpanjang sampai lapisan tanah keras yang lebih dalam | | | |

(Sumber: RSNI-T02-2005)



Gambar 5.29 Koefisien Geser Dasar (C)
(Sumber: RSNI-T02-2005)

Kondisi tanah dasar termasuk sedang. Lokasi di wilayah gempa 4. Koefisien geser dasar, $C = 0,15$

Untuk struktur jembatan dengan daerah sendi plastis beton bertulang , faktor jenis struktur dihitung dengan rumus :

$$S = 1 \times F$$

dengan, $F = 1,25 - 0,025 \times n$ dan F harus diambil ≥ 1 F = faktor perangkaan, n = jumlah sendi plastis yang menahan deformasi arah lateral.

Untuk, $n = 1$ maka :

$$F = 1,25 - 0,025 \times n = 1,225$$

$$S = 1 \times F = 1,225$$

Koefisien beban gempa horisontal,

$$Kh = C \times S = 0,18375$$

Tabel 5.39 Faktor kepentingan

| | |
|--|-----|
| 1. Jembatan memuat lebih dari 2000 kendaraan/hari, jembatan pada jalan raya utama atau arteri dan jembatan dimana tidak ada rute alternatif. | 1,2 |
| 2. Seluruh jembatan permanen lainnya dimana rute alternatif tersedia, tidak termasuk jembatan yang direncanakan untuk pembebanan lalu lintas yang dikurangi. | 1,0 |
| 3. Jembatan sementara (misal: Bailey) dan jembatan yang direncanakan untuk pembebanan lalu lintas yang dikurangi sesuai dengan pasal 6,5. | 0,8 |

(Sumber: RSNI-T02-2005)

| | |
|--|---------------------------|
| Faktor tipe struktur, S | = 1 x F |
| | = 1,225 |
| Koefisien beban gempa horisontal, Kh = C x S | |
| | = 0,1225 |
| Faktor kepentingan, I | = 1,0 |
| Wt | = Pms + Pma = 3714,816 kN |
| Gaya gempa, T _{EQ} | = Kh x I x Wt |
| | = 455,065 kN |
| Momen gempa, M _{EQ} | = 1104,447 kNm |

5.6.1.5 Kombinasi beban kerja

Perhitungan kombinasi pembebanan pada *abutment* merupakan lanjutan perhitungan dari pembebanan *abutment*. Kombinasi beban-beban itu sendiri dapat dilihat pada Tabel 5.41. Tabel 5.41 Kombinasi Beban untuk Perencanaan Tegangan Kerja

| Aksi | Kombinasi No. | | | | | | |
|---|---------------|-----|-----|-----|-----|-----|-----|
| | 1 | 2 | 3 | 4 | 5 | 6 | 7 |
| Aksi tetap | X | X | X | X | X | X | X |
| Beban lalu lintas | X | X | X | X | - | - | X |
| Pengaruh temperatur | - | X | - | X | - | - | - |
| Arus/hanyutan/hidro/daya apung | X | X | X | X | X | - | - |
| Beban angin | - | - | X | X | - | - | - |
| Pengaruh gempa | - | - | - | - | X | - | - |
| Beban tumbukan | - | - | - | - | - | - | X |
| Beban pelaksanaan | - | - | - | - | - | X | - |
| Tegangan berlebihan yang diperbolehkan r_{os} | nil | 25% | 25% | 40% | 50% | 30% | 50% |

(Sumber: RSNI-T02-2005)

Perincian masing-masing hasil kombinasi dapat dilihat pada Lampiran 9. Rekap hasil perhitungan kombinasi pembebanan dapat dilihat pada Tabel 5.43.

Spesifikasi *Micropile*



DATTA HARGA MINI PILE

| No | Type | Btr | Mutu Beton | Tulangan Besi Ø | Sengatang | Dimensi | Berat Beton P (beton) | Transportasi | Harga | | | | | | Data pemancangan m = 350 m³ | |
|----|------------|-----|------------|-----------------|-----------|---------|--------------------------|--------------|--------------|----------|-----------|------------|------------|------------|--------------------------------|--------------|
| | | | | | | | | | Vertikal (m) | min 10 m | per 1 m | per 2 m | per 3 m | per 6 m | | |
| 1 | Segi Empat | | K - 450 | 10 | 6 | 16 | 6 | 64 Kg | 21 | tu | 11520 /M | Rp 99.429 | Rp 198.958 | Rp 298.288 | Rp 596.576 | Rp 28.295.71 |
| 1 | Segi Empat | | K - 450 | 12 | 6 | 16 | 6 | 64 Kg | 23 | tu | 11520 /M | Rp 109.739 | Rp 288.582 | Rp 377.873 | Rp 655.146 | Rp 30.000.00 |
| 1 | Segi Empat | | K - 450 | 13 | 6 | 16 | 6 | 64 Kg | 23 | tu | 11520 /M | Rp 116.894 | Rp 279.788 | Rp 344.663 | Rp 689.355 | Rp 30.000.00 |
| No | Type | Btr | Mutu Beton | Tulangan Besi Ø | Sengatang | Dimensi | Berat Beton P (beton) | Transportasi | Vertikal (m) | min 10 m | per 1 m | per 2 m | per 3 m | per 6 m | Data pemancangan n = 350 m³ | |
| 1 | Segi Empat | | K - 450 | 10 | 6 | 18 | 6 | 77.8 Kg | 26 | tu | 14580 /M | Rp 165.363 | Rp 332.726 | Rp 349.088 | Rp 658.708 | Rp 28.295.71 |
| 1 | Segi Empat | | K - 450 | 12 | 6 | 18 | 6 | 77.8 Kg | 27 | tu | 14580 /M | Rp 178.225 | Rp 352.448 | Rp 378.574 | Rp 757.348 | Rp 30.000.00 |
| 1 | Segi Empat | | K - 450 | 13 | 6 | 18 | 6 | 77.8 Kg | 28 | tu | 14580 /M | Rp 181.038 | Rp 355.556 | Rp 395.463 | Rp 793.957 | Rp 30.000.00 |
| No | Type | Btr | Mutu Beton | Tulangan Besi Ø | Sengatang | Dimensi | Berat Beton P (beton) | Transportasi | Vertikal (m) | min 10 m | per 1 m | per 2 m | per 3 m | per 6 m | Data pemancangan n = 350 m³ | |
| 1 | Segi Empat | | K - 450 | 12 | 5 | 20 | 6 | 96.0 Kg | 33 | tu | 18.000 /M | Rp 45.050 | Rp 290.000 | Rp 435.449 | Rp 870.299 | Rp 28.295.71 |
| 1 | Segi Empat | | K - 450 | 13 | 5 | 20 | 6 | 96.0 Kg | 34 | tu | 18.000 /M | Rp 151.653 | Rp 303.306 | Rp 451.959 | Rp 903.388 | Rp 30.000.00 |
| 1 | Segi Empat | | K - 450 | 16 | 8 | 20 | 6 | 96.0 Kg | 36 | tu | 18.000 /M | Rp 184.655 | Rp 369.310 | Rp 553.966 | Rp 1.073.930 | Rp 30.000.00 |

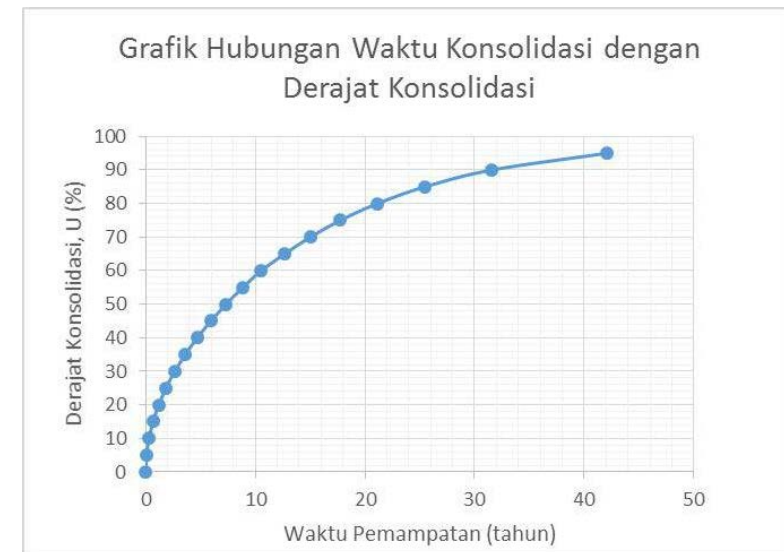
Gambar 10. Spesifikasi dan Daftar Harga *Micropile* ATA BETON

LAMPIRAN 4
WAKTU KONSOLIDASI DAN PERCEPATAN WAKTU KONSOLIDASI DENGAN PVD

Tabel 1. Hasil Perhitungan Waktu Konsolidasi Alami

| Derajat Konsolidasi U(%) | Hdr (cm) | Cv (cm ² /detik) | T | t (detik) | t tahun |
|--------------------------|----------|-----------------------------|----------|-------------|------------|
| 0 | 1000 | 0.000850958 | 0 | 0 | 0 |
| 5 | | | 0.001963 | 2307393.058 | 0.07316695 |
| 10 | | | 0.007854 | 9229572.23 | 0.29266782 |
| 15 | | | 0.017671 | 20766537.52 | 0.65850258 |
| 20 | | | 0.031416 | 36918288.92 | 1.17067126 |
| 25 | | | 0.049087 | 57684826.44 | 1.82917385 |
| 30 | | | 0.070686 | 83066150.07 | 2.63401034 |
| 35 | | | 0.096211 | 113062259.8 | 3.58518074 |
| 40 | | | 0.125664 | 147673155.7 | 4.68268505 |
| 45 | | | 0.159043 | 186898837.7 | 5.92652326 |
| 50 | | | 0.19635 | 230739305.8 | 7.31669539 |
| 55 | | | 0.237583 | 279194560 | 8.85320142 |
| 60 | | | 0.282743 | 332264600.3 | 10.5360414 |
| 65 | | | 0.340385 | 400001376.4 | 12.6839604 |
| 70 | | | 0.402846 | 473402564.7 | 15.0114969 |
| 75 | | | 0.476722 | 560217744.1 | 17.7643881 |
| 80 | | | 0.567139 | 666470936.5 | 21.1336548 |
| 85 | | | 0.683707 | 803455126.3 | 25.4773949 |
| 90 | | | 0.848 | 996523498 | 31.5995528 |
| 95 | | | 1.128861 | 1326576060 | 42.0654509 |
| 100 | | | | | |

Gambar 1. Grafik Hubungan Waktu Konsolidasi dengan Derajat Konsolidasi



BAB VI

KESIMPULAN DAN SARAN

6.1 Kesimpulan

Dalam perencanaan Tugas Akhir ini didapatkan beberapa kesimpulan yaitu :

1. Besar Pemampatan yang terjadi pada alternatif 1 yaitu zona 1 = 1,45 m dan zona 2 = 1,24 m. Pada alternatif 2 untuk zona 1 = 1,1 m dan zona 2 = 0,9 m.
2. Didapatkan tinggi timbunan awal pada alternatif 1 yaitu pada zona 1 = 7,2 m dan zona 2 = 6,3 meter. Pada Alternatif 2 didapatkan untuk zona 1 = 6,8 m dan zona 2 = 5,9 m.
3. Waktu yang dibutuhkan untuk mencapai derajat konsolidasi 90% ($U=90\%$) adalah 31,6 tahun. Waktu tersebut sangat lama, sehingga dibutuhkan perencanaan *Prefabricated Vertical Drain* (PVD) untuk percepatan waktu konsolidasi dan didapatkan PVD pola segitiga jarak 1,25 m. Lama *preloading* diberikan sampai pemampatan selesai membutuhkan waktu : Alternatif 1:

Zona 1 selama 19 minggu, dan zona 2 selama 17 minggu.

Alternatif 2:

Zona 1 selama 17 minggu, dan zona 2 selama 15 minggu.

4. Pada perencanaan perkuatan tanah dengan *geotextile* didapatkan hasil sebagai berikut:

- Pada Zona 1:

Jarak antar layer = 0,2 meter

Jumlah lapis *geotextile* = 16 lapis (2 rangkap) dan 17 lapis (1 rangkap)

Luas total *geotextile* = 28637 m²

- Pada Zona 2:

Jarak antar layer = 0,2 meter

Jumlah lapis *geotextile* = 6 lapis (2 rangkap) dan 22 lapis (1 rangkap)

$$\text{Luas total geotextile} = 742400 \text{ m}^2$$

5. Pada perencanaan perkuatan kombinasi *multiblocks* dan *geogrid*, dibutuhkan tambahan perkuatan berupa *micropiles*/cerucuk. Berikut hasil perhitungan perencanaan perkuatan kombinasi *multiblocks*, *geogrid*, dan *micropiles*/cerucuk:

- Pada Zona 1:

Kebutuhan *geotextile* 5 lapis ($Sv = 0,2 \text{ m}$)

Kebutuhan *geogrid* → 7 lapis ($S_v = 0,4 \text{ m}$)

3 lapis ($S_v = 0,8 \text{ m}$)

Setiap 0,2 m tetap diberi *geogrid* sepanjang 1 m masing-masing sisi.

$$\text{Luas total } geogrid = 1656 \text{ m}^2$$

Luas total *multiblocks* = 278,4 m²

Kebutuhan cerucuk = 4 buah/m (2 sisi)

Panjang cerucuk = 6 meter

- Pada Zona 2:

Kebutuhan *geotextile* 3 lapis ($Sv = 0,4 \text{ m}$)

Kebutuhan *geogrid* → 5 lapis ($S_v = 0,4 \text{ m}$)

3 lapis ($Sv = 0.8$ m)

Setiap 0,2 m tetap diberi *geogrid* sepanjang 1 m masing-masing sisi.

$$\text{Luas total } geogrid = 78000 \text{ m}^2$$

Luas total *multiblocks* = 9200 m²

Kebutuhan cerucuk = 4 buah/m (2 sisi)

6. Pada perencanaan *geotextile wall* sebagai dinding penahan di belakang abutmen dibutuhkan perkuatan tambahan berupa *micropile*/cerucuk. Berikut hasil perhitungan perencanaan *geotextile wall*:

- Pada Alternatif 1:

Kebutuhan *geotextile* = 19 lapis

Luas total *geotextile* = 1311 m²

Kebutuhan cerucuk = 4 buah/m

Panjang cerucuk = 9 meter

- Pada Alternatif 2:
 - Kebutuhan *geotextile* = 17 lapis
 - Luas total *geotextile* = 969 m²
 - Kebutuhan cerucuk = 3 buah/m
 - Panjang cerucuk = 9 meter
7. Perencanaan *abutment* dapat dilihat pada Lampiran 11. Hasil perhitungan tiang pancang didapatkan:
- Untuk diameter 30 cm:
- Jumlah tiang = 20 buah
 - Panjang per tiang = 17 meter
- Untuk diameter 40 cm:
- Jumlah tiang = 12 buah
 - Panjang per tiang = 16,5 meter
8. Dari kedua alternatif perkuatan timbunan dipilih alternatif 1 karena menghasilkan biaya termurah yaitu Rp22.430.170.775,-, sedangkan untuk tiang pancang dipilih diameter 40 cm dengan biaya material Rp91.200.000,-

6.2 Saran

Setelah dilakukan perhitungan dan analisa, penulis memberikan saran yaitu :

1. Pada perencanaan oprit dan *abutment* selanjutnya dapat digunakan turap pada saat pelaksanaan sebagai dinding penahan tanah timbunan oprit agar pekerjaan oprit dan pemancangan pondasi *abutment* dapat dilakukan bersamaan.
2. Perencanaan timbunan sebaiknya mempertimbangkan lokasi di sekitar.
3. Pada perhitungan biaya untuk perencanaan selanjutnya dapat diperhitungkan biaya pelaksanaan.

Halaman ini sengaja dikosongkan

DAFTAR PUSTAKA

- Badan Standardisasi Nasional (BSN). *Standar Pembebatan untuk Jembatan (RSNI T - 02 - 2005)*
- Das, Braja M. 1988. *Mekanika Tanah: Prinsip-Prinsip Rekayasa Geoteknik jilid 1.* Diterjemahkan oleh Noor Endah dan Indrasurya B.M. Surabaya: Erlangga.
- Das, Braja M. 1988. *Mekanika Tanah: Prinsip-Prinsip Rekayasa Geoteknik jilid 2.* Diterjemahkan oleh Noor Endah dan Indrasurya B.M. Surabaya: Erlangga.
- Harinaldi. 2005. *Prinsip-prinsip Statistik untuk Teknik dan Sains.* Jakarta: Erlangga.
- Kementerian Pekerjaan Umum Dirjen Bina Marga Direktorat Bina Teknik. 2010. *Perencanaan Teknik Jembatan.* Jakarta : Kementerian Pekerjaan Umum.
- Look, Burt. 2007. *Handbook of Geotechnical Investigation and Design Tables.* London: Taylor & Francis Group.
- Mochtar, Noor Endah. 2012. *Modul Ajar Metode Perbaikan Tanah.* Surabaya: Jurusan Teknik Sipil FTSP-ITS.
- Rusdiansyah, dan Mochtar. 2016. *Tugas Akhir : Studi Peningkatan Tahanan Geser Tanah Kohesif Akibat Adanya Perkuatan Tiang-tiang Vertikal Berdasarkan Pemodela di Laboratorium.* Surabaya: Jurusan Teknik Sipil ITS.
- Wahyudi, Herman. 1999. *Daya Dukung Pondasi Dalam.* Surabaya: ITS Press.
- Naval Facilities. 1971. *Design Manual: Foundations, and Earth Structures (NACFAC DM-7).* Alexandria: US Department of the Navy.

Halaman ini sengaja dikosongkan

BIODATA PENULIS



Penulis dilahirkan di Pasuruan 26 Juli 1994, dengan nama lengkap Rif'atul Ummah. Penulis merupakan anak ketiga dari 3 bersaudara. Pendidikan formal yang telah ditempuh oleh penulis yaitu TK RA Miftahul Ulum Bajangan, SDN Gondang Rejo, SMP Negeri 2 Pasuruan, SMA Negeri 1 Pasuruan. Setelah lulus dari SMA Negeri 1 Pasuruan, penulis mengikuti SNMPTN (Seleksi Nasional Masuk Perguruan Tinggi Negeri) dan diterima di Jurusan Teknik Sipil FTSP ITS Surabaya pada tahun 2012 dan terdaftar dengan NRP. 3112100064.

Selama berkuliah di Jurusan Teknik Sipil ITS, penulis sangat tertarik pada Bidang Geoteknik. Penulis sempat aktif pada organisasi Himpunan Mahasiswa Sipil (HMS) dan kepanitiaan di lingkup jurusan, fakultas, maupun institut. Penulis dapat dihubungi melalui *email* rifatulummah55@gmail.com



TUGAS AKHIR (RC14-1501)

**PERENCANAAN ULANG TIMBUNAN OPRIT DAN
ABUTMENT JEMBATAN PLASMA BATU TUGU-
PLASMA TANJUNG KURUNG, PALEMBANG (YANG
MENGALAMI KERUNTUHAN SEBELUMNYA PADA
SAAT PELAKSANAAN)**

RIF' ATUL UMMAH
NRP 3112 100 064

Dosen Pembimbing
Musta'in Arif, S.T., M.T.
Prof. Ir. Noor Endah, M.Sc., Ph.D.

JURUSAN TEKNIK SIPIL
Fakultas Teknik Sipil dan Perencanaan
Institut Teknologi Sepuluh Nopember
Surabaya 2016



FINAL PROJECT (RC14-1501)

***RE-DESIGN OPRIT EMBANKMENT AND BRIDGE
ABUTMENT PLASMA BATU TUGU-PLASMA TANJUNG
KURUNG, PALEMBANG (COLLAPSE AT
IMPLEMENTATION)***

RIF' ATUL UMMAH
NRP 3112 100 064

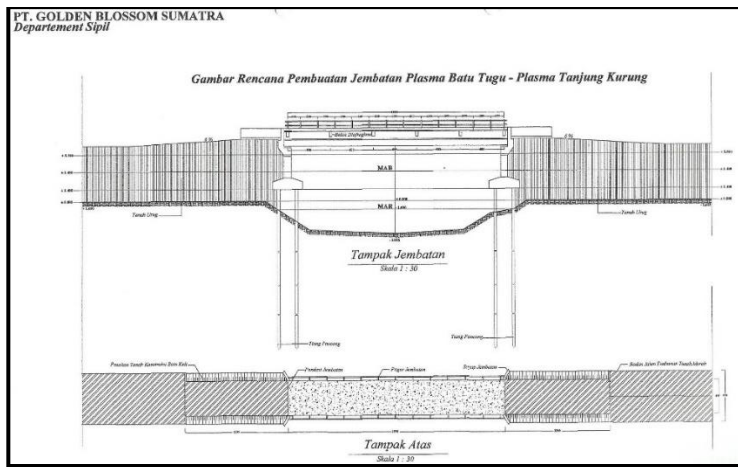
Academic Supervisor
Musta'in Arif, S.T.,M.T.
Prof. Ir. Noor Endah, M.Sc.,Ph.D.

DEPARTMENT OF CIVIL ENGINEERING
Faculty of Civil Engineering and Planning
Institut Teknologi Sepuluh Nopember
Surabaya 2016

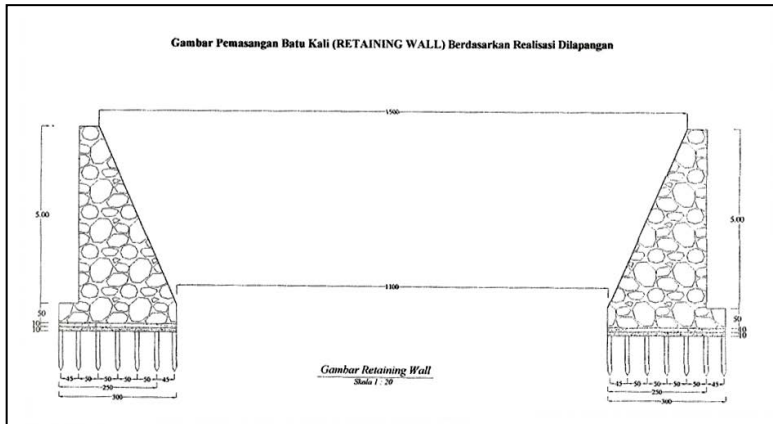


Gambar 1.1 Peta Desa Prambatan, Kecamatan Abab, Kabupaten Muara Enim, Propinsi Sumatera Selatan (Sumber : www.google.com)

Jembatan Plasma Batu Tugu - Plasma Tanjung Kurung mempunyai panjang 25 meter dan lebar 4.5 meter (Gambar 1.2) dengan jenis jembatan beton girder. Tinggi timbunan oprit direncanakan setinggi 6 meter agar jalan tidak terendam ketika tinggi air mencapai kondisi muka air banjir dengan pemasangan batu kali sebagai dinding penahan /*retaining wall* setinggi 5 meter (Gambar 1.3). Jembatan ini menggunakan jenis pondasi tiang pancang direncanakan bentuk persegi ukuran 35 cm x 35 cm panjang 12 meter dengan adanya penyambungan. Pemancangan dilakukan dengan menggunakan *drop hammer* dan ponton (Gambar 1.4).



Gambar 1.2 Tampak Samping dan Denah Rencana Jembatan Panjang 25 m & Lebar 4.50 m



Gambar 1.3 Retaining Wall di tepi Timbunan Jalan 5 m
(Sumber : PT. GBS)

BAB II

TINJAUAN PUSTAKA

2.1 Pengambilan Data Tanah

Data tanah merupakan data yang diperoleh dari hasil penyelidikan lapangan dan hasil tes laboratorium. Salah satu tes penyelidikan tanah di lapangan yaitu menggunakan tes boring dan SPT (*Standart Penetration Test*). Pengambilan *sample* data tanah dilakukan di beberapa titik pada beberapa kedalaman untuk mengetahui jenis dan pengetesan parameter tanah di laboratorium. Dalam menentukan jenis dan parameter tanah untuk perencanaan perlu dilakukan analisa dengan pembuatan stratigrafi dan pemilihan dengan metode statistik.

2.2 Analisa Parameter Tanah

2.2.1 Pembuatan stratigrafi

Stratigrafi tanah dibuat untuk mengetahui kondisi tanah dasar di lokasi pembangunan. Sebelum membuat stratigrafi tanah, perlu dilakukan pendekatan statistik sederhana terhadap data-data tanah yang dimiliki. Pendekatan statistik yang digunakan adalah dengan pengambilan keputusan berdasarkan koefisien varian (CV) dari suatu distribusi nilai parameter tanah.

Beberapa persamaan statistik yang digunakan antara lain (ITS,1998) :

- Rata –rata

$$\bar{X} = \frac{\sum_{n=1}^1 X}{n} \quad [2.1]$$

- Standar Deviasi

$$STD = \sqrt{\frac{\sum(x-U)^2}{n}} \quad [2.2]$$

- Koefisien Varian

$$CV = \frac{STD}{U} \times 100\% \quad [2.3]$$

Dimana distribusi sebaran suatu nilai dapat diterima jika harga koefisien varian (CV) dari sebaran tersebut bernilai lebih kecil atau sama dengan 30%. Apabila nilai koefisien varian (CV) lebih besar dari pada 30%, maka perlu dilakukan pembagian layer

2.3 Permasalahan Pembangunan Konstruksi di Atas Tanah Lunak

Tanah lempung merupakan jenis tanah lunak yang kurang menguntungkan untuk digunakan sebagai lapisan tanah dasar pondasi, karena daya dukung tanah ini sangat rendah dan memiliki kemampuan amplitudo tinggi. Tanah lunak atau sangat lunak memiliki daya dukung sangat rendah, yang menyebabkan tanah tidak mampu mendukung tinggi timbunan rencana beserta beban lalu lintasnya, sehingga memerlukan perbaikan tanah dasar yang cukup.

2.4 Pemampatan Konsolidasi (*Consolidation Settlement*)

2.4.1 Besar konsolidasi

2.4.1.1 Besar konsolidasi penimbunan langsung

Penimbunan timbunan setinggi H di atas tanah lunak akan menyebabkan terjadinya penambahan tegangan pada tanah dasar sehingga mengakibatkan adanya konsolidasi. Terdapat dua jenis konsolidasi berdasarkan tegangan yang diakibatkan, yaitu :

1. Tanah terkonsolidasi secara normal, *Normally Consolidated Soil* (NC-Soil), di mana tegangan *overburden* efektif pada saat ini adalah merupakan tegangan maksimum yang pernah dialami tanah tersebut.
2. Tanah terkonsolidasi lebih, *Over Consolidated Soil* (OC-Soil), di mana tegangan *overburden* efektif saat ini adalah lebih kecil daripada tegangan yang pernah dialami oleh tanah yang bersangkutan sebelumnya.

Tanah disebut sebagai NC-Soil atau OC-soil tergantung dari harga *Over Consolidation Ratio* (OCR), yang didefinisikan dengan persamaan berikut ini:

$$OCR = \frac{\sigma_c'}{\sigma_o'} \quad [2.6]$$

di mana:

σ_c' = effective past overburden pressure

σ_o' = effective overburden pressure

NC-Soil mempunyai harga $OCR = 1$ dan OC soil mempunyai harga $OCR > 1$.

- H₁, H₂, ..., H_n = tebal lapisan-lapisan tanah lempung yang mengalami pemampatan.
- C_{v1}, C_{v2}, ..., C_{vn} = harga C_v untuk masing-masing lapisan tanah yang bersangkutan.

Tabel 2.3 Variasi Faktor Waktu Terhadap Derajat Konsolidasi

| Derajat Konsolidasi U% | Faktor Waktu T _v |
|------------------------|-----------------------------|
| 0 | 0 |
| 10 | 0,008 |
| 20 | 0,031 |
| 30 | 0,071 |
| 40 | 0,126 |
| 50 | 0,197 |
| 60 | 0,287 |
| 70 | 0,403 |
| 80 | 0,567 |
| 90 | 0,848 |
| 100 | - |

(sumber: Braja M. Das, 1985)

2.5 Percepatan Waktu Konsolidasi dengan *Vertical Drain*

Lamanya waktu konsolidasi disebabkan oleh lapisan tanah lunak yang tebal sehingga menyebabkan lamanya proses keluarnya aliran air pori secara vertikal. Untuk mempercepat proses konsolidasi maka diperlukan suatu metode *vertical drain*. Salah satu penerapan metode *vertical drain* yaitu dengan menggunakan *Prefabricated Vertical Drain (PVD)*.

2.5.1 Percepatan waktu konsolidasi dengan PVD

Penentuan waktu konsolidasi didasarkan teori aliran pasir vertikal menurut Barron (1948), menggunakan asumsi teori Terzaghi tentang konsolidasi linier satu dimensi. Penentuan waktu konsolidasi dari teori Barron (1948) adalah :

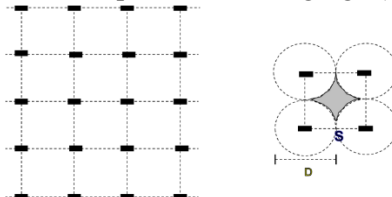
$$t = \left(\frac{D^2}{8.C_h} \right) F(n) \cdot \ln \left(\frac{1}{1 - U_h} \right) \quad [2.21]$$

dimana :

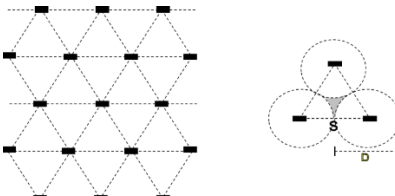
t = waktu untuk menyelesaikan konsolidasi primer

D = diameter *equivalen* dari lingkaran tanah yang merupakan daerah pengaruh PVD

Harga $D = 1,13 \times s$ untuk pola susunan bujur sangkar (Gambar 2.4)
Harga $D = 1,05 \times s$ untuk pola susunan segitiga (Gambar 2.5)



Gambar 2.4 Pola Susunan PVD Bujur Sangkar
(sumber : Mochtar, 2000)



Gambar 2.5 Pola Susunan PVD Segitiga
(sumber : Mochtar, 2000)

Ch = koefisien konsolidasi tanah horisontal
 $= (kh/kv) \cdot Cv$

Kh/kv = perbandingan antara koefisien permeabilitas tanah dasar arah horizontal dan vertikal, untuk tanah lempung yang jenuh air, harga (kh/kv) berkisar antara 2 sampai 5.
(sumber : Mochtar, 2000)

$F(n)$ = faktor hambatan yang disebabkan karena jarak antara PVD

Oleh Hansbo (1979) dalam Mochtar (2000) harga $F(n)$ didefinisikan sebagai berikut :

$$F(n) = \left(\frac{n^2}{n^2 - 1^2} \right) \left[\ln(n) - \left(\frac{3n^2 - 1}{4n^2} \right) \right] \quad [2.22]$$

Atau :

$$F(n) = \left(\frac{n^2}{n^2 - 1^2} \right) \left[\ln(n) - 3/4 - \left(\frac{1}{4n^2} \right) \right] \quad [2.23]$$

Dimana :

$$a = \frac{1.781 - Tv}{0.933} \quad [2.28]$$

$$\pi = 3.14$$

- Untuk Uv antara 0 s/d 60% :

$$Uv = \left(2 \sqrt{\frac{Tv}{\pi}} \right) \times 100\% \quad [2.29]$$

- Derajat konsolidasi rata-rata U dapat dicari dengan cara :

$$U = [1 - (1-Uh) (1-Uv)] \times 100\% \quad [2.30]$$

2.6 Daya Dukung Tanah Dasar

Pada Sub bab 2.3 telah disebutkan bahwa permasalahan pada tanah lunak yaitu memiliki daya dukung yang rendah. Apabila tanah dasar tidak mampu untuk menerima beban di atasnya maka diperlukan perkuatan untuk meningkatkan daya dukung tanah dasar. Perkuatan yang dapat digunakan untuk meningkatkan daya dukung tanah diantaranya yaitu perkuatan dengan *geotextile*, *micropile*, atau kombinasi *multiblocks* dan *geogrid*. Sebelum menghitung perkuatan, perlu diketahui tinggi timbunan yang mampu ditahan oleh tanah dasar atau bisa disebut tinggi kritis (H_{cr}).

Seperti yang telah dijelaskan sebelumnya pada Sub bab 2.4.1.2 bahwa penimbunan di lapangan dilakukan secara bertahap, maka perlu dihitung peningkatan daya dukung akibat penambahan beban timbunan bertahap dimana umur timbunan tidak sama setiap pentahapannya.

2.6.1 Penentuan tinggi timbunan kritis (H_{cr})

Penentuan tinggi timbunan kritis (H_{cr}) dapat ditentukan dengan *trial* menggunakan program bantu, salah satunya *XSTABL*. Tinggi timbunan kritis juga dapat dihitung menggunakan rumus empiris:

$$H_{cr} = \frac{c.Nc}{SF.y_{timb}} \quad [2.31]$$

2.6.2 Perkuatan tanah dengan *geotextile*

2.6.2.1 *Geotextile* sebagai perkuatan

Perencanaan *geotextile* sebagai perkuatan tergantung pada besar peningkatan momen perlawanan (ΔM_R) yang

[2.45]

- Untuk tanah miring adalah:

$$K_a = \left(\frac{\cos Q}{1 + \sqrt{\frac{\sin Q \sin(Q+\delta)}{\cos \delta}}} \right)^2 \quad [2.46]$$

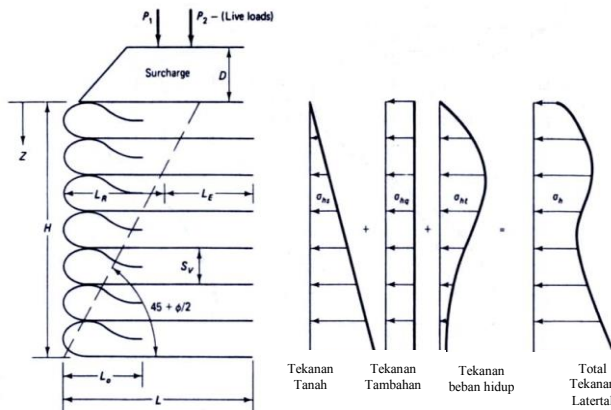
Dimana:

Q = sudut geser tanah

δ = kemiringan tanah

Dalam kasus tekanan lateral pasif, kohesi (lekatan antar butiran tanah) mempunyai pengaruh memperbesar tekanan pasif tanah sebesar $2c\sqrt{K_p}$, sehingga perumusan menjadi:

$$\sigma_p = K_p \times \gamma \times H + 2 \times c \times \sqrt{K_p} \quad [2.47]$$



Gambar 2.10 Prinsip Beban yang Bekerja pada *Geotextile Wall*

Jarak Vertikal pemasangan geotextile (S_v) :

$$\sigma_{HZ} x S_v x l = \frac{T_{ALL}}{SF} \rightarrow S_v = \frac{T_{ALL}}{SF x \sigma_{HZ} x l} \quad [2.48]$$

Dimana : σ_{HZ} = tegangan horisontal pada kedalaman Z

Tambahan ΔM_R tersebut merupakan tambahan momen penahan yang ditimbulkan oleh adanya cerucuk, sehingga jumlah cerucuk yang dibutuhkan (n), adalah:

$$n \times P_{\max 1 \text{ cerucuk}} \times R = (SF_{\text{yang diinginkan}} - SF_{\text{yang ada}}) \times M_D$$

$$n = \frac{(SF_{\text{yang diinginkan}} - SF_{\text{yang ada}}) \times MD}{P_{\max 1 \text{ cerucuk}} \times R} \quad [2.68]$$

2.6.4 Perkuatan tanah dengan kombinasi *multiblocks* dan *geogrid*

Pada perkuatan tanah menggunakan kombinasi *multiblocks* dan *geogrid*, *multiblocks* berfungsi sebagai dinding penahan dengan *geogrid* sebagai perkuatan. *Geogrid* berguna untuk mempermudah posisi *multiblocks* untuk dapat saling *interlock* menjadi suatu kesatuan sehingga tercipta stabilitas struktur. Perhitungan kebutuhan *geogrid* dapat menggunakan prinsip perhitungan *geotextile wall* dengan tambahan gaya penahan dari berat *multiblocks* itu sendiri. Contoh Pemasangan ditampilkan pada Gambar 2.15

Gambar 2.15 Contoh Pemasangan *Multiblocks* dan *Geogrid*



(Sumber: Brosur PT. Multibangun Rekatama Patria)

2.7 Peningkatan Daya Dukung Tanah

Sebagai akibat penimbunan bertahap menyebabkan terjadinya konsolidasi pada suatu lapisan tanah, maka lapisan yang bersangkutan menjadi lebih padat yang berarti kekuatan tanah juga meningkat sebagai akibat kenaikan harga Cu (undrained shear strength). Maka dari itu perlu dihitung adanya peningkatan daya

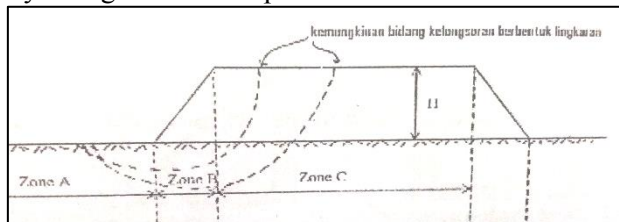
Tabel 2.11 Contoh Perhitungan Tegangan Vertikal efektif

| Tahapan penimbunan | Umur (munggu) | Derasat kejemuhan U_i | Δp_i pada U_i % |
|---|---------------|--|--|
| tanah asli 0,0 m | ~ | 100 % | p'_o |
| 0 - 0,60 m | 10 | 97,2 % | $\left(\frac{\sigma'_1}{p'_o}\right)^{0,972} \cdot p'_o - p'_o$ |
| 0,60 - 1,20 m | 9 | 96,0 % | $\left(\frac{\sigma'_2}{p'_o}\right)^{0,969} \cdot \sigma'_1 - \sigma'_1$ |
| 1,20 - 1,80 m | 8 | 94,3 % | $\left(\frac{\sigma'_3}{p'_o}\right)^{0,943} \cdot \sigma'_2 - \sigma'_2$ |
| 1,80 - 2,40 m | 7 | 91,9 % | $\left(\frac{\sigma'_4}{p'_o}\right)^{0,919} \cdot \sigma'_3 - \sigma'_3$ |
| 2,40 - 3,0 m | 6 | 88,5 % | $\left(\frac{\sigma'_5}{p'_o}\right)^{0,9885} \cdot \sigma'_4 - \sigma'_4$ |
| 3,0 - 3,6 m | 5 | 83,7 % | $\left(\frac{\sigma'_6}{p'_o}\right)^{0,837} \cdot \sigma'_5 - \sigma'_5$ |
| 3,6 - 4,20 m | 4 | 76,7 % | $\left(\frac{\sigma'_7}{p'_o}\right)^{0,767} \cdot \sigma'_6 - \sigma'_6$ |
| 4,20 - 4,80 m | 3 | 66,7 % | $\left(\frac{\sigma'_8}{p'_o}\right)^{0,667} \cdot \sigma'_7 - \sigma'_7$ |
| 4,80 - 5,40 m | 2 | 52,4 % | $\left(\frac{\sigma'_9}{p'_o}\right)^{0,542} \cdot \sigma'_8 - \sigma'_8$ |
| 5,0 - 6,0 m | 1 | 31,7 % | $\left(\frac{\sigma'_{10}}{p'_o}\right)^{0,317} \cdot \sigma'_9 - \sigma'_9$ |
| Catatan : $\sigma'_{i+1} = \sigma'_i + \Delta p_i$ | | $\Sigma = \sigma'_{i=0,0 \text{ meter}}$ | |
| | | 10 | |
| | | = $p'_o + \sum_{i=1}^n \Delta p_{i,i}$ | |

(Sumber: Mochtar, 2012)

2.8 Perhitungan Stabilitas Timbunan Sesudah Pemampatan

Seperti telah disebutkan sebelumnya bahwa stabilitas timbunan dapat dihitung berdasarkan program Xstabl atau sejenisnya dengan asumsi seperti Gambar 2.16.



Gambar 2.16 Pembagian Zona Kekuatan Tanah
(Sumber: Mochtar, 2012)

Dimana:

Zona A = Tanah dalam kondisi masih asli, Cu = Cu asli

Zona B = Zona transisi $Cu_{di\ B} = \frac{Cu_{di\ A} + Cu_{di\ C}}{2}$

Zona C = Tanah terkonsolidasi di bawah timbunan H, Cu baru dihitung seperti pada Sub bab 2.7.

2.9 Perencanaan *Abutment* Jembatan

2.9.1 Pembebanan *abutment* jembatan

Pembebanan dalam desain mengikuti RSNI T-02-2005 tentang Standar Pembebanan untuk Jembatan.

Beban dari pelat lantai jembatan diteruskan kepada abutment melalui perletakan. Beban vertikal maksimum pada perletakan dipadatkan dari analisa perhitungan pelat lantai jembatan. Dari perhitungan pembebanan tersebut dapat ditentukan jenis pondasi yang cocok untuk abutment dan juga tipe perletakan yang akan digunakan.

Beban horizontal pada abutment diakibatkan oleh beban angin, efek temperatur, rangkak (*creep*), beban penggereman lalu lintas dan pemasangan tembok pelindung jembatan (parapet). Beban sentrifugal juga dapat disebabkan apabila jari-jari lengkungan jalan pada jalan kurang dari 1000 meter. Beban longitudinal yang berasal dari efek temperatur pada pelat lantai akan bergantung pada jenis perletakan yang digunakan. Perletakan elastomer pada umumnya dipasang dengan merekatkan pelat lantai dan ujung abutment sehingga elastomer tersebut dapat berubah bentuk ketika pelat lantai berdeformasi. Gaya longitudinal yang dihasilkan oleh deformasi tersebut harus sesuai dengan kekakuan geser dari perletakan dan besarnya gerakan yang terjadi.

Pada sisi lain, geser yang terjadi pada perletakan akan menghasilkan beban longitudinal yang sebanding dengan reaksi beban mati dan koefisien friksi antara geser permukaan. Koefisien friksi (μ) nilainya bervariasi antara 0,01 sampai 0,08 tergantung tipe perletakan dan kuat tekan perletakan. (Childs, 1993).

Jenis beban yang akan diperhitungkan dalam pembebanan antara lain.

$$F \leq \frac{f \cdot W}{\Sigma H}; F = 1,5 \quad [2.72]$$

Dimana:

f = koefisien gesek antara beton dengan tanah = 0,6

W = beban vertikal yang bekerja pada dinding yaitu berat sendiri abutment, berat tanah dan beban struktur bangunan beton

$W = W_{\text{total}} + R_D$

W_{total} = berat sendiri abutment dan berat tanah diatas abutment

R_D = beban struktur bangunan atas yang dipikul oleh abutment (reaksi di perletakan)

$$\Sigma H = E_{a1} + E_{a2} + E_{w1} + E_{w2} \quad [2.73]$$

b. Kontrol penurunan

c. Kontrol guling

Kontrol guling tidak perlu dilakukan apabila kontrol geser dan kontrol penurunan sudah memenuhi syarat. Untuk menganalisa kontrol guling kita harus menemukan satu titik acuan. Titik acuan dapat diambil dengan melihat bagian terluar dari pangkal *abutment*. Titik tersebut kemudian dinamakan sebagai titik pusar guling. Langkah selanjutnya adalah menghitung momen penahanan dan momen guling. Kontrol guling lalu dihitung dengan menguraikan persamaan sebagai berikut.

$$\text{Syarat} = \frac{\Sigma \text{Momen penahan}}{\Sigma \text{Momen guling}} \geq 2,2 \quad [2.74]$$

2.10 Perumusan Daya Dukung Pondasi Tiang Pancang

Secara umum perumusan kapasitas daya dukung tiang pancang dapat dirumuskan sebagai berikut:

$$Q_{\text{ult}} = Q_s + Q_p \quad [2.75]$$

di mana:

Q_{ult} = Daya dukung *ultimate* pondasi tiang pancang

Q_s = Gesekan sepanjang keliling tiang pancang (*friction*).

Q_p = Daya dukung ujung tiang pancang (*end bearing capacity*)

BAB V

PERENCANAAN DAN PEMILIHAN ALTERNATIF

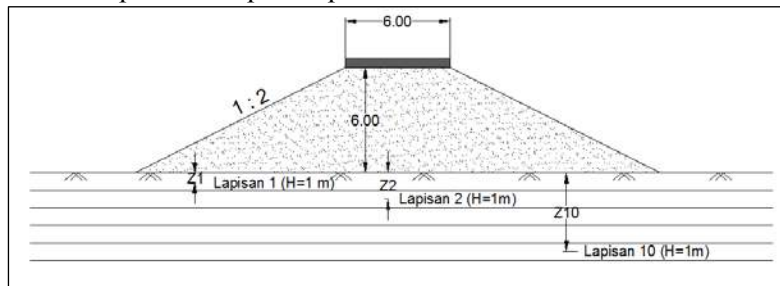
5.1 Perhitungan Besar Pemampatan (Sc) dan Tinggi Timbunan Awal ($H_{initial}$)

5.1.1 Alternatif 1 (timbunan miring)

Suatu lapisan tanah dianggap mudah memampat apabila lapisan tanah tersebut berupa tanah lempung atau lanau dengan rentang konsistensi sangat lunak sampai dengan menengah (*very soft to medium stiff soil*).

Timbunan oprit direncanakan untuk sebelum dan sesudah sungai memiliki ketinggian yang sama. Dari profil lapisan tanah dasar yang ditunjukkan pada Bab IV, dapat diketahui kedalaman tanah asli yang direncanakan untuk sebelum dan sesudah sungai adalah 10 meter yang merupakan lapisan *medium stiff* dengan SPT = 10. Maka, perhitungan besar *settlement* harus ditinjau sampai kedalaman 10 meter (*compressible soil*).

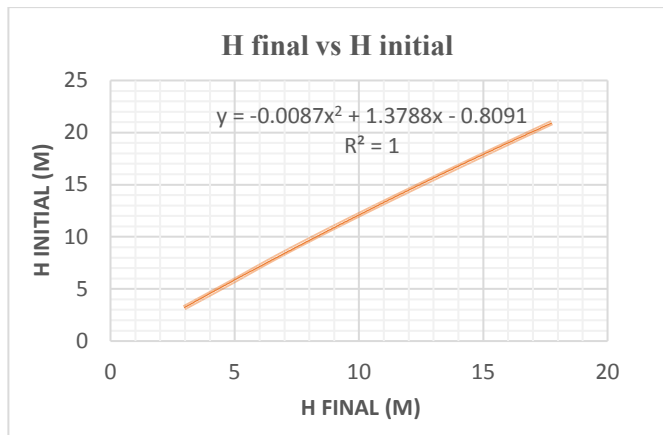
Tanah dasar dibagi dalam lapisan-lapisan dengan ketebalan $H=1$ m seperti ditampilkan pada Gambar 5.1



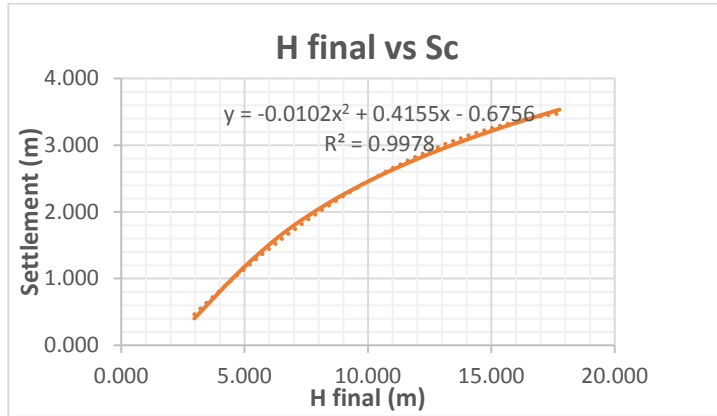
Gambar 5.1 Pembagian Lapisan Tanah Dasar Setiap 1m

Untuk mendapatkan nilai $H_{initial}$ dilakukan perhitungan pemampatan konsolidasi akibat variasi pemberian beban timbunan (q), beban merata *pavement* jalan, dan beban *traffic*. Variasi beban timbunan yang diberikan yaitu:

$$h \text{ timbunan} = 3 \text{ m} \rightarrow q = 3 \times \gamma_{timb} = 5.4 \text{ t/m}$$



Gambar 5.2 Grafik Hubungan H_{final} dengan $H_{initial}$ (Alternatif 1)



Gambar 5.3 Grafik Hubungan H_{final} dengan Settlement (Alternatif 1)

Dari grafik-grafik di atas dapat ditentukan $H_{initial}$ dan *settlement* yang terjadi dengan H_{final} yaitu:

1. Pada zona 1 ($H_{final} = 6$ meter)
 $H_{initial} = 7,2$ m dan *settlement* = 1,45 m
2. Pada zona 2 ($H_{final} = 5,3$ meter)
 $H_{initial} = 6,3$ m dan *settlement* = 1,24 m

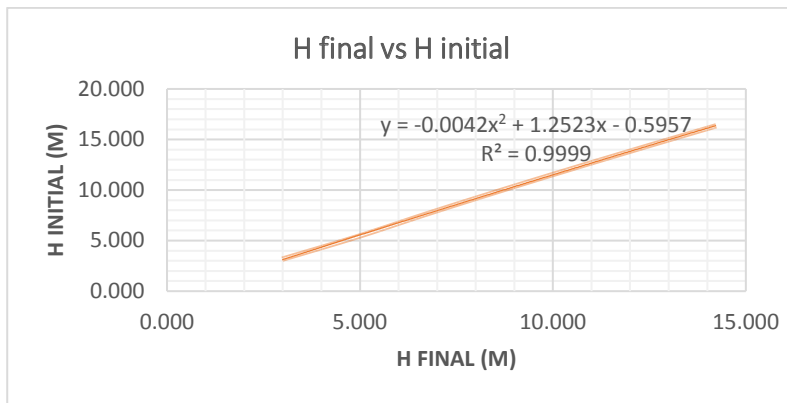
5.1.2 Alternatif 2 (timbunan tegak)

Untuk perhitungan tinggi timbunan awal dan *settlement* pada alternatif 2 sama seperti langkah pada sub bab 5.1.1. Perhitungan perubahan tegangan akibat beban timbunan digunakan grafik pada Gambar 2.2. Hasil perhitungan besar timbunan awal dan *settlement* akibat timbunan, *traffic*, dan *pavement* ditampilkan pada Tabel 5.2

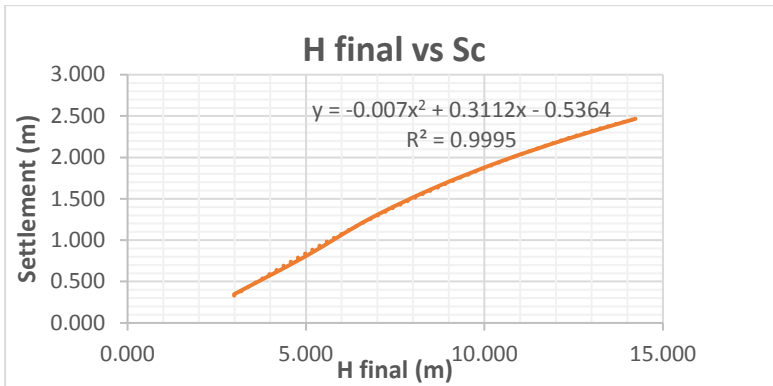
Tabel 5.2 Hasil Perhitungan $H_{initial}$, $H_{Bongkar Traffic}$ dan H_{final}
Alternatif 2

| q timb t/m ² | Sc akibat q timb (m) | $H_{initial}$ (m) | $H_{bongkarTraffic}$ (m) | Tebal Pavement (m) | Sc akibat pavement (m) | H_{final} (m) | Sc total (m) |
|----------------------------|----------------------------|----------------------|-----------------------------|--------------------------|------------------------------|--------------------|-----------------|
| Direncanakan | Perhitungan (A+B)/t | Grafik | Direncanakan | Perhitungan | C-B-D+E-F | B+F | |
| A | B | C | E | F | G | H | |
| 5.4 | 0.289 | 3.160 | 0.278 | 0.450 | 0.058 | 2.986 | 0.347 |
| 9 | 0.749 | 5.416 | 0.111 | 0.450 | 0.049 | 4.957 | 0.798 |
| 12.6 | 1.212 | 7.673 | 0.111 | 0.450 | 0.041 | 6.759 | 1.253 |
| 16.2 | 1.597 | 9.887 | 0.111 | 0.450 | 0.035 | 8.594 | 1.632 |
| 19.8 | 1.920 | 12.067 | 0.111 | 0.450 | 0.032 | 10.454 | 1.952 |
| 23.4 | 2.198 | 14.221 | 0.111 | 0.450 | 0.028 | 12.334 | 2.226 |
| 27 | 2.443 | 16.357 | 0.111 | 0.450 | 0.024 | 14.229 | 2.467 |

(Sumber: Hasil Analisis)



Gambar 5.4 Grafik Hubungan H_{final} dengan $H_{initial}$ (Alternatif 2)



Gambar 5.5 Grafik Hubungan H_{final} dengan Settlement
(Alternatif 2)

Dari grafik-grafik di atas dapat ditentukan $H_{inisial}$ dan *settlement* yang terjadi dengan H_{final} yaitu:

3. Pada zona 1 ($H_{final} = 6$ meter)
 $H_{inisial} = 6,8$ m dan *settlement* = 1,1 m
4. Pada zona 2 ($H_{final} = 5,3$ meter)
 $H_{inisial} = 5,9$ m dan *settlement* = 0,9 m

Perhitungan tinggi timbunan awal dan *settlement* untuk timbunan tegak ditampilkan pada Lampiran 3.

5.2 Perencanaan Perbaikan Tanah dengan PVD

5.2.1 Perhitungan waktu konsolidasi (t)

Waktu konsolidasi (t) dihitung dengan Persamaan 2.19. Berikut adalah contoh perhitungan untuk tanah dasar sebelum sungai:

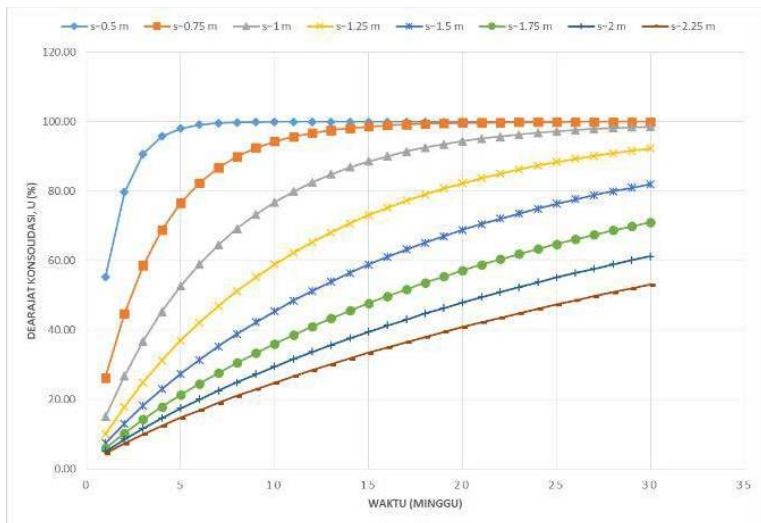
$$t = \frac{Tv \cdot H_{dr}^2}{Cv}$$

dengan:

$$T_v = 0,848 \text{ (Tabel 2.3)}$$

$$H_{dr} = 10 \text{ meter}$$

$$Cv = \frac{H_1 + H_2 + \dots + H_n}{\left(\frac{H_1}{\sqrt{Cv_1}} + \frac{H_2}{\sqrt{Cv_2}} + \dots + \frac{H_n}{\sqrt{Cv_n}} \right)^2} \text{ (Persamaan 2.20)}$$



Gambar 5.6 Grafik Hubungan Derajat Konsolidasi (U) dengan Waktu Timbunan dengan PVD Pola Segiempat

Dari Gambar 5.6 didapat jarak antar PVD pola segiempat yang dipakai adalah 1 m.

5.2.2.2 Perencanaan PVD dengan pola segitiga

Berikut adalah contoh perhitungan perencanaan PVD pola segi empat untuk sisi sebelum sungai dengan jarak $S = 1$ m:

- Menghitung Fungsi Hambatan PVD ($F(n)$) menggunakan Persamaan 2.23 atau Persamaan 2.24.

D = diameter ekivalen dari lingkaran tanah yang merupakan daerah pengaruh dari *vertical drain*.

$$= 1,05 \times S \text{ (Lampiran 1)}$$

$$= 1,05 \times 1$$

$$= 1,05 \text{ m}$$

$$dw = 2(a+b)/\pi$$

$$= 2(100+3)/\pi$$

$$= 51,5 \text{ mm}$$

$$n = D/dw$$

$$= 1,05 \text{ m} / 0,0515 \text{ m}$$

$$\begin{aligned}
 &= 2 \times 0,000000085 \text{ m}^2/\text{detik} \\
 &= 0,00000017 \text{ m}^2/\text{minggu}
 \end{aligned}$$

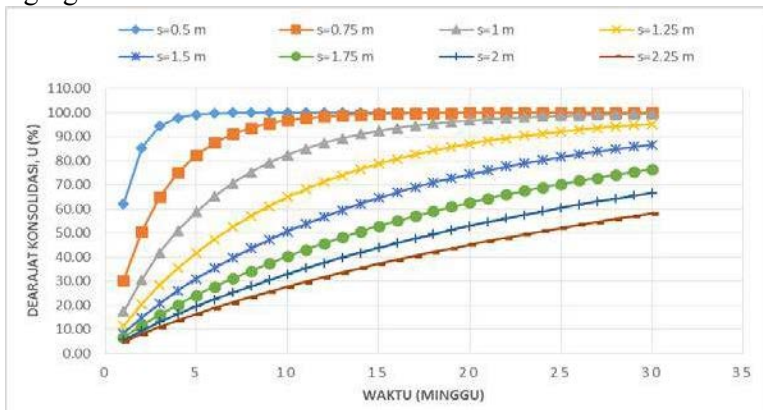
$$\begin{aligned}
 Uh &= \left[-\left(\frac{1}{e^{\left(\frac{tx8xCh}{D^2x2xFn} \right)}} \right) \right] \\
 &= \left[-\left(\frac{1}{e^{\left(\frac{1x604800x8x00000017}{105^2x2x2265} \right)}} \right) \right] \\
 &= 0,152
 \end{aligned}$$

- Menghitung Derajat Konsolidasi rata-rata (Urata-rata) dengan PVD menggunakan Persamaan 2.30

$$\begin{aligned}
 U_{\text{rata-rata}} &= (1-(1-Uh)) \times (1-Uv) \times 100\% \\
 &= (1-(1-0,152)) \times (1-0,0256) \times 100\% \\
 &= 17,37\%
 \end{aligned}$$

Perhitungan diatas dilakukan untuk seluruh jarak PVD (S). Hasil perhitungan derajat konsolidasi rata-rata (U) untuk pola segitiga pada setiap S ditampilkan pada Lampiran 4.

Pada Gambar 5.7 ditampilkan grafik hubungan waktu dengan derajat konsolidasi dengan menggunakan PVD pola segitiga.



Gambar 5.7 Grafik Hubungan Derajat Konsolidasi (U) dengan Waktu Timbunan dengan PVD Pola Segitiga

Dari Gambar 5.7 didapat jarak antar PVD pola segitiga yang dipakai adalah 1,25 m.

Jadi, PVD yang dipakai adalah menggunakan pola segitiga dengan jarak 1,25 m, karena jarak yang lebih besar menghasilkan kuantitas yang lebih sedikit, yang mengakibatkan biaya yang lebih sedikit pula.

5.3 Alternatif Perencanaan Perkuatan Geotextile (Alternatif 1)

Seperti yang telah dijelaskan pada Sub bab 2.6 bahwa sebelum merencanakan perkuatan perlu diketahui terlebih dahulu tinggi H_{kritis} dan peningkatan Cu akibat penimbunan bertahap.

5.3.1 Penentuan tinggi timbunan kritis (H_{cr})

Tinggi timbunan kritis (H_{cr}) yaitu tinggi timbunan yang masih mampu dipikul oleh tanah dasar agar timbunan tidak mengalami kelongsoran. Berikut hasil perhitungan H_{kritis} timbunan dengan Persamaan 2.31 yaitu:

$SF = 1,4$ (Berdasarkan Tabel 2.4)

$N_c = 5,956$ (Interpolasi dari Tabel 2.8)

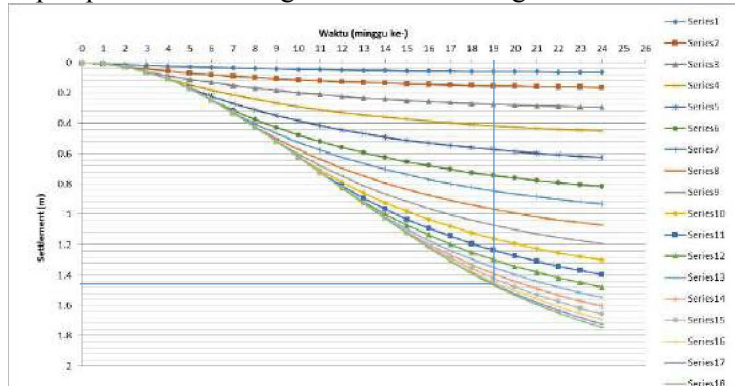
$$H_{cr} = \frac{c N_c}{SF \gamma_{timb}}$$

$$H_{cr} \quad \text{_____} \\ H_{cr} \quad m$$

Dengan penimbunan bertahap setiap 0,4 meter/minggu, didapatkan waktu 6 minggu untuk mencapai tinggi timbunan setinggi H_{kritis} . Nilai Cu diasumsikan meningkat setelah tanah diberi beban timbunan setinggi H_{kritis} , maka perlu dihitung berapa besar peningkatan Cu selama 6 minggu. Untuk tahap berikutnya, daya dukung tanah dasar harus cukup kuat menahan timbunan berikutnya, untuk itu harus dilakukan pengecekan daya dukung tanah terlebih dahulu.

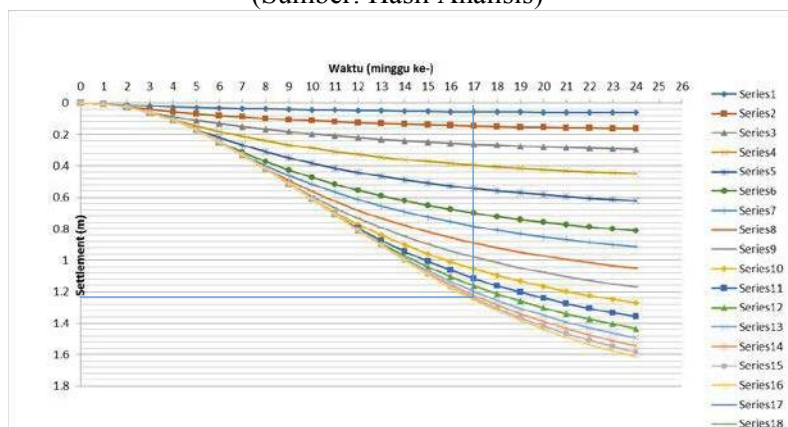
5.3.3 Pemampatan konsolidasi pada penimbunan bertahap

Pemampatan akibat penimbunan bertahap dihitung dengan Persamaan 2.16, Persamaan 2.17, dan Persamaan 2.18 yang selanjutnya didapatkan gambar grafik hubungan antara waktu atau tahapan penimbunan dengan *Settlement* sebagai berikut :



Gambar 5.8 *Settlement* tiap tahapan timbunan PVD segitiga dengan jarak 1,25 m untuk zona 1 (Alternatif 1).

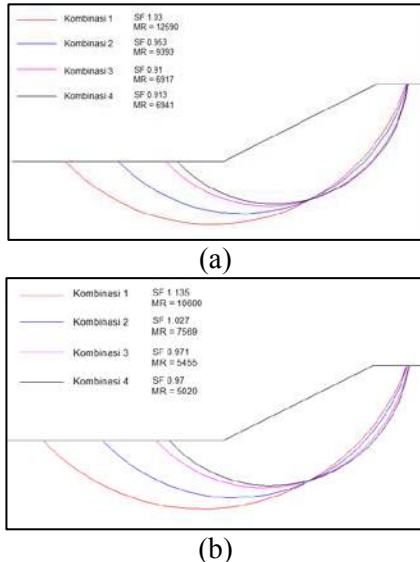
(Sumber: Hasil Analisis)



Gambar 5.9 *Settlement* tiap tahapan timbunan PVD segitiga dengan jarak 1,25 m untuk zona 2 (Alternatif 1).

(Sumber: Hasil Analisis)

Dari seluruh hasil analisis tersebut, diperoleh gambar kelongsoran untuk timbunan oprit pada zona 1 dan zona 2 pada Gambar 5.11.



Gambar 5.11 Gambar Hasil Analisis Kelongsoran a) zona 1; b) zona 2 pada Alternatif 1

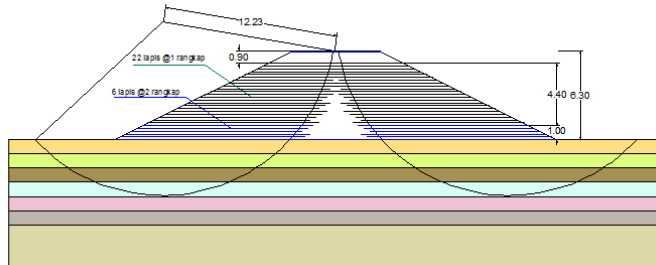
Karena SF terkritis dari kedua zona tersebut kurang dari 1,4 maka diperlukan perkuatan timbunan.

Dari Gambar 5.11 diperoleh kombinasi yang dipakai yaitu kombinasi 3 untuk zona 1 dan zona 2, karena membutuhkan jumlah lapisan *geotextile* paling banyak. Berikut contoh perhitungan perkuatan *geotextile*:

Pada perencanaan ini digunakan *geotextile* dengan *Tensile Strength* (T_{ult}) sebesar 52 kN/m.

$$T_{allow} = T_{ultimate} \left[\frac{1}{FS_{id} \times FS_{cr} \times FS_{cd} \times FS_{bd}} \right]$$

$$\begin{array}{ll} FS_{id} & = 1.5 \\ FS_{cr} & = 2.0 \end{array} \quad \begin{array}{ll} FS_{cd} & = 1.25 \\ FS_{bd} & = 1.15 \end{array}$$



(b)

Gambar 5.12 Sketsa Pemasangan *Geotextile* (a)Zona 1,(b) Zona 2

5.4 Alternatif Perencanaan Kombinasi *Geogrid* dan *Multiblocks* sebagai Perkuatan Timbunan Arah Melintang

Pada Alternatif perkuatan timbunan arah melintang menggunakan kombinasi *geogrid* dan *multiblocks* ini direncanakan timbunan tegak dengan lebar 6 meter untuk zona 1 maupun zona 2. Karena timbunan merupakan timbunan tegak maka diperlukan adanya perkuatan sejak awal penimbunan. Dalam pelaksanaannya, penimbunan dilakukan secara bertahap sehingga perlu dihitung peningkatan Cu akibat pentahapan tersebut, serta diperlukan adanya pengecekan apakah dengan peningkatan Cu pada minggu tertentu dapat menahan timbunan pada tahapan di minggu tersebut. Nilai Cu nantinya digunakan untuk mengecek apakah kontrol daya dukung tanah dasar terpenuhi.

5.4.1 Perhitungan peningkatan kohesi *undrained* (Cu)

Seperti halnya pada sub bab 5.3.2, dilakukan percobaan dengan menggunakan program *geoslope* untuk mencari tau pada ketinggian timbunan berapa tanah dasar mulai longsor dengan peningkatan nilai Cu akibat timbunan bertahap. Berdasarkan percobaan didapatkan bahwa tanah longsor ketika tanah dasar diberi timbunan setinggi 4,8 m dengan peningkatan Cu di minggu ke-12. Hasil perhitungan peningkatan Cu di minggu ke 12 dapat

dilihat pada Tabel 5.13. Nilai Cu nantinya digunakan untuk mengecek apakah kontrol daya dukung tanah dasar terpenuhi dan untuk merencanakan perkuatan tambahan jika daya dukung tetap tidak memenuhi.

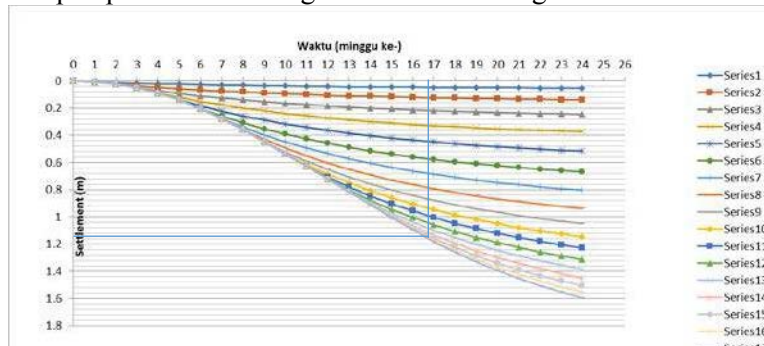
Tabel 5.13 Hasil Perhitungan Peningkatan Cu minggu ke-12

| $\Sigma\sigma'_p$ | Kedalaman | | | PI | Cu lama (Ardana & Mochtar) | Cu baru kg/cm ² |
|-------------------|-----------|---|--------------------|--------|-------------------------------|-------------------------------|
| | (m) | % | kg/cm ² | | | |
| 0.371 | 0 | - | 1 | 37.282 | 0.108 | 0.122 |
| 0.419 | 1 | - | 2 | 37.282 | 0.108 | 0.128 |
| 0.449 | 2 | - | 3 | 37.282 | 0.108 | 0.132 |
| 0.484 | 3 | - | 4 | 34.553 | 0.104 | 0.139 |
| 0.517 | 4 | - | 5 | 34.553 | 0.104 | 0.143 |
| 0.557 | 5 | - | 6 | 34.553 | 0.104 | 0.148 |
| 0.603 | 6 | - | 7 | 34.938 | 0.371 | 0.154 |
| 0.653 | 7 | - | 8 | 34.938 | 0.371 | 0.161 |
| 0.709 | 8 | - | 9 | 34.938 | 0.371 | 0.168 |
| 0.761 | 9 | - | 10 | 38.059 | 0.292 | 0.172 |

(Sumber: Hasil Analisis)

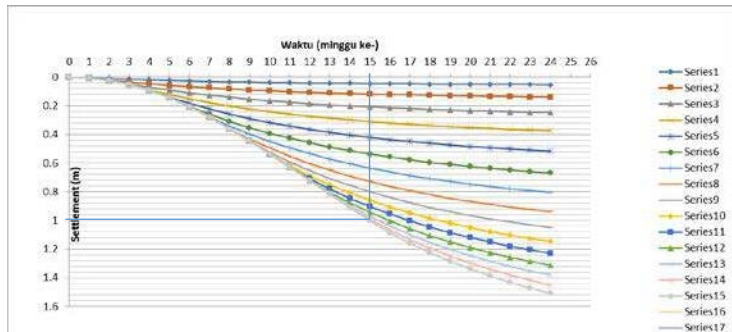
5.4.2 Pemampatan konsolidasi pada penimbunan bertahap

Pemampatan akibat penimbunan bertahap dihitung dengan Persamaan 2.16, Persamaan 2.17, dan Persamaan 2.18 yang selanjutnya didapatkan gambar grafik hubungan antara waktu atau tahapan penimbunan dengan *Settlement* sebagai berikut :



Gambar 5.13 *Settlement* tiap tahapan timbunan PVD segitiga dengan jarak 1,25 m untuk zona 1 (Alternatif 2).

(Sumber: Hasil Analisis)



Gambar 5.14 *Settlement* tiap tahapan timbunan PVD segitiga dengan jarak 1,25 m untuk zona 2 (Alternatif 2).

(Sumber: Hasil Analisis)

Berdasarkan Gambar 5.13 dan Gambar 5.14 didapatkan waktu yang diperlukan untuk menyelesaikan pemampatan konsolidasi pada penimbunan bertahap zona 1 adalah 17 minggu dan untuk zona 2 adalah 15 minggu. Hasil Perhitungan *settlement* akibat timbunan bertahap tiap lapisan pada zona 1 dan zona 2 dapat dilihat pada Lampiran 7.

5.4.3 Perencanaan *multiblocks* dan *geogrid*

Perhitungan *geogrid* sebagai dinding penahan tanah dapat dihitung menggunakan prinsip *geotextile* sebagai dinding penahan tanah. Penentuan jarak antar *geogrid* mengacu pada tinggi 1 unit block yaitu 0,2 m sehingga jarak antar *geogrid* harus berjarak kelipatan 0,2 m. Berikut contoh perhitungan perencanaan *geogrid* pada zona 1:

1. Perhitungan kuat tarik ijin menggunakan Persamaan 2.36

$$\text{Geogrid : } T_{ult} = 59,17 \text{ kN/m}$$

$$T_{allow} = \frac{59,17}{1,5 \times 2 \times 1 \times 1}$$

$$T_{allow} = 19,72 \text{ kN/m}$$

$$\text{Geotextile : } T_{ult} = 52 \text{ kN/m}$$

$$T_{allow} = \frac{52}{1,5 \times 2 \times 1 \times 1}$$

$$T_{allow} = 17,33 \text{ kN/m}$$

$$= \frac{14 - 1131 \times 4853\,404}{6\,53 \times 13\,254}$$

$$= 1,5 \text{ buah / meter tegak lurus gambar} \approx 2 \text{ buah/m}$$

(n asumsi konvergen dengan n hitung)

maka dipakai jumlah cerucuk per meter sebanyak 2 buah.

Rekpitulasi hasil perhitungan kebutuhan cerucuk untuk zona 1 ditampilkan pada Tabel 5.26 dan untuk zona 2 ditampilkan pada Tabel 5.27.

Tabel 5.26 Rekpitulasi Hasil Perhitungan Kebutuhan Cerucuk
Zona 1

| No | SF minimum | ΔMR | Dimensi cerucuk | Kebutuhan cerucuk (1 sisi) | Kebutuhan cerucuk (2 sisi) | Jarak antar cerucuk | La (atas bidang longsor) | Lb (bawah bidang longsor) | L total |
|----|------------|-------------|-----------------|----------------------------|----------------------------|---------------------|--------------------------|---------------------------|---------|
| | | | | (kNm) | (m) | (buah/m) | (buah/m) | (m) | (m) |
| 1 | 1.139 | 1218.428 | 20x20 | 2 | 4 | 1 | 3.6 | 2 | 6 |
| 2 | 1.259 | 403.9051 | 20x20 | 1 | 2 | 1 | 2.43 | 2 | 5 |
| 3 | 1.131 | 1305.566 | 20x20 | 2 | 4 | 1 | 3.65 | 2 | 6 |
| 4 | 1.179 | 862.4061 | 20x20 | 2 | 4 | 1 | 3.15 | 2 | 6 |

(Sumber: Hasil Analisis)

Tabel 5.27 Rekpitulasi Hasil Perhitungan Kebutuhan Cerucuk
Zona 2

| No | SF minimum | ΔMR | Dimensi cerucuk | Kebutuhan cerucuk (1 sisi) | Kebutuhan cerucuk (2 sisi) | Jarak antar cerucuk | La (atas bidang longsor) | Lb (bawah bidang longsor) | L total |
|----|------------|-------------|-----------------|----------------------------|----------------------------|---------------------|--------------------------|---------------------------|---------|
| | | | | (kNm) | (m) | (buah/m) | (buah/m) | (m) | (m) |
| 1 | 1.204 | 854.5698 | 20x20 | 2 | 4 | 1 | 3.98 | 2 | 6 |
| 2 | 1.211 | 792.6763 | 20x20 | 2 | 4 | 1 | 3.89 | 2 | 6 |
| 3 | 1.285 | 271.6148 | 20x20 | 1 | 2 | 1 | 2.95 | 2 | 5 |
| 4 | 1.252 | 435.7016 | 20x20 | 2 | 4 | 1 | 3.47 | 2 | 6 |

(Sumber: Hasil Analisis)

Perhitungan percobaan kebutuhan cerucuk masing-masing SF ditampilkan pada Lampiran 8. Gambar pemasangan perkuatan kombinasi *multiblocks*, *geogrid*, dan cerucuk dapat dilihat pada Lampiran 11.

5.5 Perancaan *Geotextile Wall* Arah Memanjang Jalan

Direncanakan *geotextile* sebagai dinding penahan pada timbunan ke arah sungai. *Geotextile* yang digunakan sama dengan *geotextile* sebagai perkuatan timbunan arah melintang yaitu tipe

Tabel 5.28 Hasil Perhitungan Kebutuhan Cerucuk Arah Memanjang jalan (Alternatif 1)

| No | SF minimum | ΔMR | Dimensi cerucuk | Kebutuhan cerucuk | Jarak antar cerucuk | La (atas bidang longsor) | Lb (bawah bidang longsor) | L total |
|----|------------|-------------|-----------------|-------------------|---------------------|--------------------------|---------------------------|---------|
| | | (kNm) | (m) | (buah/m) | (m) | (m) | (m) | (m) |
| 1 | 0.868 | 4077.155 | 20x20 | 4 | 1 | 6.1 | 2.5 | 9 |
| 2 | 1.273 | 486.0618 | 20x20 | 1 | 1 | 4 | 2.5 | 7 |
| 3 | 0.907 | 5422.022 | 20x20 | 4 | 1 | 5.7 | 2.5 | 9 |
| 4 | 0.985 | 3755.771 | 20x20 | 3 | 3 | 4.8 | 2.5 | 8 |

(Sumber: Hasil Analisis)

Tabel 5.29 Hasil Perhitungan Kebutuhan Cerucuk Arah Memanjang jalan (Alternatif 2)

| No | SF minimum | ΔMR | Dimensi cerucuk | Kebutuhan cerucuk | Jarak antar cerucuk | La (atas bidang longsor) | Lb (bawah bidang longsor) | L total |
|----|------------|-------------|-----------------|-------------------|---------------------|--------------------------|---------------------------|---------|
| | | (kNm) | (m) | (buah/m) | (m) | (m) | (m) | (m) |
| 1 | 1.029 | 3132.733 | 20x20 | 3 | 1 | 6 | 2.5 | 9 |
| 2 | 1.042 | 2505.588 | 20x20 | 3 | 1 | 5.9 | 2.5 | 9 |
| 3 | 1.348 | 192.5813 | 20x20 | 1 | 1 | 4 | 2.5 | 7 |
| 4 | 1.032 | 3332.468 | 20x20 | 3 | 1 | 5.9 | 2.5 | 9 |

(Sumber: Hasil Analisis)

Perhitungan kebutuhan cerucuk masing-masing SF ditampilkan pada Lampiran 9. Gambar perencanaan perkuatan arah memanjang jalan dengan *geotextile* dan cerucuk ditampilkan pada Lampiran 11.

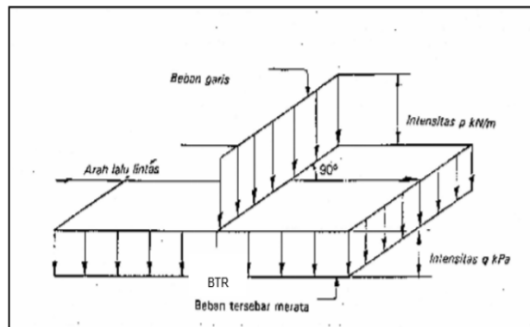
5.6 Perencanaan *Abutment* dan Pondasi *Abutment*

5.6.1 Pembebanan *abutment*

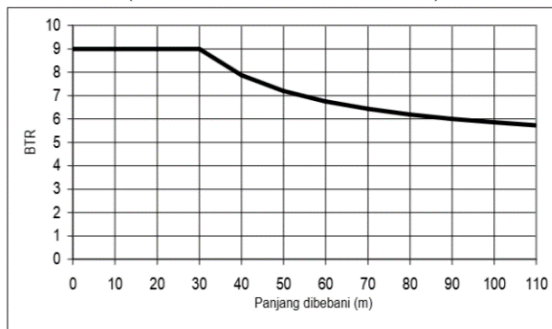
Perencanaan beban yang bekerja pada struktur bangunan bawah jembatan berdasarkan pada RSNI T-02-2005 dan SNI 2833-2008. Dimana beban yang bekerja di kombinasikan untuk menghasilkan nilai beban seperti kondisi kenyataannya.

5.6.1.1 Data perencanaan

| | |
|---|----------|
| Panjang girder (L) | = 30 m |
| Lebar jalan (b) | = 4,5 m |
| Tebal plat lantai jembatan (t_s) | = 0.2 m |
| Tebal lapisan aspal + overlay (t_a) | = 0.05 m |
| Lebar abutment (B) | = 6 m |



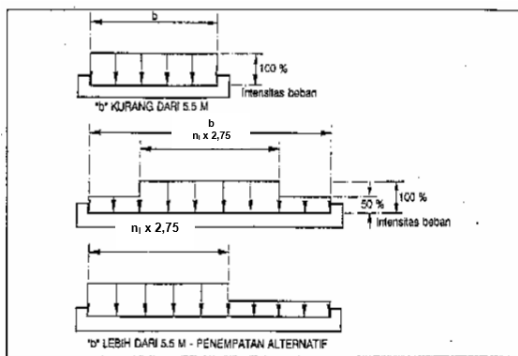
Gambar 5.21 Beban Lajur "D"
(sumber: RSNI T-02-2005)



Gambar 5.22 BTR vs Panjang yang Dibebani
(sumber: RSNI T-02-2005)

Untuk panjang bentang 30 m, menurut Gambar 5.22 memiliki nilai q BTR sebesar 9 kPa.

Menurut RSNI T-02-2005, bila lebar jalur kendaraan jembatan kurang atau sama dengan 5,5 m, maka beban "D" harus ditempatkan pada seluruh jalur dengan intensitas 100 % seperti tercantum dalam Pasal 6.3.1. dan Gambar 5.23.



Gambar 5.23 Penyebaran Pembebanan pada Arah Melintang
(sumber: RSNI T-02-2005)

Maka beban terbagi rata yang terjadi pada *abutment*:

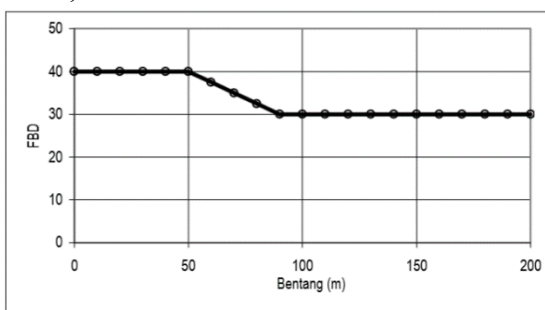
$$P_{BTR} = 0,5 \times q \times b \times L$$

$$P_{BTR} = 0,5 \times 9 \times 4,5 \times 30$$

$$P_{BTR} = 607,5 \text{ kN}$$

Untuk perhitungan Beban Garis Terpusat (BGT) mempunyai intensitas $p = 49 \text{ kN/m}$ dan memiliki faktor beban dinamis (FBD) yang bergantung pada bentang jembatan. Faktor beban dinamis untuk BGT diambil sebagai berikut :

- FBD = 0.4, untuk $L \leq 50 \text{ m}$
- $FBD = 0.4 - 0.0025*(L - 50)$, untuk $50 < L < 90 \text{ m}$
- FBD = 0.3, untuk $L \geq 90 \text{ m}$



Gambar 5.24 Faktor Beban Dinamis (FBD) untuk Beban BGT
(sumber: RSNI T-02-2005)

Untuk panjang bentang 30 m, menurut Gambar 5.24 memiliki nilai FBD sebesar 40%. Besarnya BGT dapat dilihat pada perhitungan berikut.

$$P_{BGT} = 0,5 \times P \times (1+DLA) \times b$$

$$P_{BGT} = 0,5 \times 49 \times (1+0,4) \times 4,5$$

$$P_{BGT} = 154,35 \text{ kN}$$

Maka besarnya beban lajur D pada abutment adalah sebesar:

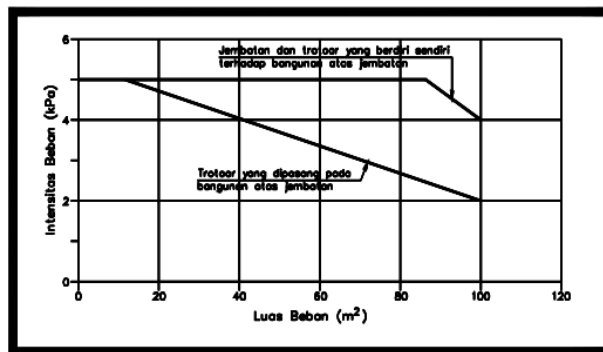
$$P_{TD} = (P_{BTR} + P_{BGT}) = (607,5 + 154,35) = 761,85 \text{ kN}$$

Eksentrisitas beban thd. Pondasi, $e = -0,13 \text{ m}$. Momen pada fondasi akibat beban lajur "D",

$$M_{TD} = P_{TD} * e = - 99,04 \text{ kNm}$$

b. Beban pejalan kaki (TP)

Jembatan jalan raya direncanakan mampu memikul beban hidup merata pada trotoar yang besarnya tergantung pada luas bidang trotoar yang didukungnya. A = luas bidang trotoar yang dibebani pejalan kaki (m^2). Besarnya beban hidup merata q untuk beban pejalan kaki dapat dilihat pada Gambar 5.25



Gambar 5.25 Pembebanan Pejalan Kaki
(sumber: RSNI T-02-2005)

Dengan data jembatan:

$$\text{Lebar trotoar, } (b_1) = 0,5 \text{ m}$$

$$\text{L jembatan, } (L) = 30 \text{ m}$$

$$\text{Luas trotoar yang di bebani pejalan kaki} = 15 \text{ m}^2$$

Sehingga di dapat,

$$\text{Beban vertikal merata, } (q) = 5 \text{ kN/m}^2$$

$$\text{Jumlah trotoar, } (n) = 2 \text{ buah}$$

Beban akibat pejalan kaki, (T_{TP})

$$T_{TP} = b_1 \times q \times n \times L$$

$$= 0.5 \times 5 \times 2 \times 30$$

$$= 150 \text{ kN}$$

$$P_{TP} \text{ abutment} = 0.5 \times 150 = 75 \text{ kN}$$

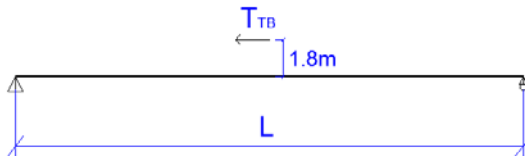
Eksentrisitas beban terhadap pondasi, $e = -0.13 \text{ m}$

Momen pada fondasi akibat beban pedestrian,

$$M_{TP} = P_{TP} \times e = -9,75 \text{ tm}$$

c. Gaya rem (TB)

Pengaruh penggereman dari lalu-lintas diperhitungkan sebagai gaya dalam arah memanjang dan dianggap bekerja pada permukaan lantai jembatan. Pengaruh penggereman dari lalu-lintas diperhitungkan sebagai gaya dalam arah memanjang dan dianggap bekerja pada jarak 1.8 m diatas permukaan lantai jembatan. Besarnya gaya rem arah memanjang jembatan diperhitungkan senilai dengan 5% dari 100% beban lajur D yang dianggap ada pada semua jalur lalu-lintas tanpa dikalikan dengan DLA dalam satu jurusan. Beban lajur D disini tidak direduksi bila panjang bentang melebihi 30 m, digunakan $q = 9 \text{ kPa}$.



Gambar 5.26 Gaya Akibat Beban Rem

$$\text{Panjang girder, } (L) = 30 \text{ m}$$

$$\text{Beban merata pada girder, } (P_{TD}) = 1215 \text{ kN}$$

$$\text{Beban terpusat pada girder tanpa DLA, } (P_{TD}) = 220,5 \text{ kN}$$

$$\text{Gaya rem satu girder, } (T_{TB})$$

$$T_{TB} = 5\% \times (1215 + 220,5) \\ = 71,775 \text{ kN}$$

lengan terhadap titik putar pondasi, (ya) = 8,3 m

Momen akibat gaya rem, (M_{TB}) = $T_{TB} \times ya$ = 595,733 kNm

5.6.1.4 Aksi lingkungan

Beban akibat aksi lingkungan yaitu terdiri dari beban temperatur (ET), beban angin (EW), dan beban gempa (EQ).

a. Pengaruh temperatur (ET)

Untuk memperhitungkan tegangan maupun deformasi struktur yang timbul akibat pengaruh temperatur, diambil perbedaan temperatur yang besarnya setengah dari selisih antara temperatur maksimum dan temperatur minimum rata-rata pada lantai jembatan.

Tabel 5.34 Temperatur Jembatan Rata-rata Nominal

| Tipe Bangunan Atas | Temperatur Jembatan Rata-rata Minimum (1) | Temperatur Jembatan Rata-rata Maksimum |
|---|---|--|
| Lantai beton di atas gelagar atau boks beton. | 15°C | 40°C |
| Lantai beton di atas gelagar, boks atau rangka baja. | 15°C | 40°C |
| Lantai pelat baja di atas gelagar, boks atau rangka baja. | 15°C | 45°C |
| CATATAN (1) Temperatur jembatan rata-rata minimum bisa dikurangi 5°C untuk lokasi yang terletak pada ketinggian lebih besar dari 500 m diatas permukaan laut. | | |

(sumber: RSNI-T02-2005)

Tabel 5.35 Koefisien Perpanjangan Akibat Suhu

| Bahan | Koefisien Perpanjangan Akibat Suhu | Modulus Elastisitas MPa |
|--------------------|------------------------------------|-------------------------|
| Baja | 12×10^{-6} per °C | 200.000 |
| Beton: | | |
| Kuat tekan <30 MPa | 10×10^{-6} per °C | 25.000 |
| Kuat tekan >30 MPa | 11×10^{-6} per °C | 34.000 |
| Aluminium | 24×10^{-6} per °C | 70.000 |

(sumber: RSNI-T02-2005)

Temperatur rata-rata min, (T_{min}) = 15°C

Temperatur rata-rata max, (T_{max}) = 40°C

V_w = Kecepatan angin rencana (m/det) = 30 m/s

A_b = luas bidang samping jembatan (m^2)

Tabel 5.36 Koefisien Seret C_w

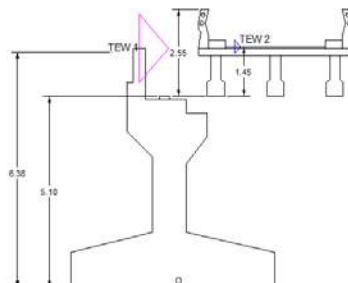
| Tipe Jembatan | C_w |
|---|----------|
| Bangunan atas masif: (1), (2) | |
| $b/d = 1.0$ | 2.1 (3) |
| $b/d = 2.0$ | 1.5 (3) |
| $b/d \geq 6.0$ | 1.25 (3) |
| Bangunan atas rangka | 1.2 |
| CATATAN (1) b = lebar keseluruhan jembatan dihitung dari sisi luar sandaran d = tinggi bangunan atas, termasuk tinggi bagian sandaran yang masif | |
| CATATAN (2) Untuk harga antara dari b / d bisa diinterpolasi linier | |
| CATATAN (3) Apabila bangunan atas mempunyai superelevasi, C_w harus dinaikkan sebesar 3 % untuk setiap derajat superelevasi, dengan kenaikan maksimum 2,5 % | |

(sumber: RSNI-T02-2005)

Tabel 5.37 Kecepatan Angin Rencana V_w

| Keadaan Batas | Lokasi | |
|---------------|-------------------------|--------------------|
| | Sampai 5 km dari pantai | > 5 km dari pantai |
| Daya layan | 30 m/s | 25 m/s |
| Ultimit | 35 m/s | 30 m/s |

(sumber: RSNI-T02-2005)



Gambar 5.28 Skema Pengaruh Angin terhadap Struktur Jembatan

Luas samping bangunan atas, (A_{b1})

- **Beban gempa arah memanjang jembatan (arah x)**

Tinggi breast wall, Lb = 4,1 m

Ukuran penampang breast wall, b = By = 6 m

h = 0,75 m

Inersia penampang breast wall, Ic = $1/12 \times b \times h^3$

= 0,281 m⁴

Mutu beton, K - 300 fc' = 0,83 x K / 10 = 24,9 MPa

Modulus elastis beton, Ec = $4700 \times \sqrt{fc'} = 23452,953$ MPa

Ec = 23452952,91 kPa

Nilai kekakuan, Kp = $3 \times Ec \times Ic / Lb^3 = 287117,555$ kN/m

Percepatan gravitasi, g = 9,81 m/det²

Berat sendiri struktur atas = 1062,001 kN

Berat mati tambahan = 125,325 kN

Beban sendiri struktur bawah = 2451,071 kN

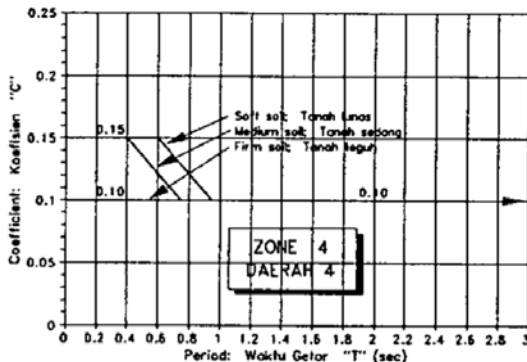
$$WTP = (1062,001 + 125,325) + 1/2 \times 2451,071 = 2705,717 \text{ kN}$$

$$T = 2 \times \pi \times \sqrt{WTP / (g \times Kp)} = 0,185 \text{ detik}$$

Tabel 5.38 Kondisi Tanah untuk Koefisien Geser Dasar

| Jenis Tanah | Tanah Teguh | Tanah Sedang | Tanah Lunak |
|---|-------------|----------------------|-------------|
| Untuk seluruh jenis tanah | ≤ 3 m | > 3 m sampai 25 m | > 25 m |
| Untuk tanah kohesif dengan kekuatan geser <i>undrained</i> rata-rata tidak melebihi 50 kPa: | ≤ 6 m | > 6 m sampai 25 m | > 25 m |
| Pada tempat dimana hamparan tanah salah satunya mempunyai sifat kohesif dengan kekuatan geser <i>undrained</i> rata-rata lebih besar dari 100 kPa, atau tanah berbutir yang sangat padat: | ≤ 9 m | > 9 m sampai 25 m | > 25 m |
| Untuk tanah kohesif dengan kekuatan geser <i>undrained</i> rata-rata tidak melebihi 200 kPa: | ≤ 12 m | > 12 m sampai 30 m | > 30 m |
| Untuk tanah berbutir dengan ikatan matrik padat: | ≤ 20 m | > 20 m sampai 40 m | > 40 m |
| CATATAN (1) Ketentuan ini harus digunakan dengan mengabaikan apakah tiang pancang diperpanjang sampai lapisan tanah keras yang lebih dalam | | | |

(Sumber: RSNI-T02-2005)



Gambar 5.29 Koefisien Geser Dasar (C)
(Sumber: RSNI-T02-2005)

Kondisi tanah dasar termasuk sedang. Lokasi di wilayah gempa 4. Koefisien geser dasar, $C = 0,15$

Untuk struktur jembatan dengan daerah sendi plastis beton bertulang , faktor jenis struktur dihitung dengan rumus :

$$S = 1 \times F$$

dengan, $F = 1,25 - 0,025 \times n$ dan F harus diambil ≥ 1 F = faktor perangkaan, n = jumlah sendi plastis yang menahan deformasi arah lateral.

Untuk, $n = 1$ maka :

$$F = 1,25 - 0,025 \times n = 1,225$$

$$S = 1 \times F = 1,225$$

Koefisien beban gempa horisontal,

$$Kh = C \times S = 0,18375$$

Tabel 5.39 Faktor kepentingan

| | |
|--|-----|
| 1. Jembatan memuat lebih dari 2000 kendaraan/hari, jembatan pada jalan raya utama atau arteri dan jembatan dimana tidak ada rute alternatif. | 1,2 |
| 2. Seluruh jembatan permanen lainnya dimana rute alternatif tersedia, tidak termasuk jembatan yang direncanakan untuk pembebanan lalu lintas yang dikurangi. | 1,0 |
| 3. Jembatan sementara (misal: Bailey) dan jembatan yang direncanakan untuk pembebanan lalu lintas yang dikurangi sesuai dengan pasal 6,5. | 0,8 |

(Sumber: RSNI-T02-2005)

| | |
|--|---------------------------|
| Faktor tipe struktur, S | = 1 x F |
| | = 1,225 |
| Koefisien beban gempa horisontal, Kh = C x S | |
| | = 0,1225 |
| Faktor kepentingan, I | = 1,0 |
| Wt | = Pms + Pma = 3714,816 kN |
| Gaya gempa, T _{EQ} | = Kh x I x Wt |
| | = 455,065 kN |
| Momen gempa, M _{EQ} | = 1104,447 kNm |

5.6.1.5 Kombinasi beban kerja

Perhitungan kombinasi pembebanan pada *abutment* merupakan lanjutan perhitungan dari pembebanan *abutment*. Kombinasi beban-beban itu sendiri dapat dilihat pada Tabel 5.41. Tabel 5.41 Kombinasi Beban untuk Perencanaan Tegangan Kerja

| Aksi | Kombinasi No. | | | | | | |
|---|---------------|-----|-----|-----|-----|-----|-----|
| | 1 | 2 | 3 | 4 | 5 | 6 | 7 |
| Aksi tetap | X | X | X | X | X | X | X |
| Beban lalu lintas | X | X | X | X | - | - | X |
| Pengaruh temperatur | - | X | - | X | - | - | - |
| Arus/hanyutan/hidro/daya apung | X | X | X | X | X | - | - |
| Beban angin | - | - | X | X | - | - | - |
| Pengaruh gempa | - | - | - | - | X | - | - |
| Beban tumbukan | - | - | - | - | - | - | X |
| Beban pelaksanaan | - | - | - | - | - | X | - |
| Tegangan berlebihan yang diperbolehkan r_{os} | nil | 25% | 25% | 40% | 50% | 30% | 50% |

(Sumber: RSNI-T02-2005)

Perincian masing-masing hasil kombinasi dapat dilihat pada Lampiran 9. Rekap hasil perhitungan kombinasi pembebanan dapat dilihat pada Tabel 5.43.

Spesifikasi *Micropile*



| No | Type | Btr | Mutu Beton | Tulangan Besi Ø | Sengatang | Dimensi | Berat Beton P (beton) | Transportasi | Harga | | | | | | Data pemancangan | |
|----|------------|-----|------------|-----------------|-----------|---------|-----------------------|--------------|--------------|-------------|------------|------------|------------|--------------------------------|------------------|-------------|
| | | | | | | | | | Vertikal (m) | min 10 m | per 1 m | per 2 m | per 3 m | per 6 m n = 350 m ³ | | |
| 1 | Segi Empat | | K - 450 | 10 | 6 | 16 | 6 | 64,4 Kg | 21 | Rp 11520 /M | Rp 99,429 | Rp 198,958 | Rp 298,288 | Rp 596,576 | Rp 28255,71 | |
| 1 | Segi Empat | | K - 450 | 12 | 6 | 16 | 6 | 64,4 Kg | 23 | Rp 11520 /M | Rp 109,739 | Rp 288,582 | Rp 377,873 | Rp 655,46 | Rp 30000,00 | |
| 1 | Segi Empat | | K - 450 | 13 | 6 | 16 | 6 | 64,4 Kg | 23 | Rp 11520 /M | Rp 104,894 | Rp 279,768 | Rp 344,663 | Rp 689,355 | Rp 30100,00 | |
| | | | | | | | | | | | | | | | Data pemancangan | |
| No | Type | Btr | Mutu Beton | Tulangan Besi Ø | Sengatang | Dimensi | Berat Beton P (beton) | Transportasi | Vertikal (m) | min 10 m | per 1 m | per 2 m | per 3 m | per 6 m n = 350 m ³ | | |
| 1 | Segi Empat | | K - 450 | 10 | 6 | 18 | 6 | 77,8 Kg | 26 | Rp 14580 /M | Rp 165,363 | Rp 322,726 | Rp 349,088 | Rp 658,728 | Rp 28255,71 | |
| 1 | Segi Empat | | K - 450 | 12 | 6 | 18 | 6 | 77,8 Kg | 27 | Rp 14580 /M | Rp 145,030 | Rp 282,255 | Rp 322,448 | Rp 378,574 | Rp 757,348 | Rp 30000,00 |
| 1 | Segi Empat | | K - 450 | 13 | 6 | 18 | 6 | 77,8 Kg | 28 | Rp 14580 /M | Rp 131,028 | Rp 265,556 | Rp 355,463 | Rp 750,957 | Rp 30100,00 | |
| | | | | | | | | | | | | | | | Data pemancangan | |
| No | Type | Btr | Mutu Beton | Tulangan Besi Ø | Sengatang | Dimensi | Berat Beton P (beton) | Transportasi | Vertikal (m) | min 10 m | per 1 m | per 2 m | per 3 m | per 6 m n = 350 m ³ | | |
| 1 | Segi Empat | | K - 450 | 12 | 5 | 20 | 6 | 96,0 Kg | 33 | Rp 18000 /M | Rp 45,050 | Rp 290,000 | Rp 435,449 | Rp 870,299 | Rp 28255,71 | |
| 1 | Segi Empat | | K - 450 | 13 | 5 | 20 | 6 | 96,0 Kg | 34 | Rp 18000 /M | Rp 151,653 | Rp 301,301 | Rp 451,959 | Rp 913,98 | Rp 30000,00 | |
| 1 | Segi Empat | | K - 450 | 16 | 8 | 20 | 6 | 96,0 Kg | 36 | Rp 18000 /M | Rp 184,655 | Rp 369,310 | Rp 553,965 | Rp 10735,00 | Rp 30000,00 | |

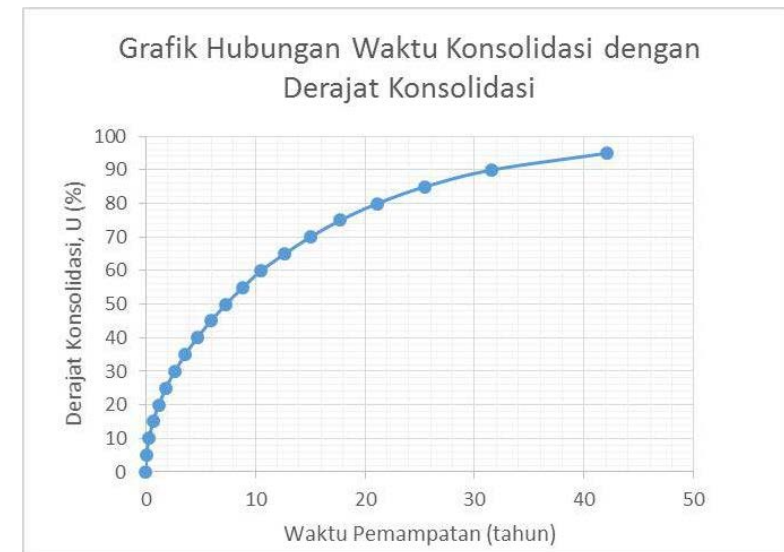
Gambar 10. Spesifikasi dan Daftar Harga *Micropile* ATA BETON

LAMPIRAN 4
WAKTU KONSOLIDASI DAN PERCEPATAN WAKTU KONSOLIDASI DENGAN PVD

Tabel 1. Hasil Perhitungan Waktu Konsolidasi Alami

| Derajat Konsolidasi U(%) | Hdr (cm) | Cv (cm ² /detik) | T | t (detik) | t tahun |
|--------------------------|----------|-----------------------------|----------|-------------|------------|
| 0 | 1000 | 0.000850958 | 0 | 0 | 0 |
| 5 | | | 0.001963 | 2307393.058 | 0.07316695 |
| 10 | | | 0.007854 | 9229572.23 | 0.29266782 |
| 15 | | | 0.017671 | 20766537.52 | 0.65850258 |
| 20 | | | 0.031416 | 36918288.92 | 1.17067126 |
| 25 | | | 0.049087 | 57684826.44 | 1.82917385 |
| 30 | | | 0.070686 | 83066150.07 | 2.63401034 |
| 35 | | | 0.096211 | 113062259.8 | 3.58518074 |
| 40 | | | 0.125664 | 147673155.7 | 4.68268505 |
| 45 | | | 0.159043 | 186898837.7 | 5.92652326 |
| 50 | | | 0.19635 | 230739305.8 | 7.31669539 |
| 55 | | | 0.237583 | 279194560 | 8.85320142 |
| 60 | | | 0.282743 | 332264600.3 | 10.5360414 |
| 65 | | | 0.340385 | 400001376.4 | 12.6839604 |
| 70 | | | 0.402846 | 473402564.7 | 15.0114969 |
| 75 | | | 0.476722 | 560217744.1 | 17.7643881 |
| 80 | | | 0.567139 | 666470936.5 | 21.1336548 |
| 85 | | | 0.683707 | 803455126.3 | 25.4773949 |
| 90 | | | 0.848 | 996523498 | 31.5995528 |
| 95 | | | 1.128861 | 1326576060 | 42.0654509 |
| 100 | | | | | |

Gambar 1. Grafik Hubungan Waktu Konsolidasi dengan Derajat Konsolidasi



BAB VI

KESIMPULAN DAN SARAN

6.1 Kesimpulan

Dalam perencanaan Tugas Akhir ini didapatkan beberapa kesimpulan yaitu :

1. Besar Pemampatan yang terjadi pada alternatif 1 yaitu zona 1 = 1,45 m dan zona 2 = 1,24 m. Pada alternatif 2 untuk zona 1 = 1,1 m dan zona 2 = 0,9 m.
2. Didapatkan tinggi timbunan awal pada alternatif 1 yaitu pada zona 1 = 7,2 m dan zona 2 = 6,3 meter. Pada Alternatif 2 didapatkan untuk zona 1 = 6,8 m dan zona 2 = 5,9 m.
3. Waktu yang dibutuhkan untuk mencapai derajat konsolidasi 90% ($U=90\%$) adalah 31,6 tahun. Waktu tersebut sangat lama, sehingga dibutuhkan perencanaan *Prefabricated Vertical Drain* (PVD) untuk percepatan waktu konsolidasi dan didapatkan PVD pola segitiga jarak 1,25 m. Lama *preloading* diberikan sampai pemampatan selesai membutuhkan waktu :
Alternatif 1:
Zona 1 selama 19 minggu, dan zona 2 selama 17 minggu.
Alternatif 2:
Zona 1 selama 17 minggu, dan zona 2 selama 15 minggu.
4. Pada perencanaan perkuatan tanah dengan *geotextile* didapatkan hasil sebagai berikut:
 - Pada Zona 1:
Jarak antar layer = 0,2 meter
Jumlah lapis *geotextile* = 16 lapis (2 rangkap) dan 17 lapis (1 rangkap)
Luas total *geotextile* = 28637 m²
 - Pada Zona 2:
Jarak antar layer = 0,2 meter
Jumlah lapis *geotextile* = 6 lapis (2 rangkap) dan 22 lapis (1 rangkap)

- Pada Alternatif 2:
 - Kebutuhan *geotextile* = 17 lapis
 - Luas total *geotextile* = 969 m²
 - Kebutuhan cerucuk = 3 buah/m
 - Panjang cerucuk = 9 meter
7. Perencanaan *abutment* dapat dilihat pada Lampiran 11. Hasil perhitungan tiang pancang didapatkan:
- Untuk diameter 30 cm:
- Jumlah tiang = 20 buah
 - Panjang per tiang = 17 meter
- Untuk diameter 40 cm:
- Jumlah tiang = 12 buah
 - Panjang per tiang = 16,5 meter
8. Dari kedua alternatif perkuatan timbunan dipilih alternatif 1 karena menghasilkan biaya termurah yaitu Rp22.430.170.775,-, sedangkan untuk tiang pancang dipilih diameter 40 cm dengan biaya material Rp91.200.000,-

6.2 Saran

Setelah dilakukan perhitungan dan analisa, penulis memberikan saran yaitu :

1. Pada perencanaan oprit dan *abutment* selanjutnya dapat digunakan turap pada saat pelaksanaan sebagai dinding penahan tanah timbunan oprit agar pekerjaan oprit dan pemancangan pondasi *abutment* dapat dilakukan bersamaan.
2. Perencanaan timbunan sebaiknya mempertimbangkan lokasi di sekitar.
3. Pada perhitungan biaya untuk perencanaan selanjutnya dapat diperhitungkan biaya pelaksanaan.